



TURKISH
SOCIETY OF
CARDIOLOGY

33rd TURKISH CARDIOLOGY CONGRESS

WITH INTERNATIONAL PARTICIPATION

5 - 8 OCTOBER 2017
TITANIC DE LUXE HOTEL / ANTALYA



OLGU SUNUMLARI CASE PRESENTATIONS

Sözlü Olgu Sunumları *Oral Case Presentations*
Poster Olgu Sunumları *Poster Case Presentations*



ULUSLARARASI KATILIMLI TÜRK KARDİYOLOJİ KONGRESİ

33.

TÜRK KARDİYOLOJİ DERNEĞİ YÖNETİM KURULU

Başkan Mahmut ŞAHİN

Gelecek Başkan Mustafa Kemal EROL

Başkan Yardımcısı Adnan ABACI

Genel Sekreter Engin BOZKURT

Genel Sekreter Yardımcısı Sinan AYDOĞDU

Sayman Necla ÖZER

Üyeler Ömer GÖKTEKİN

Meral KAYIKÇIOĞLU

Mehmet Birhan YILMAZ

BİLİM KURULU

Başkan Mustafa Kemal EROL

Servet ALTAY

Enver ATALAR

Sinan AYDOĞDU

Engin BOZKURT

Murat ERSANLI

Bülent GÖRENEK

Meral KAYIKÇIOĞLU

Mustafa KILIÇKAP

Merih KUTLU

Aytaç ÖNCÜL

Necla ÖZER

Mahmut ŞAHİN

Lale TOKGÖZOĞLU

Mehmet Birhan YILMAZ

DANIŞMA KURULU

Girişimsel (TKD Girişimsel) Çalışma Grubu

Aritmi Çalışma Grubu

Kardiyak Görüntüleme Çalışma Grubu

Koroner Kalp Hastalığı Çalışma Grubu

Kalp Yetersizliği Çalışma Grubu

Hipertansiyon Çalışma Grubu

Lipit Çalışma Grubu

Kalp Kapak Hastalıkları Çalışma Grubu

Kardiyovasküler Hemşire ve Teknisyenler Çalışma Grubu

Değerli Meslektaşlarımız,

Türk Kardiyoloji Derneği yıl boyunca çeşitli eğitim programları ve etkinlikler düzenlemenin yanı sıra her zaman olduğu gibi Ekim ayında Uluslararası Katılımlı Türk Kardiyoloji Kongresini 54. yıla yakışır bir seviyede gerçekleştirmeyi planlamaktadır.

Hem katılımcı sayısı hem yüksek kalitedeki bilimsel içeriği ile ulusal ve uluslararası düzeyde önde gelen bilimsel kongrelerden biri olan aktivitemizin zengin içeriğini, siz katılımcılarımıza hitap edecek geniş bir yelpazede doyurucu bir bilimsel program ve değişik sosyal etkinlikler ile sunmayı planlamaktayız.

Bu yıl gerçekleştireceğimiz kongremize Avrupa Kardiyoloji Derneği üye ülkelerinden meslektaşlarımızın yanı sıra başka kıtalardan meslektaşlarımız da katılacaklardır. Geçen yıl 3000'e yakın kişinin katıldığı kongremize katılımın bu yıl daha da artmasını bekliyoruz. Kongremizde sizler için en iyi programı hazırlamaya gayret ettik. "Sempozyumlar", "Karşıt Görüş" ve "Nasıl Yapalım" oturumları ile kalp-damar hastalıklarıyla ilgili son bilgilerimizi güncelleştirip tartışacağız. "Günlük Uygulamada Kardiyoloji" oturumlarını geçen yıl büyük ilgi gösteren "Pratik Kardiyoloji" başlığı altında tüm Kardiyoloji pratiğini kapsayacak şekilde genişlettik. Geçen yıllarda yoğun ilgi nedeniyle sayısını artırdığımız, sertifika verilen "Görüntülü İnteraktif Kurslar" ile bilgilerimizin yanı sıra becerilerimizi de geliştireceğiz.

Her oturumumuzda Türkiye'den ve dünyadan konularında büyük ağırlığı olan değerli konuşmacılar ve tartışmacılar yer alıyor. ESC, ACC, Türk Dünyası Kardiyoloji Birliği, EHRA ve EAPCI ile ortak oturumlarımızın dikkatle izleneceğine inanıyoruz.

Uluslararası boyutu bu yıl daha da güçlenen kongremiz yine hem TTB hem de UEMS tarafından kredilendirilecektir.

Kongremizde sizleri de aramızda görmekten memnuniyet duyacağız.

05 - 08 Ekim 2017'de 33. Uluslararası Katılımlı Türk Kardiyoloji Kongremizde buluşmak, bilgilerimizi paylaşmak, dileği ve saygılarımıza.

Prof. Dr. Mahmut Sahin, FESC
TKD Başkanı

Prof. Dr. Mustafa Kemal Erol
TKD Gelecek Başkanı



To the future with healthy hearts



Dear Colleagues,

In addition to its various training events and activities through the year, Turkish Society of Cardiology has planned to hold this year's National Cardiology Congress in October at a high level to meet the expectations on its 54th anniversary.

The congress, as a leading scientific event both at the national and international level with a remarkable number of participants and high quality scientific content, is being designed to appeal to all participants in a satisfactory way and broad range of its scientific program and diversified flavors of social events.

As well as our colleagues as members of European Society of Cardiology, there will be again our colleagues from different continents as participants to this year's congress. We expect to have a higher number of participation to this year's congress in which the number of participation was nearly 3000 last year. We have been working hard to prepare the best program for you. During our "Symposia", "Debates" and "How to Do" sessions, we will be updating our latest knowledge on cardiovascular diseases. We have extended "Cardiology in Daily Practice" sessions which attracted real attention last year, as "Practical Cardiology" to cover all the practices in Cardiology. We will advance our skills besides our knowledge thanks to "Interactive Video Courses" which we have increased the number in line with the high attention paid during the recent years and a certificate is provided to the participants of the courses.

Every session will take place with participation of esteemed speakers and discussants from Turkey and from around the globe. We strongly believe that our joint sessions with the ESC, ACC, Turkic World Cardiology Association, EHRA and EAPCI will be closely followed by the attendees.

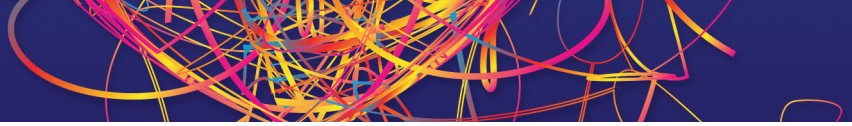
The congress having strengthened more than ever with its international flavor will again be credited by the Turkish Medical Association and EBAC.

We will be more than happy to have you with us during our congress.

With hopes and best regards to meet you and share our information on 05 – 08 October 2017 for the occasion of our 33th Turkish Cardiology Congress with International Participation.

Prof. Mahmut Sahin, M.D., FESC
President of TSC

Prof. Mustafa Kemal Erol, M.D.
President Elect of TSC



ULUSLARARASI KATILIMLI TÜRK KARDİYOLOJİ KONGRESİ

33.

İÇİNDEKİLER *CONTENTS*

OLGU SUNUMLARI

CASE REPORTS

Sözlü Olgı Sunumları.....	1
<i>Oral Case Presentations</i>	
Poster Olgı Sunumları	43
<i>Poster Case Presentations</i>	
Yazar Dizini.....	113
<i>Author Index</i>	

OS-01

A young man with reversible diabetic cardiomyopathy associated with hyperosmolar hyperglycaemic stateUmut Kocabas¹, Özgür Yılmaz², Volkan Kurtoğlu²¹Department of Cardiology, Edremit State Hospital, Kardiyoloji Bölümü, Balıkesir²Department of Internal Medicine, Soma State Hospital, Manisa

A 20-year-old male patient with uncontrolled diabetes mellitus presented to our clinic with polyuria, polydipsia and weakness. On initial assessment, the patient was afebrile, with blood pressure of 107/69 mmHg and physical examination showed no other abnormalities. The electrocardiogram showed a normal sinus rhythm and a heart rate of 59 bpm without ischaemic changes. Laboratory results revealed hyperglycaemia (glucose 1104 mg/dL), hyponatraemia (Na 121 mmol/L, corrected Na 137 mmol/L), hypertriglyceridemia (triglyceride 1306 mg/dL), haemoglobin A1c 17.7%, negative high-sensitive troponin ($<1.5 \text{ ng/L}$) and effective osmolality 345 mOsm/L. Arterial blood gas analysis revealed pH 7.44, PCO₂ 37.4 and bicarbonate 25.2 mmol/L. The patient was hospitalised in the intensive care unit, and intravenous fluids and insulin therapy were started. Baseline transthoracic echocardiography revealed normal valvular functions and global left ventricular hypokinesis with a spontaneous echo contrast and an ejection fraction of 42% (left ventricular end-diastolic and end-systolic volumes were 96 and 56 mL, respectively), which was determined by the Simpson's method. Left ventricular end-diastolic and end-systolic diameters were 49 and 39 mm, respectively (Figure 1; Video 1 and 2 in the Data Supplement). After transthoracic echocardiography, metoprolol, ramipril, trimetazidine and fibrinolysis therapy was also started. The patient's clinical condition improved in 24 h and his blood glucose level decreased. Transthoracic echocardiography revealed an improvement in the left ventricular systolic function with an ejection fraction of 54% at the 5-day follow-up and an ejection fraction of 70% (left ventricular end-diastolic and end-systolic volumes were 92 and 27 mL, respectively) at the 15-day follow-up after blood glucose control. Left ventricular end-diastolic and end-systolic diameters were 49 and 31 mm, respectively at the 15-day follow-up (Figure 2; Video 1 and 2 in the Data Supplement). The patient was discharged with intensive insulin, metoprolol, ramipril and fibrinolysis therapy and a programme of intensive follow-up. We describe an unusual case of a patient with reversible diabetic cardiomyopathy associated with uncontrolled diabetes mellitus and hyperosmolar hyperglycaemic state. Diabetic cardiomyopathy is characterised by diabetes-related changes in the function of the myocardium without coronary artery disease, hypertension or valvular heart disease. In the presence of hyperglycaemia, non-enzymatic glycation of proteins, reactive oxygen radicals and fibrosis lead to deterioration in left ventricular contractile functions. Increased fatty acid oxidation, reduced calcium handling and activated neurohormonal functions also provide to this situation. Although no specific treatment exists for diabetic cardiomyopathy, glycaemic control is the most important strategy for the prevention of progression and the treatment of the disease.

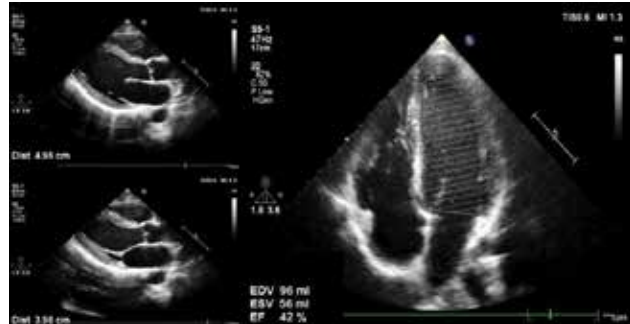


Figure 1.

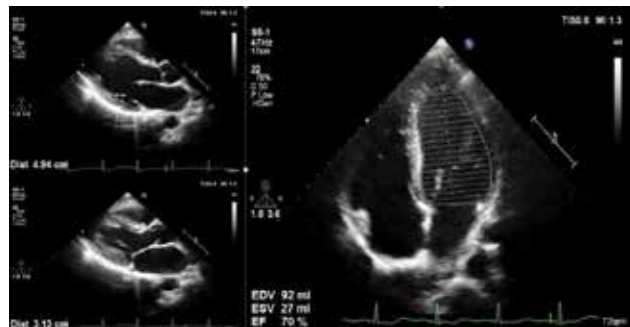


Figure 2.

OS-03

Bonzai bağımlısı marginal donörden mutlu sona yolculuk

Yelda Saltan, Ali Doğan, Emrah Özdemir, Nuri Kurtoglu

Yeni Yüzyıl Üniversitesi Tip Fakültesi Gaziosmanpaşa Hastanesi, Kardiyoloji Bölümü, İstanbul

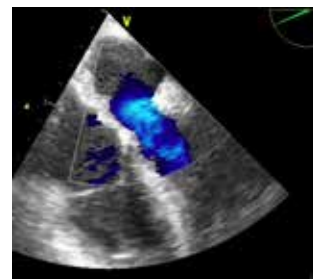
Giriş: Son dönemde kalp yetmezliğinin yaygınlığı arttıkça, klinisyenler artan kalp transplantasyon ihtiyacını karşılamak için sayıca yetersiz allograft ile baş başa kalmaktadır. Kalp yetmezliği olan hasta sayısı ile donör sayısı arasındaki uyumsuz fark, marginal donör ile kalp kullanımını artırmıştır. Donör kalpte azalmış sol ventrikül ejeksiyon fraksiyonu (EF) geleneksel olarak grefit kullanımının önemli bir öngördürütür. Bununla birlikte, başlangıçta optimum nakil kri-

terlerini karşılamayan bazı donör kalpler transplante edildiğinde iyi sonuçlar alınabilir.

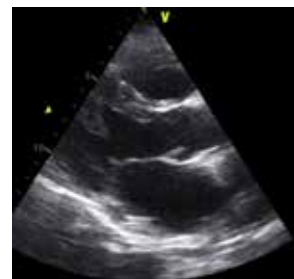
Vaka: Şubat 2017'de, son dönem kalp yetmezliği olan 44 yaşında erkek bir hastayı yurdumuzda, daha önce başka bilinen tıbbi geçmiş이 olmayan, ülkemizde Bonzai olarak bilinen sentetik cannabinoid bağımlısı 26 yaşındaki bir erkek donör hakkında bilgilendirildi. Uyurucuya almasını takiben balkondan düşüğünü ve kritik kafa içi kanamasının bulunduğunu öğrendi. Yoğun bakımda kısa süre sonra hemodinamik bakımından dengesiz hale gelip, inotropik ajanlara herhangi bir tepki vermediği bildirildi. Beyin ölümlü testi doğrulandıktan sonra; yapılan ekokardiyografiye kalp fonksiyonları kabaca normal olarak rapor edildi.

Cerrahi teknik ve takip: Kalbin donörden alınması esnasında hafif sol ventriküler hipokinezı kaydedildi ancak nihai karar verilmiştir: Kalp durduruldu, korundu ve aleyha nakledildi. Anastomozlar tamamlandıktan sonra allograft kalp kendiliğinden çalışmaya başladı. Bununla birlikte, transplantasyon işlemi sırasında yapılan transözofageal ekokardiyografide bilateral ventriküler disfonksiyon olduğu gösterildi. Amelyathaneden çıkmakta olan hastaya inotropler ve santral venoarteriyel ekstrakorporal membran oksijenasyonu (ECMO) desteği verildi. Hasta yoğun bakımda entübe halde 4 günlük takibin ardından ekstube edildi ve ECMO'dan ayrıldı. Ekstubiyondan sonra mevcut hemodinamik yetersizliği ve biventriküler disfonksiyonun yanı sıra erken dönemde tıbbi tedaviye cevap vermeyen dirençli bir atriyal taşkınlığı tabloya eklendi ve ancak 100 joule ile yapılan DC kardiyoversiyonun ardından düzeltildi. Kardiyoversiyonun ardından mucizevi biçimde hasta hızla hemodinamik olarak kararlı hale geldi; Ekokardiyografide sol ve sağ ventrikül fonksiyonları iyileşti ve en sonunda transplantasyondan 34 gün sonra normal kardiyak fonksiyonlara tabure edilebildi. Halen yaklaştıktan sonra beş aydır normal kardiyak fonksiyon ile yeri bir sorun olmadan takip edilmektedir.

Sonuç: Şiddetli nörolojik hasar ve uyurucuya bağımlılığı ile ilişkili ciddi kardiyak disfonksiyonun bulunduğu allograft transplantasyonu takiben, ciddi sorun yaratılan bu şiddetli sol ventrikül disfonksiyonu; optimum çevresel koşullar ve uygun tıbbi tedavinin ardından normale getirilebilmiştir. Bunun gelecekte başka marginal donör kalplerinin kullanımı konusunda kalp yetmezliği ekiplerini cesaretlendirmesini ümit ediyoruz.



Şekil 1. Intraoperatif transösophageal ekokardiyografi görüntüleri.



Şekil 1. Postoperatif ekokardiyografi görüntüleri.

OS-04

ECMO desteği ile hayatı kalan fuliman miyokardit olgusuAyşe Saatçi Yaşar¹, Nihal Akar Bayram², Hakan Siygiün², Melike Polat², Haci Ahmet Kasapkara², Emine Bilen¹, Abdullah Nabi Aslan¹, Telat Keleş², Tahir Durmaz², Engin Bozkurt²¹Ankara Atatürk Eğitim ve Araştırma Hastanesi, Kardiyoloji Kliniği, Ankara²Yıldırım Beyazıt Üniversitesi Tip Fakültesi, Kardiyoloji Anabilim Dalı, Ankara

Giriş: Miyokardit, çeşitli nedenlere bağlı olarak gelişen miyokard inflamasyonudur. Değişik klinik tablolardan ortaya çıkabilir. Fuliman miyokarditte başlangıç ani olup hızla progresif bozulma görülür. Tam düzelmeye olabileceğ gibi ciddi kalp yetersizliğine bağlı olarak ölüm olabilir. Bu nedenle bu hastalar hızla ve aggressive olarak tedavi edilmelidirler. Bu olguda standart tedavide rağmen klinik durum hızla bozulan fuliman miyokarditi 30 yanında bir erkek hasta sunuldu.

Oluştu: 30 yaşında erkek hasta 3 gündür olan halsizlik, nefes darlığı ve bulantı şikayetleri ile acil servisimize başvurdu. Daha once kalp hastalığı öyküsü bulumayan hastanın bir saat önce boğaz enfeksiyonu nedeni ile antibiyotik kullandığı öğrenildi. Yapılan fizik muayenesinde nabız 120/dk, kan basıncı 85/45 mmHg idi. Akciğer muayenesinde bazallerde sekretuar ralleri, kardiaik muayenesinde ise S3 mevcuttu. Hastanın çekilen elektrokardiyografisinde sinus taşkınlığı (126/dk) saptandı. Hastanın alınan tam kan tetkikinde hafif lökositoz ve trombositoopeni izlendi. Biyokimya tetkikinde Nt-proBNP 95 ng/ml (N:10-48 ng/ml), kreatinin 1.7 mg/dL (N<1.2 mg/dL); serologik tetkikinde CRP 328 mg/dL (N:0-5 mg/dL), kardiyak hormonlardan troponin T 143.1 pg/mL (N:0-14 pg/mL) saptandı. Ekokardiyografide sol ventrikül sistolik fonksiyonlarının azalması olduğu görüldü. (Ejeksiyon fraksiyonu: %35). Hasta koroner yoğun bakımı fuliman miyokarditi tanısı ile yatırıldı. Inotropik destek tedavisi yanıt vermemeyen hasta intraartoik balon pompa takıldı. Takibinde kan basıncı yükselselmenen hastanın genel durumu giderek kötüleşti, solunum sıkıntısı arttı, kreatinin değerleri 6 mg/dL'ye kadar yükseldi. İdrar miktarı giderek azaldı. Kan gazında asidoz (pH:7.25, saturasyon %86.2) saptanın hasta entübe edilerek mekanik ventilasyona bağlıdır. Yatırının 3. günde mevcut tedavisi yanıt vermemeyen hasta venoarteryal Ekokardiyografide sol ventrikül sistolik fonksiyonları giderek arttı. 10 gün ECMO desteği içinde kalan hastanın genel durumu giderek ditzeldi ve sol ventrikül sistolik fonksiyonları giderek arttı. 10. gün sonunda hasta ECMO desteginde ayrıldı. Kontrol ekokardiyografisinde sol ventrikül fonksiyonları normal izlendi. Sağ aksiller bölgesindeki hematometor rezorbe olan hastanın sağ üst ekstremitede güç kaybı gelişti. ECMO desteği altındaki hasta toplam 3 kez dializle alındı.

Tartışma: Gün geçtikçe teknolojide gelişimeleri bağlı olarak ECMO sistemleri daha kolay bir şekilde uygulanabilemektedir. Tibbi tedavide yanıt vermemeyen fuliman miyokarditi hastalar ECMO tedavisi açısından değerlendirilmelidir.

OS-05

Dev hücreli miyokardit tedavisinde kullanılan immunosupresif tedavinin nadir bir komplikasyonu: Özefagus rüptürü

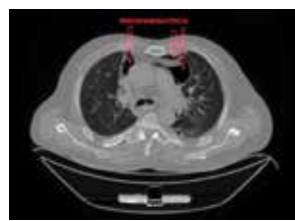
Onur Kılıçarslan, Khayal Mirzayev, Okay Abacı, Ahmet Yıldız, Barış Özgün

İstanbul Üniversitesi Kardiyoloji Enstitüsü, Kardiyoloji Anabilim Dalı, İstanbul

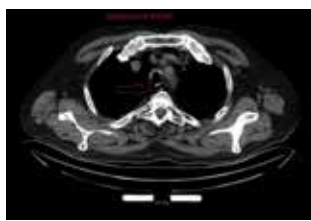
Giriş: Dev hücreli miyokardit ani gelişen, progresif seyreden ve miyosit nekrozu ile karakterize inflamatuar miyokardiyal bir hastaluktur. Dev hücreli miyokardit tedavisinde kullanılan immunosupresif tedaviye bağlı gelişen nadir bir komplikasyon olan özefagus perforasyonu sunulmuştur.

Vaka: Kronik hastalık öyküsü olan 47 yaşında erkek hasta; 1 hafta önce üst solunum yolu enfeksiyonu sonrası başlayan progresif nefes darlığı şikayeti ile başvurdu. Fizik muayenesi aşağıdaki gibidir: arteriyal kan basıncı: 115/85 mmhg, kalp hz: 110/dk, solunum sayısı 22/dk ve oksijen saturasyonu oda havasında %90 idi. Her iki akciğerde orta zonlarda krepitasyon ralleri olan hastanın mitral odakta 2/6 sistolik üfürümü mevcuttu. Elektrokardiografi atriyal fibrilasyondu. Eko-kardiografisinde sol kalp boşuluklarında genişleme, global hipokinetik ve ejeksiyon fraksiyon %25 olarak değerlendirildi. Koroner anjografisinde belirgin özellik olmayan hastanın yapılan kardiak MR da subendokardiyal yama tarzındaki kontrast tutulumu olması nedeniyle sarkoidoz veya miyokardit düşünüldü. Tedavi ile semptomları düzelmeyen hastanın yapılan endomyokardial biyopsi de dev hücreli miyokardit bulguları saptandı (Tablo 1). Siklosporin 1x200 mg, azatioprin 1x100 ve prednizonlu 80 mg başlandı. Takipterinde şiddeteli ani başlayan sirt ağrısı olması üzerine çekilen akciğer grafisinde mediastinde genişleme olması üzerine toraks BT planlandı ve BT de özefagusta rüptür saptandı (Şekil 1, 2).

Tartışma: Dev hücreli miyokardit genellikle gençlerde ve sağlıklı kişilerde görülür. Çok kısa sürede kalp transplantasyonu yapılmayan ya da ağır immünsupresif tedavi uygulanmayan olgular genellikle ölümcülür. Tedavi de kullanılan immünsupresif tedavide sekonder nadir gelişen spontan gastrointestinal perforasyonlar ölümçül komplikasyonlardır. Immünsupresif tedavide ikincil gelişen spontan gastrointesinal perforasyonlar siklikla barsakta olmasına rağmen nadiren özefagusta gelişebilir.



Şekil 1. Toraks BT'de mediastinal yaygın hava.



Şekil 2. Toraks BT'de özefagus rüptürü.

Tablo 1. Endomyokardial biyopsi materyalinde çalışan imminolojik belirteçler

Fenotip	CD3	LFA-1	CD45RO	Perforin	MAC-1
Hücre / mm ²	8,39	36,4	116	2,14	78,43
Eşik	14	14	40	2,9	40

OS-06

Which came first, the chicken or the egg?: a case report with two diagnosis, peripartum cardiomyopathy versus tachycardia induced cardiomyopathySuat Görmel¹, Hasan Kutsi Kabul¹, Murat Çelik¹, Uyar Çağdaş Yüksel¹, Yalçın Gökoğlan¹, Erkan Yıldırım¹, Cem Barçın¹, Barış Buğan², Salim Yaşa³¹Department of Cardiology, Gıllane Training and Research Hospital, Ankara²Department of Cardiology, Çorlu State Hospital, Tekirdağ³Department of Cardiology, Etimesgut Military Hospital, Ankara

Peripartum cardiomyopathy (PPCM) is an uncommon disorder associated with pregnancy in which the systolic cardiac heart failure happens and leads to symptoms of heart failure. PPCM may be challenging to diagnose because symptoms of heart failure can be similar those of pregnancy. Tachycardia in pregnancy is common and may cause concern for the wellbeing of both the mother and the fetus. The cardiovascular system undergoes significant change in adaptation to pregnancy. As a result of normal physiopathology, the need of increased blood circulation causes a bigger heart to manage improved mechanical stretch. In pregnancy, heart rate increases by 25% and thus sinus tachycardia, is a common clinical entity so that we generally classify tachycardias as a benign cardiac arrhythmias. However sometimes ongoing resistant tachycardias may be more serious and they may cause tachycardia induced cardiomyopathy (TICM) with heart failure symptoms. Here we report of the case of a young women presented to our intensive care unit after giving birth a few days ago with heart failure clinic. At first sight the patient with usual echocardiographic parameters of dilate cardiomyopathy was concordant to PPCM. In the meantime unexpected and resistant tachycardia leaded us searching on a second alternative also, TICM. Unlike most of other PPCM cases, significant benefit of rate control therapy and short recovering period are observed. This result guided us to ask the question; "have we ignored something while following these ladies with heart failure?".

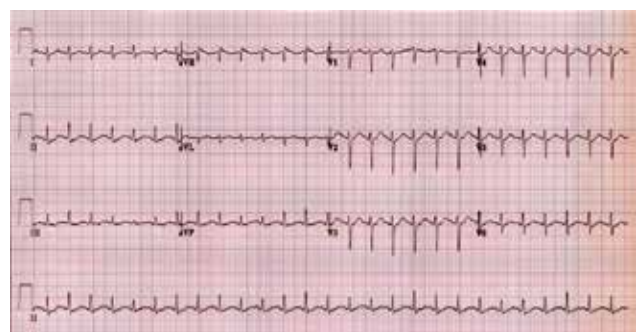


Figure 1. Sinus tachycardia.

Aritmi / Elektrofizyoloji / Pacemaker / CRT-ICD

OS-07

A rare case of tachycardia-induced cardiomyopathy secondary to incessant atrial tachycardia originating from right atrial appendix in a postpartum patientÖzcan Çiftci¹, Ersin Doğanözü¹, Keremcan Yılmaz¹, Mustafa Yılmaz², İlyas Atar¹, Mehmet Bülent Özün¹¹Department of Cardiology, Başkent University Faculty of Medicine, Ankara²Department of Cardiology, Başkent University Faculty of Medicine, Adana Research and Application Center, Adana

Introduction: Tachycardia-induced cardiomyopathy and peripartum cardiomyopathy are rare, potentially reversible conditions. Peripartum cardiomyopathy is usually a diagnosis of exclusion, and every attempt should be made to distinguish it from other cardiomyopathies, especially the reversible ones such as tachycardia-induced cardiomyopathy. We present here a case of tachycardia-induced cardiomyopathy confused with peripartum cardiomyopathy, the symptoms and structural changes of which were largely abolished following the ablation of the tachycardia.

Case: A 22-year-old woman presented to our outpatient clinic with progressive dyspnea and severely reduced exercise capacity which first began 3 months ago, 20 days after delivering a baby by caesarean section at an outside center after an uneventful pregnancy. She had been diagnosed with PPCMP and treated medically, but her symptoms had only partially regressed. Her past or family history was not remarkable for any heart disorder. An electrocardiogram (ECG) showed a narrow-complex tachycardia at a rate of 152 bpm with 1:1 relationship and a long R-P interval. Upon administering intravenous diltiazem, temporary 2:1 atrioventricular block occurred, with p waves negative in V1-V4, isoelectric/negative in V5, and positive in V6; biphasic in D1 and aVL, negative in D3 and aVF, and aVR, and biphasic in D2 (Figure 1a). A 3D echocardiography showed severe left ventricular systolic dysfunction with an EF of 19%. Left ventricular end-diastolic and end-systolic volumes were 94 and 76 mL, respectively. Global longitudinal strain by speckle tracking echocardiography was calculated as -7.1% (Figure 3a). After necessary preparations, an electrophysiological study (EPS) was performed. A total of 3 radiofrequency (RF) ablations to the earliest points of activation each with a maximum intensity of 30 watts, a maximum temperature of 42° C, and a maximum duration of 30 seconds with a Biosense Webster NAVISTAR cooled tip saline-irrigated ablation catheter completely eliminated the tachycardia (Figure 2). A post-procedural ECG showed sinus rhythm (Figure 1b).

Conclusion: TICMP is a rare, albeit potentially reversible, condition. Determination and elimination of the underlying arrhythmia is the gold standard management method for this cardiomyopathy. PPCMP can be falsely diagnosed in peripartum patients with TICMP. The differentiation between the two is vital because TICMP has an effective therapy. Although very rarely encountered in clinical practice, RAA atrial tachycardias may lead to TICMP. Although they have characteristic p wave morphology, some variations may occur, as in our patient. While considered typically problematic, elimination of RAA ATs can be facilitated and success rates increased by 3-D electro-anatomic mapping systems and cooled-tip catheters.

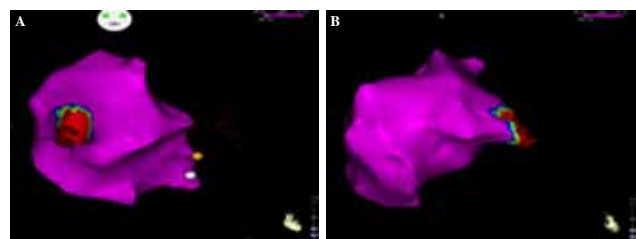


Figure 1. Three-dimensional posteroanterior (A) and right lateral (B) views obtained by CARTO 3 system showing the site of atrial tachycardia ablation. The earliest activation during atrial tachycardia is the ostium of the right atrial appendix and shown in red color. Red dots represent ablation points where the tachycardia was successfully eliminated.

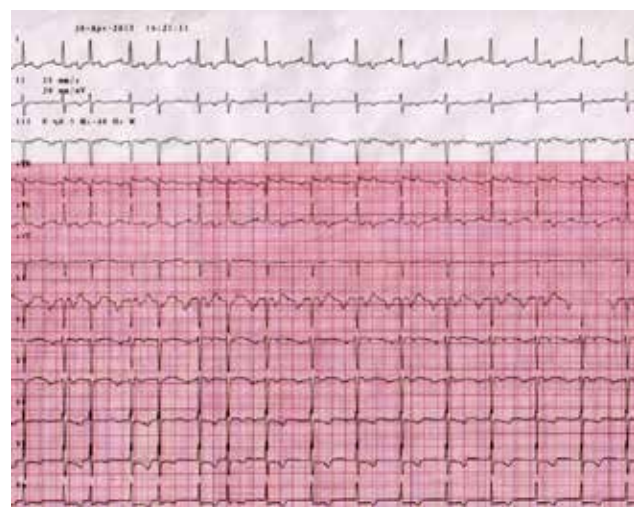


Figure 2. After the administration of diltiazem, a narrow-complex tachycardia with 2:1 atrioventricular block most of the tracing, with p waves negative in V1-V5, biphasic in D1-aVL, and predominantly negative in inferior leads (D2, D3, and aVF).

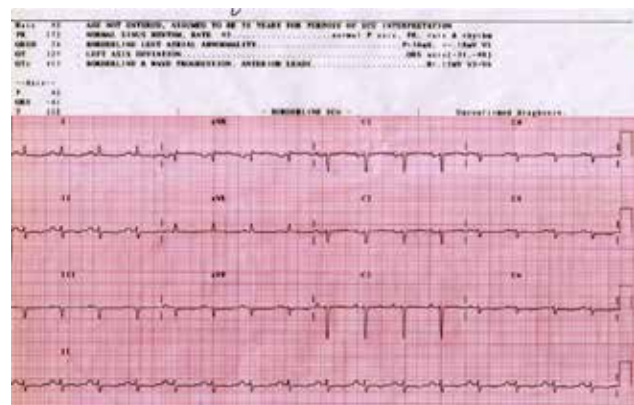


Figure 3. 12-lead ECG showing sinus rhythm after the ablation of the atrial tachycardia. Note that the p wave axis and heart rate normalized compared to the pre-ablation ECG.

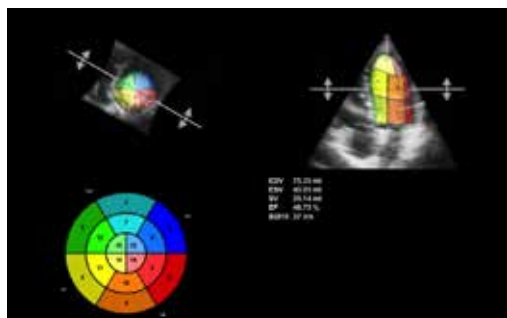


Figure 4. Near-normalization of left ventricular systolic function assessed as in figure 3A following atrial tachycardia ablation.

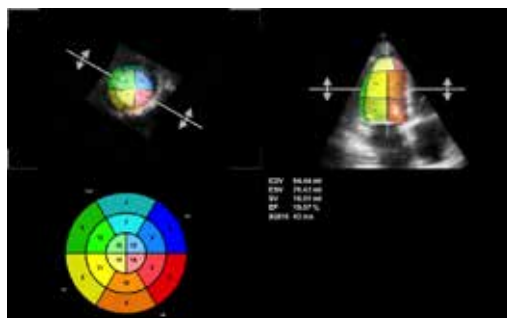


Figure 5. Severely reduced left ventricular systolic function on transthoracic echocardiography using modified Simpson's method on admission.

OS-08

Perikardda hava olgusu: Spontan rezorbe olan büyük pnömoperikardiyum

Tuğçe Cöllioglu¹, Çetin Alak¹, Hüseyin Dursun¹, Canan Altay², Dayimi Kaya¹

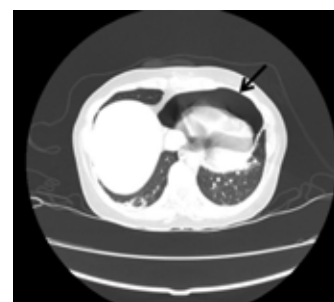
¹Dokuz Eylül Üniversitesi Tip Fakültesi, Kardiyoloji Anabilim Dalı, İzmir

²Dokuz Eylül Üniversitesi Tip Fakültesi, Biyokimya Anabilim Dalı, İzmir

Giriş: Pnömoperikardiyum, perikardiosentez sonrası oldukça nadir görülen ancak ölümcil seredebilen bir komplikasyondur. Burada perikardiosentez sonrasında belirgin pnömoperikardiyum gelişen ancak klinikî stabil olduğu için takip kararı verilen ve bir aylık izlemede kendiliğinden gerileyen bir olgu sunmayı amaçladık.

Olgu: Öksürük, halsizlik şikayetleri ile diş merkeze başvuran 38 yaşındaki kadın hasta akciğer grafisinde kardiyomegli saptanmasının üzerine klinikîmeyle yönlendirilmiş. Hastanın 2 yıldır olan prematür yetmezliği dışında bilinen kronik hastalığı bulunmamaktadır. Fizik muayenesinde kalp seslerinin derinden geldiği saptandı. Tansiyon 110/70 mmHg, EKG'sinde sinus taşkardısı mevcuttu. Transtorasik ekokardiyografi (TTE)'sında ciddi perikardiyal effüzyon ve sağ ventrikül diystistolik bası�ı saptanması üzerine perikardiosentez işlemine alındı ve tek seferde yapılan subkostal ponksiyon ile 1000 ml. transdiaframmatik sivai boşaltılıp, pigtail kateter serbest drenaj brakıldı. Ertesi gün yapılan kontrolden perikardiyal sivi geleni olmadığı için hastanın pigtail kateteri çekildi. Asemptomatik seyreden hastanın perikardiyal mai etyolojisi amaçlı çekilen PA akciğer grafisinde ve toraks BT'sinde perikardiyal boşlukta kalın 40 mm hava ile uyumlu görünüm saptandı (Şekil 1, 2). TTE'de ise perikard içerisinde minimal sıvı ve belirgin serbest hava kabarcıkları izlendi (Şekil 3). Hastanın hemodinamik olarak stabil olduğundan klinik olarak izlenmesi karar alındı. Ibuprofen ve koljsin tedavisi başlandı. Bir hafta sonra tekrarlanan toraks BT'de pnömoperikardiyumun tamamen kaybolduğu (Şekil 4), hafif perikardiyal mayının sebat ettiği görüldü. Mai etyolojisini açısından yapılan mikrobiyolojik, serolojik, romatolojik ve radyolojik tetkiklerde anamlı neden bulunamadı ve medikal tedavisinin 3 ay tamlanması karar alındı.

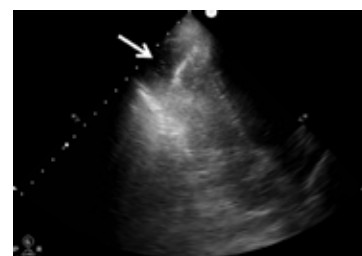
Sonuç: Pnömoperikardiyumun perikardiosentez işlemesinde plevrada gelişen laserasyon veya drenaj kateterinden gericile hava emilmesi sonucu geliştiği bildirilmiştir. Tedavisine yönelik bir görüş birliği bulunmamaktadır. Bizim olgumuzu plevra intakt olduğundan, kapali su altı drenajı da kullanılmadığından, pnömoperikardiyumun drenaj kateterinden gericile hava emilmesi sonucu olduğunu düşünüyoruz. Hava miktarı büyük çapta olsa da klinikî stabil olan bir hasta inaziv girişim yerine klinikîn yakından izlenmesi ve havanın absorbe olmasına beklemenin uygun bir yaklaşım olduğunu düşünüyoruz.



Şekil 1. Toraks BT'de perikardiyal boşluktaki hava gösterilmiştir.



Şekil 2. PA akciğer grafisinde perikardiyal boşluktaki hava gösterilmiştir.



Şekil 3. Transtorasik ekokardiyografide sağ ventrikül apikalinde perikardiyal mai ve hava kabarcıkları gösterilmiştir.



Şekil 4. Hastanın birinci ay kontrol PA akciğer grafisi.

OS-09

Periaortik abscess a disastrous complication of Perceval sutureless prosthetic aortic valve

Elton Soydan, Oğuz Yavuzgil, Cemil Gürgün

Department of Cardiology, Ege University Faculty of Medicine, İzmir

A 68 year old male patient admitted to our clinic with distress of breath and profound leg edema. He had had these complians for several months despite high dose diuretics and no relief at all. His medical history included hypertension, atrial fibrillation, diabetes mellitus and hypothyroidism. In 2015 due to degenerative aortic valve stenosis he had a successful aortic valve replacement surgery with Perceval sutureless bioprosthetic valve. On admission he looked pale, orthopneic with finger tip oxygen saturation as 89%, blood pressure measured as 115/65 mmHg and no fever. Biochemical tests showed a marked leucocytosis of 27710 and C reactive protein of 5,35. Electrocardiography showed an atrial fibrillation rhythm with a rate of 52/minute. He had a marked body mass index of 42,5 entering the morbid obesity range. There were broad fine rales bilaterally in the lung auscultation and a 3/6 systolic murmur in the aortic area. The abdomen was found enlarged

with lower extremity edema extending through the thighs. Lung X-ray showed cardiomegaly with bronchovascular redistribution signs distally extending in a diffuse pattern. During follow up fever ($>38^{\circ}\text{C}$) occurred. Transthoracic echocardiography showed limited image resolution due to obesity and a transesophageal echocardiography was performed. Moderate- severe mitral and tricuspid regurgitation with pulmonary systolic pressure of 95 mmHg was found. Astonishingly aortic valve leaflet movements was hardly noticed and there was a periaortic heterogenic irregular formation with dimensions of 4,1*4,78 cm and valvules in it. Colour doppler examination revealed a blood flow communication between the aortic valve and the periaortic tissue. Cardiac tomography showed a periaortic abscess formation surround the aortic root and extending through the left main coronary artery disease. Perceval sutureless bioprosthetic valve was found destructed and perforated due to infection. Triple antibiotic regimen of Piperacillin Tazobactam and levofloxacin was administered as the patient was allergic to Penicillin. Despite this broad spectrum antibiotic regimen fever and infection markers persisted renal function aggravation and no improvement occurred. Patient was evaluated by the heart team for transcatheter aortic valve implantation (TAVI) but found not appropriate and a surgery procedure was decided. During operation the periaortic abscess was found extending through the anterior side of the heart, the bioprosthetic valve was extracted and found destructed. Dilated aortic root was replaced by an aortic graft. Although a hard and long procedure was successfully completed, patient's heart did not begin working again showing asystole and the patient died at the end of operation.

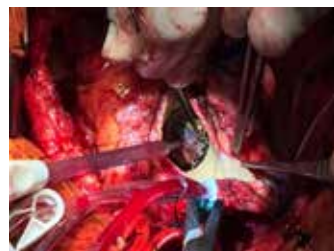


Figure 1. Aortic root during surgical procedure. Aortic root perforated.



Figure 2. Cardiac computed tomography. 3 dimension reconstruction of the Perceval sutureless bioprosthetic valve.



Figure 3. Cardiac computed tomography. Periaortic abscess formation perforating the aortic root and extending through the left main coronary artery.



Figure 3. Lung X-Ray. Cardiomegaly and bronchovascular redistribution pattern.



Figure 5. Perceval sutureless bioprosthetic valve. Destructed Perceval sutureless bioprosthetic valve.



Figure 6. Periaortic abscess during surgical procedure. Periaortic abscess destructing the bioprosthetic valve.



Figure 7. Transesophageal echocardiography. Periaortic heterogenic irregular formation.

OS-10

Nadir görülen spontan pnömoperikardiyum olgusu

Müslüm Fırat İkikardeş, Rabia Eker Akıllı, Onur Sinan Deveci

Cukurova Üniversitesi Tip Fakültesi, Kardiyoloji Anabilim Dalı, Adana

Pnömoperikardiyum nadir görülen bir kardiyak patolojidir ve coğuluklukla travmaya sekonder gözlenmektedir. Spontan pnömoperikardiyum ise daha nadir olarak görülmektedir, akciğer kanseri tansısı ile takip edilen 56 yaşında erkek hasta acil servise nefes darlığı şikayetileyile başvurdu. Hastanın öyküsünden bir yıl önce bu tanrı aldığı, kemoterapi sonrası opere edildiği ve ardından radyoterapi gördüğü öğrenildi. Hastanın başvuru esnasındaki fizik incelemesinde kan basıncı 102/65 mm/Hg,

kalp hızı 110/dakika idi, sağ akciğer orta ve alt zonlarda solunum seslerinin azalması dışında patolojik bulgu saptanmadı. Hastanın çekilen elektrokardiyografisinde ritim sintüsü ve yaygın voltaj düşüklüğü izlendi (Şekil A). Postero-anterior akciğer grafisinde ise sağ hilar bölgesinde kitle imajı veren dansite artışı ve kalbi çevreveren saran serbest hava gölgesi saptandı (Şekil B). Bilgisayarlı toraks tomografisinde sağ subhilier parakardiyak alanda 8x4 cm ebabında kitle ile uyumlu lezyon, sağ plevral effüzyon ve kalbin anterior komşuluğunda belirgin olmak üzere kalbi saran serbest hava tespit edildi (Şekil C). Transtorasik ekokardiyografide sol ventriküler ejeksiyon fraksiyonu yetenekli (%67) ve pnömoperikardiyuma bağlı kardiyak bası bulguları izlenmedi (Şekil D). Ta-kibinde göğüs cerrahisi kliniğine konulteli edilen hasta da yoğun bakımda önce solunum ardından kardiyak arrest gelişti, kardiyopulmoner resüsitasyona cevap alınamayan hasta exitus oldu.



Şekil 1. Pnömoperikardiyum olgusunun elektrokardiyografi, postero-anterior akciğer grafisi, toraks tomografisi ve transtorasik ekokardiyografi bulguları. **Şekil A:** Elektrokardiyografi **Şekil B:** Postero-anterior Akciğer Grafisi **Şekil C:** Toraks Tomografisi **Şekil D:** Transtorasik Ekokardiyografi.

Pulmoner hipertansiyon / Pulmoner vasküler hastalık

OS-11

Koroner arter ile koroner sinüs arasında fistül sonucu gelişen sekonder pulmoner hipertansiyon

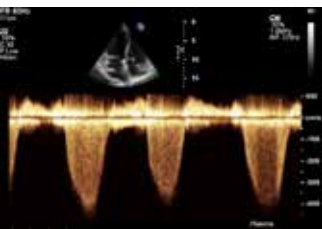
Yıldız Kanalı, Idris Yakut, Şenay Funda Dereagzı, Yeşim Akın, Omaç Tüfekçioglu, Hatiye Şaşmaz Ankara Türkiye Yüksek İhtisas Hastanesi, Kardiyoloji Bölümü, Ankara

Giriş: Koroner arter fistülleri epikardiyal koroner arter ile bir kalp odası major damarlar (vena kava, subpulmoner venler ve pulmoner arter) veya diğer vasküller yapılar (mediastinal damarlar, koroner sinüs) arasındaki anomal bağlandırlarıdır. Koroner anjografi serilerinde insidansı %0.1 olaraک bulmuştur. Hem sağ hem de sol koroner arterlerden gelişebilmesine rağmen, sağ koroner arter tutulumu daha sıktr (%50-55). Sağ ventrikül de en sık distal bağlantı yeridir. Cerrahi olguların %7'nden koroner sinüs drenaj tespit edilmiştir. Koroner fistüllerle ilgili klinik başvuru tipi, şant hacmi ve diğer kardiyak durumlara bağlıdır, ancak hastalar sıklıkla asemptomatik kalırlar. Efor dispnesi, yorgunluk, konjestif kalp yetmezliği, pulmoner hipertansiyon, endokardit ve aritmiler semptomatik olan hastaların sık başvuru nedenerindendir. Semptomatik hastalar, ciddi şanti olan veya asemptomatik olup ilerleye komplikasyon riski yüksek olan (koroner çalma, anevrizmalar, bütük şartlar) hastalar cerrahi kapama ve perkutan yolla coil embolizasyon yapılarak kapatılabilir.

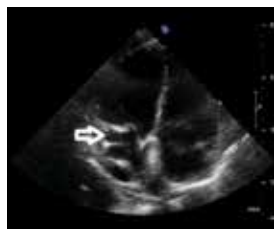
Oluğ: Daha önce sistemik hipertansiyon ile takılı olan 74 yaşında kadın hasta son 6 ay içerisinde progresif ilerleyen efor dispnesi ile başvurdu. Anijototins reseptör blokör, beta blokör ve aspirin kullanan hastanın fizik muayenesinde S2 sert ve sabit çiftleşmiş; alt ve mid mezoekardiyal odaqlarda 2/6 sistole üfürüm mevcuttu. EKG'de sağ dal blogu izlendi. Akciğer grafisinde kar-diyotoraks oran artmış, pulmoner conus belirgin, sağ kalp sınıri genişlemiştir ve budanmış ağaç manzarası mevcuttu. Transtorasik ekokardiyografisinde senil dejeneratif aort kapağı ve buna bağlı 20/13 mmHg gradient, ciddi triküspit yetmezliği, sağ boşluklarda ve pulmoner arterde genişleme vardı. Hesaplanmış sistolik pulmoner arter basıncı 90 mmHg idi. Koroner sinüs anevrizmatik dilate ve sağ atrium açılmaktaydı. Geniş bir koroner arter kavernöz AV fistül şeklinde koroner sinüse açıldığı ve buna bağlı ciddi sol-sağ şant ($Qp/Qs = 1.6$) olustuğu gözlemlendi. Pulmoner hipertansiyonun etyolojisini AV koroner bütük fistül olduğu ve fizyolojinin soldan sağa şant şeklinde çalıştığı anlaşıldı. Koroner BT anjio da sol ana koroner arter kalibrasyonu artmış, sol ana koroner; LAD-Cx dallanma düzeyinden köken aldığı düşünülen ve koroner sinüs ile ilişkili fistül mevcut olup bu trasede belirgin kalibrasyon artmış dilate tortioye vasküler yapılar izlendi. Hasta da pulmoner hipertansiyon gelişmesi sebebiyle ameliyat kararı alındı. Hasta ameliyat için Kalp damar cerrahisine yönlendirildi.

Tartışma: Koroner fistüllerle ilgili klinik başvuru tipi, fistül büyüklüğü ve şant hacmine bağlı-

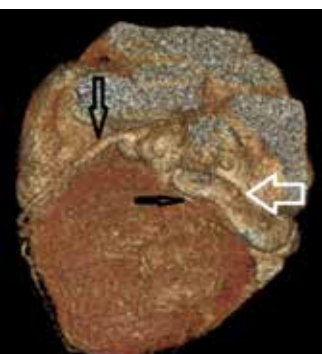
dir. Semptomatik hastalar, ciddi şanti olan veya asemptomatik olup da ilerde komplikasyon riski yüksek olan (koroner kalma, anevrizmalar, bütünlük şartları) hastalar cerrahi kapama veya perktan yolla embolizasyon yapılarak kapatılmalıdır. Olgumuzda pulmoner hipertansiyon geliştiği için cerrahi endikasyon konmuştur.



Şekil 1. Apikal dört boşluk görüntü SPAB.



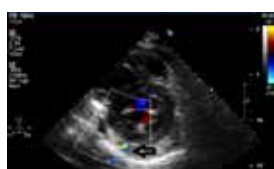
Şekil 2. Dilate koroner sintis.



Şekil 3. Kardiyak BT anjio 3 Boyutlu. Kalın siyah ok: LAD İnce siyah ok: CX Beyaz ok; anormal vasküler yapı.



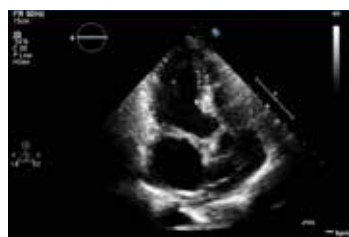
Şekil 4. Koroner fistül kısa aks.



Şekil 5. Koroner fistül kısa aks renkli doppler görüntüsü, siyah ok: fistül.



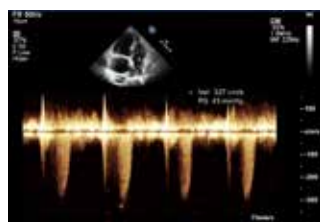
Şekil 3. Sag pulmoner arter distalinde multiple hidatik kistler.



Şekil 4. Sol ve sağ atrial kist hidatik (2015).



Şekil 4. 2004 yılında tespit edilen preoperatif sol ventrikül kist hidatik.



Şekil 5. 2015 yılında dispne ile başvuran hastanın TY üzerindeki artmış sistolik pulmoner basıncı.

OS-12

Kist hidatit embolizasyonuna sekonder gelişen pulmoner hipertansiyon

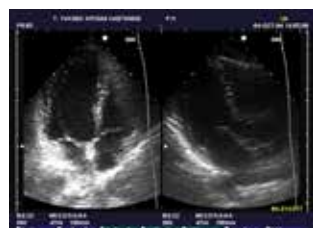
İdris Yakut, Yücel Kanal, Yeşim Akın, Senay Funda Dereagaçlı, Omaç Tüfekçioglu, Cemal Levent Birincioğlu, Hatice Şazmanz

Ankara Türkiye Yüksek İhtisas Hastanesi, Kardiyoloji Bölümü, Ankara

Giriş: Kist hidatit hayatı yetiştiğince fazla olduğu bölgelerde yoğunlaşmaktadır. Hastalık genellikle karaciğer ve aorti tutar ancak kalbe yerlesmesi nadirdir (%0.02 vakada). Sağ kalp kist hidatitlerinde pulmoner arteriyel embolizasyon ise nadir bir durumdur.

Vaka: 2004 yılında atipik göğüs yakınları ile hastanemize başvuran 60 yaşındaki kadın hastada, tetkiklerde sol ventrikül serbest duvarına yerleşmiş büyük kist hidatit saptandı. Hastaya sonrasında hastanemizde kist rezeksiyonu yapılmış hayat boyu albendazol profilaksi önerildi. Yaklaşık bir yıl sonra albendazol'e bağlı gelişen karaciğer fonksiyon testlerindeki bozulma sonucu albendazol tedavisi durdurulmuştur. Hastada 2015 yıl sonunda gelişen progresif efor dispnesi nedeni ile yapılan transtoraksik ekokardiografide sol atrium arkasında, sağ atriumda ve mediastinide yerleşmiş birden fazla, değişik boyut ve morfolojilerde hidatit kistleri izlendi. Triküspit yetmezliği üzerinden hesaplanan sistolik pulmoner arteriyel basınç 50 mmHg ve pulmoner yetmezlik üzerinden ortalamalı pulmoner basınç 29 mmHg olarak ölçüldü. Pulmoner basınç yükseltilüğünün nedeni hidatit embolizasyonu olarak düşünülderek pulmoner BT anjiyografi çekildi. BT de intrakardiyak, mediastinal ve sağ-sol pulmoner arterlerin distallerine doğru yerleşme gösteren lümeni parsiyel obstrüktö eden çok sayıda hidatit kist izlendi. Grup IV pulmoner hipertansiyon kabul edilen hastaya kist rezeksiyonu ve pulmoner endarterektomi planlandı. Ancak operatif riski yüksek olması nedeniyle hasta operasyonu kabul etmedi bu nedenle tekrar anti-paraziter tedavi başlandı.

Tartışma: Kist hidatit endemik bölgelerinden gelen hastalarda açıklanamayan atipik kardiyak yanıklarda kardiyak kist hidatit düşünmek gereklidir. Özellikle kalbin sağ tarafı kistlerinin komplike olarak pulmoner arteriyel yatağa embolize olmasının prognostik önemi mevcuttur, bu yüzden tanı ve tedavi önem kazanmaktadır. Kalbin sağ tarafı kist hidatitlerinde pulmoner basınç da yüksek saptanmış ise tanıda pulmoner BT anjyo değerlidir.



Şekil 1. 2004 sol ventrikül kistektomi sonrası.



Şekil 2. 2Pulmoner BT anjiyografi. Intrakardiyak, mediastinal ve sağ-sol pulmoner arteriyel embolize olmuş kistler.

OS-13

Percutaneous treatment of pulmonary arteriovenous malformation

Hasan Arı, Tahsin Bozat, Mehmet Melek, Berat Uğuz, Ahmet Tütüncü, Veysi Can, Selma Arı, Gökhan Özmen, Kubra Doğanay, Burcu Çavlan, Mustafa Kimik, Çağlar Koç, Sari İslamailler

Department of Cardiology, Bursa Yüksek İhtisas Training and Research Hospital, Bursa

Pulmonary arteriovenous malformations (PAVMs) are abnormal direct communications between a pulmonary artery and pulmonary vein, resulting in an intrapulmonary right-to-left shunt. PAVMs can be simple (consist of a single feeding vessel and a nonseptated aneurysmal sac with a single draining vein) or complex type (consist of multiple feeding arteries, multiple draining veins, and septated arteriovenous connections). Complex PAVMs constitute approximately 10% of these lesions. Most of the cases are associated with hereditary hemorrhagic telangiectasia. There is another group of cases where no obvious cause is found, thus classifying them as idiopathic. Physiologic consequences depend on the degree of right-to-left shunt and include hypoxemia, dyspnea, and cyanosis. PAVMs predispose to complications of paradoxical systemic embolization, including stroke and brain abscess. We report a case of a patient affected by a large idiopathic PAVMs on the right lung.

Case: A 23-year-old male patient admitted to our clinic with complaints of fatigue and shortness of breath. On physical examination, clubbing was detected, in the PA lung x-ray an opacity increase in right paracardiac area viewed (Figure 1). The arterial oxygen saturation was 90%, hemoglobin 18.9 and Hct 56.8. Pulmonary multislice CT showed multiple PAVMs at the right inferior lobe of lung (Figure 2). Pulmonary angiography showed complex type PAVMs (Figure 3). The PAVMs of the right inferior lobe of lung was occluded with 3 Amplatzer Vascular Plaque II (18 mm, 10 mm, 8 mm) (Figure 4). After the procedure we showed that the arterio venous flow has decreased (Figure 5). The procedure was performed under unfractionated heparin treatment and endocarditis prophylaxis. The patient was discharged in good clinical condition, on clopidogrel 75 mg/day and acetylsalicylic acid 100 mg/day for six months. Endocarditis prophylaxis was recommended to the patient if an interventional or surgical procedure was performed.

Conclusion: Occlusion with the use of vascular plaque is the treatment of choice and is safe and effective in experienced hands for PAVMs. Collateralization and recanalization may occur, so long follow-up is important. Antibiotic prophylaxis for procedures with a risk of bacteremia is recommended in all patients with PAVM.



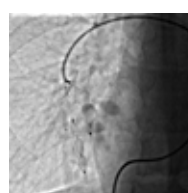
Şekil 1. Clubbing of hand and foot fingers.



Şekil 2. A: Multislice CT image of pulmonary AVM anterior view B: Multislice CT image of pulmonary AVM posterior view.



Şekil 3. Pulmonary angiographic view of AVM.



Şekil 4. Fluoroscopic view of occlusion devices.



Şekil 5. Angiographic view of pulmonary AVM after device occlusion.

OS-14

Step up approach overcoming warfarin resistance by increasing daily dose up to 90 mg

Hüseyin Göksülkü, Yusuf Atmaca, Nil Özyüntü, Memmed Memmedov, Semih Öztürk, Çetin Erol

Department of Cardiology, Ankara University Faculty of Medicine, Ankara

Resistance to warfarin has been described as the inability to prolong the prothrombin time or raise the international normalized ratio (INR) into the therapeutic range. Patients who need more than 105 mg per week (15 mg/day) should be considered warfarin-resistant.

Case presentation: A 37-year-old woman, who had mechanical mitral valve replacement surgery 2 years ago, presented to our clinic with ineffective INR level. Warfarin treatment had been started after surgery but INR could not be raised to the effective level with the maximum dose of 15 mg/daily. The patient was followed up for 2 years with this treatment (average INR:1.2). Because of the subtherapeutic INR level, subcutaneous LMWH therapy was started 2 months ago. Patient was referred to our hospital for analyzing of the warfarin resistance. Mechanical mitral valve evaluated with TTE and reported as normal without any thrombus and leaflet dysfunction. Her warfarin dose was continued with 20 mg/daily (INR:1.14) and up-titrated progressively (until to a maximum of 50 mg per day) but she failed to reach a therapeutic INR level (1.48). We eliminated acquired causes of warfarin resistance with a dietary history and blood examination. In order to explain the molecular basis of underlying warfarin resistance, the VKORC1 and CYP2C9 gene analysed using PCR. Gene analysis was reported as VKORC1-1173T (1173C/T) polymorphism and CYP2C9 1*1* genotype in the patient. Warfarin dose requirements didn't increase in these genotypes. Her warfarin dose was progressively increased, when the daily drug dose reached to 90 mg with an INR level of 3.12 (Figure). After this dose INR increased to 6.35 and warfarin dose was decreased gradually. At the end of the drug dose titration and INR level adjustment, INR was stay a stable level between 2.5-3.2 with a constant warfarin dose of 37.5 mg/weekly on follow up.

Discussion: Warfarin resistance is uncommon and reporting with the 0.1% prevalence on the patients who are under warfarin treatment. Warfarin resistance categorizes as acquired or hereditary. Acquired causes of warfarin resistance may result from different situations: nonadherence to therapy, high intake of vitamin K, diminished absorption of warfarin, increased clearance, drug interactions. The first inherited warfarin resistance was reported in the 1960s. However, VKORC1 gene mutations has been determined recently as underlying mechanism. Recent studies have shown that genetic polymorphisms of CYP2C9 (metabolize predominantly S-warfarin, the more active enantiomer) and VKORC1 have major contributions to the variability in warfarin dose and response in the context of hereditary resistance. Several mutations in CYP2C9 (CYP2C9*2 and CYP2C9*3) affect the clearance and dose requirement. With the clinical factors (e.g.age,weight) and genotype information (VKORC1, CYP2C9), optimizing warfarin dose has clinical importance in patients with mechanical valve replacement as in our patient.

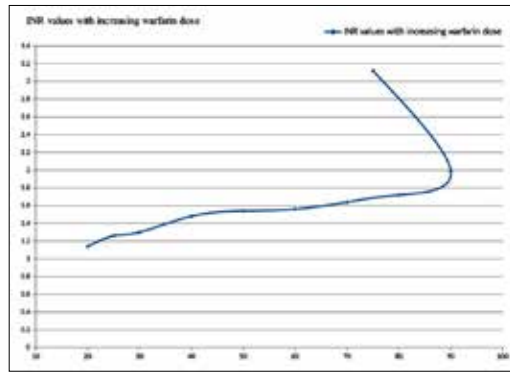


Figure 1. INR-warfarin dose.

to use a transient cardiac pacemaker via transfemoral venous access but transient lead could not able to reach right ventricle (RV) from femoral vein approach. After femoral venography was performed, we saw an unknown left sided IVC which continued with persistant left SVC and both two drained via CS to RA, only right SVC to RA directly. An external transient cardiac pacemaker used to increase cardiac beat until urgency DDD generator have been exchanged. Also we saw the PLSVC and LSIVC both draining to aneurysmatic CS as seen femoral venography.Otherside an aberrant hepatic vein seen directly to right atrium at CT angiography that could not detect on femoral venography. Various procedures involving the right side of the heart, such as electrophysiologic studies, right heart catheterization and temporary pacing have need for ready access to the IVC via the transfemoral approach. Unexpected anatomic anomalies of the IVC can make these procedures difficult. PLSVC is the most common thoracic venous anomaly with a prevalence of 0.3-0.5% in the general population. Left-sided IVC is relatively less prevalent (0.2-0.5%) compared with PLSVC.In any suspected patient, venous imaging is therefore required to define the pattern of cardiac venous return at central venous catheter placement prior to use of their device. Permanent pacemaker and cardioverter-defibrillator implantation on patients with PLSVC can also become complicated because of difficulties reaching to the target by the anomalous venous anatomy and problems with lead instability and displacement. In our case although he had a 5 years-old DDD cardiac pacemaker because of right subclavian vein access used at implantation there was no knowledge about LSIVC and PLSVC concomitance. 5 year ago if left subclavian vein access was preferred instead of right subclavian vein, the interventionist had been faced an unexpected failure or complication. Because of this possibility, venography before an intervention will success all procedure safety and beware of complications.



Figure 1. Coronary sinus aneurysm is spotted with arrow.

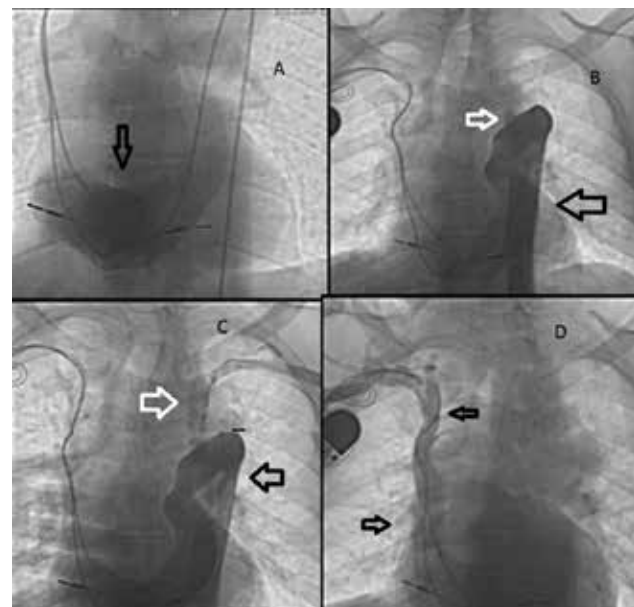


Figure 2. A: Dilated CS sown with black arrow; B and C: PLSVC and LSIVC become a combination and drained to CS; D: Right SVC shown on venography drained to RA and leads inside.

Girişimsel kardiyoloji / Kapak ve yapışal kalp hastalığı

OS-15

Persistent left superior vena cava and left sided inferior vena cava coincidence with coronary sinus aneurysm: surprise on transient cardiac pacemaker implantation

Emre Özdemir, Sadık Volkan Emren, Cem Nazlı, Mehmet Tokaç, Nihan Kahya Eren

Department of Cardiology, İzmir Katip Çelebi University Atatürk Training and Research Hospital, İzmir

Systemic venous anomalies without other congenital heart defects are usually asymptomatic and found out incidentally and always during a vascular interventions or other surgeries. At the time coronary sinus (CS) dilatation is a well-known reason of persistent left superior vena cava (PLSVC) and can detect on echocardiography, left sided inferior vena (LSIVC) draining to PLSVC is a rare cause for CS dilatation. These anomalies of the major veins always detects while an interventional access needed to reach right side of the heart. Venography performing is necessary to be sure about the unexpected anatomic variations before vascular interventions. A 60 years-old man had a 5 years-old DDD cardiac permanent pacemaker with sick sinus syndrome indication admitted to emergency department with syncope, AV total block was detected on ECG. Telemetric communication could not succeed and pacemaker generator was accepted as EOL. We decided



Figure 3. CT venography-angiography A: Left sided IVC; B:cardiac pacemaker leads in right SVC; C: Left persistent SVC; D: IVC posed on the left of the aorta.



Figure 4. An aberrant hepatic vein draining directly to right atrium detected at CT.

OS-16

Endovascular repair of aorta and bilateral common iliac artery aneurysms using GORE Excluder iliac branch endoprosthesis

Erkan Yıldırım¹, Uygur Çağdaş Yüksel¹, Murat Celik¹, Barış Buğan², Yağın Gökoğlan¹, Salim Yaşa¹, Suat Görme¹, Mustafa Köklü¹, Hasan Kutsi Kabull¹, Cem Barçın¹

¹Department of Cardiology, Gülhane Training and Research Hospital, Ankara

²Department of Cardiology, Çorlu State Hospital, Tekirdağ

Introduction: The applicability of standard EVAR in AAA has been challenged by involvement of the common iliac arteries (CIA). Usually, the endovascular approaches include embolization and endoluminal stenting of one or both internal iliac artery (IIA) in order to create a distal landing zone. However, the IIA embolization may result in erectile dysfunction, buttock or thigh claudication, paraplegia, and sphincter dysfunction. To address these issues, several endovascular strategies have been proposed to preserve at least 1 internal iliac artery. We herein report a treatment of bilateral CIAA by GORE iliac branch endoprosthesis (IBE), subsequent embolization and covering of the contralateral IIA.

Case: An 76-year-old man was admitted with an asymptomatic infrarenal aortic aneurysm of 58-mm diameter accompanied by aneurysm of the bilateral common iliac arteries (right CIA=37 mm; left CIA=33 mm) (Fig. 1). Given the age and comorbidities the patient was scheduled for endovascular treatment with GORE EXCLUDER IBE. Our strategy was placement of an IBE device at the right side and sacrificing the left IIA by the Amplatzer Vascular Plug (AVP) and covering it to prevent backflow from left the internal iliac artery. The procedure was performed under conscious sedation and local anesthesia. After intravenous application of 5,000U of heparin, the common

femoral arteries were punctured using introducer sheaths of appropriate size. Embolization of the left IIA was performed by ipsilateral approach. The introducer sheath was positioned in the IIA over a stiff guidewire to provide sufficient support through tortuous anatomy. The AVP device was deployed in the main trunk of the left IIA using the pull back technique as recommended (Fig 2). Afterwards the first step for IBE procedure was the positioning of a femoro-femoral through wire with a snare. The IBE component was introduced over a 0.035 stiff guide wire and "through-and-through" wire, and deployed 10 mm above the right internal iliac origin. A 12F and 45-cm length sheath was crossed over for catheterization of the right IIA. It was advanced over the "through-and-through" wire and placed at the level of the side branch. A 0.035 short tip stiff guide wire was introduced inside 12F sheath, and internal iliac component was advanced over the wire and deployed in the ipsilateral internal iliac artery. After successfully deployment of the IBE, a standard Excluder device is placed to the abdominal aorta via the contralateral site and connection with using a bridging stent with the IBE component was performed. The angiography confirmed the complete exclusion of right CIAA and the absence of endoleak (Fig 3). Postprocedural BT (Fig 4) The patient had left sided buttock claudication first 30 days after the procedure, however it disappeared during follow-up.

Conclusion: IBE seem to be a feasible and safe procedure in the treatment of aortoiliac aneurysm, maintaining the patency of IIA and reducing the risk of pelvic complications.



Figure 1. Preoperative 3D CT-angiography demonstrated a distal abdominal aortic aneurysm of a 58-mm diameter accompanied by a 37-mm and 33-mm aneurysm of the right and left common iliac artery respectively.



Figure 2. Angiogram after Amplatzer Vascular Plug 4 deployment to left internal iliac artery showing a good result.

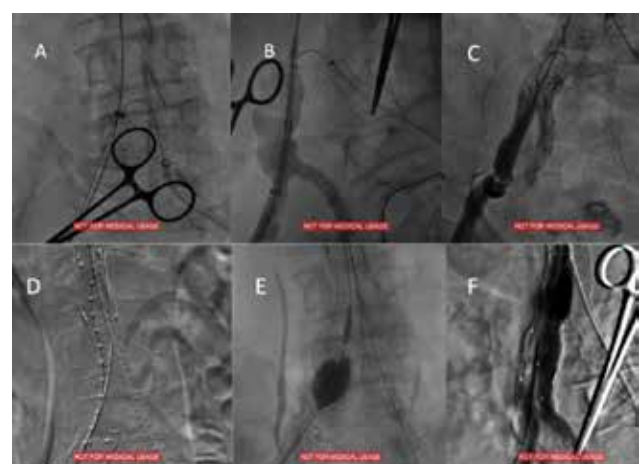


Figure 3. Deployment steps. (A) Bifemoral access with a 16F (IBE side) and 12F sheaths. The first step is the positioning of a femoro-femoral through wire with a snare. (B) Angiography performed to visualize the origin of the internal iliac artery. IBE component loaded on the aortic wire and the femoro-femoral through wire and partially deployed with the internal branch 10 mm above the internal iliac origin. (C) Deployment of the internal iliac component according to the landmark on the stent graft and IIA bifurcation. (D) Standard Excluder device is placed to the abdominal aorta via the contralateral site. (E) After deployment of the excluder stent graft, connection with a bridge between the IBE component and the aortic stent graft. (F) Completion angiography with exclusion of the aneurysm and patency of the left IIA.

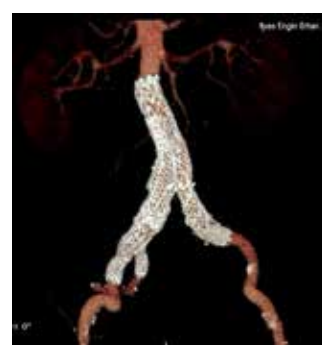


Figure 4. Postprocedural 3D BT angiography demonstrated the complete exclusion of both iliac aneurysms without signs of endoleak and patency of the right internal iliac artery. IBE=iliac branch endoprosthesis.

OS-17

New access site for coronary angiography: Snuff box

Emrah Bayam¹, Regayıp Zehir¹, Can Yücel Karabay², Khagani Isgandarov¹, Kenan Toprak¹

¹Department of Cardiology, Kartal Koşyolu Yüksek İhtisas Training and Research Hospital, İstanbul

²Department of Cardiology, Dr. Siyami Ersek Chest, Cardiovascular Surgery Training and Research Hospital, İstanbul

Coronary angiography and percutaneous coronary artery intervention are important tools for the diagnosis and treatment of coronary artery disease. Nevertheless both technical and pharmacologic advances, bleeding and vascular complications remain problematic. Coronary angiography and percutaneous coronary artery intervention can be done via transradial, transfemoral, or transbrachial access. With recent trials supporting the safety and decreased bleeding risk associated with the radial approach, radial access has become more popular. Recent studies demonstrate a trend toward improvement in outcomes of death and myocardial infarction, whereas previously, the data only supported decreased bleeding, early ambulation, and improved patient satisfaction. These information will increase the number of operators choosing this approach as their default. Herein; a case was reported where coronary angiography was performed by puncturing through the radial artery snuff box (fovea radialis). A 55-year-old man was interned for coronary angiography with a diagnosis of stabl angioplasty. The patient had diabetes mellitus and hypertension. He was obese and could not sleep with her back for a long time due to herniation of the disc. Therefore, angiography was planned from the radial artery rather than the femoral artery. Radial angiography was done by puncture through the snuff box region, considering that it may be more comfortable and safe for the patient. The medial border (ulnar side) of the snuff box is the tendon of the extensor pollicis longus. The lateral border (radial side) is a pair of parallel and intimate tendons, of the extensor pollicis brevis and the abductor pollicis longus. The proximal border is formed by the styloid process of the radius. Deep to the tendons which form the borders of the anatomical snuff box lies the radial artery, which passes through the anatomical snuff box on its course from the normal radial pulse detecting area, to the proximal space in between the first and second metacarpals to contribute to the superficial and deep palmar arches. Radial angiography from the snuff box allows for easier palpation and puncturing, less risk of neuropathy, bleeding and less compression after the procedure. As a result, it may be preferable to perform the procedure from the snuff box in patients who are planned for radial angiography because of the safer, easier, and lesser risk of complications.

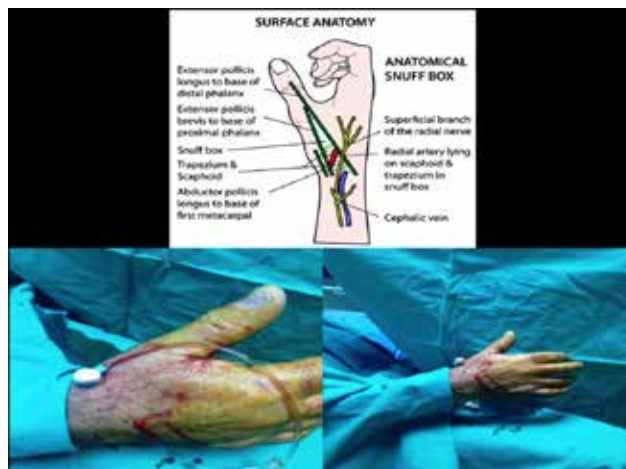


Figure 1.

OS-19

Akut inferiyor miyokard infaktüsüne yol açan floppy wire ile düzelen nitrat direncili koroner vasospazm olgusu

Murat Akçay¹, Serkan Yüksel¹, Mustafa Yenerçağ², Metin Çoksevin¹, Ahmet Yanık², Göksel Dağışan³, Özcan Yılmaz¹

¹Onokur Mays Üniversitesi Tip Fakültesi, Kardiyoloji Anabilim Dalı, Samsun

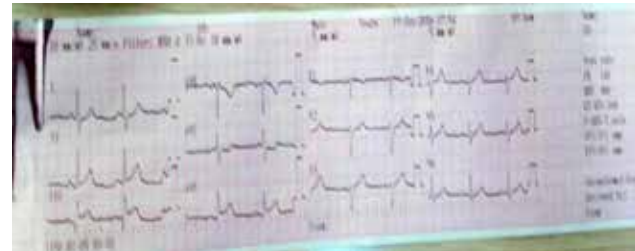
²Samsun Eğitim ve Araştırma Hastanesi, Kardiyoloji Kliniği, Samsun

³Ordu Medikalpark Hastanesi, Kardiyoloji Bölümü, Ordu

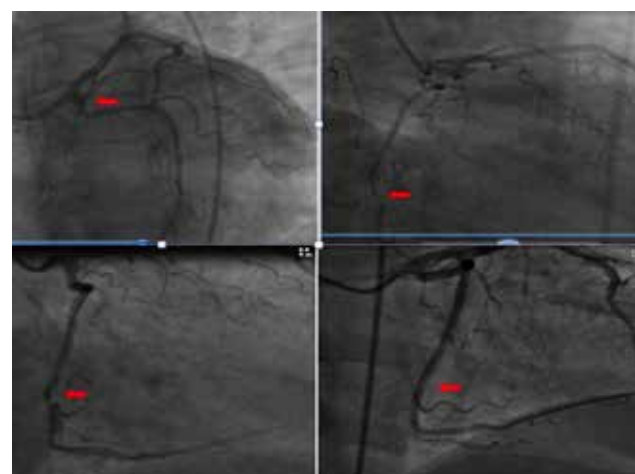
Giriş: Akut miyokard enfarktüsünden patofizyolojide temel olarak, aterosklerotik plaqin yırtılma-
siyla trombus oluşumu ve damar tıkanıklığıyla sonuçlanan kompleks süreç gelir. Ancak emosyonel
stres, anksiyete, sigara, kokain gibi farklı faktörlerle tetiklenen dirençli koroner vazospazm da
enfarktüse yol açabilmektedir.

Olgu: 48 yaşında bayan hasta, emosyonel stres sonrası başlayan 6 saatir var olan tipik vasitif
göğüs ağrısıyla hastanemize başvurdu. Fizik muayenesinde özelliğin saptanmadı. Koroner arter hastalığı risk faktörü olmayan hastanın EKG'sinde D2, I3, aVF ST-segment elevasyonu izlendi (Şekil 1). Laboratuarda cTn I değeri 6.5 ng/ml, kütte CK-MB 240 ng/ml yüksekliği dışında ek patoloji
saptanmadı. Ekokardiografinde EF %48, inferoposterior duvar hipokinetik izlenen hasta, inferiyor miyokard infarktüsü tanımlı koroner anjiyografie alındı. Koroner anjiyografide sirkümleks arter proksimal ve distalinde darlık izlendi. Spazm olabileceği düşününlerek tansiyonu 110/60
mmHg olan hastaya, 200 mcg nitrogliserin intrakoronar olarak 3 kez tekrarlandı. Darlıkların devam ettiği görüldü. Distal darlığından percutan girişimin ardından değerlendirildiği hastada, floppy wire (CholICE, Boston Scientific®) ile proksimal ve distal darlıklar geçildikten sonra, darlıkların sisitemde düzleşdi, spazm olduğu görüldü (Şekil 2, Video 1). İşlem sonlandıktan sonra, göğüs ağrısı tekrarlamayan, sıkieti olmayan hastaya nifedipin, isosorbid 5-mononitrat, atorvastatin ve
asetsilsilik başlanarak önerilerle taburcu edildi.

Tartışma: Predispozan faktörleri olan hastalarda özellikle genç bayanlarda koroner iskemiye yol açan koroner vazospazm akılda bulundurulmalıdır. Spazmin dinamik yapısından dolayı yüksekk doz nitrat, kalsiyum kanal blokerleri, diagnostik kateterin geri alınıp beklenmesi vb. manevralarla spazmin düzeldiği olgular literatürde mevcuttur. Olgumuz nitra yanızıt olup, floppy wire ile koroner spazmin ve darlıkların düzleşmesi sıra dışıdır. Koroner vazospazm ile aterosklerotik darlık ayrimı açısından dikkatli olunmalı, vazospazm şüphesi devam eden olgularda ayrim netleştirilene kadar perkutan koroner girişimden kaçınılmalıdır.



Şekil 1.



Şekil 2.

OS-20

Protez mitral kapak hastasında eş zamanlı sağ ve sol koroner sistem embolisinin neden olduğu ST segment elevasyonlu miyokard enfarktüsü

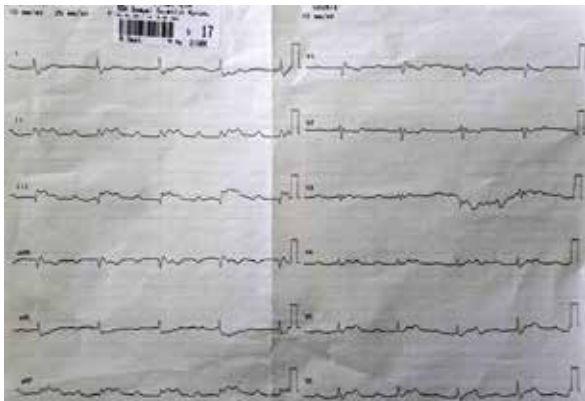
Serhat Şürcü¹, Süleyman Sezai Yıldız¹, Kudret Keskin¹, Büket Bambul Sigirci², Kadriye Küçükmez¹

¹Şişli Hamidiye Etfa Eğitim ve Araştırma Hastanesi, Kardiyoloji Kliniği, İstanbul
²B.B. İstanbul Eğitim ve Araştırma Hastanesi, Patoloji Kliniği, İstanbul

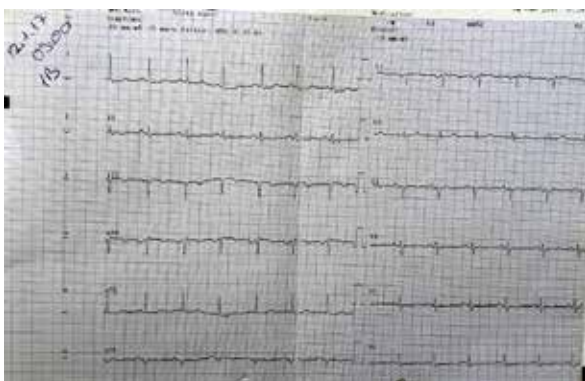
Giriş: Protez kalp kapaklarında tromboembolik olaylar majör morbidite ve mortalite nedenlerindendir. Antikoagulan tedavi alan bu hastalarda sistemik embolizasyon nadir bir komplikasyon olup (yılda 0,5-1,7), embollerin çoğu serebrovasküler olay semptomları ile kliniğe yansımaktadır. Bir burada, sistemik embolizm olmaksızın aynı anda bilateral koroner embolinin yol açtığı ST segment elevasyonlu miyokard enfarktüsü olgusunu sunduk.

Vaka: 50 yaşında kadın anı gelişen angina ve sonrasında gelişen halsizlik, kusma, bayılma sıkı-
yeti acil servise girdi. Bilinc bulanıklığı olan hastaya romatizmal kapak hastalığı nedeniley
4 yıl önce protez mitral kapak replasmanı yapıldığı öğrenildi. 2 gündür Warfarin kullanmadığı
öğrenilen hasta, soluk, terli ve dispneik görünümündeydi. Monitörde nabız 50/dk, TA: 70/40 mmHg
oldu. EKG' de atrioventriküler (AV) tam blok, DII, DIII ve AVF de ST segment elevasyonu
izlenen hasta Akut Inferior Miyokard İnfarktüsü tanısı ile Klopidoğrel 600 mg ve Asetsilsilik asit (ASA) 300 mg yüklemesi yapılarak kateter laboratuvarına alındı. Koroner anjiyografide Left
Anterior Descending arterde özelik saptanmadı, Circumflex (Cx) arter O obtuse Marginal 1 (OM) de
hızızasının total tıkalı izlendi. Right Coronary Artery (RCA) osteaden total tıkalı izlendi.
RCA floppy tel ile geçildi, trombus aspirasyonu ile büyük bir trombus aspire edildi. RCA'da TIMI
III akım izlendi ve bir plak olmadığı görüldü. AV blok düzelti ve nabız 80/dk izlendi. Sonra Cx
lezomyo floppy tel geçirildi, ardışık trombus aspirasyonu ile Cx'de TIMI III akım izlendi. Cx arterde
de plak lehine değerlendirilebilecek imaj görülmeli ve hasta koroner yoğun bakım ünitesine nakle-
dirildi. Geliş INR değerinin 1,5 olduğu görüldü. Sistemik muayenesinde emboli bulgusu olmayan
hastanın kranial tomografisinde özelik saptanmadı. Hastaya Warfarin 7,5 mg/gün, ASA 100 mg/
gün, Klopidoğrel 75mg/gün ve Enoksaparin 0,8 2x1 tedavisi düzlenendi. Transtorasik ve Transö-
stegial ekokardiografiye Ejeksyon Fraksiyonu %55 izlendi, mitral kapakta herhangi bir trombus
imajı ve fonksiyon bozukluğu rastlanmadı. 3. yılında 7,5 mg/gün warfarin ile INR nin 2,5 olduğu
görüldü. Aspirasyon materyalinin mikroskopik incelemesinde yoğun fibrin demetleri arasında kan
elementlerinin olduğu görüldü. Mikroskopide yağ hücreleri izlenmemesi de koroner arterde plak
ruptürü olduğunu destekledi. Ek probleme karşılaşılması hastada 6. yılında Klopidoğrel 75mg/
gün + ASA 100mg/gün + Warfarin 7,5 mg/gün tedavisi ile tabure edildi.

Tartışma: Protez kapak tombüstünün başka hiçbir sisteme embolizasyon olmadan aynı anda hem sağ hem de sol koroner sistem embolizasyonun görülmemesi oldukça ilginçtir. Biz literatür araştırmamızda böyle bir vaka ile karşılaşmadık. Ayrıca protez kapak hastalıklarında görülen akut koroner sendromda öncelikle koroner embolizm düşünülmelidir. Bu hastaların çoğu alta koroner arter hastalığı olmadıkları için işlem trombus aspirasyonu ile başlamak gereksiz anjioplasti uygulamalarının öntine geçebilir.



Şekil 1. Geliş elektrokardiogram. Atrioventriküler tam blok ve D2, D3 AVF'de ST segment elevasyonu.



Şekil 2. İşlem sonrası elektrokardiogram. Sinüs ritmi, ST segmentleri izoelektrik hatta döndü.



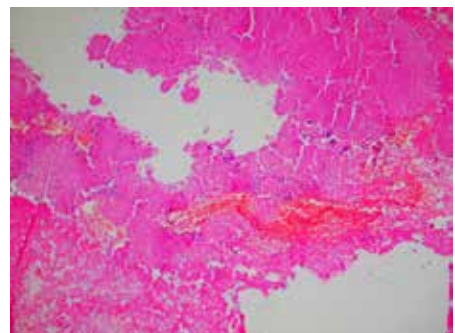
Şekil 3. Koroner anjioografi 1. A: RCA ostealden total tikali B: CX mid bölgeden total tikali.



Şekil 4. Koroner anjioografi 2. A: Trombus Aspirasyonu Sonrasında RCA'da TIMI III Akım B: Trombus Aspirasyonu Sonrasında CX'de TIMI III Akım.



Şekil 5. Trombus Aspirasyon Materyali. RCA ve CX Trombus Aspirasyonu ile Gelen Trombusler.



Şekil 6. Trombus Aspirasyon Materyali Mikroskopisi. Yoğun Fibrin Demetleri Arasında Kan Hücreleri.

OS-21

Kronik tam tikali sağ koroner arter girişimi sırasında nadir görülen bir komplikasyon: Aortokoroner diseksiyon

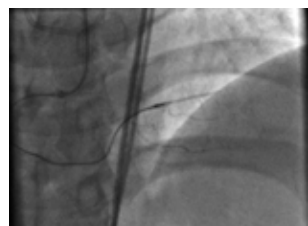
Murat Tulmac, Ercan Aydýnlýmaz, Hamza Sunman, İlkin Gülyev, Tolga Çimen, Sadık Açıkel
Ankara SB Dışkapı Yıldırım Beyazıt Eğitim ve Araştırma Hastanesi, Kardiyoloji Kliniği, Ankara
Kronik total oklüzyon (KTO), girişimsel kardiyolojideki tedavisi en zor lezyon tiplerinden biridir. Artan operatör deneyimi, yeni teknikler ve kılavuz tel teknolojisindeki gelişmeler işlem başarısını ve uzun dönem damar açılığını artırmaktadır. Bununla birlikte KTO'nun perkütan revaskülarizasyon başarısı daha düşük, ekipman maliyeti, radyasyon maruziyeti ve total olmayan lezyonlara uygulanan PKG'ye göre restenoz oranları daha fazladır. Ayrıca komplikasyon oranları da KTO olmayan lezyonlara göre daha fazladır. Bu olgu sunumumda KTO revaskülarizasyonu sırasında nadiren karşılanan bir komplikasyon özetlemeye çalışılmıştır. 46 yaşında diyet ve hipertansiyon öyküsü olan kadın hasta, yeni başlayan tipik göğüs ağrısıyla acil servise başvurmuş. Yapılan tektiller sonucunda ST-yükselmesiz miyokard enfarktüsü tanısıyla koroner yoğun bakıma kabul edildi. Koroner anjiografisinde sol önen arterinde (LAD) %70-80 darlık, sirkümpleks arterinde plaklar ve sağ koroner arterinde (RCA) %100 tıkanıklık saptandı. RCA distal soldan retrograde doluyordu. Hastaya öncelikle cerrahi revaskülarizasyon önerildi. Ancak hastanın cerrahî kabul etmemesi nedeniyle akut koroner sendromdan sorumluluğu düşünen LAD darlığı perkütan yolla revaskülarize edildi. RCA lezyonu KTO olarak düşünüldü ve iskemi varlığında revaskülarizasyon planlandı. 2 ay sonra yapılan miyokard perfüzyon sintigrafisinde inferior duvarda anamlı iskemi tespit edilmesi üzerine RCA KTO lezyonuna perkütan girişim planlandı. Girişim öncesi yapılan koroner anjiografisinde LAD stentinin açık olduğu izlendi. LAD'ye 6F sol judkins tanısal kateter konduktumda sonra RCA ostiumuna 7F sağ judkins kılavuz kateter yerleştirildi. Mikrokata ter desteğiyle (Corsair, Asahi) Fielder XT ve Sion BluES (Asahi) teller kullanılarak lezyon geçildi. 2,0x30 mm ve 2,5x30 mm semi-komplian (Artimes) balon ile lezyon predilate edildi. Takiben 2,5x18 mm everolimus salınımlı (Xience, Abbott Vascular, CA) stent implant edildi. 2,75x15 mm non-komplian balon ile post dilatasyon yapıldı. Daha sonra RCA ostealinde aortaya uzanım gösteren diseksiyon izlendi. Bunun üzerine ikinci bir 2,75x38 mm everolimus salınımlı (Xience) stent osteale implant edildi. Diseksiyonun sınırları görtürerek hasta takibe alındı. Hastaya toraks bilgisayarlı tomografik (BT) anjioografi yapıldı ve RCA ostium bölgesinde milimetrik diseksiyon olduğu ve distale uzanım göstermediği belirlendi. Ekokardiyografsinde minimal perikardiyal effüzyonun artışı olmaması ve hastanın hemodinamik olarak stabil olması nedeniyle kalp-damar cerrahisiyle ortak olarak öncelikle medikal takip planlandı. Hastanın yaklaşık bir haftalık takibinde iskemik değişikliği olmadığı, hemodinamik olarak seyretti ve perikardiyal mayisinde artışı olmadığı kontrolde. Hasta optimal medikal tedavi ile taburcu edildi. Hasta üçüncü ay kontrolünde asemptomatikti.



Şekil 1. RCA anjiosu.



Şekil 2. Lezyonun geçirilmesi.



Şekil 3. Lezyonun geçilmesi 2.



Şekil 4. Predilatasyon.



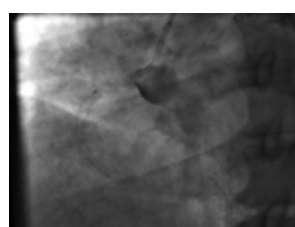
Şekil 5. Stent implantasyonu.



Şekil 6. Stent sonrası poz / diseksiyon.



Şekil 7. Diseksiyon görüntüsü.



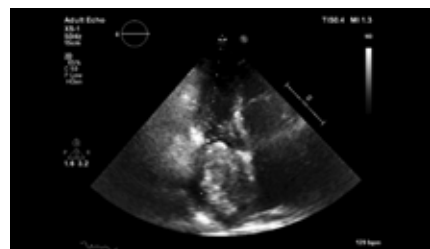
Şekil 8. RCA osteale stent yerleştirilmesi.



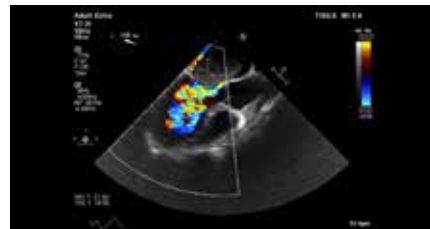
Şekil 9. CT görüntüleri.



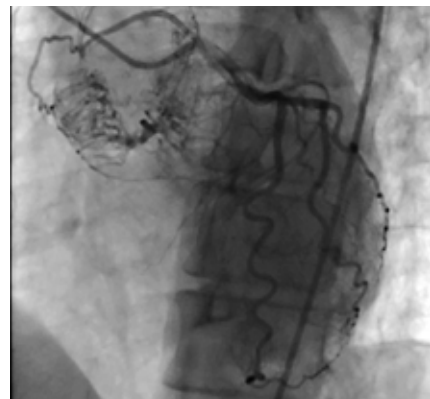
Şekil 10. REKO.



Şekil 1. Transözofageal ekokardiyografi sol atriyumu dolduran, litik alanlar içeren kitleyi göstermektedir.



Şekil 2. Transözofageal ekokardiyografi renkli doppler incelemesi mitral kapakta obstrüksiyona yol açan sol atriyal kitleyi göstermektedir.



Şekil 3. Koroner anjiyografi sirkumfleks arterden kanlanan sol atriyal kitle imajını göstermektedir.

Kardiyak görüntüleme / Ekokardiyografi

OS-22

Sol atriyumda obstrüksiyona yol açan primer kardiyak tümör: Malign mezenkimoma

Edebe Betül Börklü¹, Muhammed Keskin², Görkem Ayhan¹, Tolga Sinan Güvenç¹, Hülya Kaşkıcıoğlu¹

¹Dr. Siyami Ersek Göğüs, Kalp ve Damar Cerrahisi Eğitim ve Araştırma Hastanesi, Kardiyoloji Kliniği, İstanbul
²Sultan Abdülhamid Han Eğitim ve Araştırma Hastanesi, Kardiyoloji Kliniği, İstanbul

Kardiyak tümörler nadirdir ve primer tümörler sekonder olurlarla göre çok daha az görülür. Primer kardiyak tümörlerin çoğunluğunu başta atrial miksoma olmak üzere benign tümörler oluştururken primer malign tümörler oldukça azdır. 49 yaşında kadın hasta hastanemizde son 1 yıldır olan ve giderek artan nefes darlığı şikayetiyle geldi. Fizik muayenede özelliğin saptanmayan hastaya tamisal amaca yapılan transtoraksik ekokardiyografide (TTE) sol atriyum (LA) içerişinde LA'yi dolduran ve mitral kapakta maksimum 14 mmHg, ortalama 6 mmHg gradient oluşturan kitle izlendi. Kitlenin yerlesimini ve sınırlarının daha iyi değerlendirilebilmesi amacıyla yapılan transözofageal ekokardiyografide (TOE) LA içinde LA arka duvarından orjin aldığı düşünülen 5x4 cm çapında nonhomojen, yer yer litik alanlar içeren düzgün yüzeyli kitle imajı saptandı (Şekil 1, 2). Kardiyak manyetik rezonans incelemesi kitlenin sağ inferior pulmoner vena uzanlığı görüldü. Hastaya operasyon öncesi yapılan koroner anjiyografide kitlenin sirkumfleks arterden kanlandığı gözlandı (Şekil 3). Miksoma olduğu düşünüldüğünde kitlenin rezeksiyonu sonrası yapılan patoloji incelemesinde osteoid değişiklikler gösteren malign mezenkimoma olduğu saptandı. Primer sekonder tümör ayırımı açısından yapılan pozitron emisyon tomografisi/bilgisayarlı tomografisi (PET/BT) metastaz lehine bulgu saptanmaması üzerine kitlen primer kardiyak tümör olarak kabul edildi. Hastaya radyoterapi (RT) ve kemoterapi (KT) uygulandı. Klinik açıdan stabil olan hasta kardiyoloji ve onkoloji tarafından takip ediliyor. Primer kardiyak tümörler nadirdir ve genellikle yumusak doku tümörlerinden meydana gelir. Nadir olması nedeniyle bu tümörlerle ilgili veriler genel olarak vaka bildirimlerinden elde edilmiştir. Sıklığı az olsa da ölümcül seyretmesi nedeniyle cerrahi olarak tam rezeksiyon yapılması tedavinin en önemli basamağı olmaktadır. Küratif rezeksiyon sonrası RT ve KT konusunda net bir veri bulunmamaktadır.

Kardiyak görüntüleme / Ekokardiyografi

OS-23

Paravalvular septal abscess

Görkem Kug¹, Nermine Bayar², Zehra Erkal², İsa Öner Yüksel², Göksel Çağrıncı², Erkan Kökü², Selçuk Küçükseymen², Gamze Yeten Korkmaz², Şakir Arslan²

¹Department of Cardiology, Ağrı State Hospital, Ağrı

²Department of Cardiology, Antalya Training and Research Hospital, Antalya

28-year-old male patient was admitted with shortness of breath and weakness. His past medical history is remarkable for rheumatic heart valve disease for which he underwent mechanical aortic valve replacement. Mobitz type 2 atrioventricular block was detected in the admission electrocardiogram (ECG), however there was no any block on his old ECGs. On transthoracic and trans-esophageal echocardiography, compatible views with septal-like paravalvular abscess and severe aortic regurgitation were revealed (Figure 1, 2, Video 1-2). Left ventricular size and function were within normal limits. Re-operation has been suggested to hemodynamically stable patient. This case was presented due to remind the relationship between new-onset AV block and abscess formation, also demonstrative echocardiographic images.



Figure 1. Transesophageal echocardiography showing paravalvular abscess (aortic short axis).



Figure 2. Transesophageal echocardiography showing paravalvular abscess (aortic long axis).

OS-24

A rare cause of left ventricular mass: cardiac hemangiomaCihan Altın¹, Hakan Güllü², Ziya Gökalp Bilgel²¹Department of Cardiology, Başkent University Faculty of Medicine, Izmir Hospital, Izmir²Department of Cardiology, Başkent University Faculty of Medicine, Adana Hospital, Adana

Introduction: Cardiac hemangiomas are rare tumors of the heart and mostly documented as isolated case reports in literature. Herein we present a case with cardiac hemangioma which is a extremely rare cause of left ventricular mass.

Case: A 56-year-old woman was referred to our cardiology clinic for a left ventricular mass. She had been suffering from palpitation for 3 months. She had no known cardiac or systemic disease. On transthoracic echocardiography; 2.0x2.0 cm³ hyperechoic, rounded, mobile mass with clear borders protruding and swinging within the left ventricle cavity were detected (Fig. 1). Left ventricular size and function were normal. There were no valve pathologies except mild mitral regurgitation. Transesophageal echocardiography revealed a homogenous round mass with a pedicle in originated in anteroseptal wall of left ventricle (Fig. 2). On thorax computed tomography scan there was no other pathology. For further evaluation; cardiac magnetic resonance imaging was performed and showed an isointense round mass with diameter of 2.3x2.1x1.6 cm³ in anteroseptal wall of the left ventricle (Fig. 3). Preoperative coronary angiography revealed normal coronary artery and tumor blush (septal branches were feeding the tumor) (Fig. 4). Patient was operated, the mass measured 2.3x1.5x1.0 cm³ with its pedicle completely excised (Fig. 5). Pathological diagnosis was hemangioma. She was discharged with no complication on postoperative 5th day. On follow-up; there was no evidence of recurrence in 6 months after the surgery.

Discussion: Because echocardiography has become a popular examination tool, the incidence of cardiac masses has recently increased. Although cardiac hemangiomas are usually diagnosed incidentally, it may result in outflow tract obstruction, coronary insufficiency, or congestive heart failure. Clinical presentation may vary according to the location, size, and extension of the tumor. Symptoms are usually due to compression of cardiac structures or obstruction of outflow tracts. Tumors located in the interventricular septum which is near to atrioventricular node, may cause arrhythmias or sudden cardiac death. In the differential diagnoses of cardiac masses; in addition to primary or metastatic cardiac tumor, thrombus, myocardial cyst, and vegetation should be kept in mind. Coronary arteriography can confirm the diagnosis by showing the characteristic findings of cardiac hemangioma; "tumor blush" which highlights the vascular nature of the tumor. The natural history of cardiac hemangiomas is unpredictable. Surgical resection is treatment of choice due to its unpredictable natural course. Although recurrence was reported in limited case, postoperative long-term outcome is favorable. In our case, patient was asymptomatic without any evidence of echocardiographic recurrence at 6-month follow-up.

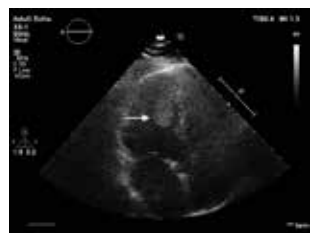


Figure 1. Preoperative transthoracic echocardiographic image showing a hyperechoic, rounded, mobile mass.



Figure 2. Preoperative transesophageal echocardiographic image showing a homogenous round mass with clear borders protruding and swinging within the left ventricle cavity.

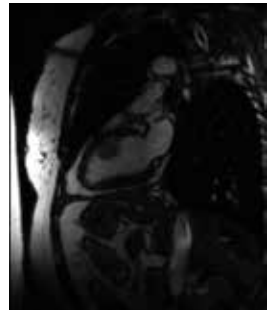


Figure 3. Preoperative magnetic resonance image of mass.



Figure 4. Preoperative coronary angiography showing the characteristic findings of cardiac hemangioma; "tumor blush" which highlights the vascular nature of the tumor.



Figure 5. Image of excised cardiac mass.

OS-25

A right ventricular mass presented with ventricular tachycardiaEdibe Betül Börklü¹, Duygu Inan¹, Ayça Gümüşdağ¹, Aylin Şafak¹,Muhammed Keskin², Özlem YıldırımTÜRK¹¹Department of Cardiology, Dr. Siyami Ersek Chest, Cardiovascular Surgery Training and Research Hospital, İstanbul²Department of Cardiology, Sultan Abdülhamid Han Training and Research Hospital, İstanbul

Cardiac tumors are rare and most of them are metastatic (secondary) tumors. Right ventricular (RV) masses are also rare and generally diagnosed incidentally during imaging studies. A 53 year-old female patient presented with symptomatic ventricular tachycardia (VT) (Figure 1). Because of the patient was hemodynamically stabil on admission we try medical cardioversion for VT with amiodarone. However medical cardioversion was failed and electrical synchronized cardioversion was performed. Bedside transthoracic echocardiography (TTE) revealed right ventricular mass extending to the right atrium (RA). In order to obtain detailed information about mass transesophageal echocardiography (TEE) was performed. The imaging showed a nonhomogeneous mass with multiple lytic areas filling the almost all RV cavity and extending to RA by invading the septal leaflet of tricuspid valve. There was severe tricuspid regurgitation due to invasion of tricuspid valve. The short axis view of TEE showed that the mass surrounds the aortic annulus (Figure 2). There was no invasion of neighboring structures of the left sinus of Valsalva. On the other hand the ostium of right coronary artery could not be observed because of the mass invasion which explains the mechanism of VT. Contrast enhanced abdominal and thoracic computed tomography and positron emission tomography was performed for further investigation. All imaging studies showed multiple pathological lymphadenopathies in cervical, mediastinal and abdominal regions which made us consider the primary diagnosis was lymphoma. We offered the patient resectional biopsy from cervical region. But the patient refused the biopsy and she died in a few weeks due to rapid clinical deterioration. TTE which was performed 2 days before the patient's death showed increased volume of the mass (Figure 3, 4). Instead of cardiac tumors are rare, they have high mortality rate. Malignant masses in RV and RA are often asymptomatic and when they are diagnosed, disease is usually in advanced stage. Early diagnosis of primary tumor and application of suitable treatment combination with possible surgical resection of mass are key points of disease management.

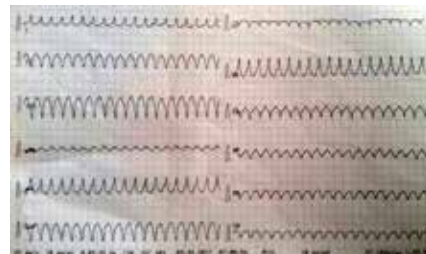


Figure 1. Electrocardiogram shows ventricular tachycardia caused by right ventricular mass.



Figure 2. Transesophageal echocardiography shows the right ventricular mass surrounding the aortic annulus.



Figure 3. Transthoracic echocardiography shows the huge mass filling the right heart cavities.



Figure 4. Transthoracic echocardiography shows right ventricular mass surrounding the aortic annulus from short axis view.

OS-26

Left atrial wall vegetation after dental procedure

Türkan Seda Tan Kurklu, İrem Dinçer, Demet Menekşe Gerece Uludağ, Nazlı Turan, Nil Özyüntü, Mustafa Kılıçkap, Hıseyin Göksültük, Çetin Erol

Department of Cardiology, Ankara University Faculty of Medicine, Ankara

Infective endocarditis (IE) is a mortal disease. Despite improvements in its management, IE remains associated with high mortality and severe complications. Antibiotic prophylaxis is highly recommended for patients with any prosthetic valve, including a trans catheter valve, those in whom any prosthetic material was used for cardiac valve repair, the ones with a previous episode of IE with congenital heart disease (CHD), or any type of cyanotic CHD. Native valves such as MVP, however, are not recommended when dental procedures are planned.

Introduction: 2015 infective endocarditis guideline recommends prophylaxis for high risk patients for a guideline specified procedure. But infective endocarditis prophylaxis is not recommended for functional valve diseases such as mitral valve prolapses.

Case: A 33-year-old patient was admitted to our hospital with loss weight and persistent fever for two months. He is controlled annually for mitral valve prolapses with moderate mitral regurgitation. The patient had reviewed dental root canal procedures two months ago. After these procedures, his symptoms had begun. Transthoracic echocardiography demonstrated vegetation near the mitral valve but could not show the exact place. So, we examined trans oesophageal echocardiography. TEE demonstrated mobile vegetation held on the lateral left atrium through the anterior mitral leaflet. And also, we examined eccentric mitral regurgitation through the lateral left atrium which is the same place as vegetation. Six blood culture bottles on presentation all grew *S. sanguinis* (alpha haemolytic streptococcus) which is a member of the strep. viridans family associated with normal oral flora. After 3 days, his fever stopped but he felt some weakness on his left arm. After neurology consultation, he had a cranial MRG. MRG demonstrated a haemorrhagic embolic area (septic emboli?). Through the haemorrhagic cranial area cardiac surgery was found highly risky because of using intraoperative anticoagulation therapy. A week later the patient felt left epigastric pain. After abdominal CT examinations, splenic infarction was demonstrated. Emergency TEE was found and neither vegetation nor mass was seen. Six weeks later we decided to finish the antibiotic therapy. After last TEE control the patient was discharged from the hospital.

Discussion: Our patient has MVP and wasn't given prophylaxis before the dental procedure. He had neither immunodeficiency nor hematological malignancy. And also, any immunologic disease was found. A population based study has shown that, MVP patients with moderate mitral regurgitation or flail leaflet are notable risk of developing infective endocarditis as compared to those without mitral regurgitation. Our case has MVP with moderate mitral regurgitation accordingly he has high risk within MVP patients. Our case is rare infective endocarditis case due to low risk for infective endocarditis. And also, a rare case for vegetation area.



Figure 1. Eccentric mitral regurgitation.



Figure 2. Mobile vegetation through the anterior mitral leaflet.



Figure 1. Transthoracic echocardiography showing dilated coronary sinus (Panel A) and coronary sinus opacification before right atrium after agitated saline injection from both right and left arm (Panel B) (RA: right atrium, RV: right ventricle, CS: coronary sinus).

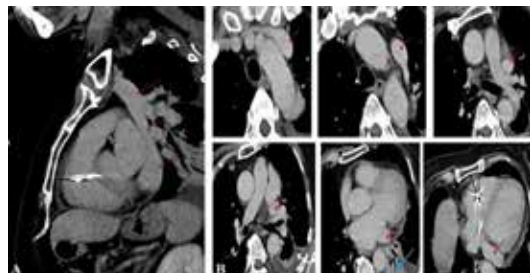


Figure 2. The sagittal oblique reformatted CT image demonstrates the drainage of persistent left superior vena cava to coronary sinus. (Panel A, arrows). Axial CT images show the absence of right SVC and the drainage of persistent left SVC to coronary sinus (red arrows). There is also left pleural effusion (white arrow) and left lower lobe atelectasis (blue arrow) (Panel B).

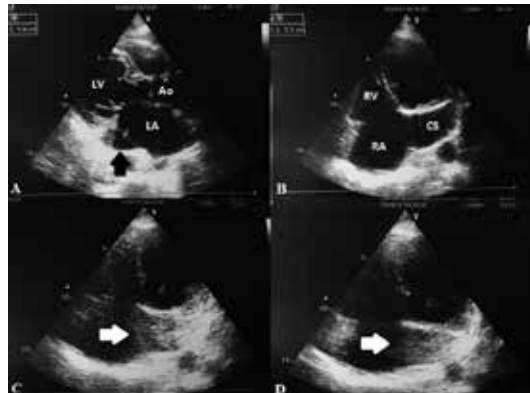


Figure 3. Transthoracic echocardiography parasternal long axis view (Panel A, black arrow) and apical view (Panel B) showing dilated coronary sinus and coronary sinus opacification before right atrium after agitated saline injection from both right and left arm (Panel C-D, white arrows) (LA: left atrium, LV: left ventricle, RA: right atrium, RV: right ventricle, CS: coronary sinus).

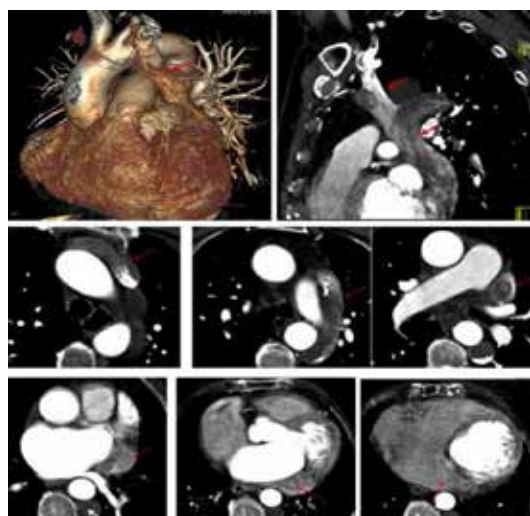


Figure 4. The three-dimensional volume rendered CT image and sagittal oblique reformatted CT image shows the persistent left superior vena cava and axial contrast enhanced CT image shows absence of right superior vena cava (SVC) and the venous drainage via left sided SVC (red arrow) and azygous venous system.

OS-27

Two cases with persistent left superior vena cava with absence of right superior vena cava

Ümut Kocabas¹, Gülgün Vaiç², Güzün Zekika³, Selen Bayraktaroğlu³

¹Department of Cardiology, Edremit State Hospital, Balıkesir

²Department of Cardiology, Lefkoşa State Hospital, Lefkoşa, Kıbrıs

³Department of Radiology, Ege University Faculty of Medicine, İzmir

Introduction: Persistent left superior vena cava (PLSVC) affects 0.3%–0.5% of the population. PLSVC with absence of right SVC (isolated PLSVC) is an extremely rare venous anomaly. Isolated PLSVC is generally asymptomatic and it is an incidental finding while performing invasive procedures or non-invasive imaging. This report presents two cases illustrating isolated PLSVC.

Case 1: A 63-year-old woman presented to outpatient clinic with recurrent syncope episodes. The 12-lead electrocardiogram showed high-grade atrioventricular block with a rate of 42 bpm. In transthoracic echocardiography, the coronary sinus (CS) was dilated (CS ostium size: 27 mm) (Figure 1, Panel A) and patient has undergone contrast echocardiography with prediagnosis of PLSVC. Saline administration was done through left brachial vein and CS opacified just before right atrium. Also, agitated saline injected from right brachial vein that showed opacification of CS before right atrium (Figure 1, Panel B). Computed tomography showed the absence of right SVC and the drainage of PLSVC to CS (Figure 2, red arrows).

Case 2: A 61-year-old woman presented to outpatient clinic with symptoms of shortness of breath and palpitation. Transthoracic echocardiography revealed dilated CS (CS ostium size: 32 mm) (Figure 3, Panel A-B) and agitated saline injected from both right and left arm that showed opacification of CS before right atrium (Figure 3, Panel C-D). Computed tomography and three-dimensional reconstruction images showed absence of right SVC and the venous drainage via left sided SVC and azygous venous system (Figure 4, arrows).

Discussion: PLSVC is present in 0.3% of the general population and in 4.3% of congenital heart disease. Isolated PLSVC occurs in only 10–20% cases of PLSVC. PLSVC can be incidentally detected during right heart invasive procedures. However, PLSVC may cause technical difficulties during cardiac device implantation. Thus, patients should be observed carefully before intervention and should be suspected with an abnormally dilated CS. Contrast echocardiography is the most easy and useful technique for the evaluation of PLSVC and computed tomography venography will confirm the diagnosis.

OS-28

Coral reef aorta as an extremely rare cause of secondary hypertension

Bilge Sentürk¹, Ebru Özpelit¹, Hatice Özdamar¹, Aytaç Gülcü²,
Aylin Özgen Apaydın¹, Bahri Akdeniz¹

¹Department of Cardiology, Dokuz Eylül University Faculty of Medicine, Izmir

²Department of Radiology, Dokuz Eylül University Faculty of Medicine, Izmir

A 71 year old woman was admitted to emergency department because of severe dyspnea and was diagnosed as hypertensive pulmonary edema. Her blood pressure was 230/140 mmHg on admission. After the acute management in ED including noninvasive mechanical ventilation she was transferred to cardiology clinics. The physical examination after clinical stabilization included, 2/6 systolic murmur on aortic focus and also 3/6 systolic murmur on back both in thoracic and abdominal regions. During hospitalization period antihypertensive therapy was upgraded including valsartan – hydrochlorothiazide, furosemid, spirinolactone, nebivolol, amlodipine and doxazosine. She was investigated for secondary hypertension causes. Biochemical parameters including creatinin and electrolyte levels were all in normal range. Renovascular Doppler USG was also normal. Computed tomography showed diffuse calcification of descending aorta, both in thoracic and abdominal levels. Calcified plaques in aortic walls were protruding into the lumen causing significant obstruction (Figure 1). The minimal cross sectional area of aorta was 7 mm² in thoracic region and 5 mm² in abdominal region just below the level of renal artery ostaea. Internal mammary arteries were significantly enlarged and there were collaterals between internal mammary and epigastric arteries. The radiologic appearance of the aorta was diagnosed as ‘coral-reef aorta’ which was an extremely rare pathology. Coral reef aorta (CRA) is a rare disease characterized by atherosclerosis, calcification, and stenosis of the abdominal aorta, being described as rock-hard calcifications in the visceral part of the aorta. These calcifications often resemble the growths of hyperplastic bone, though abnormalities in serum calcium are not found. Actually our patient's serum calcium level was also normal. This disease entity was first described in 1984 with a series of nine patients with obstructive lesions of the suprarenal aorta, which they named “coral reef aorta” because the lesions resembled those oceanic structures. It is estimated that fewer than 200 cases of CRA have been reported in the literature worldwide since 1984. The exact etiology of the disease is not clear. The major clinical presentations are severe hypertension, heart failure, visceral ischemia and intermittent claudication. The patients in literature undergone either surgery with graft replacement and endarterectomy or endovascular balloon angioplasty. However in our case, the extensive nature of the severe calcifications did not permit any intervention that the patient was followed conservatively. The case reported here is of particular relevance because it documents that visceral aortic tight stenosis might be responsible for severe hypertension. Early diagnosis and management is important because the disease is progressive in nature and such delays may lead to a prohibitive state for any intervention.

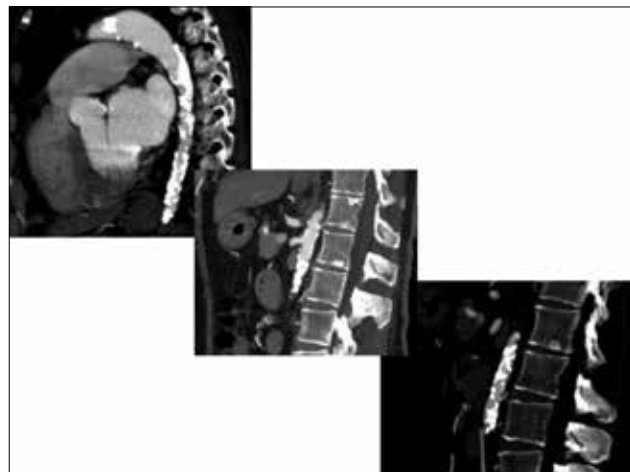


Figure 1. BT angiography, coral reef aorta.

Aritmi / Elektrofizyoloji / Pacemaker / CRT-ICD

OS-29

Pacemaker implantation in dextrocardia with congenitally-corrected transposition of the great arteries: A report of three cases and a literature review

Örcün Çiftci¹, Ersin Doğanözü¹, Keremcan Yılmaz¹, Mustafa Yılmaz²,
İlyas Atar¹, Mehmet Bülent Özün¹

¹Department of Cardiology, Başkent University Faculty of Medicine, Ankara

²Department of Cardiology, Başkent University Faculty of Medicine Adana Research and Application Center, Adana

Introduction: Dextrocardia is a rare anomaly defined as right-sided thoracic localization of the heart. It occurs with different anatomic variations, namely situs inversus, situs solitus, and situs ambiguous that define the localization of internal organs and heart chambers relative to their usual locations. Other cardiac anatomic and morphological anomalies including congenitally corrected transposition of great arteries (C-TGA) frequently accompany dextrocardia. C-TGA, alone or with dextrocardia, is highly complicated by AV conduction disease both before and after corrective surgery, necessitating permanent pacemaker implantation. Since dextrocardia, both alone and with

Aritmi / Elektrofizyoloji / Pacemaker / CRT-ICD

C-TGA, is a rare condition, most operators are unfamiliar with pacemaker implantation in this condition. We herein aimed to report three cases with dextrocardia accompanied by C-TGA undergoing PM implantation and to provide a discussion of the relevant literature.

Patient data: Patient 1: A 13-years-old girl was diagnosed situs inversus dextrocardia (Figure 1) and received a left Blalock-Taussig shunt. At the age of 5 years, at which time her pulmonary stenosis was addressed, the ventricular septal defect closed (Rastelli operation), and an epicardial pacemaker (VVIC) was placed on the epicardial surface of the non-systemic, morphological left ventricle. At the age of 10, her pacemaker elective replacement indicator activated and replacement of the pulse generator with concurrent endocardial pacemaker lead implantation was planned. A bipolar ventricular pacing lead with atrial sensing capability was placed at the apex of the morphological left ventricle via active fixation with systemic venous entry from the left-sided subclavian vein (Figure 1A). The electrocardiogram (ECG) after pacemaker implantation is shown in Figure 1B. Patient 2: A 12-years-old boy with situs inversus dextrocardia underwent surgery for the Rastelli procedure at 3 years of age. A single-lead epicardial ventricular pacemaker was placed on the epicardial surface of the non-systemic ventricle. At the age of 8 years, the epicardial pulse generator was depleted and surgically removed, and transvenous pacemaker implantation was scheduled. An active endocardial pacemaker lead was advanced from the right-sided subclavian vein and implanted at the interventricular septum via active fixation (Figure 2A). The ECG after pacemaker implantation is shown in Figure 2B. Patient 3: A 5-years-old boy underwent Rastelli operation, which consisted of VSD closure and placement of a pulmonary conduit to relieve the pulmonary stenosis. Two weeks later, he was referred to our clinic for unresolved episodic complete AV block after the operation. A single chamber pacemaker was placed into a left-sided prepectoral pacemaker pocket, and a single active ventricular lead was passed to the morphological left ventricular apex via the left-sided subclavian vein (Figure 3A). The ECG after pacemaker implantation is shown in Figure 3B.

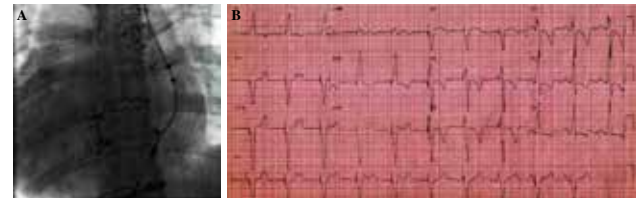


Figure 1. Patient 1: A: Final position of the pacemaker lead in the morphological left ventricular apex, shown by the superimposition of the final fluoroscopic image of the lead on the schematic drawing of the patient's cardiac anatomy. B: 12-lead electrocardiogram taken after pacemaker implantation with right and left arm leads reversed.

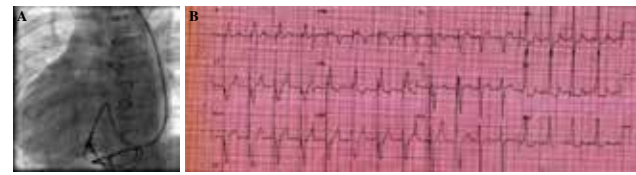


Figure 2. Patient 2: A: Final position of the pacemaker lead in the morphological left ventricular apex, shown by the superimposition of the final fluoroscopic image of the lead on the schematic drawing of the patient's cardiac anatomy. B: 12-lead electrocardiogram taken after pacemaker implantation with right and left arm leads reversed.

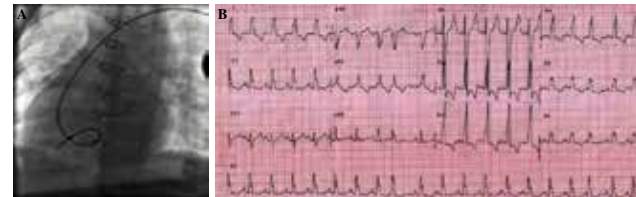


Figure 3. Patient 2: A: Final position of the pacemaker lead in the morphological left ventricular apex, shown by the superimposition of the final fluoroscopic image of the lead on the schematic drawing of the patient's cardiac anatomy. B: 12-lead electrocardiogram taken after pacemaker implantation with right and left arm leads reversed.

OS-30

Massive air embolism during pacemaker implantation and its successful treatment

Tuğçe Çöllioglu, Çetin Alak, Hüseyin Dursun, Dayimi Kaya

Department of Cardiology, Dokuz Eylül University Faculty of Medicine, Izmir

Introduction: Pulmonary artery air embolism (PAE) is a rare and potentially fatal complication of pacemaker implantation. Herein, we describe a case of massive PAE during cardiac resynchronization therapy with defibrillator (CRT-D) which was treated promptly.

Case Presentation: A 64-year-old male with a history of admitted our emergency room with ventricular tachycardia episode. He had a history of non-obstructive hypertrophic cardiomyopathy. ECG revealed complete right bundle branch block with a QRS duration of 150 msec. Transthoracic echocardiography showed thickened interventricular septum and posterior wall and a reduced ejection fraction of 30%. Coronary angiography revealed calcified plaque in the coronary arteries. We decided to perform CRT-D implantation. Three separate punctures from left subclavian vein were obtained. The sheath orifice was occluded by finger until the right ventricular lead was inserted. However the patient took a deep breath at this point which resulted shortness of breath, a blood pressure of 60/40 mmHg, and O₂ saturation of 65% that was dropped from 96%. As soon as we saw the massive air embolus in the main pulmonary trunk on the fluoroscopy (Figure 1), the pa-

tient was inhaled 100% oxygen with mask, given intravenous fluid in bolus, right ventricular lead implantation, noradrenaline administration and a 6 F sheath indwelled into right femoral vein for air aspiration. A 6 F pigtail catheter positioning into main pulmonary trunk was based on fluoroscopic guidance and air aspiration was repeatedly performed by 50 cc syringe. Air was successfully aspirated and disappeared in ten minutes by especially positioning the catheter at the level of pulmonary valves (Figure 2). The vital signs of patient improved.

Conclusion: PAE is entity with the potential for severe morbidity and mortality. The incidence is approximately 0.2%-1% following central line placement. As in our patient, the most common cause of PAE during pacemaker implantation may be snoring. Besides, decrease in central venous pressure associated with long time starvation might led to the development of PAE. Air aspiration should be required immediately when air lock in the RVOT occur. The multi-orifice and large luminal diameter catheter may also be useful and effective for air aspiration.



Figure 1. Fluoroscopy showing air embolus in the main pulmonary trunk.



Figure 2. Fluoroscopy showing air aspiration by pigtail catheter.

OS-31

Kırılmış bir VDD kardiyak pacemaker leadinin subklaviyen yolla perkutan çıkartılması esnasında, leadin vende sıkışması nedeni femoral yoldan kullanılan biyopsi kateteri ve snare ile tamamlanan işlem: Başarılı bir komplikasyon yönetimi

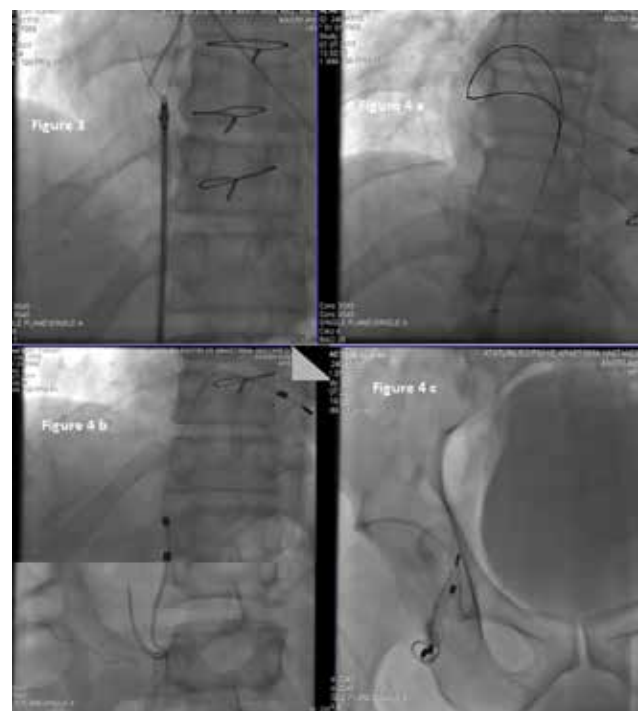
Emre Özdemir, Sadık Volkan Emren, Nihan Kahya Eren, Cem Nazlı, Mehmet Tokaç

İzmir Katip Çelebi Üniversitesi Atatürk Eğitim ve Araştırma Hastanesi, Kardiyoloji Kliniği, İzmir

Kardiyak pacemaker ve ICD'lerin kullanımındaki artış ile beraber gerekli durumlarda bu cihazların ve leadlerin çıkartılmasında perkutan ekstraksiyon yöntemleri, bu amaçla kullanılan mekanik dilatatörlerin, locking stilelerin gelişmesi ile popülerite kazanmıştır. Olgumuzda 35 yaşında Ebs-tain Anomaliyi olan ASD nedenli operasyon öyküsü ve intermittant AV tam blok nedenli VDD kardiyak pacemekeri olan erkek hastadır. Hastamız lead kırığı tanısı ile yatırıldı, perkutan olarak subklaviyen yoluyla lead ekstraksiyon kararı verildi. Pacemaker jeneratorü çıkartıldıkları ve pil cebi içindeki lead serbestleştirildikten sonra lead kırık olan yerinden kesilerek locking stile lead içerisinde koyulmaya çalışırken, lead operatörün elinden kurtularak subklaviyen vende sıkıştı. Pectoral bölgeden lead erişilemeyeceği anlaşılmıştır. Femoral vende giriştirek snare ile lead in proksimal ucu subklaviyen vende tutulmaya çalışıldı, ancak uç kısmı snare ile yakalanmadı. Bunu üzerine alışılmadık bir yöntem olarak biyopsi kateteri ile bu uç kısım, subklaviyen ven içinde tutulmaya çalışıldı, ikinci denemedi başarılı olarak snare ile femoral vende yakalanmıştır. Bu nedenle VDD lead in atriyal ve ventriküler coileri çekmenin etkisi ile ayrıldı. Bu olay üzerine daha fazla deformasyonun engellenmesi adına biyopsi kateteri çıkartıldıkların snare alındı, leadin en proksimal kısımından iki coil de bir seferde tutularak çekildi. İşlemi sonrasında kalp içinde hiç bir fragmanete parça, lead kalıntıları kalmadan tüm lead tek parça olarak snare ile femoral vende çıkarıldı. Perkutan lead ekstraksiyonları özellikle eski leadlerin çıkartılması esnasında lead kopmaları, damarsal veya kardiyak yaralanmalar gibi komplikasyonlara açıktır. Özellikle vasküler yada kardiyak yaralanmalar sonrası gelişen kanamalar hayatı sonucları söz konusu olabilir. Perkutan lead ekstraksiyonunun komplikasyon oranları operatör deneyimi ile çok ilişkili olup ortalama %1.4 oranındadır. Mekanik dilatatörler, locking stileler gibi yeni geliştirilen ateler, perkutan yolla lead çıkartmayı kolaylaştırmak beraber bunlar subklaviyen girişiminin başarılı olmaması yada leadin kırılması, kopması sonrası vasküler yapılar yada kalp içinde serbest yüzgen leadlerin çıkartılmasında yararlı olmaktadır. Bu amaçla Cook Medikal'a ait Neddle Eye Snare gibi özel cihazlar femoral yoldan kullanım için mevcut olup, farklı yöntem olarak bir pigtail kateter ya da ablasyon kateterinin lead etrafından geçirilip ucunun snare ile tutularak femoral vende çekilmesi söz konusu olmaktadır. Bizim vakamızda olduğu gibi leadin proksimal ucu, subklaviyen ven içine sıkıştırılmış lead biyopsi kateteri yoluyla kavranı coilerin ayrılması sonucu ise snare ile lead ucu tütümyle kavranaarak femoral vende çıktı. Bu gibi beklenmedik teknik problemlerin çözümünde rutin olmayan karmaşık teknikler operatör deneyimi ile birleştiğinde başarılı perkutan lead ekstraksiyon için yararlı olmaktadır.



Şekil 1, 2a, 2b. Şekil 1'de siyah okun olduğu yerde pilin çıkarılmadan önce lead kırığı görülmekte; Şekil 2a'da biyopsi kateteri ile leadin serbest ucu tutulmakta; Şekil 2b'de tutulan lead IVC ye kadar çekilmektedir.



Şekil 3, 4a, 4b, 4c. Şekil 3'de biyopsi kateteri ile lead çektilerken coilerin ayrılması sonrası; Şekil 4a ve 4b'de görüldüğü üzere snare ile serbest uç bir bütin olarak tutulmakta; Şekil 4c'de ise tüm lead femoral veden dışarı alınmaktadır.



Şekil 5. Şekil 5 de ise işlem sonunda içeride hiçbir artıgn kalmadığı izlenmiştir.

OS-32

Methemoglobinemia after pacemaker implantation

Ahmet Tütüncü, Alper Karakuş, Veysi Can, Sencer Çamcı, Gökhan Özmen, Selma Ari, Hasan Arı, Mehmet Melek, Tahsin Bozat

Department of Cardiology, Bursa Yüksek İhtisas Training and Research Hospital, Bursa

Methemoglobinemia, a rare complication of many pharmacologic and naturally occurring agents, is disorder of higher than normal level of methemoglobin (ferric $[Fe^{3+}]$ rather than ferrous $[Fe^{2+}]$ haemoglobin). 29 years old women patient admitted to hospital with fatigue and presencope complaints. She had not any medical history or medication. Her physical examination was normal. Heart rate was 42 beats/min. Electrocardiography (ECG) showed complete atrioventricular (AV) block (figure-1). After all there was not any systemic illness that explain AV block. As a result permanent pacemaker implantation was planned. 600 mg prilocaine (30 ml) was injected subcutaneously to left pectoral area. Pacemaker implantation area prepared and left subclavian vein puncture was done and DDD-R pacemaker implanted. During implantation she had dyspnea and tachypnea. She was taken to coronary care unit. The patient began to develop cyanosis (figure-2-left side). ECG showed pacemaker rhythm and heart rate was 140 beats/min (figure-3). No pericardial effusion was seen in transthoracic echocardiography. Pulse oximetry measured oxygen saturation (SaO_2) was 82%. PA chest graphy was normal (figure-4). Arterial blood sample was noted blood was chocolate Brown colour. Arterial blood gas analyzed pH: 7.36, SaO_2 : 98.7%, pO_2 : 183 mmHg, pCO_2 : 28.2 mmHg, $CHCO_2$: 17.9 mmol/L, $metHb$: 31.9% under masked O2 treatment. Methemoglobin levels was too high and clinical symptoms were seen. Intravenous 2 mg/kg methylene blue infusion in 5 minutes was given immediately. One hour later her cyanosis, tachycardia (figure-5) and dyspnea were resolved. MetHb 5.3% was measured in her control blood arterial sample. After one day, the patient was discharged healthy. Methemoglobin renders the hemoglobin molecule unable to bind oxygen and results in a left shift of the oxygen-hemoglobin dissociation curve. In

high level of metHb may cause cellular hypoxia. Standart pulse oxymetry is not reliable because absorbs both oxy and deoxyHb wavelengths. First line therapy of methemoglobinemia is supportive care and discontinuation of offending agent. Returning metHb back to its unoxidized state form of hemoglobin by reducing it with IV methylene blue. Methylene blue serve as cofactor for the enzyme NADPH metHb reductase. In this case, the characteristic brown chocolate colour blood and saturation gap (difference between oxygen saturation from a standard blood gas and pulse oximeter over 5%) and administration of prilocaine confirmed our diagnosis. Due to pacemaker implantation many complications could happened. In acute phase we should evaluate patients quickly and exclude the most possible complications step by step. First of all pericardial tamponade, pneumothorax, hemothorax, myocardial infarction, hematoma could be eliminated. Nearly all of invasive cardiac procedures local anaesthetic medications are applied. A rare complication like methemoglobinemia should not be forgotten.



Figure 1.

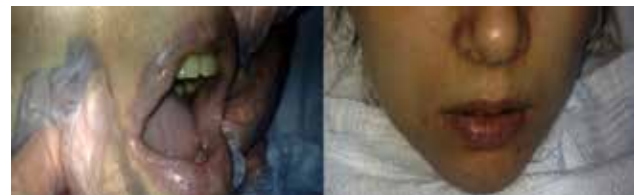


Figure 2. Left side central cyanosis right side after treatment of methemoglobinemia.



Figure 3. ECG after implantation of pacemaker.



Figure 4. Chest X-ray after pacemaker implantation.

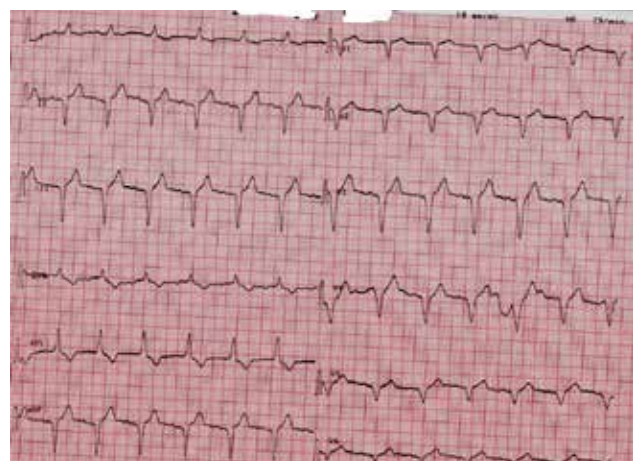


Figure 5. ECG after treatment of methemoglobinemia.

OS-33

Toxic methemoglobinemia cases due to local prilocaine use after permanent pacemaker implantation: a rare cause of cyanosis, is it really rare?

Gülşüm Meral Yılmaz, Murat Esin, Rauf Avcı, Göksel Çağrıçı, Şakir Arslan

Department of Cardiology, Antalya Training and Research Hospital, Antalya

Introduction: Methemoglobinemia is a rare and serious hematological disorder, can be a result of using oxidant drugs such as local anesthetics; prilocaine. To our knowledge, these 5 patients were the first reported series who developed methemoglobinemia due to prilocaine after permanent pacemaker implantation in the literature. We want to show the importance of this rarely seen condition or is it really rare?

Case: We performed 491 pacemaker implantations between January 2015 and June 2017 in our clinic. We are using a 1-2 mg midazolam bolus for sedation and 800 mg of prilocaine hydrochloride subcutaneous injection for local anesthesia into the left pectoral region as a standard protocol. Methemoglobinemia was observed in 5 cases after permanent pacemaker implantation (table-1). Clinically, patients were diagnosed with cyanosis, shortness of breath and low saturation, with exclusion of complications related to intervention after permanent pacemaker implantation and a high level of methemoglobin levels. One case (case-2) was anemia (Hb:10.7 g/dl). The time from the injection of prilocaine to the appearance of methemoglobinemia was approximately 240 minutes (150-360 min.). Patients' methemoglobin levels ranged from 11.8% to 28%, with an average of 15.74%. It was seen that case-2 with low hemoglobin level had the highest meth-hb level, had shorter duration of onset than the others and had lower saturation (79%) as measured by pulse oximeter. A prilocaine subcutaneous dose of 800 mg, a mean dose of 10.96 mg/kg (8.6-12.9 mg/kg) was observed as a standard regardless of the weight of the patient. All patients diagnosed with methemoglobinemia were treated successfully with intravenous 50 mg methylene for approximately 30 minutes, followed by an additional dose of 50 mg by arterial blood gas and methemoglobin measurement after 2 hours for 2 patients (case 2 and 4).

Discussion: Methemoglobin normal blood level is between 0% and 2%. Cyanosis occurs above 10% concentration; dyspnea, nausea, and tachycardia above 30%; lethargy and stupor from concentrations above 55%. Higher levels may cause cardiac arrhythmias, circulatory failure and neurological depression, while levels of 70% are usually fatal. The maximum safe dose of prilocaine in a normal healthy individual was reported to be 600 mg or 8 mg/kg. Methylene blue is administrated at a dose of 1-2 mg/kg IV slowly over 3-10 minutes for the first line treatment of methemoglobinemia. Ascorbic acid infusion is an alternate treatment. Our aim is to show that this complication may be more apparent than the suspicion, depending on the patient-related factors. As a result, the maximum dose of prilocaine used as a local anesthetic to prevent methemoglobinemia should not exceed 600 mg. If there is cyanosis and low saturation in the patient when using over the maximum dose, methemoglobinemia should be kept in mind after complications that may be seen after pacemaker implantation are eliminated.

Table 1. Cases of methemoglobinemia after permanent pacemaker implantation

	Case-1	Case-2	Case-3	Case-4	Case-5
Age	49	42	64	51	76
Gender	male	female	female	male	female
Weight (kg)	69	84	65	92	62
Creatine (mg/dl)	1,15	0,63	0,9	1,77	0,96
Hemoglobin (g/dl)	16,8	10,7	12	12,1	12,8
Prilocaine dose(mg/kg)	11,5	8,5	12,3	8,6	12,9
Time to meth.(min.)	150	150	360	180	360
Pulse oximeter(%)	90	79	88	84	83
Arterial blood gas pre-treatment/post-treatment					
pH	7,38/7,41	7,45/7,43	7,48/7,41	7,38/7,41	7,42/7,42
pCO ₂ (mmHg)	37,2/35,3	33,2/29,2	28/34,1	36,5/16,1	33,5/29
PaO ₂ (mmHg)	151/144	47,7/114	168/222	>109	58,1/93,6
SaO ₂ (%)	99/98,7	87,6/96,3	98,6/99,4	>99,5	95/99,5
Meth-Hb(%)	11,8/3,5	28/8,3	15,1/4,2	13,5/2,7	10,3/1,2
HCO ₃ (mmol/l)	22,6/23,6	23,7/21,4	23,4/22,7	20,6/13,5	22,9/20,7
Methylene blue dose(mg)	50	100	50	100	50
Pacemaker	ICD	DDD-R	DDD-R	DDD-R	DDD-R

OS-34

Inadvertent left ventricle endocardial or uncomplicated right ventricular pacing: How to differentiate?

Yalçın Velibey, Barış Yaylak, Tolga Sinan Güvenç, Koray Kalenderoğlu, Göksel Çinier, Özge Güzelburç, Özlem Yıldırımtürk

Department of Cardiology, Dr. Siyami Ersek Chest, Cardiovascular Surgery Training and Research Hospital, İstanbul

Temporary transvenous pacemaker implantation is an important and potentially life-saving intervention for emergency physicians that is commonly required in the emergency management of severe symptomatic brady-arrhythmias and for overdrive pacing of some life-threatening tachy-arrhythmias. Regular pacemaker rhythm can be achieved in spite of inadvertent implantation of the pacemaker lead into the left ventricle, thus leading to ignorance of the possibility of lead malposition. We present a case of inadvertent left ventricle endocardial pacing that was recognized 10 hours later. Present case illustrates the importance of careful scrutiny of the 12-lead ECG in identifying lead malposition. A 65-year-old female patient with hemodynamically instability and complete atrioventricular block underwent temporary pacemaker implantation via right jugular vein with electrocardiography guidance at the intensive coronary care unit. She had a history of hypertension and persistent atrial fibrillation for which she was prescribed metoprolol 50 mg q.d and warfarin 5 mg q.d. Routine laboratory tests were normal except increased international normalized ratio (INR was 4.5). During patient visit done approximately 10 hours after implantation, it was noticed that the ECG revealed right bundle branch block (RBBB) type paced QRS complexes (Figure 1). Therefore, ECG leads V1 and V2 were placed one interspace lower than standard, however, control ECG still revealed RBBB type pace rhythm. Bedside chest X-ray (posteroanterior view) showed very atypical intracardiac coursing of pacemaker lead suggesting a left ventricular site (Figure 2). Two dimensional transthoracic echocardiography at the bedside in the intensive care unit revealed the lead passing from left atrium into the left ventricle (Figure 3, Video 1). EF was 60%. Fluoroscopic imaging confirmed the atypical intracardiac coursing of pacemaker lead suggesting that the tip of the ventricular lead was located at the left ventricular apex (Figure 4 A). After the temporary pacemaker lead was inserted into the right ventricle transmurally under fluoroscopic guidance, lead in the left ventricle was extracted. (Figure 4 B). ECG obtained after the insertion of the pacemaker lead into the right ventricle demonstrated ventricular pacing with left bundle branch block pattern in D1 and aVL leads (Figure 5). After cessation of metoprolol and warfarin therapy, the patient had no block on the 4th day of hospitalization. Thus, the temporary pacemaker lead was withdrawn. Transesophageal echocardiography revealed secundumatrial septal defect (ASD) of approximately 8.1 mm (Figure 6, Video 2). We concluded that the pacemaker lead passed from right atrium to the left atrium through the ASD; extending further to the left ventricle from the left atrium. Because recurrent episodes of atrioventricular block occurred during follow-up, the patient underwent VVIR pacemaker implantation via left subclavian vein when INR was 1.6.

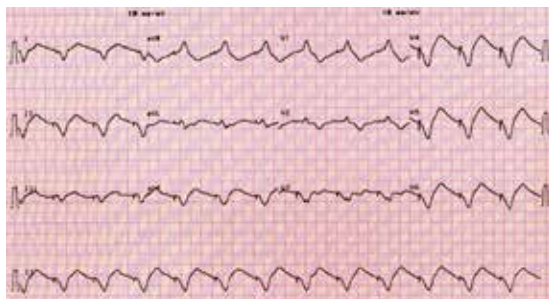


Figure 1. Post-implantation electrocardiography showing regular ventricular pacing with right bundle branch block pattern in V1 and V2 leads.



Figure 2. Bedside chest X-ray (posteroanterior view) showing very atypical intracardiac coursing of pacemaker lead suggesting a left ventricular site.

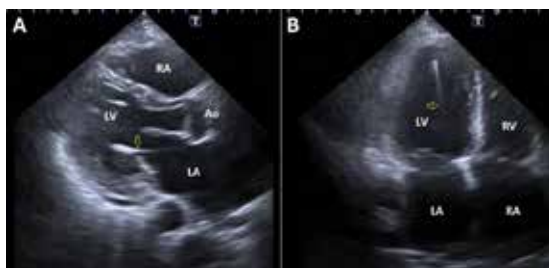


Figure 3. Two dimensional transthoracic echocardiographic imaging from parasternal long axis (A) and apical four chambers (B) views. Temporary pacing lead can clearly be seen passing from left atrium into the left ventricle. The tip of the ventricular lead is located at the left ventricular apex. Ao- Aorta; LA-left atrium; LV- left ventricle; RA- right atrium; RV- right ventricle.

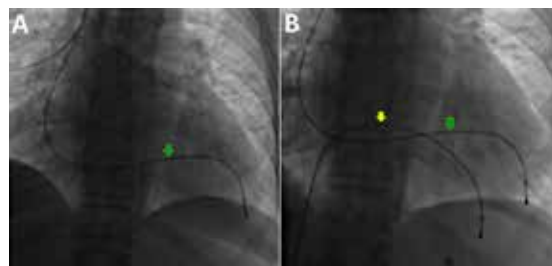


Figure 4. Posteroanterior fluoroscopic imaging. Panel A showing very atypical intracardiac coursing of the initial pacemaker lead suggesting a left ventricular site. Panel B clearly showing the position of both electrodes after implantation into the right ventricle.

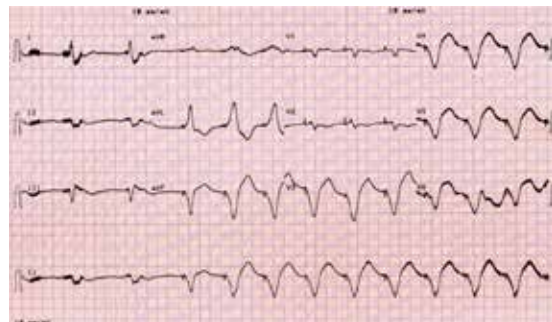


Figure 5. Electrocardiography obtained after implantation of the temporary pacemaker electrode into the right ventricle showing ventricular pacing with left bundle branch block pattern in D1 and aVL leads.

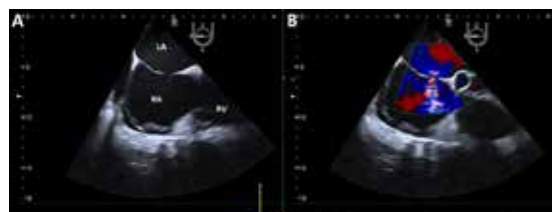


Figure 6. Two dimensional transesophageal echocardiography showing secundum atrial septal defect with a 8.1 mm size (A); and shunt from left atrium into the right atrium (B). LA-left atrium; RA- right atrium; RV- right ventricle.

OS-35

Şansız bir hastanın şanslı yönetilmesi: LV takılan trombüslü pace leadinin carotis filtre ile çıkarılması

Serdal Bastug¹, Abdullah Nabi Aslan¹, Yakup Alsançak¹, Hafize Çorut Güzel¹, Hüseyin Ayhan², Ahmet Kasapkara², Nihal Akar Bayram², Emine Bilen¹, Tahir Durmaz², Telat Keleş², Murat Akçay², Engin Bozkurt²

¹Ankara Atatürk Eğitim ve Araştırma Hastanesi, Kardiyoloji Kliniği, Ankara

²Yıldırım Beyazıt Üniversitesi Tip Fakültesi, Kardiyoloji Anabilim Dalı, Ankara

Kardiyak cihazların (kardiyak pacemaker, internal kardiyoveter defibrillator ve kardiyak resenkontrasyon cihazları) enfeksiyon, lead fonksiyon bozukluğu, venöz tromboz vb. nedenlerle son yıllarda giderek artan oranlarında çıkarılması gerekmektedir. Genellikle 1 yıldan daha kısa süre önce yerleştirilmiş cihazlar basit çekme yöntemi ile çıkarılabilirken, daha uzun olanlar fibröz kapsül olusunu, elektrodun endokarda yapısını nedenede mekanik çıkışları yardım ile çıkarılmaktadır. Pace veya ICD leadinin sol ventriküle yerleştirilmesi nadir görülen bir komplikasyondur, pace leadi atrial septal defekt, patient foramen ovale veya sinus venosus tip defekti gerekli LV yönelebilir. Sol ventrikül içinde olan pace özelliği sistemik emboli açısından risklidir. Olgumuz, 50 yaşında bayan hasta, hasta sinus sendromu tanısıyla klinikümüzde DDD-R Pacemaker takılan hasta işlemen 1 ay sonra iskemik CVO tanısı ile nöroloji klinikinde yatarak kardiy胚 embolik odağ açısından klinikimize danışılmış ve hastaya yapılan transtorasik ekokardiyografide pace lead LV de görülmüş. Hasta klinikimize devir alındı ve yapılan transesofageal ekokardiyografide lead üzerinde LV içinde trombus izlendi, hasta antikoagül edildi ancak kontrol te yapılan hastanın trombusundan erime izlenmedi ve hastaya carotis filtre kullanılarak pace revizyonu planlandı.

Yöntem: İşlem kateter odasında ve lokal anestezî altında yapıldı, pacemaker cebi usulune uygun ağıldı ve jeneratör çıkarıldı. Ardından elektrotlar serbestleştirildi ve bir stile ile elektrot lümeninin açık olup olmadığı kontrol edildi. Bu arada sağ brachial arterden girilerek sağ brakiosafalik trunustan cerebral cihazı konduktu ve sol common carotis ağzını kapatacak şekilde yerleştirildi. Daha sonra önce atriyal ardından ventriküler leadler çekildi ve daha sonra cerebral koruma cihazı toplandı, hastada iskemik emboli komplikasyon izlenmedi ve tekrar atriyal ve ventriküler leadler yerleştirilerek işleme son verildi.

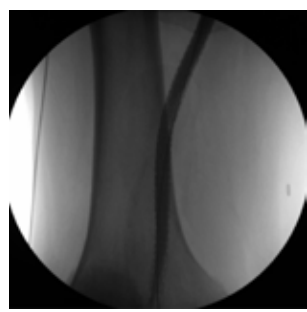
Sonuç: Pace veya ICD leadinin LV yerleştirilmesi nadir ancak literatürde pek çok oldu bildirilmiştir. Bu vakalarda tromboembolik komplikasyonlar sıklıkla ve genellikle implantasyondan sonra 6 ay ve 6 yıl aralığında görülmektedir. Van Gelder ve ark. litetür taramasında 27 kişi gözlemlenmiş ve bunların 10 nda tromboembolik komplikasyonlar izlenmiştir ve bu hastaların 6 nda lead kardiyo-



Şekil 3. Contralateral femoral arterdeki anevrizma.



Şekil 4. Graft stentleme.



Şekil 5. Graft stentleme 2.



Şekil 6. Stentleme 3.

OS-38**Endovascular treatment of popliteal artery aneurysms with Viabahn graft stent and late thrombosis**

Sevinç Aktürk, Hüseyin Göksütlük, Nil Özüncü, Türkân Seda Tan Kürklü, Ebru Şahin, Yusuf Atmaca, Çetin Erol

Department of Cardiology, Ankara University Faculty of Medicine, Ankara

Popliteal artery aneurysms are 85% of all peripheral aneurysms. When popliteal artery diameter is more than 50% of normal vessel diameter, it is defined as popliteal artery aneurysm. These aneurysms are classified as fusiform or saccular. Symptomatic popliteal aneurysms should be treated due to thrombosis and amputation risk. Asymptomatic aneurysms has an indication for treatment (elective surgery, endovascular) when the diameter greater than 2 cm to prevent complications (e.g., limb-threatening ischemia). We report a 61 year-old male patient with a history of hypertension, diabetes mellitus, hyperlipidemia and asthma. He presented with a leg pain on the right side, for two weeks. In 2005, coronary angiography showed normal coronary anatomy. Physical examination revealed a pulseless dorsalis pedis artery. Doppler ultrasonography revealed a 2x2 cm saccular dilatation in the right popliteal artery. Peripheral angiography was performed through left femoral access. The right lower extremity arteries were imaged via the long sheath. A popliteal aneurysm in the right popliteal artery was detected. We crossed the aneurysm with 0.014 inch guide wire (Spartacore 300 cm). There was a side branch at the end of popliteal aneurysm and we implanted a 8x10 cm graft stent (Viabahn) from the proximal of this side branch. Because of the minimally leakage into the aneurysm from the distal end of the stent, we dilated distal part of the stent with balloon catheter. Finally, there was no leakage. Two months later, he admitted to our clinic with severe leg pain. Doppler ultrasonography revealed that right superficial femoral artery was totally occluded at the proximal of the stent. Peripheral angiography showed thrombotic occlusion at the proximal of the graft stent. Mechanical thrombectomy was performed with a 90 cm Angiojet trombectomy catheter. Two thrombotic lesions, one (80%) at the proximal and the other (99%) at the distal of the previous stent, were detected. A self expanding stent (7.0x80 mm, Supera, Abbott Vascular) was deployed into the graft stent. Postdilatation was performed with a good angiographic result. Patient was discharged without complication. The etiology of aneurysms is unknown. Studies shows that genetic defects and inflammatory processes may be responsible for occurrence. Modifiable risk factors for aneurysms are smoking, atherosclerosis, connective tissue disorders. Nonmodifiable risk factors are advanced age, male gender and family history of an aneurysmal disease. But in our patient we couldn't find any etiologic factor. Recently endovascular popliteal artery aneurysm repair (EPAR) is used more often than open surgical repair (OPAR). Advantages of EPAR are lower wound complication rate and shorter length of hospital stay. But there are some disadvantages like lower primer patency due to thrombosis compared to OPAR. In our patient we planned to check the patient more often and longer (one year instead of one month) dual antiplatelet therapy.



Figure 1. A popliteal aneurysm in the right popliteal artery.



Figure 2. A 8x10 cm graft stent (Viabahn).



Figure 3. The minimally leakage into the aneurysm from the distal end of the stent, we dilated distal part of the stent with balloon catheter.



Figure 4. Thrombotic occlusion at the proximal of the the graft stent.

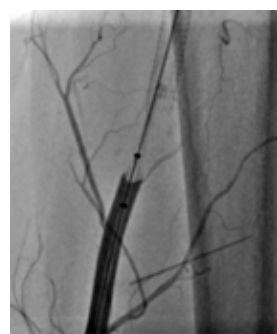


Figure 5. Mechanical thrombectomy with Angiojet trombectomy catheter.



Figure 6. Two thrombotic lesions, one (80%) at the proximal and the other (99%) at the distal of the previous stent.

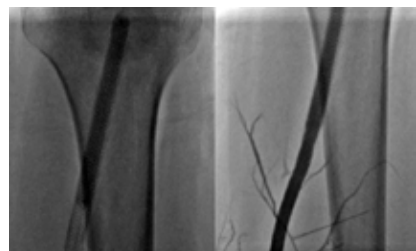


Figure 7. A self expanding stent (7.0x80 mm, Supera, Abbott Vascular) and postdilatation.

OS-39**Endovascular treatment for lower limb malperfusion in acute type B aortic dissection**

Ömer Çelik, Begüm Uygur, Mehmet Ertürk

Department of Cardiology, İstanbul Mehmet Akif Ersoy Training and Research Hospital, İstanbul

Introduction: Acute aortic dissection is a life-threatening clinical situation which can cause organ ischemia. Lower limb malperfusion (LLM) syndrome occurs in up to 40% of complicated type B aortic dissections (TBAD) associated with higher 30-day mortality. We report a case of percutaneous endovascular stenting in a 45 year old male patient who had LLM due to acute Stanford type-B dissection.

Case: A 45 year-old male patient was admitted to our hospital with numbness of right leg. On admission, the blood pressure was 185/110 mmHg and ECG was normal sinus rhythm with 85 bpm. Physical examination was normal except right femoral artery pulse couldn't be palpated. With the prediagnosis of aortic dissection or acute arterial emboli, the chest X-Ray was obtained. It revealed enlarged aortic arch which improved the possibility of aortic dissection (Figure 1). Then CT angiography was performed and it showed acute aortic dissection starting from the left subclavian artery ostium and extending to the right common iliac artery which was totally occluded (Figure 2). The celiac, the superior and the inferior mesenteric and the left renal arteries were supplied from the true lumen, the right renal artery was supplied from the false lumen. It appeared that the true lumen was compressed by further expansion of the patent false lumen resulting with right common iliac artery occlusion. Diagnosis of Stanford type-B dissection with LLM was made and the heart team consulted the patient. Hybrid therapy was decided. First, cardiovascular surgeons made brachiocephalic artery - left common carotid artery bypass and brachiocephalic artery - left subclavian bypass to supply blood to the left carotid artery and the left subclavian artery after their ostium were covered by stent. Then we implanted a 38x38x207 mm graft stent starting from the end of brachiocephalic artery via the left common femoral artery. After the procedure, blood flow to the lower limb was achieved and ischemic symptoms disappeared. Follow-up CT demonstrated appropriate location of the stent and achieved blood supply to the right lower limb (Figure 3). The patient was discharged without any complications.

Discussion: Lower limb malperfusion (LLM) is defined as abnormal pulse upon examination in conjunction with leg pain, pallor, paresthesia or paralysis. The primary goal of treatment is to

restore perfusion of the lower limbs immediately. Open surgical approach or less invasive endovascular approach can be alternatives. In our case we preferred endovascular approach but due to the location of the dissection, hybrid approach was planned to supply blood to the left carotid artery and the left subclavian artery after their ostiums were covered by stent. On the follow ups our patient was symptom free and no complication occurred.

Conclusion: Clinical suspicion is the first step for diagnosis of LLM in TBAD. Less invasive endovascular approach and in some cases hybrid therapies should always be kept in mind.



Figure 1. Chest X-Ray. Yellow arrow indicates enlarged aortic arch.



Figure 2. Preoperative three-dimensional CT Angiography which shows the exact location of dissection and the totally occluded right common iliac artery.



Figure 3. Postoperative three-dimensional CT Angiography which demonstrates appropriate location of the stent and achieved blood supply to the right lower limb.

OS-40

Antegrade PTA sırasında gelişen süperfisiyal femoral arter rüptürü ve erken başarılı retrograd revaskülarizasyon işlemi

Nazlı Turan, Hüseyin Göksültük, Nil Özüncü, Hüseyin Nazman, Yusuf Atmaca, Çetin Erol

Ankara Üniversitesi Tip Fakültesi, Kardiyoloji Anabilim Dalı, Ankara

Giriş: Antegrade subintimal anjoplasti teknigi ile superfisiyal femoral arterin kronik total okluzyonuna müdahale giderken popülerlik kazanmaktadır. Antegrade yolla başarılı revaskülarizasyon sağlama nedeniyle retrograd popliteal yaklaşım denemektedir.

Oluğ: Elli yedi yaş erkek hasta kliniğimize son 2 aydır artan kladikasyo şikayetü ile başvurdu. Yapılan diagnostik anjografi ile sol SFA çıkıştan hemen sonra tam tikali izlendi. Semptomatik olan hasta da total SFA lezyonunu müdahale kararı alındı. Sağ femoral artere ponksiyon yapıldı, crossover sol femoral artere geçildi. Hastaya 6F uzun sheet yerleştirildi. Antegrade 0,35 radiofocus telle lezyon geçilmeye çalışıldı fakat distal lümene tel ilerletilemedi. İşlem sırasında hasta da superfisiyal femoral arterde rüptür ve ekstravazasyon izlendi, işlem sonlandırdı. Takipte hastanın rüptür bölgesinde şişlik, ağrı yakınıması ortaya çıktı. Hastaya siki elastik bandaj uygulandı, elevasyon ve soğuk uygulama yapıldı. İki gün sonra şişlikleri kayboldan, yapılan USG de hematom görülmeyen hasta, popliteal yaklaşımlı revaskülarizasyon planı ile anjografi laboratuvarına tekrar alındı. Sol a.popliteale retrograd ponksiyon yapıldı ve 4f sheet yerleştirildi. Ayni zamanda sağ femoral artere ponksiyon yapıldı ve uzun sheet ile crossover yapıları sol femoral artere geçildi. Popliteal sheet-den retrograd olarak 0,35 tel ile tam tikali olan bölge NAVICROSS mikrokataster desteği ile geçildi ve ardından 5x120 mm ADMIRAL balonla PTA yapıldı. Antegrade olarak akım sağlanıktan sonra 0,014*300 cm tel distale ilerletildi. Proksimaldeki lezyona 7*80 mm self expandable (SUPERA) stent distale ise proksimaldeki stentle overlap yapacak şekilde 6*100 mm selfexpandable (SUPER-A) stent yerleştirildi. Ardından stent içine 6*120 mm ADMIRAL balonla postdilatasyon yapılarak işlem sonlandırıldı. Hastanın takipteki semptomlar kayboldu. TARTIŞMA: Subintimal antegrade anjoplasti SFA'daki CTO'lar için vazgeçilmez bir revaskülarizasyon teknigi olmasına rağmen bazen subintimal alandarda gerçek lümene geçilememesi, rüptür olmasa kısıtlıklarının başında gelmektedir. Antegrade yolla gerçek lümene geçilemeyecek vakalarda retrograd yaklaşım ikiinci bir alternatif olmuştur. Bizim vakamızda da antegrade yolla kronik total SFA lezyonuna ilk olarak antegrade

yaklaşım denendi fakat gerçek lümene tel ilerletilemedi, rüptür gerçekleşti. Ekstravazasyon gelişmesi üzerine işlem sonlandırıldı. Takipte hastaya 2. seansta retrograd transpopliteal yolla ponksiyon yapıldı ve başarılı revaskülarizasyon sağlandı. Popliteal girişim komplikasyona daha açık bir girişim yolu olmasına rağmen daha küçük kılıf kullanmak (vakamızdaki gibi 4F), antegrade film alındıktan sonra ponksiyon yapmak ve işlemden hemen sonra kılıf çekmek ile komplikasyon oranı azaltılabilir. Bu vaka müdahale sırasında ekstravazasyon gelişen olurlarda, hematom gelişmeyen kompartman sendromu olmayan durumlarda rüptür alanı kontrol edildikten sonra erken dönemde başarılı revaskülarizasyon yapılabileceğini ortaya koyması açısından önem arzettmektedir.



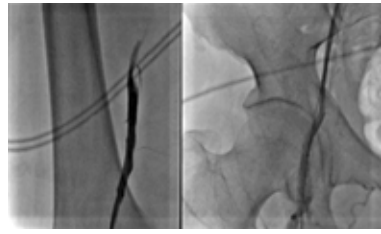
Şekil 1. Diagnostik anjo (kronik total SFA lezyonu).



Şekil 2. Gerçek lümene tel ilerletilemediği ve ekstravazasyon görüntüsü.



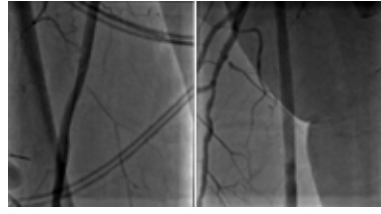
Şekil 3. Popliteal arter görüntüsü.



Şekil 4. Retrograd tel lümende ve retrograd arter görüntüsü.



Şekil 5. Retrograd PTA görüntüsü.



Şekil 6. Proksimal ve distaldeki stent görüntüsü (video görüntüleri mevcuttur, sisteme yüklenmemiştir).

OS-41

Congestive heart failure caused by aortocaval fistula after nephrectomy

Elton Soydan, Mustafa Akın

Department of Cardiology, Ege University Faculty of Medicine, Izmir

A 64 year old female patient was admitted to our clinic with exacerbation of dyspnea. She had experienced exertional intolerance for 4 years and during the last month it was aggravated with peripheral edema and abdominal distension. Her past medical history included right nephrectomy due to renal calculi 33 years ago, hypothyroidism, paroxysmal atrial fibrillation. On admission her blood pressure was 110/80 mmHg. ECG showed a sinus rhythm with a heart rate of 65 bpm. Physical examination revealed signs of right heart failure including jugular distension, hepatomegaly, ascites and peripheral edema with bilateral fine rales. A continuous murmur was heard on the right paraumbilical region. Abdominal doppler ultrasound showed a high velocity communication between the right renal artery and the inferior vena cava. Transthoracic echocardiography demonstrated a moderate right heart chamber dilatation with moderate mitral and tricuspid regurgitation with a systolic pulmonary artery pressure of 45 mmHg. Left ventricle systolic and diastolic functions were preserved. A contrast enhanced arterial phase computed tomography showed a dilated (11 mm) right renal artery draining with a fistulous formation into the inferior vena cava. After stabilization of heart failure signs and symptoms with diuretic therapy a peripheral angiography was performed. Renal arteriovenous fistula was confirmed by selective angiography showing a dilated right renal artery draining in an irregular fashion and as a result overdraining the inferior vena cava. Laboratory tests were unremarkable except for increased brain natriuretic peptide value of 7251 pg/ml. According to the anatomical structure of the right renal artery we decided to percutaneously close this arteriovenous fistula by using the Amplatzer vascular plug II. Amplatzer vascular plug II with 12 mm diameter was delivered percutaneously via transfemoral approach and successfully implanted into the proximal region of the right renal artery. Selective right renal artery angiography showed occlusion of the flow through the renal artery and inferior vena cava. This was confirmed by abdominal artery doppler ultrasound. Intravenous hydration was began post procedure to prevent renal injury by sudden cardiac output drop. Heart failure signs and symptoms were dramatically resolved and the patient was healthily discharged.



Şekil 1. Koroner anjiografi sonrası sol üst ekstremitede güç kaybı, ekstansiyon zorluğu ve sol el 4. ve 5. parmaklarda uyuşma şikayetleri mevcut.



Şekil 2. Koroner anjiografi sonrası sol üst ekstremitede güç kaybı, ekstansiyon zorluğu ve sol el 4. ve 5. parmaklarda uyuşma şikayetleri mevcut.



Şekil 3. Koroner anjiografi sonrası 45. günde hastanın şikayetlerinin tama yakınının gerilediği.



Şekil 3. Fistül embolizasyonu sonrası rezidü görüntü. Koroner anjiografi görüntüsünden daha önce embolize edilmiş olan fistüldeki rezidü akım gösterilmektedir.

OS-44

Circumfleks arterden superior vena cavaya dev arteriovenöz fistül olgusu

Onur Akhan¹, Mustafa Doğduş¹, Elif İlkay Yüce¹, Hamide Muhtarzade¹, Azem Akıllı¹, Celal Çınar²
¹Ege Üniversitesi Tip Fakültesi, Kardiyoloji Anabilim Dalı, İzmir
²Ege Üniversitesi Tip Fakültesi, Radyoloji Anabilim Dalı, İzmir

Koroner arterlerin konjenital arteriovenöz veya arterioarterial fistüller herhangi bir koroner arter ile kalbin dört boşluğu, koroner sinus, superior veya cava, pulmoner arter veya pulmoner ven arasında kapiller sistemi olmayan direkt bağlantılar olarak tanımlanır. İnsidansı 1:50000 canlı doğum olarağı tamamlanır. Circumflex arterden SVC'ya fistül coğna nadir olarak görülmekte birlikte ilk kez 1966 yılında raporlanmış olup konjenital veya kazanılmış olabilir. Tanı genellikle renkli döpler eko ve koroner arter bt anjiografî ile koyulmaktadır. Elli dokuz yaşında bilinen DM, HT, HL ve sigara kullanım öykülerini olan hasta son 3 ayda olan 2 kez bayılma şikayeti ile kardiyoloji başvurusu sonrası yapılan Holter EKG tetkikinde temel ritm normal sinus ritmi olmakla birlikte seyrek atriyal erken vuruş saptandı. Transtorasik ekokardiyografi ve karotis-vertebral döpler usg'de ise senkopik olacak anamlı patoloji saptanmadı. İleri radyolojik görüntüleme amaçlı yapılan koroner bt anjiografisinde sol ana koroner arter normalden geniş olarak izlenmiş olup, sol circumfleks arterin kesimi ile superior vena cava arasında bir geni yerinde genişliği 13 mm ölçülen fistül ait tübüler oluşum izlendi. Tanımlanan bu lezyonu aortayı ili sol atrium arasında seyir göstererek superior vena cava dökülmekte olduğu gözlandı. İzlemde girişimsel radyoloji ile bilirki degerlendirlenmiş hastada fistülün yüksek debili olması nedeniyle double mikrokateter ile fistülöz komponente girişim yapılarak embolizasyonu engellemek amacıyla multipel detachable koiller ile embolizasyon, sonrasında pushable 0.018 inch koiller ile embolizasyon yapıldı. Kontrol anjiografilerde Cx distalinden 2 farklı noktadan fistül bağlantıları olmasının nedeniyle aynı seyir ayrı ayrı olmak üzere çift markerli mikrokateter ile girilecek detachable koiller ile embolize edildi ve sonrasında fistülün total olarak okluz olduğu görüldü. İzlemde ek sıkıntısı olmayan hastanın kontrol koroner BT anjiografisinde Cx ve SVC arasındaki geniş fistülöz oluşumun koi girişimi sonrası kapandığı fakat SVC tarafındaki rezidü bir fistülöz yapının devam ettiği gözlandı. Bunun üzerine hasta ikili antiagregan tedavi ile taburcu edildi. Sonrasında yapılan kontrollerde bu fistülün bağlantısının yoğun koil artefaktına bağlı olarak gösterilemediği belirtildiğinde nedeniyle hastaya perktütan koroner anjiografî yapıldı. Koroner anjiografide dev cx arterden vena cava superior açılmış koroner arası fistül saptandı. Embolizasyon sonrası kontrolde halen akım olduğu izlendi. Hastanın klopidoğrel tedavisi embolizasyonu engellediği düşünülmektedir. KESİLDİ. İzlemde asetilsaliilik asit tedavisi ile taburculuğu yapılan hastaya ileri dönemde yapılabilecek olan olası girişimler ve takip amaçlı poliklinik kontrolleri planlandı. Koroner arter fistül tanımlı olgular genellikle asemptomatik olup efor dispnesi, çarpıntı, göğüs ağrısı veya senkop ile başvurabilirler. Semptomatik ve fistül boyutunu yüksek olduğu durumlarda perktütan veya cerrahi girişim düşünülmelidir.



Şekil 1. Cx - SVC arasındaki Dev Fistül. Koroner anjiografi görüntüsündeki fistül.



Şekil 2. Fistül Embolizasyonu. Koroner anjiografi görüntüsündeki fistül.

OS-45

Trombius aspirasyonuna sekonder gelişen bir komplikasyon: Yaygın sol sistem trombiüsü ve başarılı yönetimi

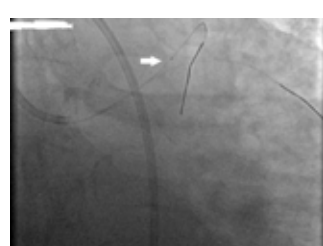
Mert Koray Özcan, Ali Orçun Sürmeli, Özcan Örsçelik, Buğra Özkan, İsmail Türkay Özcan, Ahmet Çelik, Mehmet Necdet Akkus

Mersin Üniversitesi Tip Fakültesi, Kardiyoloji Anabilim Dalı, Mersin

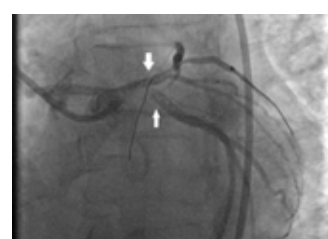
Acil servis göğüs ağrısı ile başvuran 49 yaşında erkek hasta başvurusunda ventriküler fibrilasyon (VF) gelişmesi üzerine defibrilasyon uygulanıp entibe edildi. Baklan elektrokardiyografide 80 dk/sinüs ritmi izlenene hastanın D1-aVL derivasyonlarında 1 mm'den fazla ST elevasyonu görülmüş üzerine hasta yükselt lateral MI tanısı konularak primer perktütan koroner girişim(PKG) için koroner anjiografi (KAG) laboratuvarına alındı. İşlem öncesi 10000 IU heparin yapıldı. Hastaya yapılan koroner anjiografide sol sırkümpleks (Cx) ve sağ koroner arter (RCA) normal, sol onen koroner arter (LAD) S1 dali sonrası total tikal olarak izlendi (Şekil 1). LAD'ye primer perktütan koroner girişim kararı alındı. LAD'ı ki lezon floppy tel ile geçildikten sonra 2x10 mm balon ile predilate edildi. Sonrasında LAD'de yoğun trombus gözlenmesi sebebiyle trombus aspirasyonu uygulandı (Şekil 2 ve Şekil 7). Trombus aspirasyonu işlemi sonrasında ilk görüntülemede sol ana koroner arter (LMCA), LAD, Cx proksimalinde yoğun trombus olduğu görüldü (Şekil 3). Trombusün, trombus aspirasyon kateterinin guiding katater içerisinde yattığı staza bağlı oluşan trombus ek olarak LAD'den çekilen trombusün guiding kateter içerisinde kalmaması bağlı ilk kontrast enjeksiyonu ile birlikte sol koroner sisteme geçtiği düşünüldü. Bunun üzerinde intrakoroner aggregat ve 5000 IU daha heparin uygulandı. Hasta ventriküler fibrilasyona girdi ve 2 kez kardiyoversiyon uygulandı. Kardiyoversiyon sonrası asistol gelişen hasta 10 dakika kardiyopulmoner resusitasiyon yapıldı. Normal sinus ritmi sağlanmasının üzerine kontrol görüntü alındı. LMCA ve CX'deki trombusun gerilediği gözlandı (Şekil 4). LAD proximalindeki trombus ve lezyon bölgesindeki kapsayacak şekilde 3x21 mm İlak kapılı stent implant edildi. TIMI-3 akım sağlandı (Şekil 5). LAD distal bölgelerde trombus migrasyonu olduğu görüldü (Şekil 5) ancak TIMI-3 akım sağlandığı için yoğun antiagregan tedavi sonrası kontrol KAG planlandı. Koroner yoğun bakım ünitesinde takibe alınan hasta malign aritmî izlenmedi. Yapılan ekokardiyografide ejeksiyon fraksiyonu %60 olup duvar hareket kusuru ve ömeli kapak patolojisi izlenmedi. Hasta işlemenden 36 saat sonra hemodinamisinin stabil olması üzerine extube edildi. 48. saatinde yapılan kontrol KAG'de koroner arterlerde herhangi bir trombüs izlenmedi (Şekil 6).



Şekil 1. İlk alınan koroner anjiografi görüntüyü ve LAD'de trombus görüntüyü.



Şekil 2. Trombus aspirasyon kateteri ile aspirasyon işleminin yapılması.



Şekil 3. Aspirasyon sonrası sol koroner sisteminde yoğun trombus görüntü.



Şekil 4. Intrakoroner aggregat ve heparin verilmesi ile birlikte kardiyopulmoner resusitasyon sonrası ilk görüntü.



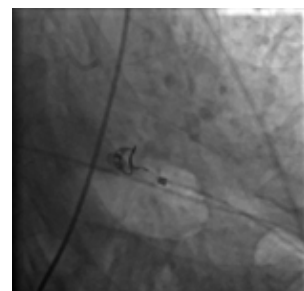
Sekil 5. LAD'ye yapılan perkütan koroner girişim sonrası TIMI-3 akının sağlanması.



Sekil 6. Primer perkütan koroner girişimden 48 saat sonra yapılan kontrol koroner anjiyografi.



Sekil 6. Koroner sistemden çıkarılan trombus.



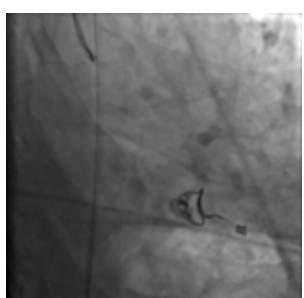
Sekil 4. IMA'ya açılılmış stentin embolizasyonu.



Sekil 5. Lad lezyonu.



Sekil 6. Stentin osteal pozisyonu.



Sekil 7. Stentin tekrar IMA'ya embolize oluşu.

OS-46

Koroner arterde embolize olan stentin çıkartılmasında alternatif metod: Çift tel burbu

Erol Gürsoy¹, Mustafa Candemir¹, Inan Mutlu¹, Mustafa Köklü², Murat Çelik², Uyar Çağdaş Yüksel²

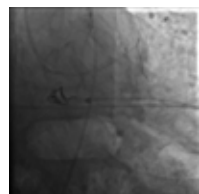
¹Yozgat Devlet Hastanesi, Kardiyoloji Kliniği, Yozgat

²Güllhane Eğitim ve Araştırma Hastanesi, Kardiyoloji Kliniği, Ankara

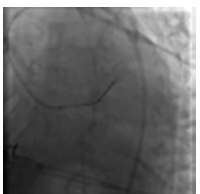
Giriş: Perkütan intravasküler girişimsel işlemler sırasında karşıımıza çıkabilecek en önemli komplikasyonlardan biri de kullanılan cihazların veya bunların parçalarının embolizasyonudur. Özellikle koroner arter istenit balonundan sıyrılmaması, mevcut senaryolar içinde ani karar verilmesini gerektiren ve değişik cihaz ve yöntemlerin kullanıldığı durumlardır. Bu olguda, sol onen arter ağzındaki stente takılarak balonundan sıyrılan ve ana koronar uzanan stentin farklı bir yol olarak çift tel kullanılarak çıkarılması anlatılmıştır.

Olgu: Yetmiş üç yaş erkeğin hasta akut on duvar MI nedeni ile nedeni ile acil koroner anjiyografie alındı. Sağ femoral artere 6 Fr kılıf yerleştirilerek JR4 tansus ve JL4 kılavuz kataterler ile işlem gerçekleştirildi. LAD osteal tam tıkalı trombuslu lezyon izlenmesi üzerine girişim kararı verildi. Lezyon 0.014 Asahi tel ile geçirilerek 2.0x15 balon ile ön dilatasyon yapıldı. Uzun segment lezyon izlenmesi üzerine LAD ağzına tam oturacak şekilde 2.75x24 DES (Biomime) yerleştirildi. Lezyonun kaçırılması nedeni ile stentin hemen öncesi %50 darlık kalması üzerine LAD ağzına 2.75x9 mm BMS (Alvimedica-Ephesus) yerleştirilmek istendi. Fakat stent LAD ağzında diğer stente hiç zorlama olmadan takılarak sıyrılmıştı. Stente takılan stentin balon geri alındıktan sonra LMCA'ya açılılmamış bir şekilde uzandığı gözlemlendi. AKS'nın oluşturduğu trombolik ve enflamatuar süreç nedeni ile hızlı karar verilmesi gerekken anda snare bulummanası sonucunda farklı bir teknik ihtiyacı doğmuştur. İlkinci bir tel stentin dışından LAD distaline yollandı. Distal yataktakı ilk tel daha distalde kalacak ikinci tel ilk telin dizerine doğru tel aynı yönde birkaç turn tork ettirilerek diğer tele dolanlığı izlendi. İki tel eş zamanlı olarak kılavuz kataterde doğru çekilmişdir. Stent zorlanmadan sıyrıldığı ve diğer stente çok sıkı bağlı olmadığı için diğer stentten ayrılmamıştır. Fakat stentIMA embolize oldu. İki tel katater içerişine çekildiği için stent içerişinde tel kalmadı. Karar vermek için görüntüleme yapıldı. Stent trombozu izlenmemesi üzerine hastaya tekrar tel gönderildi. Tel açılılmamış stentin içerişinden geçirilerek intermediate distaline gönderildi. Yine aynı metodla ikinci tel stent dışından geçirilerek distal yataktakı ikinci tel ilk telin üzerine tork ettirildi. Stent kılavuz katater ağzına kadar görüntü esliğinde çekildi. Kılavuz katater ağzında tellerin açılması sonrası stentin distal embolizasyon tekrar izlendi. Intermediate artere ikinci kez embolize olan stent aynı metodla tekrar bu kez diseksiyonya göre alınarak daha çok tork verilerek ve düzgün kuvvetlendirilerek tekrarları ve görüntü esliğinde stent kılavuz kataterin içerişine başarılı bir şekilde alındı.

Tartışma: Alternatif olarak kullanılabilcecift tel ile sıyrılan stentin alınması başarılı bir şekilde uygulanmıştır. Teknik imkanlarının yeterli olmadığı durumlarda başarılı bir şekilde uygulanabilecek alternatif bir metod olduğunu göz önünde bulundurulması gerektigine inanmaktadır.



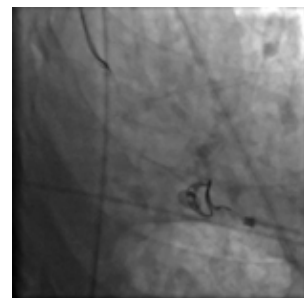
Sekil 1.2. stentin sıyrılması.



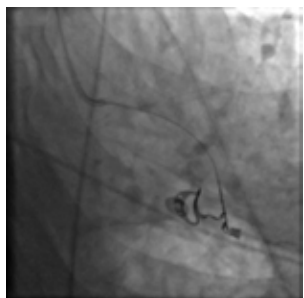
Sekil 2. Çift tel ile ostealdeki İmca'ya uzanan açılmış stentin kurtarılması.



Sekil 3. Çıkarılan stent.



Sekil 8. Stentinkatater ucuna kadar çekilmesi.



Sekil 9. Tekrar çit tel burbu ile stentin alınması.



Sekil 10. Total tıkalı lad.

OS-47

A rare cause of acute myocardial infarction; Giant saphenous vein pseudoaneurysm and its percutaneous treatment with vascular occluder device

Elton Soydan, Celal Çamar, Oğuz Yavuzgil, Cemil Gürgün

Department of Cardiology, Ege University Faculty of Medicine, Izmir

We represent a 75 year old male patient that was admitted to our clinic with ongoing chest pain for one hour. His medical history included a coronary bypass graft operation and abdominal aortic aneurysm operation with one month interval in 2002. He had had almost 4 cerebrovascular attacks, had hypertension and hyperlipidemia. On admission there was a ST segment elevation in the V1 and the right side precordial leads that after a few minutes chest pain and ST segment elevation resolved. Antiischemic therapy was administered. Echocardiography showed a hypoechogenic mass with no vascularity and 6.7x5.2 cm dimensions compressing the right ventricle with flow like communication between. Left ventricle ejection fraction was preserved. With suspicion of right ventricle rupture a cardiac MR imaging was performed. Periventricular mass compressing the right ventricle was detected but not sufficient for the diagnosis. Contrast enhanced arterial phase

cardiac tomography revealed a giant pseudoaneurysm originating from the proximal region of the right coronary saphenous vein graft (SVG) with 11.1×11.8 cm dimensions showing septal structure with eccentric thrombus formation. Giant pseudoaneurysm was found to be compressing the right ventricle, outflow tract and the right side of the pulmonary trunk. Cardiac angiography revealed a right saphenous vein graft irregular megadilatation. Native coronary arteries were profoundly calcified and occluded. The aorto-obtuse marginal saphenous vein graft and the left internal mammary artery anastomosing the left ascending coronary artery were patent. Due to giant and compressive pseudoaneurysm the decision was made to exclude the saphenous vein graft. Surgery and nonsurgery options were explored. As the patient was at very high risk for redo surgery a percutaneous procedure with vascular occluder device was decided. From a femoral arterial approach the right coronary SVG was engaged with a right guiding 4-F Judkins catheter. In order to access the ostium of the aneurysm a normal length Terumo wire (0.038 inch) was engaged into the aneurysm cavity. After stabilization of the catheter was confirmed the Amplatz vascular plug IV with 8×13.5 mm dimensions was delivered and uneventfully deployed at the neck of the pseudoaneurysm. After a one week follow up there were no regression on the mass on transthoracic echocardiography. The patient was healthily discharged on dual antiplatelet therapy. After 2 months transthoracic echocardiography showed a prominent decrease in dimensions of the pseudoaneurysm and this was confirmed by cardiac tomography.



Figure 1. Angiography of pseudoaneurysm after successful deployment of Amplatzer vascular plug IV. Angiography showing prominent decrease of blood flow after successful deployment of Amplatzer vascular plug IV (8×13.5 mm).

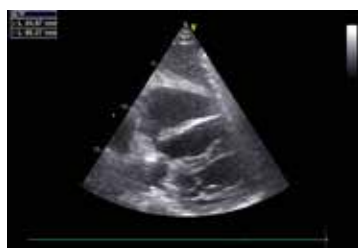


Figure 2. Basal transthoracic echocardiography. Transthoracic echocardiography showing a hypoechoogenic mass compressing the right ventricle.



Figure 3. Cardiac computed tomography showing saphenous vein pseudoaneurysm with thrombotic septa in it.



Figure 4. Cardiac 3 dimension reconstruction computed tomography.



Figure 5. Control computed tomography. Evident decrease in dimensions of the pseudoaneurysm 2 months after the percutaneous procedure.



Figure 6. Control echocardiography. Prominent decrease in dimensions of pseudoaneurysm 2 months after the percutaneous closure procedure.



Figure 7. Coronary angiography. Angiography of right saphenous vein graft giant pseudoaneurysm.



Figure 8. Coronary angiography. Angiography of left internal mammary artery anastomosing to left anterior descending artery.



Figure 9. Coronary angiography. Angiography showing saphenous vein graft anastomosing to obtuse marginal artery.



Figure 10. Percutaneous closure with Amplatzer vascular plug IV. Deployment of Amplatzer vascular plug IV into the neck of giant pseudoaneurysm.

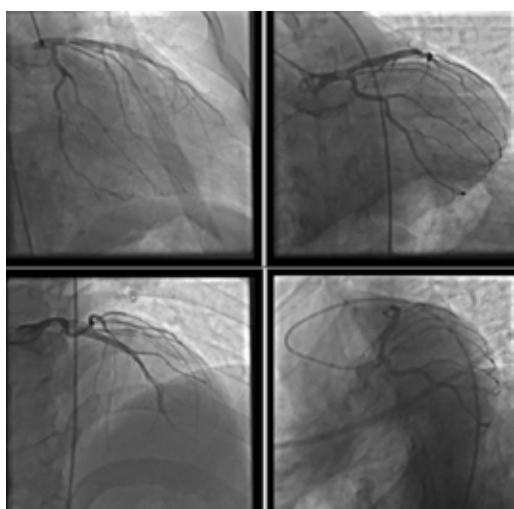
OS-48

Spontan koroner arter diseksiyonu ve sol ana koroner trombüsi olan olgunun uzatılmış glikoprotein IIb/IIIa reseptör blokeri ve perkutansal girişim ile tedavisi

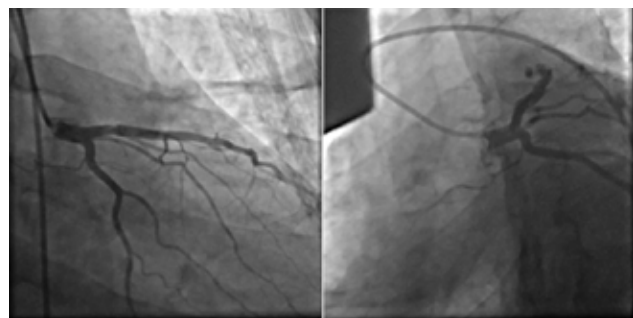
Yasemin Turan Bozkaya, Kamil Tütüce, Oktay Şenöz, Özgür Kuş, Özcan Vuran, Nurullah Çetin, Ahmet Erseçin, Ferhat Siyamend Yurdam, Zeynep Yapan Emren

Cığlı Bölge Eğitim Hastanesi, Kardiyoloji Kliniği, İzmir

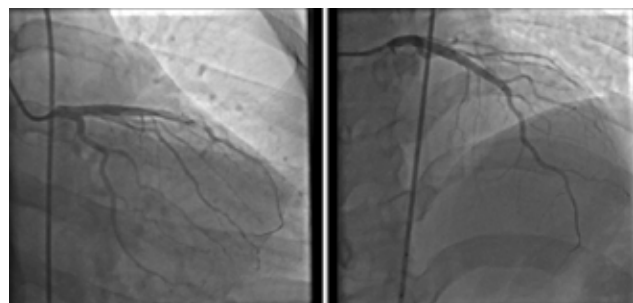
Spontan koroner arter diseksiyonu (SKAD), akut koroner sendromlarının (AKS) aterosklerotik olmayan nadir bir nedenidir. Kardiyovasküler risk faktörü olmayan genç, stikhlikla kadın AKS hastalarında akla gelmemelidir. Postpartum dönem, hormonal tedavi, bağı doku hastalıkları, fimbromusküler displazi (FMD) ve sempatomimetik ilaç/maddeler kullanımı ilişkili olduğu bildirilmiştir. SKAD'ın klinik belirtileri aterosklerotik AKS'lere benzerdir ancak patofizyoloji ve tedavisi farklıdır. Hastalık en sık sol önen koroner arteri tutar. Komplike olmayan vakalar coğulukla spontan iyileşir ve konseratif tedavi önerilir. Revaskülarizasyon endikasyonları medikal tedavi ile açılması zor TIMI-0 akım, LMCA diseksiyonu, devam eden iskemi, tekrarlayan göğüs ağrısı, hemodinamik bozukluk ve devamlı ventriküler aritmiler olmasızdır. Kliniğimize kardiyovasküler risk faktörü olmayan 26 yaşında, erkek hasta göğüs ağrısı ile başvurdu. Acil elektrokardiografisinde inferolateral ST yükseltmeli miyokard infarktüsü bulguları saptanan hastaya acil koroner anjografi (KAG) yapıldı. Sol önen koroner arter (LAD) proksimalinde spontan diseksiyon, TIMI-2 akımı ve sol ana koroner arterde (LMCA) trombus saptandı (Şekil 1). Diseksiyonun LMCA'da olmaması, hemodimasının stabil olması ve anginasının gerilemesi nedeniyle öncelikle ikili antiagregan (DAPT), antikoagulan, glikoprotein IIb/IIIa tedavisi, gereğinde cerrahi tedavi uygulanması planlandı. Antiagregan tedavinin 6 saatinden sonra sağ kasktası başarısız girişim yerinde şiddetli ağrı ve hematom gelişti. İzlemde hemoglobinde anamlı azalma, çekilen tüm batın BT angiografi tetkikinde sağ inferior epigastrik arterde (SIEA) aktif extravazasyon, rektus kası hematomu saptandı. Antiagregan tedavide ara verilerek endovasküler olarak SIEA tüylü sarmallar ile embolize edildi. Antiagregan tedavisine 8 saat ara verilen hastaya yakın klinik takip, yeterli kan tırını replasmanı yapılarak ve hemodinamik stabilizasyon sağlandıktan sonra başvurusundan 14.saatinden tekrar ikili antiagregan, glikoprotein IIb/IIIa, APTZ takibine görünürkçe heparin tedavileri başlandı. Tedavinin 48 saatinde yapılan KAG'da LMCA trombusunun gerilediği ancak kaybolmadığının izlenmesi üzerine tedavinin 96 saatte tamamlanması planlandı. Takibinde göğüs ağrısı, EKG değişikliği olmayan hastanın tedavi sonunda çekilen kontrol KAG'sinde LMCA trombusunun tamamen gerilediği, LAD diseksiyonunun devam ettiği izlendi (Şekil 2) ve LAD'ye başarılı çiplak stent uygulamış tam açılık sağlandı (Şekil 3). Klinik olarak stabil, ekokardiyografi normal olan hastaya B bloker, DAPT ve statin tedavileri düzendir. BT anjografisinde renal ve iliac arterlerde FMD bulgularına rastlanmadı. SKAD vakalarında spontan iyileşme oranlarının yüksek olması nedeniyle cerrahi tedavi sonrası greft okluzyon oranları yüksektir. Bu olgumuzda olduğu gibi koroner trombuslu ve proksimal LAD lezyonu olan genç SKAD hastalarında uzatılmış glikoprotein IIb/IIIa tedavisi etkin ve güvenli bir tedavi olarak değerlendirilebilir.



Şekil 1. Tedavi öncesi LMCA trombusu ve LAD proksimalindeki diseksiyon flebinin gösterdiği koroner anjografi görüntülerini içeren dört farklı anjografi paneli.



Şekil 2. Uzatılmış Glycoprotein IIb/IIIa inhibitörü tedavisi sonrası kaybolan LMCA trombusunu ve devam eden LAD diseksiyonunu gösteren koroner angiogramlar.



Şekil 3. Sol ön inen artere perkütan girişim sonrası koroner anjiografi görüntüleri.

OS-49

An unusual thrombosis of the ostial left internal mammary artery graft causing acute coronary syndrome five years after coronary bypass surgery

Murat Akçay, Omer Gedikli, Korhan Soylu

Department of Cardiology, Ondokuz Mayıs University Faculty of Medicine, Samsun

LIMA graft is considered as the 'gold standard' for LAD revascularization when long-term patency and strength are desired. The occlusion of the LIMA graft may be related to narrowing at the anastomotic sites, atherosclerosis, fixed kinks, smooth tubular stenosis, dissection or spasm. Acute thrombotic occlusion may be associated either with the administration of inadequate anti-thrombotic treatment in the early postoperative period or with the inappropriateness of the surgical techniques used. Late LIMA thrombotic occlusion is rarely seen and its cause is not yet known. A 71-year old patient was presented with a typical chest pain. The physical examination of the patient didn't reveal any abnormality. The patient gave a history of CABG surgery five years ago, involving saphenous vein grafts from the aorta to the RCA, obtuse marginal (OM) 1 and 2 sequential anastomosis and LIMA graft to the LAD. ECG showed sinus rhythm with diffuse ST-segment depression. The cardiac troponin level was found to be 50 ng/mL and CK-MB was measured to be 90.37 ng/mL. The echocardiography of the patient revealed hypokinesia of the septum, anterior wall and apex with an EF of 35%. Coronary angiography were performed. Saphenous vein grafts were found to be occluded. Interestingly, it was seen that thrombotic occlusion caused 95% stenosis in the ostial LIMA (Fig.1a, Movie-1). Glycoprotein IIb/IIIa blocker tirofiban infusion was administered at a dose of 0.15 µg/kg/min for 24 h. After three days, it was observed that the thrombus was reduced and atherosclerotic stenosis was present in the lower part (Fig.1b). Stenosis was found beyond the ostium of the LIMA in the subclavian artery. PCI was planned for the lesion present in the LIMA ostium. A LIMA 6-F guiding catheter was used and the lesion was passed through with the help of a floppy wire. Following a bolus of 7500 IU intravenous heparin, a 2.25x18 mm Xience Pro stent (Abbott Vascular) was implanted (up to 18 atm) (Movie 2). The final coronary angiogram revealed no residual stenosis, dissection or thrombosis and no thrombus embolization into the distal circulation (Fig.1c). The patient was discharged after 48 h and was advised aspirin, ticagrelor, ramipril, metoprolol and atorvastatin therapy. Late thrombotic occlusion of the LIMA graft have been reported in the literature. In situ thrombosis, atherosclerotic plaque rupture, localized spasm, embolism, or catheter-induced graft occlusion may cause late LIMA occlusion. The patient didn't have any evidence indicating an embolic event, localized spasm and abnormal thrombotic panel. It was thought that thrombus was added to the atherosclerotic stenosis in the ostium, as observed on the follow-up coronary angiography. Atherosclerotic stenosis was also observed in the subclavian artery beyond the ostium of the LIMA, and it was thought that the atherosclerotic process progressed to the LIMA ostium and thrombus was further added to atherosclerotic lesion.



Figure 1.

OS-50

Acute carotid stent thrombosis

Muzaffer Kahyaoğlu, Murat Velioglu, Çetin Geçmen, Arzu Kalayci, Ender Özgün Çakmak, Ayhan Küp, Ecem Yanık, İbrahim Akın İzgi

Department of Cardiology, Kartal Koşuyolu Yüksek İhtisas Training and Research Hospital, İstanbul

A 66 year-old male patient was admitted to our clinic due to right hemiparesis and dysarthria. His medical history revealed that he had an ischemic stroke 8 years ago. His complaints were completely resolved after 30 minutes. Cerebral computed tomography (CT) revealed chronic infarction in the right hemisphere. Cranial diffusion magnetic resonance imaging showed an acute ischemic focus in the left hemisphere. After these findings, transient ischemic attack was diagnosed and he underwent selective carotid angiography. Angiography demonstrated 70% focal stenosis of the left internal carotid artery (LICA) (Figure 1A). Then, he underwent angioplasty of the LICA stenosis. Acetylsalicylic acid (100 mg/d) and clopidogrel (75 mg/d) were administered for 7 days before the procedure. A total of 75 U/kg unfractionated heparin was administered during the procedure and the Activated Clotting Time value was measured as 275 second. Distal protection device (EPI Embolic Protection Inc., Boston Scientific Corporation) was inserted with trans-femoral approach, a 6 to 8x40 mm closed cell self-expandable stent (Abbott Vascular, Santa Clara, CA) was implanted and postdilated with a 5.0x20 mm balloon (Figure 1B). Three hours later, the patient developed motor aphasia and right hemiplegia. An emergent cerebral CT scan ordered did not reveal any signs of intracerebral hemorrhage. However, we learned from his deepened anamnesis that, he had not taken acetylsalicylic acid and clopidogrel from the beginning, because he was not adherent to medical therapy. The patient was then urgently transferred to the catheter laboratory and digital subtraction angiography (DSA) and selective carotid angiography revealed acute carotid stent thrombosis (Figure 2A). After the patient was loaded with 300 mg clopidogrel, 75 U/kg intravenous unfractionated heparin was administered and selectively set into the carotid through trans-femoral approach. Tissue plasminogen activator (t-PA) of 7 mg was slowly pushed into the internal carotid artery with intraarterial selective approach and partial lysis was observed in the thrombus on DSA imaging performed after medication (Figure 2B). The patient was taken to coronary intensive care unit and put on tirofiban infusion. Six hours later, subsequent DSA was performed and showed nearly complete recanalization of the LICA (Figure 2C). Cerebral CT ordered after 7 days showed a small infarction. He was discharged with left arm weakness on the tenth post-procedure day with clopidogrel 75 mg 1x1 and acetylsalicylic acid 100 mg.

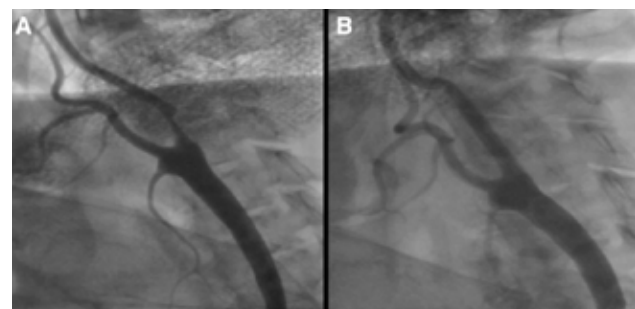


Figure 1. (A) Selective carotid angiography showing stenosis of left internal carotid artery. (B) Closed cell self-expandable stent was implanted successfully.



Figure 2. (A) Digital subtraction angiography showing stent thrombosis. (B) Stent thrombosis was partially resolved after medication. (C) Stent thrombosis was nearly resolved six hours later.

OS-51

Tandem oklüzyona bağlı akut iskemik inmenin endovasküler tedavisi: Kardiyolog, nörolog işbirliği²

Sakir Arslan¹, Elif Gencer Sarı önder², Erkan Köklü¹, Ertan Karaçay²

¹S.B. Sağlık Bilimleri Üniv Antalya Eğitim ve Araştırma Hastanesi, Kardiyoloji Kliniği, Antalya

²S.B. Sağlık Bilimleri Üniv Antalya Eğitim ve Araştırma Hastanesi, Nöroloji Kliniği, Antalya

Elli yedi yaşında erkek hasta 17.06.2017 tarihinde saat 18:30'da bahçede çalışırken aniden yere yığılmış. Hasta hastanemiz acil servisine sağ tarafını tutamama ve konuşma bozukluğu ile saat 20:00'da başvurdu. Hastanın NIHSS 14 idi. Çekilen beyin tomografisinde solda dens MCA'sı görülmüyordu. ASPECT skoru 10 idi. Tomografik anjiyografide tip III ark, sol ICA tam tikali, sol

MCA M1'de trombus gözlendi. Acil serviste hastaya 0.6 mg/kg'dan, dozun %10'u bolus verilerek Actilyse başlanarak, hastanın anjiyo labaratuvarına transferi sağlandı. Toplamda 50 mg Actilyse verilmesine rağmen klinikin düzülmeyeğinin görülmesi üzerine 20:45'de kasığa kulf yerleştirilerek, endovasküler müdahaleye başlandı. Pigtail kateter ile yapılan arkus aortagrafi de Tip III arkusun görülmemesi üzerine 5F SIM II kateter ile sol ICA'ya oturularak yapılan anjiyografide sol ICA'nın proksimalden tam tikal olduğu gözlandı (Şekil 1 ve 2). Proksimal koruma (MO.MA.) yerleştirilerek lezyon 0.014 Floppy tel ve Fieber FC tel ile geçirilmeye çalışıldı. Başarlı olunamayınca Miracle 6 tel denedendi. Bu tel ile lezyon geçildi. Lezyon başlangıçta 3x40mm daha sonra 5x20 mm balon ile dilate edildi. Bu esnada yapılan aspirasyonda az miktarla trombus geldi. Kontrol anjiyografide ICA açıklığının sağlandığı gözlandı (Şekil 3). Daha sonra yapılan beyin anjiyografisinde MCA M1 oklüzyonu olduğu gözlandı (Şekil 4). Daha sonra (MO.MA.) kateter içinden gönderilen Rebar 18 mikrokateter X-pedion 0.014 tel yardımında lezyon distaline geçirilerek tel geri alındı. Mikrokateter içinden Eric 6x44 mm geri çekilebilir stent lezyona yerleştirildi. 3dk beklenmekten sonra stent geri alındığında yoğun bir trombus takip edildi. Kasık girişinden itibaren 1 saatlik işlem sonunda taraflı ve konusması tamamen düzleşen hasta nöroloji imme üntesinde takibe alındı. İşlem sonrası 10 gün nöroloji servisinde takip edilen hastanın kontrol BBT lerinde hemorajik transformasyon görülmemesi üzerine elektif şartlarda sol ICA'ya stent uygulandı. Tam açıklık sağlandı (Şekil 7). Beyin anjiyografisinde beyin perfüzyonunun daha iyi olduğu gözlandı (Şekil 8). İşlem sonrası gün hasta tyttirerek evine gönderildi.



Şekil 1. Arkus Aortografi.



Şekil 2. Sol ICA tam tikali.



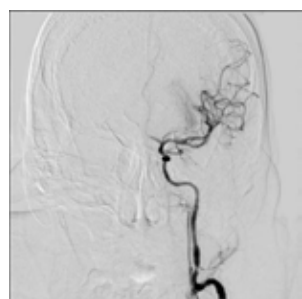
Şekil 3. Balon anjiyoplasti sonrası.



Şekil 4. MCA tam tikali.



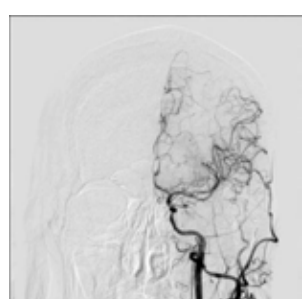
Şekil 5. Stent ile geri alınan trombus.



Şekil 6. MCA açılığı sağlandı.



Şekil 7. Stentleme sonrası karotis anjiyografisi.



Şekil 9. Stentleme sonrası beyin anjiyografisi.

OS-52

Acute right middle cerebral artery occlusion after successful right carotid artery stenting

Ahmet Hakan Ates, Uğur Arslan, İlksen Atasoy Günaydin, Çetin Kürşad Akpinar, Huriye Yücel
Department of Cardiology, Samsun Training and Research Hospital, Samsun

Introduction: Carotid stenosis is a major risk factor for stroke and can lead to serious complications. Treatment aims to reduce the risk of stroke by controlling or removing plaque build up and preventing blood clots. The main treatment way is carotid endarterectomy but carotid artery stenting is a less invasive alternative to endarterectomy to treat symptomatic carotid stenosis (1,2).

Case report: A 75 year old male was admitted to our department with transient ischemic attack (TIA). The doppler ultrasongraphy of carotid artery showed serious narrowed lesion of right internal carotid artery. After that carotis angiography was performed and percutaneous angioplasty was planned for treatment of carotid stenosis. After neurology consultation the patient was taken to angiography laboratory. 7F sheath was fixed to right femoral artery and 7F Terumo Destination sheath was placed to right common carotid artery. Later, the distal protection system (4.0-7.0 mm size) was placed to distal region of lesion. Afterwards tapered self expandable carotid stent was implanted (6-8x 40 mm) and the post dilatation was done with 5x30 mm sized balloon. Half an hour later during the follow up in coronary care unit the patient had confusion and speech impairment. After neurology consultant, magnetic resonance showed acute right middle cerebral artery occlusion (Figure 1). The patient was taken back to angiography laboratory and mechanical thrombectomy was performed with invasive neurology team. After mechanical thrombectomy distal blood flow was perfect (Figure 2).

Discussion: Carotid angioplasty / stenting is a minimally invasive endovascular procedure that compresses the plaque and widens the lumen of the artery. This procedure has lots of complications like distal embolism, dissection or rhythm problems. Mechanical thrombectomy is an important treatment procedure for acute occlusion of intracerebral arteries.



Şekil 1. Acute Occlusion of Right Middle Cerebral Artery.



Şekil 2. Recanalization of Right Middle Cerebral Artery with Mechanic Thrombectomy.

OS-53

Yüksek riskli karotis darlığı olan bir hastada dual emboli koruyucu cihaz kullanımı

Serdal Bastug¹, Yakup Alsançak¹, Abdullah Nabi Aslan¹, Hafize Çorut Güzel¹, Hüseyin Ayhan², Ahmet Kasapkara², Mehmet Erdoğan¹, Emine Bilen¹, Nihal Akar Bayram², Engin Bozkurt²

¹Ankara Atatürk Eğitim ve Araştırma Hastanesi, Kardiyoloji Kliniği, Ankara

²Yıldırım Beyazıt Üniversitesi Tıp Fakültesi, Kardiyoloji Anabilim Dalı, Ankara

Giriş: Semptomatik ciddi karotis arter darlığı toplamda %2-8 oranında gözlenir ve iskemik imme-lerin önemli bir nedeni oluşturmaktadır. Karotis arter stentleme cerrahi riski yüksek hastalarda güvenli bir tedavi alternatifidir. Emboli koruma cihazları kullanımlı ile stentleme sonrası görülen iskemik komplikasyonlarda anlamlı azalma sağlanmıştır. Ancak yüksek riskli hastalarda distal filt-releme ile artmış iskemik komplikasyonlar gözlenmiştir. Dual emboli koruma ile yanı proximal balon oklüzyon ve distal filtrelme ile iskemik komplikasyonlarda anlamlı azalma sağlanmıştır.

Olgu: Altıncı üç yaşında erkek hasta, 4 hafta önce geçirilmiş sağ hemiplejî, Koroner Arter Hastalı-ğının hipertansiyon, hiperlipidemi ve sigara risk faktörleri olan hasta yapılan karotis usg de çift taraflı internal karotis arterde darlık saptanması üzerine klinikimize refere edilmiştir. Hastaya 7 yıl önce USAP tanısı ile CABG yapılmış. Yapılan kontrol koroner ve karotis anjiyografide, LAD LIMA, Ao RCA ve Ao CX safen açık, her 2 ICA da % 95 darlık saptanmış, Karotis USG de plak içi kanama saptanan hasta yüksek riskli kabul edilerek işlem planlandı.

Yöntem: Sol ICA symptomatik olan hasta lezyonunun不稳定 olması nedeniyle dual emboli koruyucu cihaz kullanılmıştır. Hastanın sağ femoral arterine 6F sheath yerleştirildi. Proglide per-kutane kapama cihazı yerleştirildi. 9F sheath ile exchange yapıldı. 5F head hunter kateter ile 0.035 inch hidrofilik guidewire ile sol ECA'ya geçildi. Ardından Amplatz stift guidewire ile exchange yapıldı. Invatec MoMa proksimal blokaj sistemi yerleştirildi. Ardından emboshield filtre ile sol ICA %90 lezyon geçildi. 4.5x20 mm Quantum balon ile 8 atm predilate edildi. 10x7x40 mm Protege stent implante edildi. 5.0x20 mm boston balon ile 8 atm post dilate edildi. Hastada komplikasyon gözlenmedi.

Somut: Ciddi symptomatik atherosklerotik karotis arter hastalığı genel popülasyonun %2-8 etkile-mekte ve iskemik inmellerin de %20-30 neden olmaktadır. Özellikle plak içi kanama, zengin lipid içeriği işlem sonrası artmış komplikasyon riski belirtecektir. Karotis stent işlemlerinde artık kural haline gelen emboli koruma cihazı kullanımını ile iskemik komplikasyonlarda azalma gözlenmiştir. Distal filtrelme ve proximal balon oklüzyon en sık kullanılan yöntemlerdir. Ancak özellikle distal filtrelme sırasında damara düzgün yerleştirilememeye ve 100 mikrondan küçük parçaların filtratından tutulmasına bağlı iskemik komplikasyonlar sıklır. Özellikle bizim vakamızda olduğu gibi hassas,不稳定 yan rüptür riski yüksek karotis darlıklarında dual emboli koruyucu yöntem kullanımlı güvenli ve uygulanabilir olarak bulunmuştur. Ancak akım blokajı sırasında olabileceği iskemik intoleranç açısından dikkatli olunmalı ve işlem öncesi kontralateral kollateral akım ve vertebobazilar akım ayrıntılı değerlendirilmelidir. Bizim vakamızda olduğu gibi yüksek riskli hastalarda dual ko-ruma yanı proximal balon oklüzyon ve distal filtrelme güvenli ve uygulanabilir bir yöntemdir.



Şekil 1. Karotis Stent.



Şekil 2. Karotis Stent-2.



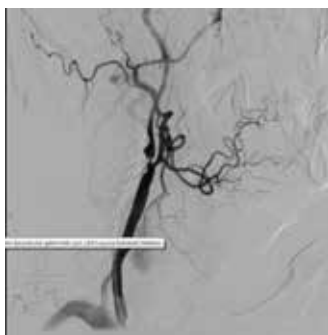
Şekil 3. Mo. Ma Filtre-2.



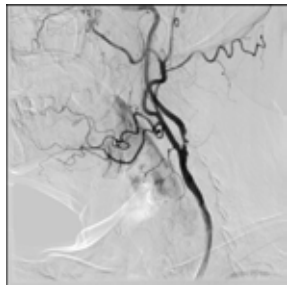
Şekil 4. Mo.Ma.



Şekil 5. MoMa Filtre.

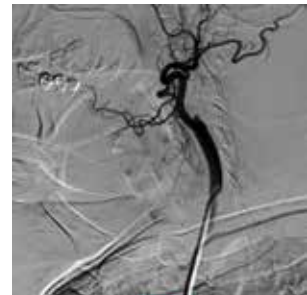


Şekil 6. Sağ ICA.

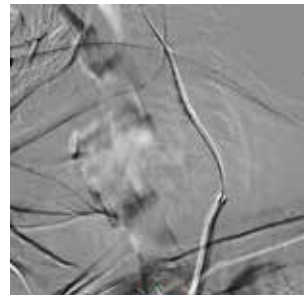


Şekil 7. Sol ICA.

nöroloji bölümüne sevk oldu. Vaka kardiyoloji ve nöroloji ekibimiz ile katater laboratuvarına alındı. Yapılan karotis anjografide sağ ICA %100 olarık saptandı (Şekil 1). Lezyon spft 0.014 "guide wire ve hidrofilik pt 2 tel ile geçilemedi. Balon desteği ile de geçilememesi üzerine önce Fielder XT ile denendi başarılı olunamaması üzerine 2.0x20 mm koroner balon desteği ile Gaia second ile lezyon geçildi (Şekil 2). Pre dilatasyon sonrası 7.0x40 mm precise self expandable stent yerleştirildi (Şekil 3, 4). Intrakranial görüntülemede sağ MCA kök enfarkti izlendi. Stent retrieval ile trombus aspire edildi. Kontrol görüntülemede MCA'nın bir dalının açıldığı izlendi (Şekil 5). Hasta 1 hafta sonra hafif sekeli olarak taburcu edildi.



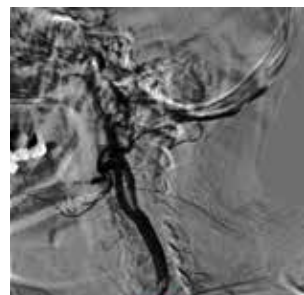
Şekil 1. Akut Stroke ve Sağ ICA %100.



Şekil 2. Lezyon Gaia second ile geçilebildi.



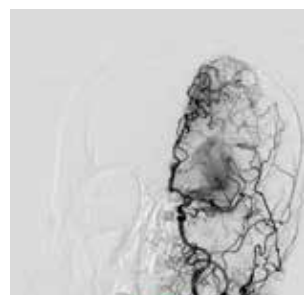
Şekil 3. Pre dilatasyon sonrası görüntü.



Şekil 4. Stent İmplantasyonu sonrası.



Şekil 5. Sağ MCA kök enfarktu.



Şekil 6. Trombektomi sonrası.

OS-54

Akut stroke'da CTO tellerine ihtiyaç olabilir

Feyzullah Beşli, Özcan Kocatürk, Fatih Güngören

Harran Üniversitesi Tıp Fakültesi, Kardiyoloji Anabilim Dalı, Şanlıurfa

Kronik total oklüzyon (CTO) telleri nispeten daha kalsifik sert lezyonları geçmek için tiretilmiş üç ağrıklarına yapılmasına göre değişik gruplar şeklinde değerlendirilirken özel tellerdir. Kardiyoloji pratığında CTO lezyonlarına müdahalede sıkılıkla kullanılan bu teller periferik işlemlerde kullanılmış gerekliliktedir. Bu alanların dışında diğer patolojilere müdahaleler noktasında da kullanılması gerekliliktedir. 60 yaşında bilinen hipertansiyon tanısı olan ve 3 saatte başlayan şursa konfuzyon ve sağ taraf bulgusu olan hasta akut stroke yapılan tetkikler sonrası sağ internal karotis arterde (ICA) near oklüzyon ve sağ mid cerebral arter (MCA) oklüzyonu saptanması üzerine hastanemi

OS-55

Percutaneous closure of iatrogenic aorta right ventricular fistula

Mustafa Ahmet Huyu¹, Asım Enhoş¹, Erdem Karaçöp¹, Barış Akdemir¹, Nijad Bakhshaliyev¹, Aylin Hatice Yamaç¹, Aydin Nadir¹, Ziya Ismayiloglu¹, Ömer Göktekin²

¹Department of Cardiology, Bezmialem University Faculty of Medicine, İstanbul

²Department of Cardiology, Memorial Şişli Hospital, İstanbul

Objective: Iatrogenic Aorta Right Ventricular fistula is a rare condition but life threatening situation. **Methods:** A patient treated by open heart surgery when he was 1 years old because of Tetralogy of Fallot, referred to our center because of a communication was noticed between the aorta and the right ventricle by transthoracic echocardiography and revealed a significant shunt. Symptoms started 2 years ago. Risk Factors/ Comorbidities are smoking (1 packs/day for 40 years).

Results: Percutaneous successful closure of this defect was attempted under general anesthesia through right femoral access.

Conclusion: Iatrogenic aortocardiac fistulas can be treated by arteriovenous loop use of the amplatzer duct occluder successfully.

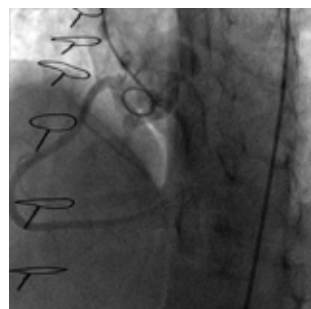


Figure 1. Iatrogenic Aorta Right Ventricular fistula.

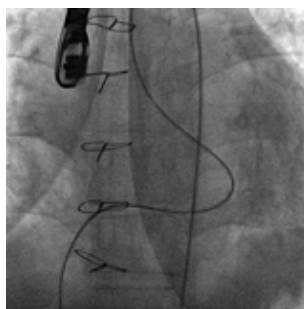


Figure 2. Arteriovenous loop.

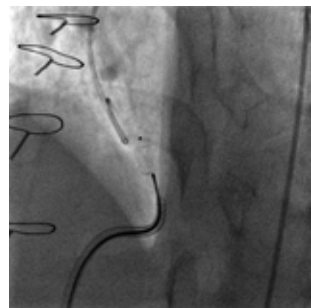


Figure 3. Positioning of the Amplatzer duct occluder.

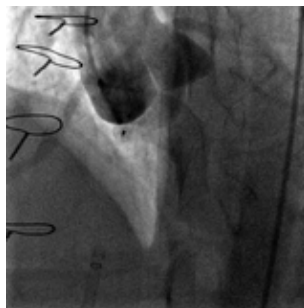


Figure 4. Final angiogram.

OS-56**Gerbode VSD + ağır TY'nin tedavisi girişimsel yolla yapılabilir mi? Konjenital Gerbode tipi VSD'nin Amplatzer Muskuler VSD Okluder cihazı ile başarılı kapatılması ve sonrasında ağır TY'nın düzeldiği bir olgu**Zeynep Colakoğlu Gevher¹, Nuh Yılmaz², Sabri Seysi³, Helen Bournaud⁴¹Kanuni Sultan Süleyman Eğitim ve Araştırma Hastanesi, Kardiyoloji Kliniği, İstanbul²İstinye Üniversitesi Liv Hastanesi, Çocuk Kardiyoloji Kliniği, İstanbul³İstinye Üniversitesi Liv Hastanesi, Kardiyoloji Kliniği, İstanbul⁴Kanuni Sultan Süleyman Eğitim ve Araştırma Hastanesi, Çocuk Kardiyoloji Kliniği, İstanbul

Giriş: Sol ventrikül kamının sağ atriyuma basınçla geçirilince neden olan, nadir görülen bir anomali olan Gerbode türündeki VSD'lerde santon mekanizmasını bazen doğrudan bağlantı, bazen de "VSD jetinin triküspit kapaklı deform etmesi sonucunda gelişen TY" aracılığıyla olmaktadır. Gerbode tipi VSD'lerin tedavisinde genel olarak cerrahi düzeltme kabul görmektedir. Bütün sunumda, triküspit kapaklı deform ederek ağır TY oluturken ve ilki başkıkta kolayca inoperable soldan sağa şanti defekte bağlı pulmoner hipertansiyon veya "cerrahi yolla VSD kapatma tedavisi" karar verebilecek bir gen erişkin hasta, tartışımımızın temelini oluşturmuştur.

Olgu: Yirmiüç yaşında erkek hasta, son altı ayda belirginleşen efor dispnesi ile gittiği merkezde kalbinde türündüğü VSD'yi bulmuştur. Ekokardiografide triküspit kapakta ağır yetersizlik, buradan alınan sağ ventrikül basıncının 100 mmHg olduğu ve perimembranöz VSD bulunduğu bildirilerek VSD'ye bağlı pulmoner hipertansiyon? / Gerbode tipi VSD? öznisi ile hastanemize sevk edilmiştir. Gereklili pulmoner arter basıncını ölçmek ve uygunsa VSD'yi transkatereter kapatmak amacıyla hasta anjiyografı yapıldı. Sol ventrikül enjeksiyonunda opak maddenin aorta aynı anda sağ atriyuma doldurduğu izlenerek hastanın sol ventrikülden sağ atriyuma sante neden olan Gerbode tipi VSD'sinin olduğunu anlaşıldı. Pulmoner arter basıncı (mmHg) sistolek: 32 diyalastik: 10 ortalaması: 21 olarak bulundu. Anjiyografı ve transstoras ekokardiografi eşliğinde sağ femoral arterden girilerek mitüsler bileseni de olan perimembranöz VSD' den geçip pulmoner artere ulaşıldı. Pulmoner arterde snare ile yakalanın guidewire femoral venden çırılçıplak loop oluşturuldu. Sağ femoral ven yoluya VSD 8 mm² lik Amplatzer Muskuler VSD Occluder ile kapatıldı. İşlem sonrasında rezidüel şant izlenmedi, ağır TY'nın düzeldiği gözlandı. Üçüncü ay kontroldünde cihaz yerinde izlendi. Rezidüel şant izlenmedi.

Tartışma: Mitral kapagın triküspit kapaga göre daha atriyal (bazal) yerlesimi iki kapak arasında sınırlı bir yerlilikle bir mesafe olmasına neden olmuştur. Mitral kapagın hemen altı ile triküspit kapagın üstü arasındaki ventrikül septumundan kaynaklanan bu tür VSD'ler gerçek Gerbode tipi VSD olarak tanımlanmaktadır. Tam olarak böyle olmasa da AV kapakları yakın mebranomusküler VSD'lerin bir kısmında sol ventrikülden VSD yoluyla geçen jet akımı, triküspit septal yaprakçığını deform ederek şanti sağ atriyuma ulaşmasına neden olur. Bu tür VSD'ler de Gerbode tipi VSD'ler arasında sınıflandırılmışlardır. Gerbode türündeki VSD'lerin yakın geçmişe kadar tedavisinde cerrahi ön planda düşünülmüş, VSD kapatılarak triküspit kapak tamiri yapılmıştır. Son birkaç yılda uygun Gerbode şanti VSD'lerin transkatereter kapatılabilmesini bildiren az sayıda çalışma mevcuttur.

Sonuç: Uygun Gerbode tipi VSD'ler transkatereter yolla kapatılabilmekte, var olan TY de kaybolmaktadır.



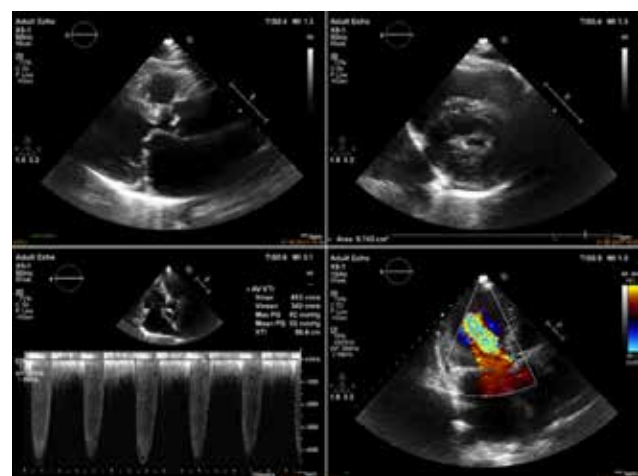
Şekil 1. Gerbode VSD'nin kapatıldıktan sonraki görüntüüsü. VSD kapatılması sonrasında rezidüel şant kalmamıştır ayrıca triküspit kapak yetersizliği açıdan hafife döntüştür.

Valvüler kalp hastalıkları**OS-57****Romatizmal üç kapak ileri derece darlığı olan genç bayan hastaya tedavi yaklaşımı nasıl olmalı?**

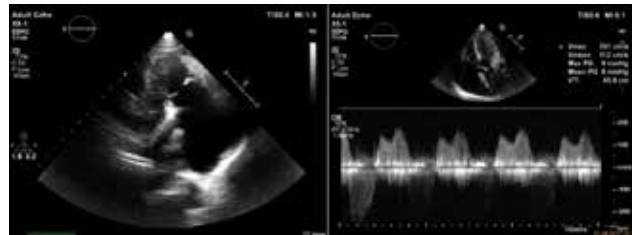
Ahmet Seyfeddin Gürbüz, Şerif Ahmet Kandemir, Yakup Alsancak, Ahmet Soylu, Mehmet Akif Düzenli

Necmettin Erbakan Üniversitesi Meram Tip Fakültesi, Kardiyoloji Anabilim Dalı, Konya

Otuz bir yaşında bilinen kronik bir hastalığı olmayan kadın hasta 5 yıl önce ikiz gebelik, gebeliğin 3. ayında abortus ile sonuçlanmıştır. 4 yıl önce bir canlı doğum olmuş. Hastanın son bir yıldır özellikle eforla ve gece yattığında nefes darlığı ortaya çıkmıştır. Hastanın son 3 aydır nefes darlığı sıkıştırıcılarının artması üzerine göğüs hastalıkları polikliniğine başvurmuştur. Astım öznisiyle kendisine inhale tedavisi başlamıştır. Kullandığı astım ilaçları ile de rahatlayamayan hasta tarafından zorlu hava吸入器 kullanılmıştır. T.A: 110/70 mmHg EKG: Normal sinüs ritmi, kalp hızı: 85/dk Ekokardiografide diastol sonu çap: 45 mm, sistol sonu çap: 23 mm, IVS kalınlığı: 13 mm, Arka duvar kalınlığı: 11 mm, Sol atriyum: 43 mm EF: %60 Asendent aorta: 38 mm Mitral kapaklar romatizmal, Ciddi Mitral Darlığı gradient: 20/11 mmHg, Mitral kapak alanı: 0.8 cm², Aort kapaklar romatizmal. Aort darlığı gradient: 82/53 mmHg, Aort kapak alanı: 1.0 cm² Aort Yetmezliği orta derece, (Şekil 1) Triküspit kapakları romatizmal Triküspit Darlığı gradient: 9/6 mmHg Triküspit yetmezliği orta derece saptandı (Şekil 2). Hastada mitral ve aort kapakları ek olarak triküspit kapakta da ileri derece darlığı bulunuştu, genç yaşta çocuk isteği olan bir bayan olması tedavi seçiminin zorlaştırılmaktadır. Üç kapak replasmanının mortalitesi NYHA sınıfı 3 olan bir hastada %20'lere ulaşmaktadır. Ayrıca Triküspit darlığına sadecə kommissirotomi yapmak yerine kommissirotomi ile birlikte antiproplasti uygulanmasından daha iyi sonuçlannı göstermiştir. Biyoprotez kapakların kullanımına mekanik kapakların tromboz riskinin yüksek olması ve çoğu kapagın tamire uygun olmaması nedeniyle tercih sebebidir. Ayrıca ne kadar genç hastalarda durabilite sorunu olsa da valve-in-valve perkütan kapak replasmanı bir sorunu ortadan kaldırır. Sol taraf kapaklar mekanik kapak replasmanı yapılmıyor olsa bile triküspit kapaga trombus riski nedeniyle biyoprotez kapak önerilmektedir. Bu vakamızda genç bayan ve çocuk isteği olan bir hasta olmasının tüm kapakları biyoprotez kapak replasmanı yapılmasını düşündürmektedir. Böylece gebelikte anti-koagulan kullanımının riskleri de ortadan kaldırılmıştır. Ancak her ne kadar valve-in-valve perkütan kapak replasmanı yapılabilir ise de biyoprotez kapakların durabilite sorunu hasta tedavisinin belirlenmesine önemli bir sorundur. TAVI ile birlikte perkütan mitral ve triküspit valvuloplasti de bir seçenek olabilir mi? Bu sunumda amacımız bu gibi hastalarda yaklaşımın tartışılmasını sağlamaktır.



Şekil 1.



Şekil 2.

OS-58

Mekanik mitral kapak trombozunda fibrinolitik tedavi

Serdar Gökhan Nurkoç, Yusuf Bozkurt Şahin, Esra Kansu, Adem Çelik, Adnan Abacı

Gazi Üniversitesi Tip Fakültesi, Kardiyoloji Anabilim Dalı, Ankara

Olgu: Kırk bir yaşında kadın hasta iki gündür olan nefes darlığı ile başvurdu.

Hikaye: Hastaya 2006 yılında mitral kapak replasmanı (MVR) yapılmıştır. Daha önce de protez kapak trombüsü nedeniyle takip edilmişdir ve doku plazminojen aktivatörleri (tPA) tedavi edilmiştir. **Fizik Muayene:** TA:110/80 mmHg, Nabız: 76/dk, BVD:/.-. Her iki akciğer bazallarinde solunum sesleri azalmıştır.Orta zondan itibaren bilateral ral mevcuttur. Metalik kapak sesleri duyulmaktadır PTÖ:/. Periferik Nabızlar açıktır. Diğer sistem muayeneleri normaldir. Laboratuvar: Hb:9.78 Plt:305.9 Wbc:8.76 Rbc:4.44 Sedimentasyon:39 mm/st CRP:27.3 mg/l Troponin:5.51 ng/l Glukoz:85 mg/dl, Bun/cr:9/0.77 mg/dl Na/K:142/4.1 AST/ALT:11/9 U/L INR:2.14 PT:25.2 sn APTT:34.1 sn, EKO: Sol ventrikül boşluğ boyutları sistolik duvar hareketleri normaldir. Duvar kalınlıklarları hafif artmıştır. Protez mitral kapakta ortala transmital diastolik gradient 16 mmHg, maksimum transmital diastolik gradient 36 mmHg'dır.MY saptanmamıştır.Mitral protez kapak posterior leaflet üzerinde trombus görünümü mevcuttur.Aort kapak kalınlaşması olup I-II AY mevcut, aort darlığı yoktur. I TY üzerinden maksimum sistolik PAB:45 mmHg saptanmıştır. Perikardiyal efüzyon yoktur. EKG: Atrial fibrilasyon vardır. Skopik incelemeye mitral protez kapakın bir leafletinin hareketsiz olduğu görüldü. Hasta akut dekompanse kalp yetmezliği ve mekanik mitral kapak trombozu tanısıyla koroner yoğun bakıma yatırıldı. Diüretik tedavi başlandı,warfarin tedavisi kesildi.Yirmi dört saatte 25 mg gidecek şekilde doku plazminojen aktivatörü (tPA) başlandı. Transtorasik EKO ile kapak gradiyentindeki değişim takip edildi. tPA'nın 24. saatinde transözefagial EKO (TEE) yapıldı.TEE'de mitral protez kapak arkası leafletingde pannus ve küçük trombus, ön leaflet komşuluğunda trombus izlendi.Mitral kapak gradiyenti 26/11 mmHg olarak ölçüldü. Altı gün boyunca 25 mg 24 saatte tPA infüzyonuna devam edildi ve 24 saatte bir EKO ve skopi ile kapak hareketleri ve gradiyent takip edildi. Takiplerinde gün geçtikçe gradiyent düştüğü izlendi ve skopi görüntülerinde ise kapak mobilitesinin iyileştiği izlendi. Son tPA dozundan sonra kontrol TEE yapıldı. TEE'de gradiyentin düştüğü, kapak hareketlerini engellemeden küçük trombusun kaldığı gözlandı. Bunun üzerine heparin infüzyonu altında warfarin başlandı. Etkin INR değeri elde edilince taburcu edildi. Kontrol TEE'de kapaktaki trombüsün tamamen kaybolduğu görüldü. Bu vaka, protez kapak trombozlarında düşük doz thrombolytic tedaviyi uzun süre vermenin başarılı sonucu almayı sağlayabileceğini göstermektedir.



PA akciğer grafisi.



tPA öncesi skopi görüntü 2.



tPA öncesi skopi görüntüsü 1.



tPA sonrası skopi görüntüsü 1.



tPA sonrası skopi görüntüsü 2.

OS-59

Management of a subacute aortic prosthetic mechanical valve thrombosis – report of a successful case

Batur Gönenç Kanar, Mustafa Kürşat Tigen, Halil Atas

Department of Cardiology, Marmara University Faculty of Medicine, İstanbul

Valvular thrombotic complications after heart valve replacement operations are associated with high morbidity and mortality. Efficient and urgent treatment is necessary. Considering the clinical status of the patient, we preferred fibrinolysis rather than percutaneous coronary intervention (PCI) or surgery. In this case report, we aimed to state that fibrinolysis is as efficient as percutaneous coronary intervention (PCI) and surgery. A 57 year-old woman was admitted for inferior STEMI with complete atrioventricular block. She had a history of aortic valve replacement one week ago by a bileaflet mechanical prosthesis (St. Jude Medical 25), in the setting of severe aortic regurgitation in a bicuspid aortic valve. She had abandoned all medication in a couple of days after surgery. She was admitted for presyncope, severe substernal chest pain, and worsening dyspnea (NYHA class III). Transthoracic echocardiography (TTE) showed dysfunctional aortic prosthesis (maximum/mean gradients 82/50 mmHg; effective orifice area (EOA) 0.8 cm²), moderate left ventricular systolic dysfunction, septum and inferior wall hypokinesia. Coronary angiography noted embolic subtotal occlusion in the mid segment of the right coronary artery (RCA). There was also thrombus formation in the proximal segment of left main coronary artery with TIMI-3 flow. After the first attempt to cannulate the ostium of the RCA, Prosthetic valve thrombosis (PVT) caused another coronary artery embolisation resulted in total occlusion of RCA. Cinefluoroscopy showed loss of mobility in one of the discs. More conservative approach was then decided and the patient initiated intravenous t-TPA and unfractionated heparin. In order to prevent another embolisation of PVT and urgently restore TIMI-3 flow in RCA. Transesophageal echocardiography (TEE) revealed a mass in the ventricular side of the prosthesis, highly suggestive of thrombi (maximum dimensions of 1.0x0.55 mm), as well as blood flow only through one of the discs as in fluoroscopy. After the end of fibrinolytic therapy, there were no ST elevation in ECG and also no need to provisional pacemaker. Serial fluoroscopic and echocardiographic examinations documented progressive resolution of the prosthetic disc blockade, with increased mobility and reduction of the transprosthetic gradients. At the end of the 10th day, the patient was extened with normofunctioning prosthetic aortic valve determined both TEE and fluoroscopy. 1 month later, the patient remains clinically stable and keeps tracking in cardiology outpatient clinic. TEE shows normofunctioning prosthetic aortic valve. In conclusion we reported peculiar multimodality images of a rare case of severe thrombosis of the aortic valve, complicated by MI, likely due to thrombus embolization. In our successful case, fibrinolysis is as efficient as PCI and surgery in hemodynamically instable patient.



Figure 1. The first attempt to cannulate the ostium of the RCA. In the middle segment of RCA, there were coronary thrombus and TIMI-III flow.



Figure 2. Prosthetic valve thrombosis caused another coronary artery embolisation resulted in total occlusion of RCA.

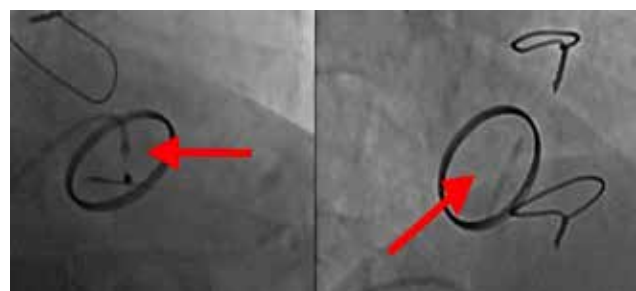


Figure 3. Cinefluoroscopic image of acute prosthetic valve thrombosis.

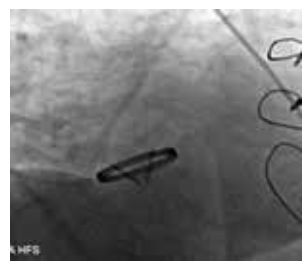


Figure 4. Normofunction of Prosthetic aortic valve after thrombolytic treatment.

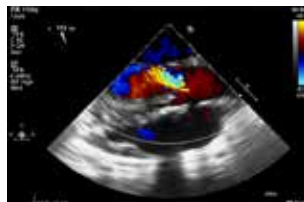
OS-60

Unruptured sinus of valsalva aneurysm associated with unusual extension and severe aortic regurgitationAhmet Anıl Şahin¹, Yaşa Birkan², Beste Özben Sadıç¹, Kürşat Tigen¹¹Department of Cardiology, Marmara University Faculty of Medicine, İstanbul²Department of Cardiovascular Surgery, Marmara University Faculty of Medicine, İstanbul

Sinus of valsalva aneurysm (SVA) is a rare cardiac malformation, which can be congenital or acquired. Small and unruptured SVAs are usually clinically silent and often discovered incidentally on imaging studies while rupture of SVA may result in aortic regurgitation and progressively deteriorating heart failure. A 42-year-old female patient was referred to echocardiography laboratory for evaluation of left ventricular function before chemotherapy for her breast cancer. She had no cardiac symptoms and her functional capacity was NYHA class 1. A cardiac pacemaker was implanted 10 years ago due to third degree atrioventricular block with slow ventricular rhythm. A coronary angiography was performed at that time and she had normal coronary arteries. Cardiac examination revealed normal S1, soft S2, and grade II/VI early diastolic murmur in the left parasternal area. Laboratory studies were within normal range. Transthoracic echocardiogram revealed normal left ventricular size and function with an ejection fraction of 60%, moderate aortic root dilatation at the level of valsalva, and aneurysmal dilatation of the right sinus valsalva. Transesophageal echocardiography(TEE) showed a SVA of 20x25 mm without any septal defect, together with severe aortic regurgitation (Movie 1, Movie 2). There was a thrombus-like echoluent image in the aneurysm.. Computed tomography angiography (CTA) demonstrated isolated unruptured saccular dilatation at the level of the right sinus of valsalva, measuring 26x26x40 mm which extends to inferobasal segment of interventricular septum and had calcifications in the aneurysm wall without thrombus formation inside (Figure 1, 2). Surgery was indicated due to severe aortic regurgitation. Bentall procedure is performed due to severe fibrotic and calcific morphology of sinus. During surgery, no septal defect or rupture was seen. After surgery, control TTE revealed no pathological findings in the prosthetic valve and in the ventricular septum.



Movie 1. Transthoracic echocardiography demonstrates sinus of valsalva aneurysm.



Movie 2. Transthoracic echocardiography demonstrates sinus of valsalva aneurysm together with severe aortic regurgitation.

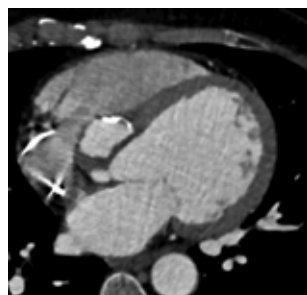


Figure 1. Cardiac CT, demonstrates unusual extension of aneurysm through interventricular septum.

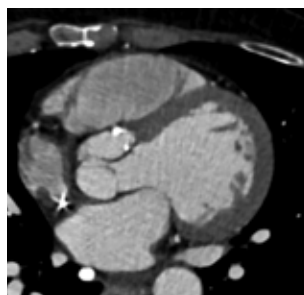
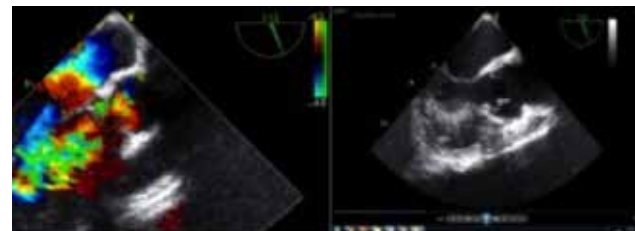


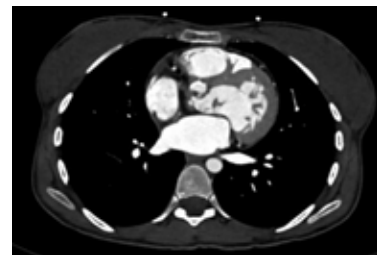
Figure 2. Cardiac CT, which demonstrates fibrotic and calcific wall of the aneurysm.

kültürtürün steril gelmesi üzerine TA aortik kapak ve kık tutulumu ile EE ayırcı tanısı için lökosit işaretli sintigrafi çekildi, asendan aortada lökosit tutulumu izlendi (Şekil 3). Bunun üzerine hasta EE kabul edildi ve antibiyotik tedavisi başlandı. Hastalığın aktive olup olmadığı belirlemek için PET çekildi, çikan aortta inflamasyon ile uyumlu duvar kalınlaşması görüldü (Şekil 4). Antibiyotik tedavisi ile CRP ve ESR yanıtı alındı, sonrasında immunsupresif tedavi verilerek inflamasyon baskıllandı. Aktif hastalık döneminde olsayan hastaşa AVR beraberinde aort kık değişimi yapıldı ve şifa ile taburcu edildi.

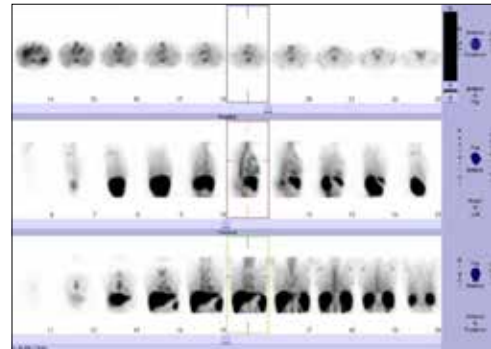
Tartışma: AY, TA hastalarında kötü sonlanım ile ilişkilidir. Hastalarda kapak ve kık değişimi genellikle olabilmekte ancak inflama ve frijil olan doku sebebi ile postop kapak ayrılmaları ve anastomotik anevrizmalar meydana gelebilmektedir. Bu sebeple cerrahi, immunsupresif ajanlar ile inflamasyon baskılaması sonrası ertelenmelidir. Hastalık aktivasyonu takibi amacıyla CRP, ESR, serum amiloid A düzeyi ve PET takibi yapılabilir. EE, TA ile sık karışan bir klinik durumudur. Aort kık ve kapak tutulumu ile EE gelişimi için uygun bir ortam meydana gelebileceği unutulmamalıdır. Bu sebeplerden ötürü TA olan hastalarda çoklu görüntüleme yöntemlerinin kullanımı ve multidisipliner yaklaşımın gerekliliği tedavi seçeneklerinin belirlenmesi amacıyla büyük önem arz etmektedir.



Şekil 1. Ekoda ciddi aort yetersizliği, aort kapakta vejetasyon ve aortoanuler abse, aorta sağ ve sol atriyum fistülizasyonu olduğu görülmektedir.



Şekil 2. Çok kesitli tomografide atriyuma açılan tünel görülmektedir.



Şekil 3. Lökosit işaretli sintigrafide asendan aorta lökosit tutulumu görülmektedir.



Şekil 4. PET'de çikan aortta inflamasyon ile uyumlu duvar kalınlaşması görülmektedir.

OS-61

Aort kapak endokarditi ve Takayasu hastalığıİbrahim Başarıcı¹, Ali Yaşa Külinç¹, Veli Yazılız², Samet Karahan²¹Akdeniz Üniversitesi Tip Fakültesi, Kardiyoloji Anabilim Dalı, Antalya²Akdeniz Üniversitesi Tip Fakültesi, İç Hastalıkları Anabilim Dalı, Antalya

Giriş: Takayasu arteriti (TA) aorta ve büyük dalların etkileyerek duvar kalınlık artışı, fibrozis, stenoz veya dilatasyona yol açan kronik inflamatuar bir hastalıktır. Bulgu ve belirtiler ateş, güçsüzlik, artralji, kladişyo ve kardiyak hastalıklardır. Tedavinin aslini kortikosteroidler oluşturur. TA'da sekonder hipertansiyon aort yetmezliği (AY), anevrizması ve retinopati prognозu belirleyen önemli komplikasyonlardır. Bu olgumuzda aort kapak endokarditi saptadığımız bir TA hastasından bahsettim.

Olgu: Yirmi bir yaşında kadın hasta, 10 yaşında başlayan ateş atakları ve eklem ağruları mevcut. On yaşında sağ klavikula sırşılı olması üzerine biyopsi yapılmış ve kronik multifokal rekürren osteomyelit(KROM) tanısı konulmuş. Kemik sintigrafisinde pelvik kemikte infiltratif lezyonlar saptanmış, seronegatif spondiloartropati düştüntürelerek immunsupresif tedavi başlanmış ve şikayetleri gerilemiş. Hastanın son 1 yıldır retrosternal göğüs ağruları başlamış. Romatolojide başvuran hasta sağ sol kol tansiyon farkı, sedimentasyon (ESR) ve CRP yüksekliği olması üzerine TA öznatısı ile yatırılmış, tifürüm duyması üzerine tarafımıza danışılmış. Fizik muayenede boyuna ve surta yayılan diastolik tifürüm,dans des arter, her iki karotis ve subklavian lojda tifürüm olduğu saptandı. Ekoda ciddi AY, her üç aortik kaspi destruktive eden vejetasyon, aortoanuler abse, aorta-sağ ve sol atriyuma fistülizasyonu olduğu görüldü (Şekil 1). Çekilen BT-anjiyoda sol subklavian arter çirkümde %40, sol ana karotis arterde %80 daralma, sinus valsalva dilatasyonu, aort kapakta kalınlık artışı, sol sinüsten ventrikül ve atriyuma açılan tünel olduğu görüldü (Şekil 2). Hastanın kan

OS-62

Mitral valve-in-ring implantation via transapical approach-further evolution of transcatheter valve procedure in the mitral positionAbdullah Arslan¹, Asum Oktay Ergenc²¹Department of Cardiology, Şırnak State Hospital, Kardiyoloji Bölümü, Şırnak²Department of Cardiology, Dokuz Eylül University Faculty of Medicine, İzmir

The development of transcatheter heart valve procedures has induced profound changes in the treatment of valvular heart disease during the past decade(1, 2, 3). Beside the bioprosthetic aortic valve's originally designated application, the transcatheter aortic valve implantation(TAVI) concept was successfully expanded to use in patients with history of previous cardiac surgery and for the treatment of degenerated mitral valve ring(4). In this case, It is a first case in turkey, we show how we threatred our patient who had mitral regurgitation and mitral ring.

Case report: 83-year-old woman was admitted to the hospital because of heart failure. She had coronary event before 7 years and threatened with coronary artery bypass graft, also because her severe MR she had undergone mitral anuler valve ring at the same procedure. She had also chronic obstructive lung disease, permanent atrial fibrillation (AF), and moderate renal insufficiency. The patient had congestive heart failure and given dopamine and diuretic intravenous. The echocardiography showed that, left ventricle ejection fraction (LVEF) was %30, there was a ring around

the mitral valve annulus, severe mitral regurgitation and moderate right ventricle dilatation and insufficiency (Figure 1). The ring was measured as 19x22x21 mm in the catheter laboratory. The EuroSCORE II was calculated as 44%, due to the surgery risk score was high we planned an implantation EDWARDS XT aortic valve into the ring via transapical approach. After performing a left thoracotomy 22 french sheath implanted to the left ventricular. The superstiff wire placed in the pulmonary vein, and EDWARDS SAPIEN XT 23 mm aortic valve was positioned to the directly ring plane over the wire, about half above and half below with respect to the mitral ring, and checked with transesophageal echocardiography (TEE) the valve was deployed by balloon inflation under rapid pacing and finally MR was mild valvular and paravalvular both (Fig. 2-3). Postoperative the first day TTE findings were LVEF 35-40% mild-moderate degree MR, the New York Heart Association (NYHA) class decreased from 4 to 2. Postop 25 day, the patient died because of infection causing respiratory failure.

Conclusion: Transcatheter heart valve (THV) procedures are constantly evolving. In general, the case we described here, treatment of recurrent mitral regurgitation after surgical ring implantation using a balloon-expandable valve. We used a balloon-expandable valve for treatment of recurrent regurgitation after ring annuloplasty in the mitral position. The patient had a dramatic improvement in her symptoms and remained in NYHA Class II. In general, this case described here demonstrate the feasibility of Transcatheter Mitral Valve-in-Ring implantation for treatment of recurrent mitral regurgitation after surgical ring implantation using a balloon-expandable valve. Hence, valve-in-ring implantation might become a valuable therapy option for many elderly patients in the future.

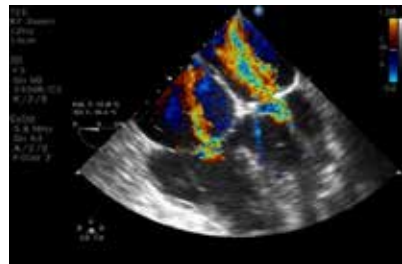


Figure 1. TEE shows us severe MR.



Figure 2. Intraoperative after implantation the valve, scopi view.

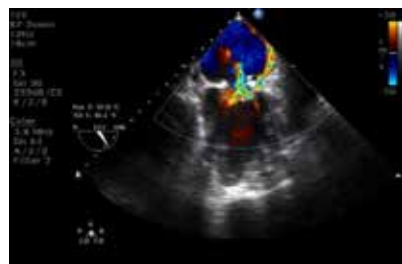


Figure 3. After the procedure, TEE shows decreased the MR, mild degree valvular and paravalvular MR.

OS-63

Chain of unfortunate events in a patient with familial hypercholesterolemia

Sevinç Aktürk, Nil Özgünçü, Cansın Tulunay Kaya, Sadi Güleç, Çetin Erol

Department of Cardiology, Ankara University Faculty of Medicine, Ankara

Familial hypercholesterolemia is a genetic disorder due to mutations in the low-density lipoprotein (LDL) receptor gene or in other genes like proprotein convertase subtilisin/kexin 9 (PCSK9). It is characterized by skin and tendinous xanthomas, xanthelomas, and increased risk of premature coronary artery disease. A 41-year-old male patient with familial hypercholesterolemia, presented with fever and dyspnea. He had a history of coronary artery bypass surgery at the age of 25. Combined mechanical mitral and aortic valve replacement were performed at the age of 32, due to severe aortic stenosis and concomitant mitral regurgitation. His father and sister also had familial hypercholesterolemia, and both died before 40 years of age. He was seen at our cardiology outpatient clinic when he was 40 years old and despite taking rosuvastatin 40 mg and ezetimibe 10 mg, his serum LDL was 501 mg/dL. Lipoprotein apheresis treatment, once in two weeks, was initiated and his serum LDL was reduced to 201 mg/dL. Adding lomitapide (small molecule inhibitor of microsomal triglyceride transfer protein) to his treatment was considered but was not started yet. At the first year of lipid apheresis, spontaneous splenic rupture occurred. It was considered to be due to splenomegaly originating from lipid deposition. Splenic rupture caused by familial hyperlipidemia is extremely rare with only one presented case in the literature. Splenectomy was performed successfully. Two weeks after the surgery, the patient started to have fever, shivering and night sweating. Ciprofloxacin was started empirically but he was admitted to the emergency department with ongoing symptoms. Echocardiography revealed paravalvular abscess around the mechanical aortic valve and an 1.7 cm mobile vegetation extending to the right ventricular outflow tract. His diagnosis was infec-

tive endocarditis. Vancomycin, rifampicin and gentamycin therapy were initiated. Repeated blood culture results were negative. Despite the treatment fever continued. Control echocardiography was similar at the first week of treatment, so he was prepared for surgery. Because of the abscess at the aortic localization, conventional coronary angiography was not possible. CT angiography revealed paraaortic abscess at the ascending aorta and fistulization between paraaortic abscess and right ventricle outlet. There were no occluded grafts. The heart team decision was surgery. Vegetations were excised and the fistula was repaired by grafting. The fever was controlled after the operation and the patient was discharged. Our case is a unique patient with familial hypercholesterolemia and infective endocarditis after splenectomy due to spontaneous splenic rupture. In the literature, splenomegaly was seen in patients with rare mutations, but spontaneous splenic rupture was reported once. Splenomegaly should be sought in patients with familial hypercholesterolemia. Though rare, spontaneous rupture can lead to serious morbidities as in our case.

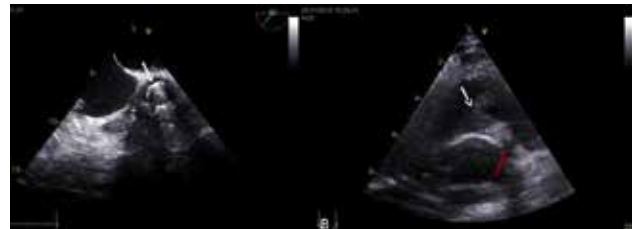


Figure 1. Paravalvular abscess around the mechanical aortic valve and an 1.7 cm mobile vegetation extending to the right ventricular outflow tract.



Figure 2. Multiple xanthomas.

Konjenital kalp hastalıkları

OS-64

Fistulaziation and compression of coronary aneurysm to left atrium

Burak Açıar, Sefa Ünal, Mustafa Bilal Ozbay, Derya Tok, Burcu Demirkhan, Halil Kısacık

Department of Cardiology, Ankara Türkiye Yüksek İhtisas Hospital, Ankara

A 33 year-old female was admitted to our cardiology department with atypical angina. She had only smoker as a cardiac risk factor. On physical examination, patient's vital signs were unremarkable. The respiratory and the cardiovascular exams were normal. The electrocardiogram showed normal sinus rhythm and the laboratory work was in normal. Echocardiography showed cystic structure adjacent to left atrium (Figure 1). Cardiac computed tomography revealed that a huge coronary aneurysm was originated from the distal part of left main coronary artery (LMCA) and compressing to left atrium (Figure 2). Coronary angiography was showed that coronary aneurysm was found distal part of LMCA and fistulization with left atrium (Figure 2) Circumflex artery was also originated from the aneurysm and had severe stenosis in ostial part. The patient was discussed with cardiovascular surgery department and surgery was planned. The patient was refused the operation and she was discharged without any problem.



Figure 1. Parasternal long axis (A) and apical five chamber view (B) of transthoracic echocardiography showing cystic structure in left atrium. LA: left atrium, LV: left ventricle, RV: right ventricle.

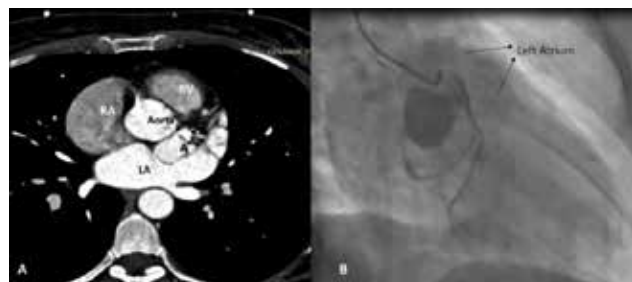


Figure 2. Computed tomography showing that coronary aneurysm was originating from left main coronary artery and compressing to left atrium (A), left coronary angiography revealing that coronary aneurysm had fistula with left atrium and circumflex artery was originating from the aneurysm (B). LA: left atrium RA: right atrium, RV: right ventricle, A: aneurysm, Cx: circumflex artery.

Koroner arter hastalığı / Akut koroner sendrom

OS-65

Sudden cardiac death due to an unruptured sinus Valsalva aneurysm

Abdullah Nabi Aslan¹, Murat Can Güney², Hacı Ahmet Kasapkara², Yakup Alsancak¹, Serdal Baştug¹, Hüseyin Ayhan², Nihal Akar Bayram², Engin Bozkurt²

¹Department of Cardiology, Ankara Atatürk Training and Research Hospital, Ankara

²Department of Cardiology, Yıldırım Beyazıt University Faculty of Medicine, Ankara

Sinus of Valsalva aneurysm (SVA) is an uncommon cardiac anomaly with a prevalence of 0.09% in autopsy series. Acquired diseases or congenital defects affecting the aortic media may lead to the aneurysm formation. Unless unruptured, SVAs are usually asymptomatic. If they became symptomatic, unruptured SVAs may cause conduction disorders, syncope, ventricular dysfunction and myocardial ischemia due to mechanical compression (3). On the other hand, sudden cardiac death (SCD) caused by unruptured SVA is an extremely rare condition. We describe a 29-year-old male patient who suffered from SCD due to acute inferior and right myocardial infarction (MI) caused by mechanical compression of right coronary artery (RCA) by an aneurysm of right sinus of Valsalva. A 29 year old male patient, without any past medical history, suffered from out of hospital cardiac arrest and admitted to our hospital. Past medical history obtained from the relatives of the patient revealed an excellent health condition without any known diseases or drug abuse. The patient had chest pain and dyspnea for two weeks and his symptoms were aggravated while he is taking alcohol at night just before the cardiac arrest. After successful resuscitation in the emergency room, spontaneous rhythm was obtained and electrocardiogram revealed 60 bpm sinus rhythm, ST elevation of 2 mm in D2-D3 and aVF and right ventricular leads with reciprocal ST depression in D1 and aVL leads (Figure 1a and 1b). There was no remarkable findings in physical examination. With the diagnosis of acute inferior and right myocardial infarction (MI), we performed coronary angiography after loading 300 mg aspirin and 180 mg ticagrelor. Catheterization of the left coronary system revealed normal left main coronary, circumflex and left anterior descending arteries (Figure 2a and 2b). Because we had difficulty in engaging the catheter to RCA ostium, aortography was performed. At aortography RCA could not be visualized but aneurysmal dilatation of the right sinus of Valsalva without aortic regurgitation was observed (Figure 2c and 2d). Despite our efforts we failed to engage the catheter to the RCA ostium. During our effort to engage RCA, ventricular fibrillation was seen and direct-current cardioversion was performed for many times. Moreover, a transient cardiac pacemaker was inserted due to severe bradycardia. Meanwhile, cardiovascular surgeons were consulted and urgent surgery was recommended for the patients. Before, chest X ray was obtained (Figure 3). In addition, CT angiography was performed to confirm the diagnosis and exclude aortic dissection. CT angiography revealed an unruptured right sinus of Valsalva of 47 x 49 mm diameter and total occlusion of the RCA (Figure 4). Heart team planned an urgent operation but cardiac arrest developed before transporting the patient to the operation room. Despite the cardiopulmonary resuscitation patient could not be redeemed.

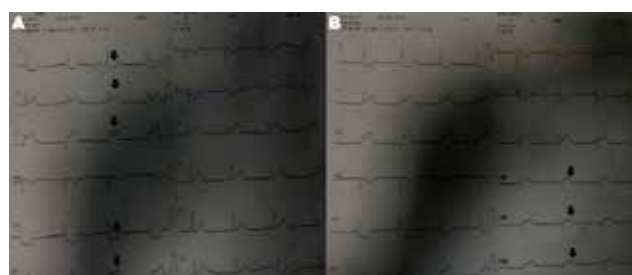


Figure 1. Electrocardiogram of the patient a) 2 mm ST elevation in D2,D3 and aVF leads and reciprocal ST depression in D1 and aVL leads (arrows), b) 2 mm ST elevation in right precordial leads (arrows).

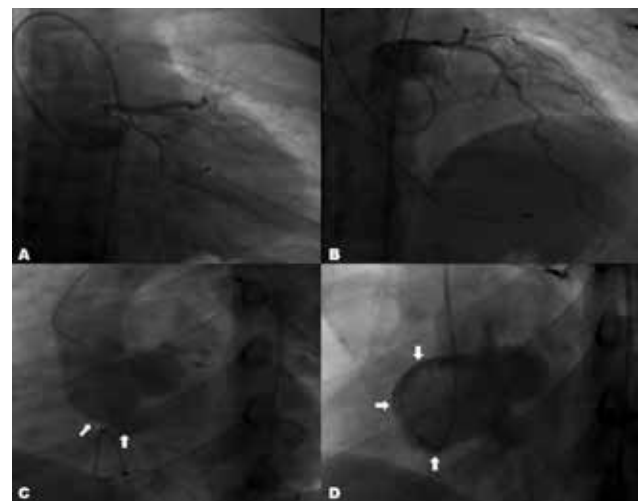


Figure 2. Coronary angiography images a) normal left main coronary and circumflex artery, b) normal left anterior descending coronary artery, c) normal left sinus of Valsalva but dilated right sinus of Valsalva (arrow), d) right sinus of Valsalva aneurysm (arrow).



Figure 3. Chest X-ray images a) completely normal mediastinum 4 years ago, b) the mediastinal dilatation due to sinus valsalva and right atrial dilatation during admission to the hospital (white arrows).

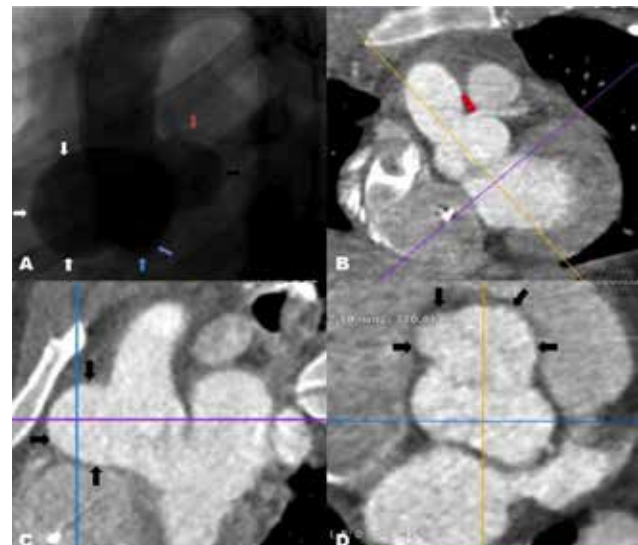


Figure 4. Computed tomography angiography images a) right (white arrows) and left (black arrow) sinus of Valsalva aneurysm, b) left main coronary artery (arrow), c) coronal view showing right sinus of Valsalva aneurysm (arrows), d) axial view showing right sinus of Valsalva aneurysm (arrows).

OS-66

Akut miyokard infarktüsiye bağlı kardiyak arrest sonrası unutulan yaklaşım: Nöroprotektif terapötik hipotermi

Abdullah Özçelik, Yakup Alsancak, Mehmet Akif Düzenli

Necmettin Erbakan Üniversitesi Meram Tip Fakültesi, Kardiyoloji Anabilim Dalı, Konya

Giriş: Hastane dışı kardiyak arrestlerde mortalite oranı %65-95 olup sağ kalanlarda nörolojik sekeliz işleyiş orası ise %10-20 gibi düşük düzeylerdedir. Diğerlerinde ise nörolojik tablonun kötü seyretmesi ve buna bağlı прогнозun bozulması en önemli sorundur. Hipotermi arrest sonrası

beklenilen bir durumdur ve nörolojik sonuçları kötüleştirmektedir. Terapötik hipotermi standart postresüsitasyon bakımında kombineli olarak nörolojik sonuçları düzeltmektedir.

Vaka: Bilinen sistemik hastalığı olmayan sigara kullanan 44 yaşında erkek hasta iş yerinde ani biliç kaybı sonrası, 112 tarafından kardiyak arrest olarak bulunmuş. 30 dakika CPR sonrası kalp ritmi sağlanan ve acile getirilen hastanın bakışları elektrokardiografisinin akut anterior miyokard infarktüsü (MI) ile uyumlu olması nedeniyle yapılan acil koroner anjiyografide; LAD D1 sonrası %100 tıkanık, yüksek çıkışlı OMI %99 tromboze izlendi. LAD proksimal ve hasta sok tablosunda olduğundan aynı seansa CX OM1 lezyonu ilaç kapılı stent implant edildi (Şekil 1). Yoğun bakıma alınan hasta mekanik ventilatör bağlılığındaki yanıt yoktu. Glasgow Koma Skoru 3-pupiller fisk dilate, beyin sapi refleksleri almamıyor ve bilateral taban derisi refleksi yanıtızdı. İstemsiz kasılmaları olan hasta 24 saat sedasyon ve terapötik hipotermi planlandı. Hastamızda akut MI tablosu olması ve yatak başı bakılan ekokardiyografiye ejeksiyon fraksiyonu %25 olması nedeniyle akiçiger ödemini tablosundan kaçınmak maksadıyla eksternal soğutma uygulandı. Hipoksik beyin açısından nörolojik önceleri doğrultusunda manitol ve antiepileptik başlanarak, bakışları beyin DSF ve difüzyon MR normal olarak değerlendirildi. EEG'si isekmik hipoksik ensefalopati ve fokal epileptik aktivitetenin varlığıyla uyumluydu. 24 saatin sonunda kademeli olarak istilan ve sedasyonu kesilen hasta takibi biliçin açılmasına nedeniley 48. saatinde extubé edildi. Takibinin 8. gününde hastanın biliçinde, kooperatif, orantasyon, motor ve duysal muayenesi normaldi. Hastaya kardiyoloji, nöroloji poliklinik kontrolden öneriler ve kardiyak rehabilitasyon programı planlanarak taburcu edildi.

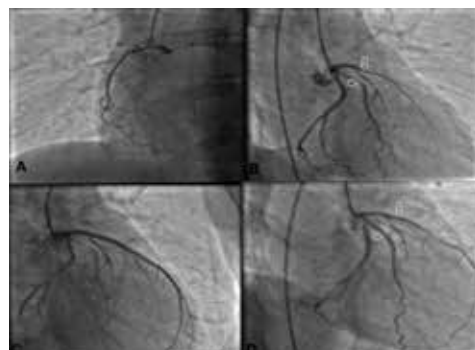
Sonuç: CPR uygulandıktan sonra spontan dolaşım sağlanan hastalara, nörolojik geri dönütün başarılı olmasını sağlamak için ilk 4-6 saat içinde vücut isısının 32-34 °C'ye indirilmesi ve hedef isiya ulaşıldığından 12-24 saat bu düzeye tutulması terapötik hipotermi denir. Hipoterminin amacı, düşük vücut isisi sağlayarak serebral ödem, konvülzyon aktivitesi, metabolik talebi ve bunlarla ilgili gelişen komplikasyonları azaltmaktadır. Bu etkileri çeşitli mekanizmalarla göstermektedir (Şekil 2). Terapötik hipotermi uygulanabilecek hastalar ve kontrendikasyonları dikkate alınarak teavi başlanmalı (Şekil 3). Arrest sonrası vücut isısının kontrolü mümkün olan en kısa sürede sağlanmalıdır. Bu vaka, kardiyak arrest sonrası uzun süre CPR yapılan uygun hastalarda genellikle ihmali edilen hipotermi tedavisinin etkinliğini göstermesi bakımından önemlidir.



Şekil 1. Hasta seçimi.



Şekil 2. Iskemik serebral koruma.



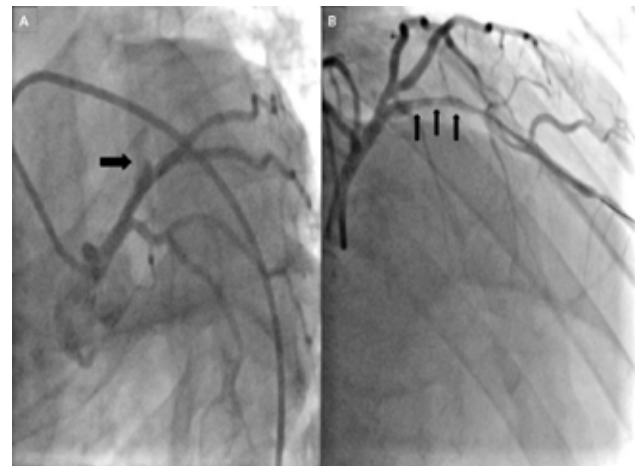
Şekil 3. LAD ve yüksek obtus arterin işlem öncesi ve işlem sonrası görüntüler.

OS-67

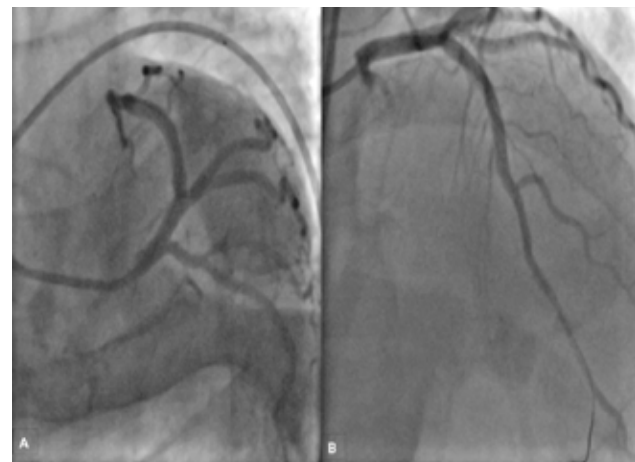
Recurrent acute myocardial infarction and percutaneous coronary intervention in a patient with thrombophilia

Hüseyin Göksütlük, Sevinç Aktürk, Nil Özütçü, Hüseyin Nazman, Yusuf Atmaca, Çetin Erol
Department of Cardiology, Ankara University Faculty of Medicine, Ankara

Factor V Leiden (FVL) mutation, associated with venous thromboembolism, is the most common hereditary thrombophilic disorder with 3-5% prevalence of heterozygous carriers. However, there are several conflicting reports about the relevance between FVL and arterial thrombosis, acute coronary syndrome, and intracardiac thrombosis. Intracardiac thrombosis (ICT) can be seen secondary to cardiomyopathies, atria fibrillation, myocardial infarction. Also, hereditary thrombophilias are the rare causes of this condition. Case presentation: We report a case of 35-year-old male, with a history of recurrent deep venous thrombosis and pulmonary embolism (in 2011). One month ago, he was admitted to our emergency department with chest pain. Primary percutaneous coronary intervention was performed and DES was implanted to the LAD (Figure 1,2). His medical treatment was optimized with ticagrelor, acetyl salicylic acid and warfarin. Ticagrelor was switched to clopidogrel. A few days after the control, he admitted to emergency department with chest pain. Electrocardiogram showed ST depression, T wave inversion and Q wave on anterior leads. Coronary angiograph showed total thrombotic occlusion at the proximal of the stent. Balloon angioplasty was performed, but there was no flow, due to the over thrombus burden. Ticagrelor (180 mg) was loaded during PCI and GpIIb/IIIa antagonist (tirofiban) infusion was started. A bare metal stent was implanted to the proximal lesion (Figure 3,4). After multiple intracoronary administration of diltiazem, nitroglycerin, adenosine, TIMI 2 flow was obtained. Due to hypotension (70/40 mmHg) intraaortic balloon pump was inserted. The transthoracic echocardiography was revealed anterior, posterior, inferior and lateral wall motion abnormalities with left ventricular ejection fraction (EF) of 40-45%. Left ventricular apical 3.5x4.8 cm thrombus were seen on the TTE (Figure 5). Thrombophilia parameters were showed to be resistant to activated protein C with 1.85 (normal range: 2.61-3.32) and a heterozygote for factor V Leiden. Serum levels of protein S, C and anti-thrombin III were normal. He was discharged with prolonged oral anticoagulation (coumadin) and dual antiplatelet (aspirin and ticagrelor) therapy due to his thrombophilic tendency. DISCUSSION: FVL is the most common known hereditary thrombophilia. Resistance to activated protein C is caused by a mutation in factor V (factor V Leiden) that affect protein C cleavage. The thrombotic effect increases with the prolongation of factor V activity. This causes venous thrombosis and predisposing to arterial thrombosis. Heterozygote carriers of factor V Leiden mutation has an increased acute myocardial infarction risk as high as 40%. Factor V Leiden mutation was detected as a probable cause of anterior AMI in our case. The main mechanism of AMI was excessive intra-coronary thrombus formation rather than atherosclerotic stenosis in the LAD artery.



Şekil 1. A) totally occluded left anterior descending artery after diagonal branch at left – caudal position (arrow) B) LAD after balloon angioplasty with excessive thrombus burden (thin arrows).



Şekil 2. A) Left anterior descending artery after angioplasty and stent implantation B) LAD after balloon angioplasty at cranial position.

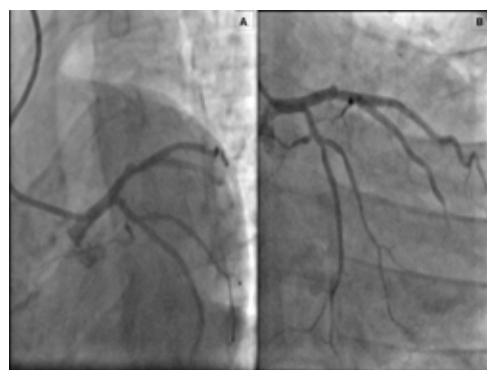


Figure 3. A) Thrombotic occlusion of the LAD in stented segment at left caudal position after second myocardial infarction B) right caudal position.

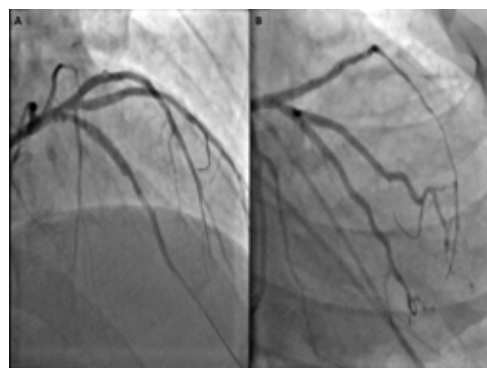


Figure 4. A) Coronary angiography after multiple balloon angioplasty to stent B) Final angiographic result after stent implantation to proximal LAD.



Figure 5. A, B) Trans-thoracic echocardiographic visualization of the Intracardiac thrombus.

OS-68

Successful pregnancy of a mother having myocardial infarction and delivery of a healthy newborn infant despite maternal radiation exposure and use of category X medications in the first trimester of pregnancy: A case report

Mustafa Çelik¹, Erdoğan Sökmen¹, Sinan Cemgil Özbeğ¹, Serkan Sivri¹, Recep Karataş², Pelin Kılıçkaya³

¹Department of Cardiology, Ahi Evran University Training and Research Hospital, Kirşehir

²Department of Cardiology, S.B. Aksaray University Training and Research Hospital, Aksaray

³Department of Family Medicine, S.B. İstanbul Training and Research Hospital, İstanbul

A 39-year-old female patient was admitted to the emergency service with severe chest pain for 90 minutes. There was only tobacco use as cardiovascular disease risk factor. The physical examination revealed: the blood pressure, 110/70 mmHg; pulse, 88 beats/min; body temperature, 36°C; respirations, 19/min. The electrocardiography on admission depicted sinus rhythm with ST-segment elevations in V1-V4 and I-aVL, and reciprocal ST-segment depression in I2-3 and aVF. Upon ascertaining the diagnosis of acute anteroscpal ST elevation myocardial infarction, the initial medications including oral 300 mg ASA and 600 mg clopidogrel, and intravenous 0.3 cc enoxaparin followed by 0.8 cc subcutaneous enoxaparin were administered. The patient was immediately transferred to the cardiac catheterization lab. A 98% LAD stenosis after second diagonal branch was detected in the coronary angiography. Due to highly thrombotic nature of the lesion, an intracoronary bolus of tirofiban was administered followed by infusion in proper dosage. Moreover, the lesion was pre-dilated using a 2.5x20 mm balloon and then a 3x20 mm drug-eluting stent was implanted, which yielded a TIMI 3 coronary flow. Post-procedural echocardiography revealed a left ventricular ejection fraction (LV EF) 45% with akinesis of LV apex and hypokinesis of the anterior septal and lateral LV walls. The patient was administered to coronary care unit and put on a treatment including ASA 300 mg once daily, clopidogrel 75 mg once daily, subcutaneous enoxaparin 0.8 cc twice daily, atorvastatin 80 mg once daily, bisoprolol 10 mg once daily and ramipril 5 mg once daily during her 4-day hospital stay. 2 weeks after her discharge, she was admitted to obstetrics and gynecology clinic with the suspicion of pregnancy. In her examination, she was found out to be 5 weeks pregnant with beta hCG level to be 7613 mIU/ml. Accordingly, she was told to terminate her pregnancy due to her recent myocardial infarction and the likelihood that maternal radiation exposure during angiography and the antiaggregant therapies along with her oral use of statin and angiotensin-converting enzyme treatment might have affected the fetal development.

Despite all risks, she made her decision in favor of continuation of the pregnancy. Furthermore, with ramipril and atorvastatin treatments stopped, while ASA, clopidogrel and bisoprolol treatments continued, she was asked to attend the clinic monthly for follow-up. In the 3rd month follow-up, the patient's LV EF was 50% with restored LV apical wall motion. Accordingly, bisoprolol was discontinued, while ASA and clopidogrel were continued. In the 6th month follow-up, LV EF was 56% with only mild anterior LV wall hypokinesis. At that time, clopidogrel was discontinued, while ASA was continued. A cesarean delivery was performed with no complication at 38 week. A thorough examination of the newborn infant showed no sign regarding congenital anomaly.

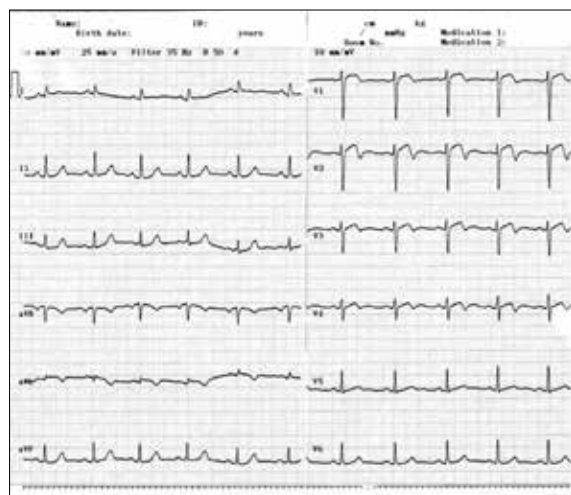


Figure 1. Electrocardiography on admission.



Figure 2. ECG strips on the second post-procedure day.

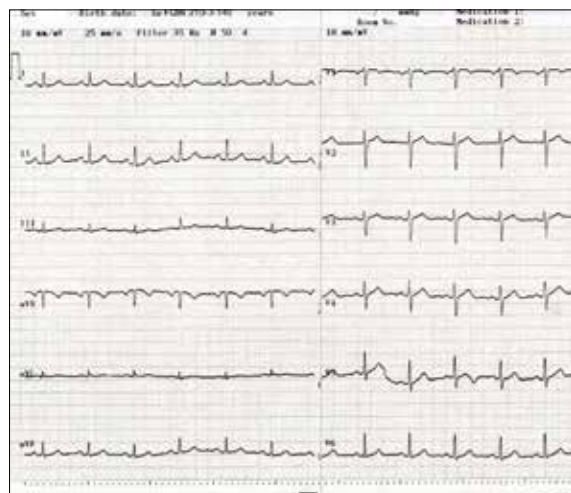


Figure 3. ECG strips recorded on the day of delivery.

OS-70

Cerrahi olarak koroner trombus aspirasyonu yapılan nadir bir ST yükselsel miyokart infaktüsü vakası

Hüseyin Göksültük¹, Hüseyin Nazman¹, Evren Özçınar², Ömer Akyürek¹,
Veysel Kutay Vurgun¹, Çetin Erol¹

¹Ankara Üniversitesi Tıp Fakültesi, Kardiyoloji Anabilim Dalı, Ankara

²Ankara Üniversitesi Tıp Fakültesi, Kalp Damar Cerrahisi Anabilim Dalı, Ankara

Giriş: Miyokard infarktüstü ve kararsız angina pektoris gibi akut koroner sendromlarda intrakoroner trombüs (IKT) sıkça rastlanmaktadır. IKT yükü fazla olan hastalarda distal embolizasyon, "no-reflow" fenomeni gelişme riskini artırır ve uzun dönemde restenoz gelişimi riskini de artırr. Ayrıca perkütan koroner girişim (PKG) (stent takılan yada takılmayan) sonrasında tekrar tikanma ve ST yükselsel MI geçirme riskini belirgin olarak artırır. Aynı zamanda akut koroner sendromlu hastalardaki intrakoroner trombus varlığı perkütan koroner girişim sonrasında hastane içi ve 30 günlük kardiyovasküler olayların ve mortalitenin bağımsız öngördürütücü olarak bildirilmiştir. **Ölgu:** Bizim sunacağımız 61 yaşında bilinen hipertansiyon tanısı olan ve tipik göğüs ağrısı ile acil servise başvuran erkek hastadır. Hastada sevk edilen EKG'de prekordiyal derivasyonlarda ST segment elevasyonu saptanması üzerine anterior MI ön tanımla anjiyografi laboratuvara alındı. İşlem öncesi akıl olarak yapılan transtorasik ekokardiyografi anterior (bazal, orta) ve apikal duvarda hipokinezie saptanmış olup EF: %45 tespit edilmiştir. Hastaya acil olarak KAG yapıldı ve LAD ortada trombotik tam tikali olarak izlendi (Şekil 1). Hastaya acil PTCA (2x20 mm balon, 12 atm) yapıldıktan sonra ortada dual LAD olduğu saptandı. Septalleri veren LAD de akım sağlanmış (Şekil 2, 3) fakat diagonalları veren LAD ye tekrarlayan PTCA yapılmasına ve intrakoroner tirofibana yapılmasına rağmen distal akım sağlanamadı (Şekil 4). Perkütan trombus aspirasyonu yapılmasına rağmen distal akım sağlanamadı. Hastanın göğüs ağrısı ve EKG de ST elevasyonu devam ettiği ve hastanın hemodinamisi bozulduğu için (TA:80/60 mmHG) acil CABG kararı verildi. Hastaya IABP takıldıktan sonra acil şartlar altında operasyona alındı. İşlem esnasında cerrahi olarak trombus aspirasyonu yapıldı (Şekil 5). Postop dönemde hasta hipotansif seyrettiği için ECMO altında takip edildi. Takiplerinde hemodinamisi düzeltme hatta ECMO'ya ayrıldı. Sadece cerrahi trombus aspirasyonu yapılan takipteki segmenter duvar hareket bozukluğu devam eden göğüs ağrısı olmayan hasta medikal tedavisi düzenlenerek taburcu edildi.

Tartışma: Balon anjiyoplasti ve stentleme akut MI tedavisinde, güvenli ve etkili tedaviler olarak kabul görmüş yöntemlerin birlikte işlem sırasında lezyon bölgesinde trombotik tikanma silikarşlaşan durumlardandır. Intrakoroner trombus varlığı, distal embolizasyon ya da no-reflow fenomeni nedeniyle, olumsuz sonuçlarının bir göstergesi olarak görülmektedir. Balon anjiyoplasti veya stentleme öncesi trombus aspirasyonu ve distal embolizasyon için mekanik bir koruma cihazının kullanılması gibi çeşitli yöntemler tanımlanmıştır. Literatür incelemesi yapıldığında 1 tane vakamızda benzer ancak RCA kaynaklı trombüs cerrahi koroner trombus aspirasyonu yapılmıştır. Bizim vakamızda perkütan trombus aspirasyonu yapılmasına rağmen distal akım sağlanamaması üzerine cerrahi aspirasyon yapılmış ve hasta bu işleminden fayda görmüştür.



Şekil 1. Koroner anjiyografide tam tikali olan LAD.



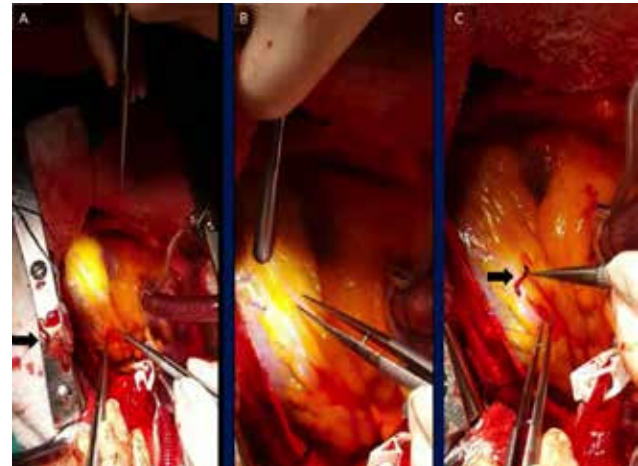
Şekil 2. LAD yePTCA işlemi yapılmış.



Şekil 3. PTCA sonrası septalleri veren LAD de akım sağlandı.



Şekil 4. Tekrarlayan PTCA ve intrakoroner tirofibana rağmen diagonalalleri veren LAD de akım sağlanamaması.



Şekil 5. Operasyon sırasında trombusların çıkarılması.

Girişimsel kardiyoloji / Kapak ve yapışal kalp hastalığı

OS-71

TAVİ işlemi esnasında balon rüptürü gelişen hastanın yönetimi

Şakir Arslan, Nermine Bayar, İsa Öner Yüksel, Göksel Çağıcı, Erkan Kökü

Antalya Eğitim ve Araştırma Hastanesi, Kardiyoloji Kliniği, Antalya

Seksen sekiz yaşındaki erkek hasta efor dispnesi yakınımasıyla kliniğimize başvurdu. Tetkiklerde ciddi aort darlığı (aort kapak alanı sureklilik denklemi ile 0.7 cm^2) saptanmış hastaya konsey kararı ile transkater aort kapak replasmani (TAVI) yapılması karar verildi. Transözefageal ekokardiyografi ile ölçülen aortik anulus çapı 27mm olan hastaya ana femoral arterin 6mm ve tortılı olması nedeniyle Edwards Sapien S3 kapak implantasyonuna karar verildi. Hastaya sedasyon altında girişim planlandı. İşlemden önce aort kık anjiyografisi yapıldı, bu esnada desenden aortin belirgin tortüöz ve yer yer kalsifik olduğu, asendan aortun horizontal olduğu gözlemlendi. İşlem esnasında Safari 2 guidewire üzerinde öncelikle balon predilatasyon yapıldı. Balon dilatasyonu ile eş zamanlı olarak yapılan opak enjeksiyonunda paravalvuler yetersizlik izlenmedi. 29 mm kapak delivery sisteme yüklerek kasiktan ilerletilmeye başlandı. Kapak, sheathten çıktıktan sonra koaksiyal olunamaması nedeniyle sisteme zorlukla yüklendi. Ancak nativ aort kapak düzeyinde geldiğinde kapakın balon üzerinden 2-3 mm kadar sıyrıldığı gözlemlendi. Hastanın hemodinamisi de göz önüne alınarak kapağın yerleştirilmesine devam edildi. Kapak uygun pozisyonu getirilip implantasyon için balon sıkıştırıldığında kapağı açılamadığı, balonun patlamış olduğu saptandı (Şekil 1, 2). Bunun üzerine kapak delivery sisteme geri alındı, sheath ile beraber delivery sistem geri çekildi. Hastanın dışına alınan kapak yeni bir delivery sisteme yüklendi. Aynı kasiktan yerleştirilen yeni sheath içinden kapak tekrar gönderildi. Aort tortüzesi nedeniyle kapak daha yukarı seviyede yüklendi. Başarılı olarak kapak implantasyonu sağlandı. Komplikasyonsuz olarak işlem sonlandırıldı. TAVI işleminin daha yaygın kullanımıyla birlikte farklı komplikasyonlara karşılaşma olasılığımız artmaktadır. Kapak implantasyonu esnasında balonun rüptürü olması oldukça talihsız bir durumdu. Bu durum yoğun kalsifikasyon veya tortüze nedeniyle olabilir. Tortüzenin fazla olduğu olgularda daha sert tel kullanımı ile sorun üstesinden gelinebilir. Bu olgularda komplikasyonun zamanında tespiti ve doğru yönetimi ile aynı kapagın başarılı olarak implantasyonu mümkündür.



Şekil 1. Aortun belirgin tortüöz olduğu izlendi.



Şekil 2. Delivery sisteme, üzerinde kapak yerleştirilmiş olan balonun patlamış olduğu görüldü.

OS-72

Trans-subclavian transcatheter aortic valve implantation in a patient with thoracic and abdominal multilayer flow modulator stents

Hasan Arı, Mehmet Melek, Ahmet Tütüncü, Sencer Çamci, Selma Arı, Alper Karakuş, Mustafa Kimik, Burcu Çavlan, Veysi Can, Berat Uğuz, Gökhan Özmen, Kubra Doğanay, Tahsin Bozat

Department of Cardiology, Bursa Yüksek İhtisas Training and Research Hospital, Bursa

Multilayer flow modulator (MLFM) stent is used in patients with complex thoracic and abdominal aortic aneurysm. The MLFM is used especially in cases where large arteries such as the renal, celiac artery feed from the aneurysmal sac. There isn't a transcatheter aortic valve implantation (TAVI) case report in patients with MLFM stent in literature. We report a TAVI case in which patient the MLFM stent was implanted because of thoracoabdominal aneurysm.

Case: A 76-year-old male patient admitted to our clinic with complaints of fatigue and shortness of breath. In the past of the patient; It was learned that an MLFM stent was implanted 3 years ago due to thoraco-abdominal aortic aneurysm and 1 year ago another stent was added to this stent. It was learned that the patient was operated on by sternotomy due to bullae in the lung 20 years ago. The patient's echocardiography showed severe aortic stenosis (gradient: 74/42 mmHg) and moderate aortic regurgitation. The ejection fraction was 55% and the pulmonary artery systolic pressure was 60mmHg. Multislice CT showed multiple MLFM stents in the thoracic and abdominal aorta without serious lesions in the coronary arteries (Figure 1, 2). The aortic annulus was calculated as 2.5 cm and left subclavian artery was calculated as >6 mm (Figure 3). The logistic euro score was 24% and the STS mortality or morbidity score was 27%. In the cardiology and cardiac surgeon's council, it was decided to perform the TAVI procedure to the patient. Because the MLFM stent was in the thoracic abdominal region, it was decided to use the left subclavian region for TAVI procedure. Procedure: The left subclavian artery was imaged and punctured using an 8F right guiding catheter placed in the left femoral artery. Two proglides were inserted into the subclavian artery. Also an 0.018 protection wire was inserted using the 8F right guiding catheter placed in the left femoral artery. An 8x40 mm peripheral balloon was delivered via a 0.018 catheter and parked in the descending aorta. A guide pigtail catheter was inserted into the aortic annulus via the right radial artery and the transient pacemaker was inserted into right ventricle via the right femoral vein. A 29 mm self-expandable valve (CoreValve) which delivered with a 14F catheter in the left subclavian region was placed successfully with rapid pacing (Figure 4). The subclavian artery occluded with proglides was checked and the procedure was terminated successfully without any complication (Figure 5).

Conclusion: The TAVI procedure has been successfully performed via left subclavian artery in a patient with a thoracoabdominal MLFM stent. Because the MLFM is a self-expandable and soft-structured stent, it is obvious that the manipulations to be performed from this stent site may damage the stent and may move the stent from its site. For this reason, alternative access routes such as subclavian artery and carotid artery should be used in such cases.

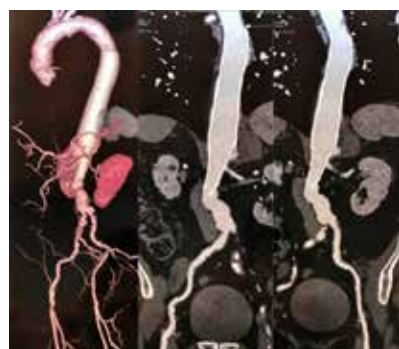


Figure 1. Multiple MLFM stents in the thoracic and abdominal aorta.



Figure 2. Multislice CT of coronary arteries.

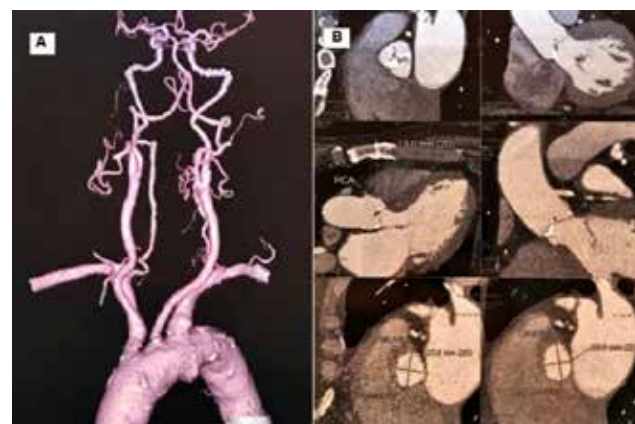


Figure 3. Aortic annulus and left subclavian artery.



Figure 4. 29 mm self-expandable valve implantation.



Figure 5. Aortic valve and left subclavian artery control.

OS-73

Tavi sonrası açıklanan ateşin nadir bir nedeni: Akut aortik intramural hematom

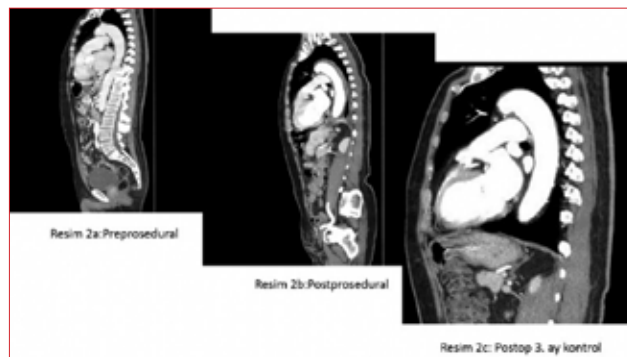
Bilal Şentürk, Ebru Özpelit, Reşit Yiğit Yıldız, Oktay Ergene

Dokuz Eylül Üniversitesi Tip Fakültesi, Kardiyoloji Anabilim Dalı, İzmir

Yetmiş sekiz yaşında erkek hasta dispne şikayeti ile klinikimize başvurdu. Yapılan ekokardiyografisinde ciddi aort darlığı saptandı (Transaortik gradient: 89/54 mmhg, AVA: 0.6 cm², EF %60, SPAB: 65 mmHg) İleri ya da ciddi kronik obstruktif akciğer hastalığı olan hastaya yüksek cerrahi risk nedeniyle konseyde transkaterter aortik kapak implantasyonu (TAVI) kararı alındı. Hastaya transfemoral yol ile 29 mm Evolut-R biprotez aortik kapakimplante edildi. İşlemde komplikasyon olmadı. İşlemden 24 saat sonra hastada ateş yakınıması oldu. Kan parametrelerinde lökositoz, sedim, CRP yüksekliği gözlemlendi. Fizik muayenesinde enfeksiyon odağına rastlanılmadı. Ardlı kan kültürleri alındı. Kültürlerde üremre olmadı. Enfeksiyon hastalıklarınca hastaya ampirik iv dördüncü kuşak sefaloportan tedavisi başlandı. Infekatif endokardit ötüründen yapılan transtorasik ekokardiyografide infekatif endokarditli uyumlu görüntüme rastlanılmadı. Hastanın ateşinin devam etmesi üzerine enfeksiyon tedavisi devam etti. Vankomisin ekledi ve hastaya işlem sonrası 10. günde transsefajal ekokardiyografi yapıldı (TOE). Infekatif endokarditli uyumlu olabilecek görünüm saptanmadı ancak desandan aortada kreszentik ekojenite, lümene protrüde olan hareketli yapı gözlemdi (Şekil 1). Plak? intramural hematom? olarak değerlendirildi. Hastanın TAVI öncesi yapılan BT anjiosu tekrar değerlendirildi. Desandan aortada plak izlenmedi (Şekil 2a). Bunun üzerine TOE görüntüsü akut aortik intramural hematom olarak değerlendirildi. Tanıtı netleştirilmek amaçlı BT anjografi çekildi ve intramural hematom tanısı doğrulandı (Şekil 2b). Literatür baktığımızda nedeni açıklanamayan ateş olgularının etyolojisinde akut-kronik diseksyonlar ve intramural hematom yer aldığı görüldü. Olası mekanizmanın disekte aort duvarı ve intramural hematom bölgesindeki doku harabiyeti nedeniyle lökositlerden salınan endojen pirojenlerin olabileceği ve ateşin genelde 2-3 hafta devam ettiği sonra kendiliğinden sonlanıldığı bildirilmiştir. Bizim olgumuzda akut aortik intramural hematom tanısı düşünülmüşle antibiyotik tedavisi sonlandırıldı. ASA+Klopodogrel+enoksaparin alan hastada ASA ve enoksaparin tedavisi kesildi. Bir hafta izlem sonrasında hastanın ateş, lökositoz düzeldi ve hasta sorunsuz taburcu edildi. Hastanın işlem sonrası 3. ay kontrollerinde çekilen BT anjioda intramural hematomun kaybolduğu görüldü (Şekil 2c). Bu olgu akut aortik sindromlarının nedeni bilinmeyen ateş ile ortaya çıktıği ilgi çekici bir olgudur. Benzer vakalarda aküda tutulması önerilmektedir.



Sekil 1. Desandan aorta intramural hematom, TOE görüntüsü.



Şekil 2. İşlem öncesi, işlem sonrası, postop 3. ay, BT anjio görüntüleri.

Aritmi / Elektrofizyoloji / Pacemaker / CRT-ICD

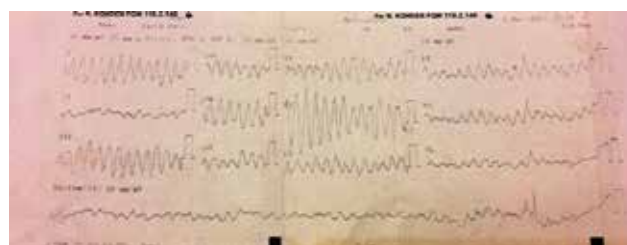
OS-74

Pregabalin ve ketiapin kombinasyonu, uzun QT sonrasında ventriküler fibrilasyon

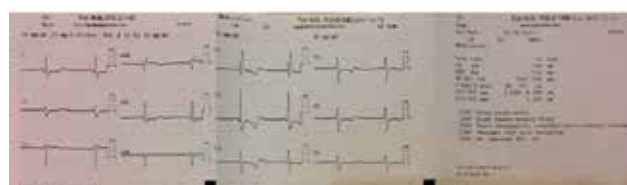
Zafer Yalim

S.B. Yozgat Şehir Hastanesi, Kardiyoloji Kliniği, Yozgat

Ventriküler repolarizasyonu olanın diş uzamasını gösteren bu durum, miyosit içine K akışındaki artma sonucu ya da gecikmiş Na akımı nedeniyle olur. QT aralığını uzun olup olmadığı belirlemek için Bazett formülü kullanılarak düzeltilmiş QT (QTc) hesaplanır. Erkekler 440 ms ve kadınlarda 460 ms değerleri aşılması hafifde abnormal uzamış QTc kabul edilir. QTc değeri 550 ms olan bir hasta, 450 ms olan bir hasta göre %63 oranında daha yüksek kardiyak olay riski olduğu tahmin edilmektedir. Bizim vakamızda; öyküsünde koroner arter hastalığı ve diyabetes mellitus varlığı bilinen 55 yaşındaki bayan hasta acil servise tekrarlayan senkop şikayetini ile başvurdu. Hastanın acil servisinde çekilen EKG 'de nodal ritim varlığı ve uzun QTc izlendi ve geçici pace maker ile hasta koroner yoğun bakıma izlem amacıyla yatırıldı. Hastanın senkop sırasında çekilen EKG'de ventriküler fibrilasyon geliştiği izlendi. Kardiyoversiyon sonrası çekilen EKG' de sinus ritimi ve QTc süresinin 550 msn olduğunu görüldü. Bradikardik seyreden hastanın beta blokör tedavisi ile birlikte depresyon ve diyabetik nöropati nedeniyle almış olduğu pregabalin ve ketiapin tedavisi kesildi. Hastanın takiplerinde QTc süresi normalde gerilediği görüldü. Edimsel uzun QTc nedenleri arasında genellikle ilaçlar (kardiyak ya da antidepresan vs.) veya elektrolit dengesizliği bulunmaktadır. Diyabetik nöropati ve depresyon tedavisinde sık kullanılan ilaçların beraber alınması durumunda, ölümçü aritmiler yol açabileceğini görülmüştür. QTc uzamasına neden olabileceğii literatürde bildirilen pregabalin ve ketiapin tedavisi kombinasyonunun daha dikkatli kullanılması gerekmektedir. Bu ilaçların kullanımı sırasında mutlaka kardiyoloji konsultasyonu istenmeli ve hastalar kardiyoloji hekim tarafından takip edilmelidir.



Şekil 1. Senkop sırasında gelişen torsades de pointes EKG görüntüüsü.



Şekil 2. Uzun QT (QTc 550 ms) aralığı izlenen EKG görüntüüsü.

OS-75

Electrical storm in ischemic cardiomyopathy treated with epicardial catheter ablation in the presence of left ventricular thrombus

Firdevs Ayşenur Ekezler, Bahar Tekin Tak, Habibe Kafes, Funda Özlem Karabulut, Özcan Özeke, Fırat Özcan, Serkan Çay, Serkan Topaloğlu, Dursun Aras

Department of Cardiology, Ankara Türkiye Yüksek İhtisas Hospital, Ankara

Introduction: There are only limited data available as to safety and efficacy of catheter mapping and ablation of ventricular tachycardia (VT) in the presence of left ventricular (LV) thrombus.

Case presentation: A 61-year-old male patient admitted to hospital for the management of severe electrical storm (ES). The patient experienced multiple appropriate shocks. He had experienced an anterior myocardial infarction(MI) and subsequently underwent a failed percutaneous coronary intervention 3 years ago. The systolic function of the left ventricle was severely impaired. The ICD was implanted 2 years ago for primary prevention. He underwent endocardial catheter ablation of drug refractory sustained VT 1 year ago. He was on chronic oral amiodarone and mexiletine therapy. When presenting with ES, 12-lead ECG showed monomorphic VT (Figure 1). Because of frequent VT episodes and failure of antiarrhythmic therapy, catheter ablation of VT was planned. LV thrombus was diagnosed by preprocedural transthoracic echocardiography (TTE). He had protruding, large, apical, partial-organized thrombus on TTE (Figure 2). His TTE 2 months before the admission showed no lv thrombus. As the ECG-guided morphological analysis of the arrhythmia was convenient with an epicardial origin (pseudodelta wave and wide QRS complexes) of the arrhythmia and unknown timing and nonwell-organized appearance of LV thrombus, epicardial ablation was decided to perform. VT could be successfully treated by catheter ablation via subxiphoidal pericardial approach. During more than 3 months of follow-up, patient had no symptoms and monthly ICD interrogations have not recorded any ventricular arrhythmic events.

Discussion: Endocardial versus epicardial approach of catheter ablation depends on the location of the arrhythmia substrate, which varies with the type of the underlying disease. Sustained VT in the presence of coronary artery disease is most often the result of prior MI. Arrhythmogenic substrate in patients after MI is predominantly located endocardially. Generally, an epicardial approach is performed in 17–19% of VT ablation procedures (16% for ischemic cardiomyopathy). Data on VT ablation in the setting of LV thrombus are limited. Endocardial ablation of VT in the presence of well-organized intracavitary LV thrombus is feasible and is associated with a similar success rate to historical studies in patients without thrombus. Epicardial approach could be an option for patients who have intra-ventricular thrombi, especially epicardial VT is suspected. But, the reported complication rates associated with epicardial ablation range from 0.6 to 4.1%.

Conclusion: In patients with life-threatening drug refractory VT or ES, the presence of a left ventricular thrombus represents a difficult clinical scenario. Thus an individual approach is advisable and considering both benefits and potential risks of catheter ablation methods is necessary.

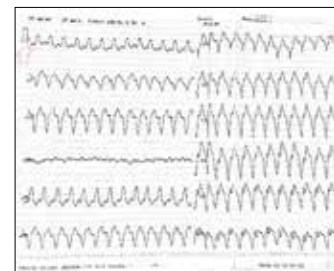


Figure 1. Twelve-lead ECG showing a monomorphic ventricular tachycardia (VT).



Figure 2. TTE, apical 4-chamber view of LV thrombus.

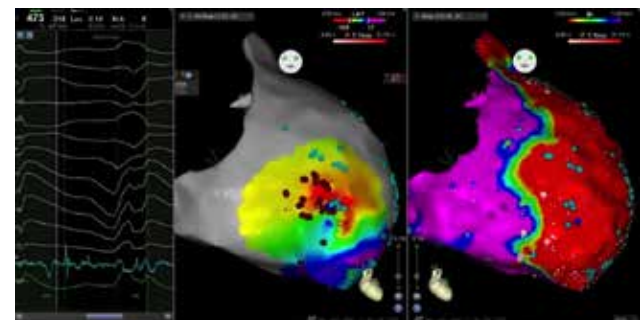


Figure 3. Electroanatomical mapping with CARTO.

OS-76

Coronary sinus stenosis due to suturing during mitral valve surgery and successful left ventricular lead implantation

Ismail Polat Canbolat, Ozgur Kaplan, Sabri Demircan

Department of Cardiology, Istanbul Bilim University Faculty of Medicine, Istanbul

Cardiac resynchronization therapy (CRT) is a device therapy leading to improved cardiac functions and survival in heart failure patients. Stenosis and occlusion in coronary sinus (CS) can lead to unsuccessful left ventricular lead implantation despite technological improvements. Surgical epicardial lead implantation and coronary vein angioplasty and stenting are options for ideal LV lead implantation. Here, we report our case with CS stenosis due to suturing of CS during mitral valve replacement and successful coronary vein angioplasty. Our patient was 56 years old female admitting to our outpatient clinic with dyspnea. She had mechanical mitral valve replacement 3 months ago due to severe rheumatic mitral regurgitation. Her symptoms worsened after surgery. Her functional capacity was NYHA-3. She had left bundle branch block on electrocardiography. Transthoracic echocardiography showed depressed ejection fraction %22. We planned to implant CRT-D. Coronary sinus angiography was performed. Lateral vein was thin and had subtotal occlusion in the proximal segment. Posterior lateral vein had 2 side branches and both had proximally occlusions. Lateral branch of posterolateral vein was targeted for left ventricular lead implantation. 0.0015-inch guidewire hardly passed through lateral branch but lead could not pass. We used Inner catheter to give us better support and used Fielder wires, but LV lead could not be implanted. We planned CS angioplasty due to lack of other optional veins for LV lead implantation. Balloon angioplasty was performed with 2.5X15 mm balloon starting from mid segment to the ostium of lateral

brunch. During inflating balloon, we saw proximal and mid segment of lateral brunch was sewed. LV lead could not be inserted after highly inflated balloon attempts. A bigger non-compliant balloon was selected and inflated with higher pressures and longer dilatation times. Lateral brunch occlusion resolved. LV lead was implanted after successful CS angioplasty.



Figure 1. Coronary sinus angiography.



Figure 2. Lateral brunch stenosis due to stitches.



Figure 3. CS successful angioplasty with NC balloon.



Figure 4. LV lead implantation.

Lipit / Koruyucu kardiyoloji

OS-77

Familial hypercholesterolemia patient: determined coronary plaque in real time 2D and 3D transthoracic echocardiography

Mustafa Yildiz¹, Dogac Oksen¹, Gkiozde Moumin¹, Bengisu Keskin¹, Okay Abaci¹, Nazire Baskurt Aladag²

¹Department of Cardiology, Istanbul University Institute of Cardiology, Istanbul

²Department of Internal Diseases, Kartal Dr. Lütfi Kirdar Training and Research Hospital, Istanbul

Introduction: Familial hypercholesterolemia (FH) is an autosomal dominant hereditary disease, arised with mutations in the low density lipoprotein (LDL) receptor. Mostly heterozygous forms diagnosed in adults are seen which have one mutated allele inherited from diseased parent. Homozygous form with two mutated alleles is rare and diagnosed in childhood. The incidence of FH in most populations is approximately 1/500 persons. FH patients mostly diagnosed in adult ages characterized by life threatening complications such as atherosclerosis and plaque formation, which predominantly affects proximal portion of coronary arteries. Patients have high mortality rates due to early cardiac events.

Case: A 23 year - old woman was consulted to cardiology clinic with hypercholesterolemia and multiple tendinous xanthomas. The patient's mother had a history of sudden death with unknown reason at younger age and her sister is also diagnosed with hypercholesterolemia. Dermatological examination revealed extensive and multiple tuberous xanthomas along the achilles tendon, extensor tendons of elbows and knees (Figure 1). Her hematological parameters and urea, creatinine, liver function tests, thyroid function tests were normal. Laboratory investigations of lipid profile was presented in Table 1. Calcification around the right coronary artery ostium and stenosis in the proximal portion was noted at her 3-D and 2-D echocardiographic examination (Figure 2). Coronary angiography documented 70% stenosis in the ostium of right coronary artery and medical treatment was recommended (Figure 3). Ramipril 5 mg, aspirin 100 mg, metoprolol 25 mg, rosuvastatin 40 mg and ezetimib 10 mg per day subscribed. During the 3 months of follow up she has not any symptoms. On the account of 350 mg/dl LDL levels inspite of 3 months dual antihyperlipidemic therapy, proprotein convertase subtilisin/kexin type 9 (PCSK9) inhibitor (Alirocumab) was prescribed.

Discussion: Coronary angiography is the gold standard for detection of the coronary artery stenosis, however, in some patients with high quality of transthoracic echocardiographic view, 3D echocardiography permits evaluating proximal portions of left main coronary artery and right coronary artery with sufficient sensitivity and specificity values. Genetic tests to determine FH can be useful, however due to increased costs these are not routinely applicable. Xanthomas are pathognomonic for FH, also it is suggested that size of xanthomas are directly related with the severity of atherosclerosis and correlated with duration of hypercholesterolemia. Monoclonal antibodies against PCSK9 reduce plasma PCSK9 concentration and enhance hepatic LDL receptor function, through this an extra 40-60% reduction in LDL can be obtained. Many of the patients reach targeted LDL levels but there is not enough data whether these drugs also prevent from cardiovascular diseases.

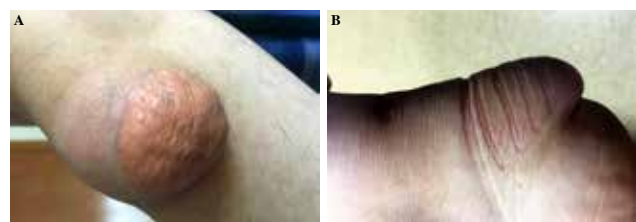


Figure 1. (A) Xanthomas along the achilles tendon and extensor side of elbow. (B) Xanthomas along the achilles tendon and extensor side of elbow.

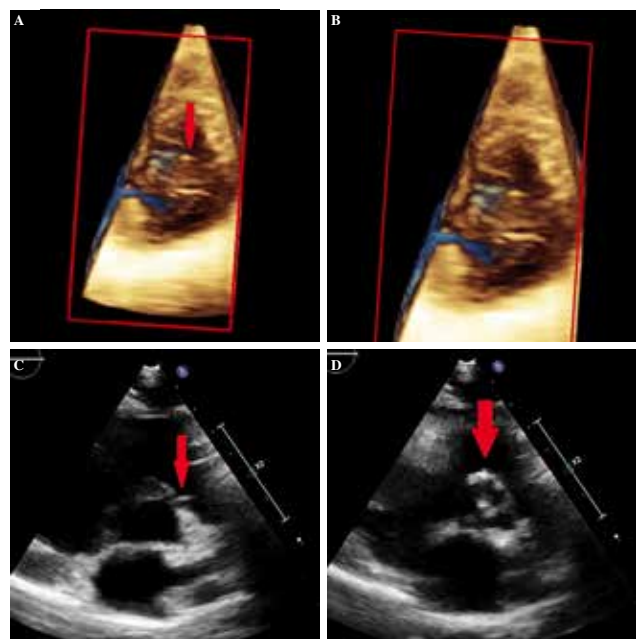


Figure 2. (A) 3D and 2D Echocardiographic view of ostetal stenosis in right coronary artery and aortic valve sclerosis. (B) 3D and 2D Echocardiographic view of ostetal stenosis in right coronary artery and aortic valve sclerosis. (C) 3D and 2D Echocardiographic view of ostetal stenosis in right coronary artery and aortic valve sclerosis. (D) 3D and 2D Echocardiographic view of ostetal stenosis in right coronary artery and aortic valve sclerosis.

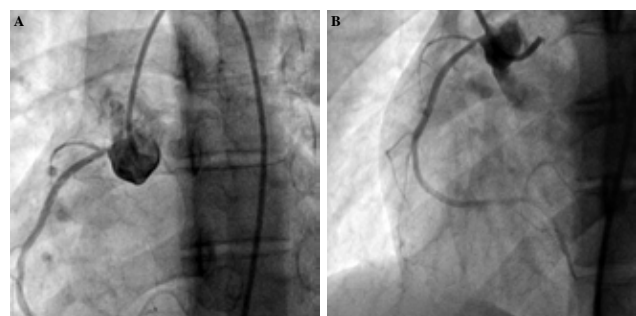


Figure 3. (A) Coronary Angiography; %70 stenosis at the ostium of right coronary artery. (B) Coronary Angiography; %70 stenosis at the ostium of right coronary artery.

Table 1. Lipid levels at admission and after 3 months rosuvastatin 40 mg, ezetimibe 10 mg medication are noted in the table

Lipid Parameters	Initial	After 3 months
Total Cholesterol (mg/dL)	702	432
LDL (mg/dL)	626	382
HDL (mg/dL)	46	46
Triglycerides (mg/dL)	147	97
LDL/HDL	13,6	8,3

OS-78

Valve conduit detachment plus persistent patent shunt with right heart failure long time after cabrol procedure: a case report and review of the literature

Suat Görmel¹, Uyar Çağdaş Yüksel¹, Murat Çelik¹, Erkan Yıldırım¹, Cem Barçın¹,
Yalçın Gökoglan², Hasan Kutsi Kabul¹, Barış Buğan¹, Kubilay Karabacak¹, Salim Yaşar⁴

¹Department of Cardiology, Güllhane Training and Research Hospital, Ankara

²Department of Cardiology, Çorlu State Hospital, Tekirdağ

³Department of Cardiovascular Surgery, Güllhane Training and Research Hospital, Ankara

⁴Department of Cardiology, Etimesgut Military Hospital, Ankara

The etiology of ascending aortic aneurysms is mostly multifactorial including increasing age, hypertension, atherosclerosis, genetics, tobacco use, and connective tissue disorders. Risk factor reduction of aortic aneurysms is an important goal either treatment along with medical therapy or various surgical options. A 61-year-old man presented without any complaints for routine cardiology control. The patient was hospitalised for right heart failure 6 months before with severe lower-extremity edema and excessive weight gain. In 1997, he had undergone a modified Cabrol operation including a Cabrol fistula with use of a composite valve graft for recurrent severe aortic insufficiency associated with markedly dilated sinuses of Valsalva and aortic annulus. The Cabrol operation is preferred for reoperations and in cases of extensively calcified aneurysmal aortas, dissection extending into the coronary ostia, and low-lying coronary ostia in which mobilization of the coronary ostial buttons to the ascending aortic graft would result in tension. Low rates of long-term complications after Cabrol procedure are coronary insufficiency resulting from kinking of graft limbs, acute thrombosis of the arterial limbs of the Dacron conduit, detachment of the prosthetic valve, endocarditis and patent Cabrol shunts. In conclusion, our case shows a surgical complication of an ascending aortic aneurysm. Although most Cabrol shunts will close within the first postoperative week, symptomatic patients should be monitored for signs suggesting continued patency of the shunt, and all patients should have frequent follow-up. Our patient demonstrated a small shunt which was able to be conservatively treated, although some cases may require further surgery.



Figure 1. Computed Tomographic Scan - Patent Cabrol Fistula.



Figure 2. TTE Parasternal Long Axis - Aortic Detachment View.



Figure 3. TTE Parasternal Short Axis - Aortic Detachment View.

Kardiyak görüntüleme / Ekokardiyografi

OS-79

Characterization of microvascular injury after acute ST elevation myocardial infarction: a cardiac MRI case report

Ahmet Demirkiran, Quirine Kolff, Maarten Van Leeuwen, Ramon Van Loon,
Albert Van Rossum, Niels Van Royen, Robin Nijveldt

Department of Cardiology, VU University Medical Center, Amsterdam

Introduction: Microvascular injury (MVI) is a combination of microvascular obstruction and intramyocardial hemorrhage, usually seen after reperfusion of prolonged coronary occlusion due to damage and dysfunction of the microvasculature. Accurate detection of MVI is of great importance, since it has been identified as an independent predictor of poor prognostic outcome following myocardial infarction. We present a case that illustrates how cardiac MRI with different modalities plays an important role in visualization and identifying actual size of MVI and infarct area.

Case: A 45-years-old male with history of smoking presented to the coronary care unit, 7 hours after onset of chest pain. On admission, blood pressure was 110/70mmHg with a pulse rate of 96/min, electrocardiography showed ST segment elevation in the inferior leads. Primary percutaneous intervention (PCI) with stenting was performed in the proximal and mid circumflex artery, with normal post procedural TIMI flow. Cardiovascular Magnetic Resonance (CMR) was performed 3 days after admission to assess cardiac function and infarct characterization on a clinical 1.5T MR system. First, established techniques were used: Volumetric analysis of the cine images (panel A) revealed an LVEDV of 174mL and LVEF of 48%. T2 STIR imaging showed a well demarcated area of high signal intensity consistent with myocardial edema with an attenuated signal in the infarct core suggesting intramyocardial hemorrhage.(B) After administration of gadolinium-based contrast agent, the late enhancement images confirmed the previous findings, with delayed wash-out of contrast in the infarcted myocardium (white arrow), normal wash-out in remote (asterisk), and lack of contrast diffusion into the infarct core (blue arrow) due to the injured microvasculature.(C). Recent developments in CMR sequences provide the ability to further characterize the infarcted area. T2 mapping was used to quantify the extent of edema which demonstrated long T2 relaxation time in the infarcted myocardium (82 ± 1.9 ms); a shorter T2 relaxation time was found in the core which could not be discriminated from remote (54 ± 2.9 ms versus 52 ± 2.4 ms).(D) Thus, T2* imaging was used to confirm the presence of MVI in the infarct core, by measuring a very short T2* relaxation time of 5ms(E), indicative of iron deposition due to degradation of hemoglobin. Additionally, pre-contrast T1 mapping showed normal T1 values in remote myocardium with long T1 relaxation times in the infarcted myocardium due to the increased extracellular space and myocardial injury, and shorter T1 values in the core due to hemorrhage.(F)

Conclusion: CMR is an established technique to evaluate patients after acute myocardial infarction. Using traditional sequences, function, edema and infarct size can be measured. However, the newer tissue mapping techniques provide incremental value, by quantification and discrimination of the different areas of myocardial injury.

Kardiyak görüntüleme / Ekokardiyografi

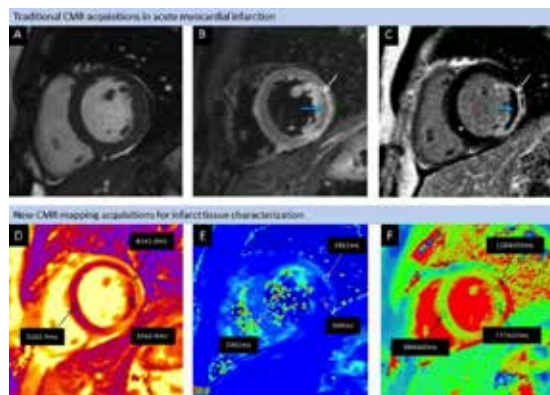


Figure 1. CMR acquisitions at the mid short axis level through infarct core.

OS-80

A case of immunoglobulin G4 related periarteritis together with multiple tumorous lesions of the coronary arteries

Nazli Turan¹, Müge İrem Akbulut¹, Seda Türkân Tan Kürklu¹, Aysegül Gürsoy Çoruh²,
Çetin Kayhan Atasoy², İrem Dinçer¹

¹Department of Cardiology, Ankara University Faculty of Medicine, Ankara

²Department of Radiodiagnostic, Ankara University Faculty of Medicine, Ankara

Introduction: Immunoglobulin (Ig) G4 related disease is a novel clinical entity characterized by diffuse lymphoplasmacytic infiltrates and presence of abundant IgG4-positive plasma cells with extensive fibrosis. It is frequently associated with tumoral lesions and elevated serum IgG4 concentrations. Immunoglobulin G4 related disease can affect various organs, but mostly the glandular or ductal tissues. It rarely affects the heart. In this case, we report a patient with multiple Ig G4 related tumorous lesions of the coronary arteries.

Case: A 82-year-old man was referred to our hospital with anorexia, unintended weight loss and muscle aches.A transthoracic echocardiography (TTE) was performed and revealed preserved left ventricular systolic function and a mass behind the left atrium. A thoracic computed tomography (CT) was performed with a prediagnosis of malignancy. The CT revealed three separate tumorous lesions around the right coronary artery, left anterior descending artery and circumflex artery, extending along these arteries. The radiographic appearance of the lesions were not compatible with malignancy. No pathological involvement was found in favour of malignancy on PET imaging. Serum Ig G4 level was >1.47 g/l (reference range 0.039-0.86 g/l). Then, we started oral corticosteroid therapy with prednisone at a dose of 0.5-0.6 mg/kg/day. The dose was gradually tapered over a period of six months.After 6 months of corticosteroid therapy, the CT study was repeated and showed a partial response with a reduction in the size of the perivascular soft mass around the coronary arteries. Serum Ig G4 level also showed a decline after the therapy.No adverse event has been observed during the medical follow-up.

Discussion: IgG4 related disease was first described in pancreas as type 1 auto-immune pancreatitis, and subsequently was reported in every organ system. IgG4-related systemic disease can be manifested as periarteritis, often as inflammatory abdominal aortic aneurysm.Histopathological examination is the gold standard for the diagnosis of IgG4-RD because clinical manifestations as well as serological findings are largely non-specific. In our case,we did not have a histopathological sample, due to the complexity of the location of the lesions.Also, our patient did not have an indication for surgery, unlike other reported cases of IgG4-RD periarteritis. We made the diagnosis by radiological and serological methods (eg; elevated serum IgG4 levels). According to the diagnostic criteria for IgG4-R, our case was in the "possible diagnosis" arm. Generally the corticosteroid therapy should be applied for 6-12 months. In the reported cases of IG-G4 RD cardiovascular involvement is quite rare,our case is one of them.By presenting this rare case we pointed the importance of treatment response;including a reduction in the lesion dimensions and Ig-G4 levels, and the most important clinical healing without having exact histopathological diagnose.

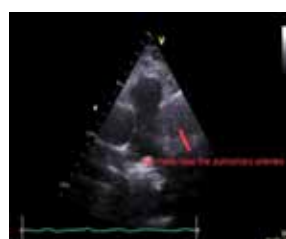


Figure 1. The mass near the pulmonary arteries.

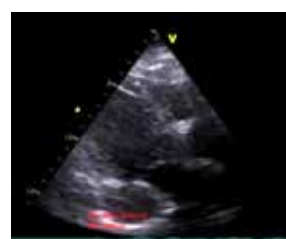


Figure 2. The mass behind the left atrium.

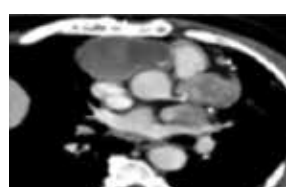


Figure 3. Oblique axial contrast-enhanced CT shows focal masses around the coronary arteries,suggesting periarterial fibrosclerosis,before and after treatment.

OS-81

Acute mesenteric infarction and aortic intramural haematoma in a patient with nonvalvular atrial fibrillationNuri Köse¹, Tamer Kirat¹, Gökhan Ergün², İbrahim Altun², Fatih Akın²¹Department of Cardiology, Private Yücelen Hospital, Muğla²Department of Cardiology, Muğla Sıtkı Koçman University Training and Research Hospital, Muğla

Introduction: Thromboembolism is a severe complication in atrial fibrillation. In this article, we present a nonvalvular chronic atrial fibrillation case with a thrombus in the left atrial appendix, who developed acute mesenteric infarction due to migration of that thrombus to superior mesenteric artery and concomitant ascending aorta hematoma under 2 months of effective oral anticoagulant therapy.

Case: A 66-year-old woman with chronic atrial fibrillation was seen in the cardiology outpatient unit. Transthoracic echocardiography revealed mild mitral and tricuspid regurgitation, moderately dilated both atria with left ventricular ejection fraction of 50%. In addition, a fixed ball type thrombus with a size of 8x12 mm in the LAA was detected in the parasternal short axis view (Fig 1A). Ascending aorta was mildly dilated (43 mm). Oral warfarin treatment was started and the international normalized ratio (INR) were regularly controlled within a good therapeutic window. Two months later, the patient presented to the emergency department with an acute onset of severe colic abdominal pain, nausea, vomiting and diarrhea that had lasted for two days. The physical examination revealed diffuse abdominal tenderness without defence or rebound and hypoactive bowel sounds. Multiple air-fluid levels were detected in the erect plain abdominal radiograph. The thrombus in the LAA was seen to disappear in the transthoracic echocardiography. Moreover, 8 mm sized IMH which starts at the level of sinus valsalva, runs along 4 cm to the tubular aorta and wraps the aortic lumen as a semilunar without any intimal flap was seen in the transthoracic echocardiography (Fig 1B). The diameter of ascending aorta was 43 mm and no flap was seen in the conventional aortography. Due to the IMH, mild luminal narrowing could be seen in the proximal ascending aorta (Fig 2A). Superior mesenteric artery was suboccluded with a luminal defect consistent with thrombus in the mid portion in the mesenteric artery angiography (Fig 2B). The IMH was medically followed-up. In the general surgery consultation, surgical treatment was decided to be carried out for acute mesenteric infarction. Laparotomy revealed widespread necrosis and some nonnecrotic but severe ischemic areas in all of the small intestines. Total resection of small intestines that started 20 cm away from the Treitz ligament, left hemicolectomy and end to side anastomosis were performed. Nevertheless, the patient died from recurrent intestinal hemorrhage and progressive sepsis on the fourth operation day.

Conclusion: Anticoagulant therapy in patients with an atrial fibrillation may facilitate bleeding of the aorta wall and migration of left atrial appendix thrombus. To our best knowledge, this is the first case who had acute mesenteric embolism despite effective oral anticoagulant therapy with concomitant aortic IMH in the literature.

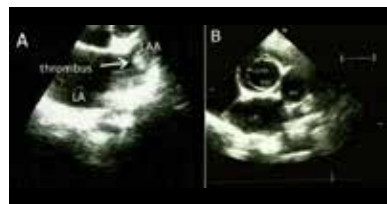


Figure 1. (A) LA thrombus is seen in LAA (white arrow) in the parasternal short axis view in the transthoracic echocardiography. (B) Crescentic IMH is seen in the proximal ascending aorta in the parasternal short axis view in the transthoracic echocardiography. LA: Left atrium, LAA: Left atrial appendage, ASC AORT: ascending aort, PA: main pulmonary artery, IMH: Intramural hematoma.

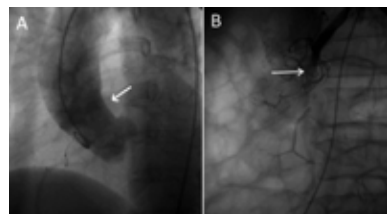


Figure 2. (A) Mild straight luminal defect due to the IMH (arrow) in the proximal ascending aorta is seen in the aortography. (B) Thrombus that cause subtotal occlusion in the mid superior mesenteric artery (arrow) is seen in angiography.

OS-82

A very rare case report: cardiac amyloid regression after autologous stem cell transplantationTürkcan Seda Tan Kurklu¹, Çağdaş Özdiş¹, Tamer Sayın¹, İrem Dinçer¹, Demet Menekşe Gerede Uludağ¹, Sinem Civriz Bozdag², Çetin Erol¹¹Department of Cardiology, Ankara University Faculty of Medicine, Ankara²Department of Hematology, Ankara University Faculty of Medicine İbn-i Sina Hospital, Ankara

Introduction: Diagnosis of amyloidosis relies on clinical awareness of and suspicion for the disease, clinical features, blood and tissue analysis, and positive findings on biopsy. In patients with AL amyloidosis, serum and/or urine immunofixation generally reveals a monoclonal gammopathy. Measurement of serum free kappa and lambda light chains demonstrates an excess of either kappa or lambda in greater than 90% of cases of AL amyloidosis and is a very useful test for monitoring response to therapy.

Case report: A 57- year-old woman had referred to the emergency service with right upper abdomen pain in 2013. Following examination acute cholecystitis had been diagnosed. After, laparoscopic cholecystectomy pathology of choledoch had been reported as primary amyloidosis. For searching the reason of amyloidosis bone marrow biopsy had been performed to the patient. It had resulted in multiply myeloma. After that she had been given chemotherapy drugs in the haematology clinic. Because of dyspnoea and pretibial oedema symptoms, she consulted our cardiology department. Transthoracic echocardiography(TTE) was performed in our clinic. TTE demonstrated cardiac amyloidosis with severe tricuspid regurgitation. Cardiac transplantation was approved by

Cardiology Board after performing the bone marrow transplantation. Low dose ACE inhibitor and low dose beta blocker treatment was given to her. And also, oral diuretic was given once a day. Then after bone marrow transplantation, control TTE was performed. TTE demonstrated regression of cardiac amyloidosis. Tricuspid regurgitation has regressed from severe to mild and cardiac contraction has improved. And also, her symptoms have improved and her exercise capacity has increased. As a result cardiology board decided to cancel the cardiac transplantation.

Discussion: High-dose chemotherapy with autologous stem cell transplantation is generally poorly tolerated in patients with cardiac amyloidosis, but bortezomib-based regimens have proved to have great promise in rapidly controlling the underlying plasma cell dyscrasia and stabilizing the patient. Long-term survival is increasingly common. In many patients, normalization of serum free light chains is associated with significant improvement in heart failure despite the apparently unchanged appearance on echocardiography, most likely because of removal of the cardio toxic effects of the amyloid precursor. But this case report indicated cardiac amyloid regression after autologous stem cell transplantation (bone marrow transplantation). It is the first time that cardiac amyloid regression has been observed. There are some data for discontinued progression of cardiac amyloid but neither recovery nor regression has been displayed. For this reason, our case report is a rare presentation of cardiac amyloidosis.



Figure 1. Amyloid regression and mild tricuspid regurgitation.

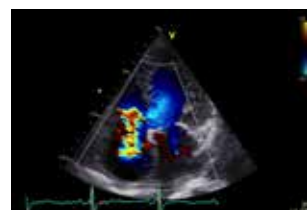


Figure 2. Amyloidosis with severe tricuspid regurgitation.

OS-83

An unusual complication of lead extraction

Ahmet Korkmaz, Beşik Demirtaş, Özgür Uçar Elalı, Deniz Şahin, Mehmet Ileri, Ümit Güray

Department of Cardiology, Ankara Numune Training and Research Hospital, Ankara

Introduction: A 53-years-old man with Brugada syndrome presented with inappropriate shocks due to abnormal sensing and noise detection on the ventricular lead of his implantable cardioverter defibrillator (ICD). He received an ICD for primary prophylaxis 3 years prior to current presentation. The passive fixation ventricular lead was planned to be removed due to lead fracture.

Material and methods: The lead extraction was performed in supine position under local anaesthesia and light sedation with fluoroscopy guidance, via the left subclavian vein. The pre-procedural transthoracic echocardiogram (TTE) was unremarkable. The pacemaker pocket was opened and the pulse generator disconnected from the lead. The lead were then dissected toward the subclavian vein and the insertion pins clipped using a lead clipper. Next, a locking stylet was advanced upto the tip of the electrode in the RV lead and deployed. The integrity of the lead-locking stylet assembly was ascertained by gentle traction. Mild traction force was applied to the locking stylet to straighten the alignment of the lead and the dilating sheath. The next generation in mechanical lead extraction TightRail™ Spectranetics system with firm steady traction the lead could be mobilized from the right ventricular apex and removed. Remnants of fibrous tissue previously surrounding the lead were on the removed material (Figure 1).

Results: As soon as the RV lead was removed sudden hypotension and tachycardia occurred in the patient. TTE revealed a mobile thin fibrillary echogenic structure in right chambers and also compression of the right cardiac chambers were observed, confirming the diagnosis of cardiac tamponade. Pericardiocentesis was urgently performed and the hemopericardium quickly evacuated. A 5-Fr pigtail catheter was left in the pericardial space for continuous drainage. Drainage gradually decreased after 24 h. The draining catheter was removed after 4 days when TTE and transesophageal echocardiography (TEE) confirmed persistence of floating long highly mobile thin fibrillary echogenic structure which extending from superior vena cava-right atrium (Figure 2-4) and proluberating right ventricle and only minimal pericardial effusion. However, the net drop in complete blood count did not require blood transfusion (hemoglobin dropped from 13.1 g/l to 10.5 g/l; platelets dropped from 310x10⁹/l to 201x10⁹/l). Multi-detector computed tomography (MDCT) angiography showed similar TTE and TEE findings and no pulmonary embolism. The condition of the patient remained stable during the rest of the hospital stay and he was discharged on the ninth hospital day, after echocardiography confirmed minimal residual pericardial effusion. At the 1 year follow-up, the clinical course was uneventful and echocardiographic findings remained the same.

Conclusions: To our knowledge, this is the first reported case of ventricular or atrial endomyocardial tissue tear after transvenous lead extraction that was identified by echocardiography.

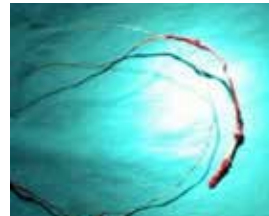


Figure 1. Remnants of the fibrous tissue previously surrounding the lead on the removed material.



Figure 2. Transesophageal echocardiography bicaval plane revealing mobile tissue extending from the lumen of vena cava superior into right atrial cavity.

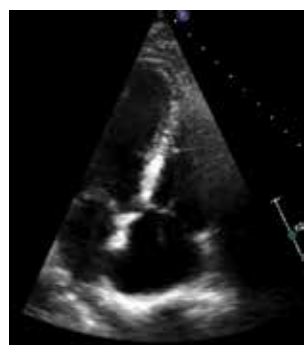


Figure 3. Transthoracic echocardiography revealing mobile tissue extending from the right atrium to right ventricle.

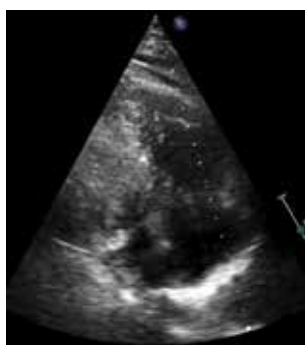


Figure 4. Transthoracic echocardiography revealing mobile tissue extending from the right atrium to right ventricle.

Girişimsel kardiyoloji / Koroner

OS-84

Accessory LAD taking origin from left sinus of valsava. A previously undefined coronary anomaly: Type X Dual LAD?

Abdi Bozkurt, Çağlar Emre Çağlayan, Buğra Karaarslan

Department of Cardiology, Çukurova University Faculty of Medicine, Adana

We have performed coronary angiography to a 55-year old male patient with complaints of CCS 2-3 angina in our catheter laboratory. There were critical stenotic lesions in proximal left anterior descending (LAD) and proximal left circumflex (LCX) arteries (Figure 1 A&B). We have implanted drug eluting stents to the aforementioned lesions. At the time of LAD stent implantation, we have recognized another LAD silhouette running parallel to the LAD vessel we perform intervention to (Figure 3 A, white arrow). We selectively engaged our guiding catheter to the accessory LAD and performed angiography (Figure 1 D). Branching of LAD and LCX arteries via different origins with absence of left main coronary artery (LMCA) is a fairly frequent coronary anomaly observed during coronary angiography. However, this case is absolutely different from separately originating LAD and LCX anomaly. In our case, the patient has a normal LMCA giving rise to LAD and LCX arteries. The LAD part originating from LMCA is giving rise to first diagonal branch and some septal arteries. The rest of the LAD artery is originating directly from left sinus of valsava and giving the rest of the septal branches. We think this case may be an interesting dual LAD anomaly, which has not been defined before.

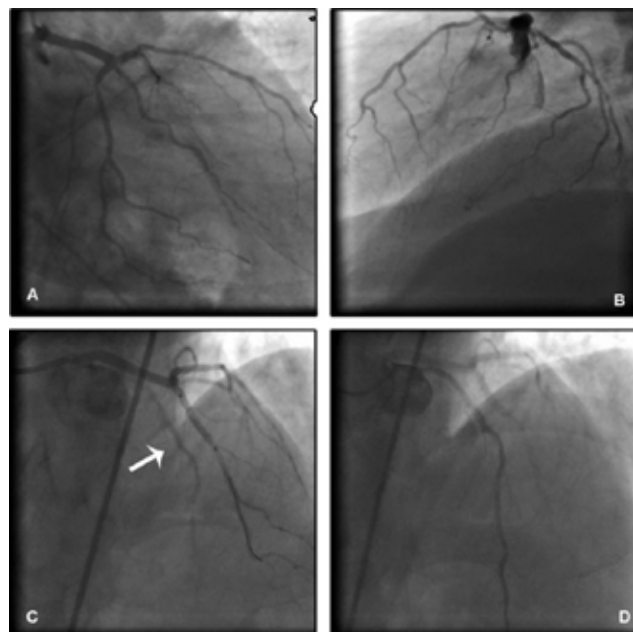


Figure 1.

OS-86

Three dimensional echocardiography in a patient with challenging case: quadricuspid aortic valve

Sinan Varol¹, Rifat Yıldırım¹, Serkan Ketenciler², Gökmen Kum¹, Kamil Gülsen¹, Fahrettin Katkat¹, Ertuğrul Okuyan¹

¹Department of Cardiology, Bağcılar Training and Research Hospital, İstanbul

²Department of Cardiovascular Surgery, Bağcılar Training and Research Hospital, İstanbul

Introduction: Quadricuspid aortic valve is rare. It causes aortic regurgitation and left ventricular enlargement. Accurate diagnosis of structural aortic disease may be challenging on patients with poor echocardiographic views.

Case: 57 year old female with dyspnea on exertion and fatigue, and NYHA III functional capacity was referred to our clinic. She had a history of moderate aortic regurgitation due to rheumatic disease. Her physical exam revealed 3/6 early diastolic murmur along left sternal border. Blood pressure was 125/60 mmHg and heart rate was 98 BPM. Bilateral pulmonary sounds were normal. Electrocardiography were suggestive of left ventricular hypertrophy and presence of left axis. Blood tests were normal. Transthoracic echocardiogram revealed severe aortic regurgitation. The aortic valve structure was not compatible with rheumatic disease, and mitral valve was not affected. Because poor acoustic windows, transesophageal echocardiogram was suboptimal for accurate diagnosis. Three dimensional (3D) echocardiogram revealed quadricuspid aortic valve with one of cusps were smaller than others. Coaptation defect of cusps and anatomy were optimally seen. The patient had undergone surgical aortic valve replacement. Specimen of aortic valve showed accurate same structure with 3D model. She was discharged on postop day 5.

Discussion: Quadricuspid aortic valve is a rare variant of abnormal development of semilunar valves. The reported incidence is 0.008% in autopsy series, 0.043% by two dimensional transthoracic echocardiography and 1% of those posted for aortic valve surgery. However, being a rare anomaly the actual incidence is underreported. With advances in cardiac imaging, more cases are being reported.

Conclusion: Quadricuspid aortic valve is rare congenital cardiac disorder. Diagnosis may be challenging. 3D Echocardiography may help accurate diagnosis and assessment of the patients.

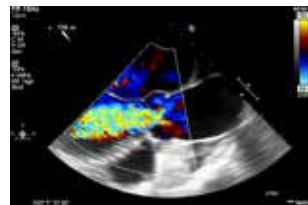


Figure 1.01-Qc-AR. 1. Severe aortic regurgitation.



Figure 2.02-Qc-2D-Subopt. 2. Poor 2D image of aortic valve.



Figure 3.03-Qc-3D. 3. Three dimensional echo showed quadricuspid aorta.



Figure 4.04-Qc-Specimen. 4. Quadricuspid structure of aortic valve specimen.

OS-87

Carney complex: myxoma with multisystem involvement

İlkin Gulyiyev, Mehmet Doğan, Hilal Erken Pamukcu, Mert Aker, Sadık Açıkel

Department of Cardiology, S.B. Dışkı Yıldırım Beyazıt Training and Research Hospital, Ankara

Introduction: Cardiac myxoma is the most frequent primary cardiac tumor. Most myxomas are seen sporadically but rarely they can be the part of familial syndromes (Carney complex or non syndromic familial myxomas) which constitute 7% of all myxomas. The Carney complex is an autosomal dominant syndrome which is associated with multiple neoplasies (cardiac, cutaneous, mammary), cutaneous pigmentation, endocrine overactivity, testicular tumors and schwannomas. Here, we report a case of a 25-year-old man with left atrial myxoma, skin pigmentation, surrenal and testicular mass and family history of myxoma operations.

Case Report: 25 year-old male patient was admitted to outpatient clinic with the complaint of exertional dyspnea and orthopnea lasting for 3 months. He was otherwise healthy except smoking. He had familial history of myxoma operations for his father and aunt. On his cardiac examination, apical 1-2/6 systolic murmur was auscultated. Pulmonary sounds were normal. Multiple nevi were observed on his face and chest (Figure 1a/b). Moreover he had abdominal distension and mild lower extremity edema. His blood pressure was 130/80 mmHg and heart rate was 125 bpm. On transthoracic echocardiography, ejection fraction was normal, mild-moderate mitral regurgitation, moderate tricuspid regurgitation, pulmonary hypertension (estimated systolic pulmonary artery pressure was 95 mmHg) and 35X65 mm myxoma arising from left atrium were revealed (Figure 2a/b, video 1-2). Subsequently transesophageal echocardiography was performed. 48X35x35 mm mass was prolapsed to the left ventricle during the diastole and it was seated between left atrial appendix and mitral annulus (Figure 3a/b, video 3). Although mitral valve structure was normal, moderate-severe mitral regurgitation directed to interatrial septum was revealed. In order to investigate the congenital association, abdominal CT and pelvis MRI were planned. Right surrenal 22x20 mm peripheral calcific mass and right testicular 21x11x12 mm calcific mass were detected (Figure 4a/b). The patient went to successfull cardiac surgery for left atrial myxoma (Figure 5). Postoperative transthoracic echocardiography revealed that, mitral regurgitation was improved to mild degree, pulmonary pressure was measured as 45 mmHg. After 3 months control, his symptoms were significantly improved (NYHA class 1-2).

Discussion: In our case, familial cardiac myxoma operations history and associated skin nevi were directed us to search a familial syndrome. When we detected testicular and surrenal tumors, Carney complex diagnosis was established. Even most cardiologists discount skin nevi, this case demonstrates that if they combine with cardiac myxoma, multisystem congenital involvement should be investigated. Moreover due to familial myxomas have high rates of recurrence, life-long periodically echocardiographic examinations and other family members screening should be kept in mind.



Figure 1. (A) Blue nevus, efelid. (B) Lentigo.



Figure 2. (A) TTE: mixoma. (B) TTE mitral reg.

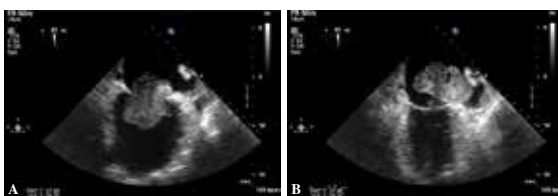


Figure 3. (A) TEE: myxoma. (B) TEE: Mitral reg.

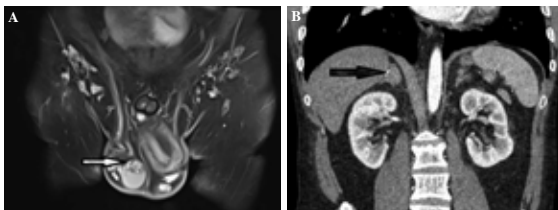


Figure 4. (A) Pelvic MR: testicular mass. (B) Abdominal CT: Surrenal mass.

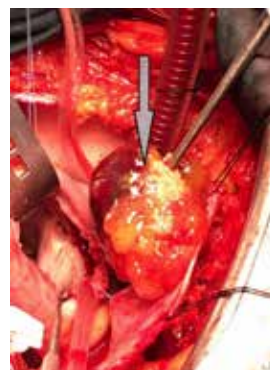


Figure 5. Cardiac surgery.

OS-88

Syncope and right-sided heart failure due to right ventricular outflow tract obstruction by giant sinus of Valsalva aneurysmUmut Kocabas¹, Güzin Zekican², Gülgün Vaiz², Naciye Özbeck², Cenk Conkbayır²¹Department of Cardiology, Edremit State Hospital, Balıkesir²Department of Cardiology, Lefkoşa State Hospital, Lefkoşa, Kıbrıs

A 73-year-old man presented to emergency department with symptoms of shortness of breath, peripheral oedema and syncope. His previous medical history revealed hypertension and physical examination was significant for an elevated jugular venous pressure and peripheral oedema. Cardiac auscultation revealed a systolic murmur at the 2nd left intercostal space. Transthoracic and transesophageal echocardiography showed a large right sinus of Valsalva aneurysm (SVA) protruding into the right ventricular outflow tract with systolic gradients of 78 mmHg (Panel A-C), dilated right ventricle and atrium with right ventricular systolic dysfunction (Panel D), flattening of the interventricular septum (D-shaped left ventricle) due to significant right ventricular overload (Panel E), moderate aortic regurgitation and moderate tricuspid regurgitation. An aortography demonstrated the presence of giant, unruptured right SVA originating from right coronary cusp (Panel F). The patient underwent repair of the sinus of Valsalva and aortic valve replacement and discharged from the hospital without any complications. Sinus of Valsalva aneurysm usually remains asymptomatic, except ruptured or aneurysm is large enough to cause right ventricular outflow tract obstruction. In this case report, we described a 73-year-old man with syncope and right-sided heart failure due to right ventricular outflow tract obstruction by giant, unruptured sinus of Valsalva aneurysm.



Figure 1. Transoesophageal echocardiography demonstrating a large right sinus of Valsalva aneurysm protruding into the right ventricular outflow tract (RVOT) in the short axis view (Panel A-B), transthoracic echocardiography showing RVOT obstruction in the parasternal short axis view on continuous wave Doppler (Panel C), transthoracic echocardiography showing dilated right ventricle and atrium in the apical 4-chamber view (Panel D) and D-shaped left ventricle in the parasternal short axis view (Panel E), aortography demonstrating a giant right sinus of Valsalva aneurysm (Panel F) (LA: left atrium, RA: right atrium, LV: left ventricle, RV: right ventricle, IAS: interatrial septum, IVS: interventricular septum, TV: tricuspid valve, NCC: non-coronar cusp, LCC: left-coronar cusp; SVA: sinus of Valsalva aneurysm, AO: aort).

OS-89

Three dimensional transthoracic echocardiographic and magnetic resonance imaging of a cardiac hydatid cyst in an asymptomatic patientVolkan Emren¹, Selcen Yakar Tütüncü¹, Aykan Çelik¹, Ersin Çağrı Şimşek²¹Department of Cardiology, İzmir Katip Çelebi University Atatürk Training and Research Hospital, İzmir²Department of Cardiology, İzmir Tepecik Training and Research Hospital, İzmir

46 year old male patient diagnosed with renal and liver hydatid cyst was referred to the cardiology outpatient clinic due to a suspicion of cardiac cyst hydatid in tomography. He was asymptomatic in terms of cardiovascular system. In his physical examination, cardiovascular sound was normal, pulse was rhythmic and palpable. On his electrocardiogram, rhythm was sinus and normal. Trans-

thoracic echocardiography examination revealed 60% ejection fraction, moderate aortic and mitral insufficiency. On apical two chamber view there was a hypo echoic, well-circumscribed cardiac mass with 34x37 mm in diameter, consistent with hydatid cyst and localized at atrioventricular sulcus in left ventricle (Figure 1). To confirm the diagnosis cardiac magnetic resonance was performed which showed a encapsulated, heterogenic, well-circumscribed, 45x36x45 mm cardiac mass which is consistent with hydatid cyst, closed to the left main and circumflexed artery (figure 2). Patient was referred to cardiovascular surgery for the excision of cardiac cyst. Before the surgery coronary angiography and aortography was performed which revealed severe aortic insufficiency with critical stenosis in right coronary artery (RCA), left anterior descending (LAD), and circumflex artery (CX). Then the cardiac hydatid cyst was removed by surgery concomitantly by-pass surgery with saphenous graft -CX, RCA, diagonal artery and left internal mammarian artery- LAD coronary artery anastomosis, mitral repair and benthal operation (composite graft replacement of the aortic valve, aortic root and ascending aorta, with re-implantation of RCA and left main coronary arteries). Patients was successfully recovered after operation. He has been followed in outpatient clinic and treated with albendazole. Cardiac hydatid cyst is a rare complication of hydatid cyst infestation which is seen 0.5-2% of affected patients. Cardiac hydatid cyst can cause many complications including left ventricular outlet flow obstruction, acute coronary syndrome, cardiac arrhythmias, pericardial effusion and pericarditis. Echocardiography is the most sensitive and specific tool to diagnose hydatid cysts in terms of location, size, and the presence of scolices and calculate the pressure on the vital parts of the heart. Another available important tool of investigation is cardiac MR imaging, for a better demarcation and lineation of the cyst. Removal of cysts through open-heart surgery is crucial for patient survival. Albendazole or mebendazole twice a day treatment is recommended after surgery.



Figure 1. Magnetic resonance imaging of cardiac cyst hydatid. Yellow arrow demonstrated the localization of hydatid cyst.



Figure 2. Three dimensional echocardiographic view of cardiac hydatid cyst which is located at atrioventricular sulcus in left ventricle (yellow arrow).

OS-91

Hipertrofi mi birikim mi?

Habibe Kafes, Bahar Tekin Tak, Firdevs Ayşenur Ekizler, Hasan Can Könté, Omaç Tüfekçioğlu

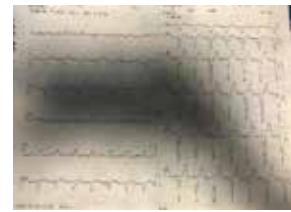
Ankara Türkiye Yüksek İhtisas Hastanesi, Kardiyoloji Kliniği, Ankara

Kirk yaşında bayan hasta 9 aydır başlayan nefes darlığı, çubuk yorulma, bacaklıda şırma şikayetleri ile klinikimize başvurdu. Başvuru amında tansiyon 95/60 mmHg, nabız 98/dk, periferik ödem ve bilateral orta zona kadar solunum sesleri azalmıştı. PA akciğer grafisinde bilateral belirgin plevral efüzyon (Şekil 1), elektrokardiyografisinde sinus ritmi, 1 AV blok, intraventriküler ileti gecikmesi mevcuttu (Şekil 2). Renal fonksiyonları orta derecede bozulmuş (kreatinin 1.92 mg/dl, tıre 52 mg/dl), NT-proBNP 22759 pg/ml (<125), troponin T 0.109 ng/ml (<0.03), albümün 4.2 gr/dl idi, 24 saatlik idrarde proteinürü yoktu. Dış merkezde hipertrofik kardiyomiopati (KMP) tanısı konan hastanın tekrarlanan transtorasik ekokardiyografisinde (TTE) sol ve sağ ventrikül duvarları hipertrofik, sol ventrikül (LV) diyalost sonu çapı 3.6 cm, ejeksiyon fraksiyonu alt sınırdır (%40), mitral ve triküspit kapaklar kaba ve kalın, interatrial septum kalın görünümde (Şekil 3), transmortal akım

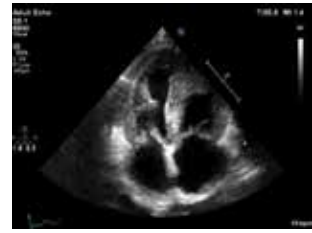
paterni restriktif dolum ile uyumlu (Şekil 4), doku Doppler E' septal ve lateral velositerleri 4cm/s (Şekil 5), inferior vena kava geniş ve solunumlu degenişlenmedi azalmış olarak bulundu. Hipertrofinin ayrici tanımı yapmak için LV global strainı ölçüldü. Restriktif KMP düşünülen hastanın yapılan LV global longitudinal strain (GLS) görüntülemesinde apikal bölgenin korunduğu, basal segmentlerin daha fazla etkilendiği GLS'nin azlığı izlendi ve kardiyak amiloidoz düşünüldü (Şekil 6). Sol göz kapağından (rakun gözü-Şekil 7) ve gözde ön yüz cildinde purpurik lezyonlar, alt dudak mukozasında ekimotik morumus lezyonları vardı (Şekil 8). Alınan cilt biyopsilerinde kongo kırmızısı ve kristal viyofit ile pozitif boyanmış izlendi. Serum immunofiksasyon elektroforezinde Ig G lambda monoklonal gammapati bulundu. Bacak ağrıları nedeniyle yapılan EMG'de duysal liflerin on planda etkilendiği polinöropati tespiti yapıldı. Kardiyak AL amiloidoz düşünülen hastaya tanı için kemik iliği biyopsisi planlandı. Ancak kalp yetmezliğinde kötüleşme nedeniyle tanı aşamasında exitus oldu. Kardiyak tutulum es sik primer AL amiloidozda görülmektedir. Prognos; kardiyak tutulumun yaygınlığına bağlıdır ve kalp yetmezliği gelişimi kötü прогноз göstergesidir. Genellikle LV hipertrofisi ile uyuşmaz olarak EKG'de dörtlük voltaj saptanır, ancak vakamızda olduğu gibi His Purkinje liflerinde tutulumu bağlı ileti defektleri ve blok da görülebilir. Nedeni açıklanamayan dirençli kalp yetmezliği ve restriktif KMP bulguları ile başvuran kişilerde amiloidoz tanısı akla gelmelidir. Erken tanı tedavide yanıt için önemlidir. Sol ventrikül hipertrofisine veya duvar kalınlığında artış yol açan patolojik durumları (HT, kapak hastalıkları, hipertrofik KMP, Fabry hastalığı, amiloidoz) ayırt etmede LV global longitudinal strain ölçümü kolayca ayırt edici, doğru ve tetrarlanabilir ölçümle olağan önemli bir görüntüleme yöntemidir ve klinik pratikte bu amaçla kullanılması akılda tutulmalıdır.



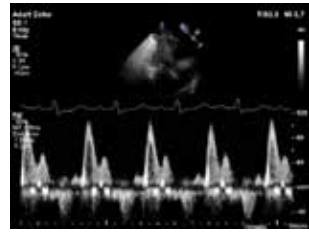
Şekil 1. PA akciğer grafisi.



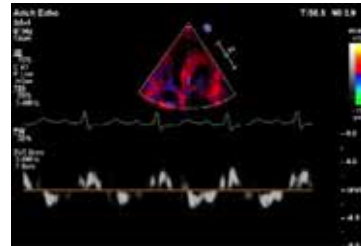
Şekil 2. Elektrokardiyografi.



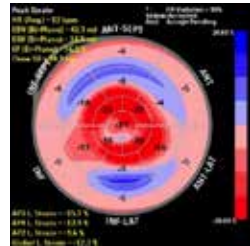
Şekil 3. 2 boyutlu ekokardiyografi bulguları.



Şekil 4. Transmitral dolum patemi.



Şekil 5. Doku Doppler bulguları.



Şekil 6. Sol ventrikül longitudinal strainı.



Şekil 7. Göz kapağındaki ekimotik lezyon.



Şekil 8. Ağız içi ekimotik lezyon.

OPS-001**Transvalvular implantation of an implantable cardioverter-defibrillator in a patient with a bioprosthetic tricuspid valve**

Orcun Ciftci, Ersin Doganoztu, Afag Ozyildiz, Keremcan Yilmaz, Ilyas Atar, Mehmet Bülent Özün
Department of Cardiology, Baskent University Faculty of Medicine, Ankara

Introduction: Implantable cardioverter-defibrillators (ICD) are life-saving devices in patients with reduced ejection fraction or a history of sudden cardiac death. In patients with prosthetic tricuspid valve, right ventricular apical placement of ICD lead may cause malfunction of prosthetic tricuspid valves. In this paper we report an old lady with tricuspid valve bioprostheses and a history of cardiac arrest in whom an ICD lead was passed through the tricuspid valve bioprostheses and successfully placed in the right ventricular apex without resultant tricuspid valve malfunction.

Case Report: A 61-year-old woman with a history of mechanical aortic valve replacement (1991), mechanical mitral valve replacement (2001), bioprosthetic tricuspid valve replacement (2014), and hypothyroidism presented 3 months after having a sudden resuscitated cardiac arrest. She later had one more episode of ventricular arrhythmia, and was then advised to have an ICD implanted. The ICD lead (ENDOTAK RELIANCE™, Boston Scientific) was entered from the left subclavian vein and implanted to the right ventricular apex after passing through the tricuspid valve bioprostheses in the anteroposterior and right anterior oblique views (Figure 1); following that, tricuspid bioprosthetic valve function and degree of regurgitation was checked by echocardiography and no increase in tricuspid regurgitation or stenosis was observed (Figure 2). A repeat echocardiography after the procedure again revealed no severe tricuspid regurgitation and stenosis, and an ECG showed sinus rhythm. In conclusion, unlike mechanical prostheses, bioprostheses in tricuspid position do not form a major contraindication for passing ICD leads, especially in patients with multiple previous thoracotomies in whom a repeat thoracotomy is not feasible for epicardial lead implantation.

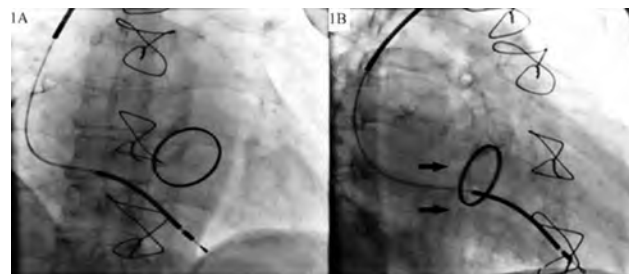


Figure 1. Anteroposterior (AP) (a) and right anterior oblique (RAO) 30° views of the ICD lead. The bioprosthetic valve is hardly visible in the AP view but can be clearly seen in the RAO view (arrow).



Figure 2. Echocardiographic views of the tricuspid bioprostheses before and after the implantation of the ICD lead. Note that, compared to the preimplant examination (a), tricuspid regurgitation was not increased after the implantation of the ICD lead (b).

OPS-002**Sildenafil induced ventricular tachycardia in a healthy man**

Mevlüt Serdar Kuyumcu, Sefa Ünal, Mehmet Alagöz

Department of Cardiology, Ankara Türkiye Yüksek İhtisas Hospital, Ankara

A 65 year-old previously healthy man with no cardiovascular risk factors such as smoking, hypertension, hyperlipidemia and diabetes, had admitted to our emergency department by paramedics via ambulance. There was no history of cardiopulmonary symptoms and no family history of heart disease or sudden death. Patient felt dizzy, had palpitation and chest pain. Electrocardiography showed ventricular tachycardia with a frequency of 234 bpm (Figure 1). Blood pressure was 105/60 mmHg. Patient stated that he has taken 200 mg Sildenafil before admission to the hospital and he was not taking any other drugs. He told that he used Sildenafil for the first time. After electrical cardioversion and converted to sinus rhythm, he immediately underwent coronary angiography and we saw only antherosclerotic plaques on left anterior descending coronary artery and right coronary artery. Blood tests were within normal range. His chest x-ray and echocardiography was unremarkable. We implanted prophylactic implantable cardioverter defibrillator (ICD) to the patient and suggested not to use Sildenafil citrate. Sildenafil is the one of the most commonly used drugs over the world for erectile dysfunction treatment. In the past few years, a growing number of studies have reported that this lethal arrhythmia led to sudden cardiac death in many middleaged men treated with sildenafil citrate 1,2,3,4. Sildenafil citrate induces a dosedependent block of the rapid component of the delayed rectifier potassium current is according to Geelen and colleagues. Same study reported that class III antiarrhythmic drugs and sildenafil citrate have similar actions 5. Swissa and colleagues showed that mixed usage of nitric oxide and sildenafil citrate causes rised ventricular tachycardia / fibrillation vulnerability in right ventricle of pig heart

6. Despite the evidences which shows the arrhythmogenic effects of sildenafil citrate, some studies showed contradictory results. Kaya and colleagues reported that Sildenafil does not effect QT dynamic properties 7. Vardi and colleagues found that Sildenafil does not increase rate of ventricular arrhythmias in man who has erectile dysfunction and cardiovascular disease 8. Also Nagy and colleagues showed that sildenafil reduces arrhythmia severity during ischemia in dogs 9. Our patient was admitted to our clinic with ventricular tachycardia even though he had no cardiac risk and he has taken Sildenafil for the first time in his life. In our opinion Sildenafil usage increased ventricular arrhythmia vulnerability and caused ventricular tachycardia.

OPS-003**Could palmoplantar keratoderma be associated with wolf parkinson white syndrome?**

Fulya Avcı Demir

Department of Cardiology, Elmali State Hospital, Antalya

Introduction: Diffuse hereditary palmoplantar keratoderma (PPK) is a skin disorder that affects most of the palms and soles and are caused by a genetic abnormality. Several family members may be affected. Some types of keratoderma are associated with arrhythmias and cardiomyopathy. Naxos disease, a syndrome of autosomal recessive arrhythmogenic right ventricular dysplasia (ARVD), skin disorder, and woolly hair is caused by a mutation in the gene for plakoglobin. Carvajal syndrome a syndrome of recessive mutation in the gene for desmoplakin is characterized by dilated cardiomyopathy of left ventricle, striate palmoplantar keratoderma and woolly hair. Both plakoglobin and desmoplakin are components of desmosome. Desmosomes are major cell adhesion junctions prominent in the epidermis and cardiac tissue that are important for rigidity and strength of cells.

Case: This is a case of a 28 year old man who admitted to the cardiology department with palpitation and presyncope. His history revealed palmoplantar keratoderma which had been present since the age of 3 year and had progressively worsened during the years. The clinical examination revealed a very thick, yellow hyperkeratosis over the pressure areas of the patient's palms and soles (Figure 1). His electrocardiogram showed short PR interval, delta wave and wide QRS complex. (Figure 2) Transthoracic echocardiography (TTE) revealed a normal right ventricle without regional wall motion abnormalities or aneurysmatic dilation, a normal left ventricle, and no significant valvular defects or pulmonary hypertension. Cause of his symptoms and presyncope episodes he was directed for electrophysiological study. When we asked about his family history about PPK, we learned his sister also has the same disease. She was asymptomatic. Her physical examination, ECG and TTE was totally normal. 24 hour ambulatory ECG was recorded on her and we detected intermittent short PR interval and delta wave, but no tachycardia episode.

Conclusion: For cases with woolly hair and palmoplantar keratoderma, the physician should provide a cardiac assessment, considering Naxos, Carvajal disease associated with cardiomyopathy. When an early diagnosis is made, the life expectancy may be increased by treatment of heart failure and arrhythmias; also, genetic counseling should be performed. In literature result of genetic analysis of some cases with PPK suggest the existence of other causative genes and/or other putative sites in desmoplakin/plakoglobin encoding genes than those recently published. This case is first in literature. We are just curious about if there is any relationship between PPK and Wolf Parkinson White Disease or this is a coincidence.

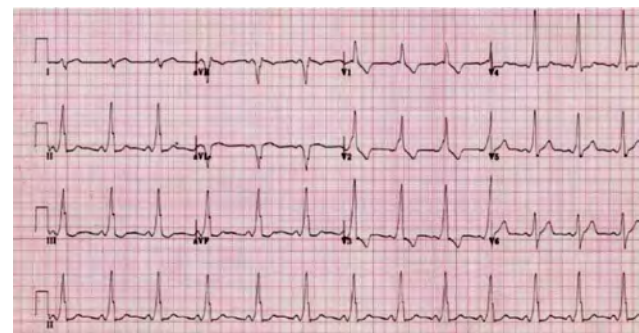


Figure 1. Short PR interval, delta wave and wide QRS complex seen on patients 12-lead electrocardiogram.



Figure 2. Hyperkeratosis over the pressure areas of the patient's palms and soles.

OPS-005**Reversible third - degree atrioventricular block induced by mirtazapine: a case report**

Dogac Oksen, Mert Sarilar, Gursu Demirci, Gkiozde Moumin, Inci Firatli

Department of Cardiology, Istanbul University Institute of Cardiology, Istanbul

Introduction: Major depression is one of the most common psychiatric disorder in general population. Oral antidepressants are used for medical therapy that becomes more popular nowadays. The medical therapy brings some cardiovascular complications among patients. Mirtazapine is a drug which blocks central presynaptic autoreceptors and heteroreceptors and increases noradrenaline and serotonin at synaptic area. 5-HT2A receptor blockage enhances dopamine neurotransmission in central nervous system. Mirtazapine is commonly used in anxiolytic, hypnotic, anti-emetic and appetite stimulant therapy. This is the first case report declares a reversible second and third degree atrioventricular (AV) block caused by conventional dose of mirtazapine which was prescribed for major depression.

Case: A 60 year old woman who has hypertension and anxiety disorder developed dizziness and presyncope at admission. Mirtazapine was prescribed 8 months ago in psychiatry department. She was admitted to emergency room with these symptoms and her electrocardiogram was revealed second degree mobitz type 2 atrioventricular block at 50 beats per minute (Figure 1). The CBC and other biochemistry profile were normal. She did not have any history of eating poisonous honey (andromedotoxine). A transthoracic echocardiogram revealed enlargement of left atrium (4.50 cm) and mitral ring calcification with normal LVEF. Coronary angiography was performed and non-hemodynamically significant coronary artery disease was found out. Intermittant third degree atrioventricular block, the longest one had 8.4 seconds, was seen in her rhythm holter records (Figure 2). We thought that the Mirtazapine was causative etiology, so drug was discontinued. By the 7th day of medication discontinuation, all symptoms had resolved and electrocardiogram had returned to sinus rhythm (Figure 3). During the six months follow up, she did not experience any symptoms.

Discussion: Mirtazapine is widely used especially in the treatment of resistant depression and nutrition disorders. Mirtazapine is not related with significant electrocardiographic changes mostly, its mild anticholinergic activity may cause ventricular extrasystoles. According to the literature, atrioventricular conduction defect caused by mirtazapine has never been reported before. The antidepressant drugs should be chosen usually upon to mechanism of actions, also cardiovascular side effects should be considered. Further studies were needed to figure out whether Mirtazapine has an effect on atrioventricular node. Before attempting any permanent pacemaker implantation for AV block, Mirtazapine should be discontinued for a while that depends on elimination of the drug.



Figure 1. Second degree Mobitz type 2 atrioventricular block. Arrows represent P wave.



Figure 2. Third degree AV block in rhythm holter record. Arrows represent P wave.



Figure 3. Normal sinus rhythm.

OPS-009**The first case at literature: Ventricular tachycardia after Zuclopentixol Decanoate (Clopixol® Depot) used at the treatment of psychotic illnesses**

Emre Özdemir, Mustafa Karaca, Mehmet Serdar Bayata, Enis Behçet Ağırıcı

Department of Cardiology, Izmir Ataturk Training and Research Hospital, Izmir

Drugs can induce arrhythmia by creating reentry, ventricular after potentials or exaggerating the slope of phase 4. These may or may not be symptomatic, sustained or non-sustained and have variable ECG appearances: monomorphic or polymorphic, bidirectional, torsades de pointes. Zuclopentixol exerts its antipsychotic action by blocking post synaptic dopamine receptor in the limbic system. It is a potent antagonist of D1 and D2 receptors. Zuclopentixol also has high affinity for alpha-1-adrenergic and 5-HT2 receptors. As other drugs belonging to the therapeutic class of antipsychotics, QT prolongation by zuclopentixol do not defined. This is first drug induced VT case at literature which was developed after zuclopentixol decanoate (Clopixol® Depot) IM injection. A 64 year old male patient was admitted to the emergency department with complaints of palpitation, chest pain, feeling dizzy and presyncope. ECG records showed ventricular tachycardia of 169 beats per minute. In the emergency department ventricular tachycardia (VT), which rapidly changed to sinus rhythm with using amiodarone infusion with the dosage of 5 mg/kg in the form of a short term infusion within 30 minutes. The QTc value of the patient was evaluated as 460 ms in ECG. LVEF: %50 with septal paradoxical movement, minimal pericardial effusion, sistolic pulmoner

arterial pressure:40 mmHg, mild mitral insufficiency, mild tricuspid insufficiency had found when transthoracic echocardiography performed, coronary angiography performed and plaques on coronary arteries had been found. After 4-day coronary intensive care unit follow-up no arrhythmic reccurrens determinated and patient was discharged without any symptoms. Patient rejected EPS. As with other drugs belonging to the therapeutic class of antipsychotics, zuclopentixol may cause QT prolongation but not defined. Persistently prolonged QT intervals may increase the risk of malignant arrhythmias. Therefore, zuclopentixol should be used with caution in susceptible individuals (with hypokalaemia, hypomagnesaemia or genetic predisposition) and in patients with a history of cardiovascular disorders, e.g. QT prolongation, significant bradycardia (< 50 beats per minute), recent acute myocardial infarction, decompensated heartfailure, or cardiac arrhythmia. Concomitant treatment with other antipsychotics should be avoided. On literaturre research about zuclopentixol decanoate (Clopixol® Depot) cardiac adverse events are <1% chest pain and very rarely palpitation. Naranjo Adverse Drug Reaction (ADR) probability scale performed for patient and 5 points found as result (events judged as probable if Naranjo ADR probability scale score of >4), that means probably VT had been because of zuclopentixol decanoate. But there is no evidence on literaturre records VT due to zuclopentixol decanoate usage. Otherwise there are strong evidences with other typical antipsicotic medicas can cause ventricular arrhythm and sudden cardiac death.

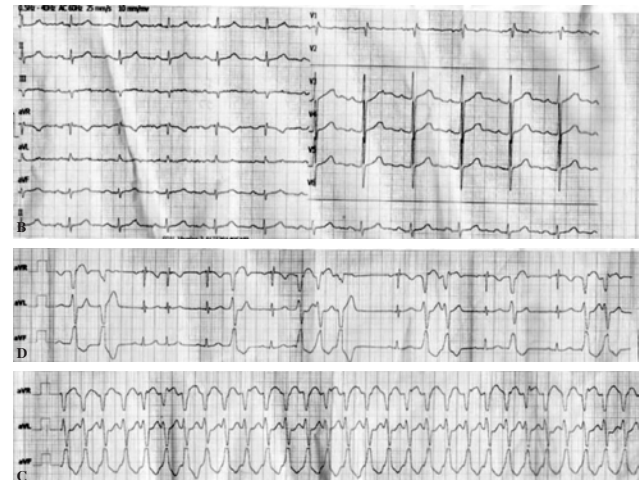


Figure 1. ECG A: ECG record in intensive care unit follow-up, ECG B: ECG record in emergency department after amiodarone infusion, ECG C: First ECG record on admission to emergency department.

OPS-010**Lead yer değiştirmeleri ile karakterize REEL, TWİDDLER ve RATCHET sendromları: 4 Olguluk vaka sunumu**Emre Özdemir¹, Mustafa Karaca¹, Ersin Çağrı Şimşek², Doğac Çağlar Gürbüz¹, Mehmet Serdar Bayata¹¹Izmir Ataturk Eğitim ve Araştırma Hastanesi, Kardiyoloji Kliniği, İzmir²Izmir Tepci Eğitim ve Araştırma Hastanesi, Kardiyoloji Kliniği, İzmir

Lead yer değiştirmesi nadir görülen ancak önemli klinik sonuçlar doğurabilen bir komplikasyondur. Twiddler sendromu ve Reel sendromu sırasıyla bataryanın uzun eksen ve yatay eksen boyunca dönmesi sonucu leadlerin yer değiştirmesi olarak tanımlanmıştır. Ratchet sendromu ise leadin sabitleyici sleeve boyunca ileri geri hareket ile yer değiştirmesi sonrası oluşan mekanizmaya sahiptir. Burada lead yer değiştirme gelisen 4 farklı olayı sunduk.

Oluş-1: Yetmiş sekiz yaşında kadın, iskemik kardiyomiyopati zemininde dökümente VT sonrası sol subklavyen venin oklusi olması nedeni ile sağ subklavyen veden VVI ICD takılmış. 6 ay sonraki pil kontrolünde, R wave de azalma saptanması sonrası çekilen telekardiogramda sağ ventrikül leadinin SVC ye doğru geri geldiği, atrial leadin geri geldiği ancak koroner sinus leadinin yerinde ve fonksiyone olduğu izlendi. Eski telekardiogramı olmayan hastanın batarayanın pozisyonu değiştirip değiştirmediği radyolojik olarak anlaşılamadı. Pil cebi tekrar açıldı, batarayan kapsül içinde askı dikişi ile sabit olduğu, ventriküler leadin sabitleyici sleeve 'ının gevşek olduğu görüldü. Sağ ventrikül ve atrial elektroldarı serbestleştirildi, fonksiyonları normal olduğundan emin olunduktan sonra reposo edildi.

Oluş-2: Yetmiş dört yaşındaki hastanın kalp yetmezliği semptomlarından artış olması sonrası yapılan pil kontrolünde R wave de azalma saptanması sonrası çekilen telekardiogramda sağ ventrikül leadinin SVC ye doğru geri geldiği, atrial leadin geri geldiği ancak koroner sinus leadinin yerinde ve fonksiyone olduğu izlendi. Eski telekardiogramı olmayan hastanın batarayanın pozisyonu değiştirip değiştirmediği radyolojik olarak anlaşılamadı. Pil cebi tekrar açıldı, batarayan kapsül içinde askı dikişi ile sabit olduğu, ventriküler leadin sabitleyici sleeve 'ının gevşek olduğu görüldü. Sağ ventrikül ve atrial elektroldarı serbestleştirildi, fonksiyonları normal olduğundan emin olunduktan sonra reposo edildi.

Oluş-3: Yetmiş bir yaşında 3 ay önce hasta sinus sendromu nedeniyle DDD-R KPM takılan hastanın rutin pacemaker kontrolünde atrial sensörünün olmadığı ve telekardiogramda atrial lead ucunun geriye doğru svc içine kadar geldiği ve leadin batarya etrafına toplandığı görüldü. Bunun üzerine cep tekrar açıldı, batarayan kapsül içinde askı dikişi ile sabit olduğu, ventriküler leadin sabitleyici sleeve 'ının gevşek olduğu görüldü. Sağ ventrikül ve atrial elektroldarı serbestleştirildi, fonksiyonları normal olduğundan emin olunduktan sonra reposo edildi.

Oluş-4: Altmış sekiz yaşında 2 ay önce CRT-D takılmış olan hastanın pacemaker kontrolünde pace kusuru olduğu görüldü. Telekardiogramda batarayan beklenen yerinden daha aşağıya eğitiği ve buna bağlı olarak atrial leadin subklavyen ven dişina çıktıgı, ventriküler leadin ve koroner sinus leadinin yerlerinden ayrılarak yukarı doğru gelmiş olduğu görüldü. Pil cebi tekrar açılarak elektroldar serbestleştirildi, fonksiyonları normal olduğundan emin olunduktan sonra hem bataraya hem de leadler reposo edildi. Hasta eğitimi, küçük cep açılması ve batarayan çevre dokulara sabitlenmesi kadar batarayan pektoral kas ictimeyoğulları, ilk 5-7 gün hastanın kol haraketini sınırlamak da bu sendromdan korunmak için dikkat edilmesi gerekliliği mevcuttur.



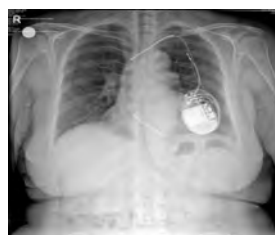
Şekil 1. Olgu 1'e ait telekardiyografi.



Şekil 2. Olgu 2'ye ait telekardiyografi.



Şekil 3. Olgu 3'e ait telekardiyografi.



Şekil 4. Olgu 4'e ait telekardiyografi.

OPS-011**Brugada ECG pattern induced by accidental drinking diesel fuel**Burhan Aslan¹, Adem Aktan², Muhammed Karadeniz³, Mehmet Özbeş⁴¹Department of Cardiology, S.B. Kızıltepe State Hospital, Mardin²Department of Cardiology, Mardin State Hospital, Mardin³Department of Cardiology, Kirikkale University Faculty of Medicine, Kirikkale⁴Department of Cardiology, S.B. İdil State Hospital, Şırnak

Introduction: Brugada syndrome is a genetic heart disease due to alteration of cardiac ion channels, which could lead to ventricular arrhythmias and sudden cardiac death. The electrocardiogram (ECG) manifestation of Brugada syndrome are often dynamic, and can be unmasked by sodium channel blockers, fever, cocaine, psychotropic drugs, hyperkalemia, alcohol, lithium. We would like to report typical ECG changes of Brugada Syndrome unmasked by drinking diesel fuel.

Case: A 30 year old male presented to emergency department with epigastric pain and nausea. He first referred a state hospital and after the ECG, he was transferred to our hospital with pre-diagnosis of anterior ST segment elevation myocardial infarction. He was a truck driver and trying to transfusion diesel fuel from the storage to a container by sucking a hose when he accidentally swallowed a large amount of diesel fuel. There was no medical history of taking any medication. On admission, his vital signs, heart and pulmonary sounds were normal. Other system examinations was unremarkable. The serum level of glucose, potassium, sodium, calcium, magnesium was in normal range. Wbc count was normal, C-reactive protein was slightly high. The repeated troponin levels was normal. There was neither a family history of sudden cardiac death nor a history of previous syncope. The ECG was compatible with type 1 Brugada pattern on presentation (Figure 1). Echocardiography was normal. We planned holter ECG to reveal ventricular arrhythmias and there was no arrhythmia. Initial and 24th hour ECGs in our hospital was similar (Figure 2, 3). Two day after admission, Brugada type 1 pattern on his ECG disappeared and follow up ECGs showed type 2 Brugada ECG pattern (Figure 4). The patient remained asymptomatic and was discharged.

Discussion: The patients having only typical ECG changes are described as “idiopathic Brugada ECG pattern or Brugada phenocopy” not Brugada Syndrome. In this case, we report a male presented with type 1 Brugada ECG pattern unmasked by accidental drinking of diesel fuel which has not been reported before. Alcohol and petroleum products have nearly identical subunits like hydrocarbons. Alcohol intoxication and inhalation of gasoline is thought to have pro-arrhythmic effects by inhibiting sodium-channel gating. Diesel oil may induce the typical ECG findings in the same way.

Conclusion: Brugada ECG pattern is concealed, can be triggered by various conditions and may be misdiagnosed as ST-segment elevation myocardial infarction like in this case. Physicians should consider Brugada pattern in differential diagnosis.

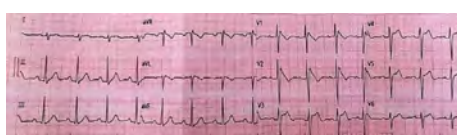


Figure 1. ECG at admission in state hospital. Typical of type 1 Brugada ECG pattern showing coved ST segment elevation in leads V1 and V2.

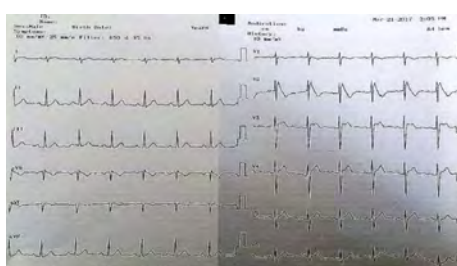


Figure 2. The control ECG after admission.

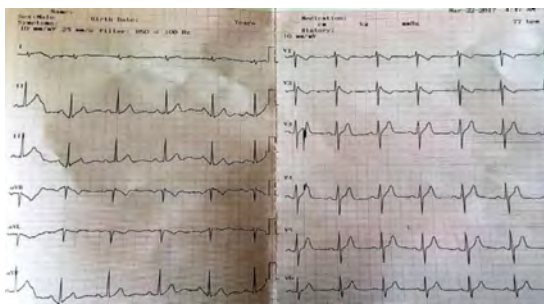


Figure 3. ECG after 24h still showing type 1 Brugada pattern.

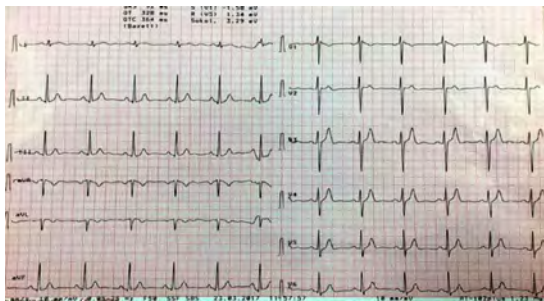


Figure 4. Two days after admission, disappearing of type 1 Brugada ECG pattern and converting into type 2 Brugada ECG pattern.

OPS-013**A rare arrhythmia accelerated junctional rhythm in pregnant without structural heart disease**Ercan Aksit¹, Bahadır Kirılmaz¹, Emine Gazi¹, Fatih Aydin², Özge Yıldırım Turgay², Ayşe Hüseyinoğlu Aydin², Evrin Dağtekin²¹Department of Cardiology, Çanakkale Onsekiz Mart University Faculty of Medicine, Çanakkale²Department of Cardiology, T.C. Sağlık Bakanlığı, Eskişehir State Hospital, Eskişehir

Background: Rhythm disorders are one of the most common cardiac problems in pregnancy. During pregnancy dysrhythmias may be triggered at women with previous cardiac disorders or it may be the first attack. The frequency of dysrhythmia during pregnancy is not exactly known. It may be caused by hemodynamic, autonomic, hormonal or cardiovascular changes. Increase of plasma volume causes increment in straining of atrial and ventricular myocytes in early afterdepolarization and also shortens the refractory period. However, enlargement of the heart chamber can lead to re-entrant tachyarrhythmias. Increased automaticity of the atrioventricular node and suppression of sinoatrial node can lead to accelerated junctional rhythm (AJR). In this case, we report a pregnant woman with AJR, which is very rare during pregnancy.

Case: A 27-year-old woman within the 26 weeks of her pregnancy with no known cardiac disease admitted to our clinic with palpitation symptoms. This was her first pregnancy and the palpitation was going on for a week. An accelerated junctional rhythm with ventricular rate 90/min was observed in her electrocardiogram (Figure 1). Her echocardiogram showed no major cardiac pathology (Figure 2). AJR persisted for three months after the initial examination. During the follow-up her heart rate was between 80–110/bpm and the patient was hemodynamically stable. The baby was delivered via normal spontaneous delivery at the end of 39th week. The rhythm spontaneously converted to sinus rhythm after the delivery (Figure 3).

Discussion: Hemodynamic, autonomic, hormonal, and cardiovascular changes occur during every pregnancy. Blood volume and cardiac output increases, also sympathetic tone increases due to high catecholamine concentrations and adrenergic receptor sensitivity. In previous studies, it was shown that frequency of atrial and ventricular premature complex were 57% and %50 respectively in symptomatic or asymptomatic pregnant women. Incidence of supraventricular tachycardia (SVT) was reported at 0.024% during pregnancy. Most common aetiologies of paroxysmal SVT are atrioventricular nodal re-entrant and atrioventricular re-entrant tachycardias in pregnant women without structural heart diseases. Other dysrhythmias are very rare during pregnancy. A recent case report showed a similar. A pregnant woman with AJR was followed during pregnancy and after delivery, sinus rhythm was preserved spontaneously just like our case. We concluded that pregnancy might trigger some dysrhythmias. More detailed studies are needed to explain the physiology behind the dysrhythmias during gestation period. It can be recommended to avoid from treatments like hormone replacement therapy which may mimic pregnancy to protect from the risk of recurrence of arrhythmias.

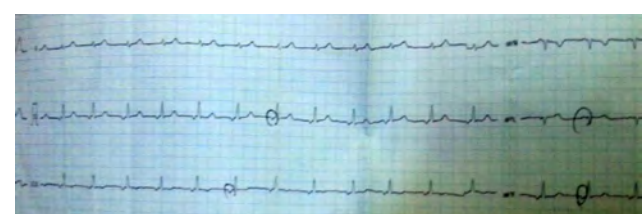


Figure 1. Negative p wave in inferior derivations.

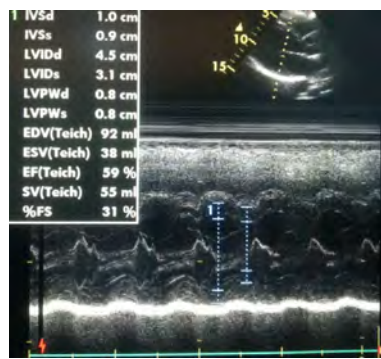


Figure 2. EF was found %59 on echocardiography.

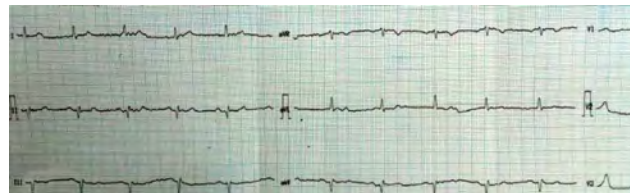


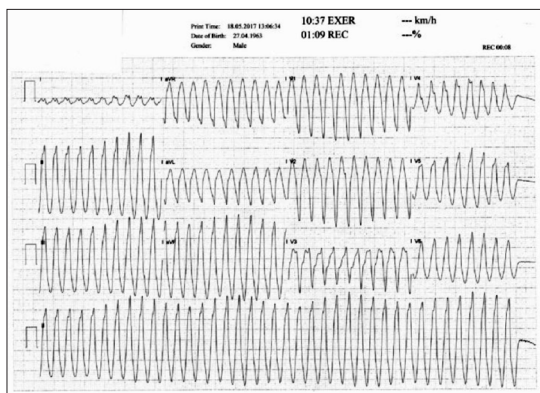
Figure 3. The rhythm spontaneously converted to sinus rhythm after the delivery.

OPS-014**Senkopa Neden Olan Sağ Ventrikül Çıkış Yolu Taşikardili Olgu ve Radyofrekans Ablasyon Tedavisi**

Gamze Aslan, Ömer Yıldız, Ferit Onur Mutluer, Remzi Karaoğuz

Koç Üniversitesi Tıp Fakültesi, Kardiyoloji Anabilim Dalı, İstanbul

Elli dört yaşında erkek hasta kardiyoloji polikliniğine, son 10 gündür özellikle tempolu spor sonrası olan bayılma atakları ve çarpıntı sıkayılarıyla başvurdu. Fizik muayenesinde normal bulgular saptanın hastanın elektrokardiyogramında, sinus bradikardisi (50 atm/dk) ve bir adet QRS paterni sol dal bloğu morfolojisine uygun ventriküler ekstrasistol görüldü. Transtorasik ekokardiyografisinde yapısal bir bozuklukla rastlanmadı. 24 saatlik ritm holter kayıtlarında, 4127 adet sol dal bloğu morfolojisinde ventriküler ekstrasistoller ve aynı paternde 19 adet couplet izlendi. Bruce protokolüne göre yapılan treadmill testinde, erken recovery fazında 15 saniye kadar süren hastanın hemodinamisinin bozulması tredmil testinde, erken recovery fazında 5 saniye kadar süren hastanın hemodinamisinin bozulması 265 atm/dk hızında QRS paterni inferior aks ile birlikte sol dal bloğu morfolojisinde nonsustained ventriküler taşikardi atağı tespit edildi. Tespit edilen aritmi ve ailesinde kalp damar hastalığı hikayesi de olmasının nedeniyle koroner arter hastalığının dışlanması için koroner angiografi yapıldı. Koroner angiografi tetikte, koroner yaşa akım ve intermediate arterde %30-40 darlık saptandı. İskemik ve yapısal kökenli olmayan taşikardinin idiyopatik sağ ventriküler çıkış yolu taşikardisi (RVOT-VT) olduğunu düşündürüldü. Tedavisi için öncelikle oral beta bloker ilaç verildi. İlaç tedavilerine yeterli yanıt alamayan ve ilaç toleri edemeyen hasta şeptomoların da tekrarı nedimile elektrofizyolojik çalışma ve ablasyon yapılması kararı alındı. Elektrofizyolojik çalışmada, pace mapping ve ventriküler erken atımlarda aktivasyon haritalaması yapılarak, ventriküler ekstrasistollerin sağ ventrikül çıkış yolu septal tarafından kaynaklandığı saptandı. Sağ ventrikül çıkış yolunda en erken aktivasyonun saptandığı bölgeye radyofrekans ablasyon uygulanarak işlem sonlandırıldı. Takibinde senkop atakları ve ventriküler ekstrasistollerin tekrarlamadığı görüldü. Sağ ventrikül çıkış yolu (RVOT) taşikardilerin genellikle nonsustained- monomorfik-tekrarlayan sekildeydi. En sık 30-50 yaşları arasında ve kadınlarda görülür ve çoğunlukla iyi прогнозludur. RVOT kaynaklı ventriküler ekstrasistollerin sik gece, dinlenme esnasında, yine egzersizi takip eden dinlenme periyodunda görülmekte ve egzersiz esnasında geçici olarak sinus taşikardisi ile baskınlansılmaktadır. Egzersiz testi tanışal amaçlı kullanılmakla birlikte çoğu kez sonuç vermektedir. Bizim vakamızda ise, egzersiz testi tanışal olarak yol gösterici olmuştu. Sonuç olarak; klinikte sık karşılaşılan ve çoğunlukla benign olarak yorumladığımız sağ ventrikül çıkış yolu kaynaklı ventriküler ekstrasistollerin bu vakada olduğu gibi malign aritmilere dönüştürebileceği ve hayatı tehdit edebilecek akılda tutulmalıdır.



Şekil 1. Egzersiz testi recovery fazında gelişen monomorfik ventriküler taşikardi atağı.

OPS-015**Migration of a pacemaker lead to an unusual site**

Serkan Cay, Ozcan Ozeke, Meryem Kara, Firat Ozcan, Dursun Aras, Serkan Topaloglu

Department of Cardiology, Ankara Türkiye Yüksek İhtisas Hospital, Ankara

An 80-year-old female patient with mechanical mitral valve prosthesis, complete heart block and atrial fibrillation was referred to our arrhythmia center for implantation of a pacemaker. Through the left pectoral region and the axillary vein a single chamber pacemaker with an active fixation lead was implanted at the right ventricular base. Due to severe pulmonary hypertension, tricuspid valve regurgitation and the dilated right ventricle the procedural and fluoroscopic times were much higher compared to a standard anatomy. Only 1 week after the implantation, she was admitted to our emergency department with syncope. The ECG showed complete heart block and baseline atrial fibrillation as in the initial diagnosis. Device interrogation demonstrated no sensing and capture. Chest X-ray showed the dislodged lead in the abdominal area. We performed a selective hepatic venography via the femoral vein and inferior vena cava and realized that the lead was in the hepatic vein and the distal tip embedded into the hepatic tissue (Figure 1). With the back-up of a general surgeon, we gently performed a simple traction to remove the lead. No important damage to the liver and bleeding occurred. At the same procedure, we tried implant another lead at the right ventricle however, all attempts failed. Therefore, using a coronary sinus implantation system and a coronary sinus lead the lead was implanted into the posterolateral branch of the great cardiac vein with good sensing and pacing parameters without diaphragm stimulation (Figure 2). At the 1, 3, and 6 months follow-up, no change in sensing and pacing parameters were observed.

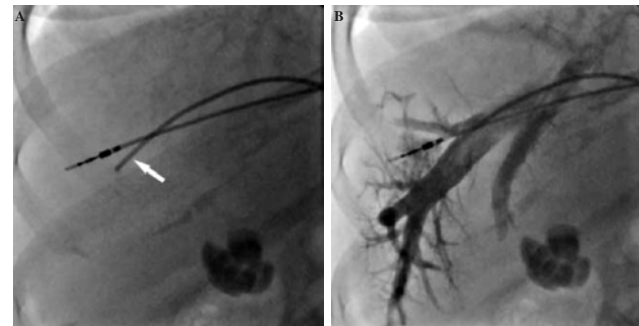


Figure 1. Active pacemaker lead demonstrated in the liver before (a) and after contrast injection (b). The lead tip embedded in the hepatic tissue with the body located in the hepatic vein. White arrow, the multi-purpose catheter.

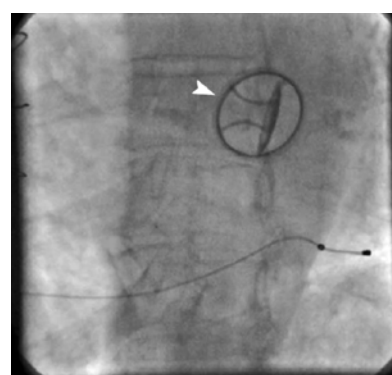


Figure 2. Bipolar coronary sinus pacemaker lead implanted in the posterolateral branch. Arrow-head, monoleaflet mitral valve prosthesis.

OPS-016**Low anterior axillary implantation of an implantable cardioverter-defibrillator in a patient with recurrent bilateral pectoral infection**

Serkan Cay, Ozcan Ozeke, Firat Ozcan, Aysenur Ekizler, Dursun Aras, Serkan Topaloglu

Department of Cardiology, Ankara Türkiye Yüksek İhtisas Hospital, Ankara

A 38-year-old male patient with ischemic cardiomyopathy underwent a secondary prevention implantable cardioverter-defibrillator (ICD) implantation on the left pectoral region. After a short period of implantation, all device parts were removed due to the pocket infection and fistula formation. With appropriate antibiotic therapy, obtaining negative blood cultures and the permission of infectious disease specialist, a new device was implanted on the right pectoral region. However, only in a couple of weeks of the procedure the pocket infection with purulent drainage was observed and removal of the system was performed. After extensive period of antibiotic therapy, negative blood cultures and consultation with an infectious disease specialist a new device was implanted on previous left pectoral area. As expected, recurrent infection with opening of the pocket occurred. Therefore, the patient was referred to our arrhythmia center for surgical epicardial implantation. After discussion with the patient and obtaining written informed consent, we decided to perform

the 4th transvenous implantation. In the supine position with the left arm abducting 90° angle, the area in the anterior axillary line near to the left nipple was locally anesthetized both anteriorly and laterally far away from the infected pectoral region. An incision measured approximately 5 cm in length and laterally placed submuscular pace pocket were formed (Figure A). From the cranial edge of the pocket, a 10 cm, 18 gauge needle was advanced towards to the axillary vein parallel to the anterior axillary line under continuous contrast injection from the brachial vein in anteroposterior fluoroscopic imaging. After tenting and puncture of the axillary vein (Figure B), inadvertent retrieval of the proximally banded needle caused contrast leakage and staining of soft tissues. Therefore, re-puncture was performed with a 15 cm, 18 gauge needle then a standard guide-wire and a peel-away sheath were introduced (Figure C). A single-coil

active-fixation defibrillator lead was advanced and implanted at the base of the right ventricle (Figure D and E) with good pacing and sensing parameters. The lead was connected to an active single-chamber ICD can, the pulse generator was secured to the fascia and the pocket was closed (Figure F and G). In the anteroposterior fluoroscopic view and posteroanterior chest radiography both the right and left ventricles were between the active can and the right ventricular shock coil (Figure H). At 6 months follow-up, no infection recurred and the device parameters were stable with slow ventricular tachycardia events ending with anti-tachycardia pacing.

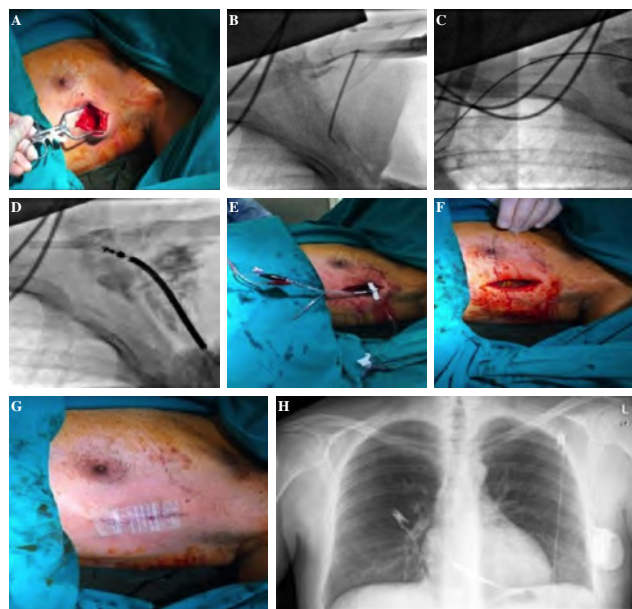


Figure 1.

OPS-017

ASD onarımı yapılmış atriyal fibrilasyonlu bir hastada yapılan başarılı kriyoabalon ablasyon yöntemi

Serdal Bastug¹, Nihal Akar Bayram², Abdullah Nabi Aslan¹, Yakup Alsancak¹, Ayşe Saatçi Yaşa¹, Eminie Bilen¹, Elçin Özdemir¹, Hüseyin Ayhan², Ahmet Kasapkara², Tahir Durmaz², Telat Keleş², Murat Akçay², Engin Bozkurt²

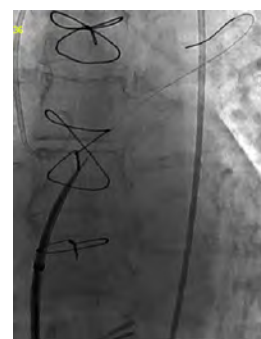
¹Ankara Ataturk Eğitim ve Araştırma Hastanesi, Kardiyoloji Kliniği, Ankara

²Yıldırım Beyazıt Üniversitesi Tip Fakültesi, Kardiyoloji Anabilim Dalı, Ankara

Atriyal fibrilasyon (AF) en sık görülen ve sıklığı yaşla birlikte artan bir aritmideidir. Genel populasyonda görülmeye sıkılık %1-2 ancak 80 yaşından sonra bu oran %10'un üzerinde çıkmaktadır. AF kardiyovasküler mortalite ve morbiditeyi artırmaktadır ayrıca imnenin önemli bir nedenidir. Atriyal fibrilasyonda kateter ablasyonu ile pulmoner venler ile sol atrium arasında elektriksel izolasyon oluşturulmaktadır, medikal tedaviye göre semptomların azaltılmasında ve sinus ritminin idam esmede daha etkindir. Bu bildiride daha önce cerrahi ASD onarımı yapılmış medikal tedavi ile semptomları kontrol edilememen paroksismal AF olan bir hastada yapılan başarılı kriyoabalon ablasyon işlemini sunmaya çalışacağım.

Oluğ: 53 yaşında hasta medikal tedaviye refrakter AF atakları var ve transthorasik ekokardiografide sol atriyum 4.4 cm olarak ölçülümsü. Öykünde sekundüm tip ASD nedeniyle cerrahi kapama öyküsü var, ek risk faktörü yok. Hasta kateter laboratuvarına alındı, hasta işlemeye alındığı sırada 2:1 bloklu atriyal taşkırdı ritimindeydi. Brockenbrough iğnesi ve Mullins küfisi ile sağ atriyumdan fossa ovalis bölgesinden ponksiyon yapılarak sol atriyuma geçildi (Şekil 1), elektrogram kayıtları alındı. Overdrive pacing ile atriyal taşkırdı sonlandırdı ve sırayla 4 pulmoner ağız 240 sn ile 2 kez şırınlık minimum -45 maksimum -52 dereceye kadar soğutuldu (Şekil 2-4) ve sinyal saptanmadığı için işlemi son verildi, işlem sonrası tüm pulmoner venlerde elektriksel izolasyon sağlandı hasta işlem sonrası transözefageal ekokardiyografi yapıldı ve IAS de fossa ovalis bölgesinde minimal soldan sağa geçiş saptandı (Şekil 5), ek komplikasyon izlenmedi.

Tartışma: Biz bu vakada cerrahi olarak primer ASD onarımı yapılmış bir hastada ciddi kalıcı komplikasyon gelişmeden kriyoablation yöntemi ile AF tedavisi yapılabileceğini sunmuş olduk. Kriyoablasyon tedavisi günümüzde sık olarak kullanılır ve randomize klinik çalışmalarında PAF hastalarında AF ataklarının engellenmesinde medikal tedaviye üstünlüğü gösterilmiş bir yöntemdir. Ancak akut işlenen komplikasyonları %3-5 civarın olan bu yöntemin tecrübelere merkezlerde yapılması gereklidir. En sık görülen komplikasyon frenik sinir hasarıdır %13, ayrıca özefageal-atriyal fistül, iskemik inme, pulmoner ven stenozu nadir ancak önemli komplikasyonlardır.



Şekil 1. IAS ponksiyon.



Şekil 2. Kriyoablasyon.



Şekil 3. Kriyoablasyon-2.



Şekil 4. Kriyoablasyon-3.



Şekil 5. TEE- IAS.

OPS-019

Koroner sinüs diseksiyuna rağmen başarılı CRT-D implantasyonu

Feyzullah Besli, Fatih Güngören, Muslithittin Emre Erkuş

Harran Üniversitesi Tip Fakültesi, Kardiyoloji Anabilim Dalı, Şanlıurfa

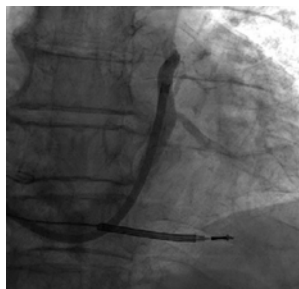
Yetmiş beş yaşında erkek hasta, bilinen iskemik kardiyomiyopatisi bulunan ve ekokardiografide sol ventrikül geniş ve ejeksiyon fraksiyonu %27 olarak değerlendirilen hastanın EKG'sinde sol dal bloğu (QRS süresi =140 msn) olması üzerine CRT-D implantasyonuna karar verildi. Üç adet subklaviyen ven ponksiyonu sonrası sağ ventrikül leadi yerleştirildi. Ablasyon kateteri yardımı ile koroner sintüs (CS) katıldı edildi. CS görüntülenmesinde CS'nin disseke olduğu görüldü (Şekil 1). Bunun üzerine işlemi sonrası sağ ventrikül leadi yerleştirildi. Ablasyon kateteri yardımı ile CS katıldı edildi. CS görüntülenmesinde CS'nin disseke olduğu görüldü (Şekil 2). Bu işlemi sonrası 5.0x100 periferik balon ile tüm koroner sintüs nominal basınçta dilate edildi (Şekil 3). Ardından 0.038 tel kateteri iterlereker göründü alındı (Şekil 4). Sonrasında lateral dal olarak düşüntülen dala sol ventrikül leadi yerleştirildi (Şekil 5).



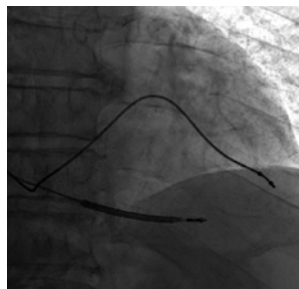
Şekil 1. Koroner sintüsde iyatrojenik diseksiyon.



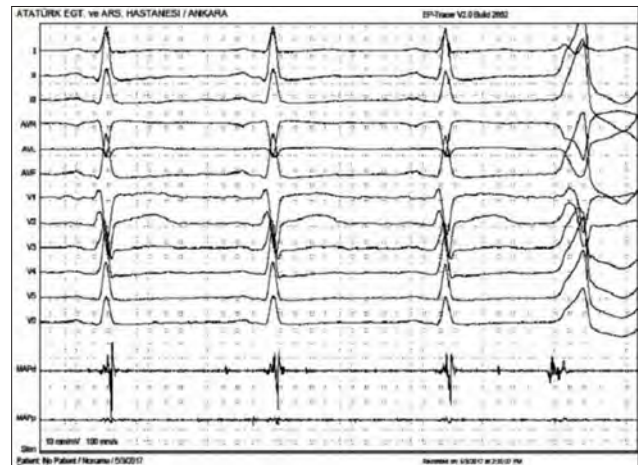
Şekil 2. Diseksiyona alınan gerçek lümene gece-rek balon dilatasyon.



Şekil 3. Balon dilatasyon sonrası koroner sinus sinusus.



Şekil 4. Sonuç görüntü: Koroner sinus leadi lateral dala yerleştirilmesi.



Şekil 2. Ablasyon öncesi EGM görüntülerini gösteren bir EKG kaydı.

OPS-021

Sol aortik kusptan kaynaklı ventriküler ekstrasistolleri olan hastada başarılı radyofrekans kateter ablasyon uygulaması

Nihal Akar Bayram¹, Telat Keleş¹, Ayşe Saatci Yasar², Serdal Baştug², Hüseyin Ayhan¹, Murat Can Güney¹, Mehmet Erdoğan², Murat Akçay¹, Tahir Durmaz¹, Engin Bozkurt¹

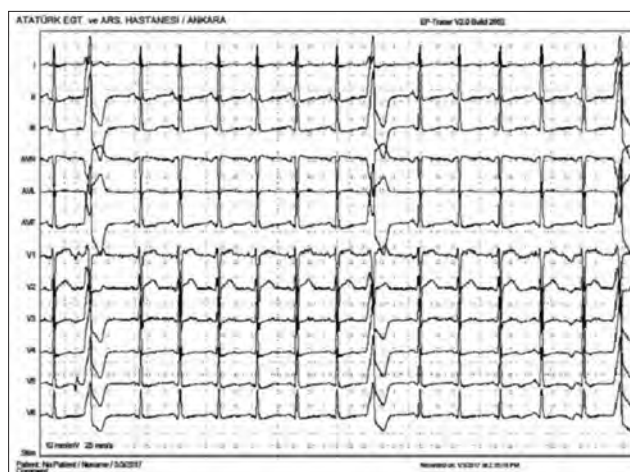
¹Yıldırım Beyazıt Üniversitesi Tıp Fakültesi, Kardiyoloji Anabilim Dalı, Ankara

²Ankara Atatürk Eğitim ve Araştırma Hastanesi, Kardiyoloji Kliniği, Ankara

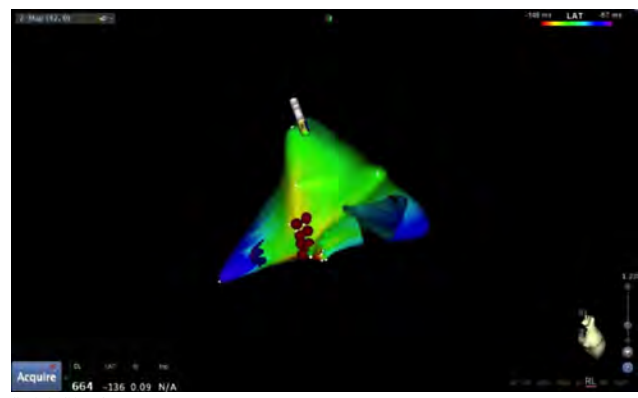
Giriş: Sağ veya sol ventrikül çıkış yolundan kaynaklanan ventriküler ekstrasistolere, yapısal kalp hastalığı olmayan hastalarda da sık olarak rastlanmaktadır. Daha önceki sağ ventrikül çıkış yolu VES lerinin daha sık olduğu ile ilgili veriler varken, son yıllarda çıkış yolu ablasyon işleminin yaygınlaşması ile, sol ventrikül çıkış yolu VES'lerinin de benzer oranlarda olduğu görülmüştür.

Olgu: 37 yaşında bayan hasta çarpıntı şikayeti ile klinikimize başvurdu. 3 aydır şikayetleri devam eden hastanın çekilen elektrokardiyografisinde ventriküler ekstrasistol (VES, LBBB, inferior ak) saptandı. Ekokardiyografide yapısal olarak kardiaik patolojisi bulunan hastanın sol ventrikül ejeksiyon fraksiyonu normal izlendi. 24 saatlik holter EKG monitörizasyonunda 26540 adet VES izlendi. Hasta 1 aylık betabloker tedavisi sonrasında tekrar değerlendirildi ve şikayetinin devam ettiği öğrenildi. Kontrol 24 saatlik holter EKG'inde VES sayısında azalma olmadığı izlendi. Medikal tedaviye yanıt vermeyen VES olması nedeni ile hastaya VES radyofrekans (RF) ablasyon yapılması planlanarak kardiyoloji kliniğine yatırıldı. Elektrofizyoloji laboratuvarına alınan hasta işleme alındığında sinus ritimindeydi ve sık VES izlenmemektedir. (Şekil 1). Sağ ventrikül çıkış yolundan yapılan pace ve aktivasyon haritalama çalışmaları ile VES'in sağ ventrikül çıkış yolundan kaynaklanmadığı saptandı. Daha sonra CARTO 3 sistemi ile sol ventriküller elektriksel ve anatomi haritalaması yapıldı ve VES'in sol ventrikül çıkış yolundan kaynaklandığı saptandı (Şekil 2). Sol aortik kusp bölgesinde erken aktivasyon bölgeleri izlendi. Koroner anjiyografi yapılarak bu bölgenin koroner arterler yakınılığı değerlendirildi. Koroner ostiumlarından >10 mm uzaklıktaki görülenin bu bölgeye 15 RF ablasyon (20 W, 35 derece irrigasyonlu) (Şekil 3) uygulanması ile VES'ler ortadan kaldırıldı. İşlem sonrası VES izlenmedi. (Şekil 4) Hasta 1. ay kontrolünde asyptomatikti ve EKG ve holter EKG içinde VES izlenmedi.

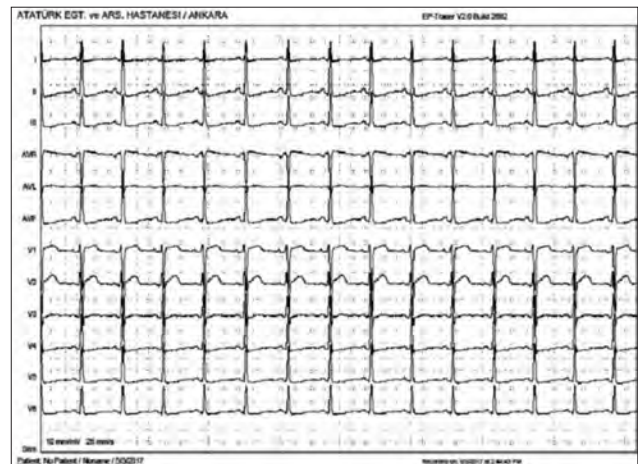
Tartışma: RF ablasyon medikal tedaviye dirençli symptomatik VES tedavisinde etkin bir tedavi yöntemidir. Sol ventrikül çıkış yolu VES'lerinde aortik kusp orijinli olanların ablasyonu özellikle 3 boyutlu haritalama ve irrigasyonlu kateterlerin kullanımını ile artmıştır. Aortik kusp ablasyonlarında, işleme koroner anjiyografi ile koroner arterler yakınılık değerlendirilerek başlangıçmalıdır.



Şekil 1. Bazal EKG.



Şekil 3. CARTO görüntüsü.



Şekil 4. Ablasyon sonrası EKG.

OPS-022

Pectoral muscular twitching: a rare manifestation of spontaneous Twiddler Syndrome

Serdar Bozyel¹, Tümer Erdem Güler¹, Tolga Aksu¹, Kazım Serhan Özcan¹, Onur Argan²

¹Department of Cardiology, Kocaeli Derince Training and Research Hospital, Kocaeli

²Department of Cardiology, Kocaeli University Faculty of Medicine, Kocaeli

The twiddler syndrome is an uncommon cause of pacemaker malfunction, in which twisting or rotating of the device in its pocket results in lead retraction or coiling and subsequent malfunction of an implanted devices such as a pacemaker, an implantable cardioverter-defibrillator (ICD), cardiac resynchronization therapy (CRT). It has a reported frequency of around 0.07–7 %, more commonly reported among elderly females and obese patients. Although twiddler syndrome is

certainly uncommon, it remains a significant clinical problem in ICD patients, as it will lead to failure to detect or treat potentially lethal ventricular arrhythmias. Fixating the device and the leads at the pectoral fascia and proper patient education can prevent this complication. This report describes a rare case of twiddler syndrome after implantation of a ICD that manifested with pectoral muscular twitching.

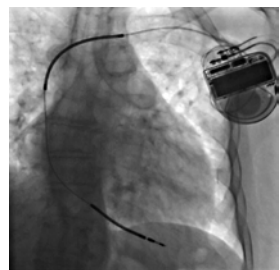


Figure 1. Fluoroscopy view taken just after implantation showing normal position of the pulse-generator and normal appearing lead without any twirling.

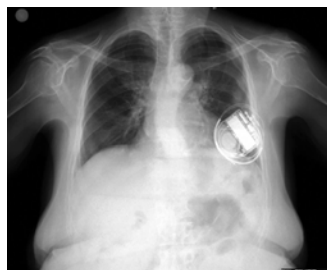


Figure 2. Chest radiograph showing the coiling of the right ventricular lead around the pulse generator of an implantable cardioverter defibrillator.



Şekil 2. Bazal EGM kaydı.

OPS-023

Middle kardiyak ven orijinli posteroseptal aksesuar yolun başarılı radyofrekans katater ablasyonu

Telat Keles¹, Nihal Akar Bayram¹, Hüseyin Ayhan¹, Ayşe Saatçi Yaşa², Mehmet Erdoğan², Zeynep Seyma Turinay Ertop¹, Haci Ahmet Kasapkara¹, Serdal Baştug², Tahir Durmaz¹, Engin Bozkurt¹

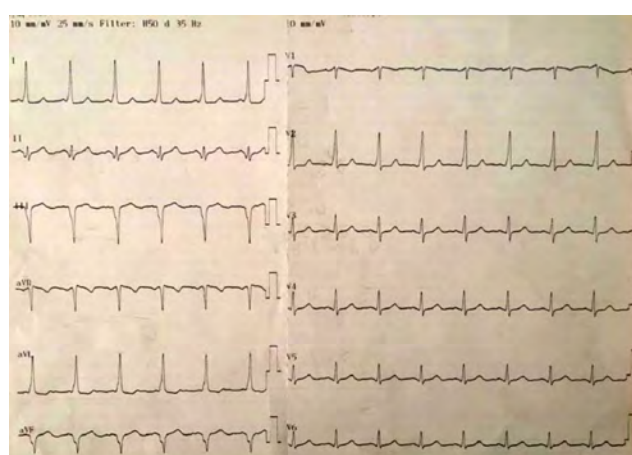
¹Yıldırım Beyazıt Üniversitesi Tıp Fakültesi, Kardiyoloji Anabilim Dalı, Ankara

²Ankara Ataturk Eğitim ve Araştırma Hastanesi, Kardiyoloji Kliniği, Ankara

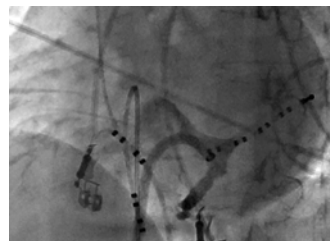
Giriş: Sağ posteroseptal aksesuar yollar sıklıkla triküspit anulusun posteroseptal bölgesinde kaynaklanmaktadır. Nadiren aksesuar yollar epikardiyal orijinli olup, koroner sinus ostiumu veya middle kardiyak venlerden ablasyon yapılmamaktadır.

Olgu: Kırk yaşında kadın hasta sık çarpıntı şikayetleri ile kliniğimize başvurdu. Elektrokardiografisinde (EKG) Wolf-Parkinson-White paterni izlendi (Şekil 1). Ekokardiyografisinde yapisal anomalilik saptanmadı. Hasta elektrofizyolojik çalışma yapılması amacıyla kliniğimize yatırıldı. Elektrofizyolojik çalışmada preeksitasyon sintüs ritimindeydi. Sintüs ritiminde en erken ventriküler aktivasyon triküspit anulusun posteroseptal bölgesindeydi (Şekil 2). Programlı elektriksel uyarı ile ortodromik atrioventriküler reentrant (AVRT) taşikardi indüklendi. Sağ ventrikül ile sağ atrium arasında triküspit anulusun posteroseptal bölgelerine uygulanan ablasyon girişimleri ile başarı sağlanamadı. Bunun üzerine epikardiyal orijinli olabileceği düşünümlerle önceki koroner sinus ostiumu ve middle kardiyak ven bölgelerine bakıldı (Şekil 3). Middle kardiyak vende iyi elektrogramlar elde edilen bölgeye radyofrekans ablasyon (50C/ 30'ar saniye süre ile maksimum 35 watt olacak şekilde) yapıldı (Şekil 4). Aksesuar yol抑制imi başarılı şekilde ortadan kaldırıldı (Şekil 5). Ablasyon öncesi ve sonrası koroner anjiyografi yapılarak ablasyon kateterinin koroner arterlere uzak olduğu görüldü. Ablasyon sonrası programlı atrial stimülasyonla taşikardi indüklenmedi. Hastanın çıkış EKG'sinde normal sinus ritimi izlendi (Şekil 6).

Tartışma: Sağ posteroseptal aksesuar yollarda triküspit anulusun posteroseptal bölgesinde ablasyonda ilk hedef bölgelerdir. Hastaların büyük bölümünde ablasyon ile başarılı şekilde aksesuar yol ortadan kaldırılmamaktadır. Ablasyon uygulamasının başarısı olduğunda koroner sinus ostiumu veya middle kardiyak ven yerleşimi aksesuar yollardan şüphelenmek gerekir.



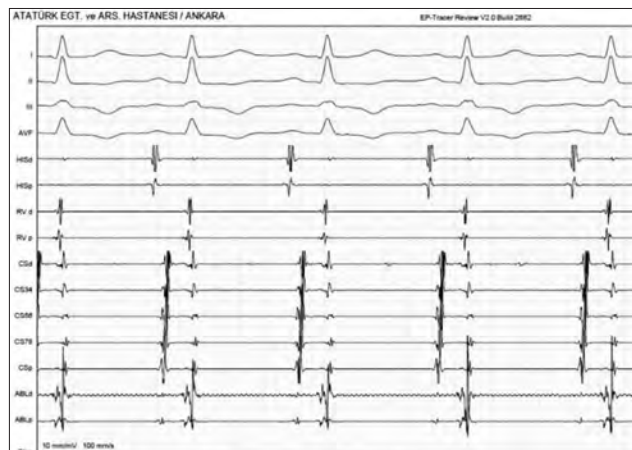
Şekil 1. Ablasyon öncesi EKG.



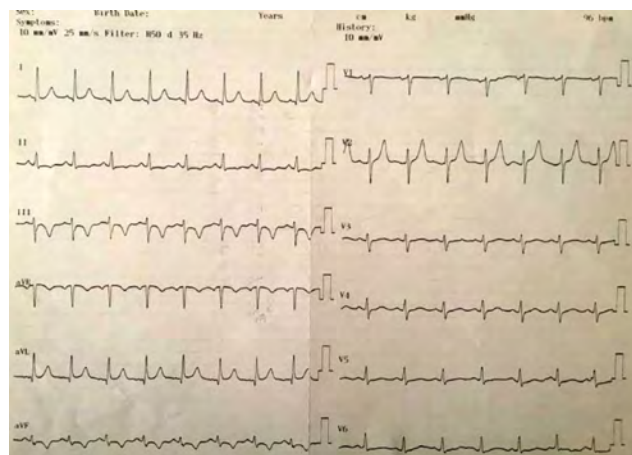
Şekil 3. Ablasyon öncesi middle kardiyak venin anjiyografi görüntülenmesi.



Şekil 4. Middle kardiyak vene radyofrekans kateter ablasyonu uygulanması.



Şekil 5. Ablasyon sonrası EGM kaydı.



Şekil 6. Ablasyon sonrası EKG.

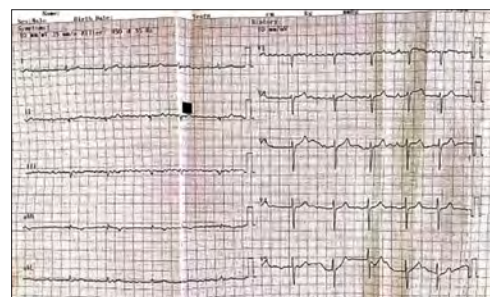
OPS-024

Koroner hava embolisi ile ilişkili elektrokardiyografik epsilon benzeri dalga

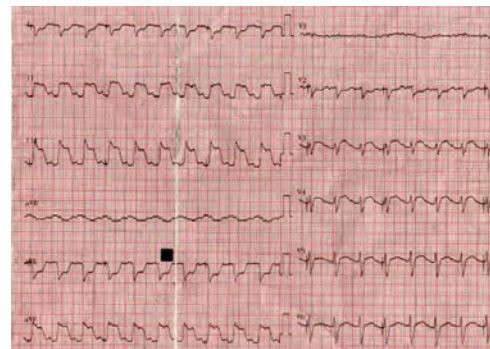
Habibe Kafes, Firdevs Ayşenur Ekizler, Bahar Tekin Tak, Meryem Kara, Özcan Özeke, Fırat Özcan, Serkan Çay, Serkan Topaloğlu, Dursun Aras

Ankara Türkiye Yüksek İhtisas Hastanesi, Kardiyoloji Bölümü, Ankara

Elli altı yaşında erkek hasta semptomatik, medikal tedaviye rağmen tekrarlayan, valvüler olmayan, paroksismal atrial fibrilasyon (AF) nedeniyle klinimize başvurdu. Fizik muayene bulguları ve laboratuvar testleri normal sınırlardaydı, elektrokardiyografisinde (EKG) 98/dk hızında AF ritimi mevcuttu. Pulmoner ven izolasyonu için işlemeye imdad找 the yapılan transözefagyal ekokardiografisinde (TOE) sol atrium ve apendiks içinde trombus ya da SEK izlenmedi. Transseptal ponksonus sonrası göğüs ağrısı başlayan ve monitörde EKG'de inferior derivasyonlarda ST elevasyonu ve öncesi EKG'lerinde olsayan (Şekil 1), QRS sonu ve T dalgası başlangıcı arasında düşük amplitüdü pozitif defleksyon (epsilon benzeri dalga) saptandı (Şekil 2). Torsades de pointes (TdP) gelişmesi üzerine defibrile koroner anjografi yapıldı ve koronerler açık bulundu. Ablasyon işlemine son verilecek yoğun bakuma alınan hastanın tekrarlayan TdP'leri oldu, iv magnezyum ve cordarone yapıldı. Sıvı bulanıklaşan ve sol alt ve üst ekstremitede motor kuvervet kaybı gelişen hasta entübe edildi. Bakılan aktive edilmiş piştiş zamanı 355 msec ölçüldü. Acil kontrastlı bülşigelerin beyin tomografisinde (Şekil 3), kanama ve akut patoloji gözlemlendi. Supin pozisyonda, iv mayii desteği ile izlenen hastanın 3 saat sonunda sol alt ve üst ekstremitede motor kuveti 0'dan 3-4'e yükseldi, spontan solunum geri döndü, ekstube edildi. Es zamanlı koroner ve serebral bulgulara yol açabilecek, aynı zamanda miyokardiyal iskemiyi destekleyen dirençli TdP gelişmesinde rol alan ve nörolojik bulguların hızla gerilemesine yol açan patoloji olarak hava embolisi düşünüldü. Kontrol EKO'da sol ventrikül duvar hareketleri normal görüldü, EKG'de iskemik deşitsizlik saptanmadı, epsilon benzeri dalganın kaybolduğu görüldü (Şekil 3). Kardiyak işlemler ile ilişkili hava embolisi nadir bir komplikasyondur ve insidansı bazı vaka serilerinde <0.1 olarak bildirilmiştir. Koroner hava embolilerin coğullukla sağ koroner arterde görülmeye nedeni supin pozisyonunda yatanken sağ koroner yaprakçının daha yukarıda yerleşimi ile açıklanmaktadır. Serebral hava embolilerinin de serilerde coğullukla sol ekstremitede nörolojik bulgulara yol açmasının nedeni de sağ brikocefalik arterin arkus aorttan direkt çıkışması olabilir. Epsilon dalgası tipik olarak aritmogeniğin sağ ventrikül kardiyomiyopatısında (ARVC) görülmekte birlikte sağ ventrikül enfarktüste, hipertrofi ve infiltratif hastalıklarda görülebileceği yönünde vakalar mevcuttur. Epsilon dalgasının ARVC'de sağ ventrikül serbest duvarının gecikmiş aktivasyonunu gösterdiği ve daha fazla sağ ventrikül tutulumunu yansıtımıza inanılmaktadır. Literatürde Brugada sendromu ve ARVC birliliklerinde epsilon benzeri dalga bildirimi mevcuttur, ancak mevcut bilgilerimize göre koroner hava embolisi ile ilişkili EKG'de epsilon benzeri dalga görüntüyü literatürde ilk defa bizim vakamızda bildirilmiştir.



Şekil 1. Basal elektrokardiyografi.



Şekil 2. Koroner hava embolisi ile ilişkili inferior derivasyonlarda ST elevasyonu ve epsilon benzeri dalga.



Şekil 3. Koroner hava embolisi sonrası takip EKG.

OPS-026

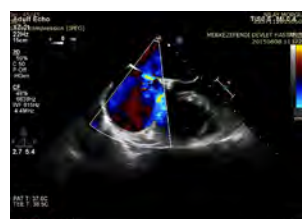
Başarısız perkütan ASD kapama

Ramazan Gündüz¹, Emre Demir²

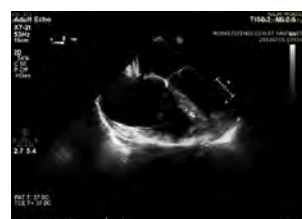
¹TC. SB. Manisa Merkezefendi Devlet Hastanesi, Kardiyoloji Kliniği, Manisa

²Ege Üniversitesi Tip Fakültesi, Kardiyoloji Anabilim Dalı, İzmir

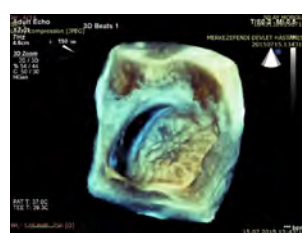
Kliniğimizde Sekundum ASD (atrial septal defect) tanısı konan hasta (Şekil 1) perkütan kapama için sevkedildi. Hasta dışmerkezde perkütan kapama sonrası tekrar görüldü. Yapılan kontrol TEE (Şekil 2) ve 3D TEE (Şekil 3) de perkütan kapamanın başarısız olduğu görüldü. Hasta kapama chazının çıkarılması ve ASD'nin kapatılması için cerrahi yönlendirildi (Şekil 4).



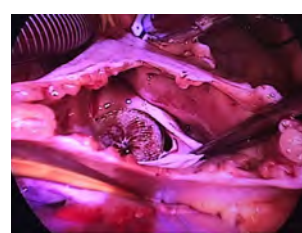
Şekil 1. Perkütan kapama öncesi basal tee görünübü.



Şekil 2. Perkütan kapama sonrası TEE görünübü.



Şekil 3. Perkütan kapama sonrası 3D TEE görünübü.



Şekil 4. Cerrahi görüntüüsü.

OPS-027

Iatrogenic ventricular septal defect after transcatheter aortic valvular intervention

Sinan Varol, Rifat Yıldırım, Kamil Gülsen, Ertuğrul Okuyan

Department of Cardiology, Bağcılar Training and Research Hospital, İstanbul

Introduction: Transcatheter aortic valve intervention (TAVI) is an evolving procedure for aortic stenosis, who is not eligible or have high-risk aortic surgery. Ventricular septal defect (VSD) after TAVI is rare.

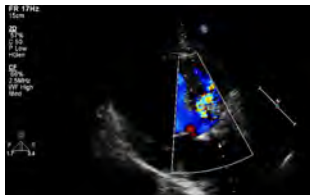
Case: 72 year old male referred our clinic for mild exertional dyspnea. He had a history of TAVI four months ago at another cardiology clinic. His physical exam revealed 3/6 pansystolic murmur at parasternal 5th intercostal space. Blood pressure, bilateral pulmonary sounds were normal. Electrocardiography were suggestive of left ventricular hypertrophy and presence of left axis. Blood tests were normal. Transthoracic echocardiogram revealed an iatrogenic ventricular septal defect placed at the lower edge of transcatheter aortic valve prosthesis. Right-sided heart dimensions were normal, pressure gradient through defect were 58/23 mmHg was compatible with restrictive VSD. Qp/Qs were 1.3 which was indicative of non-significant shunt. Medical therapy was planned with regular echocardiographic follow up.

Discussion: VSD is an unusual (%0.8) complication of TAVI. In current literature, patients with restrictive VSD with nonsignificant shunt undergo medical therapy and follow up. There are some patients who are asymptomatic and stable with medical therapy at two years. Percutaneous devices used on some patients with significant shunt. Even surgical repair of VSD can be chosen on high risk situations.

Conclusion: VSD is an unusual (%0.8) complication of TAVI. In current literature, patients with restrictive VSD with nonsignificant shunt undergo medical therapy and follow up. There are some patients who are asymptomatic and stable with medical therapy at two years. Percutaneous devices used on some patients with significant shunt. Even surgical repair of VSD can be chosen on high risk situations.



Şekil 1. 2D Echokardiogram of prosthetic aortic valve.



Şekil 2. Colour doppler revealed ventricular septal defect.

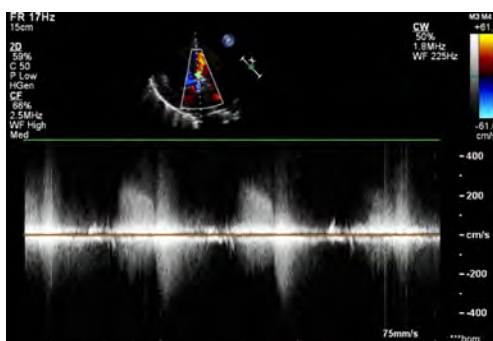


Figure 3. Doppler showed restrictive nature of VSD.

OPS-028**Bulky calcification on the left coronary cuspis causing to critical stenosis of LMCA ostium after a succesful TAVI procedure**

Nijad Bakhshaliyev, Muharrem Nasifov, Asım Enhoş, Özge Ozden Tok, Erdem Karaçöp, Mahmut Uluganyan, Mustafa Ahmet Huyut, Ahmet Bacaksız, İlke Çelikkale, Barış Akdemir, Ömer Göktürk

Department of Cardiology, Bezmialem University Faculty of Medicine, İstanbul

78 years old female patient. Presenting with NYHA IV dyspnea and chest pain in last 6 months. Known hypertension, diabetes mellitus, chronic obstructive pulmonary disease, chronic kidney disease (grade 3). Medication: Asetilsalsılıc asid 100 mg tb 1x1, metoprolol 25 mg tb 2x1, valsartan 160/hydrochlorotiazide 12.5 mg tb 1x1, pantoprozol 40 mg tb 1x1. Transthoracic echocardiography: EF: 50%, severe aortic stenosis (mean gradient: 44 mmHg, V max: 4.24 m/sn, AVA:0.8 cm², AVA index: 0.4 cm²/m²). TEE: Bulky and mobile calcification of non and left coronary cusps in short axis view. Heart team decision \diamond TAVI. After deployment of aortic prosthesis bulky calcification shifted toward LMCA ostium LMCA wired and deployed DES.



Figure 1. Aortography.



Figure 2. Balloon angioplasty of LMCA.

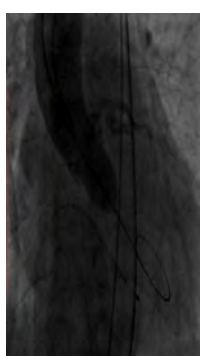


Figure 3. Predilatation of aortic valve.

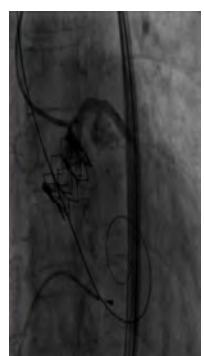


Figure 4. Shift of calcification to the ostium of LMCA as predicted before procedure.



Figure 5. Successful revascularisation of LMCA.

OPS-029**Rarely seen disease; Cor triatriatum dextrum**

Özgen Safak¹, Şenol Tayyar², Ali Boyacı¹

¹Department of Cardiology, Burdur State Hospital, Burdur

²Department of Cardiology, Isparta Private MEDDEM Hospital, Isparta

Introduction: Cor triatriatum (CT) is a rare congenital heart disease (CHD)(0.1% of all congenital cardiac defects), but a higher incidence, up to 0.4% has been reported in autopsies of patients with CHD. There are two types: left and right. Cor triatriatum sinister is more common than dexter. Cor triatriatum dextrum (CTD) is extremely rare. So our case became important for the literature.

Case: 52 year-old female patient admitted to our clinic with dyspnea that worsens day by day. Her echocardiography revealed severe mitral regurgitation and Cor triatriatum dextrum with fenestration.

She was successfully operated, mitral valve replacement was performed. Due to its fenestrated structure, surgeon did not operate Cor triatriatum dextrum.

Discussion: Cor triatriatum is a congenital anomaly that was first reported by Church in 1868. Cortriatriatum is a heart with three atria (atrial heart), in which the left atrium (cortriatriatum sinister) or right atrium (cortriatriatum dexter) is divided into two compartments by a fold of tissue, a membrane, or a fibromuscular band. According to Loeffler's classification of the lesion, group 3 lesions have large openings in the membrane, leading to little or no obstruction. Patients with group 3 lesions can survive into adulthood with minor or no symptoms at all, as in our patient. There is significant variability in size and shape of membrane and size and number of fenestrations. For symptomatic patients, surgical excision is the definite treatment, even though successful balloon catheter dilatation of the communication between the two chambers has been described.

Conclusion: Cor triatriatum is a rare congenital heart disease. CT is generally diagnosed in pediatric population. The majority of reported cases of CT occur in infants with symptoms of pulmonary venous obstruction, with adult cases being rare. Echocardiography can diagnose most cases of CT, measure a gradient between the proximal and distal. For symptomatic patients, surgical excision is the definite treatment.

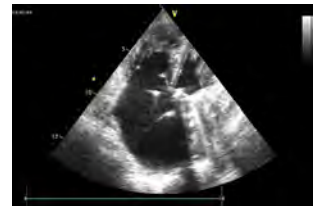


Figure 1. Cor triatriatum.

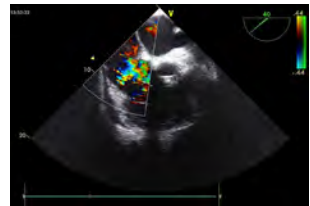


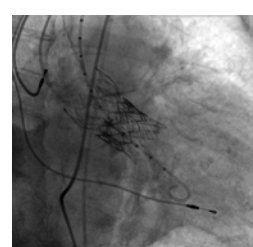
Figure 2. Cor triatriatum fenestration.

OPS-030**Erken dejenerere aort protезe kapağı müdahele: Evolute R in Edwards Sapien**

Nijad Bakhshaliyev, Mahmut Uluganyan, Ramazan Özdemir

Bezmialem Üniversitesi Tip Fakültesi, Kardiyoloji Anabilim Dalı, İstanbul

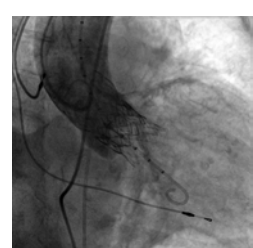
Yetmiş sekiz yaşında kadın 03/2013 tarihindeiddi AS nedeniley TAVI yapılmış (26 mm Edwards Sapien XT). Yavaş semptomatik AF nedeniyle kalıcı pacemakerimplante edilmiş. Bilinen kronik AF, HT, T2DM ve nonobstruktif KAH tabloları mevcut. Hasta son 1 yıl içinde 3 kez dekompanse KY tanısıyla interne edilmiş. Bir yıl önceki TTEdede LV EF % 55, aort velocitiesi 3.62. Aorta kapak tizerinde maks/orta gradiente 52/26 mmHg, 2 AY, SPAB = 55 mmHg. Bir yıl önceki BNP= 191. Hasta kardiyoloji NYHA 3 klinikinde başvurdu. BNP 881. Kontrol TTEdede LVEF %40, global LV hipokinezisi, LV çapları sınırlı artmış. Aort kapak üzerinde ortalama 42 mmHg gradiente ölçüldü, 3- 4 + AY mevcut. TEE de IE lehine bulgu yok. Aort kapak dejenerere göründümde. Hasta önce diuretik tedavisiyle stabilleştirildi. Cerrahi konseyde tartışıldı, protez kapağı içine TAVI planlandı. Sapien kapak içine Evolute R 26 mm yerleştirildi. Hasta işleminden 48 saat sonra taburcu edildi.



Şekil 1. Edwards Sapien kapak içine Evolute R.



Şekil 2. İşlem sonrası TEE: AY izlenmiyor.



Şekil 3. İşlem sonu aortografi.



Şekil 4. TEE de protez aort kapak ve anamlı AY göründürüyor.

OPS-031

Transjugular closure of secundum atrial septal defect in a patient with interrupted inferior vena cava

Emre Özdemir, Sadık Volkan Emren, Nihan Kahya Eren, Cem Nazlı, Mehmet Tokaç

Department of Cardiology, İzmir Katip Çelebi University Atatürk Training and Research Hospital, İzmir

ASD accounts for 30-33% of all congenital heart diseases 7-10% in adults. Although ASD is usually asymptomatic, main treatment option is percutaneous transcatheter closure which is less invasive. Percutaneous transcatheter closure is routinely performed via inferior vena cava. However operator rarely comes across unexpected vascular access problems such as interrupted inferior vena cava during the closure of ASD. Congenital interruption of the inferior vena cava (IVC) with azygos/hemiazygos continuation is a rare developmental variation usually associated with other congenital anomalies, especially cardiac malformations. The incidence of this anomaly approximates 0.6% in patients with congenital heart defects. Usually, the presence of this vascular variation alone causes no clinically evident problems. A 32-years-old women admitted to our hospital with a complaint of dyspnea and palpitation. On physical examination, S2 split and grade 2/6 systolic murmur was present at left second intercostals space. Electrocardiogram was in sinus rhythm with incomplete right bundle branch block. Transthoracic echocardiogram revealed mild right ventricle dilatation and secundum type atrial septal defect. Transesophageal echocardiography (TEE) was performed in order to calculate the exact size and determine the rhymes which revealed 12 mm secundum ASD suitable for percutaneous closure. Cardiac catheterization was performed under general anesthesia using TEE. Afterwards despite many attempts guidewire couldn't be passed through IVC. Venography revealed interrupted inferior vena cava and venous flow reached to right atrium via collaterals and azygos vein continuation to superior vena cava. Then percutaneous ASD closure was continued via transjugular approach. The defect was measured 12 mm with sizing balloon. Percutaneous ASD closure was performed by 14 mm Amplatzer ASD occluder device. Control TEE demonstrated that flow shunt had stopped. Inferior vena cava is made up of four segments during the embryonic progress, and failure of the formation of hepatic segment results as an interrupted IVC. This anomaly is always concomitant with other embryogenic malformations. But our patient had isolated secundum ASD and interrupted IVC without concomitant congenital abnormality. The ASD closure devices and delivery systems for transcatheter closure are designed to be used from the femoral veins. However there are some conditions impeding transfemoral venous approach such as IVC interruption. The transjugular approach is a potentially safer alternative as described previously in some case reports. It has been used for patients with heterotaxy and interrupted IVC, severe scoliosis. In our case we preferred the transjugular access since it is more convenient than the transhepatic access. The ASD occlude device was successfully deployed without difficulty. Transjuguler ASD closure can be safe, feasible, and effective when femoral access is not possible.

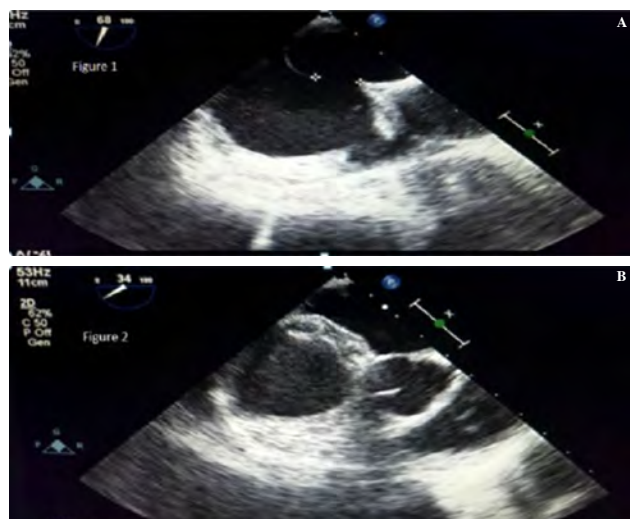


Figure 1. (A) Secundum ASD was detected by TEE; (B) Occluder device was shown after successfully transjugular ASD closure on TEE.

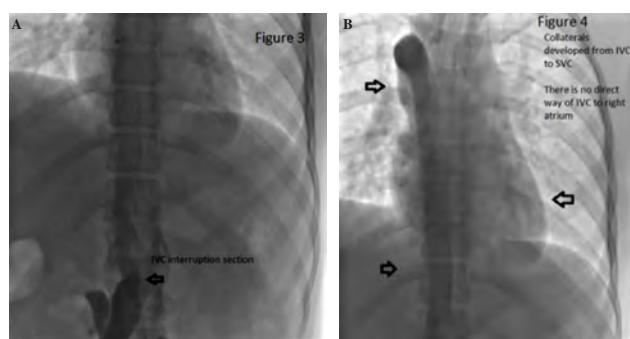


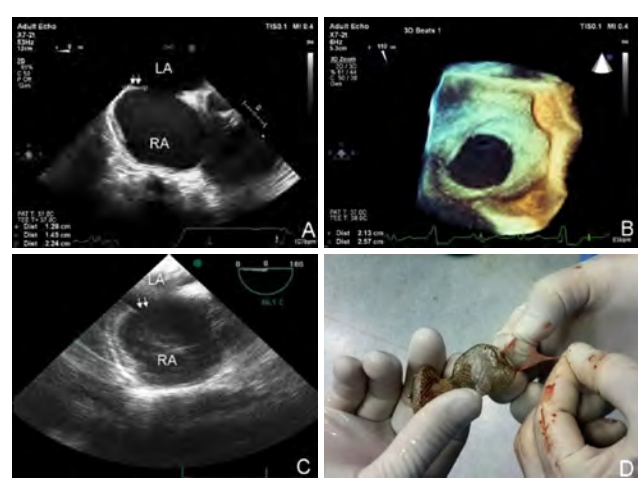
Figure 2. (A) Detection of interrupted IVC on venography; (B) Continuation of IVC flow by azygos vein and collaterals to SVC was seen on venography.

OPS-033

Cihaz destrüksiyonuna bağlı komplike olan ASD vakası

Khadani Isqandarov, Süleyman Barutcu, Mohammed Bahadir Omar, Elnur Alizade, Selçuk Pala
Kartal Koşyolu Yüksek İhtisas Eğitim ve Araştırma Hastanesi, Kardiyoloji Kliniği, İstanbul

Yirmi yaşında erkek hasta nefes darlığı ve çarpıntı şikayeti ile kardiyoloji polikliniğe başvurdu. Fizik muayenede; pulmoner odakta S2 sabit çiftleşmesi ve 2/4 sistolik tıftırtım, triküspid odakta 2/6 sistolik tıftırtım mevcuttu. Elektrokardiyografi sağ dal bloğu gözlandı. İki boyutlu Ekokardiografi ile ASD çapı 26 mm ölçüldü ve perikutan kapama uygun olarak değerlendirildi. Genel anestezide altıda ve sürekli TEE monitörasyonu eşliğinde işlem yapıldı. Sağ femoral ven iki adet 8F kılıf girildi. Interatriyal septum 0.035 inch kalınlık tel ve 6F çok amaçlı kateter ile geçildi. 28 mm ASD oklütör cihazı AMPLATZER SEPTAL OCLUDER implante edilmeye çalışıldı ama her ne kadar farklı teknikler kullanılsak da cihaz sağ atriyuma düştü. Sonunda, guiding kateter olarık flexchat kateter ve destek için ikinci çok amaçlı kateter kullanıldı. Tekrar İAS den cihazı geçirildik sonra sağ atrium diskini açtık ve geri çektiğim ancaq cihazı geri çekmekte zorlandı. Birkaç kez denedik, ancak her seferinde başarısız oldu. Bu nedenle tüm sistemler guiding kateterin içine alındı. Sonrasında ASD çapının arttıgını, ASD'nin küçük bir kışımının koputduğunu ve cihazla birlikte geri alındığını fark ettik. Hastayı kalp dammar cerrahisine devr ettiğim.



Şekil 1. (A, B) İşlem öncesi (C) kopmuş posterior rim (D) cihaza tutunmuş posterior rim.

OPS-035

Migration of the transcatheter into the ascending aorta

Özgür Selim Ser, Yalçın Dalıcı, Okay Abacı, Cüneyt Koçtaş, Ahmet Yıldız
Department of Cardiology, İstanbul University Haseki Institute of Cardiology, İstanbul

Transcatheter Aortic Valve Implantation (TAVI) is a well-described treatment option for patients with symptomatic severe calcific aortic stenosis and multiple comorbidities who are not eligible for open-heart surgery due to unacceptable conventional surgical risks. Here, we report on a 80-year-old frail patient with severe aortic stenosis which an unusual bioprosthetic CoreValve migration into the ascending aorta was occurred during TAVI procedure. Patient aortic valve area was 0.8 cm² mean transaortic gradient 45 mm-Hg and STS score; 13.3. The patient was hospitalized twice because of aortic stenosis within the last three months. It was decided to TAVI. The procedure was undertaken with balloon predilatation under fluoroscopy. Following predilatation step, CoreValve bioprosthetic was implanted and then we removed the delivery catheter. After withdrawing the system we noticed that the whisper super stiff guidewire had come back to the ascending aorta. Guidewire was replaced to the left ventricle and transthoracic echocardiography was performed to control the severity of aortic regurgitation. We decided to apply postdilatation since moderate to severe aortic regurgitation was determined. Post dilatation balloon was easily positioned but after expanding, removal of it could not be achieved easily and required force. While we were pulling the balloon back, we realized that core valve came back to the ascending aorta. We tried to remove the migrated valve back with snare system but we failed. Therefore, we rewired nature aortic valve into the migrated core valve. The new core valve was replaced to the correct position whereas the migrated one was positioned to the arcus aorta. The state of the patient was stable after the procedure. The patient was discharged after five days. TAVI for aortic stenosis is increasingly performed. Complications of treatment-related complications are more common. It is necessary to be very careful to reduce the complications that may occur during the procedure.

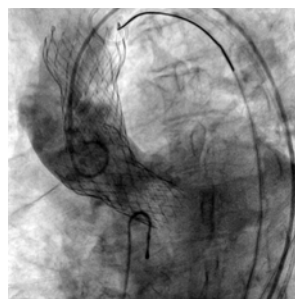


Figure 1. After implantation of second valve.

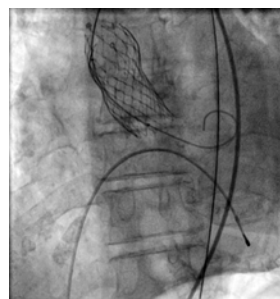


Figure 2. After post dilatation.

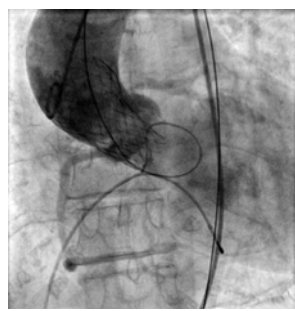


Figure 3. Implantation of first valve.

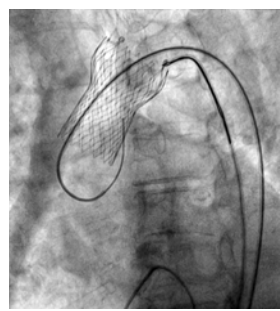


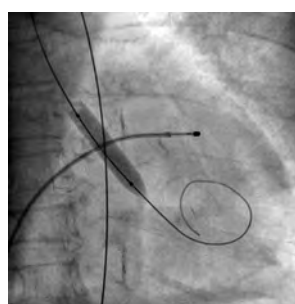
Figure 4. Migration.

OPS-037**Yüksek riskli aort darlığından periferik balonla aortik balon valvoplasti**

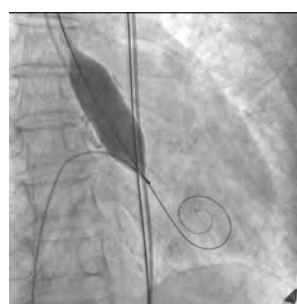
Cüneyt Koçaoğlu, Servet Batı, Mert Palabıyık, Onur Kılıçarslan, Yalçın Dalgıç, Ahmet Yıldız, Barış Özçün

Istanbul Üniversitesi Kardiyoloji Enstitüsü, Kardiyoloji Anabilim Dalı, İstanbul

TAVI öncesi dönemde kateter laboratuvarında pek uygulama alanı olmayan aort kapakla balon işlemi (BAV), TAVI'nın günlük rutinde yerini almıştır. Birlikte bazı hasta grupları için hayat kurtarıcı olabilemektedir. Kılavuzlarda TAVI veya cerrahi kapak replasmanına köprü olacak şekilde, çok yüksek riskli vakalarla endikasyon verilmiştir. BAV retrograd yolla hızlı bir şekilde ve düşük komplikasyon oranlarında yapılabılır. Ancak akut aort yetersizliği, koroner oklüzyon, aort diseksiyonu, anulus rüptürü ve periferik komplikasyonlar gibi hayatı risk oluşturan komplikasyonlar da gelişebilir. BAV prosedürlerinde genellikle TAVI işlemi öncesinde kullanan 18-21 mm boyutundaki balonlar kullanılmaktadır. Bu balonları bağlı akut aort yetersizliği gelişmesi durumunda acil olarak TAVI veya cerrahi kapak replasmanı gereklidir. Çoğunlukla çok yüksek riskli olan vakaların bu süreçleri tamamlaması düzülmişdir. Biz burada çok yüksek riskli bir aort darlığı vakasında 10 mm gibi küçük çaplı bir periferik balonla iyi sonuç alduğumuz bir BAV prosedürüne beldirildi. Vakamız 82 yaşında öncesinde aort darlığı tanısı olan ancak müdahale edilmemiş bir kadın hastaydı. Hasta akciğer enfeksiyonu ve dekompanse kalp yetersizliği tablosunda yoğun bakıma yatırılmış akut kalp yetersizliği tedavisi verildi. Yapılan transtorasik ekokardiyografide aort kapakta 45/65 mmHg gradient ve aort kapak alanı 0.4 cm², ejeksiyon fraksiyonu %40 olarak belirlendi. Takip eden günlerde non-invasif mekanik ventilasyon tedavisine de iyi yanıt vermeyen hasta entübe edilerek solunum desteği verildi ve pozitif inotrop ihtiyacı arttı. Bu tablodada TAVI ve cerrahi kapak replasmanı açısından çok yüksek riskli olduğu için BAV yapılması planlandı. Elimizde BAV için uygun çapta balon olmamışı ve hastanın giderek kötüleşmesi üzerine elimizdeki en büyük çaplı periferik balon olan 10 mm x 40 mm balonla BAV işleminin yapılması planlandı. İşlem öncesi koroner anjiyografide anormali dardıklar çıkmadı ve işlem tamamlandıktan sonra tamamlandı. İşlem öncesi koroner anjiyografide anormali dardıklar çıktı ve işlem sırasında azaldı. İşlem sonrası 45 mmHg ile ortalama gradient işlem sonrasında 28 mmHg'ya kadar düştü ve aort yetersizliği gitti. Kan basinci hermen düzdü ve inotrop ihtiyacı azaldı. İşlem sonrası günde 1000 ml'lik kan kaybından servise çıkarıldı. Bir hafta sonra hastaya 29 mm Portico TM Transkateeter kapak implante edildi ve hasta sorunsuz bir şekilde taburcu edildi. Bu vakada kullandığımız dörtçift çaplı balon hem 7 french gibi küçük çaplı bir kılıfı kullanıma kolaylığı sayesinde periferik kapatma cihazı veya cerrahi kapatma zorunluluğunu ortadan kaldırılmıştır hem de akut aort yetersizliği gelişme riskini azaltmaktadır. Diğer taraftan kritik durumda hastalar için dekompanse dönemi atlama anamneste yeterli bir kapak alanı sağladığını bizim vakamızdan çıkarılan dersler arasında yer almaktadır.



Şekil 1. Aortik balon valotomi.



Şekil 2. TAVI işlemi.

OPS-037**Kladiksyon şikayetisi ile başvuran hastada aort koartikasyonunun başarılı endovasküler tedavisi**

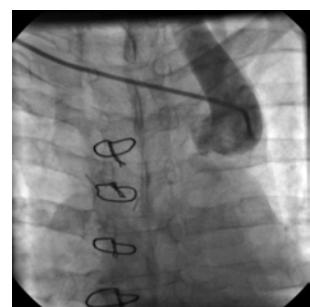
Elnur Alizade, Khagani Isgandarov, Süleyman Barutçu, Alev Kılıçgedik, Mohammed Bahadir Omar, Selçuk Pala

Kartal Koşuyolu Yüksek Eğitim ve Araştırma Hastanesi, Kardiyoloji Kliniği, İstanbul

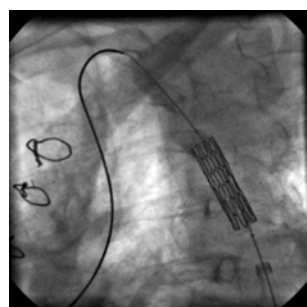
Giriş: Distal aort arkusunda daralma ile seyreden aort koartasyonları (AKo), 1000 canlı doğumda 0.2-0.6 oranında görülür. Bu olgumuzda kardiyoloji polikliniğine kladiksyon yakılması ile başvuran 48 yaşındaki hastada insidental olarak yakalandığımız AKo'nun başarılı endovasküler tedavisi paylaştık.

Ölgu: Kirk sezik yaşında erkek hasta, poliklinimize kladiksyon şikayetisi üzerine baş vurdur. Öz geçiminden 2005 yılında TIP 1 aort diseksiyonu operasyon hikayesi mevcuttu. Bilinen ek bir hastalığı yoktu. 20 yıldan fazla sigara içicisi (1 paket/gün). Fizik muayenesinde proksimal hipertansiyon, femoral nabızlarında zayıflama ve interskapular sistolik titrütme mevcuttu. Alt ekstremite arteriyle Dopplerde sağ ekstremal iliaç arterde (EIA) %70 darlığı mevcuttu. Sağ taraflı ayak bileği-brakial indeksi (ABI) 0.6 saptandı. Bu nedenlerden dolayı hasta periferik anjiyografi (PAG) planlandı. Femoral nabızlarının zayıf palpe edilmesi nedeniyle hasta sağ brakial arterden PAG planlandı. 0.35 inch hidrofilik guidewire inen aortaya ilerlememişti. Hastaya aortografi yapıldı ve aort koartikasyonu tanı kondu. Başka bir seansa sağ brakial arterden ponksiyon yapıldı, AKo 0.35 inch hidrofilik tel ile geçilmedi. Corsair mikrokatereter destegi altındayken lezyonu floppy tel ile geçildi. Sonra Corsair mikrokatereter Mini katerete ile değiştirildi. Ardından floppy tel 0.35 inch hidrofilik tel ile değiştirildi. Sol femoral arter görüntültendi ve ponksiyon yapıldı. 0.35 inch hidrofilik tel snair ile yakalanarak sol femoral arterden ekstremer edildi. Ardından retrograd olarak AKo 34 mm CP COVERED STENT ile başarılı şekilde açıldı. Hastanın perifer anjiyografisi yapıldı ve sağ EIA da %40 darlık saptandı. Medikal takip kararı verildi. Hastası işlemden 48 saat sonra taburcu edildi.

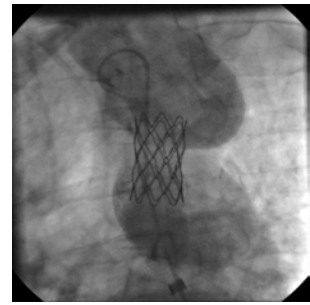
Sonuç: Tipik kladiksyon şikayetisi olup, alt ekstremite arteriel görüntültümü sonuclarında anlamlı darlık saptanmayan hastalarda kladiksyon nedeni olarak AKo akılda tutulmalıdır.



Şekil 1. Aortografide aort koartikasyonunun testi.



Şekil 2. Aort koartikasyonuna stent implantasyonu.



Şekil 3. Aort koartikasyonunun başarılı açılması.

OPS-038**Retrieval of embolized chemotherapy portacath in the heart by endovascular technique**

Muhsin Kalyoncuoğlu, Semih Öztürk, Gündüz Durmuş, Mehmet Fatih Yılmaz, Erdal Belen, Mehmet Mustafa Can

Department of Internal Diseases, Haseki Training and Research Hospital, İstanbul

Totally subcutaneous intravascular portacath provide safe and reliable vascular access and is widely utilized for venous access for long-term parenteral administration of medications. Catheter fracture and/or embolization of the catheter fragment in to the heart or pulmonary artery is a rare and potentially serious complication. When it occurs, promptly surgical or percutaneously extraction of the embolized foreign body is necessary. We present an asymptomatic case, 57 years old female, with metastatic colon adenocarcinoma diagnosed and surgically resected 1 year ago. Following resection, she was receiving monthly chemotherapy through a central venous port to his right subclavian vein. 18 July 2017, while it was surgically tried to extract, the port cath fragmented and embolized in the heart (Figure 1). Echocardiography was performed and showed linear shadow representing the retained fragment in the right atrium and ventricle. After the patient was evaluated by cardiovascular vascular surgeon and interventional cardiologist, an emergency percutaneous removal of the catheter was planned. So, he was referred to interventional cardiology due to consideration of availability of minimally invasive percutaneous removal. After informed consent was obtained, the patient was taken to the cardiac catheterization laboratory. The procedure was performed under

local anesthesia and fluoroscopic guidance. After insertion of a 10-French (Fr) sheath, 8-Fr right coronary guiding catheter was advanced to right ventricle using a 300-cm and 0.038-mm Exchange wire. The approximately 13-cm long and 6-Fr diameter fractured catheter segment that was lodged in the right atrium and ventricle, was tried to captured by using a macrosnare (Argon medical devices, Atrive vascular snare kit, 2-4 mm, 175 cm, A11141006). Because of the catheter body is tightly and strongly held by the right atrium and ventricle and there is not enough space to catch the catheter tip, several attempts using right femoral vein unfortunately was unsuccessful. So, we think that, we might move the broken piece away from its place using an ablation catheter via right femoral vein. At the same time, right subclavian vein was cannulated with 9-Fr long sheath as a main extraction root. After the fragmented catheter tip was moved using ablation catheter via right femoral vein, we grasped the fragmented catheter by macrosnare and pulled into the right subclavian vein along with the sheath and externalized (Figure 2-3) (video 1). We administered intravenous unfractionated heparin as a 70 U/kg (up to a maximum 5000 U) during the procedure. After the activated partial thromboplastin time (aPTT) was < 50 seconds, we removed the subclavian and femoral vein sheath and hemostasis was achieved through manual pressure. Postprocedure course was uneventful and the nature of vascular access made early ambulation possible.



Figure 1. Port 1.



Figure 2. Port 2.



Figure 3. Port 3.

OPS-039

Coronary balloon assisted trombectomy in deep femoral artery organized thrombosis presenting as critic limb ischemia

Kenan Toprak, Uğur Arslantaş, Selçuk Pala

Department of Cardiology, Kartal Koşuyolu Yüksek İhtiyaçlı Training and Research Hospital İstanbul

The lower limb ischemia is usually caused by aorto-iliac occlusive disease and treated by aortofemoral bypass, percutaneous balloon dilatation, or aortoiliac endarterectomy. This case report describes the treatment of thrombus in Deep Femoral Artery (DFA) using coronary balloon angioplasty in a patient with subacute limb ischemia. Thus, the protection of the DFA flow, which is a vital contributor to the lower limb and a source of important collaterals, is provided. A 60-year-old male patient presented with paleness and pain in his left limb. Complaints have been started for about 40 days. Physical examination showed weak left femoral artery and no pulses in dorsalis pedis artery. He had undergone coronary artery bypass graft 10 years ago and aortofemoral peripheral bypass 1.5 years ago. He was diabetic and heavy smoker. Lower extremity peripheral angiography was performed. Left common femoral artery (CFA), aortofemoral bypass graft and deep femoral artery (DFA) was thrombosed and occluded. The pig tail catheter was left in the deep femoral artery. Thrombolytic infusion therapy with a bolus of 10 mg and 2 mg / hour for 24 hours was administered from a pig tail catheter. Control peripheral angiography showed partial thrombosis of the thrombus in the CFA and thrombus slides the DFA ostium. SFA lesion was passed anterograde approach with the help of a Fielder XT guide wire and dilated with a 4.0x 220 mm size peripheral balloon. Partial flow was observed in the distal SFA after balloon angioplasty. No flow was observed despite angioplasty with 2.0x200 mm balloon in DFA. Whereupon 4.0x15 mm coronary balloon was inflated in the distal DFA and pulled into the SFA ostium. The thrombus in the DFA was pulled to the SFA with the help of a coronary balloon and the DFA flow improved. Flexible stents of 6.0x 150 mm and 5.0x 180 mm were implanted in the SFA (Abbott Vascular Supera). Thus, the peripheral flow was successful in both SFA and DFA. Acut limb ischemia is a life threatened situation so it is important to make logical managements.there are any treatment strategies like aortofemoral bypass,percutaneous dilataion,or aortoiliac endarterectomy. The therapeutic value of coronary balloon assisted embolectomy will be a bail out treatment in critical limb ischemia. This procedure can be used easily if significant restenosis occurs and provides a useful tool in selected cases.

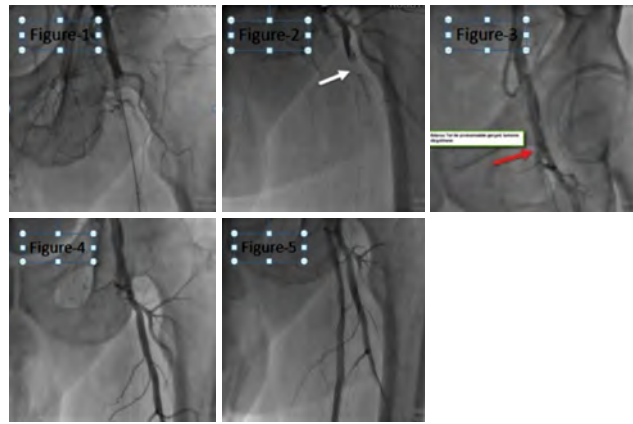


Figure 1-5.

OPS-040

A great mass in thorax, case report

Cigdem Ileri¹, Zekeriya Dogan², Bilel Mutlu³

¹Department of Cardiology, TC. SB. Kütahya İli Tavşanlı Doç. Dr. Mustafa Kalemli State Hospital, Kütahya

²Department of Cardiology, Kastamonu Dr. Mümin İslamoğlu State Hospital, Kastamonu

³Department of Cardiology, Marmara University Faculty of Medicine, İstanbul

80-years-old man with uncontrolled hypertension was admitted emergency service with complaints of chest and back pain, dyspnea, weakness and decreased urine flow, which lasted for one week. On physical examination; he was hypotensive, tachycardic and tachypneic and no urine output since midnight. Chest X-ray was taken immediately which was standing out a great mass in left hemithorax just above heart (Figure 1). Because of deep hypotension, confusion and disorientation; transthoracic echocardiography was performed at bedside and the diameter of ascending aorta was measured as 74 mm with central moderate aortic regurgitation (Figure 2). Clinical findings of the patient were found as creatinin level: 2.5 mg/dL, blood urea nitrogen (BUN): 72 mg/dL, urea: 155 mg/dL, and hemoglobin: 16.4 g/dL, consistent with prerenal acute kidney failure. Computed thorax tomography without intravenous contrast revealed a giant ascending aorta aneurysm. The diameter of ascending aorta was measured as 80 mm, diameter of arcus aorta and proximal descending aorta as 90 mm and was visualized with a perivascular effusion compatible with Type-B aortic dissection (Figure 3, 4). Intravenous fluid replacement and norepinephrine therapy started before these imaging processes in order to restore blood pressure, but patient was lost within two hours before the planned high-risk surgery.



Figure 1. A giant aortic aneurysm can be seen easily at chest X-ray.



Figure 2. Measurement of ascending aorta at parasternal long axis view on transthoracic echocardiography.

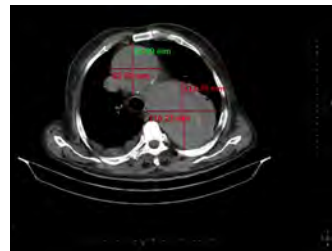


Figure 3. Measurement of aorta from different level at thorax CT scan without contrast.



Figure 4. Descending aorta aneurysm and perivascular effusion.

OPS-041

Geçici Pacemaker yerleştirilmesi sırasında çok nadir bir komplikasyon; İlliaik ven rüptürü

Yakup Alsancak, Mükremin Coskun, Sefa Tatar, Ahmet Soylu, Mehmet Akif Düzenli

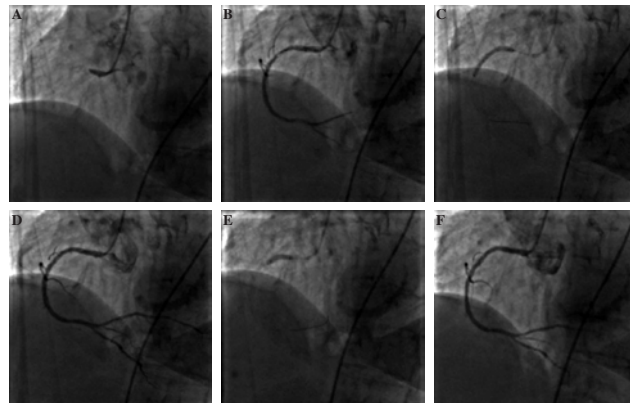
Necmettin Erbakan Üniversitesi Meram Tip Fakültesi, Kardiyoloji Anabilim Dalı, Konya

Giriş: Perktütan girişim ya da elektrofizyolojik inceleme oranlarının artması ile beraber illiaik venler (IV) kullanılıklı arıtmaktadır. Geçici pacemaker (GP) uygulanması yine sıkılıklı IV'lerin kullanıldığı ve çoğu zaman hayat kurtarıcı bir tedavidir, bu işlemde pnömotoraks, hemotoraks, sağ ventriküler rüptür ya da kardiyak tamponad bilindik komplikasyonlar olmasına rağmen, IV'de rüptür son derece nadir gözlenmektedir. IV'de çok nadir görülen rüptür (cerrahi, perkitütan), tannının geçikmesi durumunda mortalitesi yüksek bir klinik durumudur.

Vaka: 86 yaşında genel durum bozukluğu ile acile başvuran kadın hastanın tansiyon değerlerinin 70/40 mmHg, kalp hızının 25 atım/dak, elektrokardiografisinde inferior MI bulguları ve ejeksiyon fraksiyonu %20 olarak tespit edilmesi üzerine laboratuara alındı. Atropin yanıtı olmaması ve kardiyojenik şok tablosu nedeniley GP planlanıldı, elektrod ilerletilmek istendi ancak elektrodun sheathinden hemen çıkışa ilerlemediği gözlandı. Venöz yapılarında tikankılık olabileceği düşünüldü, venografi sırasında IV'de sheathin hemen üç kısmından başlayan disseke görünümlü ve opak ekstravazasyonu (rüptür) izlendi. Hastanın klinik durumu göz önüne alınarak öncelikle koroner anatominin değerlendirilmesi planlandı, sağ koroner arterin tam tikali olduğu gözlandı. Bu esnada tekrarlayan VT/VF atakları izlendi, tekrarlayan defibrilasyonlar uygulandı. Ardından sağ koroner arter stentimplante edilerek, postdilatasyon yapıldı. Bu esnada tekrarlayan malitiy aritmiler izlenmesi üzerine amiodaron ve venoz yoldan yoldan uygulandı. Klinik olarak stabilizasyon sağlanıldı. Kalp hızının 90 atım/dak, tansiyon değerlerinin 100/70 mmHg olduğu gözlandı. Kontrol anjyografide stentin açık olduğu gözlandı (Şekil 1). Kanama şüphesi nedeniyle protamin yapılarak, işlem sonlandırıldı. Takibinde sağ femoral veden önce 0.014 inch floopy, ardanızda sağ guiding kateter ilerletildi. Alınan kontrol venografide IV'den gözlenen ekstravazasyon kaybolduğu, diseksiyon

ve rüptürün kendini sırılamış olduğu gözlandı (Şekil 2). Bu nedenle medikal takip planlanarak hasta yoğun bakıma alındı. Alınan kontrol hemogram değerlerinde belirgin düştüklük izlenmedi (islem öncesi 13 mg/dl, işlem sonrası 11.9 mg/dl). Ancak hastada tekrarlayan aritmiler devam etti. Hasta yoğun bakımı sırasında kaybedildi.

Sonuç: GP tedavisinin acil olarak kullandığı durumlarla başında akut koroner sendromları eşlik eden AV bloklar gelmektedir, hasta uyumunun yetersiz olması halinde işlem komplikasyonları açık hale gelmektedir. Bu vaka, son derece nadir görülen bir GP komplikasyonu olması bakımından önemlidir. Venöz yapılara bağlı kanamalar kendini sınırlayabilir. Ancak literatürde sıkılıkla bahsedilen spontan IV rüptür vakalarının mortalite oranlarının yüksek olduğu düşünüldüğün de, ekstravazasyonun devam ettiği durumlarda balon anjiyoplasti, stent implantasyonu, çözüm sağnamazsa açık cerrahi ile IV'de ligasyon ya da primer onarım uygun tedavi seçenek olabilir.



Şekil 1. (A-F) Sağ koroner arter proksimal tam tikanıklığı, stent implantasyonu, post dilatasyon ve işlem sonrası görünüm.



OPS-042

Endovascular repair of longstanding post-traumatic tibio-peroneal trunk artery arteriovenous fistula

Yağmur Boduroğlu¹, Erdinç Öz²

¹Department of Cardiology, Antalya Private Opera Yaşam Hospital, Antalya

²Department of Cardiology, Çanakkale State Hospital, Çanakkale

Background: The role of percutaneous angioplasty in the management of peripheral vascular disease especially in pseudoaneurysm formation and arteriovenous fistulas has been increasing recently. Popliteal arterial injury is the second most common arterial injury in the lower limb, accounting for approximately 30% of lower extremity (LE) arterial injuries. Pseudoaneurysm formation and arteriovenous (AV) fistulas are well-known complications of arterial injury that often present in a delayed fashion and have historically been treated by open repair. But minimally invasive techniques are alternatives to traditional open repair. We present a case with longstanding AV fistula with severe ulcerations.

Case: A 69- year old male patient was admitted to our intensive care unit for medical treatment for chronic obstructive lung disease and pneumonia. He has a progressive severe bilaterally peripheral leg ulcerations and gangrene for 4 months. (Figure 1) After duplex ultrasonography he underwent peripheral angiography which showed AV fistula in tibio-peroneal trunk with severe chronic disease in many spots. (Figure 2, 3) He didn't have comprehensive history about any of calf or leg

trauma except a small trauma in his childhood term for his AV fistula. (longstanding) We tried to implant a covered graft stent via anterograde way but we could not accomplish because of many dissections in superficial femoral artery so we cannulated arteria tibialis posterior then deployed stents and we finally closed AV fistula via retrograde course and secured a good run off in all course of LE arterial system (Figure 4).

Discussion: Although longstanding AV fistula for 2 years has been reported before but in our case we did not appreciate exact history of AV fistula. In some series open surgery repair still has being advised firstline therapy but minimally invasive and endovascular therapies like using balloon tamponade at the site of the fistula or coil embolisation or deploying a covered stent has provided alternative treatments.

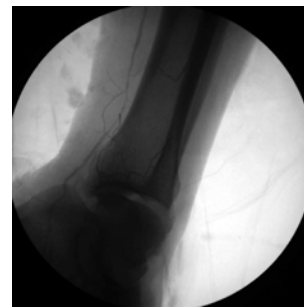
Conclusions: Percutaneous treatment is a useful therapeutic option for vascular lesions. It is less invasive than open vascular reconstruction and has a comparably high success rate.



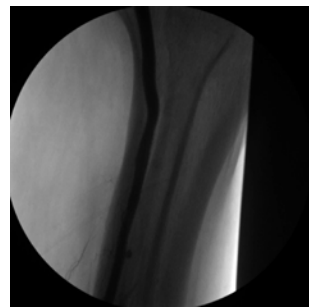
Şekil 1. Bilaterally severe ulcerations and gangrene.



Şekil 2. AV fistula in tibio-peroneal trunk.



Şekil 3. Severe chronic disease in all spots.



Şekil 4. Successful occlusion of AV fistula.

OPS-043

Arteryel girişimlerin sayısının artmasına paralel olarak artan bir komplikasyon ve başarılı yönetimi: Stent sıyrılmazı

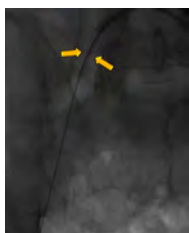
Özcan Örsçelik, Buğra Özkan, Muzaffer Karadeniz, Ahmet Çelik

Mersin Üniversitesi Tip Fakültesi, Kardiyoloji Anabilim Dalı, Mersin

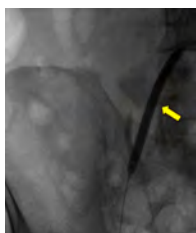
Altıncı altı yaşında erkek hasta birkaç aydır var olan ve son haftalarda progresyon gösteren eforla oluşan göğüsde yoğun baskı tarzında ağrı ve özellikle sağ alt ekstremitede kramp tarzı bacak ağrılıları nedeni ile hastanemizde başvurdu. Hasta不稳定 angina pectoris ve kladikaso intermittans tanları ile koroner yoğun bakıma yatırıldı. Hastanın sağ alt ekstremitede ağrularının dinlenim sırasında da olması, bu ayaktaki renk değişimi ve semptomların iki haftadan daha uzun süredir olması nedeni ile kronik kritik bacak iskemi olarak kabul edildi. Özgeçmişinde sigara, hipertansiyon ve geçirilmiş serebrovasküler olay hikayesi olan hastanın fizik muayenesinde solunum ve kalp sesleri doğa, sağ femoral arter nabzı oldukça zayıf distal yataktakı nabız almamıştı. Sol alt ekstremitede nabzları ise azalmış olmakla birlikte ağırdı. Hastaya koroner+periferik anjiyografi planlandı. Yapılan koroner anjiyografide sol circumflex arter nondominant ve plaklı, sol anterior desenden arterde birinci diagonal hizasında %60 darlık izlendi. Sağ koroner arter proksimalının total tıkanığı ve sol sisteminde dolduğu görüldü. Koroner arterler için yoğun medikal tedavi verildi. Hastaya yapılan periferik anjiyografide ise sağ ana iliak arter proksimalinde %30, orta bölgesinde %80 darlık (Şekil 1), sağ ana femoral arterde %80 darlık saptandı. Sağ yüzeyel femoral arterin başlangıcı bölgesinde total tıkanlığı ve distal yatağın kollateralden dolduğu görüldü. Sol ana iliak arter proksimalinde %30, orta kısmında %50 darlık izlendi. Sol yüzeyel femoral arter ostyalanın tam tıkanlığı ve distal yeterli oranda kollaterallerden dolduğu saptandı. Kardiyoloji – kalp damar cerrahisi konseyne distal akımın artması için sağ ana iliak artere perkütan girişim sonrası sağ femoropopliteal bypass kararı verildi. Karşı taraftan uygun sheath ile girildikten sonra lezyonlar tel ile geçirildi. 7.0x28 mm ballon expandable stent ilerlerken sıyrıldı ve ana iliak arter proksimalinde kaldı (Şekil 2). 5.0x60 mm'lik ballon sıyrılmış olur stentin içinden geçtikten sonra lezyon bölgelerine ilerletileerek sıkırıldı (Şekil 3). Daha sonra sıyrılmış stentin kendi balonu ile postdilatasyon uygulandı (Şekil 4). Tam açılık sağlanmış (Şekil 5). İşlemi son verildi. Koroner veya periferik girişimler sırasında karşılaşılabilecek stent sıyrılmazı nadir gelişen ancak potansiyel olarak tehlükeli bir durumdur. Tortiyozе damarlardan balon katetere yükülmüş stentlerin göndерimi sırasında özellikle de artere dövizsiz kalsifikasiyonlar varsa veya rıjt stentler uygulanmışsa, stent göndерici sistemden sıyrılabilmektedir. Koroner ve periferik girişimlerin sayısının artmasına paralel olarak bu komplikasyonları sayısı da artmaktadır. Bu nedenle bu tür olumsuz durumlarla mücadelede edebilmek için operatör-teknik ekip iyi ve deneyimli olmalı, uygun malzemeler hazırlıda bulundurulmalıdır ve cerrahi desteği olduğu ünitelerde komplike lezyonlara müdahale planlanmalıdır.



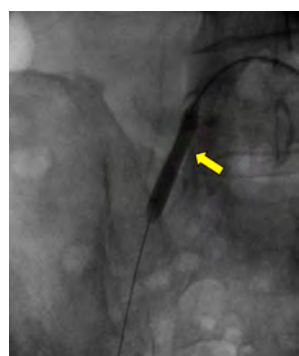
Şekil 1.



Şekil 2.



Şekil 3.



Şekil 4.



Şekil 5.

OPS-044**Coronary intervention from brachial artery in patient with diffuse peripheral artery disease and bilateral polio**

Yahya Kemal İçen, Mevlüt Koç

Department of Cardiology, Health Sciences University Adana Health Practice and Research Center, Adana

56 years old female admitted with severe chest pain to emergency department. Priority; there was a history of poly-illness in childhood. For this reason he could not use his two legs. There was no evidence other than tachycardia on physical examination. No pulses from bilateral femoral artery and left upper extremity arteries. Right side had no radial and ulnar pulse but had brachial pulse. We decided to brachial intervention. 0.038 inch guide wire did not pass in brachial artery. Brachial angiography showed obstruction of 99% (Figure 1) and 8 x 48 mm self-expandable peripheral stent was placed (Figure 2). Guidewire passed and a diagnostic catheter was placed after stenting. After CAG; 90% occlusion was observed in mid LAD (Figure 3) and a 2.75x38 mm stent was placed (Figure 4), full patency was achieved. Coronary intensive care was taken after the procedure. On the right side, color change and loss of heat occurred, and then brachial angiography was performed and there was no flow in the radial and ulnar arteries (Figure 5). The patient who underwent medical treatment was taken to the coronary intensive care unit. His pathological findings in his right hand were resolved. The patient was discharged with medical suggestions one day later.

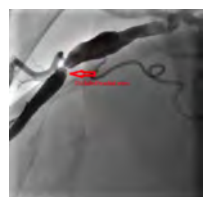


Figure 1.



Figure 2.



Figure 3.

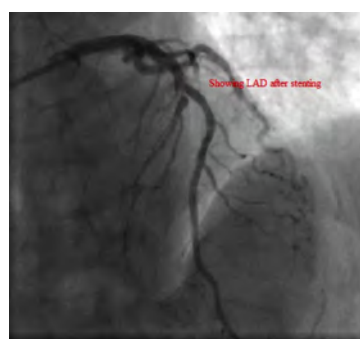


Figure 4.



Figure 5.

OPS-045**Successful percutaneous below the knee treatment of a patient with critical limb ischemia**

Hüseyin Göksütlük, Yusuf Atmaca, Nil Özyüncü, Hüseyin Nazman, Sevinç Aktürk, Semih Öztürk, Çetin Erol

Department of Cardiology, Ankara University Faculty of Medicine, Ankara

Introduction: Critical limb ischemia (CLI), known as chronic ischemic rest pain, injuries or gangrene due to arterial occlusive disease, is the most advanced form of peripheral arterial disease. Peripheral arterial disease with CLI carries a poor prognosis that 25% of these patients will die and 30% will undergo an amputation. With increasing the prevalence of comorbidities (DM, obesity, sedentary lifestyle) these ratios seem to increase further.

Case presentation: We report a case of a 76-year-old woman with a history of hypertension, hyperlipidemia, diabetes mellitus. She presented with an ulcerous lesion at left foot's finger and rest pain. On the physical examination pulseless popliteal artery, dorsalis pedis artery were detected. Lower limb CT angiography showed that, left anterior/posterior tibial artery and peroneal artery were totally occluded. Peripheral angiography was performed antegrade. There were 70%-80% stenosis at proximal and middle part of the left popliteal artery (Figure 1A). Left anterior/posterior tibialis and peroneal artery were detected totally occluded (Figure 1B). A guidewire (0.014", 300cm, Hi-Torque Winn 80T) was passed from popliteal artery to into the tibialis anterior artery. The lesion was dilated with 5x60mm balloon (Fox SV, AbbottVascular, USA) (Figure 1C). An implantation of self-expandable stent (Supera, abbott vascular) and postdilatation was performed (Figure 1D, E) Long sheath was advanced to the distal popliteal artery through the stent to continue procedure. Guidewire was replaced with heavy-tipped wire (Winn 200T, 300 cm) to pass anterior tibial artery stenosis with the support of microcatheter (Spectranetics). With the backup, tibialis anterior artery was crossed, and the wire advanced to dorsalis pedis artery. The lesion was dilated with balloon (2.0x120 mm) (Fox SV, AbbottVascular, USA) from distal to proximal. Intervention was finished by dilating 2.5x120 mm and 3.0x120 mm drug coated balloon (Figure 2A, B, C, D). The process was terminated with the suture-mediated closure system (Proglide, Abbott Vascular) to the antegrade punctured femoral artery. At follow up patients' wound was healed 6 week later. This case show an important result in that below-the-knee (BTK) interventions have a positive effect on wound healing even when single vessel is opened.

Discussion: The high morbidity and mortality in patients with CLI emphasize the importance of this disease. In CLI patients, amputation rates are as high as 35% to 67%. The death in these patient population is related to cardiovascular causes. Successful below-the-knee PTA can prevent major surgery with a short hospital stay especially patient with multiple comorbidities. For this reason, revascularization methods have prognostic implications and limb saving outcomes. This case emphasizes that BTK intervention can be safe, effective and minimally invasive treatment strategy for patients in critical limb ischemia even when the single vessels' patency is provided.



Figure 1. (A) Lesions on the popliteal artery at proximal and mid level (arrows) (B) Totally occluded tibialis anterior (black arrow), posterior (white arrow) and peroneal artery (yellow arrow) (C) Balloon dilatation of the popliteal lesions (D) Self-expandable stent implantation to the popliteal lesions (E) Postdilatation of the stent.

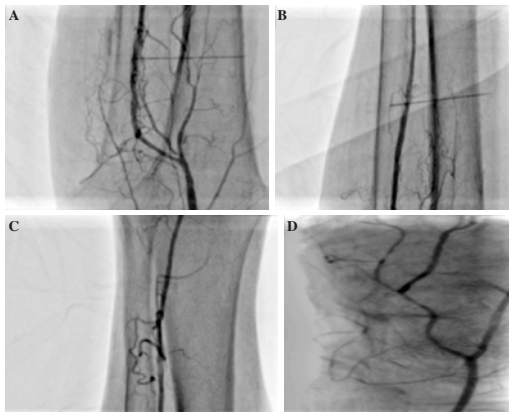


Figure 2. (A) Anterior (B) middle (C) distal part of anterior tibial artery and (D) dorsalis pedis artery after balloon dilatation with DCB.

OPS-046**Challenging case: Difficult crossing of severe aortic coarctation**

Nijad Bakhshaliyev, Muharrem Nasifov, Özge Ozden Tok, Asım Enhoş, Erdem Karacop, Mustafa Ahmet Huyut, İlke Celikkale, Barış Akdemir, Ziya Ismayiloglu, Omer Goktekin

Department of Cardiology, Bezmialem University Faculty of Medicine, İstanbul

22 years old male. Presenting with hypertension for 2 years. Medical treatment: Amlodipin 10 mg. Aortic coarctation was diagnosed with CT angiography and dilatation was attempted. Unsuccessful crossover of stenotic part. Referred to our center. Successful balloon dilatation and stent implantation of aortic coarctation.



Figure 1. Aortogram of descending artery with pigtail.



Figure 2. Balloon angioplasty and stent implantation (30x30 mm).



Figure 3. Crossing Pilot 200 wire.



Figure 4. JR 4 guiding catheter. Aortogram of arcus aorta.



Figure 5. Simultaneous pressure measurement confirmed significant stenosis.



Figure 6. Successful balloon dilatation and stent implantation of aortic coarctation.

OPS-047**Time is kidney: endovascular treatment of acute renal infarction**

Ahmet Bacaksız, İlke Celikkale, Mehmet Ergelen, Erdem Karaçöp, Asım Enhoş, Mustafa Ahmet Huyut, Mahmut Ulluganyan, Ziya Ismailoğlu, Nijad Bakhshaliyev, Aydin Nadir, Hatiye Aylin Yamaç Halaç, Nuray Kahraman Ay, Ramazan Özdemir

Department of Cardiology, Bezmialem University Faculty of Medicine, İstanbul

A 60-year-old male was admitted to the emergency room with bilateral flank pain ongoing for 2 days and vomiting. He had been diagnosed with atrial fibrillation (AF) 5 days prior to the admission, transoesophageal echocardiography had showed no visible thrombus, and after delivery of DCCV; sinus rhythm had restored. Patient had been discharged with medication of dabigatran 150 mg 2 times-a-day. He has had a medical history of hypertrophic cardiomyopathy, hypertension, diabetes mellitus and acute rheumatic fever. At admission, the patient's body temperature was 36.4°C, pulse rate was 127 bpm, oxygen saturation was 94 percent, blood pressure was 147/96 mmHg. Physical examination revealed right-lower back pain aggravated with palpation. Neither rebound tenderness nor abdominal guarding was detected. The remainder of the examination was normal. Electrocardiogram showed atrial fibrillation. Laboratory assessment revealed mildly elevated creatinine to 1.52 mg/dL (normal range 0.72-1.25 mg/dL). Mild proteinuria was seen in the urine testing. Complete blood count and remainder of the laboratory testing was insignificant. Mesenteric embolism was suspected, abdominal and urinary system ultrasonography was ordered due to high hepatic function panel results. Abdominal computed tomography with intravenous contrast revealed a right sided renal infarct with a nonfunctional renal cortex. Neither mesenteric arterial obstruction nor hydronephrosis was seen. The patient was then referred to cardiology department, hospitalized for treatment and further follow-up with the diagnosis of acute renal arterial infarction. An emergent right sided renal arterial angiography was performed via the right femoral approach, using a 7F JR4 SH guiding catheter to see 90% obstruction of right-sided renal artery due to acute thrombosis. Thrombectomy was performed, using thrombus aspiration catheter. The main renal thrombus was dislodged and renal arterial flow was obtained. Further investigation revealed that the patient had skipped 3 doses of dabigatran after discharge, then admitted to hospital with these complaints. Unfractionated heparin infusion was given to the patient, starting with 5000 units as loading dose, followed by a 20U/kg/h. During follow-up, SBP was around 85/50 mmHg and the patient developed oliguria, hence, norepinephrine and dopamine infusion was started. In spite of the improved SBP, patient was anuric due to acute renal failure and he was started on bedside hemofiltration. Follow-up creatinine levels regressed, urine output was increased. Poliuria phase of acute renal failure was developed, blood sodium and potassium levels and fluid balance were

monitored closely and supplemented properly for sodium, potassium and fluid. In the following days, patient was not dependent of the inotropic agents and hemodynamically stable. Patient was discharged with apixaban 5 mg 2 times a day. Creatinine levels were 1.03 mg/dL and GFR was 78.8% at the time of discharge.

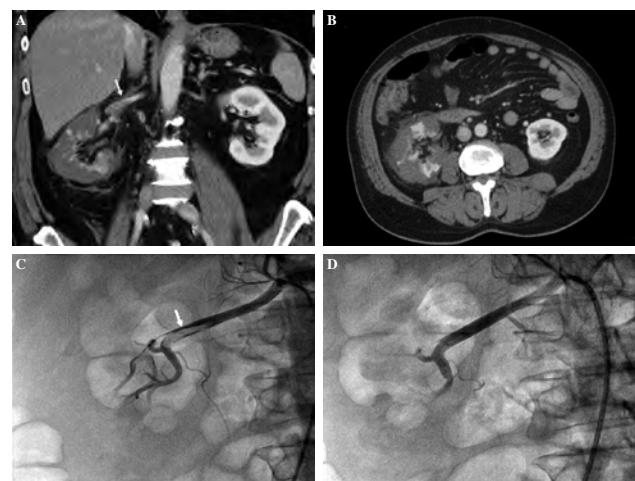


Figure 1. Abdominal CT revealed a right sided renal infarct with a nonfunctional renal cortex (A, B). Angiography revealed 90% obstruction of right-sided renal artery (C). Thrombectomy with the use of an aspiration catheter was performed and renal arterial flow was obtained (D).

OPS-048**Isolated right subclavian artery stenosis, two case reports**

Salih Sahinkus, Harun Kılıç, Mustafa Tark Ağacı, Hüseyin Gündüz, Ramazan Akdemir

Department of Cardiology, S.B. Sakarya Training and Research Hospital, Sakarya

Isolated right subclavian artery stenosis is very rare clinical condition. Commonly etiology of the subclavian artery stenosis (SAS) is atherosclerosis but also, SAS can be found in patients who have vasculitis like Takayasu arteritis and generally in the left side. Here we report two cases who had isolated right SAS and they were treated successfully by percutaneous intervention. The first patient 74 year old female admitted to the neurology department with the symptom of right arm pain for two weeks. She had only hypertension in the past medical history. On physical examination blood pressure from right upper limb was 30 mmHg lower than the left side. And also pulselessness was found on the right brachial, radial and ulnar arteries. 80% stenosis in right subclavian artery (RSA) was realized in duplex ultrasonography (DU). Periferic angiography was planned based on the physical examination and the DU. 95% stenosis was determined in the mid segment of the RSA (Figure 1). Balloon expandable stent was implanted successfully (Figure 2). The second patient 66 year old male presented to our cardiology department with a complain of headache and high blood pressure on his own measurements for a month. His systolic blood pressure on the right upper limb was 50 mmHg lower than the left upper limb (right 110/65 mmHg, left 160/75 mmHg). We learnt that he had exertional right arm claudication for two months. He had no neurological deficits on the right upper limb. 90% stenosis was determined in the proximal segment of the RSA (Figure 3). Balloon expandable stent was implanted from the distal segment of the innominate artery (IA) to the RSA (Figure 4). SAS is a rare clinical disease, incidence is 1.9%. Usually SAS is asymptomatic, in symptomatic patients, they can complain of the upper limb extremities, brain and also the heart. Atherosclerosis is the most common cause of SAS and the other etiopathologies includes arteritis-like Takayasu, radiation, compression syndromes and fibromuscular dysplasia. Percutaneous treatment may be preferable because of the less mortality, less morbidity, cost effectiveness and the long term efficacy. Neurological complications were reported during percutaneous treatment of the SAS, ranges from 0.4%-4%. During SA angioplasty, protection of the cerebral system has not been established. If directly stenting to SAS was chosen distal embolic protection system may not be necessary but if predilatation with the balloon before stenting was performed, distal embolic protection system was needed. Because in the following process of predilatation, vertebral artery flow changed to the anterograde direction. In both cases we performed directly stenting and we did not prefer to use distal embolic protection systems. There were no complication, no symptoms occurred after stenting the SAS in our cases.



Figure 1. Angiographic view of the lesion in the RSA.



Figure 2. Angiographic view of the lesion in the RSA.

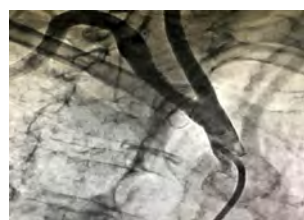


Figure 3. Second patient's angiographic view after stenting to the right SAS.



Figure 4. Second patient's angiographic view of the stenosis in the RSA.

OPS-049

Successful treatment of an acute limb ischemia with hybrid revascularization procedures

Anıl Avcı¹, Ahmet Güner¹, Mustafa Karaaslan², Mehmet Aksut²

¹Department of Cardiology, Kartal Koçyolu Yüksek İhtisas Training and Research Hospital, İstanbul

²Department of Cardiovascular Surgery, Kartal Koçyolu Yüksek İhtisas Training and Research Hospital, İstanbul

A sixty-year-old male patient was admitted to our emergency department with left lower extremity pain. The patient had a history of bilateral femoropopliteal bypass operation 3 years ago, had smoking habit and no other disease except for Type-II diabetes mellitus. Patient was evaluated by bedside Doppler ultrasonography and no flow was observed in the left popliteal artery and its distal. The patient was transferred to the catheter laboratory and found to have 100% occlusion of the left femoropopliteal graft, femoral artery and its distal, and intense thrombus in the contralateral peripheral angiography through the right femoral artery. Revascularization could not be achieved with percutaneous approach and thrombolytic therapy. The patient was followed up daily by orthopedic team and prepared for left lower extremity amputation. In the 6th day of follow up, acute onset pain developed in the right lower limb, palpation showed loss of the popliteal artery and distal pulses. The thrombus developed secondary to arterial sheath in the right femoral artery in atherosclerotic zone and consequently it was thought to be thromboembolism in right femoropopliteal graft and its distal tract. Doppler ultrasonography showed no flow in the anterior and posterior tibial arteries. The patient was operated by cardiovascular surgery team with embolectomy. The right femoropopliteal artery graft was incised proximally. However, inflow was not observed in the graft incision area. Successful embolectomy was not performed from the proximal anastomosis region of the graft with Fogarty catheter. The patient was taken to the catheter laboratory for right peripheral angiography. Angiography performed as retrograde through the graft incision site revealed that the right iliac artery had a total occlusion. Following, 0.014 guiding wire was pushed forward to the abdominal aorta by retrograde approach from the graft incision site. After determining that the guide wire was in the arterial lumen in contrast injection, successive dilations were performed using 4.0x150 mm balloon (Figure 1A). It was seen that inflow of the graft improved after angioplasty. Thrombectomy was performed to the distal of the graft by sending a Fogarty catheter under fluoroscopy (Figs. 1B and 1C). After thrombectomy, the graft incision area was repaired, the legs returned to normal from the cyanotic color, and leg warmed (Figure 1D). Control Doppler ultrasonography also showed triphasic flow in arterial traces. Acute limb ischemia is a cardiovascular disorder that may begin with sudden arterial occlusion and may have catastrophic consequences and result in limb amputation in 10-15% of the patients. Hybrid revascularization with endovascular treatment and open surgery combination may be used in such cases.

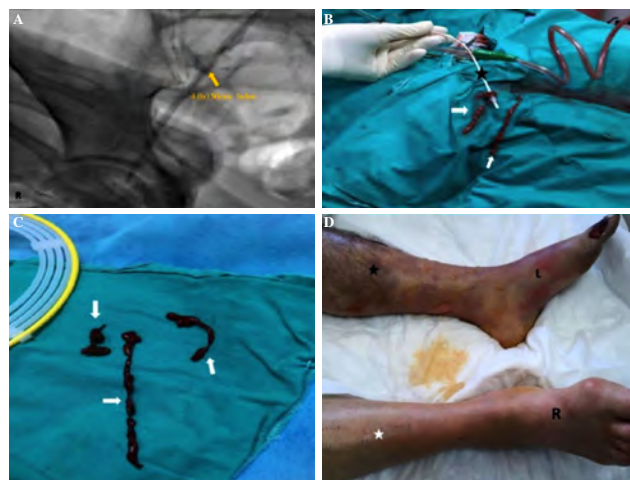


Figure 1.

OPS-051

Unusual approach to endovascular treatment of intractable iliofemoral deep venous thrombosis

Mehmet Mustafa Can, Erdal Belen, Muhsin Kalyoncuoğlu, Gündüz Durmus

Department of Cardiology, S. B. Haseki Training and Research Hospital, İstanbul

Background: Deep venous thrombosis (DVT) is a common cardiovascular disease that causes mortality and morbidity. Although prevention of DVT is the most important point, there are also important developments in the treatment of DVT. In addition to the anticoagulant treatment proposed firstly by guidelines, surgical embolectomy and ultimately endovascular treatment have begun to be widely used in selected patients.

Case: The patient who developed swelling, pain and redness in the left foot that started 3 weeks ago, was referred to our center with the diagnosis of DVT identified by doppler ultrasonography. After the consultation with cardiovascular surgeon, patient underwent pharmacomechanical catheter directed thrombolysis by taking endovascular treatment decision. Unfortunately, it was seen that the endovascular treatment was unsuccessful when obtained the postprocedural venography. Since DVT is 3 weeks old and it is thought to be organized, it was decided to make more powerful aspiration by using tracheal aspiration catheter. In this method the sterile tracheal aspiration catheter was cut and attached to the posterior end of the 8F right guiding catheter. After that, venous thrombus aspiration was made by using the tracheal aspiration device with 700 PSI. Postprocedural controlled venography showed satisfactory result by using this firstly attempted treatment method.

Conclusion: We have offered a treatment option that may be an alternative to existing treatment methods in the cases with subacute DVT when current treatment options are inadequate.



Figure 1. Full system. 8F guiding catheter, tracheostomy cannula and aspirator.



Figure 2. Device.



Figure 3. Aspirated thrombus.

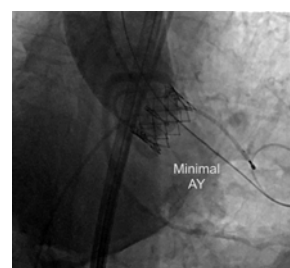
OPS-052

TAVİ uygulanan aort darlığı hastasında beklenmedik bir komplikasyon olarak gelişen renal arter perforasyonu ve perirenal hematomaya yaklaşım ve kaplı stentle endovasküler tedavisi

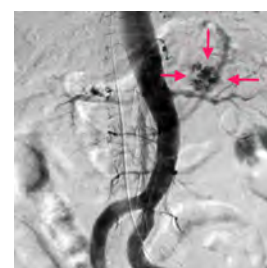
Ertan Vuruşkan, Gökhan Altunbaş, Fatma Yılmaz Coşkun, Murat Suci

Gazianteپ Üniversitesi Tip Fakültesi, Kardiyoloji Anabilim Dalı, Gazianteپ

Seksen altı yaşında symptomatik ciddi aort stenozu olan hasta'da kalp takımı konseyi neticesinde TAVI karar alındı. 26 mm Edwards kapalon predilatasyon sonrası annulus düzeyinde sişirilecek yerleştirildi. Minimal AY saptandı. İşlenen sedasyonsuz, lokal anestezî altında ve Prostar XL vasküller kapama cihazı ile yapıldı. İşlem sonunda e-sheath'ın dilatasyon yerleştirilirken hastanın sol üst kadranda batıcı sıvıfta şiddetli karin ağrısı oldu. Alınan görüntüde sol renal arterde muhtemel perforasyon izlendi. Sistolik kan basıncı 60 mm Hg'ya kadar indi. Hastaya iv protamin yapıldı. Sıvi replasmanı ve norepinefrin uygulaması ile hemodinami düzeldi. Hasta masadayken sol brakial arterden çekilen kontrol renal arteriyografide muhümelen guidewire perforasyonu olan bölgenin seal olduğu izlendi. Hastaya 2 ünite eritrosit replasmanı yapıldı. Çekilen tomografde perirenal hematom ve minimal extravazasyon izlendi. Gerota fasiyası tarafından sınırlanan hematomin takip edilmesine karar verildi. Ancak sonraki iki gün içinde hemoglobin düzeyinde 1-2 g/dl düşme olmasına üzerine 2 ünite daha eritrosit replasmanı ve hidrasyon yapıldı. Serum Cr düzeyleri 2.4 mg/dl'ye kadar çıkan hastanın renal fonksiyonları bazal Cr düzeyine (Cr=1.6 mg/dl) ulaşması üzerine kontrol renal arteriyografi ve ardından 3.5x20 mm koroner greft stent sol renal artere yerleştirildi. Live clearstent software eşliğinde 4.0x12 mm balonla postdilate edildi. Perfore bölge katıldı. Hastanın karin ağrısı geçti ve şifa ile ikili antiagregan ile taburcu edildi.



Şekil 1. TAVİ işlemi sonrası minimal AY saptanması.



Şekil 2. Sol renal arter orta bölge superior-daki perforasyon ve extravazasyon.



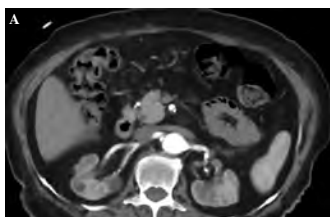
Şekil 3. TAVI işlemi bitiminde yapılan kontrol renal arteriografide kanamının hematom basisi ve protamin ile durduğu izlendi.



Şekil 4. Sağ ana femoral arter Prostar XL ile kapatıldı.



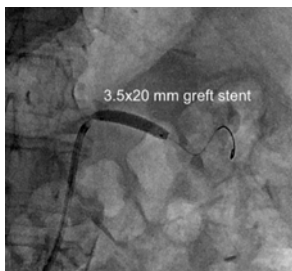
Şekil 1. Tomografide saptanan perirenal hematom.



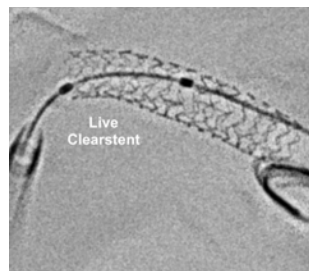
Şekil 6. TAVI işlemi öncesi ve sonrası tomografinin karşılaştırılması.



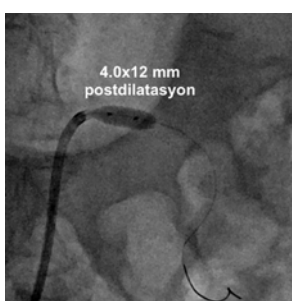
Şekil 6. TAVI işlemi öncesi ve sonrası tomografinin karşılaştırılması.



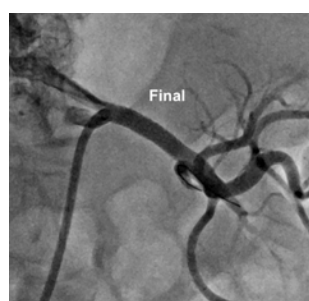
Şekil 7. Sebat eden perforasyon bölgesine 2 gün sonra 3.5x20 mm koroner graft stent yerleştirilmesi.



Şekil 8. Live Clear stent software ile stentin proksimalinin postdilatasyon için ayarlanması.



Şekil 9. 4.0x12 mm NC balonla postdilatasyon.



Şekil 10. Final görüntülerde perforasyon bölgesinin tamamen kapandığı izlenimi.

OPS-053

Postoperatif dirençli hipotansiyon gibi görünen bilateral üst ekstremité periferik arter hastalığı

Ibrahim Etem Dural¹, Ersel Onrat¹, Serkan Gökaslan¹, Çiğdem Öz Özer Gökaslan²

¹Afyon Kocatepe Üniversitesi Tip Fakültesi, Kardiyoloji Anabilim Dalı, Afyon

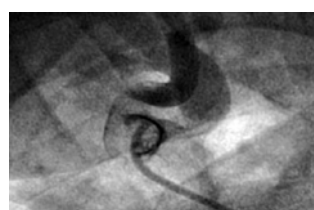
²Afyon Kocatepe Üniversitesi Tip Fakültesi, Radyoloji Anabilim Dalı, Afyon

Giriş: Hipotansiyon cerrahi ve genel anestezisi induksiyonu sonrası yoğun bakımında sık karşılaşan bir sorundur. Bir çalışmada insidansı %5.8 olarak belirtilmiştir. Postoperatif hipotansiyonun en sık sebebi hipovolemi ve kaybedilen sıvının yetersiz replasmanıdır. Diğer sebepler arasında postoperafta kanama, septik şok, kardiyojenik şok ve anestezî induksiyonunda kullanılan ilaçlar sayılabilir. Adrenal yetersizlik ve periferik arter hastalığı ise nadir sebepler arasındadır.

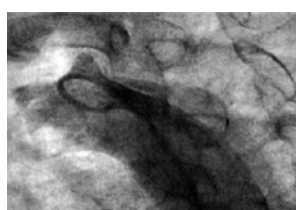
Oluş: Altmış dört yaşında lomber laminektomi cerrahisi geçirmiş kadın hastanın postoperatif tansiyonu brakial arterden ölçülen tansiyonunun 75/35 mmHg olması üzerine hastaya 100 cc/saat izotonik NaCl ve 8mcg/kg/dk olacak şekilde dopamin infüzyonu başlandı. Dopamin infüzyonu sonrası tansiyonları 100-110/60-70 mmHg arasında seyretti. 24 saat boyunca dopamin infüzyonu ile takip edilen hastada akut kardiyak patoloji saptanmadı. Enfeksiyon parametreleri değerlendirilir hastada enfeksiyon odağı bulunmadı. Hidrasyon ve dopamin infüzyonuna devam edildi. Postoperatif adrenal yetersizlik açısından kortizol hormonu baklana hasta kortizol seviyesi 5.47 ug/dl olarak normal aralıktı saptandı. Dopamin dozu 4 mcg/kg/ dk' ya düşüldü ve tansiyon değerleri 85/55 mmHg olarak ölçüldü. Semptomatik olmayan hastanın tansiyonu popliteal arterden 140/110 mmHg olarak ölçüldü. Dopamin tedavisi kesilen hastanın tansiyon ölçümleri popliteal arterden takip edilmeye devam edildi. Hidrasyon artırılan hastanın tansiyonu popliteal arterden 110/70 mmHg olarak ölçüldü. Üst ekstremité periferik arter hastalığı düşünülen hasta bilateral üst ekstremité arteriyel doppler USG yapıldı. Doppler USG'de solda subklavyen arter distalinde postoklüziv akım değişiklikleri izlendi. Hastaya BT anjiyografi planlandı. Sol subklavyen arter orjininde yaklaşık 2 cmlik segment boyunca total oklüzyon saptandı. Sol subklavyen arterde darlık distalinde sol vertebral arterden dolus izlendi. Sağ subklavyen arterde sağ vertebral arter dalı verdikten hemen sonra yaklaşık 7 mmlik bir segmentte lümende %60-70 darlığı sebep olan darlık izlendi. Hastaya müdahale amaçlı periferik anjiyografi planlandı. Sol subklavyen arter proksimalinde total oklüzyon saptandı. Sağ subklavyan arter ise proksimalde %70-90 darlık ve darlık bölgesi de tortiyözeydi. Sağ subklavyan arter sonrasında invazif tansiyon 80/ 55 mmHg ve darlık proksimalinde ise 125/ 80 mmHg olarak saptandı.

Tartışma: Üst ekstremité periferik arter hastalığı, hipotansiyon durumlarda akla getirilmesi gereken bir durumdur.

Sonuç: Dirençli hipotansiyon gibi görünen durumlarda, özellikle de klinikle uyumsuz hipotansiyonu olan hastalarda üst ekstremité periferik arter hastalığını düşünmek gerekir.



Şekil 1. Sağ subkavien arter anjiyografi.



Şekil 2. Sol subkavien arter anjiyografi.



Şekil 3. Üst ekstremité BT anjiyografi.

OPS-054

Distal infrapopliteal erken stent restenozu

Karabük Üniversitesi Tip Fakültesi, Kardiyoloji Anabilim Dalı, Kocaeli

Giriş: Infrapopliteal arter hastalığı tedavisi ve yönetimini en güç olan periferik arter hastalığı grubudur. Son zaamnlarda yapılan çalışmalarla ilaç salınımlı stentler ile diğer endovasküler tedavi yöntemlerine (balon anjiyoplasti, çöplak stent) göre kısa ve uzun dönemde damar açılığı sağlanmasında daha iyi sonuçlar elde edildiği gösterilmiştir.

Oluş: Otuz yedi yaşında erkek hasta on bes gündür devam eden sol ayakta yara ve istirahat ağrısı şikayetleri ile klinikimize başvurdu. Hastanın özgeçmişinde diabet, hipertansiyon, kronik böbrek hastalığı ya da başka bir sistemlik hastalık öyküsü bulunmamaktaydı. Aktif sigara içicisi olan hastanın 20 paket-yl sigara öyküsü mevcuttu. Hastaya 1 ay önce Rutherford 3 şikayetler ile başvurduğu dış merkezde periferik anjiyoplasti yapıldığı öğrenildi. Hastanın dış merkez işlem öncesi periferik anjiyografisinde sol infrapopliteal arter hastalığı saptanmış (Şekil 1) ve bu merkezde popliteal arter, a. tibialis anterior, a. tibialis posterior ve peroneal artere kendiliğinden genişleyen stentler implant edilerek hasta ikili antiagregan tedavi ile taburcu edilmiş. Taburculuk sonrası kişi süre içerisinde tekrarlayan Rutherford 5 yakırması olan hastaya merkezimizde periferik anjiyografi yapıldı. Periferik anjiyografisinde, popliteal arterden başlayarak a. dorsalis pedis başına kadar uzanan stentlerin tıkal olduğu görüldü (Şekil 2a ve 2b). Hastaya, sten içlerine ilaçlı balon anjiyoplasti yapılarak kısmı açıklık sağlandı.

Sonuç: Infrapopliteal arter hastalığında ilaç salınımlı stentlerin kullanımı ile birlikte yüz güldürütüç sonuçlar alımmaya başlanmıştır. Ancak, özellikle infrapopliteal bölge distal segmente takılan uzun stenterde açıklığın sürdürülmesi sorun olmaya devam etmektedir. Bu bölge lezyonlarında ilaçlı balon anjiyoplasti seçeneği daha üst sırallarda yer almayı sürdürmektedir.



Şekil 1.



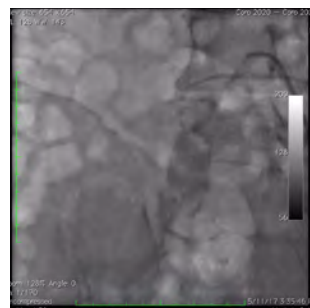
Şekil 2.



Şekil 3. Internal carotid artere stentin yerleştirilmesi.



Şekil 4. Internal carotid arter işlem sonrası görüntü.



Şekil 5. Sağ superfisyal femoral arterdeki lezyonun başlangıç görüntüsü.



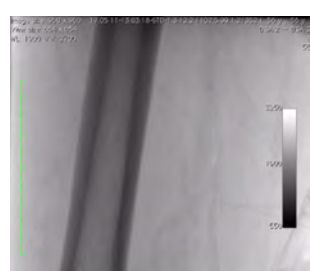
Şekil 6. Sağ superfisyal femoral arterdeki lezyonun avinger ile ilerlenmesi.



Şekil 7. Sağ superfisyal femoral arterdeki lezyonun telle geçirilmesi.



Şekil 8. Sağ superfisyal femoral arterdeki lezyona balon uygulanması.



Şekil 9. Sağ superfisyal femoral arterin işlem sonrası görüntü.

OPS-055

Karotis arter stentleme ve avinger wildcat ile bilateral superfisyal femoral artere başarılı perkütan transluminal anjioplasti-1

Mehmet Cansel, Jülide Yağmur, Zeynep Ulutaş Kurnaz, Necip Ermiş, Hasan Pekdemir

İnönü Üniversitesi Tip Fakültesi Turgut Özal Tip Merkezi, Kardiyoloji Anabilim Dalı, Malatya

Giriş: Periferik arteriyel hastalıklarda endovasküler tedaviler giderek artan sıklıkla yapılmaktadır. Artan perkütan transluminal anjioplasti (PTA) ve stent girişimleri gelenekSEL bypass cerrahisinin yerini zorlamaktadır. Artan girişimlerde doğruları orantılı olarak bu uygulamaları bağlı komplikasyonlar da görülmeye başlamıştır. Bu yazida hem sol internal karotis arter (ICA) hem de sağ ve sol superfisyal femoral artere (SFA) perkütan transluminal anjioplasti yapılan olgu sunuldu.

Olgu: Elli altı yaşında erkek hasta bacaklarda ağrı ve soğukluk, son dört ayda üç kez olan senkop şikayeti ile başvurdu. Yaklaşık iki aydır her iki bacağında 100 metre yürümekle ağrısı olması üzerine yapılan doppler USG'de her iki femoral arterde monofazik akım formu görüldü. Karotis arter dopplerinde ise sol CCA bulbusundan ICA proksimaline uzanım gösteren yaklaşık 1.5 cm lik segmentte %60-70 darlık izlendi. Her iki alt ekstremitede distal nabızlar palp edilmiyor ve ABI 0.6 idi. Bunun üzerine yapılan anjiyografide sol ICA da %90 lezyon sağ SFA %100 lezyon ve sol SFA da %100 lezyon izlendi. Perkütan girişim planlandı. Anjiyografi laboratuvarında femoral arter girişiminde önce sağ SFA ya işlem yapıldı. Total oklütizyon teli ve mikro kateterin başarısızlığı üzerine aterektomi cihazı ile (avinger/wildcat) lezyon başarı ile geçirilek 6 mm laçlı balon yapıldı. Tam açıklık sağlanı. 15 gün sonrasında sol karotis ve sol SFA ya işlem planlandı. İlkinci seansa sol karotis 0.14 tel ile geçirildi. Distal koryuyucu filtre (Spider Fx 60 mm 0.014) konulduğundan sonra 4.0 balon (Evca PW) ile predilatasyon yapıldı. Ardından 6 mm stent (Protege RX Tapered) başarıyla yerleştirildi. Sol SFA'ya sağ bacakta başarılı olan aterektomi cihazıyla işleme başlandı ancak femoral artere diseksiyon ve rüptür gelişti. İşleme daha sonra mikro kateter (navicross) ve hidrofilik total oklütizyon teli (Nitrex 0.018, 300 cm) ile devam edilerek gerçek lümene düşüldü. Sonrasında 3.5 ve 6.0 balonlar ile dilatasyon yapıldı. İşleme sonrası tam açıklığın sağlandığı ve kanamanan olmadığı görüldü.

Tartışma: PTA, tıkalı damar hastalıklarının tedavisinde kullanılan kısa hastanede kalış süresi, düşük mortalite ve morbidite, hızlı iyileşme düşük tedavi maliyeti gibi avantajlarıyla etkin bir yöntemdir. Ancak diseksiyon ve rüptür gibi ciddi komplikasyonları vardır. Yine de artan PTA ve stent girişimlerinden alınan sonuçlar yüz güldüründür. Endovasküler girişimler günümüzde artan sayıarda ve ilk seçenek olarak uygulanmaktadır.



Şekil 1. Internal karotis arterdeki lezyonun başlangıç görüntüsü.



Şekil 2. Internal karotis arterdeki lezyonun başlangıç görüntüsü.

OPS-056

Successful stenting to superior mesenteric artery (SMA)

Elnur Alizade, Khagani Isgandarov, Süleyman Barutçu, Alev Kılıçgedik, Mohammed Bahadir Omar, Selçuk Pala

Department of Cardiology, Kartal Koşuyolu Yüksek İhtisas Training and Research Hospital, İstanbul

A 39-year-old man referred from General Surgery to the division of cardiology because of superior mesenteric artery occlusion. He had not a history of any diseases. He was admitted to our hospital and underwent an abdominal angiography. A 6.0-Fr Judkins right 4.0 (Unite, JR4.0, Asahi Intecc, Aichi, Japan) catheter was cannulated into the SMA selectively. The angiogram showed a 90% stenosis at the ostium of the SMA Fig 1. We planned to perform angioplasty of the SMA to relieve his abdominal angina. At first, a 0.014 in. Floppy guide wire (Radifocus, angled 300 cm, Boston Scientific) was inserted into the SMA through 8.0-Fr size Judkins right 4.0 guiding catheter. Then, Floppy guidewire was gently exchange with 0.035 in. guidewire (Radifocus, angled 300 cm, Terumo, Tokyo, Japan) by support of the Minnie V2 Support Catheter. Next, 8.0-Fr size Judkins right 4.0 guiding catheter was gently exchange with 9.0-Fr size Delivery catheter because of, it was not suitable to balloon expandable stent system. After, a 2.5 mm diameter balloon catheter (Fox Plus PTA balloon, Abbott Vascular, Dublin, Ireland) was inflated at the stenotic site of the SMA Fig 2.

Then a 9.0-25 mm balloon expandable stent (Palmatz stent, Cordis Endovascular Systems, Miami Lakes, FL, USA) was carefully attempted for implantation at the ostium of the SMA. There was difficulty in passing of the stent at the ostial lesion. Therefore, 0.035 in. guidewire was gently exchange with Backup Meier (Boston Scientific) guidewire (Radifocus, angled 300 cm, Terumo, Tokyo, Japan) by support of the Minnie V2 Support Catheter. A 9.0-25 mm balloon expandable stent (Palmatz stent, Cordis Endovascular Systems, Miami Lakes, FL, USA) was carefully implanted at the ostium of the SMA Fig 3. There was no difficulty in passing of the stent at the ostial lesion. The balloon expandable stent was selected because it consented us to make precise placement of the stent at the ostium of the SMA. The lesion was successfully dilated and the pathological constriction was completely resolved Fig 4. The clinical journey after SMA stenting was satisfactory and his abdominal angina was completely relieved. Dual antiplatelet therapy of clopidogrel 75 mg daily and aspirin 100 mg daily was continued indefinitely after the procedure.



Figure 1. 90% stenosis at the ostium of the SMA.



Figure 2. Balloon inflated at the stenotic site of the SMA.

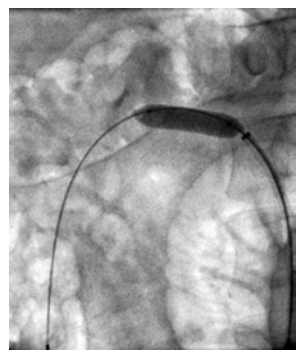


Figure 3. Balloon expandable stent implanted at the ostium of the SMA.

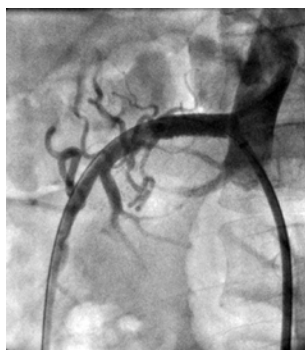


Figure 4. Pathological constriction was completely resolved.

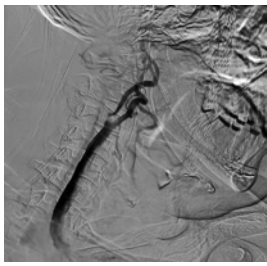
OPS-057

Karotis arterde lezyonunda subintima/intraplak gitmek

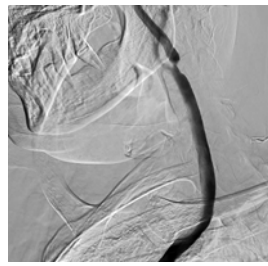
Feyzullah Besli, Özcan Kocatürk, İbrahim Halil Altıparmak

Harran Üniversitesi Tıp Fakültesi, Kardiyoloji Anabilim Dalı, Şanlıurfa

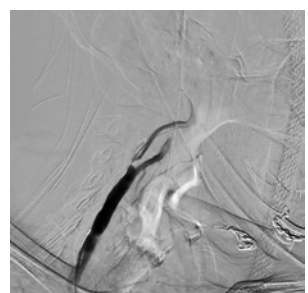
Kronik total okkluzion (CTO) teller söyle kaplama ve farklı uç ağırlıkları ile üretilmiş özel guidewire'lerdir. Kardiyoloji rutininde CTO lezyonlarında müdühalede sıkılıkla kullanılan bu teller kardiyolojinin diğer girişim alanlarında da kullanılmalar gerekebilir. CTO lezyonlarında subintimal/intraplak ilerleme stratejini bir parçası iken karotis arter girişimlerinde bu konuda tecrübe oldukça kısıtlıdır. Altmış beş yaşında bilinen diabetes mellitus ve hipertansiyon tanıları olan ve 2 hafta önce sol extremitete etkileyen stroke ile hastanemiz nöroloji kliniğinde takip edilen hasta BT anjiyografı sonrası karotis anjiyografisi, kardiyoloji ve nöroloji ekibimiz işbirliğinde alındı. Yapılan karotis anjiyografide sağ (internal karotis arter) ICA %98 near okkluzyon ve sol ICA (%80) da olaraq saptandı (Şekil 1 ve 2). Sağ ICA lezyonu Lezyon soft 0.014 " guide wire ve hidrofilik fielder tel ile geçilemedi. Balon desteği ile de geçilememesi üzerine önce Fielder XT ile denendi başarılı olunamaması üzerine 2.0x20 mm koreer balon desteği ile Gaia second ile lezyon geçildi. Bununla beraber Gaia telinin bulbus bölgeinde lümende ilerledikten sonra plak içerisinde geçip subintimal ilerledikten sonra tekrar lümene girdiği gözlandı (Şekil 3). Spider fx 5.0 tel üzerinden ilerlememesi üzerine 1.5x15 artımcı kaygan balon ile predilate edildikten sonra spider fx 5.0 yerleştirildi. Sonrası 7.0x40 mm precise self expandable stent yerleştirildi ve postdilatasyon sonrası görüntüler alındı. (Şekil 4, 5). Intrakranial görüntülemede komplikasyon izlemedi. Hasta 2 gün sonra taburcu edildiğinde sol ICA lezyonunda 2 ay sonra revaskülarize edildi.



Şekil 1. Sağ ICA da near oklüzyon.



Şekil 2. Sol ICA da %80 darlık.



Şekil 3. Gaia Teli subintimada.



Şekil 4. Karotis stent sonrası görüntü.



Şekil 5. Intrakranial görüntüleme.

OPS-058

Koroner aspirasyon kateterile ekstremiteleri kurtarma

Uğur Arslantaş, Münevver Sarı, Elnur Alizade, Selçuk Pala

Kartal Koşuyolu Yüksek İhtisas Eğitim ve Araştırma Hastanesi, Kardiyoloji Kliniği, İstanbul

Elli dört yaşında erkek hasta sol kolda uyuşma, ağrı, soğuma ile acil servisimize başvuruyor. Periferik nabızları alınamayan hastanın Doppler USG de Radial ve Ulnar akım izlenmememesi üzerine acil cerrahiye alınıyor. İşlem sonrası 24. saatte tekrar trombos gelişmesi üzerine hasta tekrar cerrahiye alınıyor. İkinci operasyon sonrasında elinde morarma, şiddetli ağrı ve soğuma gelişmesi üzerine hasta acil periferik anjiyografİYE alınıyor. Anjiyografisinde brakial arter ve sonrasında akım izlenmedi. Soft kılavuz tel ile damarın distaline ilerlenen ve OTW balon kullanımlarla true lümende olunduğundan emin olundu. Sonrasında koroner trombus aspirasyon kateteri ile israrlı trombus aspirasyon işlemi yapıldı. İşlem sonrasında periferik akım ve hasta kliniği tamamen düzeldi.



Şekil 1. Israrlı trombus aspirasyonu sonrası gelen brakial, ulnar ve radial arter akımları.



Şekil 2. Israrlı trombus aspirasyonu sonrası gelen brakial, ulnar ve radial arter akımları.



Şekil 3. İki kez Cerrahi embolektomi sonrası yapılan Periferik anjiyografide Brakial arter ve dalları trombusla tam tıkanıklık izlendi.

OPS-059

ST yükselmeli miyokard enfarktüsü saptanan bir hastada eşlik eden dev koroner arter anevrizması ve başarılı primer perkütan koroner girişim; Doğu tel uygın açı

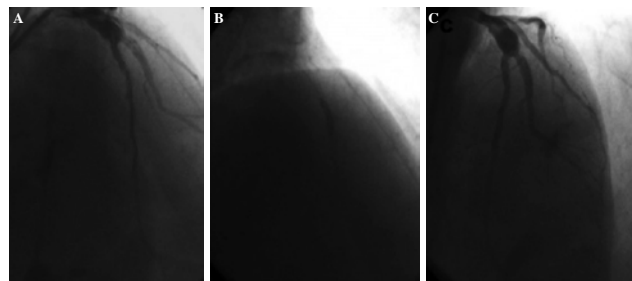
Beyza Saklı, Yakup Alsançak

Necmettin Erbakan Üniversitesi Meram Tip Fakültesi, Kardiyoloji Anabilim Dalı, Konya

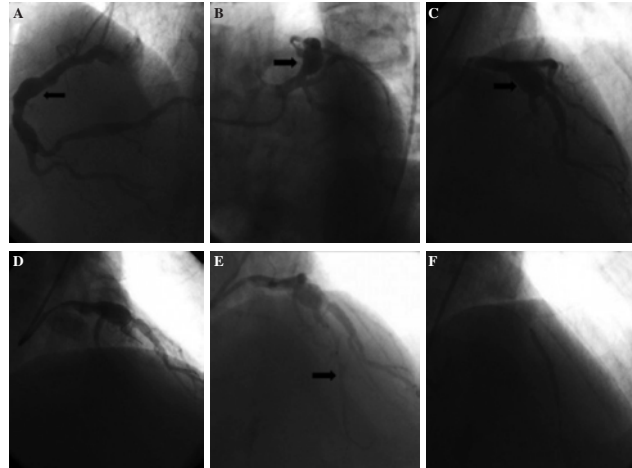
Giriş: Koroner arter anevrizması, koroner arterlerin fokal veya difüz anomal dilatasyonudur. Konjenital ve edinsel nedenlere bağlı olarak meydana gelse de erişkinlerde sık nedeni atesklerozdur. Özellikle akut ST yükselmeli miyokard infarktüsü vakalarında lezyon bölgesine ait anevrima ve dilatasyonlar perkütan koroner girişim açısından zorluk teşkil edebilmektedir. Bu yanda akut anterior miyokard enfarktüsi ile koroner anjiyografi yapılan ve koroner arter anevrizmeler saptanan hasta başarılı stent implantasyonu vakası sunuyoruz.

Ölgu: Elli iki yaşında, aktif sigara içiciliği dışında risk faktörü bulunmayan hasta, acil servise başvurusu sonrasında anterior duvar miyokard infarktüsü saptanmas üzerine primer perkütan koroner girişim amacıyla anjiyografi laboratuvarına alındı. Koroner anjiyografi sonrasında sağ koroner arterin yaygın anevrizmatik dilatasyonlar gösterdiği, sirkümpleks arterin ektatik olduğu, sol ören inen koroner arter (LAD), proksimal kesiminde dev bir anevrizmatik genişleşme olduğunu ve buradan ayrılan diyalognal arter sonrasında anevrizmanın hemen altında LAD'ının total tikali olduğu gözlemlendi. Hastanın aktif göğüs ağrısı olması nedeniyle perkütan koroner girişim kararı verilerken, sol ana koroner arter ostiumu 7 Fr sol guidewire kateter ile kanülle edildi. 0,014 floppy guidewire ile lezyon bölgelerine ilerlemek istendi, ancak anevrizmatik bölge nedeniyle guidewire proksimalinden yeteri destek almamadı, distal uç açısı artırılarak lezyon bölgesine ilerlemek istendi ancak lezyon bölgelerinden geçilemedi. Anevrizmatik segmentte guidewire'nin loop oluşturduğu ve distal yeteri penetrasyon için destek sağlanmadığı gözlemlendi. Balon desteği ile lezyon bölgesine geçilmek istendi ancak açılma nedeniyle guidewire yönlendirilemedi. Takibinde pilot 200 hidrofilik guidewire üç kesimine 90 derecenin içinde açı verilererek lezyon geçidi ancak distal akım izlenmedi. Düşük çaplı balon ile düşük atmosferde yapılan predilatasyon sonrası distal akım sağlanmış ve difüz darlık izlendi. Lezyon bölgüsüne 2,75x33 mm ilaç kaplı stent implant edilerek, ug kısmında 3,5x15 mm non-kompliyant balon ile postdilatasyon sağlandı, tam açılık sağlandı.

Sonuç: Koroner anevrizmaların çoğuluğu sağ koroner arterde izlenmektedir. Daha önce perkütan koroner girişim işlemi, Kawasaki hastalığı, Marfan ve Behcet sendromları bilinen etyolojik faktörlerdir. Eşlik eden anevrizmaların sebebi koroner arter hatalındanPKG işlemi zorluk göstermektedir. Proksimal distal çap farkı, anevrizmanın lokalizasyonu işlemi daha karmaşık hale getirebilir. Bu vaka, tesadüfen saptanan bir koroner anevrizma olgusunda kullanılacak kılavuz te verilecek açının ve uygun kılavuz tel seçiminin hayatı önemine sahip olduğunu göstermesi bakımından önemlidir.



Şekil 1. Anevrizmatik LAD'ının PCI sonrası görüntüyü.



Şekil 2. RCA ve LAD anevrizmatik görüntüyü.

OPS-060

A salvage phenomenon of pre-excitationYalçın Boduroğlu¹, Barbaros Dokumacı²¹Department of Cardiology, Antalya Private Opera Yaram Hospital, Antalya²Department of Cardiology, Eskişehir Anadolu Hospital, Eskişehir

Introduction: The relation between conduction properties of the AV node and the anterograde conduction ability over the concealed accessory pathway(AP) in the Wolff-Parkinson-White syndrome has been important topic for manifestation of ventricular preexcitation (PE). A relatively long AV conduction time was an electrophysiological prerequisite for the manifestation of PE in WPW syndrome comparing to concealed AP. In addition, the degree of manifestations of the ventricular PE on the ECG depends on the correlation between impulse conduction times along the anomalous and normal pathways. Coexistence of WPW syndrome and complete AV block is an intriguing condition which anterograde conduction ability of concealed AP is probably depended upon improvement in AP conduction following reflex increases in the sinus rate.Patients with the WPW syndrome and combined conduction disturbances rarely complain of symptoms of bradycardia. The appearance of a latent concealed AP might be a substitutive mechanism to counterbalance the serious impairment of physiologic AV conduction especially by induced with acute ischemia. Herein we present of a case in which has manifest PE with acute coronary syndrome.

Case: A 28-year-old male patient was admitted to our hospital with recently developed crushing chest pain. His ECG revealed ventricular PE with ischemic hyperacute T waves (Figure 1). After exercise testing he underwent coronary angiography in which disclosed acute thrombotic lesion on mid left anterior descending artery. We implanted a stent there (Video1-2). One day later we ablated that AP (Figure 2). His further examination about genesis predisposition for thrombophilia revealed positive lupus anticoagulant and low level of protein S activity.

Discussion: Although our case was not a typically a case of latent appearance of concealed AP in complet AV node block we wanted to emphasize the importance of the autonomic balance over the AP's electrophysiological properties and late onset of antegrade AP conduction in a patient with complete AV block which might be a salvage mechanism to counterbalance the serious outcomes. Concealed AP might be manifest ventricular PE in the setting of acute coronary syndrome with compleat AV node block. Although conduction by a AP is an abnormal occurrence and in many cases causes a pathological process, in some case it is, in fact, beneficial as it assures good AV conduction. On the otherhands there is another postulate which support of our theory by which is possible, therefore, that some individuals with asymptomatic WPW will have underlying complete heart block in some situations in which so this phenomenon should the physician reconsider of confirming function of AV node conduction properties firstly in asymptomatic WPW syndrome before ablation.

Conclusions: We concluded that acute coronary ischemia may manifest concealed WPW syndrome and without the assurance that this protective mechanism would always occur.

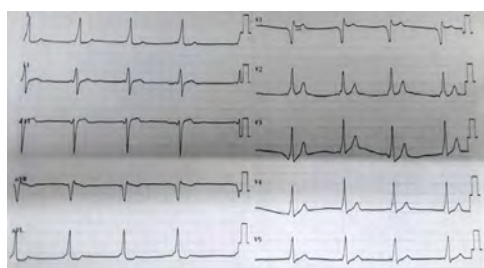


Figure 1. Baseline ECG revealing PE and hyperacute T waves.

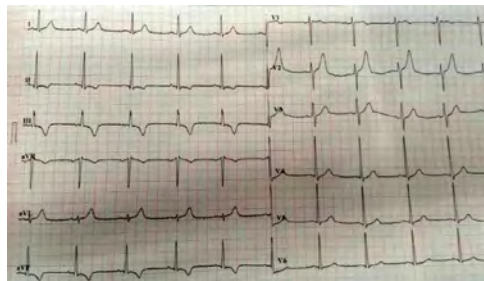


Figure 2. After ablation of AP.



Video 1. Coronary angiography and implanting stent.



Video 2. Coronary angiography and implanting stent.

OPS-062

Akut inferior miyokard infartüsü vakası: Sorumlu lezyon nerede?

Hakan Uyar, Ahmet Çelik

Mersin Üniversitesi Tip Fakültesi, Kardiyoloji Anabilim Dalı, Mersin

Kırk yaşında erkek hasta acil servise göğüste son bir saatir olan baskın tarzında ağrı şikayeti ile başvurdu. Sigara ve aile öyküsü dışında risk faktörü olmayan hastanın son bir yıldır göğüste 1-2 dakika süren eforla gelen dinlenmekte geçen göğüs ağrısı şikayeti mevcuttu. Acil servise geliş tansiyonu 180/130 nabız 90 ritmikti. Hastaya çekilen EKG' de D2,D3,aVF de 2 mm V5-V6 da 1 mm ST segment elevasyonu D1,aVL de ST segment depresyonu saptandı. Hasta akut inferior miyokard infarktüstü tanısı ile primer koroner angiografiye alındı. Sol koroner angiografiye sorumlu lezyon görülemedi (Şekil 1) Yapılan sağ koroner angiografiye RCA mid bölgede RV dal hızzasında %90 darlık görüldü. Hastanın ST elevasyonu devam ettiğinden içi sağ sinus valsalvada sağ koroner arter çıkışının hemen altında opak tutulmuş gözleldiği için katater ile sağ sinus valsalvada ek koroner arter aranı (Şekil 2). Sirkumflex arterin sağ sinus valsalvadan köken aldığı ve mid bölgesinden %100 total takıtlı olduğu görüldü (Şekil 3). Sorumlu lezyona balon ile predilatasyon sonrası stent implantı edildi (Şekil 4).

Tartışma: Genellikle sirkumflex arterin sağ sinusun çıktıktı olsularak seyrindende dolaylı bening kabul edilir ve tek başına miyokardiyal iskemiye neden olmadığı ve aterosklerozu hızlandırmadığı bildirilmiştir. Koroner arter hastalığı bulunan olsulara normal ölçüde sirkumflex arterin görüntülenmemesi veya konjenital olarak yok kabul edilmesi koroner girişimlerde atlannmasına sebep olabilmektedir. Gen yaş ani ölümlerde koroner arter çıkış anomalilerinin büyük paya sahip olduğu savunulmaktadır. Bu yüzden anginal yakınmaları olan gen yaş grubundaki hastalarda koroner çıkış anomalileri akılda bulundurulmalı, revaskülarizasyon planlanan olsulara dikkatli olunmalıdır.



Şekil 1. Sol koronerlerin sol kaudal açıdan görünümü.



Şekil 2. Sol oblik açıdan sağ koroner arterin görünümü.



Şekil 3. Sağ sinus valsalvadan kaynaklanan sirkumflex arter.

OPS-063

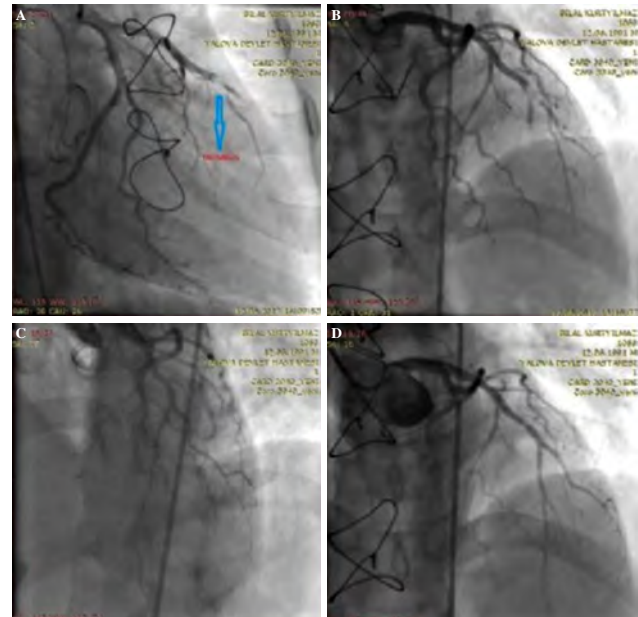
Anterolateral st-elevation myocardial infarction due to coronary embolism in young patient with metallic mitral valve prosthesisIsmail Üngan¹, Alper Vural¹, Fatih Rıfat Ulusoy¹, Fatih Beşiroğlu¹, Mehmet Koçaağa², Sabır Jaled², Feyza Kurt²*Department of Cardiology, Yalova State Hospital, Yalova*

Acute coronary syndromes often develop in the type-1 pathophysiological zone as a result of plaque damage and are rarely seen in the type-2 zone of the coronary embolus. We aimed to present a successful diagnosis and treatment of acute coronary syndrome which is thought to be due to coronary embolism because of an ineffective INR.

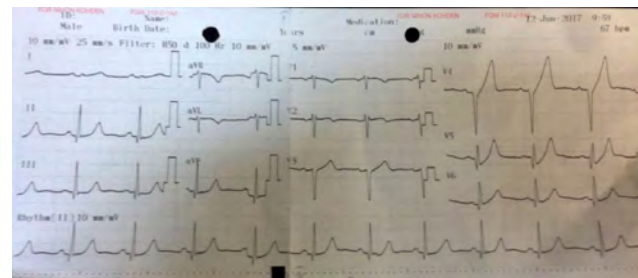
Case: A 26-year-old male patient who was implanted metallic mitral valve prosthesis due to rheumatic disease 5 years ago applied to the emergency service with retrosternal chest pain that started suddenly 1 hour ago. Electrocardiography showed T-wave spikes in anterolateral leads (Figure-1). The patient was taken to the emergency catheterization laboratory because of transthoracic echocardiography (ITE) showed an anteroseptal-anterior-antrolateral severe hypokinesia on bedside examination. Coronary angiography was performed via the right femoral artery and it showed a thrombus image in the midportion of the left anterior descending artery (LAD) and diagonal (D1) branch ostium (Figure 2). At that time, we learned that the patient's INR result was 1.8. A successful thrombus aspiration was performed in both LAD and D1 using the 6F JL-4 guiding and thrombus aspiration catheter (Medtronic export advance aspiration catheter) (Figure 3). At control poses, TIMI-3 flow was observed distal to LAD and D1. No additional treatment was performed due to absence of intimal damage on the thrombus floor. Patient with unfractionated heparin, acetylsalicylic acid, ticagrelor, and warfarin treatment had anterior and anterolateral hypokinesia only

in apical segments on the 3rd day TTE control. 9/4 mmHg gradients were obtained in mitral valve and the valve area was calculated as 2.7 cm² by PHT method.

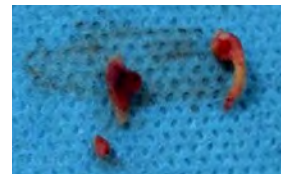
Conclusion: The metallic heart valve is actually a valve disease which is converted into another valve disease that is better tolerated. Therapeutic dose of warfarin therapy is vital in these patients, with no alternative, in terms of preventing thrombosis of the valve. It is very important for the patients to be well informed about warfarin treatment before the operation and to prevent similar cases.



Şekil 1. Angiographic view of the patient before and after the procedure.



Şekil 2. The patient's first contact electrocardiography.



Şekil 3. Three pieces of thrombus removed from the coronary system.

OPS-065

A rare complication of coronary angiography: Renal subcapsular hematomaGündüz Durmuş¹, Erdal Belen¹, Baran Karataş², Burcu Yüzbaş², Sinan Şahin², Mehmet Mustafa Can¹¹Department of Cardiology, Haseki Training and Research Hospital, İstanbul²Department of Cardiology, Dr. Siyami Ersek Chest, Cardiovascular Surgery Training and Research Hospital, İstanbul

Coronary angiography complications are usually associated with the vascular access site. In the present case, renal subcapsular hematoma was detected after the procedure. Renal subcapsular hematoma after CAG is very rare. To the best of our knowledge, there are 2 cases of RSH after percutaneous angiographic interventions. Renal subcapsular hematoma was attributed to possible injury of left accessory renal arteries with guidewires in Yi JS et al.'s case. In our case, hematoma was in the left kidney but we did not observe any accessory renal artery. Possible injury of left renal artery induced by guidewire was responsible from hematoma in our case. To avoid this complication, guidewires should be passed with intense care especially in patients with tortuosity and calcified plaques in the aorta. Coronary angiography is a widely used and partly reliable diagnostic tool. However, it should be cautious in terms of the rare but potentially life-threatening complications.



Figure 1. Coronal view of RSH after CAG (yellow arrows).

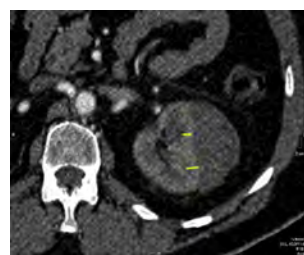


Figure 2. Axial view of RSH after CAG (yellow arrows).

OPS-067

Retained of non-jailed guide wire during percutaneous transluminal coronary angioplasty

Semih Öztürk, Hüseyin Göksürek, Nil Özüncü, Hüseyin Nazman, Ahmet Alpman, Çetin Erol
Department of Cardiology, Ankara University Faculty of Medicine, Ankara

Guidewire rupture is a rare complication of percutaneous coronary interventions (PCI), but it can cause serious morbidity and even mortality. The incidence of this complication ranges from 0.1% to 0.8%. The ruptured guidewire is always be trapped between the coronary artery wall and the stent. In some cases, rupture may occur directly in the coronary artery like our patient. A 54-year-old male patient with known hypertension and hyperlipidemia, complained of chest pain about ten days ago. Coronary angiography (CAG) has been performed with an anterior myocardial infarction (MI). Two stents were implanted in the proximal and middle severe lesions of the left anterior descending coronary artery (LAD) and elective PCI has been planned for lesion in the intermediate artery (IMA) and its side branch. The patient who had no definite pathology on physical examination and laboratory tests was admitted to our clinic for elective PCI. CAG revealed that 90% stenosis at ostium of side branch and 70% stenosis at middle-segment of IMA (Figure 1). These lesions were passed through two 0.014" hydrophilic guide wires (Choice, Boston Scientific, USA) (Figure 2). Percutaneous transluminal coronary angioplasty (PTCA) (Emerge, Boston Scientific, USA) was applied to the IMA side branch ostium. The lesion at middle-segment of IMA, was dilated with a 2.75x18 mm drug-eluting stent (Orsiro, Biotronik, USA) with 14 atmospheres, followed by post-dilatation with a non-compliant balloon (Figure 3). After implantation of the stent, the guide wire in the IMA side branch was withdrawn and rewiring was done with a new 0.014" hydrophilic guidewire. But the balloon could not be advanced over the guide wire. Because of the side branch flow was TIMI 2 and size was <2.25 mm in, we decided not to perform PTCA to side branch. During the pulling back of the wire, the radio-opaque part of hydrophilic guidewire was ruptured without difficulty and trapped in the side branch of IMA (Figure 4). In the final angiogram, TIMI 3 flow was observed in IMA. Coronary angiography was terminated. There was no evidence of ischemia in the follow-up. The guidewire that remains in the coronary circulation may cause thrombus or ischemia. For this reason, surgical or percutaneous removal for treatment (snare loop technique, two-wire technique, graft stent implantation) may be considered to prevent ischemic complications associated with thrombus. Or, as in our case, the ruptured guidewire may remains asymptomatic for a long time in the coronary circulation due to trapped distally in the main branch or side branch. Such complications usually have no absolute treatment. The snare loop technique is not used because the side branch <2.5 mm in size in our case. And surgical removal was not considered due to the absence of ECG changes or symptoms. In our case, non-jailed guide wire was ruptured. We thought that it could be from the guidewire production defect.



Figure 1. Coronary angiography showing lesions of the IMA.

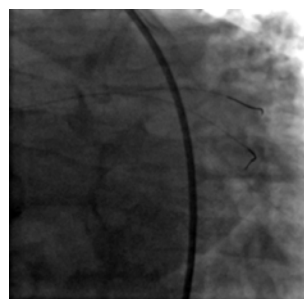


Figure 2. Wiring of the lesions with two hydrophilic guide wire.



Figure 3. Stent implantation of the IMA at the middle segment.

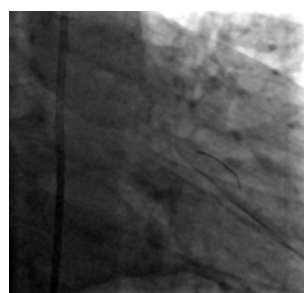


Figure 4. Ruptured radio-opaque part of hydrophilic guide wire.

OPS-070

Fibrinolitik tedavi mi primer perkutan koroner girişim mi?

Mustafa Candemir¹, Salih Topal², Erol Gürsoy¹, Zafer Yalim¹, Adnan Abaci²

¹Yozgat Devlet Hastanesi, Kardiyoloji Kliniği, Yozgat

²Gazi Üniversitesi Tıp Fakültesi, Kardiyoloji Anabilim Dalı, Ankara

STEMI hastalarında yapılan randomize kontrollü çalışmalarda kapi-balon zamanının 90 dakikanın altında olması durumunda primer perkutan koroner girişimin (PKG) fibrinolitik tedaviye üstün olduğu gösterilmiştir. Ayrıca çalışmalar PKG'de mortalite, reinfarktüs ve hemorajik intramuralların da trombolytic tedeviiden daha düşük olduğunu ortaya koymustur. Primer PKG ile ilişkili daha iyi sonuçlar, muhtemelen primer PKG ile sağlanan başarılı ve erken TIMI 3 akım ile ilişkilidir. 69 yaşında erkek hasta göğüs ağrısı şikayeti ile acil servise başvurdu. Elektrokardiyoografide (EKG) yaşın ST elevasyonu saptanmış hastaya 300 mg aspirin, 600 mg klopidogrel 4000 Üv heparin verildi. Hasta akut anteriyor MI tanısı ile acil koroner anjiyografi laboratuvarına alındı. Hastanın anjiyografisinde sağ koroner arter plaklı olarak izlendi. Sol enjeksiyonda ana koroner arterden başlayıp LAD proksimaline doğru uzanır ve lümeni belirgin şekilde daraltan trombuslu lezyon izlendi. Distal trombus embolizasyonu ihtimali, işlem sırasında hastanın göğüs ağrısının yükseldiği olması ve LAD de TIMI 3 akım izlenmesi nedeni ile perkutan koroner girişimin yüksek riskli olacağı düşünüldü. Hastaya en uygun tedavinin trombolytic tedavi olduğunu düşünülmerek koroner yoğun bakım ünitesinde alteplaz tedavisi verildi. Trombolytic tedavi sonrası ağrı tamamen geçen hastanın EKG'sinde ST segment rezolusyonu提升了. Yoğun trombus yükü nedeniley 24 saat tirofiban tedavisi altında izlenen hasta kontrol anjiyografi yapıldı. Anjiyografide sol ana koroner arterdeki trombusun belirgin şekilde eridiği görüldü. Takiplerde herhangi bir şikayet olmayan hasta yoğun bakumda 72 saat komplikasyonuzsuz izlem sonrası ikili antiagregan tedavi ile taburcu edildi. Hastanın taburculuk sonrası rutin kontrollerde ek sıkanı saptanmadı. Yapılan çalışmalar ile PKG'nin fibrinolitik tedaviye göre morbidite ve mortalite açısından üstün olduğu gösterilmiş olsa da trombus yükü fazla olan (genç, yoğun sigara kullanımı olan STEMI hastaları gibi) hastalar da trombolytic tedavi tercihi düşünülebilir. Bu nedenle koroner anatomisi riskli ve yoğun trombus yükü olan hastalarda trombolytic tedavi tercihi de akılda tutulmalıdır.



Şekil 1. Hastanın başvuru sonrası yapılan koroner anjiyografisi, RCA.



Şekil 2. Hastanın başvuru sonrası yapılan koroner anjiyografisinde sol ana koronerde ve sol ön inen koroner arterde yoğun trombus görünümü.



Şekil 3. Hastanın başvuru sonrası yapılan koroner anjiyografisinde sol ana koronerde ve sol ön inen koroner arterde yoğun trombus görünümü.



Şekil 4. Hastanın başvuru sonrası yapılan koroner anjiyografisinde sol ana koronerde ve sol ön inen koroner arterde yoğun trombus görünümü.



Şekil 5. Hastanın kontrol anjiyografisi.



Şekil 6. Hastanın kontrol anjiyografisi.

OPS-071**RCA kaynaklı tek koroner arter anomalisinde LAD'ye CTO girişim**

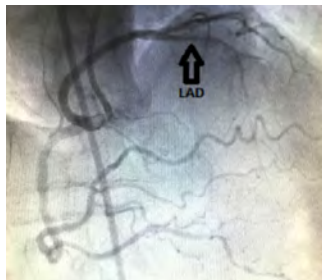
Cihan ÖzTÜRK, Mustafa Adem Yılmaztepe, Utku Zeybey, Fatih Kardaş, Çağlar Kaya

Trakya Üniversitesi Tip Fakültesi, Kardiyoloji Anabilim Dalı, Edirne

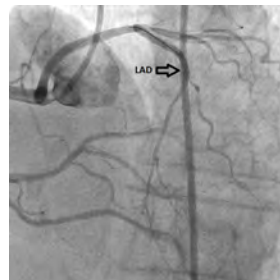
Tek koroner arter anomalisi, sağ ve sol koroner sistemin aynı aortik sinüsünden çıkışması ile karakterize nadir bir koroner arter anomalisidir. Bu durum genellikle anjiyografi sırasında tesadifin saptanır ve toplamda insidansı %0.014-0.066 arasındadır. Vakumuzda nadir görülen bu durumda CTO planı, Amplatzter AR1 kılavuz kateter ve micro kateter kullanımının önemini vurgulmak istedik.

Vaka: Altı yaşındaki kadın hasta. 3 ay önce başlayan ve artan dispne ve ortopne ile başvurduğu hastanemizde yapılan ekokardiyografiye aynısı ve anterolateral hipokinetik, ejeksiyon fraksiyonu %45 saptanması üzerine yeni tam kalp yetmezliği ile koroner anjiyografi kararı alındı. Koroner anjiyografie 3 koroner arterin de sağ sinüsünden kaynaklandığı abnormal koroner kökeni tek damar hastalıkını saptandı (Şekil 1). LAD ostyal %70 sonrası subtotal tıkanıdy. Hastanın anginasının olmaması sebebiyle LAD sahası için miyokard perfüzyon sintigrafisi ile viabilité araştırılması kararı alındı. MPS sonucunda anterior ve anterolateralde %20 iskemi saptanması üzerine LAD'ye girişim kararı verildi. Sağ koroner ostiumuna girişin amaçlı oturulmak için 7F Amplatzter AR1 guiding kateter kullanıldı. Lezyon distaline iterlemek için WHISPER ES tel kullanıldı ancak lezyon geçilemedi ve desteği artırmak için Corsair mikrokateter kullanılarak kılavuz tel lezyon distaline iterlendi. Sonrasında "TRAP" yöntemi ile mikrokateter geri çekildi. Daha sonra lezyon sırası ile 1.0 mm x 10 mm, 1.5 mm x 15 mm ve 2.0 mm x 20 mm ptc balonları ile predilate edildi. LAD distal akım sağlanıldı. Stent öncesi desteği artırmak için LAD'ye bir adet "Buddy Wire" kılavuz tel gönderildi. Takiben LAD lezyonuna denk gelecek şekilde 2.25 mm x 30 mm DES 12 atm basınçla implant edildi. Stent sonrası LAD akımı TIMI 3 olarak saptandı. Ancak LAD proksimal kısma optimizasyon ihtiyacı hissedildi. Ve LAD stent proksimal kısma 2.5 mm x 15 mm non-kompliyant yüksek basınçlı balon ile 16 atm basınçla postdilatasyon yapıldı. LAD stent içinde yerteri açıklık sağlanmış (Şekil 2). İşlem komplikasyonları sonlandı. Hastanın medikal tedavisi dual antiplatelet tedavi, statin, beta blokör ve ace inhibitörünün yanında spironolaktone ve furasemid ile kombin edildi. Yaklaşık 2 günlük takibin ardından hasta şifa ile taburcu edildi.

Tartışma: Tek koroner arter anomalisi seyrek görülen ve genellikle asemptomatik olan ancak miyokard enfarktüstür, ani kardiyak ölüm gibi klinik prezantasyonlarla ortaya çıkan önemli bir tablodur. Çalışmalar koroner arter hastalığının görülüm sıklığının tek koroner arter hastalarında, koronerler normal olana orana farklı olduğunu önermektedir. Ayrıca koroner arter anomalilerinin atheroskleroz risk artmasına neden olduğunu bunun da arterin dolambaçı seyrinin atherosklerozu yetkilik yaratığının bildirildiği önermeler de mevcuttur. Bu koroner anomalisi ve atherosklerozu yetkilik varlığında perkütan koroner girişimlerde kateter seçimi, guidewire seçimi ve işlem presedürü belirlenmesinin önemini büyütür.

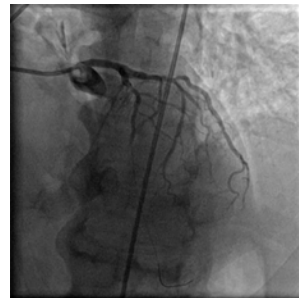


Şekil 1.



Şekil 2.

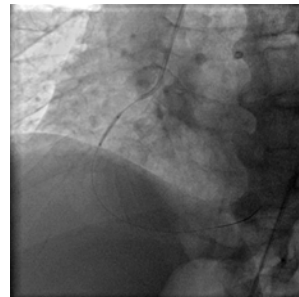
Sonuç: Akut koroner sendromlar panvakülit tablosu sergiler. Yoğun inflamatuvar süreç trombozoza yetkinlik oluşturmaktadır. Tüm damarlarda trombozoza yetkinliğin arttığı unutulmamalıdır. Bu durum işleme bağlı iyatrojenik olarak görülebileceği gibi olgumuzdaki olduğu gibi kararsız veya rüptüre plaklarda aynı anda tüm damarlarda akut tromboz olarak karşımıza çıkmaktadır. Kardiyojenik şok sonucunda yaygın nedeni, geniş alanlarda miyokard iskemişi veya miyokardiyal enfarktüs nedeni mekanik komplikasyonun geliştiği akut koroner sendromlardır. Kardiyojenik şok tablosunda başvuran tüm hastaların öncelikler sorumluluğu olmadığı düşünülen damardan görüntülemeye başlanması gözden kaçabilecek sorumlu lezyonların yakalanmasını sağlayabilir. Bu durum işlem stratejisini tümyle değiştirebileceği göz önünde bulundurulmalıdır.



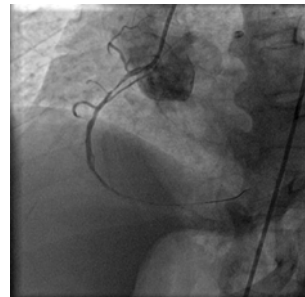
Şekil 1. Girişim 1.



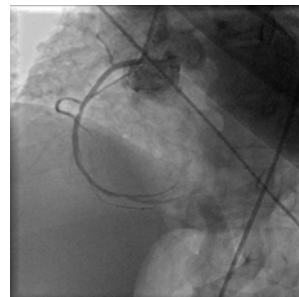
Şekil 2. Girişim 2.



Şekil 3. Girişim 3.



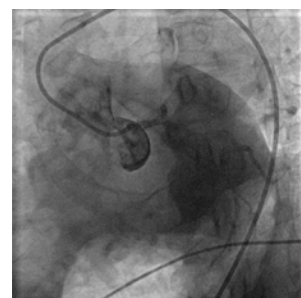
Şekil 4. Girişim 4.



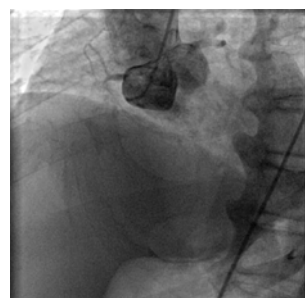
Şekil 5. Girişim 5.



Şekil 6. IMA lezyonu.



Şekil 7. LAD.



Şekil 8. RCA.

OPS-072**Akut koroner sendromlar bir panvaküllittir: Eşzamanlı akut ön duvar ve alt duvar transmural miyokard enfarktüsü**Erol GÜRSOY¹, Zafer Yahm¹, Ufuk Tan Bayram¹, Hasan Kutsi Kabul², Yalçın Gökoğlan², Cem Barçın²¹Yozgat Devlet Hastanesi, Kardiyoloji Kliniği, Yozgat²Güllhane Eğitim ve Araştırma Hastanesi, Kardiyoloji Kliniği, Ankara

Giriş: Akut koroner sendromlar tamamen itibarıyle koroner arter kan akımının azalması sonucu miyokard iskemiisinin neden olduğu klinik tablolardan tamamını ifade etmektedir. Akut olgularda eşzamanlı koroner arter tıkalığı nadiren görülmektedir. Olgumuzda, nadir olarak görülebilecek iki koroner arterin eşzamanlı olarak yoğun trombotik stırekte anı tikanması sonucu oluşan akut ön duvar ve alt duvar transmural MI görülmüştür.

Olgu: Altı dört yaş erkek hasta göğüs ağrısı nedeniyle dış merkeze başvurmuş. EKG'sinde akut ön duvar transmural MI düşünlüen hasta 1 saatlik transfer sonrası KYBÜ kabul edildi. KYBÜ'ne kabulünde bilişim konfuzune olan hastanın tansiyonu 60/30 mmHg, EKG'sinde tüm derivasyonlarda ST segment yükselmesi izlendi. Kardiyojenik şok tablosunda olan hastaya dopamin infüzyonu başlandı. Hastalık koroner anjiyografie alındı. Görüntüleme için sağ femoral 6 Fr kılıf yerleştirilerek, JR4 tısalı JL4 kılavuz kateterler ile işlem gerçekleştirildi. Hastanın sağ koroner arteri (RCA) ve sol ön inen koroner arteri (LAD) total tıkalı olarak izlendi. LAD tam tıkalı lezyon 0.014 (Asahi) kılavuz tel ile geçildi. Trombus 2.0x16 mm balon ile %10 dilatasyon yapıldı. 3.0x19mm çaplık metal stent (Commander) lezyona yerleştirildi. Daha sonra JR4 kılavuz kateter kullanılarak sağ koroner artere geçildi. EKG'de tüm derivasyonlarda ST segment yükseklüğü olması nedeni ile RCA'a girişim yapılmış planlandı. Sağ koroner arterdeki tam tıkalı lezyon 0.014 (Asahi) kılavuz tel ile geçildi. 2.0x16 mm balon ile %10 dilatasyon yapıldı. Sağ koroner arterdeki trombus taze trombus olduğu ve hastanın eş zamanlı olarak akut ön duvar ve alt duvar transmural miyokard enfarktüsü geçirdiği izlendi. 3.0x20 mm çaplık metal stent (Commander) lezyona yerleştirildi. Timi 3 akut sağlanan LAD ve RCA girişim sonrası hasta KYBÜ'ne alındı. Takip eden 8 saat içerisinde tansiyon inotropik destek altında normale yükseldi. Hidrasyon ve inotropik destek ile BFT ve KCFT değerleri 48 saatın sonunda geriledi. 72 saatin sonunda inotropik destek kesildi. Hastalık 12 günlük takip sonrası EF %25 olarak taburcu edildi. Revaskularizasyon 45, gündüz kontrol edilen EF %30-35 olan hasta ICD implantasyonu için sevk edildi.

OPS-073**Fenilefrinli göz damasıyla tetiklenen akut koroner sendrom olgusu**

Murat Akçay, Ömer Gedikli, İdris Buğra Çerik, Ömer Kertmen, Ufuk Yıldırım, Metin Çoksevin, Mahmut Şahin

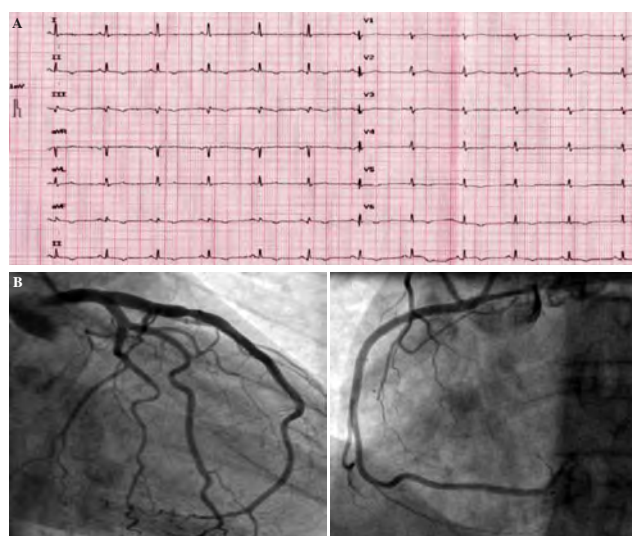
On dokuz Mayıs Üniversitesi Tip Fakültesi, Kardiyoloji Anabilim Dalı, Samsun

Giriş: Fenilefrin selektif alfa adreneryk sempatomimetik, midriatik özelliği olup, pupil dilatasyonu amaçlı göz hastalıkları tarafından sık kullanılmaktadır. Sistemik absorbsiyonuyla ciddi yan

etkileri yol açabilmektedir. Literatürde geçici hypertansiyon atağı, taşikardi atağı, troponin yükselmesi bildirilen olgular mevcuttur.

Olgu: 47 yaşında bayan hasta 10 gün önce göz yaşı kanalı operasyonu olmuş. Göz hekimine kontrollar amaçlı başvuruyor. Hastanın gözünde %2.5 Fenilefrin HCL (Mydrin) R içeren göz damlasıyla gözü yakma esnasında gögüste yanma, baskın hissi, bulantı ve kusma gelişiyor. Acile yönlendirilen hastanın ilk elektrokardiyografisinde inferior deriyasyonlarında T dalga negatifliği izleniyor (Fig. 1a). Hasta hastanemize yönlendiriliyor. Göğüs ağrısı, verilen ilaçlarla birlikte 20 dk içinde düzeltilmişken öğrendiği örenildi. Sigara dışında koroner arter hastalığı risk faktörü yoktu. Fizik muayenesinde ek özellik yoktu. Elektrokardiyografisinde inferior deriyasyonlardaki T negatifliğinin düzeldiği izlendi. Laboratuar parametrelerinde cTropomin 1 40 ng/ml (0-0.01), kütte CK-MB 36 U/l (0-25) yüksekliğinde idi ve ek özellikle saptanmadı. Ekokardiyografisinde inferior duvarda hafif hipokinez izlandı. ST-segment elevasyonuzsuz miyokard enfarktüsü tanımla yapılan koroner anjiyografide sol onen damarda plak dışında patoloji saptanmadı (Fig. 1b/Video 1). Takibinde şikayetini olmayan hastanın tedavi düzlenerek gerekli önerilerle taburcu edildi.

Sonuç: Fenilefrin, sistemik kullanımlı tansiyon, kalp hızı artışı yapandan vazokonstriktör ajandır. Sistemik olarak çok durumunda, lokal olarak ise pupil dilatasyonu amaçlı, nazal dekonjestan, grip ve soğuk algınıği ilaçlarında yaygın kullanılmaktadır. Özellikle parasetamol birlikte alındığında fenilefrin gibi diziye yaklaşık dört kat artmaktadır ve kardiyovasküler olayları tetikleyebilmektedir. Literatürü taradığımızda soğuk algınıği ilaçlarıyla kardiyovasküler hastalıkların tetiklediği olgu bildirimleri sıklıkla yer almaktadır. Fenilefrin %2.5 ve %10'luk topikal uygulama formuları göz hastalıklarında sık kullanılmaktadır. Fenilefrin %2.5 lik formun kan basıncı, kalp hızı artışı yapmadan güvenle kullanılabilceğini gösterilmiştir. Ancak literatürde olgu bildirimleri şeklinde yan etkiler tanılmamaktadır. Biz burada göz daması amaçlı kullanılmıştır tetiklenen, patofizyolojisinde vazospazmı düşündürülmüş miyokard infarktüsü olgusunu tanımladık.



Şekil 1.

OPS-075

Chronic total occlusion of the left main coronary artery in patient with ventricular tachycardia

Salih Şahinkuş, Mehmet Bülent Vatan, Muhammed Necati Murat Aksøy, Hüseyin Gündüz, Ramazan Akdemir

Department of Cardiology, S.B. Sakarya Training and Research Hospital, Sakarya

Chronic total occlusion (CTO) of the left main coronary artery (LMCA) is extremely rare angiographic process which is described by lack of opacification of the LMCA in the absence of the antegrade blood flow to the left anterior descending artery (LAD) and circumflex artery (LCx). We report a case of a 61-year-old man with chronically totally occluded LMCA who was presented with ventricular tachycardia and heart failure. The patient immediately underwent electrical cardioversion, and the rhythm was successfully converted. Parenteral administration of amiodarone, nitroglycerine and furosemid was initiated. The transthoracic echocardiography demonstrated severely decreased left ventricular systolic function with an ejection fraction of 15% and regional left ventricular wall motion abnormalities including an akinesia of the anterior and anterolateral free wall, and apical aneurysm. Coronary angiography performed on the third day of hospitalization. Left coronary angiogram revealed a CTO of the LMCA without antegrade flow to LAD and LCx. Right coronary injection demonstrated a dominant right coronary artery without significant stenosis, and extensive collaterals communicating the sinus node artery and conus branch of the RCA to the LAD and LCx. Thallium-201 myocardial perfusion scan was performed to evaluate viable myocardium. The test demonstrated minimal viable and ischemic tissue on anterior wall. Optimal medical therapy accepted a treatment of choice instead of surgical revascularization. Also isolated implantable cardioverter defibrillator (ICD) was implanted to prevent sudden cardiac death, because he had an episode of sustained ventricular tachycardia and depressed left ventricle systolic function without wide QRS complex. On the third month visit he was remained well without symptom. Total occlusion of the LMCA is a rare manifestation that is characterized by complete absence of antegrade blood flow to left coronary system. Prognosis of the disease is poor, because large area of the myocardium is at risk. The reported prevalence of the disease range is 0.8%. Acute occlusion of the LMCA is a clinical catastrophe that usually presents with anterior myocardial infarction, cardiogenic shock or sudden cardiac death. CTO of the LMCA is often a silent process that usually occurs over a period of more than 3 months. Emergency revascularization is not usually required, because of adequate blood supply from the collateral circulation via

right coronary system. The most common cause of chronic LMCA occlusion is atherosclerotic process. The treatment choices of this disease depend on the quality of the collateral circulation and extend of ischemia. Surgical revascularization is mandatory in patient with moderate to large area of viable myocardial tissue. Percutaneous revascularization is not recommended because of a limited success of procedure and high restenosis rate and also it is associated with more vessel revascularization.

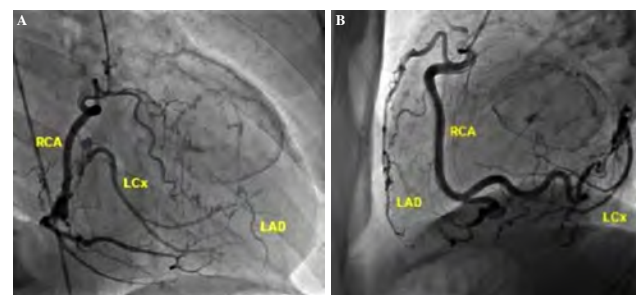


Figure 1. (A, B) Coronary angiogram from left anterior oblique and left lateral projection. Right coronary angiogram showed retrograde filling of the LAD and LCx by collaterals from the right coronary system.

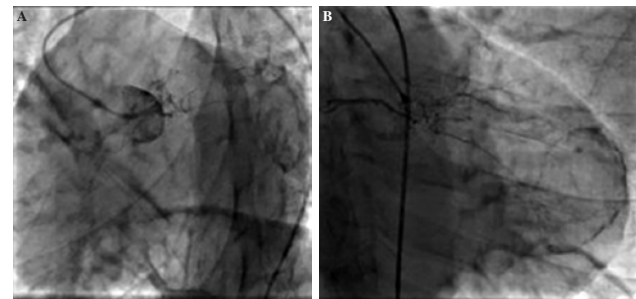


Figure 2. (A, B) Coronary angiographic view. Left coronary angiogram showed chronic total occlusion of the left main coronary artery.

OPS-076

Simultaneous kissing stent for bifurcation lesion in the Y saphenous graft

Emrah Bayam, Muzaffer Kahyaoğlu, Ahmet Güner, İsmail Balaban, Özkan Candan, Müslüm Şahin

Department of Cardiology, Kartal Koşuyolu Yüksek İhtisas Training and Research Hospital, İstanbul

A 75-year-old female patient presented to the emergency department with retrosternal chest pain. He had a medical history of hypertension, type-2 diabetes mellitus and Quadruple vessel coronary artery bypass surgery(left internal mammary artery (LIMA) to left anterior descending coronary artery (LAD), Y saphenous vein graft (SVG) to diagonal artery and first obtuse marginal artery (OM) and SVG to right coronary artery (RCA)). Her blood pressure was 110/70 mmHg and heart rate was 120 beats per minute. The 12 lead electrocardiogram showed atrial fibrillation and non specific ST-T wave changes. Echocardiography revealed mildly reduced left ventricular systolic function, LVEF was 40%, mildly aortic, mitral and tricuspid valve regurgitation. Troponin levels were high. The patient was interned with a diagnosis of non ST segment elevation myocardial infarction. Selective coronary angiography was performed via the right femoral artery, which revealed a significant involvement of the native vessels with patent LIMA to LAD bypass, SVG to RCA total occlusion and critical bifurcation stenosis in the Y graft to diagonal and OM(Figure A). The venous graft branch supplying diagonal was total occlude. Approximately 70% stenosis was seen in venous graft branch supplying OM. Considering the serious clinical condition of the patient, the difficulty in reconstructing CABG, and diffuse disease of native coronary arteries, revascularization of the SVG lesion by PCI was performed. Firstly, two wires are positioned distal to lesions (Figure B). Successful thrombectomy was performed in SVG to diagonal artery. 3.0x18 mm everolimus-eluting stents were implanted to SVG to diagonal artery and SVG to OM with simultaneous kissing stenting technique (Figure C). The result at the site of bifurcation was satisfactory, with TIMI class 3 flow into periphery of both branches (Figure D). Most author suggest the use of embolic protection devices for interventions performed in saphenous venous grafts; however, this option was not available in our catheterization laboratory when the procedure was performed. The patient was discharged successfully. Coronary artery bifurcation disease of SVG is extremely rare condition. SVG disease remains a challenging lesion to treat because of increased morbidity and mortality with repeated coronary artery bypass graft surgery, high rates of periprocedural complications and in-stent restenosis or occlusion requiring repeat revascularization with percutaneous coronary intervention. Herein; we reported case of using the simultaneous kissing stent technique to treat an inverted Y SVG bifurcation disease in a patient with a prior CABG and new-onset acute coronary syndrome.

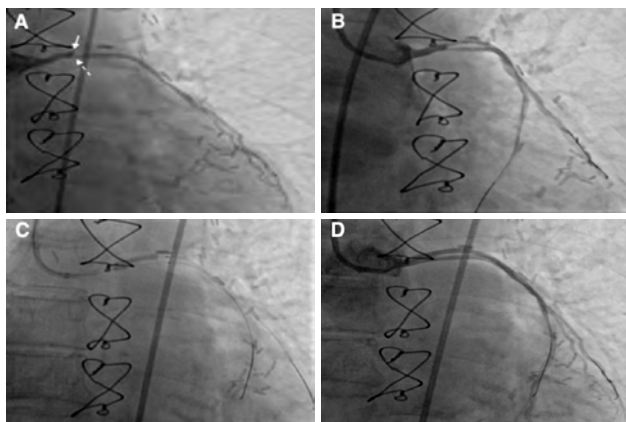


Figure 1. (A) SVG to diagonal was total occluded (arrow) and SVG to OM was seen 70% stenosis (dotted arrow). (B) Two wires are positioned distal to lesions. (C) Stents were implanted to SVG to diagonal artery and SVG to OM with simultaneous kissing stenting technique. (D) TIMI class 3 flow was seen into periphery of both branches.

OPS-077

Every fistulous connection between internal mammalian graft and pulmonary artery may not be associated with ischemia in patient with coronary artery bypass graft surgery

Halil Fedai¹, Hilal Karakas¹, Abdullah Urtekin², Fatih Güngören¹, Feyzullah Besli¹

¹Department of Cardiology, Harran University Faculty of Medicine, Sanliurfa

²Department of Chest Diseases, Harran University Faculty of Medicine, Sanliurfa

Introduction: The left internal mammary artery (LIMA) was commonly used for myocardial revascularization in coronary artery bypass grafting (CABG) and has got long-term patency. But, some side negative effect such as restenosis and fistula have been occurred LIMA graft after CABG. A fistula of the LIMA to pulmonary artery (PA) occurs in 0.2–1.2% in patients with CABG. It usually cause of myocardial ischemia. In this report, we conducted a case of a connection between the LIMA and PA with unidirectional flow as not a cause of myocardial ischemia.

Case Report: A 58-year-old man was admitted to our outpatient clinic for unstable angina pectoris. He had not a history of diabetes mellitus and hypertension. He had undergone tree-vessels coronary surgery 9 years earlier. Physical examination revealed blood pressure 140-80 mmHg and pulse 75/min; the other findings were observed to be normal. Electrocardiography (ECG) revealed sinus rhythm and 2-to 3-mm depressions of the ST segment in V2-V6 (Figure 1). Cardiac enzyme levels, such as creatine kinase-MB and cardiac troponin-I, and other laboratory findings were normal. Echocardiography and chest radiograph were also normal. The patient underwent coronary angiography. Angiography showed that RCA and LAD was total stenotic, left circumflex artery was 90 percent stenosis in first obtuse margin (Figure 2a). The saphen grafts (Ao-RCA and Ao-LAD 1) were patent, and left internal mammary angiogram showed multiple fistulous connections between the internal mammary artery and the pulmonary vasculature of the left lobe (Figure 3). The patient's LIMA was not perfused LAD area. He underwent balloon angioplasty and stenting to the left circumflex coronary artery first obtuse margin (Figure 2b). His chest pain relieved and ST depressions were lost in ECG (Figure 4) after percutaneous coronary intervention. His angina was attributed to substantial coronary stenosis of first obtuse margin. The patient was discharged with conservative medical therapy.

Discussion: A LIMA-to-PA fistula can be congenital or acquired. The acquired form can be secondary trauma, neoplasm or inflammatory disease. The causal mechanism is not fully understood. Predisposing factors for the fistula include injury to the pleura and lung parenchyma, incomplete ligation of the intercostal branches of LIMA, the use of electrocautery instead of ligation of the intercostal branches, infection and inflammation leading to neovascularization. Management options for LIMA-to-PA fistula include conservation medical therapy, coil embolization, percutaneous angioplasty with stenting and surgical ligation. No one treatment yields clear benefits. Some authors recommend starting with conservative management and progressing to more invasive treatment options. The benefits of intervention in asymptomatic patients are unclear. Since our patient had no symptoms associated with fistula, we decided to continue with medical treatment.

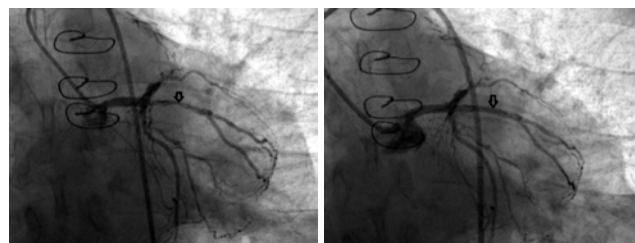


Figure 2. Selective left coronary angiography demonstrate; a) obtuse margin stenosis b) after percutaneous coronary intervention in obtuse margin coronary artery.



Figure 3. Selective internal mammary artery (IMA) angiography demonstrating a fistula from the IMA and its side branch to the left pulmonary artery.

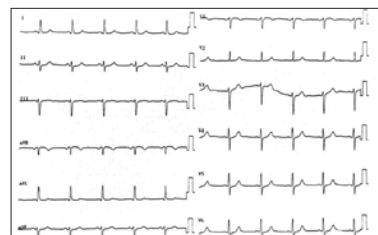


Figure 4. Rest ECG showed normal ECG after percutaneous intervention in optuse margin.

OPS-078

Dolanan kılavuz teller nedeniyle oluşan koroner stent deformasyonu

Ahmet Tütüncü, Alper Karakuş, Sencer Çamcı, Gökhan Özmen, Selma Ari, Hasan Ari, Mehmet Melek, Tahsin Bozat

Bursa Yüksek İhtisas Eğitim ve Araştırma Hastanesi Kardiyoloji Kliniği Bursa

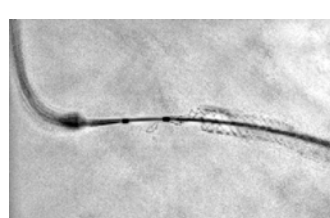
İlk vaka: Altımsı altı yaşında erkek hasta acil servise 4 saatlik göğüs ağrısı ile başvurdu. Çekilen EKG'sinde atriyal fibrilasyon ve anterior derivasyonlarda ST elevasyonu izlenmesi üzerine hemodinamik laboratuvarı alındı. Angiografiye LAD: proksimal %99 trombuslu lezyon, Cx OM: %90, RCA: %50 izlendi. LAD ye müdahale kararı alınan hasta LAD ve D1 dallarına klavuz teller gönderildi. LAD ye 3x28 mm ilaç kaplı stent proksimalden itibaren implant edildi. Ardından LAD ye 4x12 mm balonla stent içi postent dilatasyon planlandı, ancak balon kılavuz tel üzerinden stentin içine iletirilemedi. Balon lateralleştirilen klavuz tellerini (LAD ve stent ile) da mar duvarı arasına hapsolan D1 teli birbirine dolandığı ve stent proksimalinde deformasyona neden olduğu görüldü. Bunun üzerine D1'deki klavuz tel geri çekildi. Balon LAD deki klavuz tel üzerinden tekrar iletirilemeye çalışıldığından balonun iletirilemedi ve stent proksimaline takıldı gözlandı. Clear stent ile yapılan çekimde stent proksimal stratiyonu deforme olduğu ve LMCA'ya uzandığı izlendi (Şekil 1). Yeniden stent içi geçirilek sırasıyla 1.5x15 mm, 2x8 mm ve 2.5x15 mm, 4x15 mm balonlarla bozulan stent stratiy়ası diledi editildi. (Şekil 2). Bozulan proksimal stent stratiyatları kapsayacak şekilde LAD dan LMCA ya doğru 4.5x24 mm 2. bir stent yerleştirildi. LMCA dan LAD ye doğru 4.5x15 mm ve stent içinden geçirilek Cx'e 2.5x15 mm balonlar ile kissing yanilarak işlem sonlandırıldı.

İkinci vaka: Yetim beş yaşında bayan hasta, Cx, CxOM2 bifurkasyon lezyona müdahale (culotte teknigi) planlandı. CxOM2'den Cx ana gövdeye doğru 2.75x32 mm ilaç salımlı stentimplante edildi. Cx distaline stent içinden geçildi ve stent strüktarı 2x15 mm balon ile dilate edildi. Cx anan搞得den distale doğru 2.75x32 mm ilaç salımlı ikinci stent implantة edildi. 3x14 mm balon ile POT yapılmış planlanı ancak CxOM2 ve Cx anagövdedeki tellerin dolanması nedeniyle balonun ileyerediği ve stent proksimalinde deformasyonu neden olduğu görüldü. CxOM2 deki sıkışan kılavuz tel geri alındı. Balon tekrar ileyerilemeye çalışıldı ancak deformasyon nedeniyle ileyeredildi. Bunun üzerine stent strüktüründen geçirilerek 2x20 mm ve 3x14 mm balonlar ile dilatasyon uygulandı (Şekil 3). Deforme olan Cx proksimal stent bölgesine 16x16 mm ilaç salımlı stent implantة edildi. Cx ve OM2'ye 2 adet 3x14 mm balonlarda kissing dilatasyon yapılarak işlem sonuçlandı.

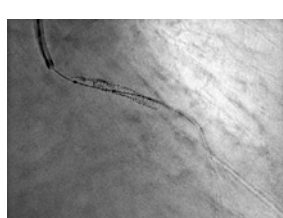
Sonuç: Bu iki vakada da POT planşörlerin hapsalon yani dal telinin ana gövdedeki klavuz tele dolanmasından dolayı ilerletilmeye çalışılan balonun dolanan telleri sarmal haline getirerek stent prosimizinde deformasyona neden olduğu görülmüştür (Şekil 4, 5). POT yapılarından stent ile ilişkisi yani dal klavuz telinin ana daldaki tel ile dolanarak stent deformasyonunu yola açılabileceği akılda tutulmalıdır. Özellikle böyle bir ihtiyat varsa balon fazla zorlanmamalı veya nadalda klavuz tel çekiltilerken sancı belanın ilerletilmeli.



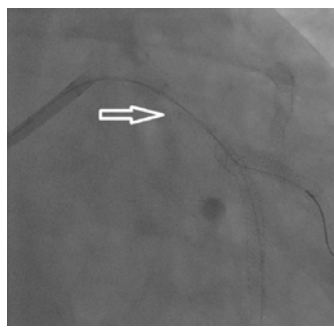
Figure 1. Rest ECG showed horizontal ST segment depression in leads V₂-V₆.



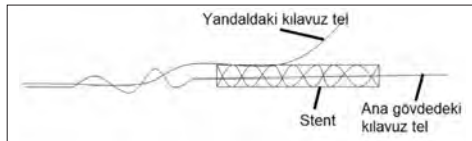
Sekil 1. Stentin proksimale doğru deformasyonu.



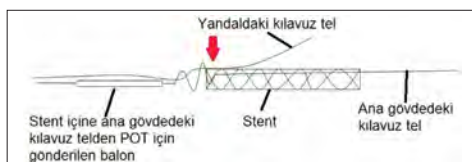
Şekil 2. Deforme olmuş stentin içinden geçirilecek yapılan balonlar sonrası görüntüüsü.



Şekil 3. Stent proksimalının deformasyon görüntüsü.



Şekil 4. Ana dala yapılan stent işlemi sonrası klavuz telleri görüntüsü.



Şekil 5. Sarmal olan teller üzerinden ana dala gönderilen balonun şematik görtüsü.

OPS-079**PCI in a patient who underwent a recent TAVI procedure:
Access through the cage**

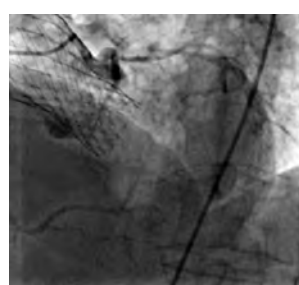
Sinan Varol, Gökmen Kum, Sevil Tuğrul, Engin Gürsoy, Ertuğrul Okuyan

Department of Cardiology Bağcılar Training and Research Hospital, İstanbul

Introduction: Transcatheter aortic valve implantation (TAVI) has been widely used for treatment of patients with aortic stenosis, who have high risk for cardiac surgery. Coronary angiography and intervention can be challenging after TAVI procedure because of cannulation of coronary ostium.

Case: 65 years old male had admitted our emergency room for chest pain. His chest pain had started two hours before admission. Physical examination and electrocardiogram was normal. Bed side echocardiography revealed bioprosthetic aortic valve with mild aortic insufficiency and mild residual valve gradient. (Max gradient: 18, mean gradient 10, AoVmax: 2.1 m/s). Blood tests revealed mildly elevated troponin (0.22 ng/ml) with normal renal function. He had a history of TAVI (Portico, St Jude Medical Inc.) in another clinic before a week. Chest pain were persisted during nitrates, antiagregan and morphine. The patient has referred to our catheterization laboratory for percutaneous coronary intervention (PCI). JL4 6F catheter was failed to engage left main coronary artery (LMCA) due to interference of prosthesis aortic valve struts. Guiding catheter has been reshaped to increase secondary curve and modified primary curve. After this procedure, the catheter were positioned with more close position, but not enough to provide support for floppy guidewire. 0.035 inch guidewire advanced into catheter thought struts of valve just opposite of coronary ostium. Guiding catheter could be advanced further and adequate catheter support was achieved. Coronary angiogram revealed total occlusion of obtuse marginal branch of circumflex artery. 0.014 mm floppy guidewire and 0.014 PT2 guidewire (Boston Scientific) were failed to cross the lesion. Unexpected characteristics pointed out that It is assumed a chronic total occlusion rather than acute disrupted plaque. Contrast injections of aorta eliminated a dissection. The procedure were terminated and patient was referred to the coronary care unit (CCU). Follow up troponin on 6th hour was 0.21 ng/ml. The patient was discharged with optimized medical therapy on fourth day of admission.

Conclusion: After TAVI procedure, engaging coronary ostium and provide adequate support can be tricky because of struts. Operator should improvise interventional techniques to provide optimal result.



Şekil 1. Suboptimal catheter position.



Şekil 2. Further attempt for cannulating has failed with a standart 6F JL4 catheter.



Şekil 3. Reshaped JL4 catheter has passed thru struts of bioprosthetic aortic valve cannulated left main coronary artery.



Şekil 4. Floppy guidewire and PT2 guidewire advanced to obtuse marginal lesion. Unfortunately it couldn't pass the lesion.

OPS-080**Akut koroner sendromlu gebe hastada spontan sol ana koroner arter diseksiyonu tespit edilmesi**

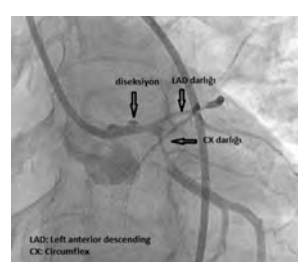
Erdal Gürsul

Çanakkale Devlet Hastanesi, Kardiyoloji Kliniği, Çanakkale

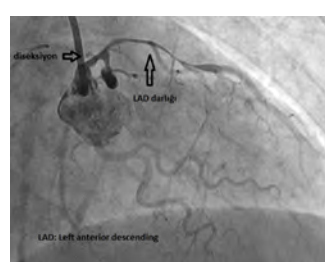
Giriş: Spontan koroner arter diseksiyonuna bağlı akut koroner sendrom, gebelikte oldukça nadir görünen bir durumdu. Vakamızda; spontan sol ana koroner diseksiyonun tespit edildiği 36 haftalık gebe hastanın verileri sunulmuştur.

Olgu: Kirk altı yaşında, 36 haftalık gebe 4 saatlik göğüs ağrısı şikayeti ile başvurduğu ilçe devlet hastanesinde akut anterior myokard infarktüste tespit edilmesi üzerine klinikimize sevk edildi. Hastanın başvuru anında bilinci kapalı, ağrılu yanıt yanıltıcı mevcut, dispneik görünütmüdeydi. Tansiyon arteryal 80/40 tespit edilen hastanın nabız sayısı 130/dk olarak ölçüldü. Hastanın fizik bakışında akciğer basalde kesiminde ral duyuldu. Elektrokardiografik incelemede sini ritmi, v1 v6 qs ve st elevasyonu izlendi. Ekokardiyografiye ejeksiyon fransiyonu %25 izlendi, inferior segment harici diğer duvarlar ağır hipokinetic izlendi. Acil koroner anjografi ünitesine alınan vakaya kadın doğum, anestezi ve kalp damar cerrahisi konsultasyonu istenerek vakaya davet edildi. Hasta entube edilerek asistis ventilasyonu başlandı. Koroner anjografi işlemi sağ femoral arter yoluyla yapıldı. 6F Judking sol diagnostik kateter ile sol sistem görüntülenmesi yapıldı. Sol ana koroner arterde diseksiyon ale ile %80 darlık izlendi, sirkumfleks arter sistemi ve sol anterior descending arter orta bölgeye kadar uzanınca %90 darlık izlenimi görüldü (Şekil 1,2). 6F judkins sağ kateter ile sağ koroner görüntüleme yapıldı ve normal izlendi. Hasta kalp damar cerrahisi hekim ile kadın hastalarlığı ve doğum uzman hekim ile oluşturulan konseyde tartışılıp ve acil kalp akciğer pompaşına bağlanarak koroner arter bypass greffeline ve bu sirada sezaryan işlemi ile bebeğin alınması kararlaştırıldı. Hasta acil olarak operasyon ünitesine alırmak eş zamanlı pompası destekli koroner arter bypass operasyonu ve primer sezaryan işlemi uygulandı. Bebek yapılan muayenesinde sağlam olarak değerlendirilerek, yeniden servisini aldı. Hastanın koroner greffeleri bağlanarak sternum stabilizasyonu yapıldı. Olası kanama komplikasyonunda erken tanı ve tedavi amaçlı batın açık bırakılarak kalp damar cerrahisi yoğun bakım ünitesine intraaortik balon pompa desteğiyle alındı.

Sonuç: Spontan koroner arter diseksiyonu nadir rastlanan durumlardır. Özellikle gebelik döneminde rastlanması hem maternal hem de fetal ölüm riski oluşturmaktadır. Gebeliğe bağlı hormonel faktör değişimleri ve kardiyak outputun artması damar duvarlarında shear stress artırarak diseksiyon gelişimini kolaylaştırmaktadır. Özellikle gebe akut koroner sendrom ile başvurulara koroner arter diseksiyonu göz önünde bulundurularak acil koroner anjografi uygulanmalıdır. Vakalar bireysel yaklaşımla, maternal ve fetal klinik özellikler değerlendirilmeli; multidisipliner görüşlerle percutan işlem veya bypass operasyonuna karar verilmelidir.



Şekil 1.



Şekil 2.

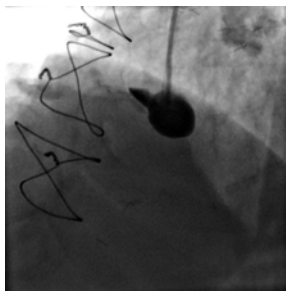
OPS-081**Asemptomatik iatrojenik aort diseksiyonunda medikal takip**

Mert Aker, Sinan İşcen, Sadık Açıkel, Murat Tulmaç

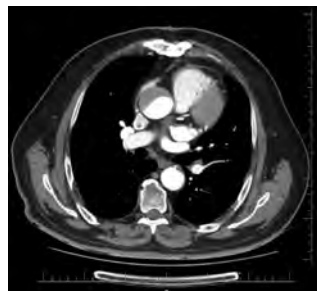
Ankara SB Dışkapı Yıldırım Beyazıt Eğitim ve Araştırma Hastanesi, Kardiyoloji Kliniği, Ankara

Bilinen hipertansiyon ve dijabet risk faktörleri olan ve 1.5 yıl önce koroner bypass yapılan ve birkaç aydır eforla olan, dinlenmekle geçen göğüs ağrısı ile kardiyoloji poliklinigine başvuran hasta gerekli hazırlıklar sonrası koroner anjyografideydi. İşlem sol radial arter yoluyla gerçekleştirildi. yapılan koroner anjyografide lima-lad açık, ao-om1-om2 açık bifurkasyonda %80 ve %60, rea proksimalde %95 mid bölgede %90 darlık saptandı. İşlem esnasında kateter yardımıyla sağ koroner arteri opak verildiğinde orta diseksiyonu geliştirdi (Şekil 1). Anjyografideki bu korkutucu görüntüye rağmen hastanın haj ağrısı olmadığı için hasta koroner yoğun bakım ünitesine alındı. EKO ve vital takipleri yapıldı. Hastaya diseksiyon protokolü ile toraks bt anjiyo cekildi. BT'de aort kökünden

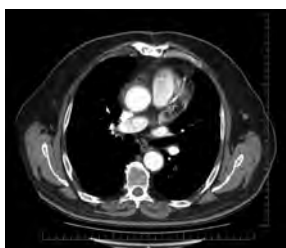
den başlayıp ascendan aorta distal kesimine uzanan lümeni kresantrik tarzda saran mural trombus izlendi, diseksiyon izlenmedi (Şekil 2). Kliniği nedeniyle diseksiyonun kapandığı, ancak hematom kalındığı şeklinde yorumlandı. BT kontrolü ve MR ile de progressif patoloji izlenmedi. BT anjiyo sonucuyla kalp damar cerrahisi tarafından da değerlendirilen hastaya medikal takip kararı verildi. İşlemi ertesi günü çekilen aort mri anjiyo ascendan aorta kök kesimi düzeyinde yaklaşık 8 mm kalınlığa ulaşan kresantrik tarzda mural trombus olarak raporlandı. Yapılan kontrol ekokardiyografide ascendan aortta duvar ekojenitesi artmış olup, hareketli flap izlenmedi. Hasta hemodinamik açısından stabil olması üzerine kalp ve damar cerrahisi önerileri alınarak taburcu edildi. Asemptomatik hastanın poliklinik kontrollünde planlanan toraks BT anjiyoda torakal aortada en kalın yerinde çukarı aorta düzeyinde 7 mm olan duvar kalınlaşması ve mural trombus ile uyumlu hipodens alan izlendi (Şekil 3). Vakamız işlem esnasında rea görüntülemesi öncesi test enjeksiyonu yapıldığı halde, kalsifik damarlara opak enjeksiyonun diseksiyon yapabileceğini gösterdi. Ancak kendini sunurlayan, küçük bir alana lokalize diseksiyonların medikal takip edilebileceğine de örnek oldu. Bypass hikayesi olan hasta asemptomatik olarak da diseksiyon olabildiği bu vakada gördürü.



Şekil 1. RCA diseksiyonu.



Şekil 2. BT anjiyografi.



Şekil 3. Kontrol BT anjiyografi.

OPS-082

Double side coronary perforation following percutaneous coronary intervention

Ahmet Güner¹, İbrahim Akın İzgi¹, Sabahattin Gündüz¹, Çetin Geçmen¹, Emrah Bayam¹, Mehmet Özkan²

¹Department of Cardiology, Kartal Koşuyolu Yüksek İhtisas Training and Research Hospital, İstanbul
²Department of Cardiology, Ardahan University School of Health Sciences, Ardahan

A 42-year old patient exhibiting symptoms of non-ST elevation myocardial infarction was referred to our hospital. Previous medical history included diabetes mellitus and hypertension. Following the administration of unfractionated heparin (UFH) and loading doses of dual anti-platelet drugs (300 mg aspirin, 600 mg clopidogrel and 8000 units UFH), the patient was transferred to the catheterisation laboratory. By using diagnostic coronary angiography accessed through the right femoral artery, the right coronary and circumflex artery were normal; however, a lesion (95%) was detected in the left anterior descending coronary artery (LAD). A 7F left Judkins-4 guiding catheter (Cordis) was used for engagement with the left main coronary artery ostium. The LAD-distal advancement of a 0.014 inch floppy guidewire (Choice, Boston Scientific) advanced enabled for the successful implantation of an everolimus-eluting stent 3.0x32 mm (Promus, Boston Scientific) and a 3.0x15 non-compliant balloon (NC Emerge, Boston Scientific), which was inflated over the guidewire. Contrast medium was injected via the catheter and beyond the stent two extravasations of the contrast medium was detected to the left ventricle and the pericardium. The rupture was sealed by using a 3.5x19 mm polytetrafluoroethylene (PTFE) coated stent. Control coronary angiography was performed to determine the success of the stent placement and this time, no contrast agent was detected in the left ventricle and pericardium. An echocardiogram was performed, which revealed the right side of the heart being compressed by a sizeable pericardial effusion. Approximately 650 cc of blood was aspirated from the pericardial space. Following haemodynamic stabilisation, the patient's heart rate and blood pressure were quickly restored to normal. The patient was transferred to the coronary care unit and was observed for five days before being discharged; during his hospital stay and at 10-months follow-up, there was no further events. Although rarely occur, the complications arising from coronary artery perforation (CAP) are potentially devastating. Cardiac tamponade may result from pericardial perforation. Double-sided perforations can result in myocardial dissection leading to intraventricular and pericardial extravasation of the contrast agent.

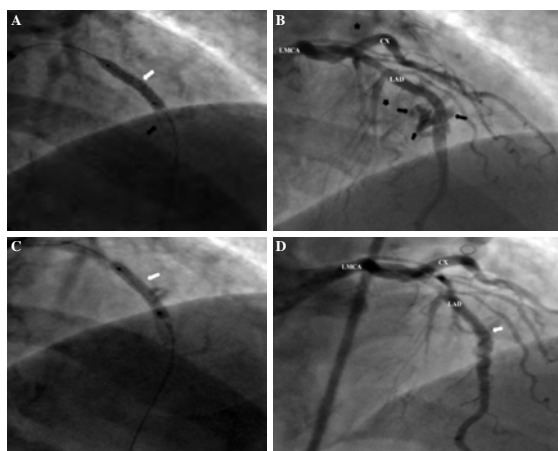


Figure 1.

OPS-083

Bilateral sunconjunctival hemorrhage secondary to abciximab use

Selim Kul, Muhammet Raşit Sayın

Department of Cardiology, Ahi Evren Cardiovascular Surgery Training and Research Hospital, Trabzon

Context: There is no report on a case of subconjunctival hemorrhage with Glycoprotein IIb/IIIa use. We herein present a patient with bilateral subconjunctival hemorrhage after receiving abciximab.

Case: A man who was 40 years old presented to the emergency department of our hospital with a history of chest pain for the last 2 hours. His vital signs included an arterial blood pressure of 120/80 mmHg and a pulse rate of 66 bpm. His electrocardiogram was consistent with ST elevation in leads V1 to V6. His echocardiogram was notable for anterior and apical hypokinesia, with an ejection fraction of 40%. All his biochemical and blood count parameters were in normal limits. Having been diagnosed with anterior myocardial infarction, the patient was transferred to the catheter laboratory for primary percutaneous coronary intervention (PCI). He was administered loading doses of 600 mg, 300 mg, and 8000 U of clopidogrel acetylsalicylic acid, and unfractionated heparin, respectively. Coronary angiogram showed a 99% stenosis at the proximal portion of the left anterior descending artery (LAD) (Figure 1a). The left circumflex artery was free of any stenosis and the right coronary artery had a 30% non-significant lesion at its mid segment. A 3.0x24 mm drug-eluting stent was placed at 12 atm pressure at the severely stenotic LAD segment without predilation (Figure 1b). The patient was then transferred to the coronary care unit for further observation. Thirty minutes later, the patient was defibrillated with 270 J for ventricular fibrillation episode. As his chest pain intensified, he was taken back to the catheter laboratory to check stent patency. Coronary angiography showed thrombus in LAD stent (Figure 1c). A decision was made to administer abciximab to prevent further thrombosis inside the stent lumen or elsewhere in the coronary circulation. Abciximab was administered as a bolus at a dose of 0.25 mg/kg followed by infusion at a dose of 0.125 mg/kg iv. However, 20 minutes after the start of the infusion the patient developed subconjunctival haemorrhage in both eyes (Figure 2). Therefore, the infusion of the drug was stopped but acetylsalicylic acid and clopidogrel were continued. An ophthalmology consultation was obtained for the patient, and he was recommended to receive conservative treatment with artificial tear. Chest pain did not recur at coronary intensive care unit after stopping abciximab. He was first transferred to cardiology ward and a few days later coronary angiogram showed no thrombus and patient was discharged. He returned to cardiology outpatient clinic for a follow-up visit, when it was noted that his conjunctival hemorrhage was completely eliminated. He was asymptomatic on acetylsalicylic acid and clopidogrel 2 months later.

Conclusion: To the first time in the literature, we herein present a patient with bilateral subconjunctival hemorrhage which managed conservatively after receiving abciximab

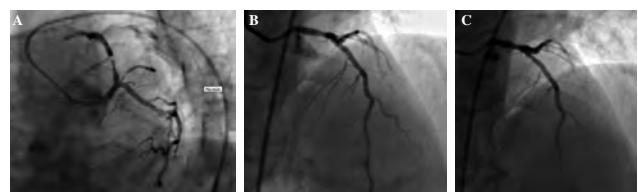


Figure 1. (A) Coronary angiogram showed a 99% stenosis at the proximal portion of the left anterior descending artery (LAD). (B) A 3.0x24 mm drug-eluting stent was placed at 12 atm pressure at the severely stenotic LAD segment without predilation. (C) Coronary angiography showed thrombus in LAD stent.

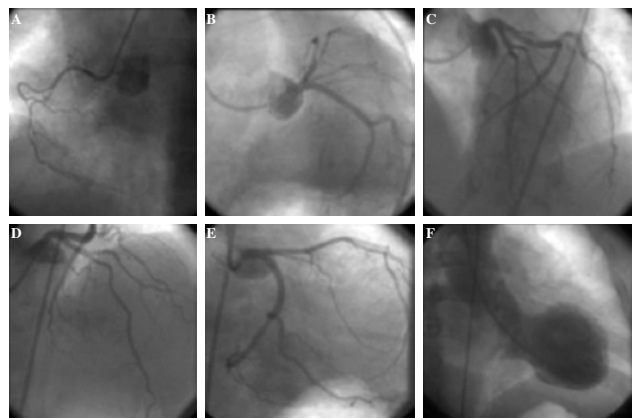


Figure 2. Bilateral sunconjunctival hemorrhage secondary to abciximab use

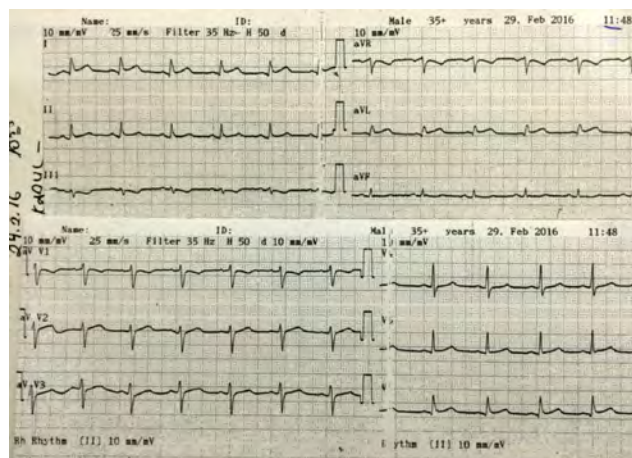
OPS-084

Intraoperatif gelişen TAKOTSUBO kardiyomiyopatisiGökhan Ergün¹, Nuri Köse², Tamer Kirat², Fatih Akın¹, İbrahim Altun¹¹Muğla Sıtkı Koçman Üniversitesi Tip Fakültesi, Kardiyoloji Anabilim Dalı, Muğla
²Özel Yücelen Hastanesi, Kardiyoloji Kliniği, Muğla

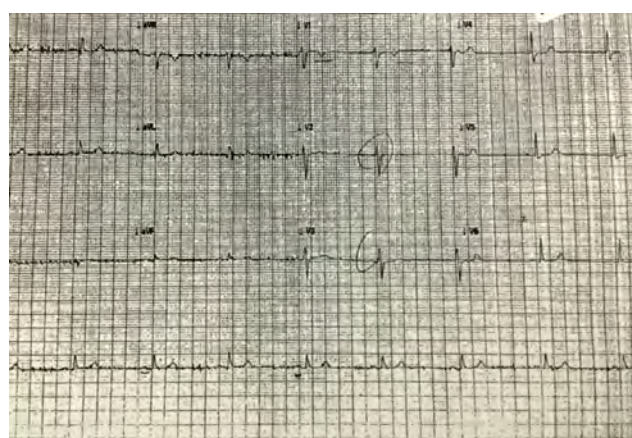
Takotsubo kardiyomiyopatisi nadir görülen ve akut miyokard infarktüsünü taklit eden, geri dönüştürülmüş sol ventrikül yetmezliğine neden olan bir hastalıktır. Burada 57 yaşında kadın hastada intraoperatif dönemde gelişen takotsubo kardiyomiyopatisi sunulacaktır. Intraoperatif gelişen bradikardi ve sonrasında kardiyak arrest nedeni ile değerlendirilen hastanın çekilen elektrokardiografisinde ST elevasyonu saptandı. Bu nedenle koroner anjiyografi yapılan hasta'da normal koroner arterler ve ventrikülografisinde apikal anevrizma saptandı. Medikal tedavisi düzenlenen hasta takibe alındı.



Şekil 1. KAG+ventrikülografi.



Şekil 2. Perioperatif EKG.



Şekil 3. Pre op ekg EKG.

OPS-085

Akut kritik tonsillit sonrasında Kounis sendromuGökhan Ergün¹, Nuri Köse², Tamer Kirat², Fatih Akın¹, İbrahim Altun¹¹Muğla Sıtkı Koçman Üniversitesi Tip Fakültesi, Kardiyoloji Anabilim Dalı, Muğla
²Özel Yücelen Hastanesi, Kardiyoloji Kliniği, Muğla

Hipersensivite sonucunda oluşan akut koroner sendrom, Kounis sendromu olarak adlandırılmalıdır. Burada sunulan vakada 3 gündür akut kriptik tonsillit tanısı ile medikal tedavi alan 31 yaşında erkek hasta acil servise göğüs ağrısı ile başvurdu. Acilde değerlendirilen hastanın çekilen EKG de inferior ST eleveasyonu saptandı. Hastaya yapılan koroner anjiyografide normal koroner arter saptandı. Ayrıca yapılan ekokardiyografisinde normal olarak saptandı. Kardiyak enzimlerinde belirgin artışı saptanmadı. Alerjik miyokard infarktüsü (Kounis sendromu) tanısı konulan hasta medikal tedavi düzenlerek takip altına alındı.



Şekil 1.



Şekil 2.



Şekil 3.

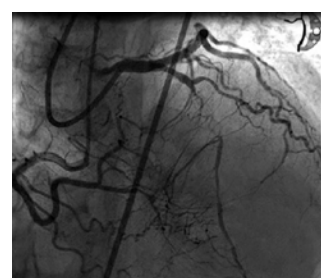
OPS-086

Successful revascularization of LAD instant CTO

Feyzullah Besli, Fatih Güngören, İbrahim Halil Altparmak

Department of Cardiology, Harran University Faculty of Medicine, Şanlıurfa

64 years old female presented with non ST elevation myocardial infarction. She has history of (left anterior descending coronary artery (LAD) stent 2 years ago because of anterior ST elevation myocardial infarction. Coronary angiogram revealed that 70% lesions of proximal (right coronary artery) RCA and in stent (chronic total occlusion) CTO of mid segment LAD. Firstly RCA was treated with 3.0x28 des stent. 10 days later, after cannulation of left main coronary (via right femoral artery) with EBU 3.5 catheter and RCA (via left radial artery) with JR 4.0, bilateral contrast injection was performed and CTO segment clearly was displayed (Figure-1). By antegrade approach, corsair micro catheter (Asahi Intecc, Japan) using 0.014" soft guide wire, was advanced CTO segment. A fielder XT and miracle 3 guide wire (Asahi Intecc, Japan) could not be passed because the lesion was extremely hard. Therefore, a miracle 6 guide wire (Asahi Intecc, Japan) successfully passed instant CTO segment but the guidewire was in subintimal space. So, the wire was slightly withdrawn and pushed with rotation. The lesion was passed successfully and retrograde injection showed that wire was in true lumen (Figure 2). After predilation with 1.25x15 ryujin balloon (Figure 2), wire was exchanged with soft 0.014 wires using corsair micro catheter (Asahi Intecc, Japan). A 2.75x32 and 3.0x35 DES was implanted and postdilated with 3.5x8 non-compliant balloon. Final result was satisfactory (Figure 3). The procedure was completed without any complications.



Şekil 1. Bilateral contrast injection was performed and CTO segment clearly was displayed.



Şekil 2. The lesion was passed successfully and retrograde injection showed that wire was in true lumen.

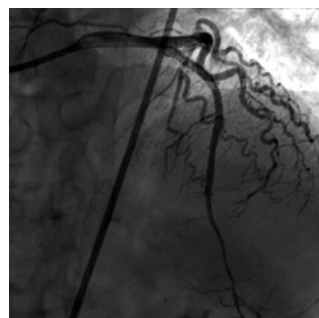


Figure 3. Final result.

OPS-088**Simultaneous subacute stent thrombosis of two drug eluting stents in separate vessels**

Duygu Ersan Demirci, Deniz Demirci, Özkan Kayhan, Göksel Çağrıçı, Şakir Arslan

S.B. SBÜ Department of Cardiology, Antalya Training and Research Hospital, Antalya

Stent thrombosis is a challenging problem that can lead to serious clinical consequence. In addition to patient characteristics or procedure factors, inadequate dual antiplatelet therapy is the main cause. And premature discontinuation of dual antiplatelet remains the most powerful predictor for stent thrombosis. We report a case with simultaneous two drug eluting stent thrombosis in two separate coronary vessels after cessation of dual antiplatelet therapy for 3 days. A 66 year-old man was admitted to our emergency department complaining of acute severe chest pain. He has had hypertension and diabetes mellitus for 20 years, was a smoker (40 pack years) and had a history of stent implantation on left anterior descending artery (LAD) 6 years ago. His electrocardiography revealed ST elevation over leads II,III,aVF. Catheterization was done emergently and coronary angiography revealed totally occluded proximal right coronary artery (RCA) and left circumflex artery (LCX) with critical thrombotic lesion (Figure 1). Angioplasty was performed and two drug eluting stents (PROMUS element 2.5x16 and 2.5x20) were deployed on proximal RCA and a drug eluting stent (PROMUS element 3.0x24) on mid LCX (Figure 2). The hospital course was uneventful and he was discharged on aspirin and ticagrelor. He was transferred to emergency room again 10 days after hospital discharge, with acute severe chest pain. His ECG revealed inferoposterior ST segment elevation (Figure 3). He has stopped taking dual antiplatelet therapy for 3 days because of hematuria. Treatment with ASA (300 mg), ticagrelor (180 mg), intravenous unfractionated heparin was immediately initiated. The patient was taken to catheterization laboratory for primary percutaneous coronary intervention (PCI) which revealed total occluded proximal RCA and mid LCX at the same time, the site over the prior stents (Figure 4). Successful primary PCI was performed for both of the vessels with transradial access and final angiography revealed TIMI 3 flow distal to the coronary stents (Figure 5). Stent thrombosis most commonly occurs in the first month after stent implantation. Under continuous dual antiplatelet therapy, the average occurrence of subacute thrombosis in drug eluting stent is 0.5-2%. However, discontinuation of dual antiplatelet therapy was the most powerful predictor of stent thrombosis during the first 6 months following stent implantation. Simultaneous two stent thrombosis was very rare and can be due to several factors. In our patient, the most important factor predisposing to simultaneous stent thrombosis seems to have been non adherence to dual antiplatelet therapy. In conclusion, it should be emphasized to ensure patients to be properly educated about the importance of drug use and the dangers of antiplatelet drug discontinuation.

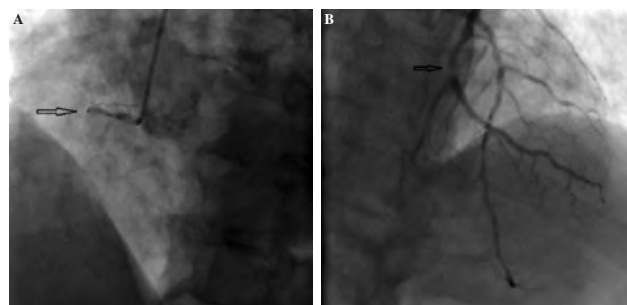


Figure 1. Coronary angiography revealing totally occluded proximal right coronary artery (A) (arrow) and critical stenosis at mid left circumflex artery (B) (arrow).

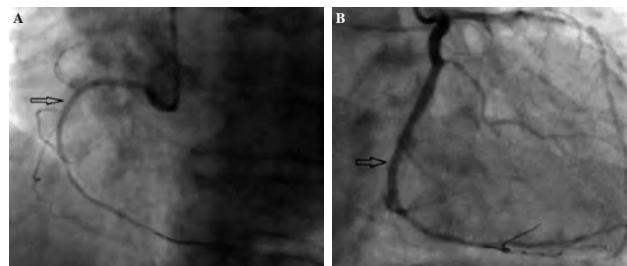


Figure 2. Two drug eluting stents (PROMUS element 2.5x16 mm and 2.5x20 mm) were deployed on right coronary artery (A) (arrow) and a drug eluting stent (PROMUS element 3.0x24 mm) on mid left circumflex artery (B) (arrow).

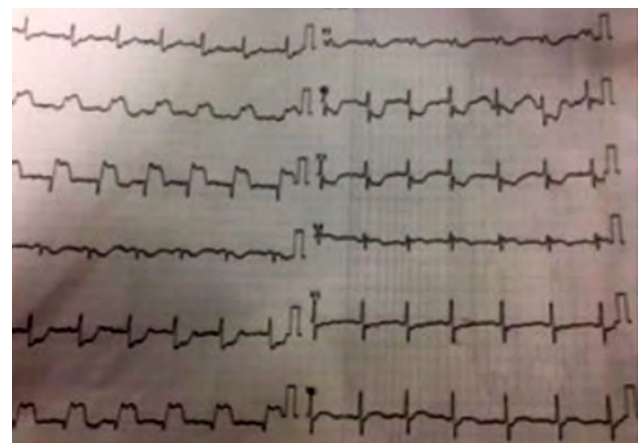


Figure 3. Electrocardiography revealed ST segment elevation on inferior leads.

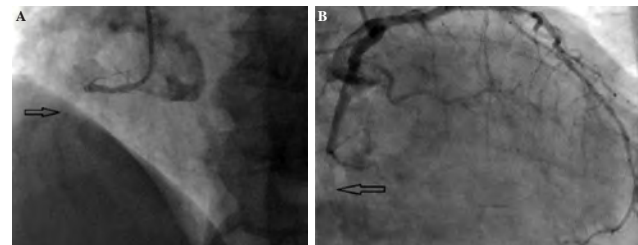


Figure 4. Simultaneous coronary stent thrombosis causing complete occlusion proximal to drug eluting stent in right coronary artery (A) (arrow) and mid left circumflex artery (B) (arrow).

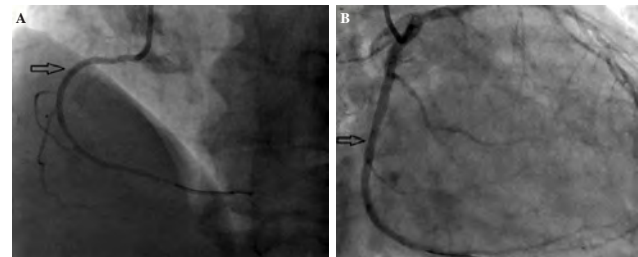


Figure 5. Primary percutaneous coronary intervention was performed for both right coronary artery (A) (arrow) and left circumflex artery (B) (arrow).

OPS-089**İki zor vaka iki kolay çözüm: Ana koroner lezyonu ve mini Crush Stent teknigi**

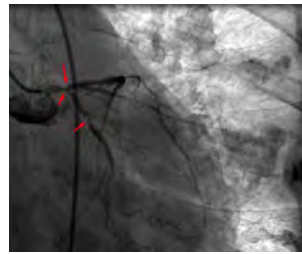
Fatih Gündöken, Feyzullah Beşli, İbrahim Halil Altparmak, Recep Demirbağ

Harran Üniversitesi Tip Fakültesi, Kardiyoloji Anabilim Dalı, Şanlıurfa

Bir gün ara ile yapılan 2 ana koroner vakası.

Olgı 1: Bir yıl önce sol ön inen artere (LAD) stent uygulanmış olan, 71 yaşında bayan hasta acil servise ciddi dispne ve genel durumda bozulma ile başvurdu. Yapılan fizik incelemesinde tansiyonu 75/40 nabızı 125 v/dak idi. Kardiyogenik şok olarak değerlendirilen hasta, acil koroner angiografi anacılıyak kateter labaratuvarına alındı. Sol ana koroner (LMCA) distalinde %95, LAD ostiumunda %60, sirkümflex arter (CX) ostiumunda %80, CX proksimalde %90 lezyonlar görüldü (Şekil 1). LAD'deki stentin ise açık olduğu görüldü. CX proksimalde lezyona 2.0x15 mm balon ile predilatasyon sonrasında 2.5x16 mm ilaç kaplı stentimplante edildi. Ardından mini crush tekniği göre LMCA'dan CX'e 2.75x16 mm ilaç kaplı stent ve LMCA'dan LAD'ye 3.0x16 mm ilaç kaplı stent hizalandı. Ardışık olarak stentler implante edildi (Şekil 2). CX rewiring edilerek 1.5x15 mm balon ile stent strutt genişletildikten sonra LAD ve CX'e 3.0x10 mm nonkompliyant balonlar ile kissing balon yapıldı. Ardından LMCA'ya 4.0x8 mm nonkompliyant balon ile proksimal optimizasyon yapıldı ve işlemeye son verildi (Şekil 3).

Olgı 2: Diyabetik ve hipertansif 79 yaşında erkek hasta, acil servisde yeni başlayan şiddetli göğüs ağrısı ile başvurdu. Yapılan fizik incelemesinde tansiyonu 110/70 nabız 95 v/dak idi. Hasta koroner angiografi labaratuvarına alınarak koroner angiografi yapıldı. LAD ostiumunda tromboze %95, CX ostiumunda %90 lezyonlar izlendi (Şekil 4). Kalp damar cerrahisi ile görüşüldü. Teknik aksaklıklardan dolayı hastanın acil cerrahi alınamaması nedeniyle perkutan koroner girişim kararı alındı. LAD ve CX 0.014 floppy guidewire ile geçirildikten sonra mini crush tekniği göre LMCA'dan CX'e 3.0x16 mm ilaç kaplı stent ve LMCA'dan LAD'ye 3.0x25 mm ilaç kaplı stent hizalandı. Stentler ardışık olarak implante edildi (Şekil 5). CX rewiring edilerek 1.5x15 mm balon ile stent strutt genişletildikten sonra LAD ve CX'e 3.0x10 mm nonkompliyant balonlar ile kissing balon yapıldı. Ardından LMCA'ya 4.5x10 mm nonkompliyant balon ile proksimal optimizasyon yapıldı ve işlemeye son verildi (Şekil 6).



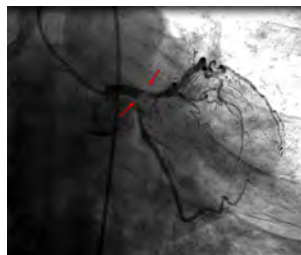
Şekil 1. Koroner angiografi görüntüsü.



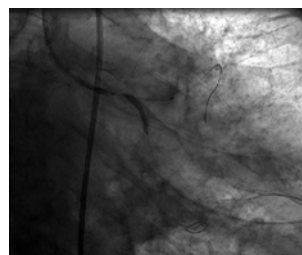
Şekil 2. Sirkümpleks arter stentinin implantasyonu.



Şekil 3. Final sonuç.



Şekil 4. Koroner angiografi görüntüsü.



Şekil 5. Sirkümpleks arter stentinin implantasyonu.



Şekil 6. Final sonuç.



Figure 3. Predilatation.



Figure 4. Stent implantation.



Figure 5. Final Kissing Dilatation.

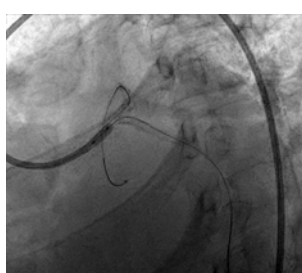


Figure 6. The proximal optimisation.

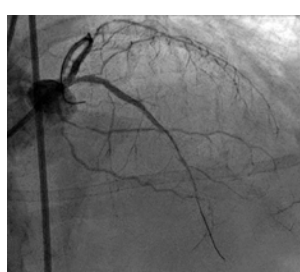


Figure 7. Final result.

OPS-090**Percutaneous left main coronary artery intervention in patient with cardiogenic shock**

Fatih Güngören, Ibrahim Halil Altıparmak, Feyzullah Beşli

Department of Cardiology, Harran University Faculty of Medicine, Şanlıurfa

53 Years old female was admitted to emergency department with cardiogenic shock and pulmonary edema. She had a history of coronary artery stenting in circumflex (CX) and right coronary artery (RCA) 3 month ago. The patient was taken to the catheter laboratory. Coronary angiogram displayed that significant lesions in left main coronary artery (LMCA) to CX ostial segment and left ascending artery (Figure 1). Furthermore it was noticed that LAD had diffuse disease (Figure 2). LMCA was cannulated with EBU 3.5 catheter. LAD and CX were crossed with 0.014" soft wire. LMCA distal to LAD and CX were performed the kissing dilatation with 2.0x15 balloon (Figure 3). According to mini crush technique, 3.0x16 mm DES for LMCA to CX and 2.75x20 mm DES for LMCA to LAD were positioned and sequentially inflated (Figure 4). LAD was rewired with soft wire. After that, final kissing was performed with 3.0x15 NC balloon for LMCA-CX and 2.75x15 NC balloon for LMCA-LAD (Figure 5). 3.5x8 mm NC balloon was used for PTO procedure (Figure 6). Moreover 2.5x28 mm DES was implanted into mid segment of LAD. Final result was assessed as satisfactory (Figure 7).

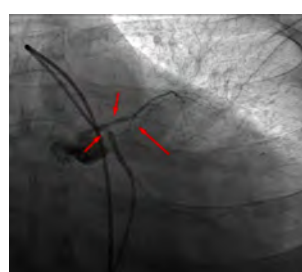


Figure 1. The significant lesions in left main coronary artery (LMCA) to CX ostial segment and left.



Figure 2. Diffuse disease of LAD.

OPS-091**A rare coronary anomaly: single coronary ostium arising from the right coronary sinus**Esin Uzun¹, Ali Kemal Kalkan¹, Begüm Uygur¹, Arda Güler¹, Aysel Türkvatam², Mehmet Ertürk¹¹Department of Cardiology, İstanbul Mehmet Akif Ersoy Training and Research Hospital, İstanbul²Department of Radiology, İstanbul Mehmet Akif Ersoy Training and Research Hospital, İstanbul

Introduction: Coronary anomalies are rare clinical entities which affect 0.3-5.6% of the general population. Isolated single coronary ostium in the absence of other major congenital anomalies is seen more rare. Herein we report 67 year old female patient who had a single coronary ostium which originated from the right coronary sinus of Valsalva.

Case: A 67 year old female patient was admitted to our hospital with exertional angina for 3 months. She had known history of hypertension and she was on ASA, metoprolol and ACE inhibitor medication. Her ECG was normal sinus rhythm with 78 bpm and echocardiography revealed normal left ventricular function with mild mitral, aortic and tricuspid regurgitation. Myocardial perfusion scintigraphy was performed and it showed severe anterior and anteroseptal ischemia. Because of the proved ischemia and symptoms of the patient, coronary angiography was performed. Coronary angiography showed left descending coronary artery (LAD), circumflex artery (CX) and right coronary artery (RCA) originated from a solitary ostium from the right coronary sinus of Valsalva and there was no significant stenosis. To understand the exact anatomy and find out the reason of severe ischemia, Coronary Computed Tomography Angiography (CCTA) was performed. CCTA showed a normal course of RCA. LAD had interarterial course between aorta and pulmonary artery and CX followed its course retroaortically. Due to trapped LAD between aorta and pulmonary artery and proved ischemia, our heart team decided surgery was the best therapy modality. But patient refused surgery and she was followed up with medical therapy.

Discussion: Isolated single coronary ostium in the absence of other major congenital anomalies is seen rare (0.019-0.4%). Diagnosis of the interarterial course of the coronary arteries is important to estimate the risk of sudden cardiac death (SCD). However interarterial course has the highest risk for ischemia and SCD, an anomalous coronary artery which doesn't run between great vessels can also cause ischemia. Coronary anomalies are commonly detected by coronary angiography which provides two-dimensional image projection. CCTA has advantages over coronary angiography by getting the exact origin and the course of the coronary arteries and the relation between great vessels by three-dimensional (3D) reconstruction. In our case by CCTA we learned the interarterial course of LAD which enlightened the reason of severe ischemia. Definite treatment strategy has not been defined but for the interarterial coronary arteries, coronary artery bypass grafting is the treatment choice, in some appropriate cases percutaneous intervention can also be performed.

Conclusion: Isolated single coronary ostium in the absence of other major congenital anomalies is a rare anomaly which can cause ischemia and SCD. CCTA is a great diagnostic tool to get the exact origin and the course of the coronary arteries and the relation between great vessels by 3D reconstruction.

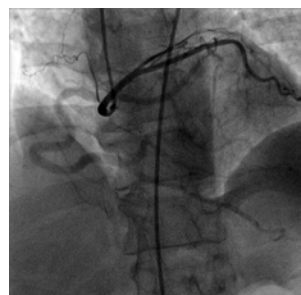


Figure 1. Conventional coronary angiography which shows the single coronary ostium arising from the right coronary sinus of Valsalva.

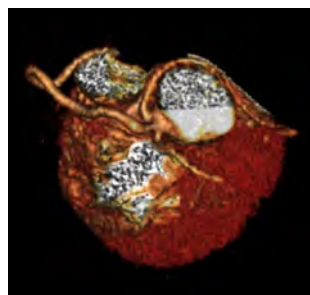


Figure 2. Coronary Computed Tomography Angiography which reveals the single coronary ostium arising from the right coronary sinus of Valsalva.

OPS-093

Unsuccessful thrombolytic therapy in a patient with acute left main coronary artery occlusion

Osman Yesildağ, Murat Sünbül, Halil Ataş, Alper Kepez, Okan Erdoğan

Department of Cardiology, Marmara University Faculty of Medicine, İstanbul

31 year-old male who has no known cardiac pathology and risk factor was brought to the emergency department with chest pain starting 30 minutes ago. It was learned from his history that he smokes cigarettes for 15 years and his father has died suddenly at the age of 45. In his ECG, ST elevations were detected in the leads of aVR, aVL and V1-V2. There was also ST depression in leads D2, D3, aVF and V3-V6 (Figure 1). Echocardiography showed anterior and lateral Wall hypokinesis. Left ventricular ejection fraction was measured as 40 per cent. The patient was taken to the catheterization laboratory immediately with the diagnosis of acute anterior MI. During coronary angiography vital findings was found stable (Blood Pressure: 110/70 mm Hg, Pulse rate: 90/min.). Coronary angiography showed normal right coronary artery. But during left coronary angiography, a large thrombus occluding the body of the left main coronary artery (LMCA) nearly completely before the area of LMCA bifurcation was seen (Figure 1). During left coronary angiography ventricular fibrillation was developed and after defibrillation with 270 joule, cardiac rhythm returned to normal sinus rhythm. Because of the lack of surgical back-up, thrombolytic therapy (TT) was given immediately to the patient as t-PA. After 30 minutes after TT, it was seen that there was a significant decrease in ST elevations during the monitoring of ECG tracing. Therefore the patient was transferred to the coronary care unit and followed there carefully for 24 hours. In this period heparin and tirofiban (GPIIb/IIIa) infusion were given to the patient. The next day coronary angiography was repeated to see the result of TT. But, it could not be seen any regression in the amount of thrombus burden in the LMCA shaft. It was decided to give the patient to the CABG operation after consulting with cardiac surgeons. LAD-LIMA and Cx-OM1 saphenous grafts bypasses were performed successfully in the operation. The patient was still alive and well 1 year after the operation. In conclusion, it can be thought by taking into attention with this case, if there is a large thrombus in LMCA, TT can be a therapeutic choice and life-saving before percutaneous coronary intervention until the surgical back-up was provided.

OPS-092

Multiple coronary fistulae involving all three coronary arteries

Duygu Ersan Demirci, Deniz Demirci, Şakir Arslan

Department of Cardiology, S.B. SBÜ Antalya Training and Research Hospital, Antalya

A coronary artery fistula is a connection between one or more of the coronary arteries and a cardiac chamber or a great vessel. Coronary artery fistulas are rare and found in approximately 0.1% of patients undergoing cardiac catheterization. They are usually asymptomatic but can cause myocardial ischemia due to coronary steal mechanism, congestive heart failure, infective endocarditis and rupture of the fistulae. Previous studies have reported the right coronary artery to be the most common site of origin and the low- pressure right heart chambers to be the most common site of drainage. However there are few cases reported in the literature, in which the fistulae originate from all of the three coronary arteries. We present a rare case of a patient with multiple coronary fistulae originating from left anterior descending, left circumflex and right coronary artery draining into the left ventricle. A 72 year -old man was admitted with atypical chest pain and fatigue. His medical history included no risk factors for coronary artery disease. He wasn't taking any medications. A standard 12-lead electrocardiography revealed no significant alterations. Clinical examination revealed grade 2 continuous murmur in the mesocardiac area. Transthoracic echocardiography revealed left ventricular ejection fraction of 65%, left ventricular diastolic dysfunction, mild mitral regurgitation and normal pulmonary arterial pressure. Subsequently coronary angiography showed multiple fistulae of all three coronary arteries which drained into the left ventricle. The patient was discharged with medical therapy because the fistulae were small and not suitable for percutaneous closure.

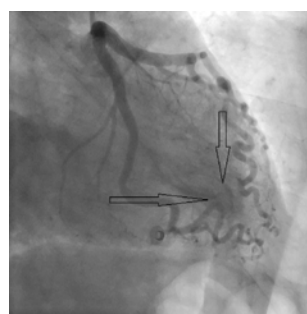


Figure 1. LCA right caudal view.

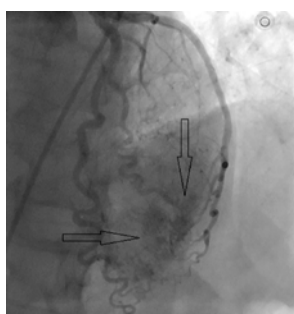


Figure 2. LCA right cranial view.

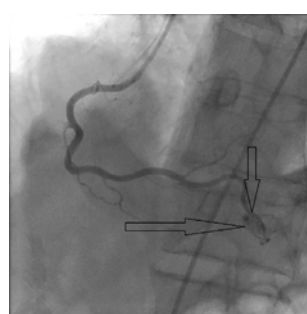


Figure 3. Left cranial view.

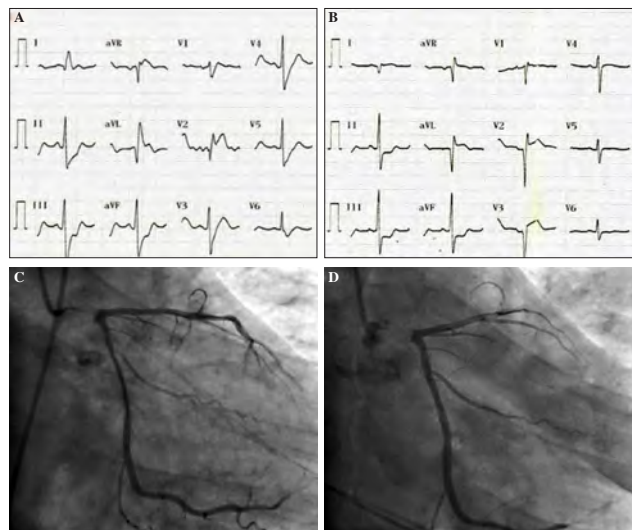


Figure 1. Subtotal occlusion of left main coronary artery with a large thrombus and electrocardiographic appearance of the patient.

OPS-094

The successfull recanalisation of chronic total and long lesion occlusion of left coronary artery in a patient having multivessel coronary artery disease

İlkin Gulyev, Tolga Çimen, Faruk Aydinyılmaz, Hamza Sunman, Sadık Açıkel

Department of Cardiology, S.B. Dışkapı Yıldırım Beyazıt Training and Research Hospital, Ankara

Case: 60 years-old female presented with angina to E.R. Hypertension, diabetes mellitus, and smoking on her history. Physical Examination show no pathologic finding. ECG was sinus, 84bpm, there was no ST depression or ST elevation. Cardiac markers was high. Echocardiography demonstrated hypokinensis in mid-basal posterior and inferior wall, LVEF 45%. Patient was admitted to Coronary Care unit with the NSTE-ACS diagnosis and coronary angiography planned. Coronary angiography revealed multivessel disease with long segment calcific CTO lesion in LAD, (Figure 1 Video1) severe stenosis in mid CX and RCA (Figure 2 Video2). Syntax score was 25. Patient refused to undergo CABG. Staged complete revascularisation was planned to first RCA and CX same hospital stay and successfull DES implantations were performed for CX and RCA (Figure 3 Video 3). At follow-up 1 month after, the patient reported angina, her 2-D ECHO LAD segment was normal, we planned LAD CTO PCI. LAD CTO PCI: 7F JL3.5 guiding and 6F JR4 diagnostic catheter for dual injection. Crossing CTO with Fielder FC, Corsair microcatheter and demonstration for true lumen in tip injection (Figure 4 Video 4). Sion Blue insertion to distal LAD and Corsair exchanged with TRAP technique, predilation with 2.0x20 mm low-profile balloon. (Figure 5 Video5) Predilation with 26x20 mm MiniTrack, 2.5x12 mm balloon and 2.5x3.0x30 mm Conic balloon. (Figure 6) We performed Distal to mid LAD: 2.75x38 mm DES. Proximal LAD: 3.0x38 mm DES implantation. Successful recanalisation was performed (Figure 7 Video7).

Conclusion: In current guidelines surgery is preferred in the patient group with 3 vessels and LAD CTO lesion with a high synats score. However, there are concerns about LAD graftability in patients with CTO and long segment disease. Antegrade flow impairment and vasospasm caused by the CTO makes it difficult to assess at the distal radius and lesion characteristics. CTO PCI is preferable over the distal grafting of LAD to salvage of jeopardized myocardium like our case.

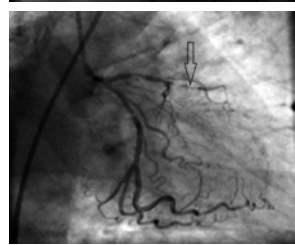
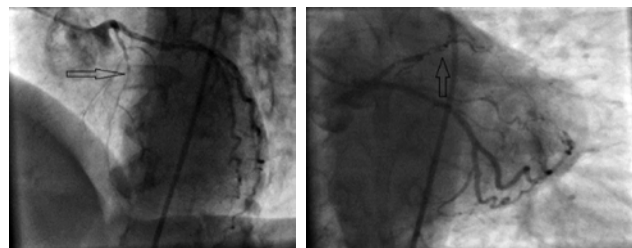


Figure 1. LAD CTO lesion.

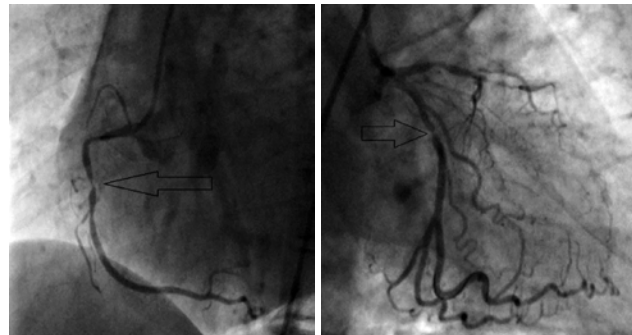


Figure 2. RCA and Cx Lesion.

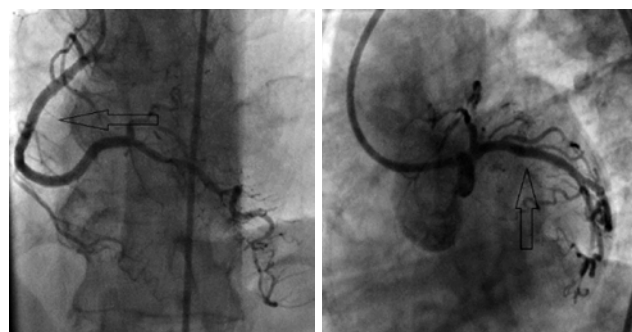


Figure 3. RCA and CX after PCI.

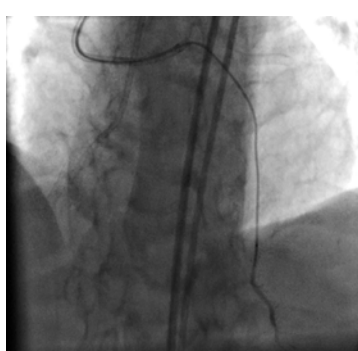


Figure 4. LAD Tip injection.



Figure 5.

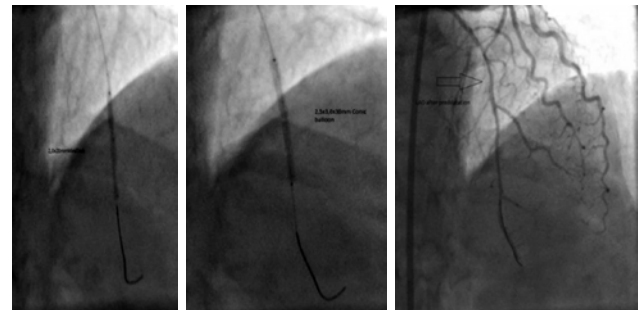


Figure 6. LAD multiple balloon predilatation.

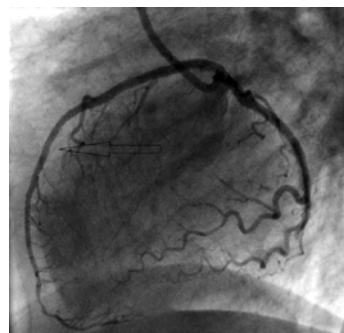


Figure 7. Final Result: LAD after CTO PCI.

OPS-095

Neointimal hiperplaziye bağlı geç stent restenozu

Sara Çetin Sanlıalp¹, Musa Sanlıalp², Okan Er²

¹Pamukkale Üniversitesi Tıp Fakültesi, Kardiyoloji Anabilim Dalı, Denizli

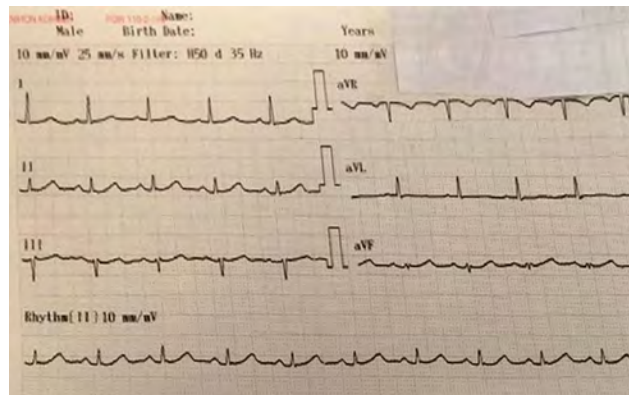
²Denizli Devlet Hastanesi, Kardiyoloji Kliniği, Denizli

Giriş: Koroner arter hastalığı olan hastalarda ilaç salımlı stentler yaygın olarak kullanılmasına rağmen akut koroner sendrom ya da uzun süreli antitrombotik tedaviye kontrendikasyonu olanlarında halen bare metal stentler kullanılmaktadır. Bare metal stentlerin en önemli sorunu neointimal hiperplaziden kaynaklanan stent restenozudur. Genellikle restenoz, stent implantasyonundan sonra 6-12 ay arasında gözlemlenmesine rağmen, bazı vakalarda stent implantasyonundan 5 yıl sonra bile stent restenozu olduğu bildirilmiştir (geç restenoz). Bu vakada bare metal stent takılan bir hasta'da on dört yıl sonra görülen geç stent restenozunu tartışacağız.

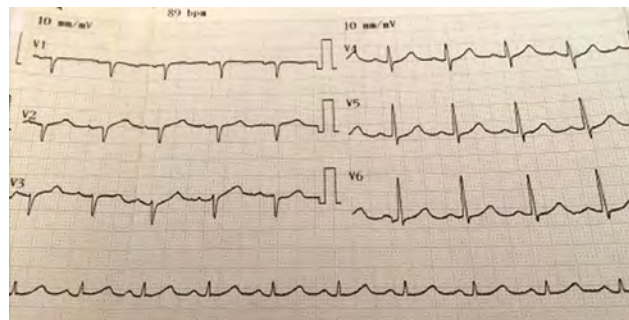
Oluğ: Yetmiş iki yaş erkek hasta son dört aydır olan tipik anginal yakınlıklarla kardiyoloji poliklinimize başvurdu. Hastaya 2003 yılında miyokart enfarktüsü nedeniyle bare metal stent takıldığı öğrenildi. Hastada diyabetes mellitus dışında ek morbidite mevcut değildi. Hastanın sigara ve alkol kullanımı yoktu. Hasta yıllık kontrollerini yaptırdığını ve iki yıl önce yapılan eftestinin normal olduğunu belirtti. Hastanın tansiyon arteriyeli 110/70 mmhg, nabzı 85/dk idi. Hastanın fizik muayenesi olagandi. Hastanın elektrokardiogramı v1 ve v2 derivasyonlarındaki qş dışında normaldi. Hastanın ekokardiografisinde belirgin duvar hareket bozukluğu yoktu. Hastanın laboratuvar bulguları kardiyak enzimler ve lipidler dahil olaklıdı. Hastaya stres ekokardiografi planlandı ve stres sonrası yapılan görüntülemelerde hastanın spesksinde belirgin duvar hareket bozukluğu saptanması üzerine hastaya koroner anjografi planlandı. Hastaya yapılan anjografiye sol ön inen koroner arterde bulunan stentin %90-95 oranında tkandığı görüldü ve aynı bölge tekrar perkütan girişim yapıldı. Hasti işlem sonrası takibi aldı. Genel durumu stabil olan anginal semptomları sona eren ve kardiyak enzimlerde belirgin artış izlenmeyen hasta ikili antiplatelet ve antiiskemik tedavi ile taburcu edildi.

Tartışma: Neoangiogenez plak progresyonu yakından ilişkilidir ve plak kanamasında yakından rol oynayabilir. Neovaskülarizasyon genellikle arteriel stentleme ve anjoplasti yapılan molderin intimal hiperplazisinde gözlemlenmiştir. Patolojik incelemeler bare metal stent sonrası lümendeki neointimal depositillerin çeşitli hiperplaziye neden olduğunu göstermiştir. Stentli lezyonun erken restenoz evresinden sonra (6-12 ay) stabilize olduğuna inanılmaktadır. Chousset ve

arkadaşları stentlenen yerin klinik stabilizasyonun 8-10 yıl süreBILECEĞİNİ belirtmişlerdir. Kimura ve arkadaşları da yaptıkları seri angiografi çalışmalarında lumen içi tekrar daralmanın stent implantasyonundan dört yıl sonra olduğunu göstermişlerdir. Ayrıca stent sonrası lümenin uzun dönemde 3 fazlı yanıt olduğunu belirtmişlerdir. Erken stenoz; 6 ay öncesi, orta regresyon dönemini 6 ay-3 yıl ve 4 yıl sonrası da geç restenoz olarak tanımlamışlardır. bizim vakamızda ise on dört yıl sonra restenoz gerçekleşmiş olup, geç restenzo güzeli bir örnektir.



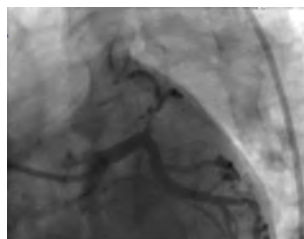
Şekil 1. Elektrokardiogram 1.



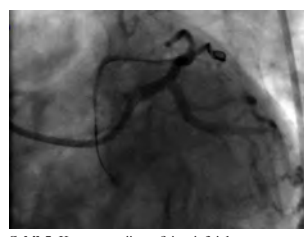
Şekil 2. Elektrokardiogram 2.



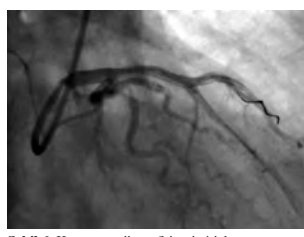
Şekil 3. Koroner anjiografi imajı 1 işlem öncesi.



Şekil 4. Koroner anjiografi imajı 2 işlem öncesi.



Şekil 5. Koroner anjiografi imajı 3 işlem sonrası.



Şekil 6. Koroner anjiografi imajı 4 işlem sonrası.

OPS-096

Anevrizmatik ana pulmoner arterin LMCA basısı

Muhammet Salih Ates, Canan Yilmaz, Abdullah Tunçez, Nazif Aygül

Selçuk Üniversitesi Selçuklu Tip Fakültesi, Kardiyoloji Anabilim Dalı, Konya

Otuz yedi yaşında kadın hasta 10 yıldır idiyopatik pulmoner hipertansiyon ile takipli Bosentan 125 mg 2x1 tadanafl 40 mg 1x2 iloprost 9x1 kullanmaktadır. Hasta rutin kontrolleri sırasında yaklaşık iki aydır olan yemekten sonra ve eforla artış gösteren tipik ağrı olduğunu belirtti. Yapılan ekokardiografide pulmoner arter çapı 60mm ölçüldü. Anevrizmatik ana pulmoner arterin sol ana koroner arterde(LMCA) basıya neden olabileceğini düşünüren koroner BT anjiyografisi çekildi. BT anjiyografide LMCA'ya bası görülmemesi üzerine hastaya yapılan koroner anjiyografide LMCA'da

%95 darlık görüldü. Hastaya 4.5x15mm bare metal stentimplante edildi. 5.0x12 mm NC balon ile post dilatasyon yapıldı. Hastanın mevcut tedavisi ek olarak klopigidol 75 mg 1x1 ve Asetilsaliçilik asit 100 mg 1x1 eklenildi. Pulmoner hipertansiyonlu, ana pulmoner arter çapı 40mm üzerinde olan hastalarda LMCA basısı olabilecek komplikasyonlardandır. Bu durumlarda güncel yayınlar esliğinde LMCA'ya stentimplante edilmesi ortaya çıkan semptomların gerilemesini sağlamaktadır. Bize hastamızda taktımız stent sonrası anjinasyonda hızlı bir düzelmeye olmuştur. Bu şekilde anevrizmatik pulmoner arteri olan kişilerde lmca basısı olabileceği göz önüne bulundurulmalıdır.



Şekil 1. Anevrizmatik pulmoner arterin LMCA basısı.



Şekil 2. Stent sonrası akım.



Şekil 3. Stent sonrası akım.

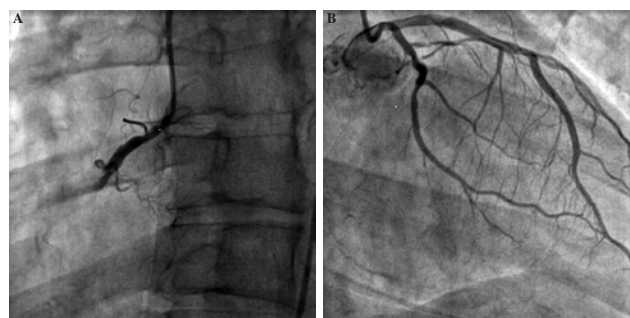
OPS-097

Embolize olan koroner stentin perkütan çıkarılması

Sevil Gülaşçı, Mithat Selvi, Cemil Zencir, Hasan Güngör

Adnan Menderes Üniversitesi Tip Fakültesi, Kardiyoloji Anabilim Dalı, Aydın

Stent embolizasyonu perkütan koroner girişimler(PKG) esnasında oldukça nadir görülen bir komplikasyon olsa da morbidite ile yakından ilişkilidir. Bu vakalarda stentin embolize olduğu yere ve laboratuvar koşullarına göre hızlı karar verilmesi gereklidir. Embolize olan koroner stentler cerrahi ve perkütan yöntemler ile çıkarılabilir. Bu yazında sağ koroner artere (RCA)PKG sırasında sağ femoral artere embolize olmuş koroner stentin snare yöntemi ile çıkarılması sunulmuştur. Göğüs ağrısı şikayetileyi de bursvar kurk dört yanında erkek hastanın çekilen elektrokardiografisinde ST elevasyonu gözlemlenmesi üzerine koroner anjiyografi işlemine alındı. Sağ femoral artere 7F sheath yerleştirilerek, JL4 VE JR4 tamsil kateter ile koroner arterler görüntülenendi. RCA da disseke ve tromboze %100 lezyon (Şekil 1a), circumflex arter mid bölgelerde %50, diagonal arterde ise %40 darlık yaratılan lezyon (Şekil 1b) izlendi. RCA ya JR4 kilavuz kateter yerleştirilerek yoğun trombuslu disseke lezyon 0.014 inch kilavuz tel yardım ile geçildi. RCA ostea bölgeye 4.0x12 mm çaplık metal koroner stent yerleştirildi. Koroner stentin distalinde rezidü lezyon izlendi ve ciddi olarak değerlendirildi; bu lezyona da stent implantasyonu kararı alındı. Bu lezyona yerleştirilmesi planlanan 4.0x25 mm çaplık metal koroner stent yerleştirilmesi çalışılırken stentin RCA osteadan balon- ve styrildiği görüldü. Tekrarlayan görüntülemede koroner stentin femoral artere embolize olduğu izlendi (Şekil 2). Koroner iskeminin devam ettiği düşününterek öncelikli olarak RCA stent sonrası distal lezyona 4.0x20 mm çaplık metal koroner stent yerleştirilerek tam revaskülarizasyon sağlanıldı (Şekil 3). Sağ femoral artere embolize olan koroner stentin is snare yöntemi ile alınmasının karar verildi. Sol femoral artere 7F sheath yerleştirildi ve JR4 kilavuz kateter stentin proksimaline kadar yerleştirildi. Snare yöntemi ile yakalanan koroner stent kilavuz kateteri sıkıştırılmıştır ve başarı bir şekilde çıkarıldı (Şekil 4). Kalp damar hastalıklarının tanı ve tedavisinde kullanılan invaziv yöntemlerdeki artış değişik ve ciddi komplikasyonları da beraberinde getirmektedir. Koroner stentin balondan sıyrıldığı durumlarda embolize olduğu bölgenin ozelligine göre olusabilecek klinik tablo değerlendirilerek hızlı bir şekilde müdahale edilmelidir. Cerrahi girişimde bir tercih olabilecegi gibi kendine özgü komplikasyonlarının yanında akut koroner sendromlu hasta anestezi riskini de söyleyeceği için perkütan girişim ilk tercih olmalıdır. Perkütan girişimlerden snare yöntemi, iki tel yöntemi veya once bir balon ile çıkarılması denemelidir. Snare yöntemi nispeten güvenli ve kullanım kolay bir yöntem olup komplikasyonları az ve etkili bir yöntemdir. Tüm yöntemler uygun olmaka birkarla balondan sıyrılan koroner stentin hızlı bir şekilde hastanın hayatı tehdit etmeyecek bir bölgeye çekilmesi ve çıkarılmasını önemlidir. Burada hangi yöntemi seçileceği kişinin tecrübe, laboratuvarın teknik koşulları ve hastanın kliniği ile yakından ilişkilidir.



Şekil 1.



Şekil 2.



Şekil 3.



Şekil 4.

OPS-098**Sol ana koroner arter iyatrojenik diseksiyonuna sonucu gelişen aort diseksiyonunun sol ana koroner arter stentleme ile tedavisi**

Uyar Çağdaş Yüksel¹, Murat Çelik¹, Veysel Özgür Barış¹, Gökhan Erol², Murat Kadan², Barış Durgun², Serkan Asıl¹, Suat Görmel¹, Erkan Yıldırım¹, Emin Ince², Ömer Faruk Keskin¹, Uğur Bozlar³, Cem Barçın¹

¹Güllhane Eğitim ve Araştırma Hastanesi, Kardiyoloji Kliniği, Ankara

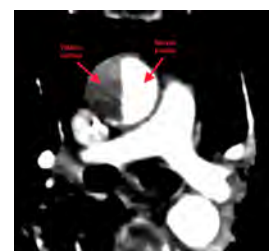
²Güllhane Eğitim ve Araştırma Hastanesi, Kalp Damar Cerrahisi Kliniği, Ankara

³Güllhane Eğitim ve Araştırma Hastanesi, Radyoloji Kliniği, Ankara

Altmış bir yaşında kadın hastaya, periferik arter cerrahisi öncesi değerlendirmeye kapsamında koroner anjiyografi uygulandı. Circumflex arterin dallarında ciddi darlık gözlenmesi üzerine hasta aynı seansda perkutant koroner girişim planlandı. Sol ana koronar artere radial yolla Sol Amplatz 1 kılavuz kateter yerleştirildi ve OMI'ye stent implant edildi. Kalan rezidüel darlık için ikinci bir stent implant edilecekken yapılan enjeksiyonda sol ana koroner arterin ve retrograd olarak çıkan aortin diseksiye olduğu görüldü (Şekil 1). Kısa sürede içindeki sol ana koroner arterdeki (LMCA) diseksiyon LAD ve CX ostiumuna uzandı ve akım tamamen kesildi ve hasta arrest oldu. Hastaya kardiopulmoner resüstASYONU ALTINDA sola ana koroner arter, LAD ve CX ostial stentleme yapıldı. TIMI 3 akım elde edildi. Aort diseksiyonunun sınırlarının daha iyi belirlenmesi için hemen ardından BT anjiyografi yapıldı. Hastada gelişen diseksiyonun arkası aortaya gelmeden sınırlandığı ama aort lümeninde %50 oranındaki darlık yapan intramural hematom gelişmiş olduğu görüldü (Şekil 2). KVC ile konsült edilen hastada, acil aort cerrahisinin yüksek mortalitesi nedeniyle, yakın takip planlandı ve hasta yoğun bakım ünitesinde takip edildi. Sol ana koroner stentleme sonrası hemodinamisi stabil seyreden hasta işlemi ertesi günü ekstübe edildi. Klinik seyrin olaysız seyretmesi üzerine konseratif takibe devam edilen hasta 2 hafta sonra yapılan BT anjiyografide intramural hematomun tamamen rezorbe olduğu gözlandı. Hasta işlem sonrası 1. ayında taburcu edildi. İyatrojenik koroner arter diseksiyonlarında, diseksiyonun retrograd olarak aortaya uzanması halinde, koroner ostiumun, diseksiyonu sınırlandırmak amacıyla stentlenmesi önerilen yaklaşımlardan biridir. RCA ostiumlarındaki diseksiyonlarda bu yaklaşım sıkılıkla uygulanırken, LMCA diseksiyonlarında oğulların hemodinamisinin sırratle bozulması nedeniyle erken cerrahi daha çok gündeme gelmektedir. LMCA başları olarak stentlenmiş olsalar da rezidüel aort diseksiyonunu ve intramural hematomun seyri ile ilgili kaygılar nedeniyle bu hastalarda cerrahi ön planda düşünülmektedir. Ne var ki, cerrahi açısından yüksek riskli olgularla, klinik takibin olumlu sonuçlarını bildiren literatürler mevcuttur. Bu durumda hastalar cerrahiye sevk etmeden önce risk bireysel hasta bazında değerlendirilmeli ve yakın takibin de alternatif yaklaşımlarından biri olabileceğinin hatırlanmalıdır.



Şekil 1. LMCA'dan başlayıp retrograd olarak çıkan aorta ya uzanan iyatrojenik aort diseksiyonu.



Şekil 2. Aortik intramural hematomun BT anjiyografi görüntüsü.

Kardiyak görüntüleme / Ekokardiyografi**OPS-100****Coexistence of Gitelman syndrome and hypertrophic cardiomyopathy in a pregnant woman**

Abdullah Nabi Aslan¹, Serdal Baştığı¹, Haci Ahmet Kasapkara², Serkan Sivri¹, Murat Can Güney², Tahir Durmaz², Telat Keleş², Nihal Akar Bayram², Murat Akçay², Engin Bozkurt²

¹Department of Cardiology, Ankara Atatürk Training and Research Hospital, Ankara

²Department of Cardiology, Yıldırım Beyazıt University Faculty of Medicine, Ankara

Gitelman syndrome (GS) is a distal renal tubular disorder caused by defective sodium chloride transporters. Biochemically, it presents with hypokalemia, metabolic alkalosis, hypomagnesemia and hypocapnia. Autosomal-recessive (AR) genetic mutations in the thiazide-sensitive sodium chloride cotransporter (NCCT) which is encoded by the SLC12A3 gene are responsible for the disease (1). Hypertrophic cardiomyopathy (HCM) is an autosomal dominantly inherited cardiac disease which is characterized by increased left ventricular (LV) wall thickness without any co-existing loading conditions. HCM is one of the most common causes of SCD especially in young adults. Here, a 34-year-old woman with GS who was presented with the complaint of palpitation, fatigue and presyncope during pregnancy and diagnosed as having HCM was reported. A 34-year-old woman with GS presented at 20 weeks gestation with the complaints of palpitation, fatigue and presyncope. This was her first pregnancy. Her initial diagnosis of GS had been confirmed 4 years ago based on clinical presentation and laboratory data. She was maintained on oral electrolyte replacement with oral potassium chloride and magnesium citrate were prescribed and the course of the pregnancy. At physical examination there was a grade 3/6 systolic ejection murmur maximally heard at apical focus of the heart. Blood pressure was 80/50 mmHg and laboratory test showed a serum potassium value of 2.5 mmol/L (normal 3.5–5.1), a serum calcium value of 10.2 mg/dL (normal 8.6–10.0) and a serum magnesium level of 1.4 mg/dL (1.6–2.6) were noted. Blood gas analysis showed metabolic alkalosis with a pH of 7.495 (normal 7.380–7.460), pCO₂ of 35.6 (normal 32–46) and HCO₃ of 34.1 mmol/L (normal 22–26). Serum creatinine, urea and remainder ionograms were normal. Electrocardiogram (ECG) showed normal sinus rhythm with a rate of 67 beats per minutes and remarkable ST-T changes at inferior and precordial derivations. There was also a prolonged QT interval (490 ms) (Figure 1). Echocardiography determined a hypertrophic obstructive cardiomyopathy (HOCM) with a septal thickness of 2.1 cm and posterior wall thickness of 1.1 cm (Figure 2a) and a resting gradient of 30 mmHg (Figure 2b). There was also systolic anterior motion in mitral valve creating a mild degree of mitral regurgitation (Video). Risk of SCD at 5 years was calculated as 2.93%. Because the patient was pregnant, the cardiology, gynecology and pediatric departments organised a council whether the patient will maintain the pregnancy or not. The common consensus was close follow-up and if needed termination. At follow-ups, the pregnancy was continued without any complication with a born healthy daughter.

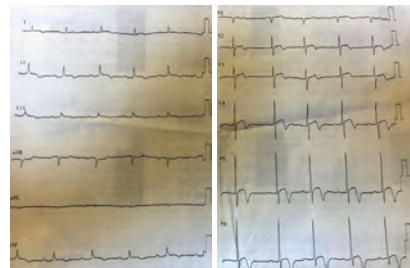


Figure 1. ECG of the patient showing widespread secondary ST-T changes.

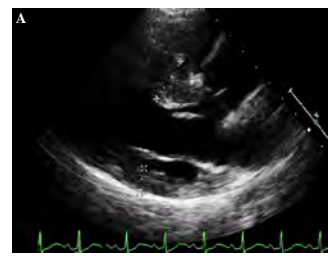
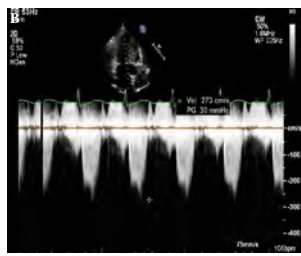


Figure 2. (A) Transthoracic echocardiography image showing septal and posterior wall thicknesses.



(B) Transthoracic echocardiography image showing resting left ventricular outflow tract peak gradient.

OPS-101

The importance of recognizing the prominent Eustachian valve in the evaluation of atrial septal defects before percutaneous or surgical closure

Burak Açıcar, Özcan Ozeke, Bahar Tekin Tak, Ahmet Akdi, Firdevs Ayşenur Ekizler, Habibe Kafes, Kadir Ocak, Zehra Gölbaşı, Omaç Tüfekçioglu, Erdoğan İlkar

Department of Cardiology, Ankara Türkiye Yıldız İhtisas Hospital, Ankara

Atrial septal defect closure is now routinely performed using a percutaneous approach under echocardiographic guidance. Since some echocardiographic features play an important role in the assessment of the defect and safety of the procedure, the salient features of the anatomical variations seen in adults undergoing transcatheter device closure should be well known to prevent inadvertent adverse effect or complications. In addition to the size of the defect, the distance of the defect from the surrounding structures called rims play an important role in deciding whether a defect can be closed or not. In addition to this, associated abnormalities of the superior and inferior vena cava, coronary sinus, pulmonary veins and atroventricular valves that may hinder the device closure should be carefully evaluated. The color flow entering the right atrium from vena cava and coronary sinus should not be misdiagnosed. The valve of the inferior vena cava, Eustachian valve can be mistaken as the atrial septum (Figure) thus ending in a wrong diagnosis and causing inadvertent surgical or percutaneous closure of a Eustachian valve to interatrial septum. The finding of a redundant Eustachian valve can also add technical difficulties for the percutaneous treatment of atrial septal defect. Passing the guidewire may also be difficult. Therefore, it is fundamental the identification of this structure to avoid misdiagnosis and complications in atrial septal defect patients requiring percutaneous or surgical closure. Even though echocardiography is one of the most widely used echocardiographic modalities, it requires expert imaging personal to avoid any wrong diagnosis from misinterpretation of normal and abnormal anatomy of the heart, atrial septum and the defect, particularly during percutaneous closure procedure.

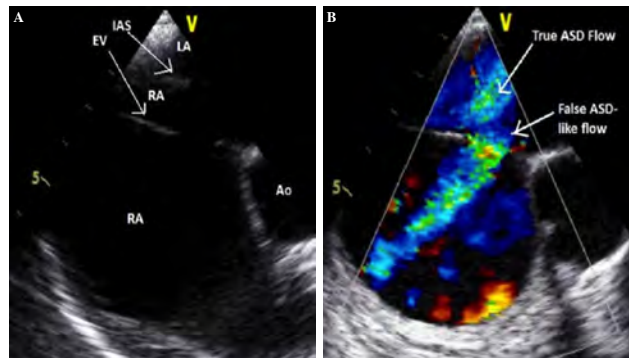


Figure 1. Transesophageal echocardiography in the mid-oesophageal short-axis view at the aortic valve level with (B) and without (A) color Doppler showing the prominent Eustachian valve with the atrial septal defect-like flow that can be easily misdiagnosed resulting in an unnecessary percutaneous or surgery intervention. RA,right atrium; LA,left atrium; Ao,aorta; EV,Eustachian valve.

OPS-103

A ventricular septal defect restricted by the tricuspid septal leaflet and discrete subaortic membrane presenting with high-grade atrioventricular block and syncope

Umut Kocabas

Department of Cardiology, Edremit State Hospital, Balikesir

A 32-year-old woman presented to emergency department with syncope. Her medical history was unremarkable, and cardiac auscultation revealed a localised, high-frequency, 3/6 pansystolic murmur at the 3rd and 4th left intercostal spaces. The 12-lead electrocardiogram showed high-grade atrioventricular block with a rate of 46 bpm (Figure 1, Panel A). Transthoracic echocardiography revealed normal left ventricular systolic functions with an ejection fraction of 63%, mild-to-moderate mitral regurgitation, mild tricuspid regurgitation with a pulmonary systolic pressure of 30 mmHg and normal right ventricular chamber size and systolic functions. In the apical four-chamber view, a 20-mm sized membranous ventricular septal defect (VSD) was seen in the baseline portion of the interventricular septum and left-to-right shunt was observed in color and continuous wave Doppler echocardiography (Figure 1, Panel B-D). The VSD and left-to-right shunt were restricted by the tricuspid septal leaflet and the patient's Qp/Qs ratio was <1.5 (Figure 1, Panel E). Additionally, a discrete subaortic membrane between baseline portion of the interventricular septum and mitral anterior leaflet was observed in the apical four-chamber view without left ventricular outflow tract gradient (Figure 1, Panel F). Ventricular septal defect and discrete subaortic membrane diagnoses were confirmed by cardiac magnetic resonance imaging (Figure 2, Panel A-D). Following refusal of cardiac pace-maker implantation, the patient was discharged with a program of intensive follow-up. Ventricular septal defects may cause rhythm and conduction disturbances. In this case report, we described a 32-year-old woman with ventricular septal defect and discrete subaortic membrane without left ventricular outflow tract obstruction associated with high-grade atrioventricular block and syncope.

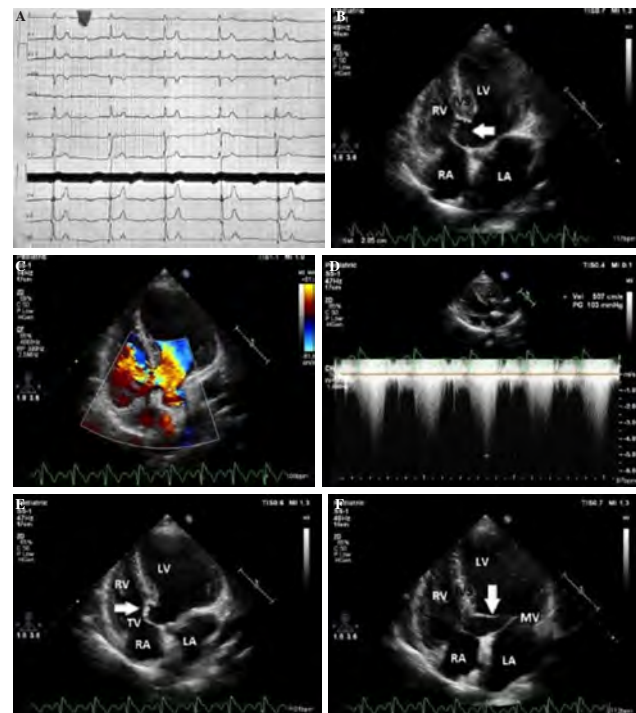


Figure 1.

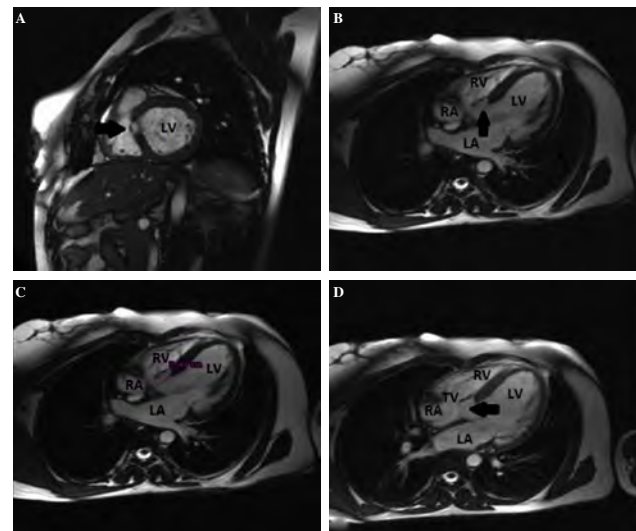


Figure 2.

OPS-104

Giant left ventricular pseudoaneurysm presenting with ventricular tachycardia

Umut Kocabas¹, Ferhat Özyurtlu², Bahadir Çöllü²

¹Department of Cardiology, Edremit State Hospital, Balikesir

²Department of Cardiology, Grandmedical Hospital, Manisa

A 76-year-old woman presented to emergency department with symptoms of shortness of breath, palpitation and recurrent episodes of syncope. Her medical history revealed hypertension and diabetes mellitus. On physical examination, her blood pressure was 91/59 mmHg and heart rate was 153 bpm. 12-lead electrocardiography showed a sustained monomorphic ventricular tachycardia with a rate of 155 bpm (Figure 1). After initial dose of amiodarone, the rhythm converted back to normal sinus rhythm. Transthoracic echocardiography demonstrated a giant aneurysm (measuring 44 x 87 mm) originating from posterolateral wall of left ventricle with a narrow neck and severe left ventricular systolic dysfunction with an ejection fraction of 33% (Figure 2, Panel A-B). Cardiac computed tomography and its three-dimensional reconstruction images revealed a large aneurysm (measuring 78 x 48 x 60 mm) originating from posterolateral wall of left ventricle consistent with left ventricular pseudoaneurysm (Figure 2, Panel C-E). Coronary angiography revealed multi-vessel coronary artery disease and cardiac ventriculography showed left ventricular aneu-

rism (Figure 2, Panel F). After coronary angiography, cardiac surgery was planned for coronary artery bypass grafting and left ventricular aneurysm repair. However, the patient refused surgical treatment, was discharged and subsequently was lost to follow-up. The main complications of a left ventricular aneurysm are congestive heart failure, ventricular arrhythmias, ventricular rupture and systemic embolization. This case demonstrates the importance of left ventricular pseudaneurysm due to multi-vessel coronary artery disease and its rare, life-threatening complications such as ventricular tachycardia.

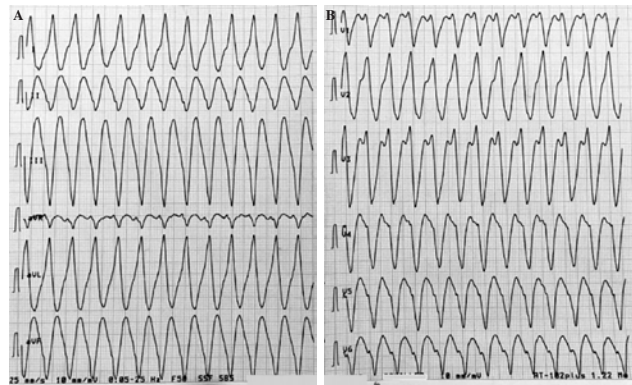


Figure 1.

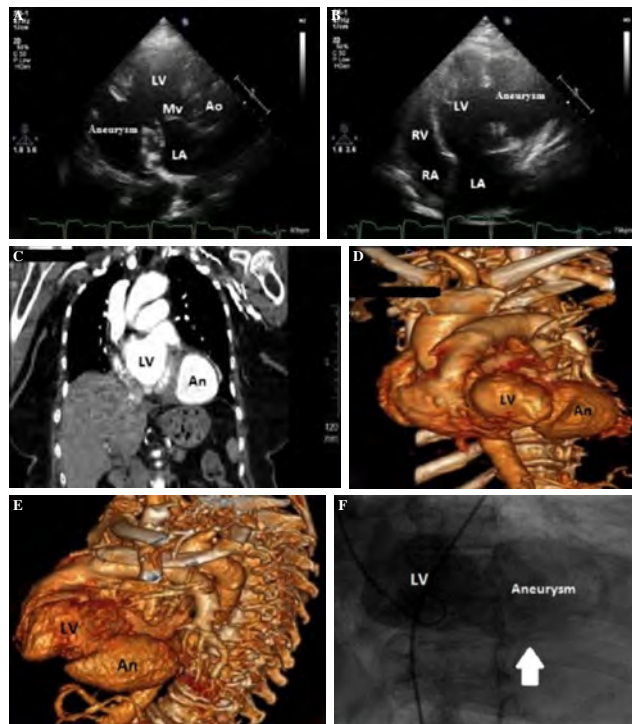


Figure 2.

OPS-105

A pushed descending aorta due to hiatal hernia

Çetin Geçmen, Muzaffer Kahyoğlu, Arzu Kalaycı, Ender Özgür Çakmak, Özkan Candan, Ahmet Güner, İbrahim Akın İzgi, Cevat Kirma

Department of Cardiology, Kartal Koşuyolu Yüksek İhtisas Training and Research Hospital, İstanbul
The ninety-one-year-old female patient was admitted to the hospital for the evaluation of transcatheter aortic valve implantation. A chest radiography showed hiatal hernia and the stomach and duodenum was shown in the thoracic cavity (Figure A). The patient had severe aortic stenosis, and a contrast-enhanced thoraco-abdominal computed tomography was performed to evaluate vascular structure. A contrast-enhanced chest computed tomography scan in sagittal plane revealed normal diameter and non-tortuosity ascending aorta (Figure B). The descending aorta was pushed by stomach and duodenum (Figure C). A contrast-enhanced chest computed tomography scan in coronal plane showed the pushed descending aorta (Figure D). A contrast-enhanced chest computed tomography scan in axial plane showed the descending aorta on the left side of vertebra (Figure E). Abdominal aorta travels on the left side of vertebra (Figure F). A successful intervention was done and the patient was discharged from the hospital.

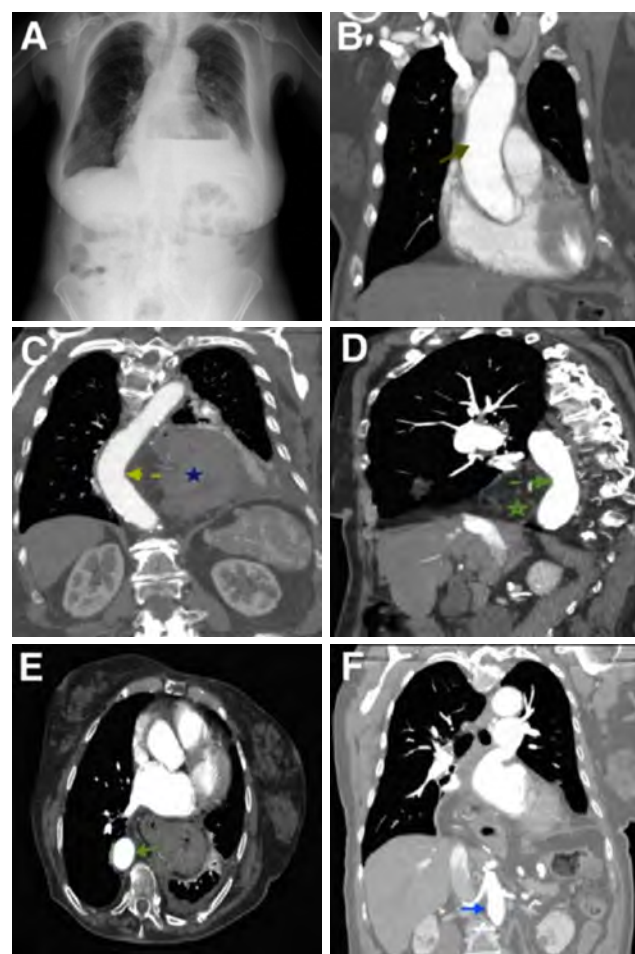


Figure 1. (A) A chest radiography showing hiatal hernia and stomach in thoracic cavity. (B) A contrast-enhanced chest computed tomography scan in sagittal plane showing non-tortuosity ascending aorta. (C) A contrast-enhanced chest computed tomography scan in sagittal plane showing the pushed descending aorta. (D) A contrast-enhanced chest computed tomography scan in coronal plane showing the pushed descending aorta. (E) A contrast-enhanced chest computed tomography scan in axial plane showing the descending aorta on the left side of vertebra. (F) Abdominal aorta travels on the left side of vertebra.

OPS-106

Rare case of both left atrial and ventricular compression by dissecting aortic aneurysm

Onur Argan¹, Dilek Ural², Serdar Bozyel³

¹Department of Cardiology, Izmit State Hospital, Kocaeli

²Department of Cardiology, Koç University Faculty of Medicine, İstanbul

³Department of Cardiology, Kocaeli Derince Training and Research Hospital, Kocaeli

Because of the mass effect, dissecting aortic aneurysm may compress surrounding tissues. However, compression in the heart chambers is rarely reported in the literature. We present a case of hemodynamic collapse due to the left atrium and left ventricular compression by dissecting aortic aneurysm. To the best of our knowledge, this is the first case of compression of both left atrium and left ventricle by dissecting aortic aneurysm.

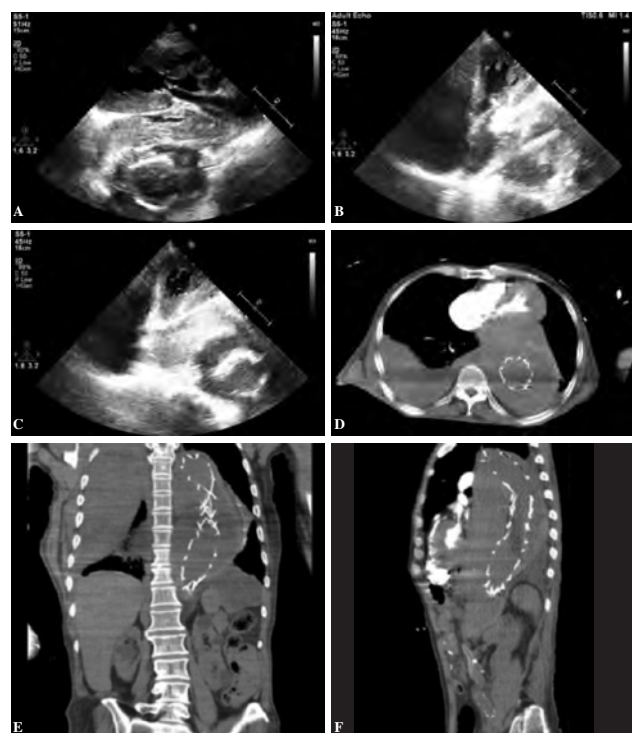


Figure 1. (A) Dissecting aortic aneurysm in long axis view of the echocardiography. (B) Dissecting aortic aneurysm in long axis view of the echocardiography. (C) View of the dissecting aortic aneurysm in four chamber view of the echocardiography. (D) View of the dissecting aortic aneurysm in CT. (E) View of the dissecting aortic aneurysm in CT. (F) View of the dissecting aortic aneurysm in CT.

OPS-107

A rare case of Leiomyosarcoma originating from mitral valve

Zehra Erkal¹, Nermin Bayar¹, Şakir Arslan¹, Göksel Çağrıç¹, Murat Esin¹, Melek Didem Kemaloğlu²

¹Department of Cardiology, Antalya Training and Research Hospital, Antalya

²Department of Cardiology, Antalya Atatürk State Hospital, Antalya

A fifty-seven year old female patient presented to the cardiology clinic with the complaint of shortness of breath during physical activity. Electrocardiography (ECG) showed sinus tachycardia. During her physical examination, an apical 3/6 systolic murmur was detected during cardiac auscultation. Therefore, transthoracic echocardiography (TTE) was performed for the patient. It demonstrated a 5x3.5 cm immobile mass with lobules on the atrial side of posterior mitral leaflet. The mass was tightly attached to the valve and led to a severe mitral stenosis and insufficiency. It was decided to remove the mass through surgery. The preoperative whole-body computed tomography did not demonstrate any metastasis. Mitral mechanical valve replacement and intracardiac mass extirpation were performed for the patient. During the operation, the pulmonary veins were also found to be attached and the tumor was removed from the left pulmonary vein. The histopathological examination of the mass revealed that it was leiomyosarcoma. Adjuvant radiotherapy and chemotherapy were offered to the patient postoperatively but she refused. Postoperative TTE demonstrated a functioning mitral mechanical valve. The patient was discharged for follow-up through polyclinic visits. Primary cardiac tumors are very rare. Meta-analysis show that their incidence is 0.02%. 75% of these tumors are benign. Myxomas are the most common ones. 25% of these primary tumors are malignant. Angiosarcomas are the most common malignant primary cardiac tumors. This is followed by rhabdomyosarcoma, mesothelioma and fibrosarcoma. Leiomyosarcoma, however, is the least common one. Sarcomas may be localized in different parts of the heart. Sarcomas originate from the atrium and pulmonary veins by 74%, ventricles by 14%, mitral valve by 3.7% and epi-pericardium by 7.4%. TTE is important for the diagnosis; however, cardiac MRI is the golden standard to describe the malignant tumors and decide on resectability. The mean survival duration is 6-8 months. Our patient is now under follow-up at postoperative month 6 without any problem. The optimum treatment of cardiac leiomyosarcoma is not known while there are many different treatment options including heart transplantation. Although radical surgical approach seems to be the most appropriate treatment option, complete surgical resection is usually difficult. The role of adjuvant radiotherapy and chemotherapy in this patient group is not fully known. In conclusion, cardiac leiomyosarcomas are rare tumors with poor prognosis. Although there is no consensus on the treatment of leiomyosarcomas, aggressive and complete surgical resection as well as adjuvant therapies seem to be the most appropriate options.

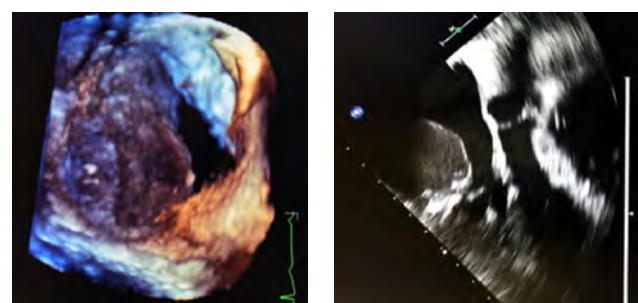


Figure 1. LEOMYOSARKOM 3D.

Figure 2. LEOMYOSARKOM TTE.

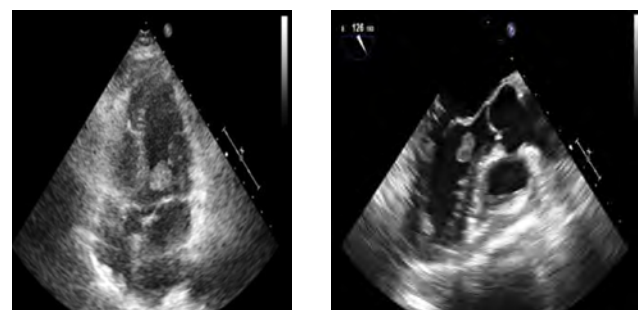
OPS-108

Multipl arteriyel emboli tamı hastada sol ventrikül çıkış yolunda kardiyak kitle

Fuat Polat, Eser Durmaz, Barış İkitimur, Nur Kamer Kaya, Zehra Lale Koldaş

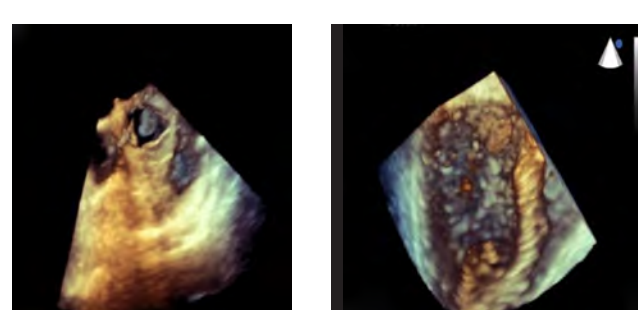
İstanbul Üniversitesi Cerrahpaşa Tip Fakültesi, Kardiyoloji Anabilim Dalı, İstanbul

Tromboemboller birden fazla arteride görüldüğünde kardiyak kökenli olabileceği düşünülmelidir. Kriptojenik iskemik imide olduğu gibi bu hastaların tanısi için ekokardiyografik inceleme önemli basamaklardandır. Hodgkin lenfoma tanılı 67 yaşında kadın hasta kann ağrısı şikayetileyen İstanbul Üniversitesi Cerrahpaşa Tip Fakültesi Acil birimine başvurmuş, yapılan takipler sonucunda akut mezenterik emboli saptanmış ve aynı gün kolon rezeksyonunu operasyonu yapılmış. Postoperatif takibinde ani konusma bozukluğu saptanan hasta nöroloji konultasının önerisi ile yapılan difüzyon MR'da sol tarafı Presantal Girusta fokal iskemik alanlar izlenmiş ve akut iskemik cerebrovasküler imme tanısı konulmuş. Takiplerde yükselen ateş ve akut faz reaktanlarında artış izlenen hastadan enfeksiyon hastalıklarına danışlıklar atesli dönemde oniki saat ara ile alinan 2 ayrı kan kültüründen gram negatif çomak türümesi saptanmış ve ücflu(daptomisin, ampicilin, imipenem) antibiyoterapi başlanmıştır. Hasta enfeksiyon kaynağı ve kardiyak tromboembolinin dışlanması açısından tarafımıza dânilıdır. Bunun üzerine hasta yapılan transtorasik ekokardiyografide sol ventrikül çıkış yolunda geniş saph 16x16 mm boyutundaki kitle imajı izlenmiştir. Hastaya daha sonra yapılan transözefajial ekokardiyografide mevcut bulgular doğrulandı ve kitle imajının sistol sırasında sol ventrikül çıkış yoluna doğru yöneldiği gösterilmiştir. Kitlenin cerrahi rezeksyonu için hasta Kalp ve Damar Cerrahisi'ne konsült edildi. Operasyon kararı alınan hasta hazırlıklar sırasında ani gelişen sok bulguları sonrasında entübe edildi ve aynı gün exitus oldu.

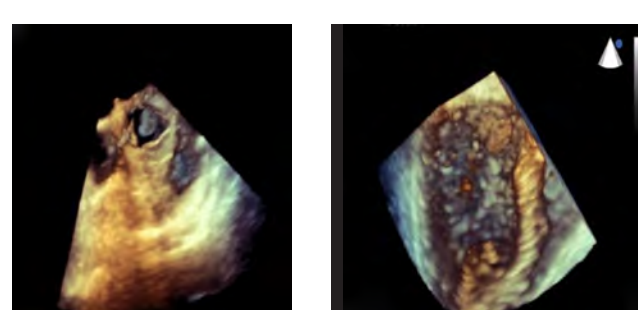


Şekil 1. Transtorasik ekokardiyografie apikal dört boşluk görüntüde sol ventrikül çıkış yoluna uzanan kitle imajı.

Şekil 2. Transözefajial ekokardiyografie uzun aksda sistol sırasında sol ventrikül çıkış yoluna yönelik saph kitle imajı.



Şekil 3. Üç boyutlu transözefajial ekokardiyografie aort kapak üstünden bakışta sol ventrikül çıkış yolunda kalın saph kitle imajı.



Şekil 4. Üç boyutlu transözefajial ekokardiyografie uzun aksda sol ventrikül çıkış yolunda kalın saph kitle imajı.

OPS-109

Aortic dissection presenting as paraplegia complicated with pulmonary embolismNuri Köse¹, Tamer Kirat¹, Gökhan Ergün², Fatih Akın², İbrahim Altun²¹Department of Cardiology, Private Yücelen Hospital, Muğla²Department of Cardiology, Muğla Sıtkı Koçman University Faculty of Medicine Hospital, Muğla

Introduction: We present a case of an 81-year-old male patient, developing paraplegia related to spinal cord ischemia due to acute type I aortic dissection, in the chronic phase, complicated with deep vein thrombosis and pulmonary embolism.

Case: An 81-year-old male patient admitted with complaints of shortness of breath, weakness and inactivity in the legs, inability to stand and walk. De Bakey type I aortic dissection that started from the ascending aorta to the descending aorta was detected in the thoracic spine magnetic resonance imaging (Figure 1A and B). The sinus tachycardia (127/min), ST103T pattern, V1-3 T wave negativity and V4-6 ST segment depression were observed in electrocardiography (Figure 2). In posteroanterior chest radiography, both hila and mediastinal was found to be wide, oligemic areas in the middle zone of the right lung, thoracic aortic aneurysm and cardiothoracic index were found to be increased (Figure 3A). In transthoracic echocardiography, right heart dilatation, flattening of the interventricular septum and hypokinesia in the free wall of the right ventricular was observed. Pulmonary artery pressure was measured as 50 mmHg in the patient with moderate tricuspid valve insufficiency (Figure 3B). The diameter of ascending aorta was observed as 5.8 cm, and dissection flap that started from the descending aorta lying abdominal aorta was seen (Figure 3C). Thrombus that was in distal part of the left superficial femoral vein and in popliteal vein in subacute period was observed in lower extremity venous Doppler ultrasound. Medical follow-up was decided for aortic dissection and pulmonary embolism. Physical therapy rehabilitation program was started after fifteen days of hospital admission; a total of 30 physical therapy sessions was applied to the patient. He began to walk with only a cane 2 months later, and normally walked six months later. The physical examination findings were normal after sixth month and there was no neurological sequela. The diameter of ascending aorta was observed as 6.0 cm, and chronic type I dissection with aneurysm that started from the ascending aorta lying abdominal aorta was seen in thoracic CT for control purpose two years later (Figure 3D). In the fourth year of follow-up, ascending aortic diameter was 6.2 cm in trans thoracic echocardiography and event-free survival continued.

Conclusion: Aortic dissection should be also considered in patients with paraplegia in the etiology. On the other hand, it should be taken into consideration that the risk of venous thromboembolism significantly increases in patients with paraplegia.

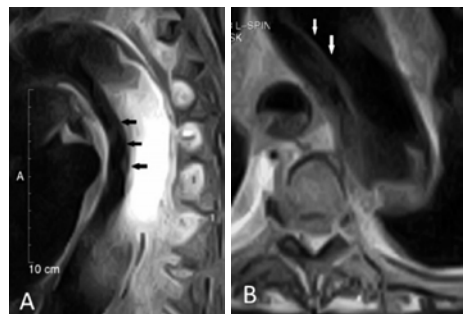


Figure 1. Dissecting flap was observed in the aortic arch and descending aorta in axial (1A) and sagittal (1B) FSE T2 sequences (arrows).

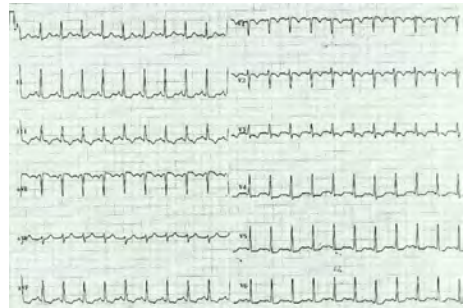


Figure 2. 12-lead electrocardiogram during admission.

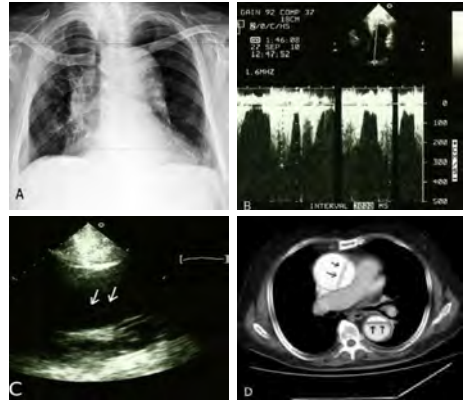
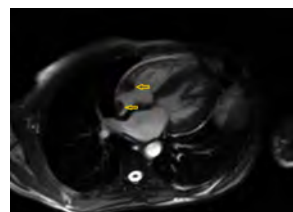


Figure 3. A. Cardiomegaly and broad view in mediastinum were monitored on posteroanterior chest radiograph. B. Transthoracic echocardiography revealed right heart dilatation and moderate pulmonary artery hypertension (50 mmHg). C. 5.8 mm diameter of the ascending aorta with aneurysm view in the parasternal long-axis and dissection flap were observed in transthoracic echocardiography (arrows). D. Flap of chronic type I dissection in both ascending and descending aorta and true and false lumen images were observed in the thoracic computed tomography (arrows).

OPS-110

Kitle imajı gösteren fokal amiloid depozitleriDamla Koca¹, Eser Durmaz¹, Emre Özmen¹, Alper Yasar², Selim Bakan¹, Barış İktimur¹¹Istanbul Üniversitesi Cerrahpaşa Tip Fakültesi, Kardiyoloji Anabilim Dalı, İstanbul²Istanbul Üniversitesi Cerrahpaşa Tip Fakültesi, İç Hastalıkları Anabilim Dalı, İstanbul³Istanbul Üniversitesi Cerrahpaşa Tip Fakültesi, Radyoloji Anabilim Dalı, İstanbul

Kardiyak amiloidoz hem primer amiloidoz hem de sekonder amiloidozda görülmektedir. Amiloidozun coğuluklu miyokardda diffuz tutulumu restrikif kardiyomyopatiye neden olmaktadır. Biz burada intrakardiyak trombüs olarak değerlendirilmiş fokal amiloid depozitler olan bir hastaya sunuyoruz. Kırk sekiz yaşında kadın hasta nefes darlığıyla başvurduğu daş merkezde yapılan ekokardiyografide restrikif kardiyomyopati saptanmasının üzerine kardiyak MR incelemesi yapılmış. Hastanın kardiyak MR sonucunda sol ventrikülde amiloidoz tutulumu ile uyumu bulgular ve her iki atriyumda trombus olabileceği düşünülen lezyonlar saptanmıştır. Bunun üzerine yapılan transözafageal ekokardiyografide her iki atriyumda çok sayıda hiperekojen lezyonlar izlenmiştir. Hastaya yapılan yoğun doku biyopsisi dentranstiretin amiloidoz infiltrasyonu saptanmıştır. Kardiyak amiloidozun hatalı katlanmasının beta zincirlerini olan amiloid isimli proteinlerin miyositerde birleşmesiyle oluşan bir hastaluktur. Miyokard tutulumu primer ve sekonder amiloidozda görülmüşe rağmen primer amiloidozda daha sık gözlemlenmektedir. Amiloidozun ailesel formu ise transthyretin isimli bir proteinin anomalí diretiyimle oluşan ve otosomal dominant kalıtım bir hastaluktur. Anormal ritimler; özellikle atriyal fibrilasyon, amiloidoziste çok sık gözlenmektedir. Coğuluklu diffuz tutulum yapmakla birlikte nadiren fokal tutulum yaparak kitle imajı gösterebilir.



Şekil 1. Dört boşluk kardiyak MR görüntülerinde çok sayıda kitle imajı izlenmiştir.



Şekil 2. Bikaval tıç boyutlu ekokardiyografi görüntülerinde çok sayıda kitle imajı izlendi.



Şekil 3. Bikaval tıç boyutlu ekokardiyografi görüntülerinde çok sayıda kitle imajı izlendi.

OPS-111

Pemfigus vulgarisli bir hastada subakut bakteriyel endokardit

Cansu Ebren, Eser Durmaz, Hasan Tokdil, Bilgehan Karadağ

Istanbul Üniversitesi Cerrahpaşa Tip Fakültesi, Kardiyoloji Anabilim Dalı, İstanbul

Subakut bakteriyel endokardit klinik olarak yavaş ve sessiz seyirli bir hastalık olması nedeniyle özellikle kronik bir hastalığı olan kişilerde geç tanı alabilir. Biz bu vakamızda pemfigus vulgaris tanısıyla takip edilen 63 yaşında erkek hastada ileri derecede mitral yetersizligé neden olan ve ayrıca mitral kord rüptürü saptanan mitral kapak subakut bakteriyel endokarditini sunduk.



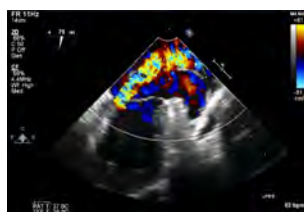
Şekil 1. Janeway lezyonu.



Şekil 2. Transözafageal ekokardiyografi



Şekil 3. Üç boyutlu ekokardiyografide vejetasyon görünümlü.



Şekil 4. İleri mitral yetersizliği.



Şekil 5. Ekokardiyografide iki boşluk görünümlü mitral kapak posterior leaflette vejetasyon görünümlü izlendi.

OPS-112

Lökastaz: Pulmoner embolinin nadir bir sebebi

Eser Durmaz¹, Cansu Ebren¹, Emre Özmen¹, Şebnem Durmaz², Zeki Öngen¹

¹Istanbul Üniversitesi Cerrahpaşa Tip Fakültesi, Kardiyoloji Anabilim Dalı, İstanbul

²Istanbul Üniversitesi Cerrahpaşa Tip Fakültesi, Radyoloji Anabilim Dalı, İstanbul

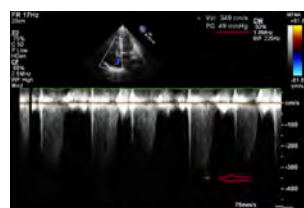
Pulmoner emboli günümüzde acil başvuruların önemli bir kısmını oluşturmaktadır. Akut başlayan nefes darlığı ile başvuran hastalarda mutlaka düşünülmeli gerekten tamlar arasındadır. Pulmoner embolidi neden çokluğlu venöz trombuslu pulmoner artere emboli olmasının yanında nadiren yağ embolis, hava embolis, tümör embolis, septik emboli vb de neden olabilmektedir. Biz burada anı gelişen nefes darlığı ve hipotansiyon ile kliniğimize başvuran AML tamii bir hastada lökostaza sekonder pulmoner emboli vakasını sunduk.



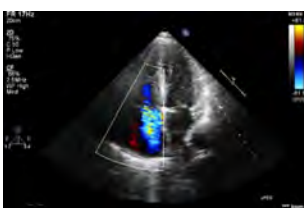
Şekil 1. Sağ akciğer üst loba giden pulmoner arter dallarında emboli lehine dolum defektleri saptandı.



Şekil 2. Sağ akciğer üst loba giden pulmoner arter dallarında emboli lehine dolum defektleri saptandı.



Şekil 3. Pulmoner arter sistolik basıncı.



Şekil 4. İleri triküspit yetersizliği.

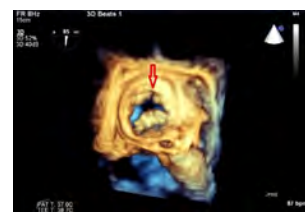
OPS-113

İleri mitral yetersizlikli bir hastada mitral kleftin üç boyutlu transözefagyal ekokardiyografi ile gösterilmesi

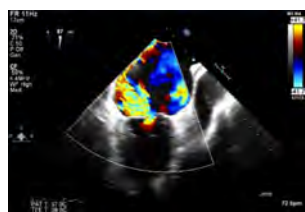
Kardelen Ohtaroğlu, Burçak Kılıçkıran Avcı, Hasan Tokdil, Mehmet Hakan Karpuz

Istanbul Üniversitesi Cerrahpaşa Tip Fakültesi, Kardiyoloji Anabilim Dalı, İstanbul

Mitral kleft mitral yetersizliğinin konjenital nedenlenleri arasındadır. Nadir olarak da edinsel olarak infekatif endokardit ve mitral kapaga yönelik cerrahi girişim sırasında travmayla bağlı gelişebilir. Biz bu olgumuzda akciğer tümörü nedeniyle operasyon planlanan ve nefes darlığı şikayetiyle yapılan preoperatif değerlendirme esnasında yapılan transstorasik ekokardiyografisinde ileri mitral yetersizlik saptandı. Ardından yapılan transözefagyal ekokardiyografisinde mitral kapak posterior leafette P1-P2 skallopları arasında mitral kleft, P2 skallopluda sol atriuma prolapsus ve mitral kord posterior leaflette korda rüptürü izlenmesi üzerine hastaya mitral kapaga yönelik cerrahi girişim önerildi. Mitral kapaga biyoprotein replasmani yapıldı. Operasyon sonrasında yapılan kontrol transstorasik ekokardiyografide transvalvüler mitral yetmezliği saptandı.



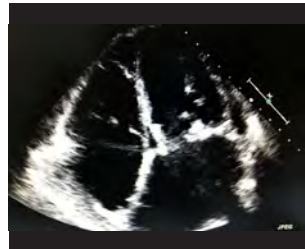
Şekil 1. Üç boyutlu transözefagyal ekokardiyografide mitral kleft görünümlü.



Şekil 2. Egzantrik ileri mitral yetersizliği.



Şekil 3. Transvalvüler hafif mitral yetersizliği.



Şekil 4. Protez mitral kapak ve Spontan ekokontrast görünübü.



Şekil 5. Mitral kapak posterior leaflet korda rüptürü.

OPS-114

Hızlı seyirli, septal anevrizma ile giden kardiyak sarkoidoz olgu

Tügeç Çöllioğlu¹, Tuba Ekin¹, Çetin Alak¹, Hatice Özdamar¹, Hüseyin Dursun¹, Gerçek Can², Dayımı Kaya¹

¹Dokuz Eylül Üniversitesi Tip Fakültesi, Kardiyoloji Anabilim Dalı, İzmir

²Dokuz Eylül Üniversitesi Tip Fakültesi, Romatoloji Anabilim Dalı, İzmir

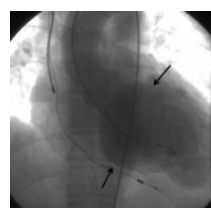
Giriş: Sarkoidoz, tüm doku ve organları tutabilen, nedeni bilinmeyen sistemik granulamatоз bir hastalıktır. Sistemik sarkoidoz tanısı olan hastaların %5'inde klinik olarak kardiyak tutulum gösterebilmesine rağmen otospi serilerinde %25 tutulum gösterilmiştir. Bu olgu sunumunda, sarkoidozun tipik interventrüküler septum tutulumunu olduğu kalp yetmezliği semptomlarıyla başvuran 50 yaşındaki kadın hasta sunuldu.

Olgu: Efor dispnesi (NYHA evre 3) ve halsizlik şikayetleri ile kliniğimize başvuran 50 yaşında kadın hastanın 2009'da total AV blok nedeniyle DDDR pacemaker implantasyonu ve 2012'de kütanoz sarkoidoz tanısı mevcuttu. Tanı aldığı dönemde kardiyak sarkoidoz açısından değerlendirilmiş ancak tutulum tespit edilememiştir. Hastanın başvurusundan yapılan fizik muayenesinde apikal odakta 2-3/6 sistolik üfürüm saptandı. EKG'sinde 75/dı pacemaker ritmi izlendi. Transtorasik ekokardiyografisi (TTE)'nde; LVEF: %25, sol ventrikül septum mid-bazal ince, anevrizmatik ve ciddi fonksiyonel mitral yetmezliği (MY) (Şekil 1) olan hastanın koroner anjiyografisinde normal koroner arterler, ventrikülografisinde ise septum bazalinde anevrizma izlendi (Şekil 2). Hastaya bu bulgular ile kardiyak sarkoidoz tanısı konuldu. Hastanın aktivitesine yönelik yapılan PET-BT'de kardiyak difiz artmış FDG-18 tutulumu izlenmesi nedeniyle sarkoidozun aktif dönemde olduğu düşününtilerek prednizonol 40 mg ile eş zamanlı azotropin 50 mg başlangıç ancak karaciğer fonksiyonel yıklımı olduğundan azotoprin kesildi. TNF-alfa inhibitörü başlaması planlandı. Hastanın fonksiyonel kapasitesinin bozulmasına kalkıcı kalp pişminin katıldığı düşününtilerek CRT up-grade edildi. Kontrolünde NYHA evre 2'e geriledi. TTE'da mitral yetmezliği hafif derecede gerilediği görüldü.

Sonuç: Kardiyak tutulum sarkoidozda nadir görülen ancak hızlı seyirli olan klinik bir durumdır. Olgumuzda olduğu gibi en sık tutulum yeri sol ventrikül serbest duvarı, ikinci sıklıkla ise interventrüküler septumdur. Sarkoidoz tanısı alan olgular kardiyak tutulum açısından mutlaka incelenmelii, olgumuzda görüldüğü üzere kardiyak tutulum tespit edilmese de düzenli takip edilmelidirler. Tedaviyi başlangıcı ve takibini PET-CT kullanılmaktadır. Tedavide prednizon yanına; prednizonun adı dozda verilmesini ve yan etkisini azaltacak çeşitli immunolojik tedaviler mevcuttur.



Şekil 1. Transtorasik ekokardiyografide septal anevrizma ve inceleme gösterilmiştir.



Şekil 2. Sol ventrikülografide basal septumdaki anevrizmatik alanlar gösterilmiştir.

OPS-115**İskemik inmede nadir bir sebep: Mitral kapakta lambl's excrescence**

Serkan Dilmen¹, Nurgül Keser¹, Mehmet Uzun¹, Ahmet Turan Yılmaz², Dilaver Demirel¹, Burhan Biçakçı¹, Zafer Işılak¹, Ömer Kozañ¹

¹Sultan Abdülhamid Han Eğitim ve Araştırma Hastanesi, Kardiyoloji Kliniği, İstanbul

²Sultan Abdülhamid Han Eğitim ve Araştırma Hastanesi, Patoloji Kliniği, İstanbul

Yirmi yıldır HT ve daha önce iki kez iskemik inme öyküsü olan 57 yaşında erkek hasta bulantı, kusma, baş dönmesi, dengesizlik şikayetleriyle başvurduğu acil servisinde subakut occipital ve se-rebellar infarkt saptanması üzerine nöroloji klinigine yatırılmıştır. Yapılan rutin laboratuvar test sonuçları, akciğer filmi, elektrokardiografi ve karotis doppler ultrasoni normal bulunmuştur. Transtorasik ekokardiyografide EF normal, orta derecede MY, hafif derecede AY ve TY saptanmıştır. Transsefageal ekokardiyografi (TEE) değerlendirildiğinde ek olarak mitral kapak üzerinde şüpheli fibriller imaj saptanmıştır. Klinik laboratuvar olarak infektif endokardit dışlanan hasta'da ayrıca tek damar hastlığı saptanmış ve yapılan cerrahi işlemde mitral kapaktaki lezyondan yapılan biyopsi sonucu, Lambl's Excrescence ile uymuş fibrozis+hyalinizasyon olarak gelmiştir.

Sonuç: Iskemik inme öyküsü olan hastalarda, her ne kadar aort kapakta daha sık görülsede de, mitral kapakta da Lambl's Excrescence olabilecegi unutulmamali ve iskemik inmeli hastaların TEE değerlendirmesinde ayrıca tanda bu patolojinin de olabileceği hatırlanmalıdır.



Şekil 1. Mitral kapak anterior leaflerin üzerinde yer alan Lambl's Excrescence'in 3 boyutlu TEE görüntüsü.

OPS-116**Cardiac thrombus in autoimmune polyglandular syndrome, IgG subclasses and factor 10 deficiencies**

Burcu Uğurlu İlgin¹, Hülya Kamış Çiçekçioglu¹, Emrullah Kızıltunc¹, Hava Tuğba Gürsel¹, Mehmet Koray Gürsel¹

¹Department of 1st Cardiology, Ankara Numune Training and Research Hospital, Ankara

²Department of 2nd Cardiology, Ankara Numune Training and Research Hospital, Ankara

Introduction: The differential diagnosis of intracardiac masses can sometimes be difficult and complicated. The precise diagnosis is important since it will change the treatment modality. Here we present a case of a patient with intracardiac mass who had immunocompression and prothrombotic state.

Case Report: A 46-year-old woman with a history of autoimmune polyglandular syndrome type 2, IgG subclasses deficiency and mild factor 10 deficiency was presented with fever and dizziness. Almost 5 years, every week intravenous gamma-globulin treatment was applied through a port catheter. Her temperature was >38.5 degrees celsius and she had neutropenia at admission. Blood and port catheter cultures were taken from the patient, empiric antibiotic treatment was started and she was referred to echocardiographic examination for the etiologic evaluation. Transthoracic echocardiography revealed an intracardiac mass in the right atrium. Transeosophageal echocardiography was performed after removal of the port catheter. A 1.5x1.2 cm mass was found in the transesophageal echocardiography, adherent to the wall of the right atrium between superior vena cava and inferior vena cava (Figure 1 A and B). The mass was suitable with thrombus but as the patient had fever and immunocompression a PET CT imaging was performed to differentiate a possible endocarditis. After PET imaging, the mass was reported as thrombus. The patient was anticoagulated with warfarine. After three months, transesophageal echocardiography revealed no mass or thrombus in the heart cavities (Figure 1 C).

Discussion: The differential diagnosis of intracardiac masses is important because the approach may vary according to underlying cause. Thrombus, vegetation or neoplastic involvement are the possible causes of intracardiac masses all have different treatment options. Cardiac imaging has a crucial role for the differential diagnosis. In our case PET CT imaging ruled out the infection or neoplastic involvement. Our report is a good example for the usefulness of PET CT imaging in the differential diagnosis of intracardiac masses.

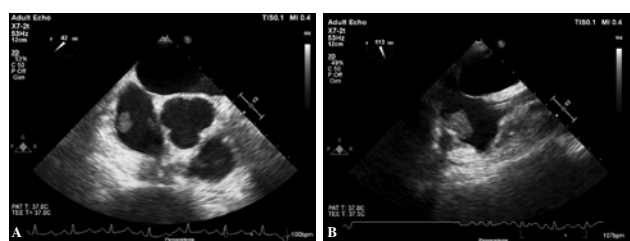


Figure 1.

OPS-117**The hydatid cyst mimicking perikardial cyst**

Muzaffer Kahyaoglu, Çetin Geçmen, Ender Özgün Çakmak, Arzu Kalayci, Özkan Candan, Canan Elif Yıldız, İbrahim Akın İzgi

Department of Cardiology, Kartal Koşuyolu Yüksek İhtiyaç Training and Research Hospital, İstanbul

A 27 year old female patient presented to our clinic because of atypical chest pain. Her past medical history was unremarkable for any chronic illness. Vital signs were heart rate, 85 bpm; blood pressure, 125/70 mmHg and oxygen saturation 98%, respectively. Physical examination was unremarkable. Electrocardiography showed normal sinus rhythm without any ST segment and T wave abnormalities. Her blood work including electrolytes, complete blood count, hepatic panel and troponin level were with in normal limits. Transthoracic echocardiography revealed third chamber besides of left and right ventricle in the parasternal short-axis view (Figure 1A). Modified substernal view showed two cysts in the liver (Figure 1B). A contrast-enhanced chest computed tomography scan in axial plane showed two cysts in the liver and there was no pericardial involvement (Figure 1C, 1D). The patient was referred to the general surgery and operated the diagnosis of hydatid cyst.

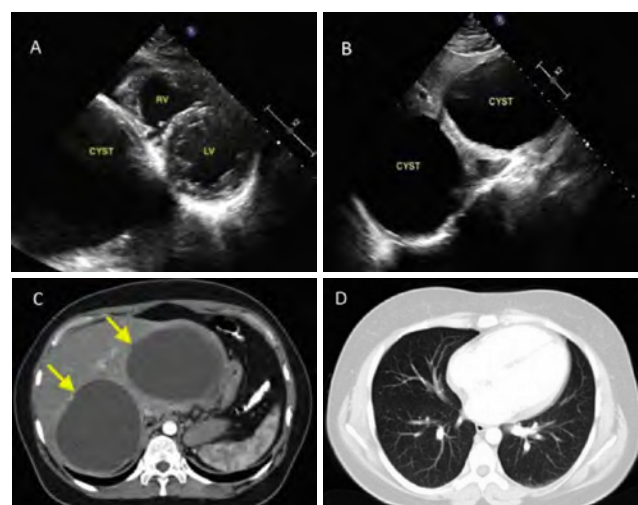


Figure 1. (A) Transthoracic echocardiography showed third chamber besides of left and right ventricle. (B) Modified substernal view showed two cysts in the liver. (C) A contrast-enhanced chest computed tomography scan showed two cysts in the liver. (D) A contrast-enhanced chest computed tomography scan showed there was no pericardial involvement.

OPS-119**Coexisting cardiac diseases at older age**

Özgen Safak

Department of Cardiology, Burdur State Hospital, Burdur

Introduction: Mitral regurgitation (MR), Atrial septal defect (ASD), Ascending aortic aneurysm, Pulmonary hypertension (PH), all of them can be mortal for a patient and must be evaluated and treated successfully. But our patient had all in a heart.

Case: 82 year old patient admitted to our emergency with dyspnea. After first aid treatment echocardiography was performed. Echocardiography revealed severe mitral regurgitation, 67 mm ascending aortic aneurysm, 13 mm ASD, PH with 75 mmHg estimated SPAP. Due to older age patient and her relatives do not except any surgical procedure.

Discussion: Older ages are risk factors for all surgical procedures. So conservative treatments are preferred usually. For cardiovascular area, new percutaneous treatment strategies were developed especially for valvular diseases for these high risk patients. These diseases become symptomatic mostly before our patients decade. It is interesting that our patient have mild symptoms although having severe cardiological disorders. So it is important to evaluate patients carefully although they had mild symptoms.



Figure 1. Ascending aortic aneurysm.



Figure 2. ASD.



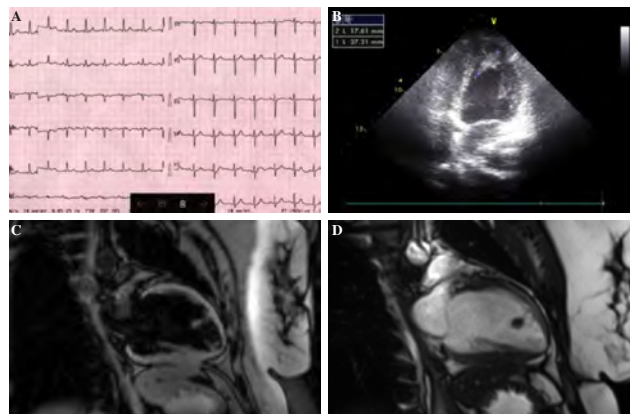
Figure 3. PHT.

OPS-121**Sol ventrikül miksomasına bağlı iskemik inme olgusu**

Müslüm Fırat İkikardeş, Rabia Eker Akıllı, Emre Çağlıyan

Çukurova Üniversitesi Tıp Fakültesi, Kardiyoloji Anabilim Dalı, Adana

Miksomalar en sık görülen primer kardiyak timömlerdir. Lokalisasyon olarak sol ventrikül kökenli olanlar ise daha nadir görülmektedir ve çoğunlukla embolizasyon ya da sol ventrikül çıkış yolu obstrüksiyonuna bağlı klinik bulgu vermektedir. 26 yaşında kadın hasta sol tarafta kuvvet kaybı ve konuşma bozukluğu ile nöroloji kliniğine başvurmuştur. Geçici iskemik atak tanısı alan hasta kardiyak etiyoji açısından klinikimize konsulte edildi. Hastanın fizik incelemesinde kan basinci 122/73 mmHg, kalp hızı 99 atım/dakika olarak ölçüldü. Kardiyak muayenesi doğaldı. Elektrokardiyografide sınırlı takardis dışında patoloji görülmemişti (Şekil A). Transtorasik ekokardiyografisinde sol ventrikül apikal tutunan hareketi 17x27mm boyutlarında kitle ile uyumlu görünümü saptandı (Şekil B). Kitle morfolojisinin netleşmesi açısından çekilen manyetik rezonans görüntülemesinde sol ventrikül içerisinde 11x13mm boyutlarında T1, T2 ağırlıklı görüntülerde ve intravenöz kontrast madde uygulanmadan sonra miyokart ile izointens olarak izlenen kitle öncelikle kardiyak miksoma lehine yorumlandı (Şekil C,D). Diğer iskemik inme nedenleri dışlanan ve kardiyak kitle eksizyonu önerilen hasta işlemi kabul etmedi. Takibinde genel durumu stabil olan hasta için tıbbi izlem kararı alındı.



Şekil 1. (A) Elektrokardiyografi. (B) Transtorasik ekokardiyografi. (C, D) Kardiyak manyetik rezonans görüntüleme.

OPS-123**A giant pericardial cyst as a rare cause of shortness of breath**

Umut Kocabas

Department of Cardiology, Edremit State Hospital, Balikesir, Türkiye

A 51-year-old man presented to our outpatient clinic with symptoms of atypical chest pain and shortness of breath. His medical history, physical examination and electrocardiography were unremarkable. Transthoracic echocardiography revealed normal valvular functions, normal-sized cardiac chambers, left ventricular ejection fraction was calculated to be 67% with modified Simpson's method. Two-dimensional transthoracic echocardiography subcostal view showed an echo-free space next to the right atrium at the right cardiophrenic angle (Figure 1). Magnetic resonance imaging revealed an oval mass in the right cardiophrenic angle measuring $8.2 \times 5.1 \times 6.4$ cm with low intensity on T1-weighted images and homogeneous high intensity on T2-weighted images without contrast enhancement consistent with pericardial cyst (Figures 2a-d). The patient referred to cardiothoracic surgery. After a right-sided thoracotomy, the pericardial cyst was seen on the right side of the pericardium measuring $10 \times 6 \times 8$ cm (Figure 3). Needle aspiration revealed serous fluid and the pericardial cyst was totally excised without any complications. Histopathologic evaluation of surgical specimen confirmed the diagnosis of a pericardial cyst. The patient was discharged from hospital 8 days after surgery. At his one month follow-up visit, he was totally asymptomatic and echocardiographic examination was normal. Pericardial cysts are uncommon benign congenital anomalies with a prevalence of 1:100,000. Intensive follow-up program is recommended for asymptomatic patients. In patients with large size, symptomatic and/or complicated cysts or suspected malignancy can be resected.



Figure 1. Two-dimensional transthoracic echocardiography subcostal view showing an echo-free space next to the right atrium at the right cardiophrenic angle (RA: right atrium).

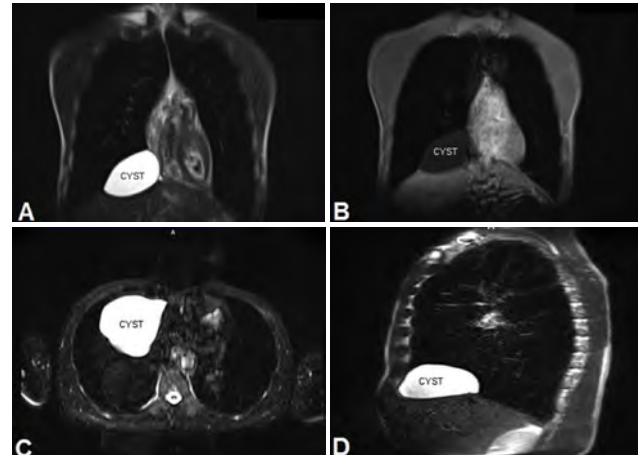
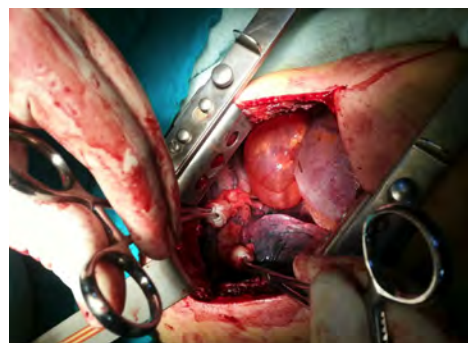
Figure 2. (A-D) Magnetic resonance imaging showing an oval mass in the right cardiophrenic angle measuring $8.2 \times 5.1 \times 6.4$ cm with low intensity on T1-weighted images and homogeneous high intensity on T2-weighted images without contrast enhancement consistent with pericardial cyst.

Figure 2. Intraoperative image showing the pericardial cyst was seen on the right side of the pericardium.

OPS-125**İnsidental olarak saptanan psödoanevrizma görünümlü dev asendan aorta anevrizması EKO ve BT bulguları**

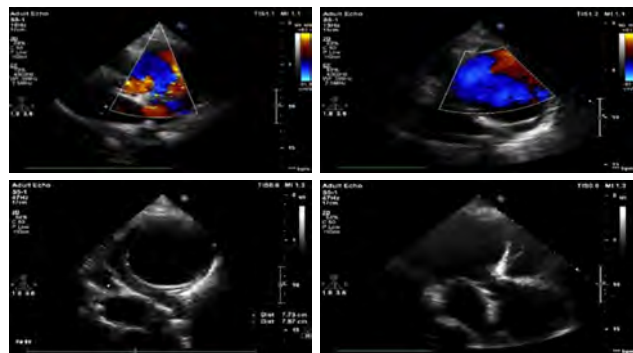
İlkın Gulyiyev, Haluk Furkan Şahan, Hüdaverdi Hocamgulyiyev, Sadık Açıkel, Murat Tulmacı

S.B. Dışkapı Yıldırım Beyazıt Eğitim ve Araştırma Hastanesi, Kardiyoloji Kliniği, Ankara

Giriş: Herhangi bir arteriel sisteme damarında %50 'den fazla genişleme anevrizma olarak tanımlanmaktadır. Aort anevrizmaları sık abdominal aorta izlenmektedir, ancak klinik seyrinden dolayı torakal aorta anevrizmaları ayrı önem taşımaktadır. Bu yüzden erken tanı ve zamanında tedavi çok önemlidir. Dev boyutlarında asendan aorta anevrizması genitürmiz non-invasiv tekniklerin gelismesinden dolayı nadir görülmektedir. Bu vaka bildirimizde incidental saptanan dev asendan aortası olan hastannın 2D EKO ve Bilgisayarlı Tomografî (BT) görüntülerinden bahsedilecektir.

Oluş: Bilinen daha önce operasyon öyküsü olmayan 81 yaş kadın 1 aydır olan dispne şikayeti ile klinikimize başvurdu. Fizik muayenesinde anlamlı patoloji saptanmadı hastanın yapılan 2D EKO'da: proksimal asendan aortada 79x72 mm boyutlarında, içinde renkli dopplerle yin-yang (mavi-kırmızı) paterni benzeri akım (Fig.1a-b) izlenmesi üzerine psödoanevrizma düşünlerek acil BT Anjiografi planlandı. Çekilen BT Anjiografide asendan aorta 85 mm ölçüldü ve diseksyon veya pseudoanevrizma lehine bulgu saptanmadı (Fig.2a-b). Hasta cerrahiye konulte edildi

Sonuç: Asendan aorta psödoanevrizması nadir görülen, прогноз kötü bir komplikasyondur. Biziim vakamızda 2D EKO'de dev asendan aorta anevrizmamızın psödoanevrizma benzeri renkli dolus ile prezente olabileceğii izlendi. Asendan aorta anevrizmasının tansısında 2D EKO görüntülemenin önemi büyük olsa da tanyı doğrulamak için yüksek çözünürlükli BT Anjiografî en önemli görüntüleme aracıdır. Diğer tercih edilebilecek görüntüleme araçları arasında Transözofajiyal eko-kardiyoografi, Aortografi, MRI, Pozitron emisyon tomografî yapılabılır.



Şekil 1. 2D EKO.



Şekil 2. BT Anjiografi asendan aorta.

OPS-126**An unusual complication of mechanical valve thrombosis treated with thrombolytic treatment**

Volkan Kozağaç, Gökhane Sönmez, Çiğdem Koca Tari³

¹Department of Cardiology, T.C. S.B. Denizli Serviç Gazi State Hospital, Denizli

²Department of Cardiology, Pamukkale University Faculty of Medicine, Denizli

³Department of Cardiology, T.C. S.B. Ankara Ülcs State Hospital, Ankara

40 y old female admitted to emergency department with acute chest and back pain in addition to dyspnea. In medical history the patient reported an aortic valve replacement in 2012 secondary to rheumatic aortic stenosis however she described an inappropriate warfarin use and discontinuation for several days (INR:1.12). On physical examination, vital signs indicated hypotension and tachycardia. ECG showed ST segment elevation in V1 and V2 and inferolateral ST segment depression. An emergency CT angiography was performed and no pathology was detected in terms of acute aortic syndromes including dissection. During follow up, her respiratory distress increased and she was intubated due to progressive desaturation and after a brief period of CPR transthoracic echocardiography was performed. TTE showed that obstructive mechanical valve thrombosis and increased aortic valve gradient (maximum 74 and mean 43 mm-Hg). Thrombolytic treatment was planned for the patient. After a successful thrombolysis with 100 mg tPA patients symptoms were quickly resolved and she was extubated about 3 hours after the intubation. Diagnostic coronary

angiography performed after thrombolysis showed intact coronary vessels. Additionally, aortic valve gradient was maximum 35 and mean 23 mm Hg in control evaluation. After all, the patient was discharged after warfarin dose regulation with optimal antiplatelet treatment. One day after discharge, patient readmitted to the emergency department with positional chest and back pain, nausea and dysphagia. ECG showed no new abnormality. Transthoracic echocardiography was performed again. While aortic valve gradient was similar with previous discharge values, there was new oval-shaped echo-dense lesion with sharp borders adjacent to the left atrium. Lesion size in 2D echocardiography was 38 x 40 millimeters, compressing the left atrium, trachea and both main bronchus, located in posterior mediastinum and connected with esophagus. MRI confirmed the compressing lesion without contrast enhancement and connection with mediastinal hematoma. Surgical treatment was not considered primarily because the patient was hemodynamically stable and there was no decrease detected in hemoglobin values during follow-up. Therefore, the patient was treated conservatively. After serial echocardiographic examinations we observed that coagulated hematoma reduced in size and clinical improvement was confirmed. In conclusion, we aim to present a rare complication after thrombolytic treatment. Mediastinal hematomas are usually caused by cardiac and great vessel rupture, thoracic trauma or iatrogenic (invasive procedures, surgery etc.). In our case we think that hematoma formation was caused by CPR or forceful endotracheal intubation complicated with thrombolytic treatment.

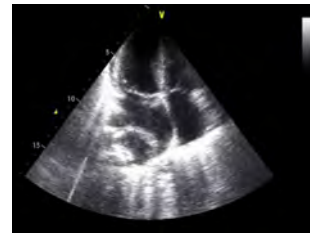


Figure 1. Hematoma in early stage.

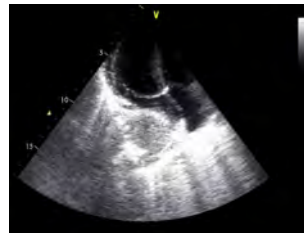


Figure 2. Coagulated hematoma.

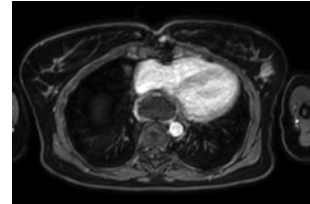


Figure 3. Mediastinal hematoma in MRI.

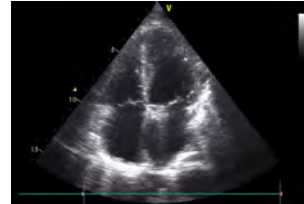


Figure 4. Control evaluation (Six Months Later).

OPS-127**Polycystic kidney disease diagnosed by an aortic dissection**

Muzaffer Kahyaoğlu, Çetin Geçmen, Ender Özgür Çakmak, Mehmet Altuğ Tunç

Department of Cardiology, Kartal Koygulu Yüksek İhtisas Training and Research Hospital, İstanbul

A 32 year-old previously healthy male patient was admitted our emergency department with sudden onset of a sharp-like precordial chest pain. His vital signs were as follows: blood pressure, 180/100 mmHg; pulse rate, 104 bpm; respiratory rate, 18 breaths/minute; and body temperature, 36.6°C. Physical examination revealed a weak femoral pulsation on the left side. An electrocardiography showed nonspecific T-wave changes. The laboratory test was unremarkable except that creatinine level. The creatinine level was slightly increased but his past medical history was unremarkable for any chronic renal disease. A transthoracic echocardiography was performed revealing a dissection flap in the aortic root; regional wall motion and ejection fraction of the left ventricle were normal. Then, the patient underwent a chest and abdominal contrast enhanced computed tomography(CT), which showed a Stanford type A aortic dissection originating from aortic root and extending distally up to the lower extremities[Figure 1A]. And also incidentally, multiple variable-sized cysts in the liver and both kidneys were found[Figure 1B and 1C]. We referred the patient to the cardiovascular surgery department, and he successfully treated by replacing the ascending aorta and hemiarcus with a prosthetic graft. He was directed to the upper center for further investigations on polycystic kidney disease. Polycystic kidney disease (PKD) includes inherited diseases that cause an irreversible decline in kidney function. PKD have renal and extra-renal manifestations, including cardiovascular disorders. In some cases, aortic dissection may be the first presentation of the disease. Herein, we report a case of polycystic kidney disease diagnosed by an aortic dissection.

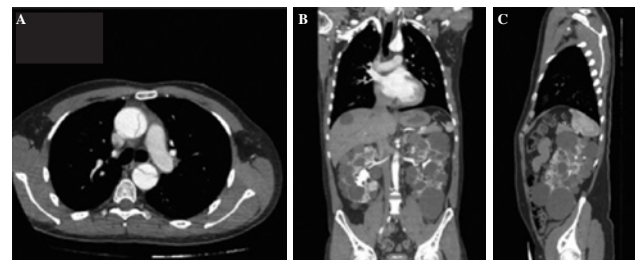


Figure 1. (A) A CT scan shows a Stanford type A aortic dissection in axial plane. Figure 1B and 1C: A CT scan shows multiple variable-sized cysts in the liver and both kidneys in coronal (B) and sagittal (C) plane. CT: Computed tomography.

OPS-128

Libman-sacks endocarditis presenting with the mass on the mitral valve and the chordae

Görkem Kus¹, Nermine Bayar², Zehra Erkal², Selçuk Küçükseymen², Isa Öner Yüksel², Erkan Köklü², Göksel Çağrıci², Murat Esin², Özkan Kayhan², Emre Asiltürk², Rauf Avci², Gamze Yetek Korkmaz², Şakir Arslan²

¹Department of Cardiology, Ağrı State Hospital, Ağrı

²Department of Cardiology, Antalya Training and Research Hospital, Antalya

A 30-year-old woman was admitted to our outpatient clinic due to increased fatigue, fever and abdominal pain for two weeks. In the rheumatology clinic, the patient was under steroid treatment for 6 years with the diagnosis of Systemic Lupus Erythematosus (SLE) and Familial Mediterranean fever (FMF). At the time of admission, hemoglobin was 6.9 g / dl, white blood cell count was $12.7 \times 10^9 / L$, platelet count was $203 \times 10^9 / L$, CRP was 74 mg/L , erythrocyte sedimentation rate was 61 mm/h , Coombs test was positive, Antiphospholipid AB test were negative. Electrocardiography was the normal sinus rhythm. A transthoracic echocardiographic examination of the patient with apical systolic murmur revealed a mass image attached to the mitral valve. Subsequently, two-dimensional and three-dimensional transesophageal echocardiography revealed severe mitral regurgitation (MR) and two masses, one with a size of $0.6 \times 0.7 \text{ cm}$ which attached to the posterior mitral leaflet and the other with a size of $1.1 \times 1.3 \text{ cm}$ attached to the anterior leaflet (Figure 1, Figure 2). Intravenous antibiotic was started after blood culture was taken due to the possibility of infective endocarditis. The desire for steroid treatment for SLE has been increased. There was no change in the size of the mass in the control echocardiography after 10 days. Operation for the mitral valve was recommended because of the risk of embolic complication. Intraoperative evaluation revealed that the mitral valve was thicker at a certain level, and the masses were very hard (Figure 3). Mechanical valve replacement was performed because the valve was unsuitable for repair. Pathological examination revealed nonspecific valvulitis with fibrosis and calcification in the masses. The patient who was diagnosed as Libman-Sacks endocarditis (LSE) was followed up smoothly by INR follow-up. LSE vegetations are most commonly detected on the mitral valve. On the other side, rarely can be found in other covers or subvalvular apparatus. Vegetations are usually small to medium size and located on the atrial side of the mitral valve, or on the vascular side of the aortic valve. It is important that the infective endocarditis (IE) vegetations are homogeneous and mobile and located on the closing lines of the valves, in the distinction of these vegetations from IE vegetations. In contrast, LSE lesions are usually located at the base, middle or tip of the leaflets and are variable in shape and size and heterogeneous in echogenicity. In addition, while there is a significant increase in white blood cell count, sedimentation and CRP in IE case however there is also a significant increase in sedimentation in cases of LSE, but no significant increase in white cell count and CRP are expected. This case was written to emphasize that LSE may interfere with the infective endocarditis and that lesions may also be present in atypical localizations such as the chords.



Figure 1.

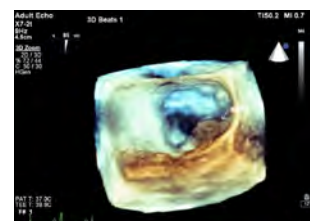


Figure 2.



Figure 3.

OPS-129

Nadir bırvkardiyak kitle: primer kardiyak lenfoma

Evrim Şimşek¹, Benay Özbay¹, Yavuz Selim Kılıç¹, Tanzer Çalkavur², Meral Kayıkçıoğlu¹, Levent Can¹

¹Ege Üniversitesi Tip Fakültesi, Kardiyoloji Anabilim Dalı, İzmir

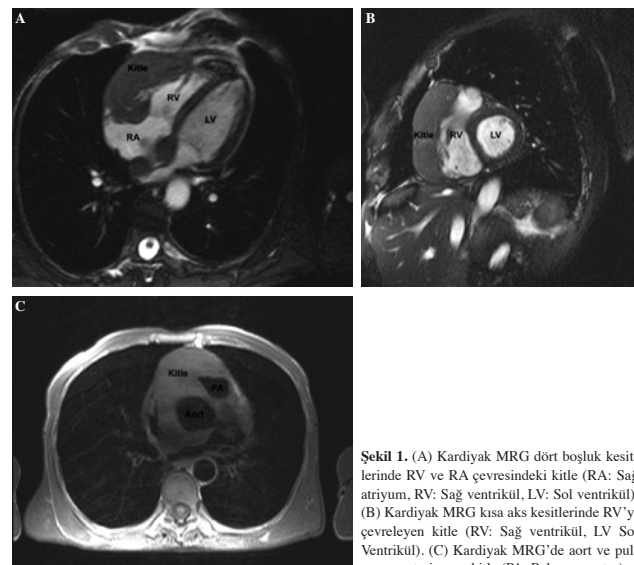
²Ege Üniversitesi Tip Fakültesi, Kalp Damar Cerrahisi Anabilim Dalı, İzmir

Giriş: Kalbin primer tümörleri oldukça nadirdir, tüm kardiyak tümörlerin %5'inden daha azını oluştururlar. Cerrahi tedavi olguların çoğu küratif olup, antemortem patolojik tanı imkânı sağlanır. Primer kardiyak lenfoma ise erken tanı ve kemoterapi ile tedavinin sağlanması nedeniyle bu tümörlerden ayırmaktadır.

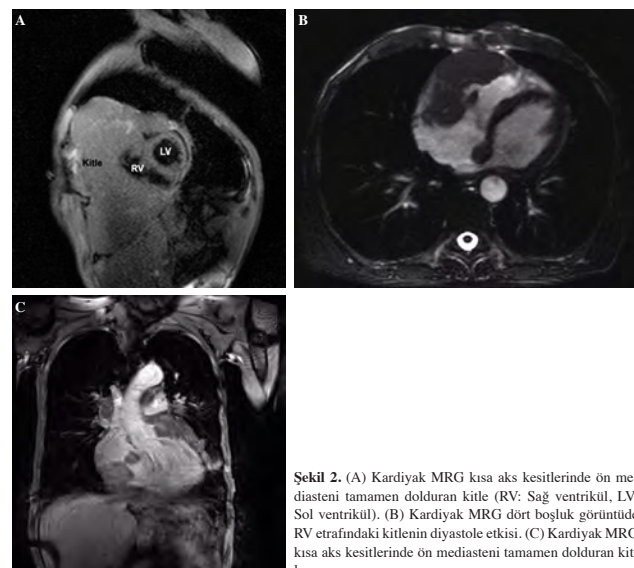
Oluğ: Elli altı yaşında, erkek olgu, karında şıslık yakınıması ile dış merkeze başvurmuş. Çekilen PA/AC grafsında kardiyomegalii izlemesi tizerine klinikimize yönlendirilmiştir. Başvuru amâdına hastanın genel durumu iyi idi ve fizik bakışında patoloji saptanmadı. Ekokardiografi sağ ventrikül (RV) çepercevine saran, diystostolik hafif kışkırtan, miyokardiyal dokudan net ayırt edilemeyen aort ve ana pulmoner arterin etrafına kadar yayılan kitle görüntüsü izlendi. Sol ventrikül (LV) fonksiyonları normal sınırlarda olup minimal perikardiyal effüzyon mevcuttu. Hastanın çekilen kardiyak manyetik rezonans görüntülemesinde (MRG): Sağ perikardiyal boşluk doldurulur, RV ve sağ atriyum (RA) serbest duvar boyunca uzanan, kraniale doğru RV çıkış yolunu, vena kava superior ile RA bileşkesini ve aort kökünü sarmakta olan infiltratif kitle izlendi. (Şekil 1, Video 1) Postkontrast geç dönem vivaryalitelerde ise tümör içerisinde minimal kontrastlamlı görüldü. Eldeki bulgular ışığında hastada malign kardiyak kitle (metastaz, sarkom, lenfoma) ön tanısı ile PET/BT ve kitleden

biyopsi planlandı. PET/BT'de sadece MRG'de tanımlanan alanlarda hipermetabolik tutulum izlendi. Oncelikle juguler endomiyokardiyal biyopsi planlandı ve sonucunda miyokardiyal hipertrofi, subendokardiyal fibrozis saptandı. Hastaya subksifoid açık biyopsi yapılması planlandı ancak hasta reddetti ve kendi isteği ile taburcu oldu. Beş ya sonra hasta genel durum bozukluğu ile tekrar klinik gizme başvurdu. Başvuru amâdına juguler dolgunluk, hepatomegalî, mevcuttu. Ekokardiografi ve kardiyak MRG'de kitlenin boyutlarının arttığı ve anterior mediasteni tamamen doldurduğu, RV ve pulmoner trunkusa bası yaptığı izlendi. (Şekil 2, Video 2) Hastaya biyopsi sonucunda diffüz büyük B hücreli lenfoma tanısı konuldu. Kemoterapi amacıyla hematoloji kliniğine devredilen hasta, kemoterapinin 10. gününden toksik hepatit ve enfeksiyon sonucu öldü.

Tartışma: Kalbin primer tümörlerinin sadece %2'si primer kardiyak lenfomadır. Özellikle hastaların gibi immünkompetan hastalarda da nadir izlenmektedir. Hastalar ya asptomatik ya da kitlenin basısinə bağlı venöz konjesyon bulguları, kardiyak tamponad, vena kava superior sendromu ile başvurabilirler. Kemoterapi ile cerrahi rezeksyon ihtiyacı olmadan tedavinin sağlanabildiği tek primer kardiyak tümör olması açısından önemlidir. Hastalarda kardiyak kitle saptandığında primer kardiyak lenfoma aksa tutulmalıdır, cerrahi planlanmadan önce kardiyak MRG, PET/BT gibi görüntüleme yöntemleri ve ardından mümkünse biyopsi ile doku tanısının koyması şeklinde basamaklı tanışım algoritma uygulanmalıdır.



Şekil 1. (A) Kardiyak MRG dört boşluk kesitlerinde RV ve RA çevresindeki kitle (RA: Sağ atriyum, RV: Sağ ventrikül, LV: Sol ventrikül). (B) Kardiyak MRG kısa aks kesitlerinde RV'yi çevreleyen kitle (RV: Sağ ventrikül, LV: Sol ventrikül). (C) Kardiyak MRG'de aort ve pulmoner arteri saran kitle (PA: Pulmoner arter).



Şekil 2. (A) Kardiyak MRG kısa aks kesitlerinde ön mediasteni tamamen doldurulan kitle (RV: Sağ ventrikül, LV: Sol ventrikül). (B) Kardiyak MRG dört boşluk görüntülide RV etrafındaki kitlenin diystole etkisi. (C) Kardiyak MRG kısa aks kesitlerinde ön mediasteni tamamen doldurulan kitle.

OPS-130

Cift atrial septum + çift ASD = dörtlü sorun!

Serkan Dilmen¹, Nurşûl Keser¹, Mehmet Uzun¹, Murat Uğur¹, İbrahim Dağışan¹, Zafer İslak¹, Ahmet Turan Yılmaz², Ömer Kozañ¹

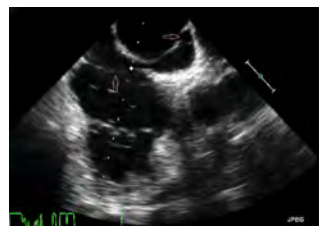
¹Sultan Abdülhamid Han Eğitim ve Araştırma Hastanesi, Kardiyoloji Kliniği, İstanbul

²Sultan Abdülhamid Han Eğitim ve Araştırma Hastanesi, Kalp Damar Cerrahisi Kliniği, İstanbul

On beş yıldır hipertansif 70 yaşındaki bayan hasta, sol hemipleji ve afazi şikayetleri ile acil servise müracaat etmiş, çekilen beyin difüzyon MRI'da, her iki talamus ve sağ putamen üzerinde iskemi

bulguları saptanarak nöroloji kliniğine yatırılmıştır. Yapılan rutin laboratuvar test sonuçları, akiçiger filmi, EKG, alt ekstremité venöz dopler USG, EEG, ritim holteri normal bulunmuştur. TTE'de EF %65, hafif MY, hafif TY (SPAB: 35 mmHg), batriyal dilatasyon, IAS üzerinde renkli doppler ile soldan sağa geçiş ve evre 1 diastolik disfonksiyon saptanmıştır. TEE'de, birincisi ikaval pozisyonunda anevrizmatik septum vs distalinde küçük ASD (Şekil 1), ikincisi vena cava superior ve vena cava inferior hızlarında olan septum ve tizerinden ASD (Şekil 1, 2), iki septum arasında pithi oluşumunu zemin hazırlayan geniş alan (Şekil 1, 2) ve her iki septumda ASD'den renkli doppler ile geçiş izlenmiştir. (Şekil 3,4,5). 3DTEE ve MRI ile bulgumuz doğrulanmıştır (Şekil 6,7). Koroner anjografisi normal, Qp/Qs 2.6 ve sağ karotiste %70 darlık saptanmış hasta, septum anomalisinin yönelik girişimi kabul etmemeyen warfarin sodyum ve klopidogrel tedavisiyle izleme almıştır. Yapılan 3 aylık izlem sırasında hastanın şikayetlerine tekrarlama olmamıştır.

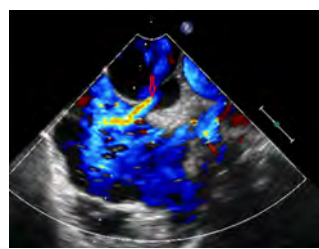
Sonuç: Rekürren TIA geçiren hastalarda, 3DTEE ve kardiak MRI nadir anomalileri saptamada oldukça değerlidir. Bu tip hastalarda çift atrial septum ve çift ASD'nin de olabileceği hatırlanmalıdır.



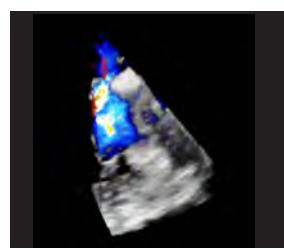
Şekil 1.



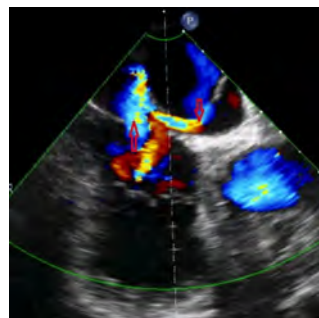
Şekil 2.



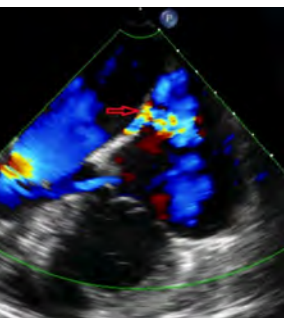
Şekil 3.



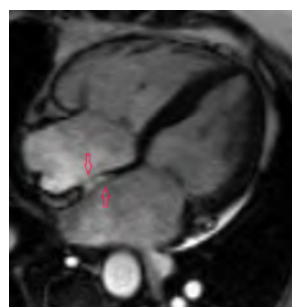
Şekil 4.



Şekil 5.



Şekil 7.



Şekil 6.

OPS-131

Obstruction of left atrium outflow track due to pannus formation: Funnel shaped outflow

Ezgi Polat Ocaklı, Tuğba Kayhan Altuner, Oben Baysan

Department of Cardiology, Ankara Güven Hospital, Ankara

Prosthetic valve obstruction is a condition associated with significant morbidity and mortality. Pannus is a more chronic process associated with ingrowthof tissue, causing obstruction. A 46-year-old woman with a history of mitral valve replacement with bileaflet mechanical prosthesis

[caromedics, No: 25] in 2015, presented with cough, shortness of breath and sweating. Cardiac examination revealed a regular rhythm, distinct murmur, no gallops, no jugular venous distension, and no peripheral edema. Physical examination was unremarkable except for mildly muffled prosthetic valve sounds. On admission to our hospital transthoracic echocardiography (TTE) and two-dimensional transesophageal echocardiography (2D-TEE) showed an increased mechanical mitral valve (MMV) gradients (mean transprosthetic gradient 21 mmHg) and decreased mitral valve area (0.7 cm^2) [Figure 1,2] with normal leaflet motion. Real-time three-dimensional transesophageal echocardiography (RT 3D-TEE) demonstrated a mass, suspected as pannus overgrowth, covering the sewing ring on the atrial surface of mitral valve and narrowing the outflow of MMV like funnel-shaped. The images showed that pannus formation composed another orifice area above the mitral valve (Figure 3,4). The patient taken into the operation room, the prosthetic mitral valve was exposed and extensive pannus tissue were revealed and than the patient underwent redo-mitral valve replacement. A St jude mitral valve (no: 27) was inserted. Valve obstruction is one of the most serious complication associated with prosthetic heart valves (PHV). Although thrombosis of the prosthetic valves remains as the most common mechanism, previous studies have suggested that pannus formation plays an important role in the mechanism of obstruction. Surgery is the only treatment option in patients with PHV obstruction associated with pannus formations.



Figure 1. Pannus formation above the mitral valve leaflets.

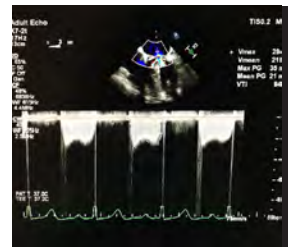


Figure 2. Two-dimensional transesophageal echocardiography (2D-TEE) showed an increased mechanical mitral valve gradients.

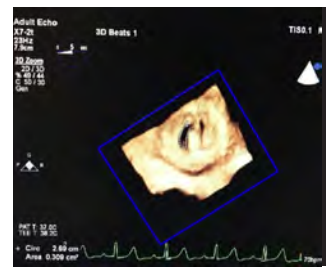


Figure 3. Real-time three-dimensional transesophageal echocardiography (RT 3D-TEE) images showed a second stenotic orifice area above the mitral valve due to pannus formation.

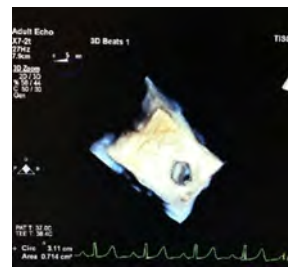


Figure 4. Real-time three-dimensional transesophageal echocardiography (RT 3D-TEE) images showed a second stenotic orifice area above the mitral valve due to pannus formation.

OPS-132

Mitral kapakta davul tokmağı benzeri kitle

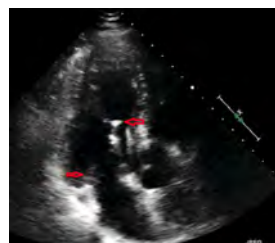
Serkan Dilmən¹, Mehmet Uzun¹, Nurgül Keser¹, Zafer İşlak¹, İbrahim Alp², Emrah Burak Ölçü¹, Ahmet Turan Yılmaz², Ömer Kozan¹

¹Sultan Abdülhamid Han Eğitim ve Araştırma Hastanesi, Kardiyoloji Kliniği, İstanbul

²Sultan Abdülhamid Han Eğitim ve Araştırma Hastanesi, Kalp Damar Cerrahisi Kliniği, İstanbul

Üç yıldır hipotiroidi, 4 aydır HT ve DM (insülin kullanıyor.) öyküsü olan 66 yaşındaki erkek hasta, sağ hemiparezi ve afazi şikayetleri ile 4 ay önce başvurduğu dıs merkezde iskemik inme nedeniley yatarak tedavi görmüş. 4 aydır şikayetleri devam eden, son 10 gündür ateş yüksekliği olan hasta, başvurduğu acıl serviste çekilen MRI sonucunda her iki serebellumda, her iki sentrum semiovale ve korona radiata, beyin sapında iskemi alanları, sol parietal lobtakitle (abse/meteastaz?) saptanması üzerine beyin cerrahi kliniğine yatırılmıştır. Yapılan rutin laboratuvar test sonuçlarında subklinik hipotiroidi, HBA1c, beyaz kükre ve haffi tıre, kreatin yükseliği dışında anormal bulgu yoktu. Akiçiger filmi, EKG normal bulunmuştur. TTE'de EF %60, orta-ileri egzantrik MY, hafif TY (SPAB: 40 mmHg), mitral kapak anterior leafet ucunda, sol atriyum içine uzanım gösteren hareketli, davul tokmağı benzeri klasifik kitle (Şekil 1,2) ve evre 1 diastolik disfonksiyon saptanmıştır. TEE'de orta-ileri egzantrik MY, mitral anterior ve posterior leafet üzerinde öncelikle vegetasyonu düşündürmen kitleler saptanmıştır (Şekil 3-5). Koroner anjografisinde damarlarda ciddi darlık yaratmayan plaklar mevcuttur. Bu bulgularla hasta, infektif endokardit + septik emboli ön tanısıyla MVR yapılması için kalp damar cerrahisi nakledilmiştir.

Sonuç: Kalbin dikkatlice araştırılması, iskemik inme geçiren hastalarda, büyük önem arz etmektedir. Bu tür hastalarda, nadir görülen kalp işi kitleler ekokardiyografi olarak dobrı bir şekilde ortaya konulabilir. Bu bildiride; böyle bir olgumun cerrahi ve patoloji sonuçlarıyla birlikte paylaşılması amaçlanmıştır.



Şekil 1. TTE görüntüsü.



Şekil 2. TTE görüntüsü.



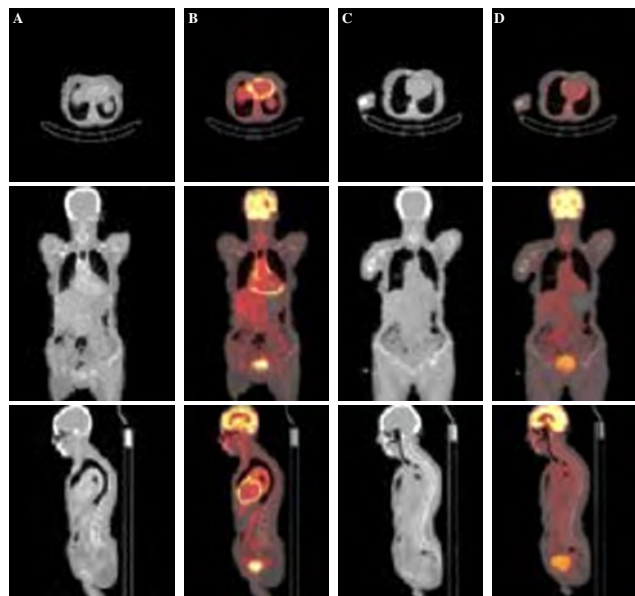
Şekil 3. TTE görüntüsü.



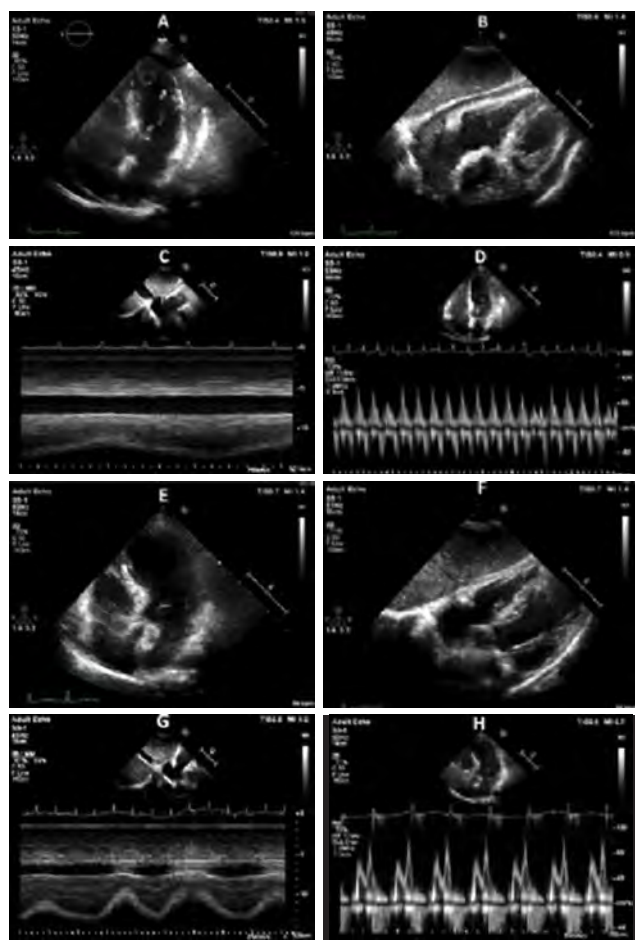
Şekil 4. TTE görüntüsü.



Şekil 5. TTE görüntüsü.



Şekil 1.



Şekil 2.

OPS-133

PET/CT ile tamı konulmuş ve medikal olarak tedavi edilmiş efüzyonlu konstriktif perikardit olgusu

Semi ÖzTÜRK, Gündüz Durmuş, Muhsin Kalyoncuoğlu, Fatih Yılmaz, Mehmet Can

Haseki Eğitim ve Araştırma Hastanesi, Radyoloji Kliniği, İstanbul

Seksen yaşında kadın hasta nefes darlığı şikayeti ile acil servise başvurmuş. Masif pleval efüzyon tanısı ile dahiliye servisine intİme edilmiş. Teropatik torasentez ile yaklaşık 2 lt mayı dren edilmiş. Transudatif vasıta mayiden ADA gönderilmiş ve normal sınırlarda sonuçlanmıştır. Hastaya KKÖ önl tanısı ile yatak başı ekokardiyografi yapılmış ve sistolik fonksiyonları normal olarak sonuçlanmış. ESR 95 mm/sa saptanın hastaya PET/CT çekilmiş ve kalbi çepçeve saran artmış metabolik aktivite saptanması üzerine hasta yeniden kardiyolojide konsulte edilmiş (Figure 1 A,B). Daha önce bilinen kardiyak hastalığı olmayan hastanın iki oğlu yaklaşık 20 sene önce akciğer tüberküloza tanısı ile tedavi almış. Fizik muayenede hasta belirgin ortopneik idi. Bilateral ciddi pretibial ödem mevcuttu ve juguler venöz dolgunluk gözle çarpılmıştı. Ekokardiyografide kalbi çepçeve saran –en kalın yerinde 15 mm ölçülen- hiperekojen perikard içi materyal izlendi (Figure 2 A,B)(Video 1,2). Inferior vena kavada pletore izlendi ve inspirovumda kollaps izlenmedi (Figure 2 C). Mitral in flow akımlarında ciddi respiratur varyasyon izlendi (Figure 2D). Hastaya tüberküloza ve bağlı efüzyolu konstriktif perikardit tanısı konuldu. Hasta kalp damar cerrahisine konsulte edildi fakat cerrahi yüksik riskli olduğundan hasta kabul etmedi. Göğüs hastalıkları ile ortalık takibe alınan hasta antitüberküloz tedavi başlandı. 9 aylık tedaviden 6. ayında antinfiammatuar tedavi olarak kolösins eklendi. Son 1 ay ibuprofen de verildi. Takiplerinde hastanın şikayetleri giremedi. Ekokardiyografide efüzyonun kaybolduğu, vena kavamın kollapse olduğu ve mitral akımların düzeldiği görüldü (Figure 2 E, F, G, H) (Video 3). Kontrol PET/CT de perikard tutulumunun olmadığı görüldü (Figure 1 C,D). Hasta 1 yıldır stabil olarak takip edilmektedir.

OPS-134

Hipertrofik kardiyomiyopati tamıyla izlenen üç kardiyak varyant Fabry olgusu

Rabia Eker Akıllı¹, Müslüm Fırat İkikardeş¹, Abdi Bozkurt¹, Halise Neslihan Önenli Mungan², Ayşe Filiz Koç³, Saimre Paydaş⁴

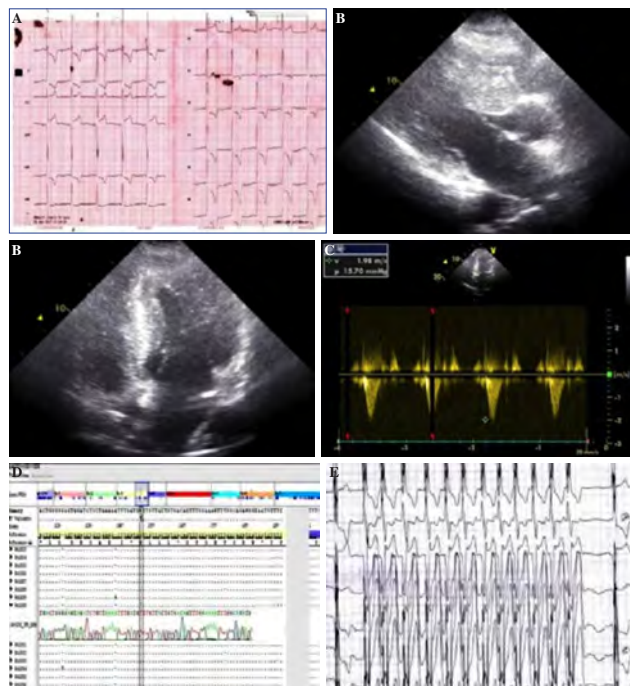
¹Cukurova Üniversitesi Tıp Fakültesi, Kardiyoloji Anabilim Dalı, Adana

²Cukurova Üniversitesi Tıp Fakültesi, Çocuk Beslenme ve Metabolizma Hast. Anabilim Dalı, Adana

³Cukurova Üniversitesi Tıp Fakültesi, Nöroloji Anabilim Dalı, Adana

⁴Cukurova Üniversitesi Tıp Fakültesi, Nefroloji Anabilim Dalı, Adana

Anderson-Fabry Hastalığı'nda kardiyak tutulum sık görülmektedir ve morbidite ile mortalitenin en önemli nedenlerinden biridir. Kardiyak varyant Fabry hastalığında ise bulgular sadece kalp ile sınırlıdır. Lizozomal birikime bağlı olarak progresif kardiyak hipertrofi, iletim defektleri ve arterilerin gözlenmesi. Enzim replasman tedavisi tüm alt tiplerde olduğu gibi kardiyak varyant için de en önemli tedavi şeklidir. 57 yaşında erkek hasta halsizlik, göğüs ağrısı ve nefes darlığı şikayetleriyle klinikimize başvurdu. Hastanın öyküsünden 15 yıldır hipertrofik kardiyomiyopati tamıyla takip edildiği, iki erkek kardeşi de benzer şikayetlerin olduğu ve bir erkek kardeşinin böbrek yetersizliği nedenedi kaydedildiği öğrenildi. Hastanın fizik incelemesinde aort odagiında belirgin, boyuna yayılm göstermeyen, 3/6 sistolik ejeksiyon tıffürü saptandı. Elektrokardiyografide (EKG) sol ventrikül hipertrofi bulguları mevcuttu (Şekil A). Transtorasik ekokardiyografide non obstrüktif hipertrofik kardiyomiyopati ile uyumlu bulgular saptandı (Şekil B,C,D). Fabry hastalığı şahesiyetle bakılan alfa galaktozidaz-A enzim düzeyi düşük, lizozomal globotriaçilseranamide (Gb3) düzeyi ise yüksek tespit edilen hastanın genetik analizinde GLA geni (NM_000169.2) üzerinde daha önce tanımlanmış ve hastalık için specifik olarak değerlendirilen bir mutasyon (p.G171V (c.512G>T), hemizigot) saptandı (Şekil E). Diğer uygun aile bireyleri içinde gen mutasyon taraması yapıldı. Hastanın genetik analizde aynı mutasyonun saptandığı 2 kardeşi dahil kardiyak değerlendirmelerde non obstrüktif hipertrofik kardiyomiyopati bulguları izlendi. Koroner anjiyografileri normal olarak değerlendirilen üç hastanın diğer sistemlere yönelik incelemelerinde fabry ile ilişkili anormal patolojiler saptanmadı. Kardiyak varyant Fabry hastalığı tamıyla hastalarla benzer şekilde enzim replasman tedavisi başlandı. İzlemde presenkop tarifleyen ve 24 saatlik Holter EKG kaydından geniş QRS'li taşıkardiyatik atakları (Şekil F) saptanan bir hastaya implant edilebilir kardiyoventer defibrillator yerleştirildi. Enzim replasman tedavisi sonrası semptomlarında belirgin azalma tarihi eden hastalar düzenli olarak poliklinik şartlarında takip edilmektedir. Sonuç olarak hipertrofik kardiyomiyopati saptanan hastalarda etiyoji araştırılırken Fabry hastalığının da göz önünde bulundurulması gerekmektedir.



Şekil 1. (A) Elektrokardiyografi görüntüsü. (B-D) Transtorasik ekokardiyografi görüntüler. (E) Genetik mutasyon analizi. (F) Holter elektrokardiyografi görüntüsü.

OPS-135

A rare case of aorta to left atrial fistula soon after aortic bioprosthesis: an uncommon presentation with acute haemodynamic worsening

Erkan Yıldırım¹, Uygur Cagdas Yuksel¹, Murat Celik¹, Baris Bugan², Yalcin Gokoglan¹, Suat Gormel¹, Hasan Kutsi Kabul¹, Salim Yasar¹, Mustafa Koklu¹, Cem Barcin¹

¹Department of Cardiology, Gülhane Training and Research Hospital, Ankara

²Department of Cardiology, Çorlu State Hospital, Tekirdağ

Introduction: Sinus of valsalva perforation is a very rare and serious aortic complication and has varied clinical presentations such as acute pulmonary edema, chronic heart failure and incidental detection of the fistula. The etiology is multifactorious including dissection of ascending aorta, aortic root or aortic valve surgery, aortic valve replacement, and infective endocarditis. In this case report,

we present a very unusual case of a patient complicated by sinus of valsalva rupture with aorto-left atrial fistula associated with acute haemodynamic worsening and pulmonary edema

Case: A 66 year old male with history of hypertension, peripheral artery disease, type 2 diabetes mellitus and aortic valve replacement (AVR) presented with acute haemodynamic worsening and pulmonary edema after abdominal surgery due to ileus. AVR (bioprosthetic) operation was performed just two months before this presentation due to infective endocarditis leading severe aortic regurgitation and acute pulmonary edema. The patient was haemodynamically stable during the abdominal surgery and in the early hours of postoperative care. On physical examination; the patient was afibrile arterial blood pressure was 105/24 mmHg with inotropic support. A 3/6 intensity systolic and early diastolic murmur was heard all over the precordium. His skin was cold and damp. The patient was on mechanical ventilation and oxygen saturation 91% (with 60% FiO2). The echocardiogram showed preserved left ventricular and prosthetic valve function and an unusual flow in the left atrium with color flow mapping. The patient was transferred to coronary intensive care unit in an unstable condition and a transesophageal echocardiography (TEE) was performed. TEE showed preserved aortic prosthesis function, no signs of infective endocarditis and rupture of sinus valsalva from the left coronary sinus leading a shunt between aorta and left atrium (Figure 1-4). Due to progressive heart failure symptoms, pulmonary edema and unstable condition, it was decided that any aortic intervention would occur at a later time in a stable condition. Because surgical correction would be a very high risk surgery for the patient, percutaneous device closure was scheduled after an acceptable stable condition with medical therapy. Initially the patient began to improve, however the night before the procedure, the patient's haemodynamic status was rapidly worsened and he was unresponsive to inotropic agents. The patient developed cardiopulmonary arrest and he died.

Conclusion: Aorto-left atrial fistulas are very rare but important complications of many disease processes of the aorta and aortic valve. It should be suspected in patients with continuous murmur, heart failure symptoms and prior aortic surgery. Paravalvular complications of infective endocarditis should be carefully evaluated and treated in a timely manner to avoid further destruction of paravalvular tissue.



Figure 1. The red arrow shows an aorto-LA fistula from the perforation between the aorta and the LA (2D TEE) LA: left atrium, LV: left ventricle; AO: aorta.

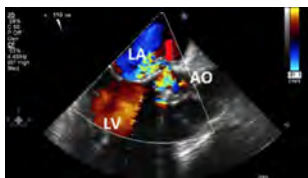


Figure 2. Color Doppler (TEE) of the fistula communicating the aortic root and the left atrium. The red arrow shows an aorto-LA fistula. LA: left atrium, LV: left ventricle; AO: aorta.

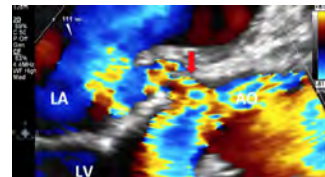


Figure 3. Color Doppler (TEE) of the fistula communicating the aortic root and the left atrium. The red arrow shows an aorto-LA fistula. LA: left atrium, LV: left ventricle; AO: aorta.



Figure 4. LA: left atrium, AV: Aortic Valve; AO: aorta. The red arrow shows an aorto-LA fistula from the perforation between the aorta and the LA (3D TEE).

OPS-136

A rare cause of chest pain: pericardial cyst

Mehmet Erdoğan¹, Hüseyin Ayhan², Haci Ahmet Kasapkara², Serdal Baştığı¹, Melike Polat², Ayşe Saatci Yaşar¹, Emine Bilen¹, Nihal Akar Bayram², Telat Keleş², Tahir Durmaz², Engin Bozkurt²

¹Department of Cardiology, Ankara Ataturk Training and Research Hospital, Ankara

²Department of Cardiology, Yıldırım Beyazıt University Faculty of Medicine, Ankara

A 54-year-old female patient presented with typical chest pain and dyspnea that increased with effort for 2 months. There was type 2 diabetes and hyperlipidemia as risk factors for medical history. Physical examination of cardiovascular system was normal. Electrocardiography revealed sinus rhythm and low voltage criterion. Cardiothoracic ratio was increased in chest X-ray. Transthoracic two dimensional echocardiography demonstrated a smoothly contoured hypoechoic cystic appearance around the right ventricle and pericardial adjacent to the apex. On the cardiac computed tomography (CT) scan performed, a cystic mass image was observed in 7.5 cm (supero-inferior) x 5 cm (transverse) dimensions originating from the right ventricular pericardium. This large pericardial cyst was considered and planned surgery the patient for definitive diagnosis, especially to exclude malignancy and treatment. Coronary angiography performed before the operation revealed normal coronary arteries. These cardiac symptoms were associated with pericardial cyst. The patient was operated on sternotomy by cardiovascular surgeon and cyst excision was performed. Pericardial cysts; may be congenital and acquired and are usually asymptomatic and are detected incidentally on imaging modalities. Frequently localized to the right anterior cardiophrenic region. Mostly along with being a good prognosis, complications such as cyst growth, compression, hemorrhage, tamponade, torsion and rupture may develop. Treatment is surgical exploration or drainage according to the location and size of the cyst.

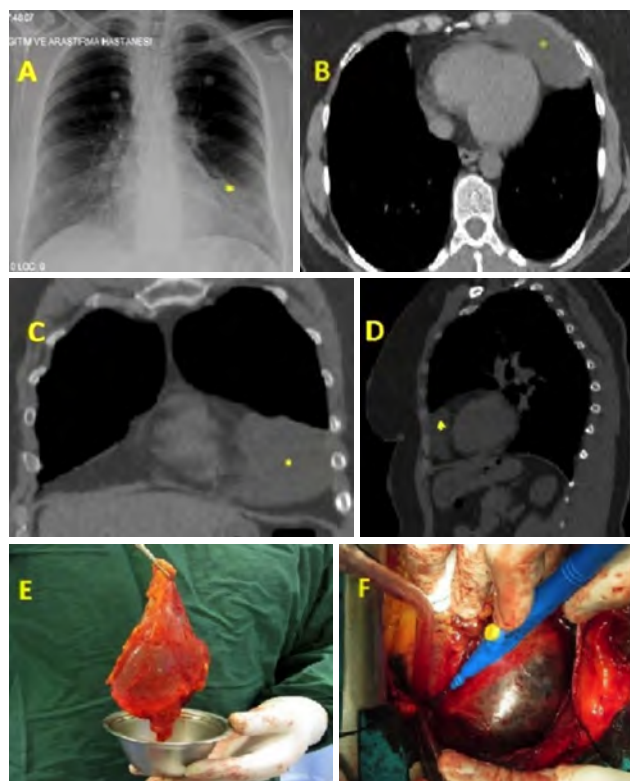


Figure 1.

OPS-137**Eroin kullanımına bağlı gelişen izole triküspit kapak endokarditi**

Emre Ertan Şahin, Ahmet Çelik, Dilek Çiçek Yılmaz

Mersin Üniversitesi Tıp Fakültesi, Kardiyoloji Anabilim Dalı, Mersin

İnfektif endokardit başta bakteriler olmak üzere mantar, virus, gibi çeşitli mikroorganizmaların neden olduğu kalp kapakları, duvar endokardının infeksiyonudur. Kan akımının türbulans yaparak hemodinamik travma oluşturduğu doğumsal kalp hastalıkları ve rotamizmal kapak hastalıkları infektif endokardit için zemin hazırlar. En sık klinik semptomlar ve bulgular ateş, halsizlik, yorgunluk, artraj, miyalji, kilo kaybı ve terleme gibi nonspesifik olsa da, kalp yetersizliği, artrit, splenomegalii ve immüโนlojik fenomenlere bağlı nörolojik bulgular, petesi, osler nodülleri, janeway lezyonları ve roth lekesi de görülebilir. Bu olguda intravenöz eroin kullanımına bağlı triküspit kapakta Metisilin dirençli Staphylococcus aureus'un neden olduğu bir endokardit olgusu sunulmuştur.

Olgu: Yirmi beş yaşında erkek hasta halsizlik ve ateş şikayeti nedeni ile klinigimize başvurdu. Fizik muayenede nabız 85/dakika, kan basıncı 115/50 mmHg, ateş 38,6°C, dinlemekte triküspit odakta 2/6 dereceli sistolik tıffürüm vardı. Yapılan ilk tetkiklerde beyaz kür 10.930 K/mm³, hemoglobin 10,3 g/dL, hematokrit %31, trombosit 191.000/mm³, sedimentasyon 47 mm/saat, C-reaktif protein 272 mg/dL idi. Hastanın özeğemişinde 11 yıldır intravenöz eroin kullandığı öğrenildi. Hastanın yapılan transtorasik ekokardiyografisinde triküspit kapakta 1,7x1,2 cm boyutlarında vejetasyon izlendi (Şekil 1). Daha ayrıntılı değerlendirme için hastaya 3D ekokardiyografi yapıldı (Şekil 2). 3D ekokardiyografide 1,8x1,2 cm boyutlarında vejetasyon izlendi. Hastanın kan kültürleri alındı, enfeksiyon hastalıkları ve klinik mikrobiyolojiye danışılarak linezolid tedavisi başlandı. Takiplerinde CRP yanıtı alamadı, tedavisine ertapen ekendi. Kültür sonucunda MRSA (metisilin dirençli staphylococcus aureus) tespiti. Antibiyogram sonucu Vankomisin duyarlı olması nedeni ile Vankomisin tedavisine geçildi. Hastanın takiplerinde ateş yükseliği olmadı, C-reaktif protein 35 mg/dl ye geriledi. Mevcut antibiyototerapinin 8. Günü olup, klinik yanıt alınan hastanın tedavisine devam edilmektedir.



Şekil 1. Triküspit kapakta vejetasyona ait ekokardiyografik görüntü.



Şekil 2. 3D ekokardiyografide triküspit kapakta vejetasyona ait görüntü.

OPS-138**Sol atriyum içinde öldüren öldüren dans**Gökhan Keskin¹, Gürkan Karaca², Abdulkadir Çakmak¹, Yılmaz Özbay¹¹Amasya Devlet Hastanesi, Kardiyoloji Kliniği, Amasya²Alanya Devlet Hastanesi, Kardiyoloji Kliniği, Alanya

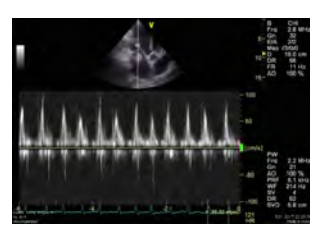
Elli beş yaşında erkek hasta. Acil servise billinç bulanlığı şikayeti ile getirilmiş. Glaskow coma skaliası 5-6 düzeyindedir. Hastanın çekilen kranial tomografisinde beynin bir çok bölgesinde multiple enfarkt alanları saptanmasa üzerine nöroloji tarafından yoğun bakım servisini yatırılmış. Kardiyojoloji konsültasyon istenen hastanın çekilen elektrokardiyografisinde atriyal fibrilasyon tespit edildi. Yapılan ekokardiyografide sol atriyum içinde oldukça haretli kitle tespit edildi. İlk planda trombus lehine yorumlandı. Trombusun diastol akumini hafif düzeyede kısıtladığı CW dopplerde görüldürüyor. Hastanın genel durumu ve enfarkt boyutundan dolayı trombolytic tedavi düşünülmüştür. Heparin ile antiokoagülasyon başlandı. Takiplerinde idrar yolu enfeksiyonu sonrası sepsis gelişen hasta kaybedildi.



Şekil 1. Sol atriyum içinde hareketli masif kitle.



Şekil 2. Sol atriyum içinde hareketli masif kitle.



Şekil 3. Sol atriyum içinde hareketli masif kitle.



Şekil 4. Sol atriyum içinde hareketli masif kitle parasternal uzun eksen.

OPS-139**Sol ventrikül trombüsu ve yaşam çizgisini**

Serdar Gökhane Nurkoç, Adem Çelik, Gültén Taçoğlu

Gazi Üniversitesi Tıp Fakültesi, Kardiyoloji Anabilim Dalı, Ankara

Elli altı yaşında erkek hasta. İki hafta önce sağ bacakta sislik ve ağrı şikayeti ile hastanemize başvuruyor. Hipertansiyon, Diyabetes Mellitus, Hiperlipidemi, Koroner Arter Hastalığı nedeniyle takipli hasta 2009 yılında anterior miyokard enfarktüsü sonrası sol anterior koroner arter (LAD), diagonal artere (D1) stent implantasyonu yapılmış ve yataşı esnasında iki kez stent

trombozu nedeniyle koroner angiografi yapılıyor. İlk stent trombozunda tekrar perkutan koroner girişim yapılmış. Fakat ikinci kez yapılan işlemede de stentlerin her ikisinin de total tromboze olduğu görüldüğünden acil olarak By pass kararı verilmiş. Hastaya 2010 yılında iki damar koroner arter by pass grefti(CABG) operasyonu yapılmış. Aynı zamanda sık stent trombozu olması nedeniyle hematolojide damışlan hastaya protein C eksikliği tanısı konularak izlemekte antikoagulan başlanmasıma karar verilmiş. Tedavi altında iken 2012 yılında hastanın daha önceki şikayetlerine benzer tarzda göğüs ağrısının olması üzerine anestolik anjina (USA) pectoris öntanısı ile koroner angiografi yapılmış. Neticesinde diagonal-safen grefti açık, distal ince sol internal mammarian arter-sol inen koroner arter grefti (LIMA-LAD) açık olarak raporlanıyor ve medikal kararı veriliyor. Hasta altı yıl boyunca asteil salisilik asite(ASA) ek olarak warfarin kullanıyor. Fakat bir yıl önce dış merkezde warfarin tedavisi kesilir ve ASA 100 mg'lık tedavi dozu ile takip ediliyor. Bir yıl boyunca aktif yakınımları olmuyor. İki hafta önce sağ bacakta sisli ve ağrı şikayeti ile hastanemize başvuruyor. Fizik Muayene: TA:100/60 mmHg Nabız:75 kalp sesleri doğal, üfürüm yok. Sağ dorsalis pedis ve tibialis posterior nabızları alınamıyor.Diger periferik nabızlar açık. Labaratuvar: Hb:11g/dL WBC:13.03, Plt:149, BUN:9.38mg/dL CR:0.73mg/dL AST:25 U/L ALT:19 U/L Na/K:138/4.05 INR:1.15 Elektrokardiografi:SR, anterolateral derivasyonlarda QS, T negatifliği, anterior derivasyonlarda R prosgresyonu kaybi Kullandığı ilaçlar: Atorvastatin, metoprolol, spiranolon, asteil salisilik asit, trimetazin, lizinopril-hidroklorotiazid. Bilateral alt ekstremité anjiografisi. Solda tibioperoneal kök pateni olup posterior tibial arter tikaldır. Sağda popliteal arter takip edilen kollateral akım ile hemen trifüksiyon distalinde kural arterler dolmaktır ve paten olarak izlenmektedirler. Hastaya kalp damar cerrahisi tarafından heparin infüzyonu, antibiyotik tedavisi ve iliofemoral infüzyonu baslanıyor. Takiplerinde şikayetleri geriliyor ve periferik nabızlar elle palpe edilebiliyor. Tarafımızca hastaya eko yapılmış.EKO 'da sol ventrikül apeksine yapışık ucu haretke dev trombus saptanması üzerine acil koroner görüntülenmesi yapılarak operasyon kararı veriliyor. Ekokardiografi: EF: %38 saptandı. Septumun apikal ve apex birleşim noktasına yapışık ucu haretke 21x32 cm² çaplarında trombus ile uyumlu görünütmüş izlendi. Koroner anjiografi: LAD osteał %99, LAD, D1 sonrası %100, S1-Safen açık distal tıkalı,LAD-LIMA açık izlendi. Her hastadan mutlaka iyi bir anamnez alınmalıdır.



Şekil 1. Sol ventrikül trombüsü.



Şekil 2. Sol ventrikül trombüsü.



Şekil 3. Sol ventrikül trombüsü.



Şekil 4. Sol ventrikül trombüsü.

OPS-140

Enfektif endokarditin bir komplikasyonu: Mitral kapakta apse, fistülizasyon

Yunus Emre Yavuz, Sümeyye Fatma Özer, Ahmet Seyfeddin Gürbüz, Yakup Alsancak, Hakan Akıllı, Ahmet Soylu, Mehmet Akif Düzenli

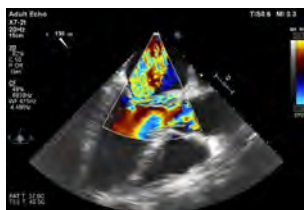
Necmettin Erbakan Üniversitesi Meram Tip Fakültesi, Kardiyoloji Anabilim Dalı, Konya

Enfektif endokardit, geniş intratorasik damarların endarteritini (patent ductus arteriosus, arterio-venöz şantlar, aort koartasyonu) veya kan akımından doğrudan maruz kalan kalp içi yabancı cisimler (örn. Protez kapaklar, kalp pili veya ICD leadleri, cerrahi olarak yerleştirilmiş maddeler) de içeren kardiovasküler yapılarının endovasküler, mikrobiyel enfeksiyonudur. Enfeksiyon ajanının fibrin vejetasyonlarında coğalması ile birlikte gelişen bakteriyemi, ateş, üfürütler, embolizasyon ve çeşitli immünpatojik reaksiyonlar enfektif endokardit karakteristik özelliklerini arasındadır. Klinik belirtiler çok çeşitli olup, tüm sistemler tutabiliyor. En önemli ve sık karşılaşılan komplikasyonu, konjestif kalp yetmezliğidir. İkinci en sık komplikasyonu embolilerdir. Emboliler, mortalite ve morbiditede rol oynamaktadır. Miyokardyal apse ve infarktüs, nadir rastlanan; ancak önemli komplikasyonlardır. Buna ek olarak septal rüptürler, perikardit, chorda tendinea rüptürü diğer kardiyak komplikasyonlar arasında yer alır. Vakamızda, enfektif endokarditin nadir görülen bir komplikasyonu olarak görülen apse formasyonunu raporladık. Bilinen CABGO, HT ve KBY öyküsü olan rutin hemodiyaliz sırasında ateş ve genel durum bozukluğu gelişen hasta acil servise getirilmiş. Crp ve prokalsitonin yüksekliği olan hastanın yapılan transtorasik ekosunda, mitral kapak anterior leaflet sol atrial yüzde 1.2x1.0 cm ebatallarında hiperekojenik imaj izlendi. Bunun üzerine yapılan transözefagial ekokardiografiye, mitral kapak anterior leaflet üzerinde atrial yüzeye fistül? abse rüptürü? (renkli dopplerde abse formasyonundan subaortik bölgeye doğru akım izlendi) ve 3x0.8 cm ebatallarında vejetasyon imajı izlendi. Şiddetli MY, 2. Derece AY izlendi. Laboratuvar bulgularında kreatinin, crp ve prokalsitonin değerleri yükseltti. Vankomisin, gentamisin ve seftriaksin tedavileri altında cerrahi müdahale önerildi. Enfektif endokarditte kesin acil cerrahi endikasyonları; kalp yetmezliği, valvüler obstrüksiyon, TEE'de kesin perivalvüler apse göründümünü saptanmasından, candida dişi fungal endokardit, uygun antimikrobiyal tedavide rağmen bakteriyeminin devam etmesi, etkin antimikrobiyal ajan bulunmaması nedeniyle enfeksiyonun

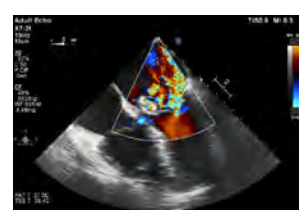
kontrol altına alınamaması, stabilitesini kaybetmiş prostetik kapak, pseudomonas ile gelişen erken perikardiyal efüzyondur. Rölatif cerrahi endikasyonları ise TEE'de perivalvüler apse şüphesi, candida endokarditi, uygun tıbbi tedaviden sonra relaps olması, iki veya daha fazla sistemik emboli, enfeksiyonun intrakardiyak yayılma belirtisi, periprostetik kaçak gelişmesidir. Biz de bu yüzden hastamızı cerrahi tedavi önerdik.



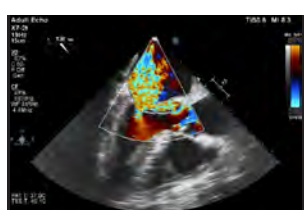
Şekil 1. Enfektif endokarditin sebebi olduğu abse.



Şekil 2. MY, AY ve fistülizasyon.



Şekil 3. Renkli doppler abse, MY.



Şekil 4. Renkli doppler ile MY, AY.

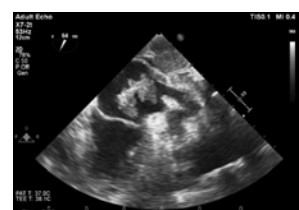
OPS-141

Akciger non-small cell CA tanılı hastada pulmoner ven invazyonlu kardiyak metastaz

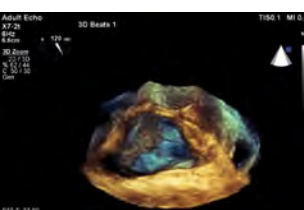
Yunus Emre Yavuz, Sümeyye Fatma Özer, Ahmet Seyfeddin Gürbüz, Yakup Alsancak, Ahmet Soylu, Mehmet Akif Düzenli

Necmettin Erbakan Üniversitesi Meram Tip Fakültesi, Kardiyoloji Anabilim Dalı, Konya

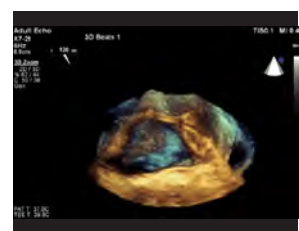
Akcigerin skuamöz hücre karsinoması (scC), non-small cell karsinomları sınıfında yer alır. Akciger kanserlerinin içindeki oranı yaklaşık %25-30'dur. SCG'nin çoğu ana lob, segmental veya subsegmental bronşlar içerisinde ortaya çıkar; ancak bazıları daha periferde görürlür. Genellikle sigara ile ilişkilidir. Akciger kanseri hastaların yaklaşık 1/3 uzak metastaza bağlı semptomlar gösterir. Beyin, kc,腎urrenal bezler, kemik iliği, karşı akciğer (hematojen veya lenfatik yolla) ve böbreklerde sit metastaz görülen organları olmakla birlikte, vücutundan her yerine metastaz olabilir. Akciger kanserinin hematojen yolla, pulmoner ven aracılığıyla sol atriyum içine invazyonu nadir görülen bir durumdu. Bu yüzden nadir görülen bu vakayı raporladık. Bilinen ek hastalığı olmayan sigara kullanma öyküsü olan hasta, nöbet geçirme, sağ alt ve üst ekstremitéde güçsüzlük şikayetleri ile acil servise başvurdu. Hastanın 1 senedir olan öksürük, balgam咳 karma öyküsü mevcut. Acil serviste çekilen kranial MR'da beyin metastazı ile uyumlu lezyon görülmüş. Metastaza neden olan olağan araştırmalar fizere sol akciğer alt lob biopsisi yapılması ve scc tanısı konulmuş. Yapılan transtorasik ekokardiografiye, mitral kapaktan sol atriyuma uzanan kitle? vejetasyon? trombus? izlendi. Bunun üzerine yapılan transözefagial ekokardiografiye, sol üst pulmoner ven ağzından kaynaklanan, sol atrium içinde 2.8 cm-2.4 cm boyutlarında mobil kitle izlendi.. Kitlenin densesiz göründümü olması, dansitesinin trombusla uyumlu olmaması ve hastanın malignite öyküsünün olması, kitlenin metastaz olduğunu düşündürdü. Hasta kardiyovasküler konseyne de getirildi. Onkolojiye danışan hasta yapılabacak cerrahinin yaşam süresine etkilemeyeceği düşününlerek medikal takip kararı alındı. Trombus ve emboli riskinden dolayı tıziparin 175 IU/kg 1x1 sc olarak başlandı. Akciger kanserinin kardiyak metastazı, otoskoplerde %25 oranında tespit edilmemiştir. Ancak klinik pratikte bu oranda tespit edilememektedir. Kardiyak metastazlar yüzünden, serebral ve periferik emboliler görülmektedir. Bu yüzden akciger kanseri olan hastalarda transtorasik ekokardiografi sırasında metastaz yönünden dikkatli bir inceleme yapılması gerekmektedir.



Şekil 1. 2D kitle görünümü.



Şekil 2. 3D kitle görünümü.



Şekil 3. TEE, 3D video.



Şekil 4. TEE'de kitle göründümü video.



Şekil 5. TEE'de kitle görünümü, ventrikül ile ilişkisi.

Konjenital kalp hastalıkları**OPS-142****Erişkin yaşta senkopla başvuran hastada nadir bir patoloji:****Fallot tetrolojisi**

Yakup Alsançak, Sefa Tatar, Hakan Akıllı, Mehmet Akif Düzenli

Necmettin Erbakan Üniversitesi Meram Tip Fakültesi, Kardiyoloji Anabilim Dalı, Konya

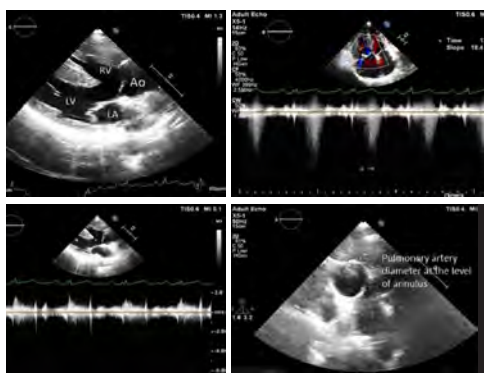
Giriş: Fallot tetralojisi (TOF) çocukluk çağlarında en sık görülen siyanotik konjenital kalp hastalığıdır. Bu hastaların cerrahi düzeltme için en uygun zaman dilimi hayatın ilk 3-6 aylık dönemidir. TOF vakalarının %66'sı bir yıl içerisinde hayatını kaybeden, cerrahi olarak düzeltilmemiş hastaların sadece %3'ü 60 yaş üzerinde kadar yaşamayılmaktadır.

Oluğu: 24 yaşında erkek hastanın tam senkop sonrası hastanemiz acil servisine başvurusuna esnasında troponin değerlerinden progresif artış olması nedeniyle klinikimize yatırıldı. Hastanın fizik muayenesinde sağ kolda doğumsal defekt olduğu, tüm el parmaklarında çomaklaşma olduğu ve oral mukozalarda siyanotik görünüm olduğu tespit edildi (Şekil 1). Kardiyovasküler sistem değerlendirilmesinde tüm odaklarda yapılan devamlı tarzda tifürüm ile beraber, pulmoner odakta şiddetli ve uzun süreli sistolik tifürüm tespit edildi. Hastanın elektrokardiografisinde sağ dal bloğu tespit edildi. Yapılan ekokardiyografsında geniş bir ventrikül septal defekte beraber, belirgin şekilde hipertrofisi olmuş sağ ventrikül, tipik bir over-riding aorta ile beraber pulmoner kapakta ciddi gradient izlendi (Şekil 2). Bunun üzerine hastanın hikayesi derinleştirildiğinde 2 yaşındayken kalpte delik olduğunu söyleydi, ancak geçen 22 yıllık zaman süresince herhangi bir kardiyoloji poliklinikine başvurusunu olmadığı öğrenildi. Buna ek olarak 10 yıl önceşinde tek böbrek sahip olduğunu tespit edildiği öğrenildi. Mevcut haliyle hastanın koroner arterlerinin seyrini değerlendirmek ve troponin yükselişinin iskemik etyolojisini araştırmak için koroner anjiyografi önerildi ancak hasta işlemi kabul etmedi. Kalp hastalığına yönelik olarak hastanın akciğer kalf cerrahisi ihtiyacının olduğunu belirtildi ve kardiyak tomografik inceleme planlandı. Mevcut işlemleri kabul etmeyen hasta ikili antiagregan ve betabloker tedavisi ile taburcu edildi.

Sonuç: İleri yaşlarda başvurulan siyanotik konjenital kalp hastalarının yönetimi erişkin kardiyologları genellikle çekindiği bir konudur. Bütün hastanız gibi ilerleyen yaşlarda başvuru TOF vakalarının değerlendirilmesi gereken bazı durumlar vardır. Özellikle cerrahi planlamışsa hastaların koroner anatomsisinin değerlendirilmesi gerekmektedir, aynı zamanda sağ aortik arkus varlığı ortaya konulmalıdır. Böyle hastaların %25'inde sağ taraflı aortik arkus izlenmektedir ve hastaların %10'unda koroner anomalileri izlenir. Bu durum cerrahi sırasında koroner hasara neden olabilir. Ek olarak intrakranial patolojiler (abse, anevrizma) ve eşlik eden diğer kardiyak patolojiler açısından hasta değerlendirilmelidir. Geleneksel olarak pulmoner darlık değerlendirilmesi için sağ kalp kateterizasyonu planlanabilir ancak gelişen kardiyak MR ve tomografik değerlendirilmeleri yeterli olabilir. Pulmoner darlığın değerlendirilmesi için sağ ventrikulografinin yapılması darlığın değerlendirilmesi için yardımcı olabilir.



Şekil 1. Sabot (Tahta ayakkabı) görünümü.



Şekil 2. Fallot tetralojisi EKO görüntülerini.

Konjenital kalp hastalıkları**OPS-143****A rare congenital coronary artery anomaly; right coronary artery origin from septal branch of left anterior descending artery**

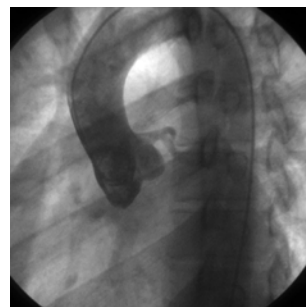
Namık Özmen, Fatih Tekiner, Yalçın Avcı

Department of Cardiology, Medicalpark Bahçelievler Hospital, İstanbul

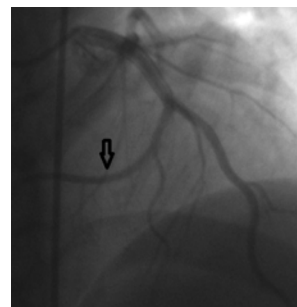
Aim: Congenital coronary artery anomalies are a rare condition. Coronary arteries origin from opposite sinus valsalva are common relatively. But according to our knowledge it is not reported right coronary artery (RCA) origin form septal branch of left anterior descending coronary artery (LAD) before. We present a young male having with RCA origin from septal branch of LAD.

Case: 20-year-old male was admitted to another center with exercise chest pain. He was an amateur basketball player. In this center, it was determined inferior wall ischemia on myocardial perfusion scintigraphy and directed to our center for coronary angiography. His physical examination, echocardiography, and biochemical parameters were in normal range. But he had some ventricular premature beats on his rhythm holter. On his coronary angiography, RCA was not in original site (Figure 1), but RCA was origin from septal branch of LAD. (Figure 2, 3). On his computed tomography coronary artery angiography revealed that RCA origin from septal branch was travelling in front of the right ventricular outflow tract (Figure 4). It can be said that absence of coronary branch in proximal right atrioventricular sulcus may cause exercise chest pain in our case.

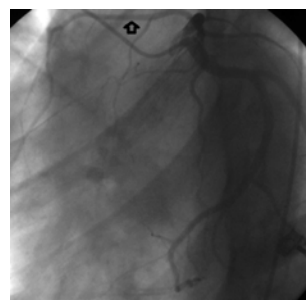
Conclusion: In patients with exercise chest pain, congenital coronary artery anomalies shouldn't be taken into consideration.



Şekil 1. RCA is not seen on its site on aortography.



Şekil 2. Arrow shows RCA origin from septal branch of LAD.



Şekil 3. Arrow shows abnormal origin RCA.



Şekil 4. White arrow shows RCA origin from septal branch, bold arrow shows LAD-septal artery on computed tomography coronary angiography.

OPS-145**Doğum sonrası gelişen paradoksal embolide trombolitik verelim mi?**

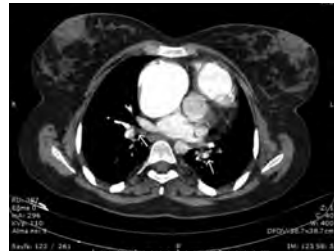
Ziya Gökalp Bilgel, Amlı Tanburulu, Tansel Erol, Hakan İbrahim Güllü

Başkent Üniversitesi Tip Fakültesi Adana Araştırma ve Uygulama Merkezi, Adana

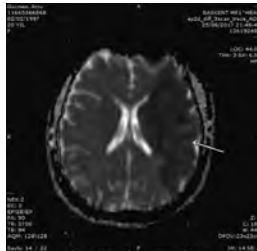
Giriş: Tüm arteriyal embolilerin bir kısmı (<2%) paradoksal embolilerden kaynaklanmaktadır. Paradoksal embolilerin ardından bir patent foramen ovalis veya atrial septal defekt (ASD) sorumludur. Akut pulmoner tromboemboli (PTE) ve imnenin aynı anda görüldüğü nadir vakalar olmakla birlikte bu hastalarda optimal tedavi seçeneği net değildir. Bu vakada daha önce Ebstein anomaliyi ve ASD nedeniley operে olan ve yeni doğum yapan genç hastada eş zamanlı akut PTE ve inne saptanmış olup antikoagulan tedavi verilmiştir.

Oluğu: Yirmi yaşında kadın hasta nefes darlığı, sağ kol ve bacakta güçsüzlük, şur bozukluğu nedeniley başvurmuştur. Hastanın özeğemcisinde 4 yıl önce Ebstein anomaliyi ve ASD nedeniley operasyon öyküsü mevcut olup, hastaya ASD kapama ve trikuspid kapak onarımı yapılmış. Hasta bir gün önce servikovajinal yolla doğum yapmıştır. Norolojik muayenede 2/5 sağ hemiparezi, total afazi saptanın hastaya çekilen beyin BT'de sol orta serebral arter sulumasında akut infakti döşündürün lezyonlar saptandı. Takibinde hastada takipme, dispne, taşkardi ve hipoksi görülmESİ üzerine çekilen toraks BT anjiyografide PTE saptandi (Şekil 1). Bunun üzerine yapılan transtorasik ekokardiyografi sağ kalp boşluklarında dilatasyon, ciddi trikuspid yetmezliği (TY), sağ ventrikül sistolik işlevlerinde azalma izlendi. Sistolik pulmoner arter basincı 35 mmHg saptandı ancak TY akım Doppler bulguları incelendiğinde genit tabanlı bir jet akımı olması ve sürekli dalga Doppler'de akimin erken üçgen şeklinde olur sistolik pik yapması TY'nin ciddi oldugu düşündürmektedir. Transözefageal ekokardiyografide ise en büyüğü 11 mm çapında 3 adet ASD ve sağdan sola geçici tespit edildi (Şekil 2a-2b). Hastanın beyin MRG'sindr sol orta serebral arterde düzeyinde akım tespit edildi (Şekil 3a-3b). Hastanın beyin MRG'sindr sol orta serebral arterde düzeyinde akım tespit edildi (Şekil 3a-3b). Bu vakada rezidü ASD mevcut olup paradoksal emboli PTE nedeniyle sa

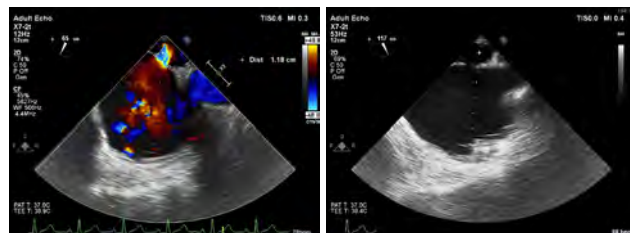
kalp basınçlarının yükselmesi sonucu şantın sağdan sola dönmeye bağlı gelişmiş olabilir. Belki de operasyon öncesi sağ basınçlar yüksektir ve septumda 10 mm'lik delik bırakılmış olabilir. Saptanın ciddi TY, sağ kalp boşluklarındaki dilatasyon ve sağ ventrikül duvar hareketlerideki azalma Ebstein öyküsü olduğundan eski bulgular mı yoksa PTE'ye bağlı akut gelişen yeni bulgular mı ayırt etmek pek mümkün değildir. Literatürde çeşitli nedenlerle doğum sonrası tPA uygulanan vakalar incelendiğinde vajinal veya sezeryan doğum farketmeden hepsinde ciddi kanama görülmüştür. Ayrıca imme semptomlarının üzerinden 5 saat geçmemişi olması ve ara ara vajinal kanamalarının devam etmesi gibi nedenlerle hasta sistemin intravenöz tPA tedavisi düşünülmeli. Düşük molekül ağırlıklı heparin, astesilasik asit ve klopidogrel tedavisi başlanır. Hasta daha sonrasında varfarin tedavisine geçerler taburcu edildi. 6 ay sonra şant değerlendirilerek ASD'nin kapatılması ve triküspit cerrahisi yada perkütan ASD kapama açısından değerlendirilmesi planlanır.



Şekil 1. Toraks BT Anjiografisi'nde PTE.



Şekil 3. Beyin MRG.



Şekil 2. (A) TOE'da ASD ve sağ sol şant. (B) TOE'de ASD.

OPS-147

Hybrid revascularization and percutaneous left main coronary artery occlusion with a ventricular septal occluder in a patient with coronary aneurysm and dissection due to Kawasaki disease

Ferit Onur Mutluer, Ömer Yıldız, İşıl Yıldırım, Aslı Kara, Şanser Ateş, Alpay Çeliker

Department of Cardiology, Koç University Faculty of Medicine, İstanbul

Long term morbidity and mortality of Kawasaki disease are related to coronary artery sequela. We report a patient with Kawasaki disease who underwent a hybrid procedure consisting of revascularization of dissected left circumflex coronary and posterolateral coronary artery branches and transcatheter occlusion of the left main coronary artery (LMCA). The case was managed by a multidisciplinary adult congenital heart disease team, consisting of pediatric cardiologists and adult cardiologists experienced the care of adult congenital heart disease patient, pediatric and adult electrophysiologist, interventional cardiologist and cardiac surgeons experienced in the field.



Figure 1. (A) LIMA-LCX graft (asterix) is seen with poor perfusion in the segment after the anastomosis (left anterior oblique [LAO] 85°) (B) RIMA-LAD graft (asterix) is patent (LAO 80°) (C) Coronary aneurysm (a) in the left main coronary artery segment, coronary dissection in the PL branch (d), and anastomosis segments of the radial graft seen in the next panel (asterix) (LAO 15° cranial 15°) (D) AO-Radial Artery-PL-CX sequential graft (asterix) is demonstrated (straight AP) (E) The device on the tip of the delivery sheath with the first disk (asterix) deployed (LAO 15°) (F) Aortography shows the device (asterix) in place with no leak (LAO 25°).

OPS-148

Genç hastada yaygın koroner arter spazmin eşlik ettiği tekrarlayan akut koroner sendrom

Burak Açıar, Sefa Ünal, Çağrı Yayla, Dursun Aras, Halil Kısacık

Ankara Türkiye Yüksek İhtisas Hastanesi Kardiyoloji Kliniği, Ankara

Kırk yaşında kadın hasta retrosternal göğüs ağrısı nedeni ile acil servise başvurdu. Hastanın hikâyесinden 1 yıl önce circumflex artere (CX) 2 adet stent uygulandığı ve koroner arter hastalığı açısından ek bir risk faktörü olmadığı öğrenildi. Hastanın başvurusu sırasında EKG'sinde inferior derivasyonlarda ST elevasyonu mevcuttu ve hastaya akut inferior miyokart enfarktüsü tanısı ile koroner anjiyografi (KAG) yapıldı. Yapılan anjiyografi sağ koroner arter (RCA) distalinde %99 tromboze lezyon, CX stentin tam titiği olduğu, sol inen arter (LAD) normal olarak saptandı. Intrakoroner perlegenit sonrası lezyon %70'e geriledi ancak stabil olmayan lezyon düzüntüler 2.25x18 mm ilaç kaplı stent (IKS) implant edildi (Şekil 1). KAG'da hastanın damarlarında yoğun spazm dijital çıktı. CX stentin birçoğu tel denemesine rağmen geçilemedi ve hasta sorunsuz hastane izlemi sonrası taburcu edildi. Hasta 3 ay sonra tekrar göğüs ağrısı şikayeti ile başvurdu, anstabil anjina pektoris kabul edilerek hasta kontrol KAG yapıldı. En son implant edilen stente restenoz olduğu görüldü, FFR yapıldı. FFR değeri en düşük 0.85 olarak geldi hasta medikal olarak takip edildi (Şekil 2). Hasta 3 ay sonra tekrar başvurdu ve miyokart perfüzyon sintigrafisine ciddi efor iskemisi saptandı. RCA stent bölgelerinde crux bifurkasyon bölgesinde ciddi lezyon saptandı (Şekil 2). Bunun üzerine stent içine 3.0x20 mm non-komplian balon ile PTCA, daha sonra 3.0x22 mm IKS uygulandı. Bifurkasyon bölgesinde ise kissing balon uygulandı. Hasta tekrar ek sıkıntı olmadan taburcu edildi. Ardından 4 ay sonra hastanemizde tekrar göğüs ağrısı ile başvuran hasta tekrar KAG yapıldı. Stentin ciddi derecede stenotik olduğu ve yan dal ostiumunda ciddi lezyon saptanması üzerinde hasta coulette teknigi ile tekrar daha geniş çapta ilaç kaplı stentler uygulandı (ana dal 3.5x12 mm ve yan dal 2.75x16 mm) (Şekil 2) ve sorunsuz bir şekilde hasta taburcu edildi. Hasta 6 ay boyunca ara ara göğüs ağrıları oldu fakat medikal takip edildi. 6 Ayda acil servisimize nitrat ile geçmeyen göğüs ağrısı ile başvurdu, acil serviste ventriküler fibrilasyona giren hasta defibrile edilerek tekrar KAG'a alındı. Yapılan KAG da LMCA distal LAD proximal kesiminde spazmında eşlik ettiği %70 lezyon ve RCA stentinin %100 titiği olduğu saptandı (Şekil 3). Ardından hasta KVC ile beraber operasyon uygululuğundan değerlendirme fakat daha sonra hasta perkütan girişimi karar verildi. LMCA-LAD lezyonu 3.5x31 mm IKS stent yerleştirildi, daha sonra RCA stent içine PTCA sonrası stent proximaline 3.5x12 mm stent uygulandı, işlem komplikasyonuz bir şekilde sonlandırdı. Başarı aşılmış sağlanmış ve hasta koroner yoğun bakım izlemi sonrası taburcu edildi.



Şekil 1. Koroner anjiyografide CX stentinin tama yakın titiği olduğu, RCA distalinde spazm ile beraber akut tromboze lezyon ve stent uygulaması sonrası RCA görüntüleri.



Şekil 2. RCA'da stent restenozu, FFR uygulaması ve üç ay sonra coulette stentleme.



Şekil 3. Sol ana koroner arterde akut tromboze lezyon ve RCA stentinin total restenozu.

OPS-149

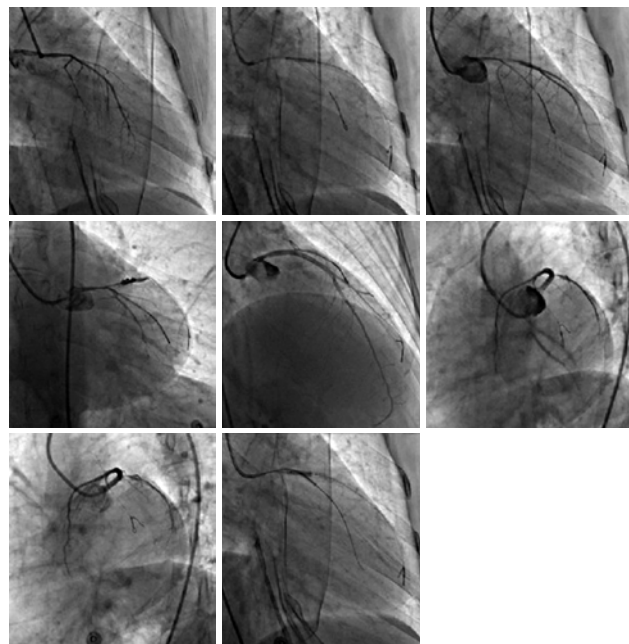
Yeni jenerasyon oral kontraseptif kullanımı sonrası gelişen şoktaki kalp krizi hastasının ana koroner arter bifurkasyonunun TAP teknigi ile stentlenmesi

Ahmet Seyfeddin Gürbüz¹, Eylem Kivanç², Yakup Alsancak¹, Ahmet Soylu¹, Mehmet Akif Dünden¹

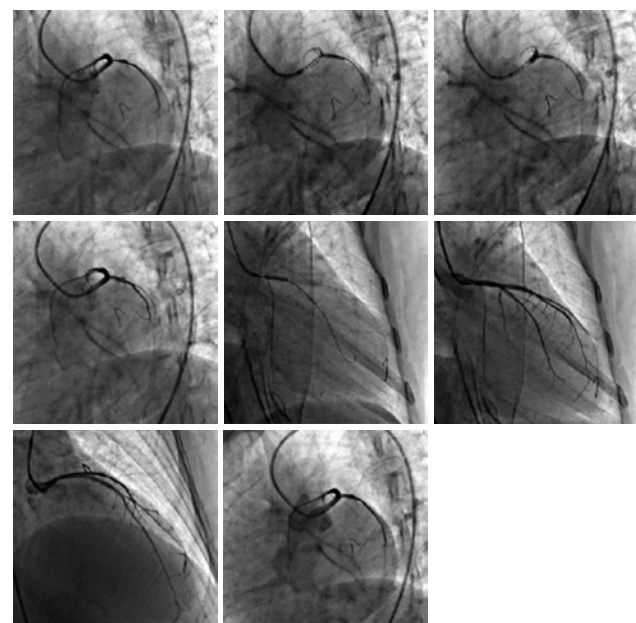
¹Necmettin Erbakan Üniversitesi Meram Tip Fakültesi, Kardiyoloji Anabilim Dalı, Konya

²Eskişehir Asker Hastanesi, Kardiyoloji Kliniği, Eskişehir

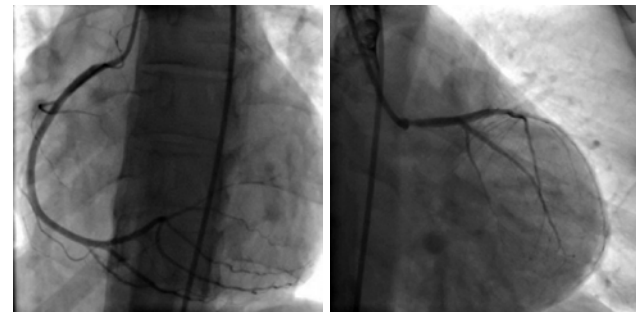
Daha önce bir çok çalışmada yüksek doz östrojen içeren oral kontraseptifler (OKS) ile artmış kalp krizi riski arasındaki ilişki gösterilmiştir. Düşük doz östrojen ve yeni progesteron içeren yeni jenerasyon OKS lerde eski jenerasyon OKS lerde göre kalp krizi riski azaldığı gösterilmiştir. Yeni jenerasyon OKS olan Yasmin (30 µg etinil östradiol and 3 mg drospirenon) kullanan vakamızda hayatı tehdit eden kalp krizi sunulmuştur. Otuзiki yanında gene bayan hasta acil servise yaklaşık 30 dakika önce başlamış şiddetli retrosternal göğüs ağrısı, bulantı ve genel durum bozukluğu ile başvurdu. Arteriyel tansiyon 70/40 mmhg ölçüldü. Elektrokardiografisinde (EKG) I, aVL ve göğüs derivasyonlarında 2 mm ST elevasyonu saptandı. Anamnezinde dokuz yıldır sigara kullanımın olan, hipertansiyon, diyet ve hipertropide timarı olmayan hastanın son 3 aydır OKS (Yasmin) kullandığı öğrenildi. Ekokardiografisinde EF %30, anterior anteroseptum, apiks hipokinetik, mitral yetersizliği hafif izlendi. Hastaya yoğun anterior miyokard enfarktüsü tanısı ile acilen anjiograf labartuarına alındı. Sol sistem koroner anjografisinde sol ören (LAD) arter ostiumundan tıkalı, sol ana koroner arter (LMCA) distalinde kritik lezyon saptandı. LAD ve Circumflex artere (Cx) soft tel ile geçildi. LAD osteal 2.0x15 mm balon ile predilate edildi. LAD de Timi-2 akım sağlandı. LMCA dan LAD ye uzanacak şekilde 3.0x30 mm ilaç salımlı stent (DES) implante edildi. LAD de Timi-3 akım sağlandı. Hastanın hemodinamisi stabil oldu. Cx osteal %99 lezyon saptandı. Cx tekrar tellenerek 2.0x15 mm balon ve 2.75x15 mm non-kompliyen (NC) balon ile kissing balon uygulandı (Şekil 1). Cx osteal %99 lezyon sebat etmesi üzerine Cx e TAP teknigi kullanılarak LMCA-LAD de balon parkı esnasında Cx e 2.5x15 mm DES implant edildi. Stent balonu ve park edilen 2.5x15 mm NC balon ile kissing balon uygulandı. Ardından 3x12 mm NC balon ile POT uygulandı. Tam aııklı sağlandı (Şekil 2). RCA açık saptandı. Hastaya intrakoronar bolus tirofiban uygulaması sonrası tirofiban infüzyon verildi. Hasta 4 gün sonra taburcu edildi. 3 ay sonra göğüs ağrısı olan hastaya kontrol KAG uygulandı. Stentler açık saptandı. Yasmin her kez kademeli jenerasyon bir OKS olsa da daha önce yapılan bir çalışmada Yasmin kullanımında kalp krizi geçirgen hastaların st segment rezolusyonlarının daha düşük oranda, işlem sonrası daha kötü EF ye sahip oldukları ve trombus yüklerinin daha fazla olduğu gösterilmiştir. Sigara ile birlikte kullanım kalp krizi riskini artırmaktadır. Her türlü OKS kullanımını hasta seçimi iyi yapılarak ve kardiyovasküler risk faktörleri iyi ırdelenerek verilmelidir. Ayrıca acil bir hastaada bifurkasyon yöntemi olarak TAP tekniginin seçilmesi, önce anadal akımının sağlanması, 6 F kateterden uygulanabilmesi, kissing balon uygulamasının hızla yapılabilmesi nedeniyle tercih nedeni olmuştur.



Şekil 1.



Şekil 2.



Şekil 3.

OPS-150

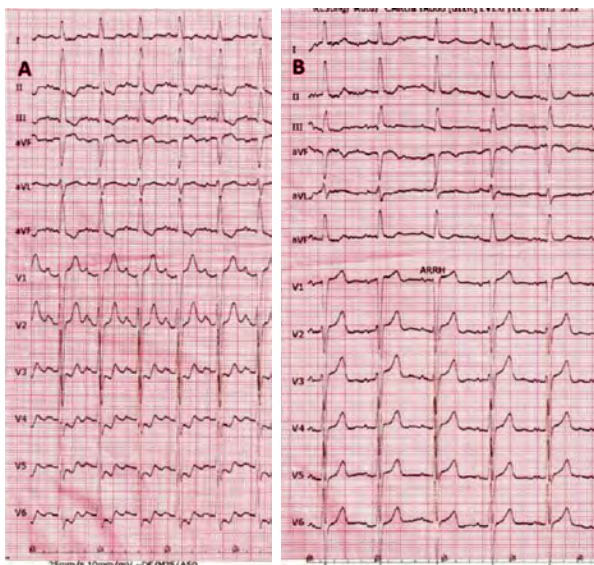
Bir kortikosteroid olan triamsinolon kullanımına bağlı gelişen kounis sendromu

Hasan Korkmaz¹, Mücahid Yılmaz²

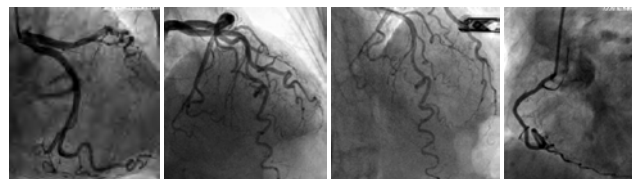
¹Fırat Üniversitesi Tip Fakültesi, Kardiyoloji Anabilim Dalı, Elazığ

²Elazığ Eğitim ve Araştırma Hastanesi, Kardiyoloji Kliniği, Elazığ

Akut koroner sendromlar ile alerjik veya hipersensitivite reaksiyonlarının birlikte görülmemesi klinik pratikte gittikçe artmaktadır. 1991'de Kounis ve arkadaşları "alerjik anjina sendromunu" tarif etmiştir. Braunwald 1998'de alerjik reaksiyonlarda histamin ve lökotrienlerin koroner damar düz kaslarında spazm oluşturabileceğine işaret etmiştir. Herhangi bir alerjik maruziyet sonrası mast hücre aktivasyonu sonucu ortaya çıkan histamin, triptaz, lökotrienler, tromboksan gibi açığa çıkan bir takım mediyatörler aracılığı ile koroner vazospazm görülebilirkenotedir. Günümüzde alerjik anjina veya alerjik miyokart enfarktüsü "Kounis Sendromu" olarak adlandırılmaktır. Koroner arter spazmının sebebi olarak kabul edilmektedir. Antibiyotik, analjezikler dâhil birçok ilaç, kontраст maddeleri, arı ve böcek sokması, insektisit maddeleri ve bazı gıdalar alerjik nedenli koroner vazospazm yaparak Kounis sendromuna neden olabilmektedir. Prednol ve antihistaminiklerle vazospazm düzlemeke klinik cevap alınabilemektedir. Bu olgumuzu triamsinolon kullanımına bağlı Kounis sendromu hastamızdan bahsedilecektir. Olgumuz 52 yaşında bayan hasta. Hastamız kliniğimize dış merkezen non-ST elevasyonlu miyokard infarktüsü tanınila sevk edildi. Hasta göğüs ağrısı öncesi deş merkezde kafa derisinde doktünü ve kaşını nedeni ile dermatoloji kliniğine başvurmuş. Dermatoloji uzmanına yapılan değerlendirme sonucunda hastaya dermatit tanıtıla. Triamsinolon asetonid 40mg/ml (Kenacort-A Retard IM Ampul) tedavisi reçete edilmiş. Tedavinin ilk dozundan yaklaşık 15 dakika sonra hastanın tipik bir anjinal başlamış. Hasta anjina nedeni ile dış merkez acil kliniğine başvurmuş. Çekilen EKG'de DII, DIII, aVF, V3-V6 derivasyonlarında belirgin ST yükselişi olması üzerine kliniğimize sevk edilmiş. Hastanın kliniğimize geldiğinde ağrısı oldukça azalmış ve EKG değişiklikleri devam etmemektedir. Biyokimyasal testlerinde troponin pozitifliği dışında özellik yoktu. Hastanın ağrısı triamsinolon intramusküler tedavisi sonrası başladığı için alerjik bir vazospazm düştürerek 1 ampul antihistaminik (Feniramine maleat 45.5 mg/2ml, Avil amp) yapıldı. Aynı zamanda standart tüm antişkemik tedavi uygulandı. Hasta koroner anjografi labartuarına alındı. Yapılan koroner anjografisinde koroner arterler normal olarak değerlendirildi. Bu nedenle hasta kounis sendromu olarak kabul edildi. Önerilerde bulunarak taburcu edildi. Kounis sendromu tedavisinde antihistaminikler ve prednol gibi steroidler kullanılmaktadır. Bir kortikosteroid olan triamsinolon ile gelişen kounis sendromu bu vakamızın yönüyle oldukça farklı bir vakadır.



Şekil 1. (A) Hastanın geliş EKG'si. (B) Tedavi sonrası EKG'si.



Şekil 2. Hastanın koroner anjiyografi görüntüleri.

OPS-151**Transient complete atrioventricular block associated with ticagrelor therapy after acute coronary syndrome**

Asım Enhos, İlke Çelikkale, Mustafa Ahmet Huyut, Erdem Karaçöp, Nijat Bakshaliyev, Mahmut Uluğanyan, Hatice Aylin Yamaç Halac, Nuray Kahraman Ay, Ziya İsmayıloğlu, Ramazan Özdemir

Department of Cardiology, Bezm-i Alem Vakfı Gureba Training and Research Hospital, İstanbul
A 76 year old hypertensive male patient was admitted to our cardiology department because of typical anginal chest pain for 4h. The patient was hemodynamically stable on admission but electrocardiogram showed normal sinus rhythm, 4 mm ST segment elevation in inferior leads, and 1 mm ST segment depression in D1 – aVL lead. With initial diagnosis of acute inferior wall myocardial infarction we gave the patient 300 mg ASA, a loading dose of ticagrelor and unfractionated heparin. Then he underwent catheter laboratory and right coronary angiogram revealed total occlusion posterior descending artery and mid segment of RCA. Right coronary balloon angioplasty to distal and mid RCA.TIMI III flow was successfully obtained. After the procedure the patient was asymptomatic and hemodynamically stable. Electrocardiogram showed normal sinus rhythm (heart rate: 61 beats per minute), pathologic Q waves in inferior leads, and first degree atrioventricular block(PR length: 29 msec). (Figure 1) We didn't start beta blocker therapy and decided to continue ticagrelor. Hence, the patient received a loading dose of 180 mg ticagrelor. Ten hours later after ticagrelor therapy, complete atrioventricular block (heart rate: 50 beats/min.) (Figure 2) appeared on continuous ECG monitoring but the patient was asymptomatic and hemodynamically stable so we didn't plan to perform temporary pacemaker. The patient was in atrioventricular block although 2 days after ticagrelor therapy despite good right coronary patency revealed by control angiography (Figure 3) The treatment with ticagrelor was stopped and clopidogrel was started. On the third day after stopping ticagrelor, the patient was mainly in normal sinus rhythm with first degree atrioventricular block and remained in normal sinus rhythm (heart rate: 71 beats per minute)(Figure 4) for 4 days with no recurrences of advanced heart block. The patient was discharged in good clinical status and during one month of follow-up there were no recurrences of heart block or any other bradyarrhythmias.

Conclusion: According to the PLATO trial, ticagrelor may lead to increased incidence of asymptomatic ventricular pauses. In addition, there are some reports about the side effects of ticagrelor like bradycardia and dyspnea. It is considered that the inhibition of the re-uptake of adenosin from the red cells and increasing plasma concentration of adenosine may be responsible for the bradycardic effect of the ticagrelor.

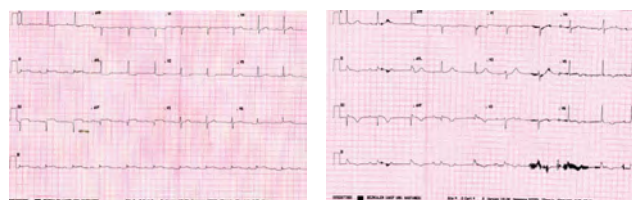


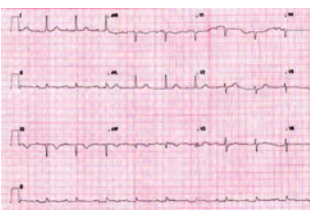
Figure 1.



Figure 2.



Şekil 3.



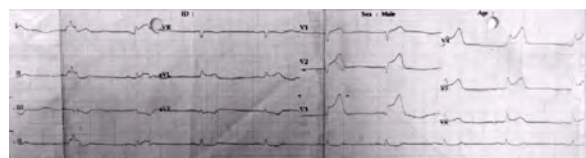
Şekil 4.

OPS-152**Akut LAD stent trombozu ile ilişkili inferior derivasyonlarda ST elevasyonu**

Ersin İbişoğlu, Hacı Murat Güneş, Filiz Kızılırmak Yılmaz, Güntekin Günhan Demir, Mehmet Onur Omayenç, İbrahim Öğuz Karaca, Beytullah Çakal, Fatih Erkam Olgun, Ümeyir Savur, Filiz Çelebi, Deniz Dilan Naki, Tayyar Gökdenez

İstanbul Medipol Üniversitesi Tip Fakültesi, Kardiyoloji Anabilim Dalı, İstanbul

Miyokard enfarktüstünde görülen ST-segment elevasyonu koroner lezyonlar açısından oldukça yol gösterici özelliğe sahiptir. 45 yaşında ağır sigara bağımlısı bir erkek hasta acile 30 dakikadır başlayan göğüs ağrısı şikayetileyi başvurdu. Çekilen 12 derivasyonlu EKG'de D1, AVL, V1-V6 derivasyonlarında ST-segment elevasyonu görüldü ve yapılan koroner anjiyografisinde sol inen koroner arter (LAD) lezyonu olduğu gösterildi. Primer girişim planlanıp lezyona stent takılarak tedavi edildikten sonra hasta koroner yoğun bakıma takınılmamalı alındı. Çekilen EKG normal sinüs ritimindeydi. 20 dakika kadar sonra hastanın göğüs ağrısı tekrarlayıncı çekilen EKG'de D2, D3, AVF derivasyonlarında ST-segment elevasyonu olduğu tespit edildi. Hasta tekrar kater labo-ratuvarına alındı. Yapılan koroner anjiyografide proksimal LAD'ye takılan stentin başlangıcından itibaren tromboze olduğu izlendi. Lezyon yeniden tedavi edildikten sonra hasta üç gün koroner yoğun bakımda takibinin ardından şifa ile taburcu edildi.



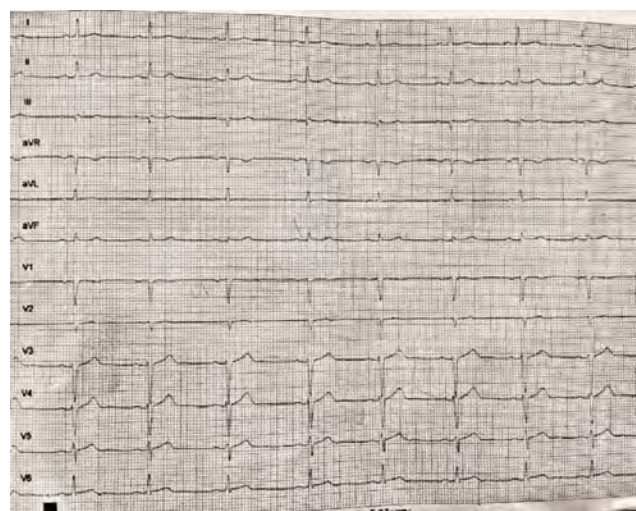
Şekil 1. Anterior miyokard infarktüsü.



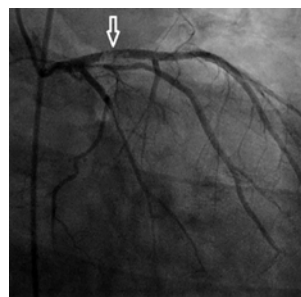
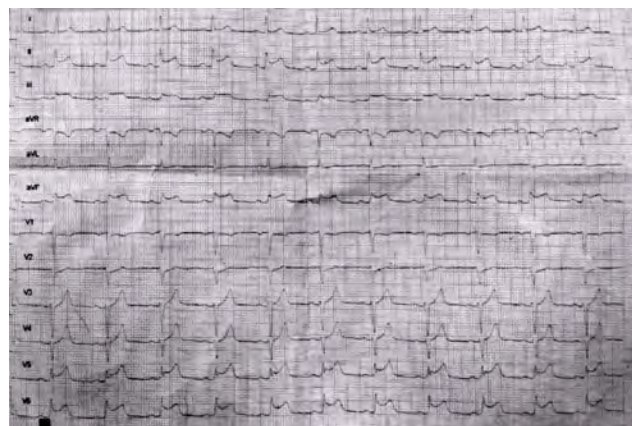
Şekil 2. LAD proksimal oklüzyon.



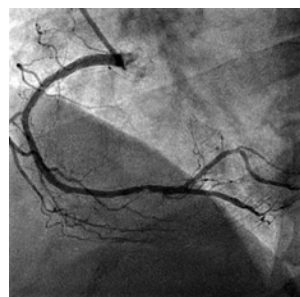
Şekil 3. Başarılı revascularizasyon.



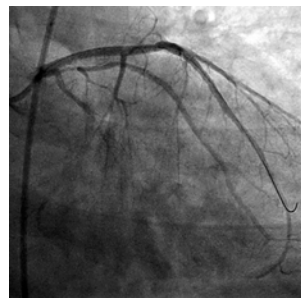
Şekil 4. Normal sinüs ritmi.



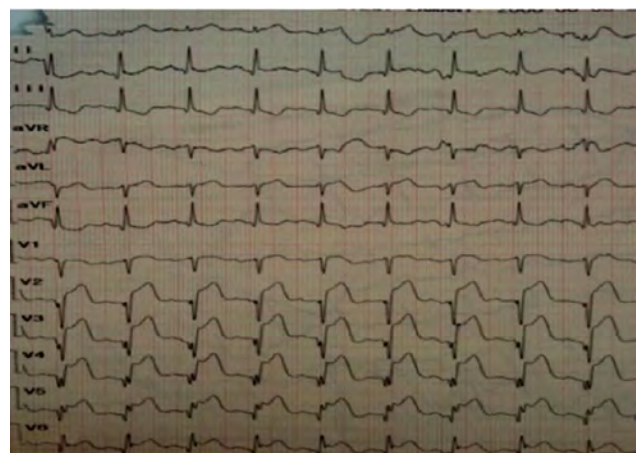
Şekil 6. Akut LAD stent trombozu.



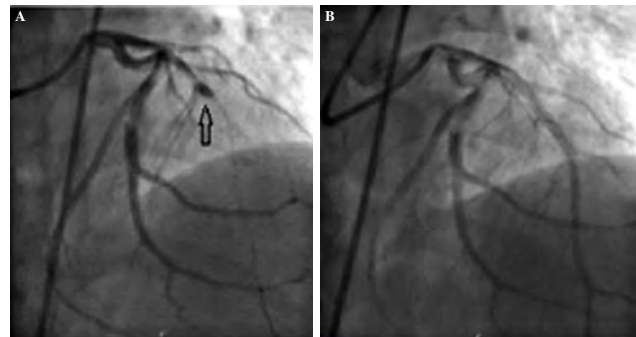
Şekil 7. RCA.



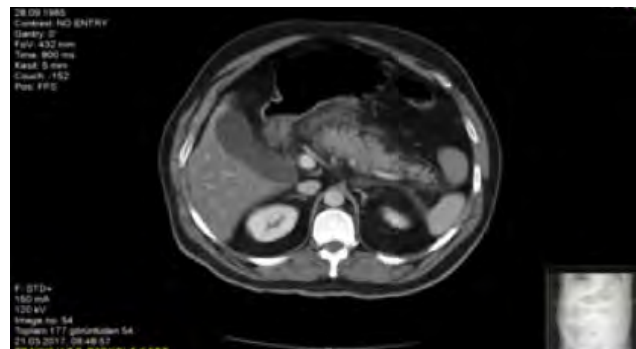
Şekil 8. Başarılı revascularizasyon.



Şekil 1. V2-V6 ST segment elevasyonu.



Şekil 2. (A) Sol sistem görüntülemesi LAD lezyonu. (B) LAD stent implantasyonu sonrası Cx lezyonu.



Şekil 3. Pankreas korpus baş ve unsınat proses bölümündeki peripankreatik yağlı planlarda inflamasyonlu uyumlu heterojen ödematoz görünümlü.

OPS-153**Ciddi Hipertriglisediminin ölümçül komplikasyonu: Akut pankreatit ve akut ST elevasyonlu miyokart enfarktüsü birlikteliği**

Utku Zeybey, Ali Manav, Cihan ÖzTÜRK, Servet Altay

Trakya Üniversitesi Tip Fakültesi, Kardiyoloji Anabilim Dalı, Edirne

Hipertrigliseridemi, akut pankreatit etyolojisinde iyi bilinen bir etken olarak yer almaktadır. Hipertrigliseridemi çeşitli mekanizmalarla akciğer, karaciğer, kalp gibi çeşitli organlarda patolojilere yol açmaktadır. Daha önce tanısı olmayan bir hasta, akut miyokart enfarktüsü (AMI) ve akut pankreatit kliniğine neden olan hipertrigliseridemi olgusu ve tedavi önemini summatkayız.⁵² yaşında erkek hasta acil servise bir gün önce başlayan ve iki saatir şiddetlenen epigastrik bölgeden başlayan, göğüs ve kola yayılan ağrı şikayeti ile başvurdu. Çekilen elektrokardiografsinde V2-V6 derivasyonlarında 2 mm ST segment elevasyonu saptandı. Koroner angiografide LAD diyalogonel sonrası total oluklu olması üzerine 1.5x15 mm çapında balon dilastasyonu sonrası 3.0x20mm boyuttunda evolimus kaplı stent implant edildi, trombus yükü ve sirkumflex arterde tromboze lezyon olması üzerine absiksma infüzyonu başlanarak yoğun bakıma alındı. Yoğun bakım takiplerinde epigastrik bölgesinde ağrıs devam eden hastanın tetkiklerinde lipid profilinde trigliserid 1862 mg/dl olarak izlendi. Kontrastlı batın bülgesiyle tomografisinde akut ödematoz pankreatite uyumlu görüntü saptandı. Hastaya akut pankreatit tanısı konuldu. Özellikle genç, aile öyküsü olan, hipertrigliseridemi olduğu bilinen hasta akut koroner sendromla başvuruyorsa A.pankreatit olabileceğini düşündürmekle bir batın muayenesi de özenle yapılmalıdır. Bu hastada başlangıçta A.pankreatit tanısı konulmuş olsa da STEMI nedeniyle primer PKG yapılması gereklidir. Bu şekilde başvuran hastalarla islemim (PKG) detaylarına (Gp2b3a başlaması, ilaç kaplı/çiplak metal stent seçimi) ilgili cerrahi branslar ile ortak değerlendirme yapılmalı ve tüm bunların sonucuna göre destek, tedavisi daha erken yapılp cerrahi planlanacaksız optimal koşulların sağlanabileceğinin düşünülmelidir.

OPS-155**A rare coronary anomaly was detected during the angiography in patient with acute coronary syndrome; Left main coronary artery agenesis and right aortic origin of the left coronary system**

İsmail Üngan, Alper Vural, Fatih Rifat Ulusoy, Fatih Beşiroğlu, Mehmet Kocaaga, Feyza Kurt, Sabır Jahid

Department of Cardiology, Yalova State Hospital, Yalova

Introduction: The coronary artery anomalies are classified into abnormalities of origin, distribution and termination. The incidence of anomalous origination of the left coronary artery from right sinus is 0.15%. We aimed to present an anomalous origin of left coronary arteries arising from the opposite sinus with separate ostium.

Case: A 64-year-old Turkish man with a two-day history of exertional angina applied to our clinic. There were neither previous episodes of myocardial infarction nor a history of sudden cardiac death. Cardiovascular physical examination and the resting electrocardiogram were normal. Similarly, echocardiography showed a normal findings and no alterations of segmentary motion. Yet, troponin level was found high (Troponin T: 2.14 ng/dl, cut-off 0.1 ng/dl). Coronary angiography was performed through right femoral artery route. The attempt with left Judkins catheter was failed because left coronary ostium could not be found. During the visualization of the right artery, however, it was seen that the left coronary system is originated from the right aortic sinus and a separate ostium (Figure C). Culprit lesion was found in the right coronary artery (RCA) and a successful

percutaneous coronary intervention (PCI) was performed (Figure A, B). The 128-slice computed tomography (CT) coronary angiography of the patient showed that the left anterior descending artery is anterior to the right ventricular out flow tract while the left circumflex artery is posterior and it is in its normal position. The RCA had normal anatomical appearance (Figure D).

Conclusion: Anomalous origin of coronary arteries from opposite sinus of valsalva is rare finding. Coronary exit anomaly coexistence in our case is quite rare (0.08%) and it is aimed to contribute to literature.

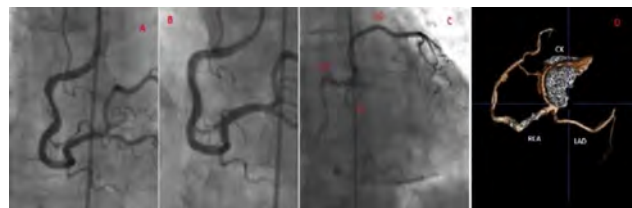


Figure 1. (A) Serious stenosis in RCA proximal section. (B) RCA image after PCI. (C) Observation of coronary ostium separately from right aortic sinus during non-selective aortography. (D) Outflow and course of coronary arteries in CT angiography.

OPS-156

A cutaneous anthrax case complicated with electrocardiographic ST-segment elevation and troponin positivity

Mustafa Çelik¹, Erdoğan Sökmen¹, Sinan Cemgil Özbeğ¹, Ahmet Yılmaz², Recep Karataş³

¹Department of Cardiology, Ahi Evran University Training and Research Hospital, Kırşehir

²Department of Cardiology, Karaman State Hospital, Karaman

³Department of Cardiology, S.B. Aksaray University Training and Research Hospital, Aksaray

A 14-year old male child patient was admitted by his parents to the emergency department of İğdır State Hospital with the complaints of chest pain for 2 days. It was learned from his history that he had been working as a shepherd boy. The physical examination revealed the following FINDINGS: pulse, 65 beats/min; respirations, 17/min; body temperature, 36.8 °C; blood pressure, 110/65 mmHg. A painless necrotic eschar of 1x1 cm diameter which was surrounded by a vesiculobullous area with undefined borders was notified in the anterior surface of the right forearm. A 12-lead resting electrocardiogram (ECG) taken on admission showed a diffuse segment elevation with a greater elevation in leads V5 and V6 (Figure 1). The reading on the pulse oximeter was 98%. Laboratory values on admission were: the leukocyte count, 8870/mm³ with a neutrophil count of 7631/mm³; CRP, 9.8mg/dl (normal:0-0.5 mg/dl); AST, 64 U/L (normal:<45 U/l); ALT, 43U/l (normal 8-40 U/L); Troponin I, 2.77 µg/l (normal 0.0-0.3 µg/L); BUN, 30 mg/dL; creatinin 0.7 mg/dL; hemoglobin, 13.1 g/dL. An echocardiographic evaluation revealed normal left ventricular function and wall motion with no valvular pathology, pericardial thickness or hyperechogenicity, and pericardial effusion. Due to the fact that the presence of acute myocardial infarction could not be ruled out considering the universal definition of myocardial infarction, the patient was administered to coronary intensive care unit and was put on an empirical constellation of treatment including enoxaparin 0.4 cc administered subcutaneously, and clopidogrel 75 mg and ASA 300 mg, along with a troponin and ECG controls every 6 hours. He was also consulted to an infectious disease specialist for the eschar formation in forearm. A Gram stain was performed on a smear obtained from the scar area, and Gram-positive bacilli were observed. Considering altogether the presence of a typical black eschar formation surrounded by a vesiculobullous lesion with undefined borders, absence of pain and high fever and a history of close contact with livestock and livestock products and demonstration of Gram-positive bacilli from smear obtained from the eschar lesion, the patient was diagnosed with anthrax. Accordingly, antibiotic treatment regimen including crystallized Penicillin G administered intravenously as 4 million units every 4 hours for 7 days and oral Ciprofloxacin 500mg twice daily as a maintenance therapy for the next 7 days. Daily echocardiographic examination did not show any dynamic wall motion abnormality, nor any pericardial thickness or effusion. Global left ventricular systolic function was observed to be normal. Moreover, repeat ECG strips demonstrated ST segment resolution (Figure 2). During follow up, cardiac troponin I level became 0.69 µg/L on the second day of hospital admission. The patient was discharged from the hospital in a good health status with the advice of a subsequent follow-up visit to the out-patient clinic 7 days later.

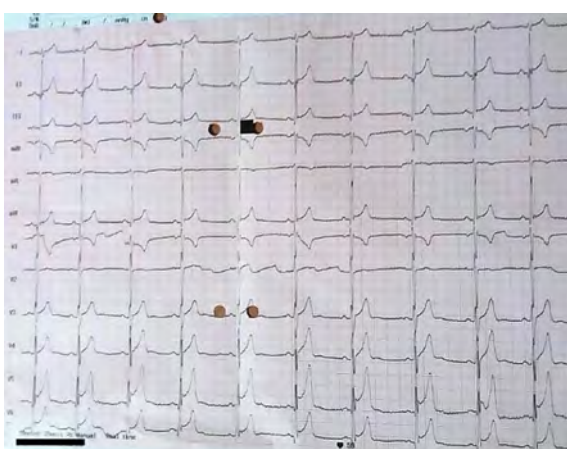


Figure 1. The admission ECG of the case.

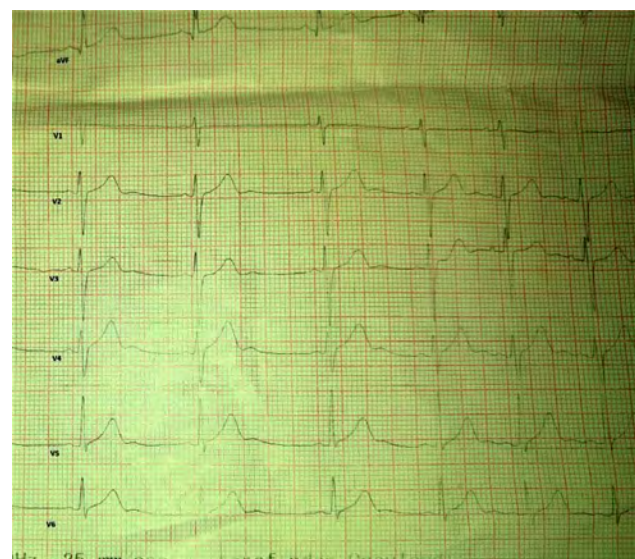


Figure 2. Resolution of ST elevation following therapy.

OPS-157

Acute inferior myocardial infarction in a young patient with psoriasis

Özgül Uçar Elalmış, Havva Tuğba Gürsoy, Burcu Özyczagan, Ümit Güray,

Ahmet Korkmaz, Can Özkan, Mehmet Ileri

Department of 1st Cardiology, Ankara Numune Training and Research Hospital, Ankara

Introduction: Psoriasis is a chronic inflammatory skin disease affecting 1-3% of the general population. Current data suggest increased cardiovascular risk in patients with psoriasis, which cannot be explained by traditional risk factors.

Material and Methods: A 22-year-old male patient with psoriasis presented to emergency department with chest pain which started four hours ago. Twelve-lead electrocardiogram revealed 1 mm ST-segment elevation and T negativity in leads D2, D3, aVF, V5, V6. His vitals and body temperature were normal. He had no coronary artery risk factors other than cigarette smoking. He has been smoking half package a day for four years. His blood biochemistry and lipid profile were normal. He had elevated white blood cells in hemogram (WBC: 23800/mm³, 89% neutrophils). The patient was taken to catheter laboratory immediately. Coronary angiogram revealed massive thrombus in the proximal right coronary artery (RCA) with distal TIMI 3 flow. Left main coronary artery, left anterior descending artery and left circumflex artery were normal (Figure 1). We started tirofiban infusion and continued for 48 hours. The patient also received traditional medical therapy with aspirin 100 mg/day, ticagrelor 2x90 mg, subcutaneous enoxaparine, metoprolol 50 mg/day, perindopril 5 mg/day and atorvastatin 20 mg/day. At the time of hospitalization the patient was taking topical steroids and retinoids for treatment of cutaneous psoriasis. He had no psoriatic arthritis.

Results: A control angiogram after tirofiban infusion was normal. Transthoracic echocardiography revealed mild hypokinesis of left ventricular inferior wall with an ejection fraction of 55%. The patient also had a history of pulmonary thromboembolism after a traffic accident. Therefore we consulted him to hematology department for thrombophilic testing. The coagulation factors, anticardiolipin antibodies were normal, PAI gene 4G/5G mutation was not detected. Finally, they concluded that the patient had no genetic thrombophilic mutation.

Conclusion: We decided that the acute coronary syndrome was associated with psoriasis in this 22-year-old patient. In a recent Danish cohort, a significantly increased risk of myocardial infarction (MI) was found in patients with psoriasis. Psoriasis and atherosclerosis share many common pathological pathways. These include T-helper cell activation, an excess of Th-1 cytokines, and imbalances in the interleukin 1 pathway favoring inflammation. Psoriasis is also associated with vascular thrombosis, especially in the venous bed. Acute coronary syndrome should be ruled out even in very young patients with psoriasis and chest pain. Finally, in several studies, psoriatic patients treated with tumor necrosis factor inhibitors had a reduction in MI risk.

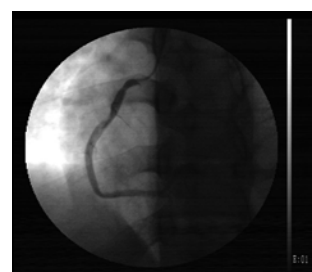


Figure 1. Coronary angiogram reveals thrombus in proximal RCA.

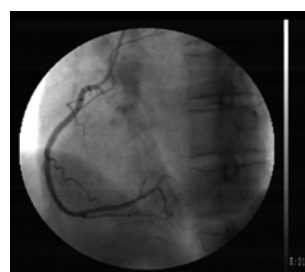


Figure 2. Control coronary angiogram after tirofiban infusion. Thrombus is dissolved and RCA is normal.

OPS-159**Huge coronary aneurysm causing acute myocardial infarction in a young patient**

Ahmet Yanık, Faruk Boyacı, Uğur Arslan

Department of Cardiology, Samsun Training and Research Hospital, Samsun

A 29-year-old man with no cardiac risk factors was admitted to our coronary ICU with acute anterior MI. Emergent primary PCI was planned and coronary angiography was performed. LAD artery was totally occluded in the mid-segment. This lesion was passed with a floppy guidewire and PTCA was performed with 2.0/15 mm and 2.5/15 mm balloons. After PTCA of total occlusion, distal TIMI-2 flow was obtained and a severe aneurysmatic dilatation was observed in LAD (Figure 1). 3.0/23 mm and 3.0/27 mm sized graft stents (Fluency, Bart, USA) were implanted to this lesion and distal TIMI-3 flow was obtained in LAD (Figure 2). After stent implantation, the aneurysm disappeared with no-flow into its sac. The patient was discharged with medical therapy including ASA, clopidogrel and atorvastatin. He was asymptomatic at his polyclinic visits in the first and third month.

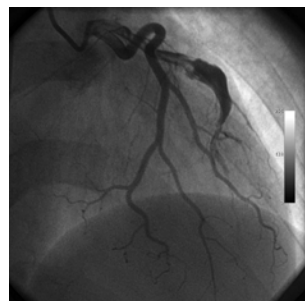


Figure 1. Huge coronary aneurysm causing acute myocardial infarction.



Figure 2. Treatment of the coronary aneurysm with graft stents.

OPS-160**Sağ koroner sinus çıkışlı lateral MI**

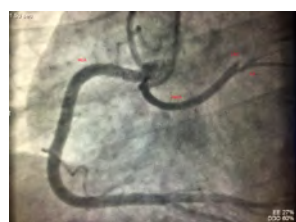
Hasan Ali Barman, Koray Demir, Koray Celal Demirel, Adem Atıcı, Fatih Öztürk

Muş Devlet Hastanesi, Kardiyoloji Kliniği, Muş

Amacı: Koroner anjiyograf yapılan hastaların yaklaşık %0.5'inde koroner arter anomalisi saptanmaktadır. En sık görülen anomali sol ön ana koroner arter (LAD) ve sirkumflexin (Cx) sol ana koroner arter yerine ayrı ayrı çıkışmasıdır. Bunu sağ koroner arterin (RCA) sol koroner sinüs çıkışması ve Cx'in sağ koroner sinüsün çıkışını takip etmektedir. Bu yazda oldukça nadir görülen bir konjenital anomali olan sol ana koroner arterin sağ sinus valsalvadan çıktıığı bir olgu sunulmuştur.

Oluğu: Altmış üç yaşındaki kadın hasta 3 saatten beri devam eden ve sol omuza yayılan göğüs ağrısı ile hastaneye başvurdu. Daha önceden hiçbir şikayetleri olmadığı gibi koroner arter hastalığı için yaş dışında herhangi bir risk faktörü de yoktu. Fizik muayenede kan basıncı 110/70 mmHg, kalp hızı 80/dakika idi. Sistem muayeneleri normaldi. Elektrokardiyografide DI-aVL'le ST elevasyonu vardı. Hasta akut lateral miyokard infarktüsü tanısı altı acil KAG laboratuvarına alındı. Yapılan koroner anjiyografide sol ana koronerin sağ sinus valsalvadan çıktıığı tespit edildi. (Şekil 1) LAD proksimalde tam tikali izlendi. RCA ve Cx normal idi. LAD'ye 2.75x26 mm ilaç salımlı stentimplante edildi. Nonkompliyan 3.5x15 mm balon ile postdilatasyon yapıldı. Tam açıklık sağlanan. Komplikasyon olmadı. (Şekil 2, 3) Hasta asetilsalisilik asit, klopidogrel, metoprolol tedavisi altında taburcu edildi.

Sonuç: Sol ana koroner arterin sağ sinus Valsalvadan çıkışması oldukça nadir görülen bir anomalidir. Hastanın прогнозu sol ana koroner arterin seyrine bağlıdır.



Şekil 1.



Şekil 2.



Şekil 3.

OPS-161**İdiyoventriküler ritm ile akut koroner sendrom ilişkisi**

Ecem Gürses, Serdar Payzin, Benay Özbay

Ege Üniversitesi Tıp Fakültesi, Kardiyoloji Anabilim Dalı, İzmir

Elli dört yaş kadın hasta bilinen sigara dışında kardiyovasküler risk faktörü bulunmamaktadır. Hastaya yaklaşık 4-5 saatlik devam eden sıkıştırıcı vasisita göğüs ağrısı ile Ege Üniversitesi Tıp Fakültesi Acil Servis başvurmuştur. Hastanın çekilen EKG Sintüs ritimi D3 Q dalgası, D3 T - izlenmemiştir. Kardiyak enzim artışı olması üzerine Non ST eleve Myokard Enfarktüs tanısı ile Ege Üniversitesi Kardiyoloji Kliniği Koroner Yoğun Bakım Ünitesi'ne yatırıldı. Hastanın anjina şikayet devam etmesi üzerine koroner anjiyografi alındı. 5/7/2017 KAG raporu LMCA normal LAD prox plak mevcut, CX normal RCA proximal %100 Total okluz. Medikal Takip kararı alındı. Hastanın anjina şikayet devam etmesi üzerine aralık Morfin uygulandı, Perlinganit infüzyon başlandı, dinamik EKG değişikliği izlenmedi. 11/7/2017 Ekokardiyografi LVEF %50 RVEF %30 TY 1-2 MY 1 SPAP 27 Inferior septum, inferior hipokinetic. RV anterior akinetic, lateral ileri hipokinetic saptandı. Hastanın antiiskemik tedavi düzlenerek taburcu edildi.

OPS-165**Modafinil kullanımı sonrasında gelişen akut koroner sendrom vakası**Bahar Tekin Tak¹, Habibe Kafes¹, Firdevs Ayşenur Ekipler¹, Pınar Eraslan², Özcan Özke¹, Dursun Aras¹¹Ankara Türkiye Yüksek İhtisas Hast. Kardiyoloji Bölümü, Ankara²TC. SB. Dr. Abdurrahman Yurtaslan Ankara Onkoloji Eğitim ve Araştırma Hastanesi, Psikiyatri Kliniği, Ankara

Kırk beş yaşında bayan hasta dikkatini sürdürmemeye ve gündüz uykulu şikayetleri ile psikiyatri polikliniğine başvurdu. Hastanın öyküsünde yağın kas ağruları nedeni ile iki ay süresince duloksetin 60 mg kullandığı öğrenildi. Hastanın fizik muayenesinde santral obeziteharicinde patolojik bulgu saptanmadı. Biyokimya parametrelerinden HDL-kolesterolü düşük, LDL-kolesterolü yüksek diğer parametreler normal sınırlarda saptanmış. Hastanın sigara, alkollü alımı, koroner arter hastalığı aile öyküsü ve bilinen sistemik hastalığı yoktu. Modafinil 100 mg/gün, sabah tok karmaşası almazı onerilen hasta ilaç almadan yaklaşık 4-6 saat sonra başlayan ve 30 dk devam eden göğüsde baskı sıkıştırıcı vasisita ağrı ile acil servise başvurdu. Hastanın yapılan fizik muayenesi normal, kan basıncı 110/65 mmHg, kalp hızı 92/dk idi. EKG'de sintüs ritimi 77/dk ve non-spesifik ST-T değişiklikleri izlendi. Hastanın yapılan kan tetiklerinde troponin T 0.11 mg/dl (<0.05) CK-MB: 19 mg/dl, hemogram ve biyokimya değerleri normal saptandı. Yapılan transtorasik ekokardiyografiye yapısal kalp hastalığı izlenmedi. Hastanın kontrol troponin değeri 0.17 mg/dl artma eğiliminde olması ve göğüs ağrısı devam etmesi üzerine akut koroner sendromu on tanısı ile koroner anjiyografie alındı. Yapılan koroner anjiyografide sol on ana koronerde LAD belirgin yavaş akım izlendiği, sağ koroner arter (RCA) ve sirkümflex arter (CX) normal izlendi. Medikal tedavi başlanan hastanın takiplerde göğüs ağrısı ve kardiyak troponin değerleri gerileme gösterdi. Modafinil narkolepsi olarak adlandırılan gündüz uykululuğu ile giden çeşitli klinik durumların tedavisinde kullanılmaktadır. Kesin mekanizması tam olarak anlaşılamamakla birlikte doyal olarak gama-aminobütirikasit (GABA) inhibitörü, dopamin reseptör agonizması ve alfa-1 adreneryk agomizme yaptığı düşünülmektedir. Kafein, Dekstrofetamin gibi psikostimülantlarla karşılaşıldığında uyarılık ve dikkati koruma gibi alanlarda benzer özenle ve bilিশ etkiler göstermektedir. Bilinen kardiyovasküler yan etkileri arasında hipertansyon, çarpıntı, göğüs ağrısı, taşkırdı, yem alma güçlüğü, baş ağrısı, baş dönmesi, kalp hastalığı, akut koroner sendrom ve kalp yetmezliği olan hastalarda modafinil kullanımı ile ilgili yeterli çalışma yoktur. Birçok sitokot P 450 izoenzimler üzerinde inhibisyon ve induksiyon etkisi bildirilmiş olup bu nedenle ilaç etkilesiminin fazla olduğu bilinmemektedir. Duloksetin ile ilaç etkilesimine dair yeterli bilgi bulunmamaktadır. Literatürde henüz bizim vakamızda olduğu gibi modafinil kullanımı sonrasında gelişen muhalefet modafinil kullanımını ile ilişkili olduğu düşünülen altı akut koroner sendrom vakası bilirilmemiştir. Modafinil kullanımının kardiyovasküler sistem hastalık öyküsü olmayan, bununla birlikte bu açıdan risk faktörünün on kişilerde kardiyovasküler hastalıklarıolası tetikleyici yan etkisi ile ilgili daha ileri çalışmalarla ihtiyac vardır.



Şekil 1. Koroner anjiyografik görüntüleri.



Şekil 2. Koroner anjiyografik görüntüleri.



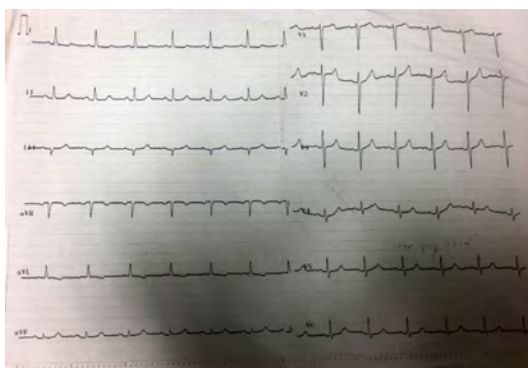
Şekil 3. Koroner anjiyografik görüntüleri.



Şekil 4. Koroner anjiyografik görüntüleri.



Şekil 5. Koroner anjioografi görüntüleri.



Şekil 6. Elektrokardiyografi.

OPS-167

Pil replasmani sonrası emosyonel stress ile tetiklenen akut miyokard enfarktüsü. Kanama komplikasyonu kaçınılmazdı çözüm basit oldu: Intrakoroner nitrat (vazospazm)

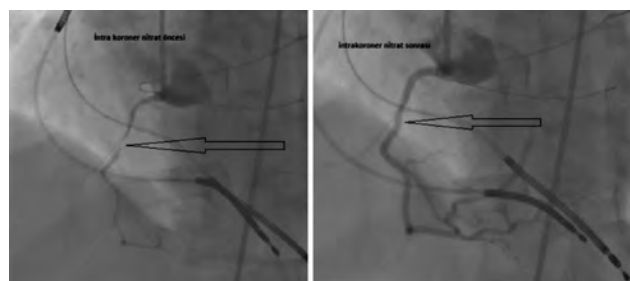
Deniz Demirci, Duygu Ersan Demirci, Rauf Avcı

S.B. SBÜ Antalya Eğitim ve Araştırma Hastanesi, Kardiyoloji Kliniği, Antalya

Giriş: Koroner arter spazmi terimi, epikardiyal koroner arterin tam veya tama yakın tikamılığı neden olan ani, yoğun bir vazokonstriksiyonu ifade eder. Varyant angina ilk olarak 1959'da Prinzmetal ve arkadaşları tarafından tanımlanmıştır.

Olgı: Altı yaşındaki erkek hasta pil replasmanı tedavisinden bir gün sonra emosyonel stres ile tetiklenen bir göğüs ağrısı yakınıması başlادı. EKG'de inferiyor derivasyonlarda >1 mm ST segment yükselmeleri saptandı. Kateter laboratuvarına alındı. Bir gün önce yapılan pil replasmani nedeniyle kanama komplikasyon risk çok yüksekköndür. Koroner anjioografide önce sol koroner arterler görüntünlendi. Sol inen koroner damarda ciddi lezyon vardı. Ancak klinikle uyumlu olmadığı için sorumlu lezyon olarak düşünülmemişti. Sağ koroner damarda daha kritik ve klinikle uyumlu bir lezyon saptandı. Ancak hastanın klinik ve koroner damarlardaki görünüm nedeniyle öncelikle vazospazm ekarte etmek içi intrakoroner nitrat uygulanması yapıldı. Intrakoroner nitrat sonrası sağ koroner damardaki kritik lezyon tamamen gerekli gibi görüldü. Ardından tekrar sol koroner damalar incelenince de belirgin bir şekilde vazospazmin gerilemiş olduğu görüldü. Sol inen damarda %70 darlığı sebat ettiği görüldü. Hematom riski nedeniyle ileri tarichte elektif olarak percutan koroner işlem planlandı. Bu olgumuzda olası stentleme işlemi sonrasında uygulanacak antiagregan ve antikoagülân sonrası kanama komplikasyon riski çok yüksekti. Intrakoroner nitrat uygulanmamış olması durumunda stentleme yapılması irrasyonel bir tercih gibi görülmeyebilirdi. Ancak yapılan nitrat tedavisi ile olası bir takım komplikasyon zinciri baştan çözülmüş oldu. Bu olguda klasik bir myokart enfarktüsüne göre ağrı çok daha şiddetli yayının ve huzursuz edici idi muhtemelen tüm koroner damarlarda olan daralma ve ona ikincil gelişen iskemi bu kliniği doğurmuştu.

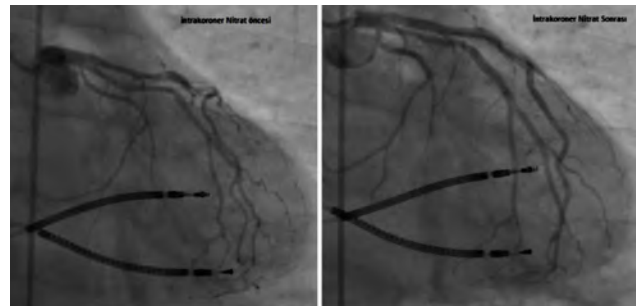
Sonuç: Klinik durum uygun olduğunda PCI kararı verilmenden önce rutin intrakoroner nitrat uygulayarak vazospazm ayırcı tanısı yapmak rasyonel bir yaklaşım olacaktır. Özellikle çok şiddettil bir klinik varlığında vazospazma bağlı yaygın iskeminin olabileceğini akılda tutmalıdır.



Şekil 1. Sağ koroner arter. Solda intrakoroner nitrat öncesi enfartüstesten sorumlu subtotal RCA lezyonu.



Şekil 2. Sol koroner damalar / sağ kranial poz.



Şekil 3. Sol koroner arterler kanial poz.

Aile hekimliği

OPS-168

A severe drug-drug interaction case between apixaban and naproxen

Abdullah Nabi Aslan¹, Murat Can Güney², Serdal Baştug¹, Hacı Ahmet Kasapkara², Murat Akçay², Nihal Akar Bayram², Tahir Durmaz², Engin Bozkurt²

¹Department of Cardiology, Ankara Atatürk Training and Research Hospital, Ankara

²Department of Cardiology, Yıldırım Beyazıt University Faculty of Medicine, Ankara

Atrial fibrillation (AF) increases the risk of ischaemic stroke by five-fold and is associated with 15 % strokes for all age groups and 30% in persons over the age of 80 years (1). Effective stroke prevention usually requires oral anticoagulation (OAC) and until recently, vitamin K antagonists (VKAs, e. g. warfarin) were the only OAC available. However, the use of warfarin has many limitations, including the need to ensure proper anticoagulation control by regular monitoring, many interactions with drugs and diet (2). To overcome these limitations, the non-VKA oral anti-coagulants (NOACs) have been introduced and offered relative efficacy, safety, and convenience compared to VKAs (3). Apixaban is a NOAC and an effective alternative to warfarin due to their proven efficacy in reducing stroke and thromboembolic events and safer profile (4). Although drug interaction is not commonly seen with apixaban compared to VKAs, it is not completely safe. Here, we presented a 82-year-old female patient using apixaban for AF and suffering from bilateral outragous erythematous lesions at upper and lower extremities 12 hours after taking naproxen that is one of the non-steroidal anti-inflammatory drugs (NSAIDs). A 82-year-old female patient was admitted to our hospital due to acute onset of erythema at her bilateral upper and lower extremities (Figure 1). Her past history revealed AF and hypertension (HT). Examination at admission revealed subtle erythema on her forearms, hands and feet. The involved areas were warm to touch but not painful. She was on apixaban and diltiazem treatment for AF and valsartan treatment for HT. We learned from the patient's past history that, warfarin had been stopped one year ago because of labile internationalized normalized ratio (INR) and apixaban 5 mg twice a day had been started. However, patient talked to use apixaban 5 mg once a day without problems since prescription. Laboratory parameters included international normalized ratio (INR) was 1.23. All possible causes of this dermatologic problem were examined in detail and we have found that the dermatological complaints has been started nearly 12 hours after receiving one dose of naproxen 500 mg, a NSAID, due to severe back pain. We suspected from a drug-drug interaction between apixaban and naproxen and therefore withdrew the apixaban. To exclude a possible drug reaction, a skin biopsy early in the course of the disease was performed. Histopathologic evidence included extravasation of erythrocytes, many neutrophils in the lumina of the dilated venules, edema of the papillary dermis, angiectases of capillaries in the superficial dermis. This result was in consistent with a drug reaction. Patient was followed-up under subcutaneous enoxaparin for a while. Within a week, lesions began to resolve and completely disappeared after 2 weeks. Then, apixaban (5 mg twice a day) was started again without any complications at follow-ups.



Figure 1. (A) Clinical examination of patient showing nearly confluent symmetric erythematous lesions on upper extremity palm and forearm. (B) Upper extremity erythema at the dorsum of the hand. (C) Lower extremity plantar and dorsal erythema.

Diğer

OPS-169

Atherothrombosis or another reason? Lessons from a case of retinal vein occlusion

Yalçın Boduroğlu¹, H. Yasemin Yıldız², Hakan Aslan³

¹Department of Cardiology, Antalya Private Opera Yaşam Hospital, Kardiyoloji Bölümü, Antalya

²Antalya Private Opera Yaşam Hospital, Antalya

³Antalya Private Yaşam Hospital, Antalya

Background: Retinal vein occlusion (RVO), the second most common retinal vascular disease after diabetic retinopathy. Most elderly patients have a history of atherosclerotic disease, hypertension, diabetes mellitus but young patients may have thrombophilia, connective tissue diseases, antiphospholipid antibody syndrome, hyperhomocysteinemia. Systemic lupus erythematosus (SLE) is a chronic autoimmune disorder that may affect the eye. Antiphospholipid antibodies (APA) have been recognized as a risk factor for thrombotic complications in SLE like RVO which contain either lupus anticoagulant (LA), anticardiolipin antibody (ACA), anti-β2 glycoprotein-1 antibody or in some rare cases other antiphospholipids antibodies without ACA which are anti-phosphatidylcholine (anti-PC), anti- phosphatidylethanolamine (anti-PE), anti- phosphatidylinositol (anti-PD) and anti-phosphatidylserine (anti-PS). We report a patient with SLE who had RVO without ACA in early stage.

Case: An 57-year-old woman was admitted because of sudden decrease of visual acuity in left eye. Fundus examination with angiography revealed RVO(Figure 1-3). She had suffered general aching and malar rashes on her face for 4 months. She has no diabetes mellitus but has hypertension. Her laboratory test results confirmed the SLE. WBC: 6.4 (normal:4-10), Platelet: 239,000/mm³, the erythrocyte sedimentation rate: 21 mm/L (normal <20), Antinuclear antibody (ANA): positive with granular pattern; anti- ds DNA antibody: 327.4 IU/ml (normal <200 IU/mL), VDRL, and anti-Ro/La, ACA IgM (4.11; normal <12.5 U/mL) and IgG (5.22; normal <15 U/mL) and APTT was normal, LDL cholesterol: 175 mg/DL, Triglycerid: 292 mg/dL, Homocysteine 13.4 μmol/L (normal <12). Treatment was started with intravenous followed by oral prednisone and hydroxychloroquine. Interestingly, in our patient with SLE, ACA were not detected.

Conclusion: RVO in SLE patients is rare and has been described to be caused by cardio-vascular disorders and other thrombophilic conditions.

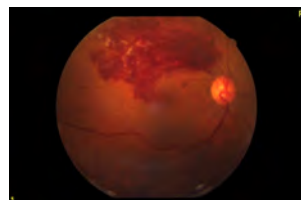


Figure 1. Fundus photograph of the left eye with branch retinal vein occlusion with hemorrhages.

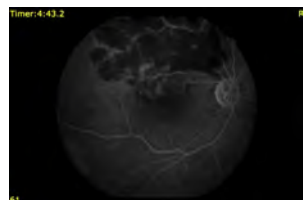


Figure 2. Fundus photograph of the left eye with branch retinal vein occlusion with hemorrhages on angiographic view.



Figure 3. Fundus photograph of the left eye with branch retinal vein occlusion with hemorrhages on angiographic view.

OPS-170

A case report about the management of a patient with heparin induced thrombocytopenia after mitraclip transcatheter mitral valve repair

Özge Çetinarslan, Ümit Yaşa Sinan, Cengiz Çeliker, Emir Barış Ökçün, Mehmet Serdar Küçükoglu, Nuh Nazmi Gültekin

Department of Cardiology, Istanbul University Haseki Institute of Cardiology, Istanbul

Heparin-induced thrombocytopenia (HIT) and heparin-induced thrombocytopenia with thrombosis (HITT) are fatal adverse reactions of heparin therapy that caused by the formation of polyclonal antibodies against the PF4-heparin complex. This immun reaction leads to a hypercoagulable state resulting potentially limb and life threatening arterial and venous thrombosis. We describe a patient with HIT syndrome because of LMWH usage after a mitraclip transcatheter mitral valve repair for severe mitral regurgitation. A 61 years old man hospitalized several times in our institute because of decompensated chronic heart failure (DCHF). He had cardiac bypass surgery (CABG) five years ago, diabetes mellitus (DM), chronic renal disease (CRD), CHF and restrictive pulmonary syndrome in his medical history. His electrocardiogram (ECG) was sinus rhythm with right bundle branch block (RBBB). On the transthoracic echocardiogram (TTE) and transesophageal echocardiogram (TEE) his left atrium diameter was 4.2 cm, ejection fraction (EF) was 45%, pulmonary artery systolic pressure was 45 mmHg were measured. In addition, he had severe mitral regurgitation and moderate tricuspid regurgitation but the valves' structures were normal. On his last hospitalization, with a comprehensive evaluation, mitral regurgitation had thought as the etiology of the patient's frequent decompensation. Therefore, our heart valve team decided to perform mitraclip transcatheter mitral valve repair because of his high surgery risk. After a successful mitraclip transcatheter mitral valve repair procedure, he was given LMWH. The patient platelet count declined from 229000 mm³ to 57000 mm³ on the fourth day. Thrombocytopenia was confirmed with a peripheral blood smear. Our patient had intermediate probability 4Ts score, therefore we stopped the LMWH before the test results and fondaparinux was started. When the platelet counts reached to 150000 mm³ Warfarin was started and continued for 4 weeks. On his tenth day of heparin cessation, the platelet count was normalized and his ELISA result was presented ≥1.00 OD units. Herein, we proved our diagnosis. By this case report, we present management of a patient with HIT after mitraclip transcatheter mitral valve repair. We advise the clinicians to give special attention to the frail patient who receive heparin therapy; even the therapy is limited to flush dosage. In addition, giving the decision about to continue or to cease heparin therapy is an important cornerstone for hospitalized subjects with HIT. Therefore, for the certain diagnosis the clinical scores and laboratory tests should be used complementary.

Tablo 1.

Thrombocytopenia	a. Platelet count fall >50% and nadir ≥20% × 10 ⁹ /L b. Platelet count fall between 30-50% OR nadir 10-19 × 10 ⁹ /L c. Platelet count fall <30% OR platelet nadir <10 × 10 ⁹ /L	a.2 puan b.1 puan c.0 puan
Timing of platelet count fall	a. Clear onset between day 5-10 following commencement of heparin OR ≤1 day (if previous heparin exposure within 30 days) b. Consistent with onset at 5-10 days after commencement of heparin OR onset after day 10 OR fall less than 1 day (if heparin exposure within 30-100 days) c. Platelet count fall <4 days without recent exposure to heparin.	a.2 puan b.1 puan c.0 puan
Thrombosis or other sequelae	a. New thrombosis (confirmed) OR skin necrosis OR acute systemic reaction post iv UFH bolus b. Progressive OR recurrent thrombosis OR non-necrotizing (erythematous skin lesions) OR suspected thrombosis. c. None present	a.2 puan b.1 puan c.0 puan
Other causes for thrombocytopenia present	a. None apparent b. Possible c. Definite	a.2 puan b.1 puan c.0 puan
Total score		0-8 puan
Pre-test probability	Low: Intermediate: High:	0-3 puan 4-5 puan 6-8 puan
4Ts Score.		

OPS-171

Malign perikardiyal efüzyonda intraperikardiyal bleomisin uygulaması

Canan Yılmaz, Hüseyin Tezcan, Muhammet Salih Ateş, Abdullah Tunçez

Selçuk Üniversitesi Selçuklu Tıp Fakültesi, Kardiyoloji Anabilim Dalı, Konya

Üç yıldır akciğer CA nedeniyle takip edilen düzenli kemoterapi alan hasta göğüs hastalıklarında takip edilirken nefes darlığı şikayetle tarafımıza konsult edildi. Yapılan fizik muayenesinde juguler venöz dolgunluğu olan, kalp sesleri derinden gelen, kan basincı: 90/60 mmhg olan, EKG'sinde sinus taşikardisi ve amplitüt kaybı olan hastaya EKO yapıldı. Yapılan ekosunda LVEF: %55 diyas-

tolde sağ ventriküle bası yapan perikardiyal efüzyon izlendi. Hasta perikardiyal tamponad tanısıyla perikardiyosentez amciyela servisimize yatırıldı. Hastadan 1200cc perikardiyal mao boşaltıldı. 24 saat serbest drenajda perikardiyal mao gelmeye kontrol ekosunda perikardiyal efüzyonu olmayan hasta taburcu edildi. Taburculuktan 15 gün sonra nefes darlığı şikayetyle acil servise başvuran hastanın yapılan EKO'sunda diastoldede sağ ventriküle bası yapan perikardiyal maoının tekrarladığı görüldü. Hasta servisimize yatırıldıkları perikardiyosentez yapıldı. kontrol ekosunda perikardiyal mao olmayan fakat 15 gün aralıda perikardiyal tamponad gelişen hasta yine intraperikardiyal bleomisin verilmeyen karar verildi. 15 mg bleomisin 35 cc sf ile sulandırılmışlarak intraperikardiyal verildi. Takiplerinde perikardiyal efüzyonu olmayan hasta taburcu edildi. Bir ay sonra kontrole çağrıldı. Yapılan kontrol ekosunda perikardiyal mao olmayan hasta rutin kontrollerine gelmekte ve aktif şikayet yok. Malign perikardiyal efüzyonlar sıklıkla asemptomatiktür. tesadüf EKO'ya veya BT de tespit edilir. Semptomatik olgular kardiyo tamponad kardiyoasküler kollaps ve ölümle neden olabilir. Akciğer kanseri malign perikardiyal efüzyonu en sık nedendir. Özfagus kanseri lösemi lenfoma meme kanserinde de görülebilir. malign perikardiyal efüzyon için perikardiyal skleroz yapan çeşitli ajanlar mevcuttur. Bunlar tetrasiklin, tiotepa, cisplatin, karboplatin, vinblastin, bleomisin. Bu ajanlar klasik sklerozan değildirler. Perikardiyal boşlukta inflamatuar adezyon yapalar maling perikardiyal efüzyonun kontrolü ve önlenmesinde bu ajanlarla olumlu sonuçlar elde edilmesine rağmen yeterli sayıda çalışma bulunamamaktadır. H.kumut ve arkadaşları tarafından yapılan malign perikardiyal efüzyon olan akciğer kanserli hastalarda intraperikardiyal bleomisin uygulanması randomize çalışmada intraperikardiyal bleomisin uygulanması ile sadece perikardiyal efüzyon drenajı karşılaştırılmış ve her iki yöntemi arasında mortalite ve morbidite arasında anlamlı bir fark bulunmamıştır. Bugün kadar yapılan randomize çalışmalarında bleomisinin diğer kemoterapik ajanlarla kıyaslandığında düşük morbiditeyle ilişkisi olmasa ve drenaj sonrası perikardiyal skleroz için etkili ve güvenli bir ajan olduğu ortaya çıkmış nedenden dolayı akciğer kanserine bağlı malign perikardiyal efüzyonlarda geçerli terapik seçenek olmuştur. Biz de bu vakamızda tekrarlayan malign perikardiyal efüzyondan intraperikardiyal bleomisin vererek perikardiyal fibrozis sağlayıp efüzyonun tekrarlamasını önledik böylece hastanın hospitalizasyonu azaltmış olduk.

OPS-172

Two life-threatening sinus arrest due to ticagrelor

Aysel İrem Demirtola, Hüseyin Nazman, Hüseyin Göksüyük, Nil Özgünçü, Anar Mammadli, Yusuf Atmaca

Department of Cardiology, Ankara University Faculty of Medicine, Ankara

Ticagrelor is a potent P2Y12 receptor inhibitor, also increases plasma level of adenosine, with adverse effects like dispnea, bradycardia and other arrhythmias. We presented two cases of sinus arrest, one of them required resuscitation, which were thought to be associated with ticagrelor. A 66 year-old male patient was admitted to our department with a typical chest pain, high troponin levels. He underwent coronary bypass surgery, (LAD-LIMA). His electrocardiogram (ECG) showed normal sinus rhythm (NSR) with no conduction delay. The patient received a loading dose of ticagrelor and underwent coronary angiography (CAG). Cardiac catheterization revealed %70 stenosis in the LAD ostium, 90% stenosis after D2, 80% diffuse stenosis in the D2 ostium. Coronary angioplasty with implantation of bare metal stent at LAD ostium and drug eluting stent (DES) LADD2 was successfully performed with a good angiographic result (Figure1). During the follow-up, there was loss of consciousness and unable to get a pulse, resuscitation was started. At the first minute of resuscitation patient's pulse responded. At follow up, he lost consciousness for a few seconds. On examination of telemetry, 8-second sinus arrests were observed (Figure2). The clinical situation was thought to be sinus arrest due to ticagrelor, stopped and switched to clopidogrel. Betablocker was terminated. He is still under follow up at his 6th month. A 51 year-old male patient was admitted to our department for acute typical chest pain with high troponin levels. His ECG revealed ST segment depression at lateral derivations and no conduction delay. As the diagnosis was NSTEMI, he received a loading dose of ticagrelor and underwent CAG. The catheterization revealed severe thrombotic stenosis at the proximal LAD and DES was successfully implanted to the lesion (Figure3). Three hours after, loss of consciousness occurred, 8 seconds sinus arrest was seen at the telemetry (Figure 4). Without any intervention, the rhythm spontaneously returned to NSR. The sinus arrest was thought to be due to ticagrelor, as experienced in our first case, and switched to prasugrel. During the telemetric monitoring, no other sinus arrest was documented. He is still under follow up at his 4th month. Ticagrelor is one of the recommended first line drug in patients with acute coronary syndrome (ACS), although its side effects. The most commonly reported arrhythmia is sinus bradycardia, sinus arrest and junctional rhythm. In PLATO study asymptomatic ventricular pauses from sinoatrial node were seen, as in our cases, more frequently at the acute phase of ACS. Its the direct effect of ticagrelor on transmission of the conduction system and related with adenosine, it causes a temporary block in the atrioventricular (AV) nod. We want emphasize that caution should be taken with the use of ticagrelor in patients, especially the ones who use of drugs effective on AV node and with conduction defects. First day of ticagrelor loading should be monitored under telemetry for potential bradycardic side effects.

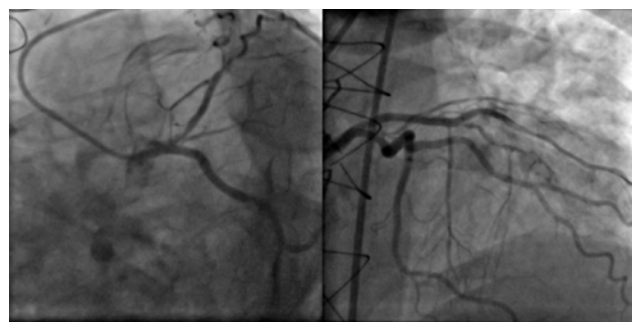


Figure 1. Case 1 coronary angioplasty.

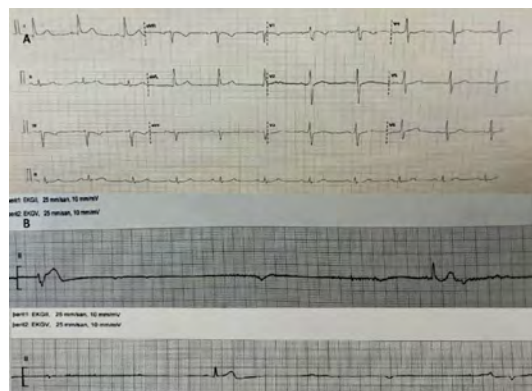


Figure 2. Case 1 admission ECG and sinus arrest.

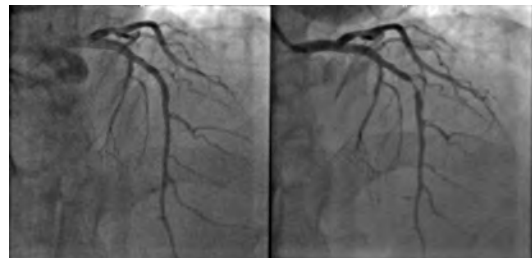


Figure 3. Case 2 coronary angioplasty.



Figure 4. Case 2 admission ECG and sinus arrest.

OPS-173

Kardiak tamponadın nadir bir sebebi; hipofizer yetmezlik

Muhammed Demir, Ahmet Balun

S.B. Cizre Devlet Hastanesi, Kardiyoloji Kliniği, Şırnak

Perikard sivi birikimine ikincil ventriküllerin diastolik dolusunun bozulması ve kardiak debinin düşmesiyle ortaya çıkan acil duruma kardiak tamponad denir. Perikardiyal efüzyonun nedenleri arasında viral perikardit, maligniteler, idiyopatik faktörler, tıremi, akut miyokard infarktüstü, kolajen hastalıkları, tüberküloz, perikardit, travmalar, radyasyon ve hipotiroidizm düşünülmelidir. Tüm hipotiroidizm olgularının yaklaşık %3-6'sında perikardiyal efüzyon görülebilir. Hipotiroidide bağlı perikardiyal efüzyon olguları literatürde bildirilse de kardiak tamponada icerme nadir olarak bildirilmiştir. 37 yaşındaki erkek hasta nefes darlığı ve halsizlik yakınıması ile acil servise başvuruyor. Biyokimya, hemogram, troid fonksiyon testleri calşılıdı. Sodyum düzeyi: 128 mmol/L, TSH: 3.98 ulU/ml, serbest T4: 1.28 ng/dl olarak geldi. PA AC grafisinde plevral efüzyonu olan hasta göğüs cerrahisi tarafından göğüs tüpi takıldı. Takibi sırasında kan basincı 80/40 mmHg'a düşen ve taşkınlı olan hasta yoğun bakıma alındı. Kardiyoloji tarafından yatağı başa yapılan transtorasik ekokardiyografi'de sağ ventrikülün diastolik dolumuna bozan perikardiyal efüzyon saptandı. Transtorasik ekokardiyografi esliğinde perikardiyosentez yapıldı. Perikardiyal mayiî örnemeleri, ayirci tanıda viral perikardit, miyokard infarktüstü ve maligniteler araştırıldı. Daha öncesinde hipofiz adenomu nedeniyle opere olan hastanın hormon replasman tedavilerini almaması ve gelişen hipofizer yetmezliği sekonder hipotiroidiye uyumlu olarak serbest T4 düşükü dahiğenken TSH düzeyi normal bulundu. Perikardiyosentez sonrasında hormon replasmanı ve steroid tedavisi başlandı. Olguuzda olduğu gibi pituitary yetmezliğine sekonder hipotiroidiye bağlı olarak gelişen perikardiyal efüzyon, kardiak tamponadın nadir nedenlerinden biri olmasına rağmen ayirci tanıda mutlaka düşünülmeli ve hormon replasman tedavisi ve steroid tedavisinin ivedilikle başlanması gereklidir.

OPS-174

Dabigatran tedavisi altında hızla gelişen sol atriyal trombus

Cetin Alak, Inci Tuğçe Çöllioglu, Özhan Göldeli, Hüseyin Dursun

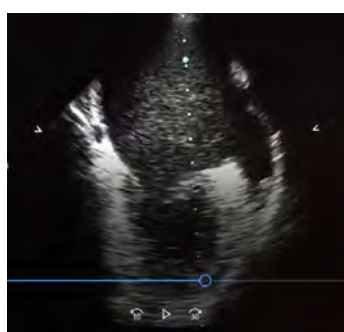
Dokuz Eylül Üniversitesi Tıp Fakültesi, Kardiyoloji Anabilim Dalı, İzmir

Dabigatran;non-valvüler atriyal fibrilasyon (NVAF) olan hastalarda inmenin önlenmesinde ve tromboembolizmin tedavisinde kullanılmaktadır. Sol atriyal trombusı olan vakalarda trombus rezolusyonu sağladığı gözlenmiştir. Burada NVAF olan ve dabigatran 110 mg 2x1 ile tedavi edilen hasta yaklaşık 1 hafta içinde gelişen sol atriyal trombus olgusunu sunmayı amaçladık. Sağ popliteal arter akut oklüzyonu ile başvurduğu klinikte embolotomi yapılan 43 yaşında erkek hasta AF ritimi gözlediği için kliniğimize konstüle edildi. Transtorasik (TTE) ve transözefajial eko (TEE) da LVEF %60, orta mitral yetersizliği, sol atriyal apendiks trombus gözlemediyken hasta dabigatran 110 mg 2x1 tedavisi ile taburcu edildi. Sekiz gün sonra kliniğimize yeniden değerlendirilirken ve kardiyovertiyon planlanan hastanın tekrarlanan TEE’de sol atriyal apendiks ağzında 20x22 mm hareketli trombus ile saptandı. Hastaya IV heparin infüzyona başlandı ve acil cerrahi planlandı. Ancak tedavinin 1. gününden sağlık alt ekstremitetinde yeniden akut arter oklüzyonu gelişti ve acil olarak embolektomi operasyonu uygulandı. Hastanın kontrol TEE’de daha önce görülen trombus izlenmedi. Kliniği stabil durumda olan hastaya INR 2.5-3.0 arasında olacak şekilde warfarin tedavisi başlandı. Hasta 1. ay kontrollünde asptomatik olarak izlenmektedir.

Sonuç: Dabigatran tedavisi altında sol atriyum ve sol atriyal apendikste trombus gelişmesi çok ender görülen bir durumudur. Bu vakannın literatürde görülen diğer vakalardan farklı; hastanın ilaçını düzenli olarak kullanması ve dabigatran ile etkileşen ilaç kullanım öyküsü olmaması nedeniyle paylaşılmış istedik.



Şekil 1. Dabigatran tedavisi altında gelişen trombus. Sol atriyal apendiks ağzında 20x22 mm hareketli trombus imajı.



Şekil 2. Trombus rezolusyonu sonrasında kontrol TEE.



Figure 1. CT angiography of the patient with normal coronary arteries (a, b) and 3D imagination of the LAD, RCA (c) without anomalies.

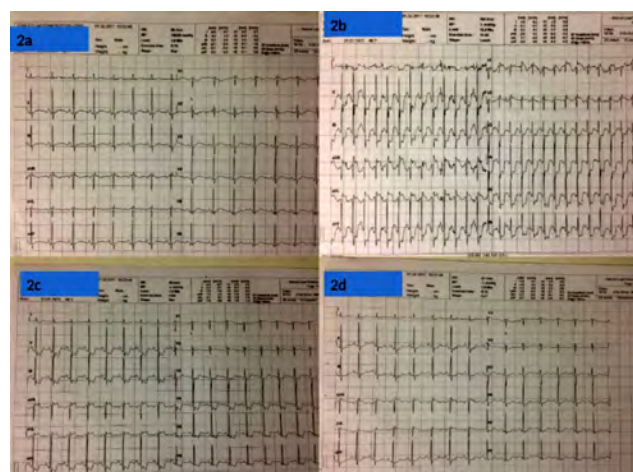


Figure 2. Exercise test of the patient a) baseline b) peak exercise c) recovery d) resting.

OPS-176

Stable microvascular angina pectoris in patient without flow-limiting coronary artery disease (cardiac syndrome X): Expectations and facts

Hüseyin Gökşülkü, Eralp Tutar, Nil Özyüncü, Sevinç Aktürk, Semih Öztürk, Seda Tan Kürkli, Veysel Kutay Vurgun, Cetin Erol

Department of Cardiology, Ankara University Faculty of Medicine, Ankara

Introduction: Cardiac syndrome X is a condition of the heart which causes recurrent, unpredictable, and debilitating chest pain. Even though chest pain and ST segment changes on electrocardiogram, coronary angiography shows normal main arteries. Approximately 70% of patients with CSX are postmenopausal women.

Case: A 46-year-old male patient was admitted to our clinic typical exertional chest pain, which had started 2 months previously and had gradually become more severe. ECG exercise stress test was planned one week later. The patient had a chest pain while waiting for the appointment date. He went an outer center and coronary computed tomographic angiography was performed. Normal coronary angiography with zero calcium scoring was reported without any coronary artery anomalies on the CT angiography (Figure 1a-c). Patient has been discharged from the hospital without any medical treatment. But he still had long-lasting severe chest pain during exercise after discharge. Then patient performed exercise test without giving any information about coronary CT angiography and the result. Exercise test was reported as a positive with 4-5 mm horizontal ST segment depression on the V3-6, DII, III, aVF and ST elevation on the aVR derivations (Figure 2a-d). Risk factors included only family history of coronary artery disease without any other traditional risk factors. For the assessing coronary arteries, diagnostic coronary angiography was performed and all arteries were reported as normal (Figure 3a-d). Coronary artery spasm was ruled out as the cause of his symptoms during coronary angiography by hyperventilation. With his clinical symptom and the result of scary exercise test, serious coronary artery disease (left main disease or equivalent) was expected. However, normal coronary arteries were detected in diagnostic angiography, and with this result, microvascular coronary dysfunction was thought as a diagnosis. For accurate diagnosis, coronary flow reserve (CFR) should be measured during CAG or ischemia should be proved with myocardial perfusion scintigraphy (MPS). In our case we couldn't perform CFR because of reimbursement issue. And patient didn't want another examination (e.g. MPS). Treatment was initiated with diltiazem 90 (slow releasing) mg daily. Patient was followed up without any symptom.

Discussion: Microvascular angina (impaired coronary microvascular dilatory responses with increasing coronary resistance) can be found in CSX patients and suggested as a cause for regional or diffuse (like in our case) myocardial blood flow abnormalities. CSX is frequent worldwide with a 5-25% prevalence and millions of people (especially women) with angina pectoris without flow-limiting coronary pathology are identified. Endothelial dysfunction is a mechanism that may explain the abnormal coronary vasculature in CSX. Increased pain perception is common in patients with CSX. Prognosis is good, however quality of life is poor in this patient population.



Figure 3. Normal coronary angiography of the LAD and LCX a) left anterior oblique-cranial position b) right anterior oblique-caudal position c) anteroposterior-cranial position and RCA (d).

OPS-177**A case of rivaroxaban associated spontaneous hemothorax**İbrahim Yıldız¹, Ebubekir Aksu², Pınar Özmen Yıldız¹, İsmail Gürbaktepe¹Department of Cardiology, Osmaniye State Hospital, Osmaniye²Department of Chest Surgery, Osmaniye State Hospital, Osmaniye

Due to warfarin having multiple drug and food interactions and frequent monitoring requirement, new oral anticoagulants were developed to eliminate the need for monitoring the international normalized ratio (INR). Rivaroxaban has been approved by the United States Food and Drug Administration as a new orally administered anticoagulant prescribed for systemic embolism prophylaxis in patients with non-valvular atrial fibrillation. We report a case of spontaneous hemothorax (SH) related to rivaroxaban treatment. A 63-year-old woman with a past medical history of atrial fibrillation, diabetes mellitus, hypertension treated with rivaroxaban presented to emergency department with chest pain and dyspnea. The patient had no history of smoking, pre-existing lung disease, tumor or trauma. Her blood pressure was 120/80 mmHg, pulse rate was 120 beats per minutes and irregular, oxygen saturation was 97% with oxygen. Pulmonary auscultation revealed reduced breath sounds in the right hemithorax. Chest x-ray suggested right side pleural effusion. The echocardiography revealed an ejection fraction of 55%. A diagnostic thoracentesis revealed bloody fluid in the thoracic cavity. Computed tomography of the chest showed a right side pleural effusion along with mediastinal hematoma (Figure 1). Laboratory result revealed white blood cell 8.84 bil/L, hemoglobin 9.8 g/dL, hematocrit 30.7%, platelet 158 bil/L, sodium 139 mmol/L, potassium 4.2 mmol/L, AST 10.2 U/L, ALT 7.7 U/L, BUN 26 mg/dL, creatinine 0.9 mg/dL, prothrombin time (PT) 15.1 seconds, INR 1.21, activated partial thromboplastin time (APTT) 26.1 seconds. Pleural fluid hematocrit was 17.3% so was greater than 50% of the patient's blood hematocrit. Right hemithorax tube thoracostomy was applied to the patient (Figure 2). There was 600 cc hemorrhagic fluid drainage. The patient's hemoglobin decreased from 9.8 to 6.8 g/dL and the patient received a 3-unit blood transfusion. The chest tube was removed six days later and there was approximately 1550 cc hemorrhagic fluid drainage from the chest tube. The patient was discharged on the seventh day without complication. One month later there was no symptom and sign of pleural effusion (Figure 3). Bleeding events are the most frequent adverse reactions related to oral anticoagulants. Administration of anticoagulant therapy can cause hemothorax as a result of minimal trauma in the chest or spontaneous rupture of small vessels. SH following anticoagulation with an old oral anticoagulant (warfarin) has been reported. Rivaroxaban is a new oral anticoagulant that has safety margin more favorable than warfarin. SH secondary to a new oral anticoagulant (rivaroxaban) treatment has not been reported in the literature yet. This case underscores that rivaroxaban may cause SH. If pleural fluid develops in patients receiving rivaroxaban therapy, SH should be considered in the differential diagnosis.



Figure 1. Computed tomography of the chest reveals a right side pleural effusion and mediastinal hematoma.



Figure 2. Chest x-ray after tube thoracostomy.

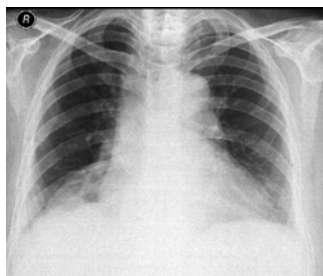


Figure 3. Chest x-ray one month later.

OPS-178**Elektrik çarpmasına bağlı serebral sinus venozus trombozu**Ünal Öztürk¹, Önder Öztürk²¹Diyarbakır Eğitim ve Araştırma Hastanesi, Nöroloji Kliniği, Diyarbakır²Diyarbakır Eğitim ve Araştırma Hastanesi, Kardiyoloji Kliniği, Diyarbakır

Elektrik çarpması sonrası akut serebrovasküler hastalıklar çok nadir görülen komplikasyonlardır. Elektrik çarpması sonrası serebral ven trombozu gelişimi, literatürde tek bir vakada bildirilmiştir. Daha önce hiçbir şikayetini olmayan 40 yaşında erkek hasta yüksek voltajlı elektrik çarpması sonucu bayılıyorken. Acil servise getirilen hastanın kan basıncı 140 / 90, nabız 95/dk olup, sol okşiptal bölgede saç ve sağlı deride elektrik yanığı saptanıyor. Hastada suur bulanıklığı olması nedeniyle bilişsizlik beyin tomografisi çekiliyor. BBT'si normal olan hasta genel yoğun ümitiesine yatırılıyor. Daha sonra çekilen Kraniyal MR filminde, retroserebellar BOS mafeseti normalden geniş (mega sisterna magna) saptanıyor. Solda sigmoid sinus distali ve sol juguler ven trasesinde sinyal void görünümlü kabolmuş. Olası tromboz açısından Kraniyal MR venografi öneriliyor (Şekil 1). Kraniyal MR venografide sol transvers sinüs akımı olmadığı saptanıyor (Şekil 2,3). Nöroloji tarafından yapılan hasta, sinus venozus trombozu tanısıyla, nöroloji yoğun bakım ümitiesine transfer ediliyor. Transstoraksik ekokardiyografi, EKG, bilateral karotis arter doppler USG, vertebral arter doppler USG

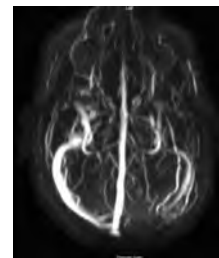
normal saptanıyor. Vaskülit paneli, pihtılma faktörleri, biyokimyasal parametreleri normal saptanıyor. Özgeçmişinde herhangi bir hastalık bulunmayan hastanın, sigara, madde kullanımı öyküsü yoktu. Hipertansiyon, diabetes mellitus, hiperlipidemi gibi kardiyovasküler risk faktörleri hasta yoktu. Hastaya antikoagulan tedavi başlandı. Klinik takiplerde düzelleme olan hasta önerilerle externe edildi. Sonuç olarak, elektrik çarpmasına bağlı serebrovasküler olaylar ve serebral ven trombozu nadir görülmekle birlikte, bu tür durumlarda ayrıcalı tanıda mutlaka düşünülmelidir.



Şekil 1. Kraniyal MR.



Şekil 2. Kraniyal MR anjiyo.



Şekil 3. Kraniyal MR anjiyo.

OPS-179**A heart covered with stone - Calcific constrictive pericarditis**

Gönül Açıksarı, Seref Kul, Serkan Bulur, Yusuf Yılmaz, Muhammd Esad Cekin, Kenan Demirci, Mustafa Caliskan

Department of Cardiology, İstanbul Medeniyet University Göztepe Training and Research Hospital, İstanbul

Introduction: Constrictive pericarditis develops in three stages, an initial stage involving acute pericarditis with pericardial effusion and fibrin deposition, a subacute stage with organization and reabsorption of the effusion and chronic stage with fibrosis and thickening of the pericardium and calcium deposition. This disease is associated with scarring and loss of elasticity of the pericardium, causing impaired cardiac filling. The treatment for constrictive pericarditis is the removal of the pericardium. However this surgical procedure carries a very high mortality, currently 6% and no infrequently time is needed for normal cardiac function to return.

Case report: A 25-year-old male presented with shortness of breath, NYHA class-III of 6-mo duration. Physical examination revealed distension of the jugular vein, hepatomegaly. Chest radiography and fluoroscopy revealed heavy calcification of the pericardium (Figure 1). Two-dimensional echocardiogram showed thick, calcified pericardium; about 25%-variation in mitral diastolic flow velocities with respiration and a dilated inferior vena cava of 24-mm dimension. Cardiac Computed Tomography evidenced severe and extensive pericardial calcification (Figure 2) Angiography revealed normal epicardial coronaries without any external compression. Hemodynamic data revealed elevated mean right atrial (RA) pressure of 20 mmHg. Right ventricle (RV) and left ventricle (LV) end-diastolic pressure was 23 and 28 mmHg, respectively. Pulmonary artery systolic and mean pulmonary capillary wedge pressures were 42 and 23 mmHg, respectively. There was near equalization of elevated RA, RV and LV end-diastolic pressures. Right atrial pressure tracing showed prominent X and Y descent and ventricular pressure tracing showed typical "dip-and-plateau configuration" suggestive of CP. He had surgical pericardectomy for densely calcified CP. He remained asymptomatic during 6 months follow-up.

Discussion and conclusion: Constrictive pericarditis should be suspected in patients with clinical features of right-sided heart failure. Tuberculosis is the frequent cause of constrictive pericarditis in developing countries whereas cardiac surgery is the most common cause in developed countries. This patient did not have any risk factors such as thoracic radiation, chemotherapy, thoracic surgery or tuberculosis. Cases defined as idiopathic constrictive pericarditis are still seen as was the case in our patient.



Figure 1. Chest radiography and fluoroscopy image show circumferential pericardial calcification around the heart.

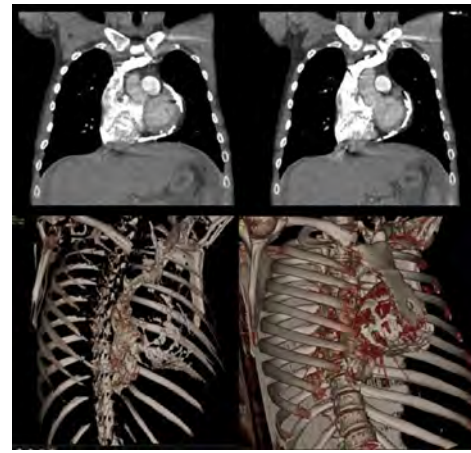


Figure 2. Severe dense calcification of the pericardium in multislice computed tomography.

OPS-180

Hypertrophic cardiomyopathy in a female patient with Behcet's disease

Metin Oksul¹, Yusuf Ziya Şener¹, Ahmet Kivrak¹, Berk Armağan²,
Alper Sarı², Uğur Canpolat¹

¹Department of Cardiology, Hacettepe University Faculty of Medicine, Ankara

²Department of Internal Medicine and Rheumatology Hacettepe University

Faculty of Medicine Ankara

Introduction: Behcet's disease (BD) is a multisystemic, vasculitic inflammatory disorder and prevalence of the disease is 14-20/100 000 among the countries around the "Silk Route". BD is associated with HLA-B5 and HLA-B51. Cardiovascular involvement occurs in 7-46% of the patients. Cardiac involvement can present with intracardiac thrombus, myocarditis, conduction disturbances, endomyocardial fibrosis, valve diseases, dilated cardiomyopathy and diastolic dysfunction while the most common cardiac manifestation is pericardial disease. Herein, we present a patient with Behcet's disease and hypertrophic cardiomyopathy (HCM).

Case presentation: A 35 year old female patient with BD and (HCM), admitted with the complaint of purulent discharge from her ICD pocket region. Her medical history revealed that; she had been diagnosed Behcet's disease ten years ago due to having some neurological symptoms and signs such as convolution and facial nerve palsy in combination with oral and genital aphthous ulcers. Her HLA-B51 was positive. She had been treated with azathioprine and interferon alfa. 7 years later, she had syncope episodes and her transthoracic echocardiography revealed increased interventricular septum thickness (1.6 cm) without any gradient at the left ventricular outflow tract. Her valvular and systolic functions were normal and she was diagnosed non-obstructive hypertrophic cardiomyopathy. Holter rythm monitorization was performed and non-sustained ventricular tachycardia episodes was detected. Due to being in high risk group for sudden cardiac death, ICD was implanted. Her physical examination was normal except tenderness at the pocket region. Purulent discharge was draining from the orifice of fistula which was most probably originating from the ICD pocket. Her complete blood count, erythrocyte sedimentation rate and C-reactive protein levels were all in normal range. Superficial ultrasound was performed and fluid collection localized at the posterior region of the ICD pocket was detected. Blood cultures were drawn and ampicillin sulbacain was started empirically. ICD generator and all leads were fully extracted. Lead tip and excised ICD pocket tissue were also sent to Microbiological evaluation. No microorganisms grown in blood, tissue and lead tip cultures. ICD reimplantation was performed two weeks after the lead extraction with negative culture results. The patient was discharged and is still in our follow up.

Discussion: BD is a multisystemic disorder and can affect all types of vessels and heart. Heart involvement in BD is reported as 1-5% in general while it has higher rates in Japan. Cardiomyopathy can also be a complication of BD and it is reported in the literature with only a few case reports and all of the reported cases are dilated cardiomyopathy. It is shown that HLA-B51 is more positive in patients with HCM than normal population. By the lights of these findings HLA B51 may play a common pathogenetic role in two diseases.

OPS-181

Nadir bir birelilik: Konjenital karotiko-juguler fistül ve karotis arter hastalığı

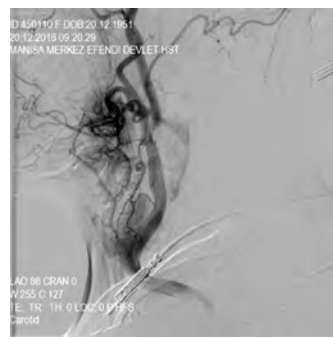
Mehmet Burak Özmen

Ankara Atatürk Eğitim ve Araştırma Hastanesi, Kardiyoloji Kliniği, Ankara

Giriş: Karotis arter ve juguler ven arasındaki arteriovenöz fistüllerin çoğu penetrant-kütü travma veya iatrogenik nedenlerle oluşmaktadır. Konjenital fistüller nadirdir ve literatürde şimdide kadar birkaç vaka bildirilmiştir. Ciddi karotis arter hastalığı ve konjenital karotiko-juguler fistül bireliliğini gösteren herhangi bir vaka bildirilmesi yapılmıştır. Literatürde araştırmalarında rastlanmamıştır. Bize de klinikte gördüğümüz bu nadir vakayı paylaşımak istedik.

Oluş: Altıncı dört yaşında bayan hasta kliniğimize baş ağrısı nedeniyle başvurduğu nöroloji kliniğinde yapılan karotis doppler ultrasonografide sağ internal karotis arterde anamlı darlık görülmemesi üzerine yönlendirildi. Nöroloji kliniği tarafından yapılan beyin manyetik rezonans görüntülemesinde patoloji gözlenmemiştir. Hastanın yapılan sistemi sorgusunda eforla başlayan dinlenince geçen basıktırzanındaki göğüs ağrısı olması nedeniyle hastaya koroner ve karotis anjiyografi yapılması amaçlı hospitalize edildi. Hastanın vitaliteleri stabilidir. Elektrokardiografi ve ekokardiyografi herhangi bir patolojide rastlanmadı. Kardiyak risk faktörü olmayan hastanın bu hayatında ilk hastaneyeye yattı. Hastanın fizik muayenesinde sol karotis arter üzerinde belirgin tifürüm duyuldu. Hastaya yapılan koroner anjiyografiye herhangi bir patoloji saptanmadı. Hastaya yapılan karotis anjiyografide hem sağ hem de sol internal karotis arterde %90 darlığı neden olan egzantrik plak gözlandı. Ayrıca hastanın sol external karotis arterinden sol juguler vene yüksek debili bir arteriovenöz fistülü olduğu gözlandı. Hastaya kardiyoloji-kalp damar cerrahi konseyine hem fistül için hem de her iki karotis arterdeki darlıklar için cerrahi müdahale karar alınarak hasta cerrahi yapılan bir merkeze sevk edildi.

Tartışma: Karotiko-juguler fistüller (KJF) atesi silah, sarapnel, kesici alet yaralanması sonucu veya iatrogenik olabilir. KJF nadiren konjenital olarakla görülebilir. KJF ler çoğu zaman sessiz seyreden nadir olarak da ağrı, sıkınsılık ve pulsatil kitle gibi şikayetlerle ortaya çıkarabilirler. Bu hastalarda Braham bulgusu pozitif olabilir ve fistülün yüksek debili olduğunu gösterir. İllerden dönemlerde atrial fibrilasyon, kalp yetersizliği, endokardit veya cerebral embolizasyon gibi komplikasyonlar gözlenebilir. KJF de hem cerebral kan akımının yüksek olması hem de venöz hipertansiyonu yol açabileceği cerebral komplikasyonlar nedeni ile erken tanı ve tedavi önemlidir. Bu fistüller eğer yüksek debili ise cerrahi veya endovasküler tekniklerle kapatılmalıdır(3). Konjenital KJF sessiz seyretmesi nedeniyle tanı ilerleyen yaşlarda konulabilir. Karotis arter hastlığının da ilerleyen yaşlarda gözlenmesi nedeniyle bu iki patoloji bir arada seyredebilir. Yaptığımız literatür araştırmaları sonucunda sunduğumuz bu nadir KJF ve ciddi karotis arter hastlığı olgusu literatürdeki ilk vakadır.



Şekil 1. Karotikojuguler fistül.

Hipertansiyon

OPS-182

Bilateral renal arter stenozu görünen aort koarktasyonu

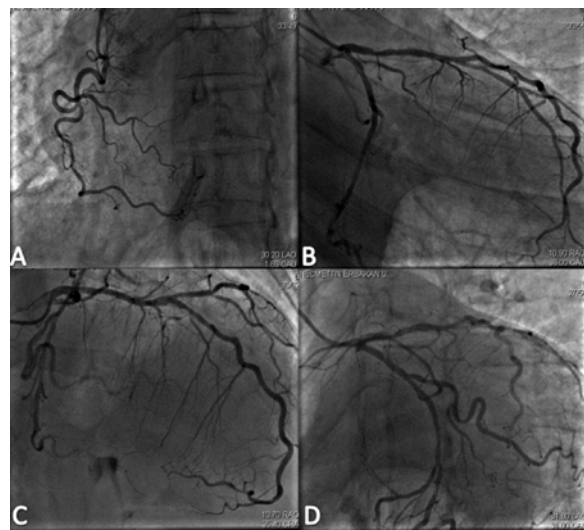
Abdullah Özçelik, Yakup Alsancak, Hakan Akıllı, Mehmet Akif Düzenli, Abdullah İcli

Necmettin Erbakan Üniversitesi Meram Tip Fakültesi, Kardiyoloji Anabilim Dalı, Konya

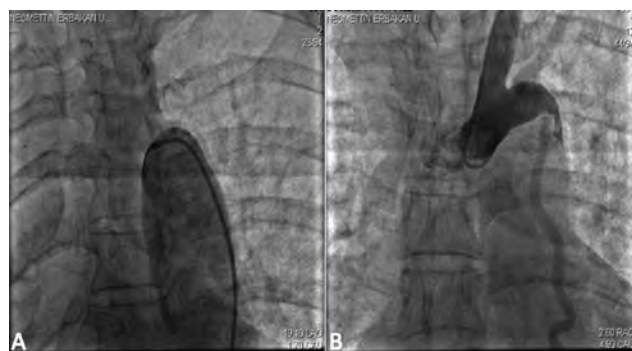
Giriş: Aort koarktasyonu tüm doğuştan kalp hastalıkları içinde %8-10 oranında gözlenen konjenital kalp hastalığıdır. Aortada segmenter daralmayı tanımlamaktadır. Bu daralma aortun her düzeyinde olabilmekte birlikte %98 sol subklavyan arterin arkası aorttan çıkış yerinin hemen distalinde de duktus arteriyozusun aorta girdiği yerin tam karşısındadır. Erkek cinsiyette görülme oranı daha fazladır (E/A = 2). Tedavi edilmemişde doğal seyir ile ortalamaya yaşam süresi 34 yıldır ve 50'li yaşlarında ölüm oranı %80'lere ulaşır. Tedavi edilmemiş aort koarktasyonlu hastalar komplikasyon oranları yüksektir, ölütmelik, intrakranial kanama (beyn anevrizma rüptürü), aort rüptürü ve miyokard infarktüsü nedeniyle yüksek mortalite ve morbidite altındadırlar. Aort koarktasyonlu olguların %46'sında biküspit aort kapağı bulunmakla birlikte diğer kardiyak konjenital anomaliler de eşlik edebilir.

Vaka: On yıldır dış merkezde esansiyel hipertansiyon ile takılı olan 46 yaşında erkek hasta göğüs hastalıklarında interistik akciğer hastalığı önleyile takılı edilirken tarafımıza danıştı. Bakılan ekokardiyografiye ekjesyon fraksiyon %48 olarak değerlendirilen ve arada efor dispnesi tarifleyen hasta interistik akciğer hastalığı dışlandıktan sonra tarafımıza devir alındı. Devir alırken akut böbrek yetmezliği ve hipertansiyon seyreden hasta bilateral renal arter stenozu olabileceğini düşünürerek ACE inhibitörü kesildi. Takibinde akut böbrek yetmezliği düzlen hastaya UAP nedeni koroner anjiyografi ve stenoz açısından renal arter görüntüleme yapıldı. Her iki renal arterin açık olduğu izlendi. Femoral yoldan yapılan anjiyografide sol subklavyan arterin altından itibaren aortun tikali olduğu izlendi. Radyal yoldan anjiyografide geçildi, koroner arterlerin normal olduğu, postduktal aort koarktasyonu olduğu saptandı. Koarktasyonun proksimali ve distal arasında akımın olmadığı ve sol IMA da belirgin olmak üzere yaygın kollateral geliştiği izlendi. Takibinde stabil seyreden hasta cerrahi için kalp damar cerrahisine devredildi.

Sonuç: Aort koarktasyonu hem fizyopatolojisinde hem de tedavi yönteminde oldukça tartışmalı bir konjenital kalp hastalıdır. Tedavisi cerrahi ve endovasküler girişimler başarıyla uygulanmaktadır. Başarılı aort koarktasyonu onarımı yapılan hastaların dahi işlem sonrası tamamen tedavi edilmiş olduğu kansına varmamalı ve geç dönemde gelişebilecek komplikasyonlar yönünden dikkat edilmelidir. Uzun dönem takipli çalışmalarla; hipertansiyon ve kardiyovasküler komplikasyonlar nedeni ile başarılı tedaviyi rağmen yaşamın beklenildiği gibi uzamadığı saptanmıştır. Eriskin hastalarda koarktasyon düzeltildiğinde yapılan takipte uzun dönem mortaliteye etki eden en önemli faktör hipertansiyondur ve kontrol altında alınmalıdır. Vakamız sekonder hipertansiyon nedenlerine dikkat çekmek ve aort koarktasyonunun bilateral renal arter stenozunu taklit edebileceğine vurgu yapmak için raporladık.



Şekil 1. (A-D) Koroner anjiyografi.



Şekil 2. (A, B) Aort koarktasyonu.



Şekil 3. BT anjiyografide aort koarktasyonu.

Kalp damar cerrahisi**OPS-183****Cephalic vein thrombosis**

Cetin Geçmen¹, Gonca Geçmen², Muzaffer Kahyoğlu¹, Mehmet Aksüt¹, Nuri Havan¹, Ahmet Güner¹, Ender Özgün Çakmak¹, Şükran Sarıkaya², Semih Kalkan¹, Murat Rabus¹

¹Department of Cardiology, Kartal Kosyolu Yüksek İhtisas Tra. and Research Hospital, İstanbul

²Department of Pathology, Dr. Lütfi Kırdar Kartal Training and Research Hospital, İstanbul

83 year-old male patient presented to the outpatient clinic with complaint of swelling at right antecubital area (Figure A). According to his medical history, he did not have any chronic disease apart from hypertension, and his medications included ramipril 5 mg 1x1, amlodipine 5 mg 1x1 and acetylsalicylic acid 100 mg 1x1. Ultrasoundographic examination of the right upper extremity revealed a mass lesion within the right cephalic vein, which was consistent with thrombus. There was no evidence of trauma or infection of the area. A Computed tomography (CT)-venography of right upper extremity showed contrast enhancement in cephalic vein at distal arm, and an aneurysmatic thrombus area displaying regular borders with a size of 28x30 mm; there was no contrast enhancement at more proximal levels at the cephalic vein (Figure B). 3-Dimensional CT examination showed mass lesion consistent with thrombus (Figure C). Enoxaparin 0.8 ml 2x1 was initiated, and since the thrombus had a large size, surgical treatment was planned. During surgical exploration, the thrombosed vein was separated from the surrounding tissues and was excised (Figure D and E). Pathological examination of the excised tissue showed thrombus lesion composed of fibrin mass (Figure F).

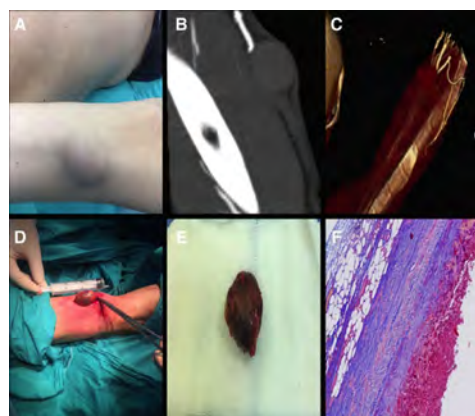


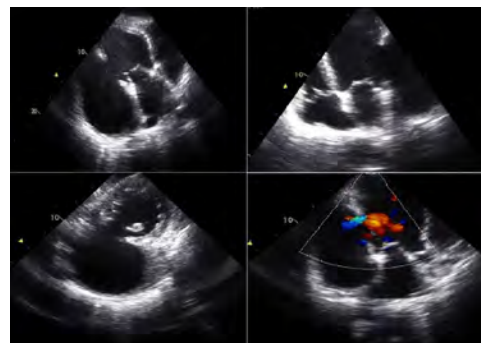
Figure 1. (A) Swelling at antecubital area of the right arm. (B) CT venography of the right upper extremity shows aneurysmatic thrombus with a size of approximately 28*30 mm. (C) A mass lesion consistent with thrombus is observed in 3-dimensional CT examination. (D, E) Mass lesion consistent with thrombus is observed in the intraoperative images. (F) Image obtained during pathological examination of the lesion shows thrombus composed of fibrin mass. CT: Computed tomography.

OPS-184**Dev posterolateral sol ventriküler anevrizması**

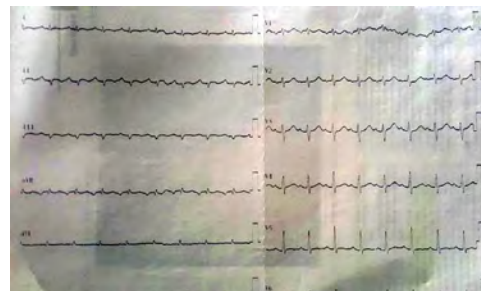
Sevil Gülaşlı, Çağdaş Akgüllü, Ufuk Eryılmaz, Cemil Zencir, Hasan Güngör

Adnan Menderes Üniversitesi Tip Fakültesi, Kardiyoloji Anabilim Dalı, Aydın

Sol ventriküler anevrizmalar akut genit myokard enfaktüsünün önemli bir komplikasyonudur. Genellikle sol ventrikül apeksinde görülmektedir. Kalp yetmezliği, tromboembolizm ve taşıritimi gibi ciddi komplikasyonlara neden olabileceği için erken teşhis önemlidir. Biz 59 yaşında erkek hasta'da inferior miyokard infarktüsü sonrası sol ventrikülde dev bir anevrizması olan olguyu sunuyoruz. Inferior miyokard enfaktüsü öyküsü olan 59 yaşında erkek hasta prostat operasyonu öncesi préoperatif kardiyak değerlendirme amacıyla yapılan transthorasik ekoekardiyografisinde (TTE) sol ventrikül posterolateral duvarda dev ventriküler anevrizma izlendi (Şekil 1). Sol ventrikül ejeksiyon fraksiyonu %35 olarak hesapsızdı ve mitral kapak değerlendirildiğinde 1-2 derece yetmezlik görüldü. Hastanın çekilen elektrokardiografisinde 1. Derece blok ve D2, D3, aVF'de 1mV ST elevasyonu vardı (Şekil 2). Yapılan thoraks bülgisayarlı tomografisinde sol ventrikül lateral duvarında 35mm'lik defekten orjin alı 13x8x9 cm'lik dev anevrizma doğrulandı (Şekil 3). 5 ay önce yapılmış koroner anjografisinde sağ koroner arterde ve sol ön arterde ciddi darlık olmayıp sirkumflex arter total oclusão olup distal ince olmasının nedeniyle revaskülarizasyon edilmemisti (Şekil 4). Hastaya anevrizma onarımı için cerrahi tedavi planlandı. Hastanın operasyonunda gerçek anevrizma izlendi ve anevrizma poşun içinde bol miktarda taze trombus göründü ve anevrizmekotomy yapıldı. Hasta postoperatif 10. gününde sorunsuz olarak taburcu edildi; 2 yıllık takibinde herhangi bir aritmii, tromboemboli gelişmedi ve kalp yetmezliği nedeniyle hospitalizasyon ihtiyacı olmadı. Sol ventrikül anevrizmaları, akut transmural miyokard enfarktüsünü takiben gelişti ciddi bir komplikasyondur. Çokgenlikle sol ventrikül apekte yerlesirler. Sol ventrikül lateral duvar üzerinde; anterior ve posterior papiller kaslar arasında görülen dev anevrizmalar daha az görülür ve mitral aparatın sağlam olarak kalması ise çok nadirdir. LV anevrizmaları klinik olarak genelde asemptomatiktir. Fakat kalp yetersizliği, tromboembolizm ve taşıritimi gibi önemli komplikasyonlarda neden olabilir. Bu nedenle ventriküler anevrizmaların tanınması, potansiyel olarak ortaya çıkabilecek komplikasyondan dolayı büyük önem taşımaktadır.



Şekil 1.



Şekil 2.



Şekil 3.



Şekil 4.

OPS-185

Management of left atrial myxoma presenting with acute atherosclerotic coronary artery disease

Elton Soydan, Cahide Soydas Çınar

Department of Cardiology, Ege University Faculty of Medicine, İzmir

Seventy one year old female patient presented to our center with chest pain. This squeezing pain had been for hours as she was walking down her house. She had diabetes and hypertension (HT) and had a smoking habit for 4 years. The electrocardiography showed a sinus rhythm with 81/min heart rate and precordial T wave inversion with slight st segment elevation in V1-V3 (Figure 1). Cardiac troponin was 0.624 ng/ml (normal <0.03 ng/ml). Lungs and abdomen examination was normal. Cardiac auscultation revealed a 2/3 diastolic murmur in the mitral area. Echocardiography (ECHO) identified a left ventricle ejection fraction of 60% with and a left atrial mass of 2x1.5 cm originating from the interatrial septum (IAS) (Figure 2). Transesophageal ECHO revealed a mobile mass linked to the left IAS (Figure 3). A guideline guided antiischemic therapy for Non ST Elevation Myocardial Infarction was immediately administered. As the patient was stabilized coronary angiography was performed. The right coronary artery showed a severe stenosis of 90%, as well as critical stenosis of 99% and 90% was found in the left circumflex artery and the left anterior descending artery respectively (Figure 4). To describe the cardiac mass a cardiac magnetic resonance imaging (MRI) was undertaken. MRI characterized the mass with an irregular surface of 2.5x1.8 cm diameter and no contrast enhancement (Figure 5). Considering the complications of left side atrial myxoma as embolic events and sudden death coronary artery bypass grafting (CABG) with myxoma resection at the same time was decided by the heart team. Three grafts were successfully bypassed and the excised mass was histologically diagnosed as myxoma (Figure 5). After two week hospitalization patient was healthily discharged.

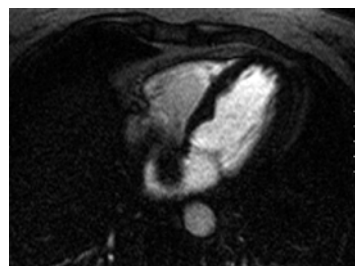


Figure 1. Magnetic resonance imaging showing left atrial mass and no contrast enhancement.



Figure 2. Coronary angiography. The right coronary artery shows a severe stenosis of 90%.



Figure 3. Coronary angiography. Critical stenosis of 99% and 90% found in the left circumflex artery and 24 the left anterior descending artery respectively.

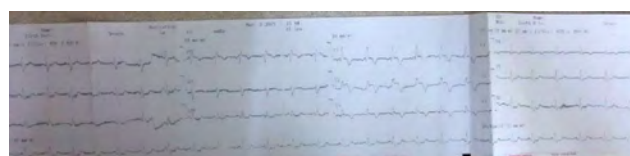


Figure 4. Electrocardiography. Sinus rhythm with 81/min heart rate and preordial T wave inversion with slight ST segment elevation in V1-V3.

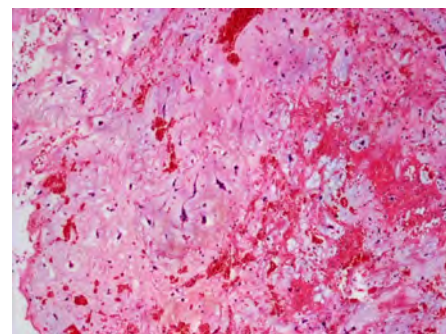


Figure 5. Left atrial myxoma pathology. Histopathologic characterisation of the myxomatous mass.



Figure 6. Transesophageal echocardiography. Irregular mass adherent to the interatrial septum with 17.1x24 mm dimension.

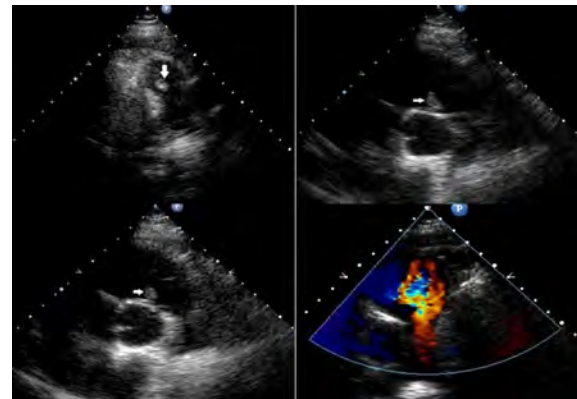
Valvüler kalp hastalıkları

OPS-186

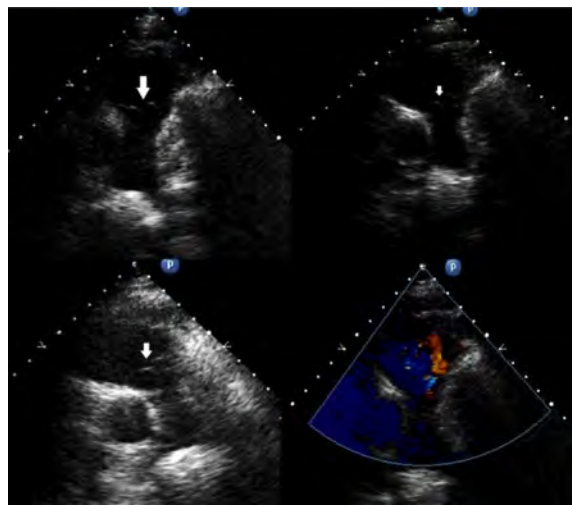
Enfektif endokarditte nadir bir tutulum; izole pulmoner kapak endokarditi

Sefa Tatar, Yakup Alsancak, Abdullah İcli, Hakan Akilli, Ahmet Soylu, Mehmet Akif Duzenli Necmettin Erbakan Üniversitesi Mermi Tip Fakültesi, Kardiyoloji Anabilim Dalı, Konya

Enfektif endokardit kalp kapaklarını tutan bir enfeksiyon tablosu olup, tedavi edilmemiş zaman içinde mortalite ve morbitite ile sonuçlanan bir durumdur. Izole pulmoner kapak vejetasyonu en nadir görülen kalp kapak endokarditidir. tamında altı standart görüntüleme yöntemi ekokardiyografidir. Renal cell ca nedeniley opere edilmiş kemoterapi alan ve kur sağlanan, diabetes mellitus ve sigara öyküsü olan 62 yaşında erkek hasta, ateş yükseltiği nedeniyle başvurduğu acil serviste pnömoni nedeniyle antibiyotik (moksifloksasin) tedavisi başlanmış ve 2 gün boyunca ateş düşmeyen hastannı antibiyoterasipine meropenem 2x1 gr eklenmiş, atesleri devam eden hastadan alınan kan kültüründe metisilina duyarlı stafilokokus aureus türmesi üzerine, hastanın antibiyoterasipinde moksifloksasin kesilip yerine teikoplanin 1x400 mg eklenmiş, takipleri sırasında atesleri devam eden hasta enfektif endokardit on tanısına tarafında dansıldı. Hastanın yapılan transtoraksik ekokardiyografisinde aort, trikuspit ve mitral kapaklarında vejetasyon lehine bulgu izlenmemekten, parasternal kük aks görüntüde pulmoner kapakta 11x11 mm ebatharında, mobil vejetasyonla uyumlu görüntülmüştür. Es zamanlı olarak çekilen toraks bilgisayarlı tomografisinde de fokal-nodüler lezyon, hasta cam manzara izlemesi üzerine, hastada mantar enfeksiyonu düşünürlerek vorikonazol tedavisi eklenmiştir. yine hastanın tedavisine trimetoprim-sulfometaksazol eklenmiştir. Otuz beş gün meropenem, 32 gün teikoplanin, 27 gün vorikonazol, 16 gün trimetoprim-sulfometaksazol tedavisi alan hastanın takiplerinde ateş sıkayıtı kayboldu. Bir ay sonra yapılan kontrol ekokardiyografide, hastanın pulmoner kapağındaki vejetasyonun kaybolduğu izlenmiştir. hasta klinik olarak stabilizasyon sağlandıktan sonra taburcu edildi. Pulmoner kapak endokarditi en nadir görülen kapak endokarditidir. Hem nadir görüldüğünden kaynaklı hem de pulmoner kapak ekokardiyografik olarak değerlendirilmesi sırasında görüntü kalitesindeki yetersizlik nedeniyle çoğu zaman gözden kaçar. Bize vakamızda olduğu gibi, özellikle immün yetmezliği olan kemoterapi rejimleri alan ya da madde bağımlılığı olan hastalarda, pulmoner kapak vejetasyonları açısından dikkatli olmak gereklidir.



Şekil 1. Pulmoner kapakta vejetasyon.



Şekil 2. Tedavi sonrası vejetasyon kaybolduğu izlendi.

OPS-187

Acquired warfarin resistance in a patient with mitral valve replacement

Aynur Açıbuca, Demet Menekşe Gerede, Yusuf Atmaca

Department of Cardiology, Ankara University Faculty of Medicine, Ankara

Warfarin is an oral anticoagulant, that is widely used for the prevention of thromboembolic complications. But, there is large inter-individual differences in the dose required for its anticoagulation effect. Additionally some patients are warfarin resistant, as a result of genetic variability, drug interactions, dietary habits, malabsorption or also idiopathic etiology. We describe a case of acquired warfarin resistance. A 37-year-old woman with mitral valve replacement (MVR) was accepted to our hospital to adjust the dose of warfarin. Since 2005 she had had a prosthetic mitral valve and had taken warfarin. Until 2 years ago, her INR value had been effective, while she was taking 5 mg warfarin on one day and 2.5 mg warfarin on the other day. However, her INR values suddenly decreased to ineffective levels two years ago. Therefore daily warfarin dose had been increased up to 20 mg per day. In spite of this, INR values had not become effective. For this reason, tinzaparin had been added to the therapy. Despite receiving 20 mg warfarin per day her INR value was 1.14 at the admission. Complete blood count, renal function tests, TSH level and lipid profile were normal. She said that she had avoided food rich in vitamin K, had taken warfarin tablets every morning at the same time, had not used any drug, including herbal or dietary supplements and alcohol, other than ASA and Tinzaparin. Also, she had not had any illnesses previously diagnosed. It was suspected that this patient may fit into the group of genetic resistance to warfarin. Genetic test was performed in the blood. But, variant alleles detected in our patient were not sufficient to explain high-dose warfarin requirement. Her INR values were assessed every day with the increase in the daily dose of warfarin. (Table 1) As it was seen in the table, warfarin resistance was broken after a certain point and we were able to reach the targeted INR level with usual doses. After the discharge we learned by phone that INR measurements of our patient's were in therapeutic range while taking 5 mg warfarin on one day and 2.5 mg on the other day. This case summarize an acquired form of warfarin resistance, which appeared independent of medication, diet and comorbid disease. This case also emphasize the possibility of breaking warfarin resistance with increasing dose. After this breaking point, the need of warfarin can decrease to usual dose and the patient can be protected against adverse effects of high amount of warfarin.

Table 1a, b. The table shows daily warfarin dose and the corresponding INR value

Date	Dose (mg/day)	INR	Date	Dose (mg/day)	INR
06.07.2011	40	1.3	25.07.2011	40	2.34
07.07.2011	50	1.48	26.07.2011	-	3.78
08.07.2011	60	1.54	27.07.2011	-	4.47
09.07.2011	80	1.56	28.07.2011	20	2.86
10.07.2011	90	1.99	29.07.2011	20	2.05
11.07.2011	75	3.12	30.07.2011	20	2.89
12.07.2011	-	6.35	31.07.2011	10	3.75
13.07.2011	-	6.08	01.08.2011	-	6.27
14.07.2011	-	3.72	02.08.2011	-	4.54
15.07.2011	75	1.84	03.08.2011	-	4.07
16.07.2011	75	1.62	04.08.2011	5	2.61
17.07.2011	75	2.78	05.08.2011	5	1.86
18.07.2011	-	4.8	06.08.2011	2.5	2.91
19.07.2011	-	4.73	07.08.2011	5	2.89
20.07.2011	50	2.92	08.08.2011	2.5	3.12
21.07.2011	50	2.66	09.08.2011	5	3.2
22.07.2011	-	3.99	10.08.2011	2.5	2.86
23.07.2011	-	5.23	11.08.2011	5	2.9
24.07.2011	30	3.08			

OPS-188

Hipereozinofilik sendromlu hastada gelişen protez mitral kapak trombozu

Zeynep Ulutas¹, Jülide Yağmur¹, Nevzat Erdil², Hasan Pekdemir¹¹İnönü Üniversitesi Tip Fakültesi Turgut Özal Tip Merkezi, Kardiyoloji Anabilim Dalı, Malatya²İnönü Üniversitesi Tip Fakültesi Turgut Özal Tip Merkezi Kalp ve Damar Cerrahisi Anabilim Dalı, Malatya

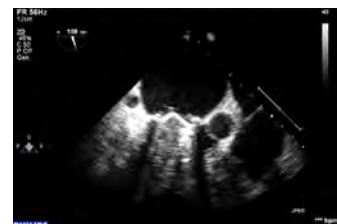
Giriş: Protez kapak trombozu kalp kapak replasmanının en ciddi komplikasyonlarından biridir. Hipereozinofilik sendrom (HES) eozenofil asırı üretimi ile çevresel ve dokularda eozenofil, bir çok uç organda hasar oluşturabilen heterojen bir bozukluktur. HES erkeklerde kadınlarda (9:1) göre daha sık görülmektedir. En sık 20-50 yaş arasında görülür. Kardiyak tutulumda HES 'de oldukça sık görülmektedir. (%50-60) mortalite ve morbiditenin esas nedenidir. Kardiyak tutulumda; hipertrofi, kapak yetmezlikleri, aritmii, kapak içi trombüs, restrikif KMP ve nadir olarak nörotizan miyokardit görülebilir. Nadir olsa hipereozinofilik sendromun protez mitral kapak trombozu ile ilişkili olduğu bildirilmiştir. Bu yazda hipereozinofili tanımsız olan ve buna sekonder protez mitral kapak trombus gelişen revizyon yapılan olsa sunuldu.

Olgu: Kırk sekiz yaşında erkek hasta bir gün önce başlayan nefes darlığı şikayetiinin artması üzerine başvurdu acıl servise deşterlendirdi. Fizik muayenesinde ortopneik ve dispneikt. Dinlemekle her iki aksiyerde orta zonlarda kardia krepitan ral duyuldu. TA:105/70 mmHg nabız 120 atm/dk aritmik taşkardık ates 37 derecedeki. Laboratuvar değerlerinde WBC: 24.0×10⁹/L, HGB:11.5 g/dL, eozenofil: 3.47×10⁹/L, INR: 2.5 idi. Öyküsünde yaklaşık 2 ay önce rotamizat mitral darlık nedeniley mitral valv replasmani operasyonu geçirdiği öğrenildi. Kardiyak muayenesinde protez kapak sesi duyulmadı. HES nedendeki hematojili takibi içinde hastanın kapak cerrahisi sonrası metilprednisolon ve hidrokortizone tedavisini almışlığı öğrenildi. Yapılan transtoraks ekokardiografide prostetik mitral kapagının iki leafletinin de kapalı pozisyonunda neredeyse sabit olduğu görüldü, doppler değerlendirmelerde gradient artışı dikkat çekti. İleri trikuspit yetmezliği mevcut olup sistolik pulmoner arter basıncı 120 mmhg idi. Transösophageal ekokardiografi yapıldığında mitral posterior kapak proteininin hareketleri olduğu anterior protetik kapagın ise hareketinin kısıtlı olduğu görüldü. Kardiyoloji kalp damar cerrahisi konseyinde trombusla ilişkili cerrahi karar alındı. Operasyonda mitral mekanik kapagın organize trombusla stug olduğu görüldü ve kapak değiştirildi.

Tartışma: HES tanısının erken konabilmesi, kalp hastalığı yönünden klinik ve ekokardiografik olarak siki takip, kalp komplikasyonlarında uygulanır. Tedaviler ile hastaların yaşam şansları artmıştır. Hipereozinofilik sendromlu hastalarda tromboz riski akılda tutulmalıdır, kalp kapak replasmanı cerrahi geçiren hastalarda mutlak eozenofil miktarının yükselmesi fark edilmeli, alta yatan neden araştırılarak buna göre tedavi edilmelidir. Protez kapak trombozu riskini azaltmak için mutlak eozenofil miktarı normal seviyede tutulmalıdır. Hipereozinofilik sendromda biyoprotez veya mekanik kapak seçimi konusunun açıklığı kavuşturulması için daha fazla kanıt gereklidir.



Şekil 1. Olgunun intraoperatif görüntüsi; kapak üzerinde trombus izlenmektedir.



Şekil 2. Protez mitral kapagının transösophageal ekokardiografisinde trombus izlenmesi.

OPS-189

Staphylococcus Capitis'ın etken olduğu, embolik komplikasyonlar ile prezente olan nativ aort ve mitral kapak endokarditi

Emre Yılmaz, Ali Rıza Demir, Muammer Karakaya, Mesut Pak, İlyas Çetin

İstanbul Mehmet Akif Ersoy Eğitim ve Araştırma Hastanesi, Kardiyoloji Kliniği, İstanbul

Olgu: Yaklaşık 3 aydır olan minimal efor ile gelen bilateral bacak ağrısı ve yorguluk hissi tarihlenen 64 yaş kadın hasta söz konusu şikayetleri ile tetkik edilmiştir. Sol bacakta akut derin ven trombozu saptanın hasta düşük molekül ağırlıklı heparin ve warfarin kombini edilerek tedaviye başlanmıştır. Şikayetlerinin devam etmesi üzerine kontrol muayenesinde periferik nabızları zayıf, arteriel dopperle bilateral alt ekstremitetde monofazik poststenotik akımlar gözlenmiş bunun üzerine periferik arter hastalığı on tanısı ile ileri tetkik ve gerekirse tedavisi amacıyla anjio işlemi planlanmıştır. Aynı seansda perifer ve koroner anjografi yapılan hastada; koronerler nonkistik plaklı, periferik anjioda ise bilateral diz eklemi öncesi superficial femoral arterleri (SFA) totallikle olaraq saptanmıştır. Aktif sigara kullanımında risk faktörü veya bilinen kronik hastalığı olmayan hasta; Buerger hastalığı on tanısı ile ileri tedavileri planlanmıştır. Koronerangiografi işlemi sonrası 7. gününde sağ hemiplejik ve konusma bozukluğu ile acıl servise başvurmuştur. İlk değerlendirme elektrokardiografi normal sinus ritiminde, karotis bt anjografiinde patoloji saptanmamış hastanın kliniği ve kranial MR görüntüleri ayrıntılı değerlendirildiğinde beyinde multiple enfarkt olaklarının varlığı saptanmıştır (Şekil 1). İtraa kardiyak tromboembolik bir hادis açısından tetkiki amaçlı kardiyoloji bölümünde konsültة edilmiştir. Kalp yetmezliği semptom ve bulgulara da olan hastanın eko DA %55, +4 Egsantrik MY ve anterior leaflette 7x6 mm vejetasyon şüpheli kitle saptandı. TEE de mitral kapak harekeli tromboze 12x8 mm, aort kapakta 6.9x4.8 mm vejetasyonlar saptandı (Şekil 2). Ayni ekstemiteden alınan kan kültürlerinde staphylococcus capitis izole edildi. Etkenin Metisilin direnç olduğu saptanması üzerine hastanın tedavisi gentamisin 3x80 mg ve vankomisin 2x1000 mg olarak düzendirildi. Hastanın DVT si ve periferik arter hastalığı için antikagulasyon ile izlemine karar verildi. Literatürde yayınlanan staphylococcus capitis vakalarının büyük bir kısmı antibiyoterapi ve konservatif yaklaşım ile izlenmiştir. Ancak her ne kadar kalp yetmezliği semptom ve bulgularaalsa da ekoda mitral kapak kaçak akımı artması nedeniyle hastaya aort ve mitral kapak cerrahisi uygulandı.

Sonuç: Stafilococcus Capitis etken olan nativ kapak endokarditi nadir görülen bir klinik tablodur. Literatürde bildirilen Sta. Kapits vakalarında tek nativ kapak tutulumu tespit edilmişken olgun muzda hem aort hem de mitral kapak tutulumu söz konusudur. S. Capitis gibi dirençli ve fatal

OPS-192

Relationship between Wilkins echocardiographic score and neutrophil to lymphocyte ratio in patients with mitral stenosis

Görkem Kus¹, Nermine Bayar², Zehra Erkal², Selçuk Küçükseymen², Göksel Çağırıcı², Isa Öner Yüksel², Murat Esin², Şakir Arslan²

¹Department of Cardiology, Ağrı State Hospital, Ağrı

²Department of Hematology, Antalya Training and Research Hospital, Antalya

Background: Wilkins echocardiography score (WS) is commonly used among patients with rheumatic mitral stenosis (RMS) to evaluate suitability for percutaneous mitral balloon valvuloplasty (PMBV) treatment. Patients with WS higher than 11 are not allowed for PMBV. Prior studies demonstrated that inflammation might have a role in RMS progression. In this study, we aimed to investigate the role of neutrophil/lymphocyte ratio (N/L ratio) which is indicative of inflammation in predicting high WS.

Methods: In this retrospective study, we enrolled moderate to severe RMS patients. Transthoracic and transesophageal echocardiography reports were analyzed. Patients were divided into two groups according to WS. In group 1, WS was ≤ 11 and in group 2, WES was higher than 11. Groups were compared for echocardiographic and hematological parameters.

Results: A total of 115 patients of whom 93 were women (80%) were enrolled in this study. Group 1 consisted of 72 patients (mean age 43.7 ± 12.0) and group 2 consisted of 43 patients (mean age 52.7 ± 11.3). In group 1, mean WS was 7.4 ± 2.0 while it was 12.4 ± 0.7 in group 2. N/L ratio in group 2 was 3.8 ± 0.5 and significantly greater than group 1 in which N/L ratio was 2.6 ± 0.9 ($p < 0.001$). A cut-off point of 3.09 for the N/L ratio had 100% sensitivity and 78% specificity in predicting RMS patients with high WS.

Conclusion: N/L ratio was independently associated with WS > 11 in patients with RMS.

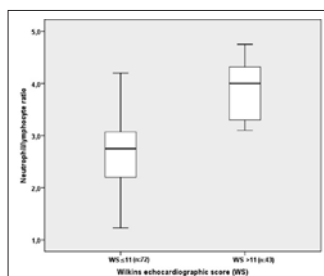


Figure 1. Neutrophil / lymphocyte ratio levels according to Wilkins score.

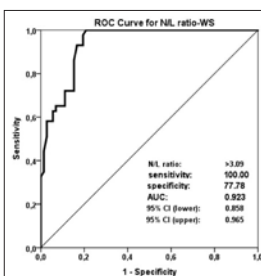
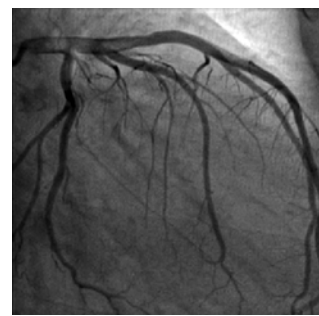


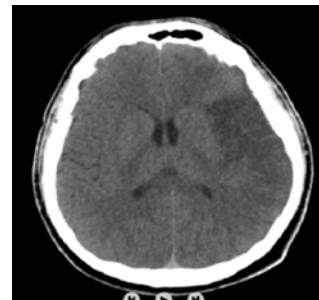
Figure 2. Receiver operating characteristics curve of neutrophil / lymphocyte ratio for predicting high WS.



Şekil 1. Koroner anjiyografi.



Şekil 2. Koroner anjiyografi 2.



Şekil 3. Bilgisayarlı beyin tomografisi.



Şekil 4. Kraniyal bilgisayarlı tomografi anjiyografi.

Kalp yetersizliği

OPS-193

Nörojenik stres kardiyomyopatisi

Önder ÖzTÜRK¹, Ünal ÖzTÜRK²

¹Diyarbakır Eğitim ve Araştırma Hastanesi, Kardiyoloji Kliniği, Diyarbakır

²Diyarbakır Eğitim ve Araştırma Hastanesi, Nöroloji Kliniği, Diyarbakır

Nörolojik hastalıklara sekonder gelişen kardiyak disfonksiyon, nörojenik stres kardiyomyopatisi olarak tanımlanmaktadır. Farklı nörolojik olaylar sonucu gelişen bu kardiyomyopati tam olarak anlaşılamamıştır. nörojenik stres kardiyomyopatisi patofizyolojisi, iskemik kalp hastalığına bağlı kalp yetersizliğinden farklıdır. Nörolojik olay sonrası kalp yetersizliği gelişimi, sıkılık subaraknoid hemorajî sonrası tanımlanmıştır.

Oluşumunu: Otuz yedi yaşında erkek hasta acil servise ani başlayan nefes darlığı ile başvurmuştur. Geliş anası 110/70 mm-Hg, nabız 125/dk. Kardiyovasküler sistem üzerinde PMMO' da 2/6 sistolik üfürüm mevcuttur. Çekilen EKG si sinus ritimde olup, anterior derivasyonlarda bifazik T dalgaları, V1-V3'te Q dalgaları saptanmıştır. Hastaya akut koroner sendrom tanısı konmuştur. Glukoz 87 mg/dl, Kreatinin 0.77 mg/dl, LDL:97 mg/dl, troponin I 0.297 ng/ml. Hastanın yapılan KAG'sinde LAD ve RCA prosksimal plaklı saptanmıştır (Şekil 1-2). Kardiyoloji servisine hasta yatırılmış. Hasta yakınları, hastalarının çok konuşan olduğunu, ancak bugün sabahtan beri hastalarının konuşmadığını ve nefes darlığından belirtmişler. Hastada afazi nedeviley nörolojiden görüş istenmiş. Çekilen bilgisayarlı beyin tomografisinde sol parietotemporalde solda insuler kortikal alan ve sol kaudat nukleus kaputum içine alan, hipodens akut infarkt alanı ile uyumlu alan saptanmıştır (Şekil 3-4). Difizyon MR'da sol temporal lobun büyük bir kısmını ve frontotemporal bileskeyi ve parietotemporal bileskeyi ve paretal lobun posterior kısımında minimal bir alan ilgilendiren, DA seride belirgin sinyal lokalizasyonda, akut infarkt ile uyumlu göründüm saptanmıştır. artışı, ADC haritada sinyal kaybı ile karakterize, ölüsol orta serebral arter beslenme arterleri terminal dalları bölgésine uyen ekokardiyografsında LVEF %20, sol kalp boşluklarında genişleme, orta mitral yetersizliği saptanmıştır. Hastaya ASA, ACE inhibitörü, beta bloker, diüretik ve statin başlangıç. Akut serebrovasküler olaya yönelik tedavi başlanmıştır. Klinik takiplerde kımız düzümlü olan hasta önerilerle externe edilmiştir. Nörojenik stres kardiyomyopatisi patofizyolojisinde katekolamine bağlı doğrudan miyokardial hasar sorumlulu tutulmuştur. Bu olgumuz, nörojenik stres kardiyomyopatisini tanımlayan güzel bir örnektir. Nörojenik stres kardiyomyopatisi kardiyak nekroz, adrenerjik reseptörlerin olduğu miyokardiyumda daha fazladır. Smir uçları endo-kardiyumda fazla olması nedeniyle miyokard nekrozu da burada daha sık olmaktadır.

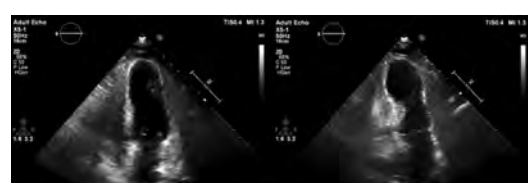
OPS-194

Status epileptikus ilişkili takotsubo kardiyomyopatisi

Ahmet Seyfeddin Gürbüz¹, Serif Ahmet Kandemir², Sümeyye Fatma Özer², Mükremin Çoşkun², Hakan Akıllı¹, Yakup Alsancak¹, Abdullah İcli¹, Ahmet Soylu¹, Mehmet Akif Düzenli¹

Necmettin Erbakan Üniversitesi Meram Tip Fakültesi, Kardiyoloji Anabilim Dalı, Konya

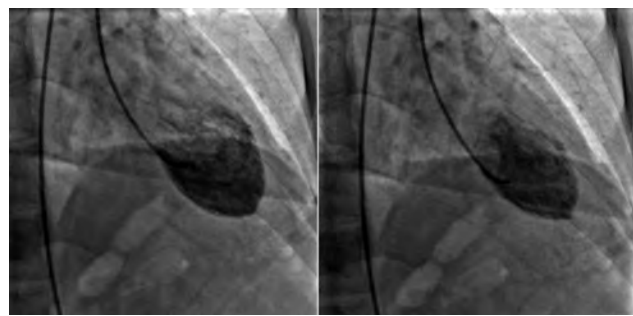
Elli iki yaşında 6 aylıkta itibaren epileptik nöbetleri, mental retardasyon olan son iki gündür gün içerisinde 4-5 kere jeneralize tonik-klonik nöbeti olması ve yeni başlayan genel durum bozukluğu ile acil servise getirilmiştir. Acil serviste nöbeti kontrol altına alınan hasta kardiyak enzimlerinin yükselmesi olması (Troponin I: 38 ng/ml) nedeniyle akut koroner sendrom örtüsüyle tarafımıza danışıldı. Hastanın dış merkezde çekilen elektrokardiyografisinde (EKG) T negatiflikleri mevcut. Merkezimizde çekilen EKG içinde normal sinus ritmi, T negatifliği gözlemlendi. Epilepsi için valproik asit 2x500 mg, fenitoin 2x100 mg, levetirasetam 2x1000 mg, düzenneli olarak kullanıldığı öğrenildi. Ekokardiyografisinde EF: %35,apseks akıtenik sol ventrikül bazalleri hiperkinetik izlendi, belirgin kapak patolojisi izlenmedi. (Şekil 1) Hasta akut koroner sendrom-takotsubo kardiyomyopatisi ayrılmış için anjiyografi laboratuvarına alındı. Hastanın koroner angiografisinde revascularizasyon artride %30 darlık izlendi. (Şekil 2) Ventrikulografi de EF: %30-35 izlendi. Takotsubo kardiyomyopatisi düşündürmen apikal balonlaşma ve basal hiperkinetizi izlendi. (Şekil 3) Hastaya beta-bloker, ACE inhibitörü, ASA 100mg başlandı. Nöbetler tekrarlayan hasta Nöroloji Kliniğine devredildi. Hastada kardiyomyopati tetikleyebilecek durumlar literatürde taranıldığıyla ilişkili takotsubo kardiyomyopatisi olgusu saptanmadı. Hastada status epileptikus ilişkili takotsubo kardiyomyopatisi düşünüldü. Takotsubo kardiyomyopatisinin tam mekanizması kesin olarak bilinmese de yaygın görüş, stres faktörlerinden kaynaklanan aşırı katekolamin salımının vazospazm veya koroner arterlerdeki dolasının geçici olarak engellenmesi sonucunda miyokardiyal iskemiye neden olduğu yönündedir. Epileptik nöbetlerin takotsubo kardiyomyopatisini tetikleyebildiği sunumları bulunmaktadır. Santral sinir sisteminin ilgilendirdiği birçok hastalık ya da hasar dumunu sempatik sinir sisteminin baskın hale gelerek katekolaminerik uyarıların artması ve hasarlı hücrelerden salınmasının sonucu miyokardiyal hasar oluşturabilecektir. Bunlardan en yaygın görülenleri subaraknoid kanamalar, iskemik serebrovasküler hastalıklar, epilepsi, sss enfeksiyonları, travmatik beyin hasarı ve beyin ölümüdür. Ayrıca epilepsi sonrası görülebilecek ani ölümün örtülü ritm bozukluklarına yol açabilen takotsubo kardiyomyopatisi sorum tutulmuştur. Epilepsi tanısı olan hastalarda ani genel durum bozukluğu, nefes darlığı ve artırmış geliştiğinde Takotsubo Kardiyomyopatisi unutulmamalıdır.



Şekil 1. LV diastol ve sistol görüntülerü.



Şekil 2. Hastanın sol ve sağ koroner angiografi.



Şekil 3. Ventrikülografide diyalost ve sistol görüntüleri.

OPS-195

Young peripartum cardiomyopathy patient recovering early with bromocriptine treatment

Gülsum Meral Yılmaz, Ahmet Genç, Nermine Bayar, Rauf Avcı, Göksel Çağıcı, Şakir Arslan
Department of Cardiology, Antalya Training and Research Hospital, Antalya

Introduction: Peripartum cardiomyopathy (PPCM) is an idiopathic cardiomyopathy characterized by heart failure (HF) secondary to left ventricular (LV) systolic dysfunction towards the end of pregnancy or in the months following delivery. In this report, we presented a PPCM patient with early recovery with bromocriptine treatment, a new treatment strategy.

Case: A 36-year-old woman admitted to the emergency room with complaints of shortness of breath, orthopnea, fatigue, cough and lower extremity edema. On physical examination, blood pressure was 175/111 mmHg, pulse was 130/min, and pulse oximetry showed saturation of 94%. There was rales up to the upper lung zones, apical 4/6 systolic murmur and mild pretibial edema. We learned that the patient gave premature birth with caesarean section 4 days ago. This birth is the 5th pregnancy and 4th birth. N-terminal pro-BNP level (NT-proBNP) was found to be 12,229 pg/ml in patients. LV ejection fraction (LVEF) was 20% and global longitudinal strain was -7% on echocardiography. Also severe mitral regurgitation, mild tricuspid regurgitation and pulmonary artery pressure of 50 mmHg were observed. The patient was admitted to the coronary intensive care unit with the diagnosis of PPCM-acute pulmonary edema. Diuretic infusion and continuous positive airway pressure therapy started to patient. In addition to the current recommended heart failure treatment, bromocriptine treatment, which was reported as a new treatment, began with 2.5 mg 2x1 for the first two weeks and 1x1 for the next 4 weeks. The echocardiographic findings at the beginning of the treatment, at the 5th day, and at the 6th week are shown in figure-1 and table-1. At the 5th day of treatment, LVEF was significantly improved and mitral regurgitation was mild. Also LVEF returned to normal at 6 weeks of treatment.

Discussion: The cause of PPCM remains unclear, but several mechanisms have been proposed. Unbalanced oxidative stress is thought to trigger the protease cathepsin D activation, which breaks up the prolactin hormone into 16 kDa form. This fragment have cardiovascular effects such as inhibition of endothelial cell proliferation and migration, induction of endothelial cell apoptosis, and disruption of capillary structures. The ergot alkaloid bromocriptine mesylate is a dopamine D2 receptor agonist that suppresses prolactin secretion. In a randomized pilot study, patients treated with bromocriptine compared with patients receiving standard therapy, significant improvement in the LVEF was observed at baseline (bromocriptine group from 27 to 58%, standard therapy group from 27 to 36% at 6 months).

Conclusions: In previous studies, significant improvement was observed in LVEF at 6th month of bromocriptine treatment, but in our case, significant improvement was observed in the early period at 5th day, and LVEF returned to normal after 6 weeks. In addition to the currently recommended treatments, bromocriptine therapy should be kept in mind in the treatment of PPCM.

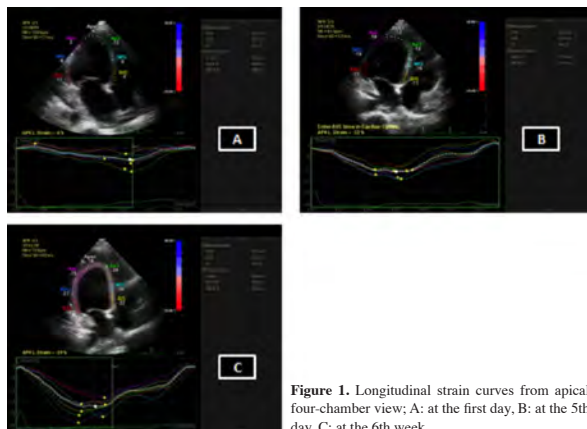


Figure 1. Longitudinal strain curves from apical four-chamber view; A: at the first day, B: at the 5th day, C: at the 6th week.

Table 1. Strain echocardiographic findings of the patient

	EDV(ml)	ESV(ml)	LVEF(%)	Longitudinal strain(%)
1.day	91,8	61,4	33,1	-6
5.day	69,3	37,4	46,1	-12
6.week	61,8	23,8	61,4	-19

EDV: End diastolic volume, ESV: End systolic volume, LVEF: Left ventricular ejection fraction.

OPS-196

Right atrial mass: myxoma causing right heart failure

Yavuz Oktay, Ebru Serin, Dogac Oksen, Emir Baris Okcun

Department of Cardiology, Istanbul University Institute of Cardiology, Istanbul

Cardiac masses are mostly discovered incidentally during an imaging examination. These incidental masses usually represent thrombi or vegetations and may impair myocardial contractility and causing valve pathology. A triad of symptoms is recognised: valvular obstruction, embolic event and arrhythmias. We report a case of myxoma in the right atrium, in a 64-years-old male patient presented with dyspnea, fatigue, bilateral lower limb edema and reduced effort tolerance. A 64-year-old man, smoker, with a history of hypertension and diabetes mellitus, presented with a 3-month progressive dyspnea NYHA class II, fatigue, bilateral lower limb edema and reduced effort tolerance. Before admission he reported his symptoms were worsening in the last two weeks. On physical examination, blood pressure and pulse rate were normal and a systolic murmur of grade III-IV was audible in the tricuspid area. The murmur did not have any postural relation. ECG demonstrated normal sinus rhythm. Laboratory tests were normal. Chest X-ray showed an increased cardiothoracic ratio. Transthoracic echocardiographic examination revealed a large, mobile, homogenous right atrial mass, measuring 3.0x1.9 cm, in the right atrium with close contact to the origin of the IVC. Right ventricular function was reduced, TAPSE (Tricuspid annular plane systolic excursion) 1.2 cm. Her transesophageal echocardiography at deep transgastric view revealed a large, calcified, spherical mass (34x33 mm) in the posterolateral area of the right atrium. He referred for cardiac magnetic resonance (CMR) to further evaluate the right cardiac mass. First T2 coronal cardiac magnetic resonance imaging confirmed the hypointense right atrial mass in the right posterior atrium. The mass was causing mechanical obstruction to blood flow through tricuspid valve. The mass was completely removed by surgery and diagnosis was confirmed by pathology. In our case, the right atrial myxoma was thought to cause the right heart failure by decreased the right ventricular function. Intracardiac masses could affect the function of the adjacent cardiac structures leading to severely compromised blood flow due to inflow or outflow tract obstruction. The patient underwent successful operation of the myxoma. He was kept on echocardiography follow-up every 6 months.



Figure 1. Transthoracic echocardiography shows a large echogenic mass filling the right atrium.



Figure 2. TTE image. Right atrial mass.

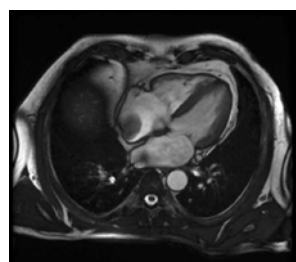


Figure 3. Cardiac MR cine imaging in four-chamber view demonstrates mass with oval shape and regular borders (arrow).

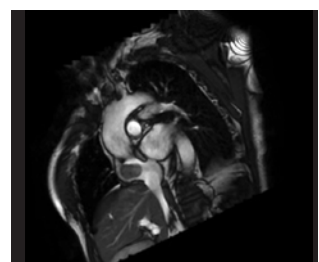


Figure 4. Cardiac MR.

OPS-197

Effectivity of rivaroxaban in the left ventricular apical thrombus

Fatih Aydin¹, Ercan Akşit², Ayşe Hüseyinoğlu Aydin¹, Özge Turgay Yıldırım¹, Evrin Dağtekin¹

¹Department of Cardiology, T.C. S.B., Eskişehir State Hospital, Eskişehir

²Department of Cardiology, Çanakkale Onsekiz Mart University Faculty of Medicine, Çanakkale

Background: Atrial fibrillation (AF) is the most commonly predisposes to an increased risk of embolic stroke and the incidence of stroke in patients with atrial fibrillation is greatly reduced by oral anticoagulation. Recently, direct oral anticoagulants (DOAC) have been successfully applied in non-valvular AF instead of warfarin, which has been used for many years for anticoagulation. However, in the literature, the use of DOAC in patients with left ventricular apical thrombosis is rather low. Here, we present the case of a man with AF and left ventricular apical thrombus while on warfarin therapy and was subsequently treated with rivaroxaban.

Case presentation: A 67-year-old male patient in dilated phase of hypertrophic cardiomyopathy and atrial fibrillation. He also had coronary artery disease and hypertension. The 'CHA2DS2VASc' score was 4. His creatinine clearance was 80 ml/min. Medication included perindopril + indamid, metoprolol, spironolactone, furosemide, warfarin. Warfarin had to be discontinued due to marked fluctuations in International Normalized Ratio (INR). Transthoracic Echocardiography (TTE) displayed a fixed mass measuring 1.8x1.12 cm² in the left ventricle (Figure 1). He was treated with rivaroxaban once a day for the past six months without any embolic episode or bleeding. After six month the thrombus regressed to 1.54x1.06 (Figure 2). The treatment of rivaroxaban was continued because there was no increase in the size of the thrombus mass, although there was no significant decrease, and no thromboembolic event occurred.

Discussion: The effectiveness of rivaroxaban was completely evaluated in the prevention of embolism in non-valvular AF. However, the effect of this drug on the resolution of the LA and LAA thrombus is not fully assessed. A few clinical case reports assessed of rivaroxaban in resolving LA/LAA thrombi and in reducing smoke-like echo. And one of these case reports showed that the LA thrombus-related stroke developed in a patient when pre-operative rivaraxaban was discontinued. There was a small decrease in apical thrombosis in our case, as well as the measurement deviations due to echocardiography may have caused this. On the other hand, effective anticoagulation may have caused decrease of the thrombus. And longer use of the rivaroxaban may lead to further reduction in thrombus size.

Conclusion: This case supports that the ineffectiveness of warfarin therapy for complex cases enclose left apical thrombus conditions and of the possibility of using rivaroxaban as a safe alternative. This observation needs to be confirmed by long-term and larger data.

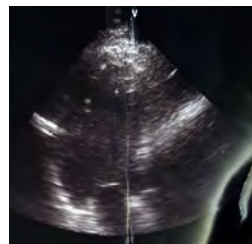


Figure 1. Before Rivaroxaban treatment.



Figure 2. Sixth month.

Lipit / Koruyucu kardiyoloji

OPS-198

Critical left main coronary artery stenosis in a patient with homozygous familial hypercholesterolemia and aortic valve replacement: a case report

Nuri Köse¹, Tamer Kirat¹, Gökhan Ergün², İbrahim Altun², Fatih Akin²

¹Department of Cardiology, Private Yücelen Hospital, Muğla

²Department of Cardiology, Muğla Sıtkı Koçman University Training and Research Hospital, Muğla

Introduction: Familial hypercholesterolemia is an autosomal dominant genetic disorder of lipid metabolism characterized by elevated low-density lipoprotein cholesterol levels in the blood and premature cardiovascular disease. In this article, we present a 45-year-old man with familial homozygous hypercholesterolemia and aortic valve replacement who had a critical left main coronary artery stenosis and underwent successful coronary artery bypass graft surgery.

Case: A 45-year-old male patient was admitted to our cardiac clinic with a history of exertional angina (Canadian Cardiovascular Society Class III) for three months. The patient had been diagnosed with HoFH ten years before. In addition, his mother, father and two brothers had also HoFH history. The patient had mechanical aortic valve replacement operation because of severe symptomatic aortic stenosis ten years ago. The coronary arteries had been reported to be with some plaque in the coronary angiography before that operation. It was learned that the patient had had xanthomas in the dorsum of both of the hands and Achilles tendon which had started in the childhood years and had been resected with local anesthesia two years ago. He had been taking atorvastatin 80 mg/day, ezetimibe 10 mg/day and warfarin for ten years. But, he stated that he had stopped lipid lowering medications a month ago. In physical examination, bilateral arcus cornea and palpebral xanthoma (Figure 1A) and though partially resected, xanthomas in the Achilles tendon were evident in the inspection. (Figure 1B). His total cholesterol was 662 mg/dL, LDL cholesterol was 604 mg/dL, high-density lipoprotein cholesterol was 30 mg/dL and triglyceride level was 140 mg/dL. In transthoracic echocardiography, normal functioning prosthetic metallic aortic valve (maximum gradient 24 mmHg), mild mitral regurgitation, mild left ventricular hypertrophy with a normal left ventricular ejection fraction were detected. Focal aortic root aneurysmatic dilatation of 43 mm diameter and calcification in the ascending aorta was determined in both the thoracic computerized tomography and conventional aortography (Figure 2 A and B). Coronary angiography revealed a 80% ostial stenosis in the left main coronary artery with some plaques in the other coronary arteries (Figure 2C). The patient was referred to surgery. The left internal mammary artery to the left anterior descending artery and a saphenous vein to the obtuse marginal artery bypass grafts were applied. The patient didn't accept the plasma apheresis therapy and has been event-free for 3 years.

Conclusion: Because of the very high prevalence of the development of cardiovascular disease in the HoFH patients, aggressive treatment approaches and close follow-up are needed for the relative reduction in mortality and morbidity incidences.



Figure 1.

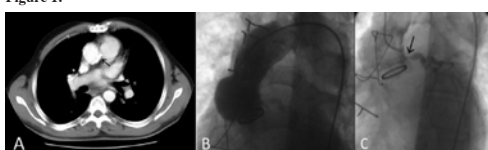


Figure 2.

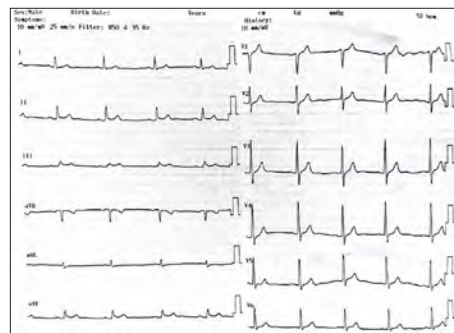
OPS-200

Dabigatran tedavisi alan hastada gelişen akut pulmoner emboli

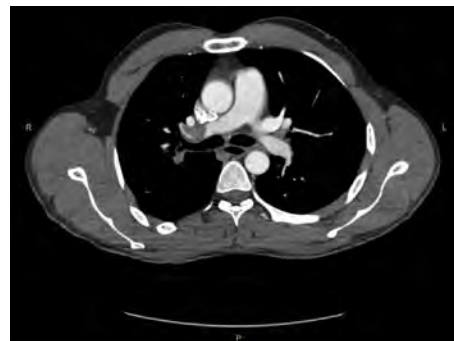
Mustafa Bilal Ozbay, Emek Ediboglu, Fazıl Arısoy, Yasın Özén, Burak Açıcar

Ankara Türkiye Yüksek İhtisas Hastanesi, Kardiyoloji Kliniği, Ankara

Otur bir yaşındaki erkek hasta Türkiye Yüksek İhtisas Eğitim ve Araştırma Hastanesi acil servisine dispne, göğüs ve bacak ağrısı ile başvurdu. Derin ven trombozu nedeniley iki hafta önce başka bir sağlık merkezinde hospitalize edilmiş, parenteral antikoagülasyonla beraber 150 mg dabigatran'a giünde iki kez kullanmak üzere başlamıştı. Kardiyovasküler risk faktörleri olmaksızın aktif sigara içicisiydi ve yakın zamanda immobilizasyon, kanser, operasyon mevcut değildi. Başvuru sırasında hastanın kan basıncı 135/76 mmHg ve solunum hızı 25 nefes / dakika idi. Oda havasındaki oksijen saturasyonu %85 idi ve arteryal kan gaz analizinde hipoksemi ve hipokapni mevcuttu. Kardiyak ve aksiyer muayenesinde ek bulguya rastlanmadı. Periferik muayenesinde sol bacakta human's bulgusu pozitifi ve sol bacak çapı sağ bacağı göre 4 cm daha büyüktü. Serum elektrolit, glukoz, kan direk kreatinin düzeyleri, tam kan sayımı ve troponin seviyeleri normaldi. Aksiyer filmi normaldi ve elektrokardiyografide (EKG) inferior derivasyonlarda patolojik olmayan erken repolarizasyonda birlikte sinus bradikardisi mevcuttu. EKG'de STQ3T3 paterni yoktu (Şekil 1). Transtorasik ekokardiyografide sistolik pulmoner arter basıncında hafif artı saptandı (sistolik pulmoner arter basıncı 38 mmHg) ve segmental duvar hareket bozukluğu saptanmadı. Sol bacak için yapılan doppler ultrasonografide popliteal vende akut fazda DVT saptandı. Hastaya bu bulgulara dayanarak yapılan pulmoner bilgisayarlı tomografide (PBT) sağ ana pulmoner arter lümeneinde dolus defekti ve trombüsle uyumlu görünümlü saptandı (Şekil 2). Pulmoner emboli (PE) şiddetinde indeksi skor 30 idi. Hasta düşük riskli PE olarak sınıflandırıldı ve 30 günlük mortalite riski çok düşük (%0-1.6) olması nedeniyle trombolytic tedavi verilmedi. Hastaya dabigatran etkisiz yerine düşük molekül ağırlıklı heparin ve varfarin ile birlikte standart antikoagülasyon tedavisi uygulandı. Hastanın hemodinamisi stabil seyretti ve komplikasyonsuz bir şekilde tabur edildi.



Şekil 1. Elektrokardiyografide sinus bradikardisi ve erken repolarizasyon görülmüyor.



Şekil 2. Pulmoner bilgisayarlı tomografide sağ pulmoner arter lümeneinde trombus görülmüyor.

OPS-201

Tyrosine kinase inhibitor induced pulmonary artery hypertension: reversible with ponatinib?

Serkan Gökaslan¹, Ersel Onrat¹, Çiğdem Özer Gökaslan², İbrahim Etem Dural¹

¹Department of Cardiology, Afyon Kocatepe University Faculty of Medicine, Afyon

²Department of Radiology, Afyon Kocatepe University Faculty of Medicine, Afyon

Pulmonary arterial hypertension (PAH) is a disease associated with progressive and comprehensive vascular remodeling of small pulmonary arteries. The prognosis of Chronic myelogenous leukemia (CML) has been improved by tyrosine kinase inhibitors (TKIs), which inhibit BCR/ABL kinase pathway. Most of the TKIs induced PAH is limited almost exclusively to dasatinib until now. There was only one report about, PAH was caused by the novel TKI ponatinib. We present a 73 years old-female patient with chronic myeloid leukemia, who had PAH after approximately 72 months with prior exposure to dasatinib. Dasatinib was replaced by nilotinib in this patient. Nilotinib was used 11 months for CML treatment, but no recovery was seen with also this TKI. Finally, ponatinib therapy was started for CML. Signs and symptoms of PAH improved with institution of ponatinib therapy. Therefore we report that the patient with dasatinib induced PAH did not recover after institution of nilotinib as a TKI instead of dasatinib but improved with ponatinib treatment using for CML.

OPS-202

Dijital ülser ile prezente olan sistemik skleroz'a bağlı sekonder pulmoner hipertansiyon

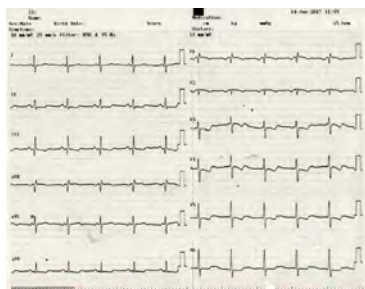
Ertan Emre Sahin, Muzaffer Karadeniz, Ahmet Çelik

Mersin Üniversitesi Tip Fakültesi, Kardiyoloji Anabilim Dalı, Mersin

Olgu: Altı yaşındaki bayan hasta önce sağ el 3. parmak ucunda daha sonra da sol el 2. parmak distalinde yan neddenyle plastik cerrahi polikliniğine başvurmuş ve bunun üzerine kardiyak emboli odağı araştırılmış, üzere tarafımızı yönlendirilmiş (Şekil 1). Hastanın çekilen elektrokardiografis normal sinus ritiminde, V3-V6 da 1 mm ST depresyonu izlendi (Şekil 2). Hastaya yapılan transtoraks ekokardiyografide ejeksiyon fraksiyonu %60, minimal mitral yetmezlik, minimal aort yetmezliği, 2. Derece trikuspit yetmezliği ve pulmoner arter basıncı 100 mmHg olarak ölçüldü (Şekil 3), sağ boşlukları geniş olarak izlendi (Şekil 4), interatrial septum ve interventriküler septum sola deviye olarak izlendi. Pulmoner hipertansiyonu olan hasta etyoloji arastırılması için kardiyoloji servisine yatırıldı. Pulmoner emboli ekartasyonu için ventilasyon-perfüzyon sintigrafi çekildi. Pulmoner tromboemboli için orta olasılık saptanması üzere spiral toraks BT çekildi. Spiral toraks BT de pulmoner emboli saptanmadı. Parmaklarında dijital ülserleri olması nedeni ile sistemik sklerozın tanısı ile Romatoloji B.D.'na danışıldı. Anti-SSB, Anti-SSA, IFAT (PANCA), Sm, rRNP/Sm, Scl-70, Jo-1, Nükleosot otoantikorları gönderildi. Sonuçları negatif olarak geldi. ANA ve Anti-sentromer antikor testleri dış merkeze gönderildi. ANA ve Anti-sentromer antikor testleri pozitif geldi (Şekil 5). Hastaya sınırlı deri tutulmumu sistemik skleroz tanısı ile hidroksiklorokin, dijital ülserleri olmasının nedeni ile ilerioprost infüzyon tedavisi başlandı. Sağ kalp kateterizasyonu yapıldı. Sağ kalp kateterizasyonunda ilerioprost ile vazoreaktivite yapıldı. İşlem öncesi mean pulmoner arter basıncı 53 mmHg, işlem sonrası 50 mmHg olarak saptandı. Vazoreaktivite negatif olarak değerlendirildi. Hastaya pulmoner hipertansiyona yönelik makitacitentan tedavisi başlanarak taburcu edildi. Sistemik skleroz patogenezinde vaskulopati, immün aktivasyon ve fibrozisin rol aldığı; nedeni bilinmeyeen bir bağ dokusu hastalığıdır. Sistemik skleroz ilişkili vaskulopatinin hastalık gelişiminde ilk basamak olduğu kabul edilmektedir. Dijital ülser (DU) sistemik sklerozlu hastalarda Raynaud fenomeninden sonra vaskulopatının neden olduğunu sık临床 tablodur. Hastalık süresince %35-60 hastada görülmektedir; büyük oranda tekrarlayıcı karakterizedir. Sistemik skleroz; sınırlı sistemik skleroz, sınırlı deri tutulmumu sistemik skleroz, yaşının deri tutulmumu sistemik skleroz ve eozinofil ile birlikte yığın fassüs ile seyreden sistemik skleroz olarak alt tipleri mevcuttur. Bizim vakamızda dijital ülser nedeni ile tarafımıza başvuran ve sınırlı deri tutulmumu sistemik sklerzoa bağlı sekonder pulmoner hipertansiyonu saptanan hasta sunulmuştur. Dijital ülseri olan ve pulmoner arter basıncı yüksek olan hastalarda sistemik skleroz ayrıca tanı olarak akılda tutulması gereklidir.



Şekil 1. Sağ el 3. parmak ve sol el 2. parmakta yara.



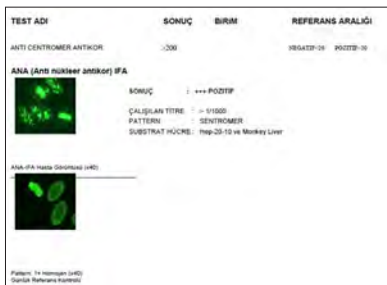
Şekil 2. Yatış elektrokardiyografisi.



Şekil 3. Pulmoner arter basıncı.



Şekil 4. Ekokardiyografide sağ ventrikül basal çapı.



Şekil 5. Dış merkez ANA ve anti-sentromer antikor testleri.

OPS-203

Successful lysis in massive pulmonary embolism with thrombus entrapped in PFO

Selcuk Kucukseymen, Nermin Bayar, Goksel Cagirci, Erkan Koklu, Isa Oner Yuksel, Zehra Erkal, Sakir Arslan

Department of Cardiology, Antalya Training and Research Hospital, Antalya

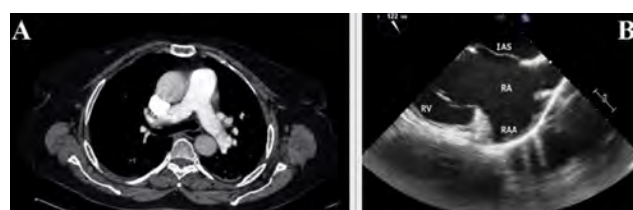
A 75-year-old woman was admitted to the emergency room with an acute onset of exertional dyspnea associated with syncope. Her medical history was positive for hypertension and knee replacement surgery a month ago. She reported no chest discomfort and any neurologic deficits. Blood gas analysis revealed hypoxia and hypocapnia. Laboratory results included a D-dimer level of 5900 ng/ml and an elevated high sensitive troponin T level of 780 ng/ml. An electrocardiogram showed sinus rhythm with T-wave inversions in the anterior leads and tachycardia. Before we come, contrast-enhanced computerized tomography angiography (CTA) for pulmonary arteries was performed, and bilaterally massive thrombus was seen on main pulmonary arteries (Figure 1), and she was hemodynamically unstable. Thus, an urgent transthoracic echocardiography (TTE) was performed and showed an mobile thrombus in the right atrium, also revealed a patent foramen ovale (PFO) and systolic pulmonary artery pressure was 80 mm Hg. Then, we have decided to perform a transesophageal echocardiography(TEE) because of suspected PFO located thrombus. TTE and TEE showed an embolus extending from right atrium to the left atrium through the PFO (Figure 2A,B,C). Cardiothoracic surgeons were consulted regarding open pulmonary and cardiac embolectomy, because of left sided thrombus. The risks and benefits of embolectomy were extensively discussed with patient, her family and surgeons. Because the patient's age made her a high-risk surgical candidate, cardiothoracic surgeons decided that she is inoperable for his surgical intervention, thus the decision was made to proceed with thrombolytic therapy, and 25 mg of intravenous tissue plasminogen activator (TPA) was administered within 12 hours as a slow infusion up to a total of 50 mg TPA. TTE was repeated after every thrombolytic therapy, also there was no sign of stroke, transient ischemic attack, or hemodynamic compromise during and after infusion. After termination of the last dose of TPA, TEE was repeated. The intracardiac thrombus in the bilateral atrium were completely resolved (Figure 3B), also CTA was repeated too, thrombus in main pulmonary arteries was disappeared in the left pulmonary artery totally, however not totally disappeared in the right side, even so it was smaller (Figure 3A). On the other side, the right side of the heart had become normal in size, and pulmonary systolic pressure had decreased to 35 mm Hg. She was hemodynamically stable, thus this case discussed with physicians from pulmonary diseases department. The patient was discharged from the hospital 7 days after initial presentation with instructions to take oral anticoagulants.



Şekil 1. Bilateralen trombus main pulmonary arteries by contrast-enhanced computerized tomography angiography.



Şekil 2. A ve B: Transthoracic echocardiography. C: Transesophageal echocardiography.



Şekil 3. A: Thrombus in main pulmonary arteries was completely resolve in the left pulmonary artery totally, however not totally disappeared in the right side, even so it was smaller B: The intracardiac thrombus in the bilateral atrium were completely resolved, even in the patent foramen ovale.

OPS-204

Kronik tromboembolik pulmoner hipertansiyon ve sinüs venosus ASD birlilikteliği

Nermin Bayar, Zehra Erkal, İsa Öner Yüksel, Erkan Köklü, Göksel Çağrıçı, Şakir Arslan

Antalya Eğitim ve Araştırma Hastanesi, Kardiyoloji Kliniği, Antalya

Altımsız sekiz yaşında kadın hasta giderek artan nefes darlığı yakınınlıkla başvurdu. Öyküsünden altı yıl, üc yıl ve bir yıl önce olmak üzere üç kez pulmoner emboli atağı geçirdiği ve oral antikoagulan tedavi aldığı öğrenildi. Elektrokardiografis normaldi. Transtoraksik ekokardiyografisinde sağ kalp boşluklarında genişleşme ve pulmoner hipertansiyon (sPAP: 60mmHg) saptandı. Toraks bilgisayarlı tomografisinde kronik tromboembolik pulmoner hipertansiyonu ile uyumlu bulgular saptandı (Şekil 1). Ventilasyon perfüzyon sintigrafisinde sağ akciğerde subsegmental perfüzyon defektleri saptandı. Pulmoner hipertansiyon araştırmaının bir parçası olarak yapılan transözefageal ekokardiografik incelemede ise VCS tip sinus venosus ASD saptandı (Şekil 2). Ardından hastaya kalp katerizasyonu yapıldı; ortalama pulmoner arter basıncı 114/48/76mmHg, pulmoner vasküler rezistans 21.8WU/m² saptandı. Grup 1 ve 4 pulmoner hipertansiyon ile örtülen bulguların ardından hastaya konsey değerlendirme sırasında riociguat ile medikal takip kararı alındı. Hastanın祉 6 dakika yürüme testi mesafesi 164 metre idi. Üçüncü ay sonunda klinik olarak daha rahat olduğunu ifade eden hastanın 6 dakika yürüme testi mesafesi 240 metre saptandı. Pulmoner hipertansiyon ile ilgili güncel stavkada öncelikle hastanın hangi gruba ait olduğunu belirlemektedir. Bu hastalarda transtoraksik ekokardiyografi ile tespiti zor olan defektlerin tespiti için transözefageal ekokardiyografisinin daha yaygın kullanımı faydalı olacaktır. Bizim hastamızda olduğu gibi grup 1 ve grup 4 pulmoner hipertansiyon ile örtülen kombiné vakaların da olabileceği göz önüne alınmalıdır.



Şekil 1. Sağ akciğerde kronik tromboembolik pulmoner hipertansiyonu destekleyen bulgular saptandı.



Şekil 2. TEE'de VCS tip ASD saptandı.

OPS-205

The role of fragmented QRS in predicting the success of procedures in patients with chronic thromboembolic pulmonary hypertension who underwent pulmonary endarterectomy

Uğur Arslantaş, Akin Arslan, Münnevver Sarı, Lütfü Ocal, Selçuk Pala, Hasan Sunar, Bedrettin Yıldızeli

Department of Cardiology, Kartal Kosyolu Yüksek İhtisas Training and Research Hospital, İstanbul

Background: There is no study in the literature that evaluated the relationship between success of procedure and fragmented QRS (fQRS) in patients with chronic thromboembolic pulmonary hypertension (CTEPH) who underwent pulmonary endarterectomy (PEA). Aim of our study is to investigate whether presence of fQRS predicted the success of endarterectomy.

Methods: The study population consisted of 59 patients (23 males, 36 females) who underwent PEA due to CTEPH. Right heart catheterization was obtained on initial assessment under mild sedation and within the 5 days after PEA in the intensive care unit prior to removal of the intraoperative catheters when patient was off vasopressors. Pulmonary vascular resistance and mean pulmonary artery pressure were calculated. The patients divided in two groups according to the presence of fQRS (group-1: 21 patients with fQRS and group-2: 38 patients without fQRS).

Results: Baseline clinical characteristics were comparable between the groups. When the groups were compared in terms of cardiac catheterization findings following the procedure, there was no difference among the groups in regard to cardiac index and mean pulmonary artery pressure (mPAP) while postoperative pulmonary vascular resistance (PVR) value was higher in fQRS group 556.4±327 dynes.sec.-5 vs 395.6±122 dynes.sec.-5, (p=0.009); recovery in PVR and mPAP were statistically higher in non fragmented QRS group 467.7±343 dynes.sec.-5 vs 230±199 dynes.sec.-5, (p=0.005); 18.5±6.4 mmHg vs 6.4±5.5 mmHg, p=0.002).

Conclusion: When compared to the patients without fQRS, patients with fQRS had higher mean pulmonary artery pressure and had lesser decrease in pulmonary vascular resistance and recovery after pulmonary endarterectomy.

Table 1. Characteristic of patient undergoing pulmonary endarterectomy

	All (n=59)	No-fQRS (n=38)	fQRS (n=21)	P Value*
Age	49 (±12)	50.5 (±12.5)	48 (±12.4)	0.45
Gender, Male	23 (39%)	15 (39.5%)	8 (38.1%)	0.57
Hypertension	24 (40.7%)	15 (39.5%)	9 (42.9%)	0.52
Diabetes mellitus	9 (15.3%)	4 (10.5%)	5 (23.8%)	0.16
Haemoglobin	13.1 (1.7)	13.3 (1.7)	12.7 (1.9)	0.21
Creatinine	0.9 (0.6)	0.8 (0.3)	1.1 (0.9)	0.12
Albumin	4.1 (0.3)	4.1 (0.3)	4.2 (0.3)	0.82
BNP				
NYHA Functional Class				
II	17 (28.8 %)	12 (31.6%)	5 (23.8%)	
III	33 (55.9 %)	21 (55.3%)	12 (57.1%)	0.74
IV	9 (15.3 %)	5 (13.2%)	4 (19%)	
Right heart catheterization				
Mean PAP, mmHg	48.2 (±16.4)	50.3 (±18.4)	44.4 (±11.5)	0.19
Cardiac index, liters/min/m ²	2.2 (±0.7)	2.1 (±0.7)	2.2 (±0.7)	0.63
PVR, dynes.sec.cm ⁻⁵	836.2 (±358)	865 (±357)	787 (±362)	0.44
PCWP, mmHg	12 (±3)	12 (±3)	13 (±3)	0.39

NYHA, New York Heart Association; PAP, pulmonary artery pressure; PVR, pulmonary vascular resistance; PCWP, Pulmonary capillary wedge pressure a Comparing subjects with or without fQRS.

Table 2. Echocardiography characteristic of the study population

	All (n=59)	No fQRS(n=38)	fQRS(n=21)	P Value*
Outcome				
Echocardiography data, Preop.				
EF (%)	62.8 (±5)	62.5 (±4.1)	61.3 (±6.6)	0.39
TAPSE(mm)	13 (±5)	12.1 (±5.2)	14 (±8.6)	0.25
sPAP mmHg	75 (±26.3)	76.4 (±25.6)	72 (±28.4)	0.54
Echocardiography data, Postop.				
EF (%)	61 (±5.6)	62 (±4.7)	59.1 (±6.7)	0.77
TAPSE(mm)	16.6 (±5.5)	17.2 (±5.5)	15.1 (±5.4)	0.63
sPAP (mmHg)	40 (±16)	37.3 (±13.3)	44.5 (±19.2)	0.97

EF, ejection fraction; TAPSE, tricuspid annular plane systolic excursion; sPAP, systolic pulmonary arterial pressure aComparing subjects with or without fQRS

Table 3. Postoperative outcome

	All (n=59)	No fQRS(n=38)	fQRS(n=21)	P Value*
Outcome				
Intensive care unit stay, days	5 (±4)	5 (±4)	5 (±5)	0.98
Hospital stay, days	13 (±7)	13 (±7)	13 (±8)	0.99
Cardiac Index, liters/min/m ²	2.82 (±1.0)	2.8 (±0.93)	2.9 (±1.2)	0.62
PVR, dynes.sec.cm ⁻⁵	453 (±229)	395.6 (±122)	556.4 (±327)	0.009
PVR improvement*, dynes.sec.cm ⁻⁵	308 (±454)	467.7 (±343)	230 (±199)	0.005
Mean PAP, mmHg	34 (±12)	31.7 (±12)	38 (±11)	0.19
Mean PAP improvement*, mmHg	14.2 (±15)	18.5 (±6.4)	6.4 (±5.5)	0.002
Operative Mortality	6 (10.2%)	3 (7.9%)	3 (14.3%)	0.44

PAP, pulmonary artery pressure; PVR, pulmonary vascular resistance aComparing subjects with or without fQRS b Compared with pre-operative PVR c Compared with pre-operative Mean PAP

Girişimsel kardiyoloji / Koroner

OPS-064

Iatrojenik sol ana koroner trombozu

Ali Orcun Sürmeli, Muzaffer Karadeniz, Özcan Örsçelik, Buğra Özkan, Türkay Özcan, Ahmet Çelik Mersin Üniversitesi Tip Fakültesi, Kardiyoloji Anabilim Dalı, Mersin

Altımsız yaşında kadın hasta stabil angina pektoris tanısıyla diagnostik koroner anjografi için yatırıldı. Özgeçmişinde diabetes mellitus ve hipertansiyon olan hastanın son 6 aydır olan tipik göğüs ağrısı mevcuttu. Hasta koroner anjografi işlemi için laboratuvarı alındı. Hastaya sol judkins 4 kateter ile diagnostik anjografi yapıldı (Şekil 1). Sağ koroner anjografi yapıldıktan sonra hastaiddetli göğüs ağrısı gelişmesi üzerine tekrar sol ana koroner artere kateterle oturulduğunda ana koroner total tromboze olduğu görüldü (Şekil 2). Hasta da ventriküler taşkırdı gelişti. Elektriksel kardiyovaryon uygulandı ve hizla intraaort balon pompası takıldı. Sol ana koroner arter tel ile geçti. Balon ile predilatasyon yapıldıktan sonra ana koronerden LAD'ye uzanacak şekilde 3.5x18 mm stentimplante edildi (Şekil 3). Stent içinden tekrar tromboz olmasına tüzere NC balon ile postdilate edildi ve aynı bir tel ile stent proksimalinde sıyrıtlardan geçirerek CX artere geçildi. 1.5x15 mm reçine rujun balon ile dilate edildikten sonra 3.5x18 mm stent ana koronerden CX artere doğru implante edildi (Şekil 4). Final kissing balon yapılarak işleme son verildi (Şekil 5). Hasta 6. ay kontrollerinde asptomatik, aspirin ve tıkağeler tedavisi altında takip edilmektedir. Koroner anjografiye bağlı major komplikasyonlar %2 den daha az sıklıkta görülmektedir. Koroner trombiste koroner anjografie görülebilen komplikasyonlardandır. Nedenleri arasında kateter de gelişen trombitiştir opak madde ile beraber koroner artere enjekte edilmişsi ile kateterin koroner artere oturduğunda sebep olduğu diskeksiyon sonucunda da trombus gelişebilmekte ve ölümcül sonuçlara neden olabilemektedir.



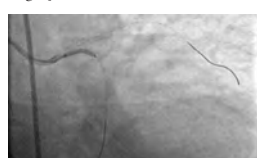
Şekil 1. Anteroposterior caudal açıdan sol koronerlerin görünümü.



Şekil 2. Koroner anjografi bitiminde hasta da gelişen akut sol ana koroner trombozu.



Şekil 3. Sol ön inen artere takılan stentin görünümü.



Şekil 4. Ana koronerden sirkumfleks artere uztatılan stentin görünümü.



Şekil 5. Final Kissing balon sonrası sol koronerlerin görünümü.

33. ULUSLARARASI KATILIMLI TÜRK KARDİYOLOJİ KONGRESİ OLGU SUNUMLARI YAZAR DİZİNİ

33rd TURKISH CARDIOLOGY CONGRESS WITH INTERNATIONAL PARTICIPATION
CASE REPORTS AUTHOR INDEX

A

Abacı A	OS-58, OPS-070
Abacı O	OS-05, OS-77, OPS-035
Açar B	OS-64, OPS-101, OPS-148, OPS-200
Acıbuca A	OPS-187
Açıkel S	OS-21, OS-43, OS-87, OPS-081, OPS-094, OPS-125
Açıksarı G	OPS-179
Adıgözelzade S	OS-36
Ağaç MT	OPS-048
Ağirdıcı EB	OPS-009
Akar Bayram N	OS-04, OS-35, OS-53, OS-65, OPS-017, OPS-021, OPS-023, OPS-100, OPS-136, OPS-168
Akulut Mİ	OS-80
Akçay M	OS-19, OS-35, OS-49, OPS-017, OPS-021, OPS-073, OPS-100, OPS-168
Akdemir B	OS-55, OPS-028, OPS-046
Akdemir R	OPS-048, OPS-075
Akdeniz B	OS-28
Akdi A	OPS-101
Aker M	OS-87, OPS-081
Akgüllü Ç	OPS-184
Akhan O	OS-44
Akıllı A	OS-44
Akıllı H	OPS-140, OPS-142, OPS-182, OPS-186, OPS-194
Akın F	OS-81, OPS-084, OPS-085, OPS-109, OPS-198
Akın M	OS-41
Akın Y	OS-11, OS-12
Akkuş MN	OS-45
Akpınar ÇK	OS-52
Akşit E	OPS-013, OPS-197
Aksoy MNM	OPS-075
Aksu E	OPS-177
Aksu T	OPS-022
Aksüt M	OPS-049, OPS-183
Aktan A	OPS-011
Aktürk S	OS-38, OS-63, OS-67, OPS-045, OPS-176
Akyürek Ö	OS-70
Alagöz M	OPS-002
Alak Ç	OS-08, OS-30, OPS-114, OPS-174
Algül E	OS-43
Alizade E	OPS-033, OPS-037, OPS-056, OPS-058
Alp İ	OPS-132

Alpman A	OPS-067
Alsancak Y	OS-35, OS-53, OS-57, OS-65, OS-66, OPS-017, OPS-041, OPS-059, OPS-140, OPS-141, OPS-142, OPS-149, OPS-182, OPS-186, OPS-194
Altay C	OS-08
Altay S	OPS-153
Altın C	OS-24
Altıparmak İH	OPS-057, OPS-086, OPS-089, OPS-090
Altun İ	OS-81, OPS-084, OPS-085, OPS-109, OPS-198
Altunbaş G	OPS-052
Apaydın AO	OS-28
Aras D	OS-75, OPS-015, OPS-016, OPS-024, OPS-148, OPS-165
Argan O	OPS-022, OPS-106
Ari H	OS-13, OS-32, OS-72, OPS-078
Ari S	OS-13, OS-32, OS-72, OPS-078
Arisoy F	OPS-200
Armağan B	OPS-180
Arslan A	OS-62
Arslan A	OPS-205
Arslan Ş	OS-23, OS-33, OS-51, OS-71
Arslan Ş	OPS-088, OPS-092, OPS-107, OPS-128, OPS-192, OPS-195, OPS-203, OPS-204
Arslan U	OS-52, OPS-159
Arslantaş U	OPS-039, OPS-058, OPS-205
Asil S	OS-36, OPS-098
Asiltürk E	OPS-128
Aslan AN	OS-04, OS-35, OS-53, OS-65, OPS-017, OPS-100, OPS-168
Aslan B	OPS-011
Aslan G	OPS-014
Aslan H	OPS-169
Aslan T	OS-42
Atar İ	OS-07, OS-29, OPS-001
Ataş H	OS-59, OPS-093
Atasoy ÇK	OS-80
Atasoy Günaydin İ	OS-52
Ateş AH	OS-52
Ateş MS	OPS-096, OPS-171
Ateş Ş	OPS-147
Atıcı A	OPS-160
Atmaca Y	OS-14, OS-38, OS-40, OS-67, OPS-045, OPS-172, OPS-187
Avcı A	OPS-049
Avcı Demir F	OPS-003

Avcı R	OS-33, OPS-128, OPS-167, OPS-195	Bozat T	OS-13, OS-32, OS-72, OPS-078
Avcı Y	OPS-143	Bozkurt A	OS-84, OPS-134
Aydın F	OPS-197, OPS-013	Bozkurt E	OS-04, OS-35, OS-53, OS-65, OPS-017, OPS-021, OPS-023, OPS-100, OPS-136, OPS-168
Aydınlımaç F	OS-21, OPS-094	Bozlar U	OPS-098
Aygül N	OPS-096	Bozyel S	OPS-022, OPS-106
Ayhan G	OS-22	Buğan B	OS-06, OS-16, OS-78, OPS-135
Ayhan H	OS-35, OS-53, OS-65, OPS-017, OPS-021, OPS-023, OPS-136	Bulur S	OPS-179
B			
Bacaksız A	OPS-028, OPS-047	C	
Bahadır Omar MB	OPS-037	Can G	OPS-114
Bakan S	OPS-110	Can L	OPS-129
Bakhshaliyev N	OS-55, OPS-028, OPS-030, OPS-046, OPS-047, OPS-151	Can M	OPS-133
Bakırıcı EM	OPS-190	Can MM	OPS-038, OPS-051, OPS-065
Balaban İ	OPS-076	Can V	OS-13, OS-32, OS-72
Balun A	OPS-173	Canbolat İP	OS-76
Bambul Sığircı B	OS-20	Candan Ö	OPS-076, OPS-105, OPS-117
Barçın C	OS-06, OS-16, OS-36, OS-78, OPS-072, OPS-098, OPS-135	Candemir M	OS-46, OPS-070
Bariş VÖ	OPS-098	Canpolat U	OPS-180
Barman HA	OPS-160	Cansel M	OPS-055
Barutcu S	OPS-033, OPS-037, OPS-056	Celikkale İ	OPS-028, OPS-046, OPS-047, OPS-151
Başarıcı İ	OS-61	Cengiz HB	OS-43
Baskurt Aladağ N	OS-77	Conkbayır C	OS-88
Baştuğ S	OS-35, OS-53, OS-65, OPS-017, OPS-021, OPS-023, OPS-100, OPS-136, OPS-168	Coskun M	OPS-041, OPS-194
Batit S	OPS-036	Ç	
Bayam E	OS-17, OPS-076, OPS-082,	Çağırıcı G	OS-33, OS-71, OS-23, OPS-088, OPS-107, OPS-195, OPS-203, OPS-204, OPS-128, OPS-192
Bayar N	OS-23, OS-71, OPS-107, OPS-128, OPS-192, OPS-195, OPS-203, OPS-204	Çağlıyan ÇE	OS-84
Bayata MS	OPS-009, OPS-010	Çakal B	OPS-152
Bayraktaroğlu S	OS-27	Çakmak A	OPS-138
Bayram UT	OPS-072	Çakmak EÖ	OS-50, OPS-105, OPS-117, OPS-127, OPS-183
Baysan O	OPS-131	Çalışkan M	OPS-179
Belen E	OPS-038, OPS-051, OPS-065	Çalkavur T	OPS-129
Beşiroğlu F	OPS-063	Çamcı S	OS-32, OS-72, OPS-078
Beşiroğlu G	OPS-155	Çavlan B	OS-13, OS-72
Beşli F	OS-54, OPS-019, OPS-057, OPS-077, OPS-086, OPS-089, OPS-090	Çay S	OS-75, OPS-015, OPS-016, OPS-024
Bildirici U	OPS-054	Cekin ME	OPS-179
Bilen E	OS-04, OS-35, OS-53, OPS-017, OPS-136	Çelebi F	OPS-152
Bilgel ZG	OS-24, OPS-145	Çelik A	OS-45, OS-58, OS-89, OPS-043, OPS-062, OPS-064, OPS-137, OPS-139, OPS-202
Birincioğlu CL	OS-12	Çelik A	OPS-139
Birkan Y	OS-60	Çelik M	OS-06, OS-16, OS-36, OS-46, OS-78, OPS-098, OPS-135
Bıçakçı B	OPS-115	Çelik M	OS-68, OPS-156
Bodur O	OPS-190	Çelik Ö	OS-39
Boduroğlu Y	OS-37, OPS-042, OPS-060, OPS-169	Çeliker A	OPS-147
Börklü EB	OS-22, OS-25	Çeliker C	OPS-170
Bournaun H	OS-56	Çerik İB	OPS-073
Boyacı A	OPS-029		
Boyacı F	OPS-159		

Çetin İ	OPS-189	Durmaz E	OPS-108, OPS-110, OPS-111, OPS-112
Çetin N	OS-48	Durmaz Ş	OPS-112
Çeti'narslan Ö	OPS-170	Durmaz T	OS-04, OS-35, OPS-017, OPS-021, OPS-023, OPS-100, OPS-136, OPS-168
Çiçek Y	OPS-190	Durmuş G	OPS-038
Çiftci O	OS-07, OS-29, OPS-001	Durmuş G	OPS-051, OPS-065, OPS-133
Çimen T	OS-21, OPS-094	Dursun H	OS-08, OS-30, OPS-114, OPS-174
Çinier G	OS-34	Düzenli MA	OS-57, OS-66, OPS-041, OPS-140, OPS-141, OPS-142, OPS-149, OPS-182, OPS-186, OPS-194
Civriz Bozdağ S	OS-82		
Çınar C	OS-44, OS-47		
Çoksevim M	OS-19, OPS-073		
Çolakoğlu Gevher Z	OS-56	E	
Çöllü B	OPS-104	Ebren C	OPS-111, OPS-112
Çöllüoğlu İT	OPS-114, OPS-174	Ediboğlu E	OPS-200
Çöllüoğlu T	OS-08, OS-30	Efe TH	OS-43
Çorut Güzel H	OS-35, OS-53	Eker Akıllı R	OS-10, OPS-121, OPS-134
D			
Dağışan G	OS-19	Ekici B	OS-42
Dağışan İ	OPS-130	Ekin T	OPS-114
Dağtekin E	OPS-013, OPS-197	Ekizler A	OPS-016
Dalgaç Y	OPS-035, OPS-036	Ezikler FA	OS-75, OS-91, OPS-024, OPS-101, OPS-165
Demir AR	OPS-189	Elalmiş ÖU	OPS-157
Demir E	OPS-026	Emren SV	OS-15, OS-31, OPS-031
Demir GG	OPS-152	Emren V	OS-89
Demir K	OPS-160	Enhoş A	OS-55, OPS-028, OPS-046, OPS-047, OPS-151
Demir M	OPS-173	Er O	OPS-095
Demirbağ R	OPS-089	Eraslan P	OPS-165
Demircan S	OS-76	Erdil N	OPS-188
Demirci D	OPS-088, OPS-092, OPS-167	Erdogan M	OS-53, OPS-021, OPS-023, OPS-136
Demirci DE	OPS-088, OPS-092	Erdogan O	OPS-093
Demirci G	OPS-005	Erdogan T	OPS-190
Demirci K	OPS-179	Eren NK	OS-15
Demirel D	OPS-115	Ergelen M	OPS-047
Demirel KC	OPS-160	Ergene AO	OS-62, OS-73
Demirkhan B	OS-64	Ergün G	OS-81, OPS-084, OPS-085, OPS-109, OPS-198
Demirkiran A	OS-79	Erkal Z	OS-23, OPS-107, OPS-128, OPS-192, OPS-203, OPS-204
Demirtaş B	OS-83	Erkuş ME	OPS-019
Demirtola Aİ	OPS-172	Ermış N	OPS-055
Dereağzı ŞF	OS-11, OS-12	Erol Ç	OS-14, OS-26, OS-38, OS-40, OS-63, OS-67, OS-70, OS-82, OPS-045, OPS-067, OPS-176
Deveci O	OS-10	Erol G	OPS-098
Dilmen S	OPS-115, OPS-130, OPS-132	Erol T	OPS-145
Dinçer İ	OS-26, OS-80, OS-82	Ersan Demirci D	OPS-167
Doğan A	OS-03	Erseçgin A	OS-48
Doğan M	OS-87	Ertürk M	OS-39, OPS-091
Doğan Z	OPS-040	Eryılmaz U	OPS-184
Doğanay K	OS-13, OS-72	Esin M	OS-33, OPS-107, OPS-128, OPS-192
Doğanözü E	OS-07, OS-29, OPS-001		
Doğduş M	OS-44		
Dokumacı B	OPS-060		
Duman H	OPS-190	F	
Durakoğlugil ME	OPS-190	Fahri Erkan A	OS-42
Dural İE	OPS-053, OPS-201	Fedai H	OPS-077
Durgun B	OPS-098	Fıratlı İ	OPS-005

G

Gazi E	OPS-013
Geçmen Ç	OS-50, OPS-082, OPS-105, OPS-117, OPS-127, OPS-183, OPS-183
Gedikli Ö	OS-49, OPS-073
Genç A	OPS-195
Gencer Sarıönder E	OS-51
Gerede Uludağ DM	OS-26, OS-82, OPS-187
Gökaslan Ç	OPS-053
Karaüzüm K	OPS-054
Gökaslan S	OPS-053, OPS-201
Gökdeniz T	OPS-152
Gökoğlan Y	OS-06, OS-16, OS-78, OPS-072, OPS-135
Göksültük H	OS-14, OS-26, OS-38, OS-40, OS-67, OS-70, OPS-045, OPS-067, OPS-172, OPS-176
Göktekin Ö	OS-55, OPS-028, OPS-046
Gölbaşı Z	OPS-101
Göldeli Ö	OPS-174
Görmel S	OS-06, OS-16, OS-36, OS-78, OPS-098, OPS-135
Gülaştı S	OPS-097, OPS-184
Gülcü A	OS-28
Güleç S	OS-63
Güler A	OPS-091
Güler TE	OPS-022
Guliyev İ	OS-21, OS-87, OPS-094, OPS-125
Güllü H	OS-24
Güllü Hı	OPS-145
Gülşen K	OS-86, OPS-027
Gültekin NN	OPS-170
Gümüşdağ A	OS-25
Gündüz H	OPS-048, OPS-075
Gündüz R	OPS-026
Gündüz S	OPS-082
Güner A	OPS-049, OPS-076, OPS-082, OPS-105, OPS-183
Güneş HM	OPS-152
Güney MC	OS-65, OPS-021, OPS-100, OPS-168
Güngör H	OPS-097, OPS-184
Güngören F	OS-54, OPS-019, OPS-077, OPS-086, OPS-089, OPS-090
Güray Ü	OS-83, OPS-157
Gürbaktepe İ	OPS-177
Gürbüz AS	OS-57, OPS-140, OPS-141, OPS-149, OPS-194
Gürbüz DÇ	OPS-010
Gürgün C	OS-09, OS-47
Gürsel MK	OPS-116
Gürses E	OPS-161
Gürsoy Çoruh A	OS-80
Gürsoy E	OS-46, OPS-070, OPS-072, OPS-079
Gürsoy HT	OPS-116, OPS-157

Gürsul E

Gürsul E	OPS-080
Güvenç TS	OS-22, OS-34
Güzelburç Ö	OS-34

H

Hastaş E	OPS-190
Havan N	OPS-183
Hocamguliyev H	OPS-125
Hüseyinoğlu Aydin A	OPS-013, OPS-197
Huyut MA	OS-55, OPS-028, OPS-046, OPS-047, OPS-151

I

İşlak Z	OPS-115, OPS-130, OPS-132
---------	---------------------------

İ

İbişoğlu E	OPS-152
İçen YK	OPS-044
İçli A	OPS-182, OPS-186, OPS-194
İkikardeş MF	OS-10, OPS-121, OPS-134
İkitimur B	OPS-108, OPS-110
İleri Ç	OPS-040
İleri M	OS-83, OPS-157
İlkay E	OPS-101
İnan D	OS-25
İnce E	OS-36, OPS-098
İşcen S	OPS-081
İsgandarov K	OS-17, OPS-033, OPS-037, OPS-056
İsmailler S	OS-13
İsmayıloğlu Z	OS-55, OPS-046, OPS-047, OPS-151
İzgi İA	OS-50, OPS-082, OPS-105, OPS-117

J

Jahid S	OPS-063, OPS-155
---------	------------------

K

Kabul HK	OS-06, OS-16, OS-78, OPS-072, OPS-135
Kadan M	OPS-098
Kafes H	OS-75, OS-91, OPS-024, OPS-101, OPS-165
Kahraman Ay N	OPS-047, OPS-151
Kahya Eren N	OS-31, OPS-031
Kahyaoğlu M	OS-50, OPS-076, OPS-105, OPS-117, OPS-127, OPS-183
Kalaycı A	OS-50, OPS-105, OPS-117
Kalenderoğlu K	OS-34
Kalkan AK	OPS-091
Kalkan S	OPS-183
Kalyoncuoğlu M	OPS-038, OPS-051, OPS-133
Kamer Kaya N	OPS-108
Kamoy Çiçekcioğlu H	OPS-116
Kanal Y	OS-11, OS-12
Kanar BG	OS-59

Kandemir ŞA	OS-57, OPS-194	Kılıçgedik A	OPS-037, OPS-056
Kansu E	OS-58	Kılıçkap M	OS-26
Kaplan Ö	OS-76	Kılıçkaya P	OS-68
Kara A	OPS-147	Kılıçkesmez K	OS-20
Kara M	OPS-015, OPS-024	Kılıçkıran Avcı B	OPS-113
Karaarslan B	OS-84	Kılıç AY	OS-61
Karaaslan M	OPS-049	Kınık M	OS-13, OS-72
Karabacak K	OS-36, OS-78	Kırat T	OS-81, OPS-084, OPS-085, OPS-109, OPS-198
Karabay CY	OS-17	Kırılmaz B	OPS-013
Karabulut FÖ	OS-75	Kırma C	OPS-105
Karaca G	OPS-138	Kısacık H	OS-64, OPS-148
Karaca İO	OPS-152	Kıvanç E	OPS-149
Karaca M	OPS-009, OPS-010	Kıvrak A	OPS-180
Karaçay E	OS-51	Kızılırmak Yılmaz F	OPS-152
Karaçöp E	OS-55, OPS-028, OPS-046, OPS-047, OPS-151	Kızıltunç E	OPS-116
Karadağ B	OPS-111	Koç AF	OPS-134
Karadeniz M	OPS-011, OPS-043, OPS-064, OPS-202	Koç Ç	OS-13
Karahan S	OS-61	Koç M	OPS-044
Karakaş H	OPS-077	Koca D	OPS-110
Karakayalı M	OPS-189	Koca Tarı Ç	OPS-126
Karakuş A	OS-32, OS-72, OPS-078	Kocağa M	OPS-063, OPS-155
Karaoguz R	OPS-014	Kocabaş U	OS-01, OS-27, OS-88, OPS-103, OPS-104, OPS-123
Karataş B	OPS-065	Koçtaş C	OPS-035, OPS-036
Karataş R	OS-68, OPS-156	Kocatürk Ö	OS-54, OPS-057
Karaüzüm İ	OPS-054	Köklü E	OS-23, OS-51, OS-71, OPS-128, OPS-203, OPS-204
Kardaş F	OPS-071	Köklü M	OS-16, OS-46, OPS-135
Karpuz MH	OPS-113	Koldaş ZL	OPS-108
Kasapkara A	OPS-017	Kolff Q	OS-79
Kasapkara HA	OS-04, OS-35, OS-53, OS-65, OPS-023, OPS-100, OPS-136, OPS-168	Könte HC	OS-91
Kaşıkçıoğlu H	OS-22	Korkmaz A	OS-83, OPS-157
Katkat F	OS-86	Korkmaz GY	OS-23
Kaya Ç	OPS-071	Korkmaz H	OPS-150
Kaya D	OS-08, OS-30, OPS-114	Köse N	OS-81, OPS-084, OPS-085, OPS-109, OPS-198
Kayhan Altuner T	OPS-131	Kozan Ö	OPS-115, OPS-130, OPS-132
Kayhan Ö	OPS-088, OPS-128	Kozluca V	OPS-126
Kayıkçıoğlu LM	OPS-129	Küçükoglu MS	OPS-170
Keleş T	OS-04, OS-35, OPS-017, OPS-021, OPS-023, OPS-100, OPS-136	Küçükseymen S	OS-23, OPS-128, OPS-192, OPS-203
Kemaloğlu MD	OPS-107	Kul S	OPS-083, OPS-179
Kepez A	OPS-093	Kum G	OS-86, OPS-079
Kertmen Ö	OPS-073	Kup A	OS-50
Kervancıoğlu C	OS-42	Kurklu TS	OS-26
Keser N	OPS-115, OPS-130, OPS-132	Kurmuş Ö	OS-42
Keskin B	OS-77	Kurt F	OPS-063
Keskin G	OPS-138	Kurt G	OPS-155
Keskin K	OS-20	Kurtoğlu N	OS-03
Keskin M	OS-22, OS-25	Kurtoğlu V	OS-01
Keskin ÖF	OS-36, OPS-098	Kuş G	OS-23, OPS-128, OPS-192
Ketenciler S	OS-86	Kuş Ö	OS-48
Kılıç H	OPS-048	Kuyumcu MS	OPS-002
Kılıçarslan O	OS-05, OPS-036		

L			
Leeuwen MV	OS-79	Özbek SC	OS-68, OPS-156
Loon RV	OS-79	Özben Sadiç B	OS-60
M		Özcan F	OS-75, OPS-015, OPS-016, OPS-024
Mammadli A	OPS-172	Özcan İT	OS-45
Manav A	OPS-153	Özcan KS	OPS-022
Melek M	OS-13, OS-32, OS-72, OPS-078	Özcan MK	OS-45
Memmedov M	OS-14	Özcan T	OPS-064
Mirzayev K	OS-05	Özçelik A	OS-66, OPS-182
Moumin G	OS-77, OPS-005	Özçınar E	OS-70
Muhtarzade H	OS-44	Özdamar H	OS-28, OPS-114
Mutlu B	OPS-040	Özdemir E	OS-03, OS-15, OS-31, OPS-009, OPS-010, OPS-017, OPS-031
Mutlu İ	OS-46	Özdemir R	OPS-030, OPS-047, OPS-151
Mutluer FO	OPS-014, OPS-147	Özdöl Ç	OS-82
N		Özeke Ö	OS-75, OPS-015, OPS-016, OPS-024, OPS-101, OPS-165
Nadir A	OS-55, OPS-047	Özen MB	OPS-181
Naki DD	OPS-152	Özen Y	OPS-200
Nasifov M	OPS-028, OPS-046	Özer Göksalan Ç	OPS-201
Nazlı C	OS-15, OS-31, OPS-031	Özer SF	OPS-140, OPS-141, OPS-194
Nazman H	OS-40, OS-67, OS-70, OPS-045, OPS-067, OPS-172	Özin MB	OS-07, OS-29, OPS-001
Nijveldt R	OS-79	Özkan B	OS-45, OPS-043, OPS-064
Nurkoç SG	OS-58, OPS-139	Özkan C	OPS-157
O		Özkan M	OPS-082
Ocak K	OPS-101	Özmen E	OPS-110, OPS-112
Ohtaroğlu K	OPS-113	Özmen G	OS-13, OS-32, OS-72, OPS-078
Oksen D	OS-77, OPS-005, OPS-196	Özmen N	OPS-143
Okşul M	OPS-180	Özmen Yıldız P	OPS-177
Oktay V	OPS-196	Özpelti E	OS-28, OS-73
Okuyan E	OS-86, OPS-027, OPS-079	Öztürk C	OPS-071, OPS-153
Olgun FE	OPS-152	Öztürk F	OPS-160
Omar MB	OPS-033, OPS-056	Öztürk Ö	OPS-178, OPS-193
Omaygenç MO	OPS-152	Öztürk S	OS-14, OPS-045, OPS-067, OPS-176
Onrat E	OPS-053, OPS-201	Öztürk S	OPS-038, OPS-133
Ö		Öztürk Ü	OPS-178, OPS-193
Öcal L	OPS-205	Özyazgan B	OPS-157
Ökçün B	OS-05	Özyıldız A	OPS-001
Ökçün EB	OPS-036, OPS-170, OPS-196	Özyüncü N	OS-14, OS-26, OS-38, OS-40, OS-63, OS-67, OPS-045, OPS-067, OPS-172, OPS-176
Ölçü EB	OPS-132	Özyurtlu F	OPS-104
Önenli Mungan HN	OPS-134	P	
Öngen Z	OPS-112	Pak M	OPS-189
Örşçelik Ö	OS-45, OPS-043, OPS-064	Pala S	OPS-033, OPS-037, OPS-039, OPS-056, OPS-058, OPS-205
Öz E	OS-37, OPS-042	Palabıyık M	OPS-036
Özbay B	OPS-129, OPS-161	Pamukcu HE	OS-87
Özbay MB	OS-64, OPS-200	Paydaş S	OPS-134
Özbay Y	OPS-138	Payzin S	OPS-161
Özbek M	OPS-011	Pekdemir H	OPS-055, OPS-188
Özbek N	OS-88	Polat F	OPS-108
		Polat M	OS-04, OPS-136
		Polat Ocaklı E	OPS-131

R			
Rabuş M	OPS-183	Şatiroğlu Ö	OPS-190
Rossum AV	OS-79	Şener YZ	OPS-180
Royen NV	OS-79	Şenöz O	OS-48
S		Şentürk B	OS-28, OS-73
Saatçi Yaşar A	OS-04, OPS-017, OPS-023, OPS-136	Şimşek E	OPS-129
Saklı B	OPS-059	Şimşek EÇ	OS-89, OPS-010
Saltan Y	OS-03		
Sarı A	OPS-180	T	
Sarı M	OPS-058, OPS-205	Taçoy G	OPS-139
Sarıkaya Ş	OPS-183	Tan Kürklü TS	OS-38, OS-80, OS-82, OPS-176
Sarılar M	OPS-005	Tanburoğlu A	OPS-145
Savur Ü	OPS-152	Tatar S	OPS-041, OPS-142, OPS-186
Sayın MR	OPS-083	Tayyar Ş	OPS-029
Sayın T	OS-82	Tekin Tak B	OS-75, OS-91, OPS-024, OPS-101, OPS-165
Selim Kılıç YS	OPS-129	Tekiner F	OPS-143
Selvi M	OPS-097	Tezcan H	OPS-171
Ser ÖS	OPS-035	Tigen MK	OS-59, OS-60
Serin E	OPS-196	Tok D	OS-64
Seyis S	OS-56	Tok ÖÖ	OPS-028, OPS-046
Sinan ÜY	OPS-170	Tokaç M	OS-15, OS-31, OPS-031
Sivri S	OS-68, OPS-100	Tokdil H	OPS-111, OPS-113
Şıgircı S	OS-20	Topal S	OPS-070
Sökmen E	OS-68, OPS-156	Topaloglu S	OS-75, OPS-015, OPS-016, OPS-024
Sönmez G	OPS-126	Toprak K	OS-17, OPS-039
Soydan E	OS-09, OS-41, OS-47, OPS-185	Tüfekçioğlu O	OS-11, OS-12, OS-91, OPS-101
Soydaş Çınar C	OPS-185	Tuğrul S	OPS-079
Soylu A	OS-57, OPS-041, OPS-140, OPS-141, OPS-149, OPS-186, OPS-194	Tulmaç M	OS-21, OS-43, OPS-081, OPS-125
Soylu K	OS-49	Tülüce K	OS-48
Sucu M	OPS-052	Tulunay Kaya C	OS-63
Sunar H	OPS-205	Tuncer MA	OPS-127
Sunman H	OS-21, OPS-094	Tunçez A	OPS-096, OPS-171
Sünbül M	OPS-093	Turan Bozkaya YT	OS-48
Sürmeli AO	OS-45, OPS-064	Turan N	OS-26, OS-40, OS-80
Süygün H	OS-04	Turan Yılmaz AT	OPS-130
Ş		Turgay Yıldırım Ö	OPS-197
Şafak A	OS-25	Turinay Ertop ZŞ	OPS-023
Şafak Ö	OPS-029, OPS-119	Türkvatan A	OPS-091
Şahan HF	OPS-125	Tutar E	OPS-176
Şahin AA	OS-60	Tütüncü A	OS-13, OS-32, OS-72, OPS-078
Şahin D	OS-83		
Şahin E	OS-38	U	
Şahin EE	OPS-137, OPS-202	Uçar Elalmış Ö	OS-83
Şahin M	OPS-073, OPS-076	Uğur M	OPS-130
Şahin S	OPS-065	Uğurlu İlgin B	OPS-116
Şahin YB	OS-58	Uğuz B	OS-13, OS-72
Şahinkuş S	OPS-048, OPS-075	Uluganyan M	OPS-028, OPS-030, OPS-047, OPS-151
Şanlıalp M	OPS-095	Ulusoy FR	OPS-063, OPS-155
Şanlıalp SC	OPS-095	Ulutaş Kurnaz Z	OPS-055
Şaşmaz H	OS-11, OS-12	Ulutaş Z	OPS-188
		Ural D	OPS-106
		Urtekin A	OPS-077
		Uyar H	OPS-062
		Uygur B	OS-39, OPS-091

Uzun F	OPS-091	Yıldırım I	OPS-147
Uzun M	OPS-115, OPS-130, OPS-132	Yıldırım R	OS-86, OPS-027
Ü		Yıldırım Turgay Ö	OPS-013
Ünal S	OS-64, OPS-002, OPS-148	Yıldırım U	OPS-073
Ünğan İ	OPS-063, OPS-155	Yıldırımtürk Ö	OS-25, OS-34
V		Yıldız A	OS-05, OPS-035, OPS-036
Vaiz G	OS-27, OS-88	Yıldız CE	OPS-117
Varol S	OS-86, OPS-027, OPS-079	Yıldız HY	OPS-169
Vatan MB	OPS-075	Yıldız İ	OPS-177, OPS-191
Velibey Y	OS-34	Yıldız M	OS-77
Velioglu M	OS-50	Yıldız Ö	OPS-014, OPS-147
Vural A	OPS-063, OPS-155	Yıldız PÖ	OPS-191
Vuran Ö	OS-48	Yıldız SS	OS-20
Vurgun VK	OS-70, OPS-176	Yıldızeli B	OPS-205
Vuruşkan E	OPS-052	Yılmaz A	OPS-156
Y		Yılmaz AT	OPS-115, OPS-132
Yağmur J	OPS-055, OPS-188	Yılmaz C	OPS-096, OPS-171
Yakar Tülüce S	OS-89	Yılmaz Coşkun F	OPS-052
Yakut İ	OS-11, OS-12	Yılmaz DÇ	OPS-137
Yalım Z	OS-74, OPS-070, OPS-072	Yılmaz E	OPS-189
Yamaç AH	OS-55	Yılmaz F	OPS-133
Yamaç Halaç HA	OPS-047, OPS-151	Yılmaz GM	OS-33, OPS-195
Yanık A	OS-19, OPS-159	Yılmaz K	OS-07, OS-29, OPS-001
Yanık E	OS-50	Yılmaz M	OS-07, OS-29, OPS-150
Yapan Emren Z	OS-48	Yılmaz MF	OPS-038
Yaşar A	OPS-110	Yılmaz N	OS-56
Yaşar AS	OPS-021	Yılmaz Ö	OS-01, OS-19
Yaşar S	OS-06, OS-16, OS-78, OPS-135	Yılmaz Y	OPS-179
Yavuz YE	OPS-140, OPS-141	Yılmaztepe MA	OPS-071
Yavuzgil O	OS-09, OS-47	Yüce El	OS-44
Yayla Ç	OPS-148	Yücel H	OS-52
Yaylak B	OS-34	Yüksel İÖ	OS-23, OS-71, OPS-128, OPS-192, OPS-203, OPS-204
Yazısız V	OS-61	Yüksel S	OS-19
Yenerçağ M	OS-19	Yüksel UÇ	OS-06, OS-16, OS-36, OS-46, OS-78, OPS-098, OPS-135
Yeşildağ O	OPS-093	Yurdam FS	OS-48
Yeter Korkmaz G	OPS-128	Yüzbaş B	OPS-065
Yılancıoğlu RY	OS-73	Z	
Yıldırım AO	OS-36	Zehir R	OS-17
Yıldırım E	OS-06, OS-16, OS-36, OS-78, OPS-098, OPS-135	Zekican G	OS-27, OS-88
		Zencir C	OPS-097, OPS-184
		Zeybey U	OPS-071, OPS-153